


CZHCOSLOVAKIA 

GEOFYSIKÁLNÍ ÚSTAV ČESKOSLOVENSKÉ AKADEMIE VĚD  
ГЕОФИЗИЧЕСКИЙ ИНСТИТУТ ЧЕХОСЛОВАЦКОЙ АКАДЕМИИ НАУК  
L'INSTITUT GÉOPHYSIQUE DE L'ACADÉMIE  
TCHÉCOSLOVAQUE DES SCIENCES

*copied*

I. Brouček - K. Holub - V. Kárník - A. Molnár - J. Nykles

**BULLETIN**  
**ČS. SEISMICKÝCH STANIC PRŮHONICE,**  
*PRAGUE* ~~PRAHA~~, **CHEB, BRATISLAVA,**  
**HURBANOVO, SKALNATÉ PLESO**  
**ROČNÍK 1959**

—  
**БЮЛЛЕТЕНЬ**  
**ЧЕХОСЛОВАЦКИХ СЕЙСМИЧЕСКИХ СТАНЦИЙ**  
**ПРУГОНИЦЕ, ПРАГА, ХЕБ, БРАТИСЛАВА, ГУРБАНОВО**  
**И СКАЛЬНАТЕ ПЛЕСО**  
**ГОД 1959**

—  
**BULLETIN**  
**SÉISMIQUE DES STATIONS SÉISMOLOGIQUES TCHÉCOSLOVAQUES**  
**PRŮHONICE, PRAHA, CHEB, BRATISLAVA, HURBANOVO**  
**ET SKALNATÉ PLESO**  
**ANNÉE 1959**

NAKLADATELSTVÍ ČESKOSLOVENSKÉ AKADEMIE VĚD

Praha 1962

Bulletin čs. seismických stanic Průhonice, Praha, Cheb, Bratislava, Hurbanovo, Skalnaté Pleso

19





GEOFYSIKÁLNÍ ÚSTAV ČESKOSLOVENSKÉ AKADEMIE VĚD  
ГЕОФИЗИЧЕСКИЙ ИНСТИТУТ ЧЕХОСЛОВАЦКОЙ АКАДЕМИИ НАУК  
L'INSTITUT GÉOPHYSIQUE DE L'ACADÉMIE  
TCHÉCOSLOVAQUE DES SCIENCES

I. Brouček - K. Holub - V. Kárník - A. Molnár - J. Nykles

**BULLETIN**  
**ČS. SEISMICKÝCH STANIC PRŮHONICE,**  
**PRAHA, CHEB, BRATISLAVA,**  
**HURBANOVO, SKALNATÉ PLESO**  
**ROČNÍK 1959**

—  
**БЮЛЛЕТЕНЬ**  
**ЧЕХОСЛОВАЦКИХ СЕЙСМИЧЕСКИХ СТАНЦИЙ**  
**ПРУГОНИЦЕ, ПРАГА, ХЕБ, БРАТИСЛАВА, ГУРБАНОВО**  
**И СКАЛЬНАТЕ ПЛЕСО**  
**ГОД 1959**

—  
**BULLETIN**  
**SÉISMIQUE DES STATIONS SÉISMOLOGIQUES TCHÉCOSLOVAQUES**  
**PRŮHONICE, PRAHA, CHEB, BRATISLAVA, HURBANOVO**  
**ET SKALNATÉ PLESO**  
**ANNÉE 1959**

NAKLADATELSTVÍ ČESKOSLOVENSKÉ AKADEMIE VĚD

Praha 1962





ČESKOSLOVENSKÁ AKADEMIE VĚD

Vědecký redaktor člen korespondent ČSAV prof. dr. Alois Zátopek,  
doktor fyzikálně-matematických věd

© Nakladatelství Československé akademie věd, Praha 1962  
Printed in Czechoslovakia

TABLE DES MATIÈRES

1. Avant-propos .....	4
2. Explication des signes .....	7
3. Observations séismiques de Průhonice .....	10
4. Liste des secousses voisines ( $D < 100$ km).....	131
5. Observations séismiques de Praha .....	151
6. Observations séismiques de Cheb.....	192
7. Observations séismiques de Bratislava .....	206
8. Observations séismiques de Hurbanovo .....	234
9. Observations séismiques de Skalnaté Pleso .....	247
10. Agitation microséismique observée à Praha, Bratislava, Hurbanovo et Skalnaté Pleso .....	258
11. Observations macroséismiques sur le territoire de la Tchécoslovaquie .....	383



Le Bulletin séismique 1959 contient les résultats du dépouillement des séismogrammes enregistrées aux stations du réseau séismique tchécoslovaque: Průhonice—la station centrale, Praha, Cheb, Bratislava, Hurbanovo et Skalnaté Pleso. Les stations de Průhonice, Praha et Bratislava ont publié les résultats préliminaires dans les bulletins décennaires, les autres stations dans les bulletins mensuels.

L'organisation du service séismologique n'a pas changé en comparaison avec celle de l'année 1958 [1]. Le fonctionnement régulier des stations de Průhonice et Cheb a été surveillé par l'Institut Géophysique de l'Académie Tchécoslovaque des Sciences, celui de la station de Praha par l'Institut Géophysique de l'Université Charles et des stations de Bratislava, Hurbanovo et Skalnaté Pleso par le Laboratoire Géophysique de l'Académie Slovaque des Sciences. Les mêmes institutions ont aussi préparé des bulletins préliminaires et l'interprétation définitive pour le Bulletin annuel 1959.

L'équipement des stations est resté le même qu'en 1958. Le fonctionnement régulier de toutes les stations n'était pas interrompu pour causes sérieuses. A la station de Skalnaté Pleso, le fonctionnement d'essai du séismographe „Krumbach“ se poursuivait avec nombreuses interruptions pendant l'année 1959. Les constantes des appareils sont indiquées à la première page de chaque chapitre.

L'analyse des enregistrements a été réalisée d'une manière uniforme pour toutes les stations tchécoslovaques. Pour les séismes à la profondeur normale on a employé, aux stations de Praha et de Průhonice, les hodochrones locales [2, 3], à d'autres stations les hodochrones de Jeffreys-Bullen [4]. Les tremblements de terre profonds ont été analysés d'après les hodochrones de Gutenberg-Richter [5]. Les séismes proches, les secousses de mine et les explosions ont été traités en accord avec les résultats publiés [6, 7, 8, 9].

Les magnitudes ont été déterminées pour les séismes éloignés ( $20^\circ < \Delta^\circ < 160^\circ$ ) par les stations de Praha, Hurbanovo et Skalnaté Pleso en utilisant les amplitudes des ondes superficielles [10, 11]. La station de Praha a donné aussi les magnitudes déterminées en utilisant les amplitudes des ondes PH, PV, PPH et SH [12], de même que les magnitudes des séismes proches ( $1^\circ < \Delta^\circ < 20^\circ$ ) [13]. A la station de Průhonice on a commencé avec la détermination expérimentale des magnitudes MLH d'après la formule

$$M_{LH} = \log (A/T)_{\max} + 1,66 \log \Delta^\circ + 3,3,$$

qui a été proposée en 1961 comme standard pour la classification unifiée des tremblements de terre [14]; pour la détermination des magnitudes d'après les ondes spatiales on a employé aussi les courbes, proposées comme standards dans la même contribution [14]. On a indiqué pour toutes les valeurs des magnitudes le type des ondes utilisées pour la détermination.

Les paramètres des tremblements de terre dans le présent bulletin annuel ont été empruntés pour la plupart aux Bulletins mensuels du BCIS ou des données du USCGS. Les distances épacentrales  $D_c$  et les azimuths  $Az$  des séismes ont été déterminés à l'aide des nomogrammes et abaques spéciales [15] avec la précision  $\pm 0,1^\circ$  pour  $D_c$  et  $\pm 1^\circ$  pour  $Az$ .

A cause du nombre croissant des secousses voisines ( $D < 100$  km) enregistrées par les séismographes verticaux à Průhonice on les a détachées dans un chapitre spécial. Il s'agit, pour la plupart, des coups de toit dans le bassin minier de Kladno.

Le dépouillement de l'agitation microséismique a été effectué en accordance avec les recommandations du BCIS et du CSAGI aux stations de Praha et Bratislava.

Les observations macroséismiques qui sont la continuation du Catalogue séismique de ČSR [16] figurent dans la partie finale du bulletin.

A l'analyse primaire des inscriptions de la station de Průhonice ont participé MM. V. Kárník et J. Nykles (Institut Géophysique de l'Académie Tchécoslovaque des Sciences), de la station de Praha Mlle. A. Janáčková, MM. I. Brouček, V. Červený et K. Pěč (Institut Géophysique de l'Université Charles), de la station de Cheb MM. K. Holub et K. Siebert (Institut Géophysique de l'Académie Tchécoslovaque des Sciences) et des stations de Bratislava, Hurbanovo et Skalnaté Pleso M. A. Molnár et Mlle A. Lepková (Laboratoire Géophysique de l'Académie Slovaque des Sciences).

La préparation et rédaction du présent bulletin a été effectuée par MM. I. Brouček, K. Holub, V. Kárník, A. Molnár et J. Nykles avec l'aide technique de Mmes S. Černíková et D. Koukalová, M. J. Hajský et Mlle A. Lepková.

VÍT KÁRNÍK

Chef du Service Séismologique Tchécoslovaque



- [1] V. Kárník, A. Molnár, J. Nykles: Bulletin séismique des stations séismologiques tchécoslovaques Praha, Průhonice, Cheb, Bratislava, Hurbanovo et Skalnaté Pleso, Année 1957, Praha 1959.
- [2] V. Kárník, J. Vaněk: Travaux de l'Inst. Géophys. de l'Ac. Tchécosl. Sc., No 16 (1954).
- [3] L. Ruprechtová: Travaux de l'Inst. Géophys. de l'Ac. Tchécosl. Sc., No 27 (1957).
- [4] H. Jeffreys, E. Bullen: Times of Transmission of Earthquake Waves. Publ. Bur. Centr. Séism. Int., Travaux scientifiques, A 11 (1936).
- [5] B. Gutenberg, C. F. Richter: Bur. Centr. Séism. Int., Publ. sér. A, fasc. 15, pp. 3—70 (1937).
- [6] V. Kárník, V. Marek: Travaux de l'Inst. Géophys. de l'Ac. Tchécosl. Sc., No 3 (1953).
- [7] V. Kárník, V. Marek: Travaux de l'Inst. Géophys. de l'Ac. Tchécosl. Sc., No 4 (1953).
- [8] V. Kárník: Publ. du BCIS, Série A, Tr. Sc., F 19, (1956), 319.
- [9] V. Kárník: Travaux de l'Inst. Géophys. de l'Ac. Tchécosl. Sc., No 2 (1953).
- [10] A. Zátpek, J. Vaněk: Publ. BCIS, Travaux scientifiques, A 18 (1952), 137.
- [11] J. Vaněk: Travaux de l'Inst. Géophys. de l'Ac. Tchécosl. Sc., No 6 (1953).
- [12] J. Vaněk, A. Zátpek: Travaux de l'Inst. Géophys. de l'Ac. Tchécosl. Sc., No 26 (1955).
- [13] V. Kárník: Travaux de l'Inst. Géophys. de l'Ac. Tchécosl. Sc., No. 47 (1956).
- [14] V. Kárník: Travaux de l'Inst. Géophys. de l'Ac. Tchécosl. Sc., No 22 (1955).
- [15] V. Kárník, N. V. Kondorskaya, J. V. Riznitchenko, S. L. Soloviev, N. V. Shebalin, J. Vaněk, A. Zátpek: Studia geophys. geodaet., No 4 (1961).
- [16] V. Kárník, E. Michal, A. Molnár: Travaux de l'Inst. Géophys. de l'Ac. Tchécosl. Sc., No 69 (1957).

1. Composantes:

N	= Nord—Sud
E	= Est—Ouest
Z	= Verticale

2. Constantes des séismographes:

$T_1$	= période du pendule non amorti
$T_2$	= période du galvanomètre non amorti
$V_0$	= agrandissement statique
$V_{max}$	= agrandissement maximum
$\varepsilon : 1$	= rapport d'amortissement
$D_1$	= coefficient d'amortissement du pendule
$D_2$	= coefficient d'amortissement du galvanomètre
$r$	= élongation maximum de la friction
$\sigma^2$	= coefficient de couplage

3. Notation des phases en séismogrammes:

Heure } h m s }	= temps universel UT — temps moyen de Greenwich (TMG), calculé de minuit à minuit
D	= distance épacentrale
$D_e$	= distance épacentrale calculée à l'aide des coordonnées géo- centriques
Az	= azimuth de la station vers l'épicentre
$\varphi$	= largeur géographique, N ou S
$\lambda$	= longueur géographique, E ou W
h	= profondeur du foyer
H	= heure origine
i	= commencement brusque (impetus) d'une phase
e	= début peu marqué d'une phase (émersion)



F	=	fin du mouvement perceptible	
P, Pm	=	ondes longitudinales préliminaires, leur maxima	
Pn, Pb, Pg	=	ondes longitudinales des séismes proches	
PKP, PKPm	=	onde qui a passé le noyau, les indices 1 ou 2, son maximum	
pP, pPKP	=	ondes longitudinales réfléchies une fois près de l'épicentre	
PP	}	= onde longitudinale { une fois } réfléchie, conservant le caractère de l'onde originale, leur maxima	
pPP, PPP			{ deux fois }
PPm, etc.			{ etc. }
S, Sm	=	ondes préliminaires transversales, leur maxima	
Sn, Sb, Sg	=	ondes transversales des séismes proches	
Px, X <sub>1</sub> , X <sub>2</sub>	}	= ondes des séismes proches (voir [8, 9, 10])	
Sx, Sb <sub>1</sub> , Sb <sub>2</sub>			
sS	=	onde transversale analogue à pP	
SS, SSS, SSm	=	réflexions des ondes transversales, leur maxima	
etc.			
pS, PS, sP, SP	=	ondes transformées réfléchies une fois à la surface de la terre qui ont changé leur caractère	
sPP, SPPP etc.	=	ondes transformées réfléchies plusieurs fois; la première réflexion se passe près de l'épicentre	
PPS etc.	=	ondes transformées avec deux réflexions suivant la notation	
P <sub>c</sub> P	=	onde { longitudinale } réfléchie sur la surface du noyau	
S <sub>c</sub> S	{ transversale }		
SKS	=	onde transversale dans le manteau et longitudinale dans le noyau	
SKP	=	onde d'abord transversale dans le manteau, puis longitudinale dans le noyau et manteau	
SKSP	=	onde analogue à SKS, réfléchie à la surface comme P	
SKKS	=	onde transversale dans le manteau, longitudinale et une fois réfléchie dans le noyau	
L, Lm	=	ondes longues se propageant à la surface de la terre, leur maxima	
Lg	=	ondes superficielles à courte période	
Q, Qm	=	ondes de Love, leur maxima	
R, Rm	=	ondes de Rayleigh, leur maxima	
L <sub>2</sub>	=	ondes longues de surface qui ont passé par l'antiépicentre	
W <sub>2</sub> , W <sub>3</sub>	=	ondes superficielles maximum qui ont passé une fois, deux fois, etc. par l'antiépicentre	
PH, PPH, SH	=	amplitude maximum horizontale des phases correspondantes	
PV, PPV, SV	=	amplitude maximum verticale des phases correspondantes	
M <sub>LH</sub> , M <sub>PH</sub> , M <sub>PV</sub>	=	les magnitudes calculées en utilisant les ondes LR, P, PP et S	
M <sub>PPH</sub> , M <sub>SH</sub>	=	une valeur moyenne de différentes magnitudes	

( )	=	incertain, douteux
K	=	caractère de l'agitation indiqué par le code suivant:
1	=	agitation présentant des microséismies en groupes
2	=	agitation continue
3	=	agitation mixte irrégulière
...	=	pas de mesures
tt	=	pas de mesures à cause du tremblement de terre
v	=	pas de mesures à cause du vent
0	=	pas de mouvement microséismique
0,0	=	mouvement microséismique très faible; amplitude inférieure à 0,1 μ (Praha, Bratislava), ou inférieure à 1 μ (Hurbanovo, Skalnaté Pleso)

## Abréviations:

BCIS	=	Bureau Central International de Séismologie, Strasbourg
USCGS	=	United States Coast and Geodetic Survey, Washington
JSA	=	Jesuit Seismological Association, St. Louis
Ac. Sc. URSS	=	Académie des Sciences de l'URSS, Moscou
ING	=	Istituto Nazionale di Geofisica, Roma
JMA	=	Japan Meteorological Agency
W.-A. = III	=	séismographe à torsion



OBSERVATIONS SÉISMIQUES  
DE LA STATION SÉISMOLOGIQUE  
DE PRŮHONICE EN 1959

V. Kárník, J. Nykles

Appareils:

- I = Séismomètre à torsion, système modifié Wood-Anderson, masse 4 g, amortissement magnétique, composante N et E, enregistrement photographique.
- II = Séismomètres électrodynamiques verticaux à courte période SVSN, développés par MM. V. Tobyáš et J. Štěpánek, enregistrement galvanométrique.
- III = Séismomètre électromagnétique, système Galitzine, composantes N, E, Z, enregistrement galvanométrique.

Coordonnées des appareils:

$\varphi = 49^{\circ}59,3' \text{ N}$ ,       $\lambda = 14^{\circ}32,5' \text{ E}$ ,       $h = 302 \text{ m}$

Sous-sol:

Schistes algonkiens.

Constantes 1959

Průhonice

Mois	Appareil	C <sup>te</sup>	T <sub>1</sub> (s)	D <sub>1</sub>	T <sub>2</sub> (s)	D <sub>2</sub>	$\sigma^2$	V <sub>0</sub>	T <sub>m</sub> (s)	V <sub>max</sub>	Vitesse de l'inscription
Janvier- Décembre	I	N	2,5	0,55				1900			30 mm/min
Janvier- Mai		E	2,5	0,55				1650			30 mm/min
Juin- Décembre		E	2,5	0,55				1900			30 mm/min
Janvier- Mai	II SVSN-4-58/1	Z	1,2	1,0	1,5	1,0	0,3			6000	120 mm/min
Juin- Décembre		Z	1	1	1,5	1	0,12		0,8	12000	120 mm/min
		Z							0,3	200000	
Janvier- Décembre	III	N	12,2	1	20,8	1			9	700	
		E	12,2	1	18	1			9	700	
		Z	7,2	1	12,2	1			5	1000	

\*) Installation temporaire.



Date	Phase	h m s	Remarques
1	✓ eiP	02 13 31,5	C. Groenland $83^{\circ}1/2N$ , $8^{\circ}W$ ; H = 02 06 42 (USCGS); $84^{\circ}N$ , $3^{\circ}W$ ; H = 02 06 50 (URSS Arctique). Magnitude: 5,9
	✓ eiPP	14 46	
	✓ ei	15 06,5	Uppsala, Kiruna, 4,5 URSS Arctique. $D_c = 35^{\circ}$ ; $D_e = 34,2^{\circ}$ ; Az = $356^{\circ}$ .
	✓ eS	19 02	
	✓ Lm	27,5	
1	✓ eiPn	02 38 45,1	Nord de la Yougoslavie $46^{\circ}N$ , $15^{\circ}E$ ; H = 02 37 40 (Prùhonice). $D_c = 4,1^{\circ}$ ; $D_e = 4,0^{\circ}$ ; Az = $175^{\circ}$ .
	✓ iPg	38 59,3	
	✓ eiSn	39 32,2	ei 02 39 07,5, Lm 40 05
	✓ eiSg	39 54,0	
1	✓ eiPKP	07 45 54	Région des îles Tonga $18^{\circ}1/2S$ , $175^{\circ}1/2W$ ; H = 07 26 07 (USCGS). Magnitude: $5^3/4$ Wellington.
	✓ ei	46 36	
	✓ ei	48 13,5	$D_c = 147,8^{\circ}$ ; Az = $17^{\circ}$ .
1	✓ iP	07 52 14,6	C. Méditerranée orientale $35^{\circ}N$ , $29^{\circ}E$ ; H = 07 48 01 (USCGS et BCIS). $D_c = 18,4^{\circ}$ ; Az = $139^{\circ}$ .
	✓ ei	52 25,8	
1	✓ iPKP	08 09 25,0	D. Région îles Fidji $18^{\circ}1/2S$ , $177^{\circ}W$ ; H = 07 49 35 (USCGS). Magnitude: $5^3/4$ Wellington. $D_c = 147,4^{\circ}$ ; Az = $21^{\circ}$ .
	✓ ei	10 30,8	
1	✓ eiP	16 01 46	Méditerranée orientale $35^{\circ}N$ , $27^{\circ}3/4E$ ; H = 15 57 32 (BCIS). $D_c = 18,8$ ; Az = $142^{\circ}$ .
		02 13	
1	✓ e	23 58 43	Gran Sasso, Italie, vers $42^{\circ}1/2N$ , $13^{\circ}1/2E$ ; H = 23 56,7 (BCIS).
	✓ eiSn	59 55	
	✓ eiSg	00 00 55	$D_c = 7,5^{\circ}$ ; Az = $186^{\circ}$ .
	✓ Lm	01 22	
2	✓ eiP	05 22 36	Bretagne (France) $47,7^{\circ}N$ , $4,0^{\circ}W$ ; H = 05 19 41 (BCIS). Magnitude: 5,2 Praha, 5 Prùhonice.
	✓ ei	24 20	
	✓ i } Lg	26 16	$D = 12^{\circ}$ ; $D_c = 12,3^{\circ}$ ; Az = $267^{\circ}$ .
	✓ i }	26 23	LgV: 5s, 1,5 $\mu$ ; LmH: 9 s, 3,5 $\mu$ ; LmV: 11 s, 5 $\mu$ .
	✓ Lgm	26 37	
	✓ Lm	27 45	
2	✓ eiP	12 01 16	Méditerranée orientale $35^{\circ}N$ , $29^{\circ}E$ ; H = 11 57 02 (BCIS); $D_c = 19,4^{\circ}$ ; Az = $139^{\circ}$ .
	✓ ei	01 25	
	✓ e	02 08	
3	✓ eiP	08 03 28	Turquie $35^{\circ}1/2N$ , $29^{\circ}1/2E$ ; H = 07 59 12 (USCGS et BCIS). $D_c = 19,3^{\circ}$ ; Az = $137^{\circ}$ . MLH = 4,6 Prùhonice.
	✓ ei	04 40,5	
	✓ Lm	11 40	LmH: 12 s, 1,1 $\mu$ ; LmV: 9 s, 1,3 $\mu$ .

Date	Phase	h m s	Remarques
3	✓ eP	11 31 34	Pérou $14^{\circ}1/2S$ , $75^{\circ}1/2W$ ; H = 11 17 38 (USCGS et BCIS). Magnitude $6^1/4 - 6^1/2$ Matsushiro.
	✓ eL	12 10	
	✓ Lm	17	$D_c = 100,8^{\circ}$ ; Az = $261^{\circ}$ . LmN: 20 s, 1,1 $\mu$ .
4	✓ iPKP	03 52 11,2	C. Iles Tonga $21^{\circ}C$ , $174^{\circ}1/2W$ ; H = 03 32 15 (USCGS). $D_c = 150,5^{\circ}$ ; Az = $13^{\circ}$ .
	✓ ei	52 19,6	
4	✓ iP	04 06 44,1	C. Mer d'Arabie $14^{\circ}3/4N$ , $53^{\circ}1/2E$ ; H = 03 58,1 (BCIS). $D_c = 47,3^{\circ}$ ; Az = $124^{\circ}$ .
	✓ ei	06 56,6	
	✓ ei	07 09	
	✓ ei	08 49,0	
4	✓ eiP	08 08 11,3	C. Kouriles $46^{\circ}1/2N$ , $151^{\circ}E$ . H = 07 56 27, h = 100 km ca (USCGS et BCIS). $D_c = 76,5^{\circ}$ ; Az = $29^{\circ}$ .
	✓ ei	08 24	
4	✓ eiP	23 18 53,5	Région Crète $35^{\circ}1/4N$ , $28^{\circ}1/2E$ . H = 23 14 40 (BCIS). $D_c = 18,0^{\circ}$ ; Az = $140^{\circ}$ . LmV: 11 s, 1 $\mu$ .
	✓ ei	19 05	
	✓ ei	19 22	
	✓ Lm	26,5	
5	✓ ei	00 36 05	Traces.
5	✓ eP	00 49 56	e 50 10.
5	✓ eiP	08 25 49,0	Mer d'Arabie $14^{\circ}N$ , $51^{\circ}1/2E$ . H = 08 17 16 (BCIS). $D_c = 46,6^{\circ}$ ; Az = $127^{\circ}$ . ei 26 03,5, ei 26 26.
	✓ eiPP	27 29,5	
5	✓ ei } PKP	10 06 24,8	C. W. S. Région des îles Loyauté $22^{\circ}S$ , $171^{\circ}1/2E$ ; H = 09 46 42 (USCGS). Magnitude: $6^1/2 - 6^3/4$ Pasadena.
	✓ i }	06 28,5	
	✓ eiPKS	09 53	$D_c = 146,6^{\circ}$ ; Az = $43^{\circ}$ . PKPH: 1,5 s, 4,5 $\mu$ ; PKPV: 3,6 s, 2,3 $\mu$ .
	✓ eiPP	10 45	
5	✓ ei(P)	14 14 31,7	ei 14 50.
6	✓ eiP	04 20 44,5	Données discordantes (BCIS). ei 21 07.
6	✓ ei	04 59 12	Traces. Epicentre probablement dans la région des îles Bonin. Données insuffisantes (BCIS).
6	✓ eiP	12 17 45,5	Iles Aléoutiennes $52^{\circ}N$ , $168^{\circ}W$ ; H = 12 05 36 (BCIS). $D_c = 78,6^{\circ}$ ; Az = $1^{\circ}$ .
	✓ ei	17 58	
6	✓ eiP	12 41 39,0	C. Iles Kouriles $47^{\circ}1/2N$ , $153^{\circ}1/2E$ ; H = 12 29 45 (USCGS). Magnitude: $5^1/2$ Matsushiro. $D_c = 75,3^{\circ}$ ; Az = $27^{\circ}$ .
	✓ ei	41 51	



Date	Phase	h m s	Remarques
6	✓ eiP ✗ ei	14 32 36,5 32 47,5	Turquie 36° <sup>3</sup> / <sub>4</sub> N, 29° <sup>1</sup> / <sub>2</sub> E; H = 14 28 35 (BCIS). D <sub>c</sub> = 17,1°; Az = 135°.
6	✗ ei	14 42 03	Traces.
6	✓ eiPP ✗ ei	15 05 32 05 45,5	Java 7° <sup>1</sup> / <sub>2</sub> S, 105° <sup>1</sup> / <sub>2</sub> E; H = 14 48 03 (USCGS). Magnitude 5 <sup>1</sup> / <sub>4</sub> -5 <sup>1</sup> / <sub>2</sub> Matsushiro. D <sub>c</sub> = 96,3°, Az = 94°.
7	✗ eiPKP ✗ ei	02 45 15,0 45 21,4	Région îles Tonga 18°S, 178°W; H = 02 25 36 (BCIS). D <sub>c</sub> = 147,0°; Az = 22°.
7	✓ eiP ✗ ei	05 20 25,5 20 45	C. Iran 27°W, 53° <sup>3</sup> / <sub>4</sub> E; H = 05 13 05 (BCIS). D <sub>c</sub> = 37,6°; Az = 111°, ei 22 45.
7	✗ eiPg ✗ eiSg	12 59 58,1 13 00 12,6	D = 1°. Lm 00 20.
7	✓ eiP ✗ ei ✗ ei	22 25 58,0 26 08 27 08	C. SW de la Turquie 37,0°N, 29,3°E; H = 22 21 58 (BCIS). MLH: 4,1 ca. D <sub>c</sub> = 16,8°; Az = 135°. PV: 2 s, 1 μ; LmE: 16 s, 1 μ. L 30,8, Lm 32.
8	✓ eiP ✓ ePP ✓ iS ✓ esS ✓ eSS ✗ Q ✗ R	01 44 51,5 47 23 53 49,0 54 38 58 13 02 01,7 05 08	Petites Antilles 15° <sup>1</sup> / <sub>2</sub> N, 61°W; H = 01 33 48, h = 100 km ca (USCGS). Magnitude: 6 <sup>1</sup> / <sub>2</sub> -6 <sup>3</sup> / <sub>4</sub> Pasadena, MLH = 6,1 Prù- honice. D = 69°; D <sub>c</sub> = 69,1°; Az = 270°. ei 01 45 50,0, Qm 02 04,5, Rm 06,7, QmN: 26 s, 4 μ; RmH: 15 s, 22, μ.
8	✗ e	09 23 34	Traces.
9	✓ eiP ✓ eS ✗ L ✗ Lm ✗ Lm	01 58 32,8 02 01 14 03 30 02 04 05,0	Grèce 36° <sup>1</sup> / <sub>4</sub> N, 21° <sup>1</sup> / <sub>2</sub> E; H = 01 55 04 (BCIS). Magnitude: 5 <sup>1</sup> / <sub>2</sub> Athènes, 4,7 Praha, MLH = 5,2 Prùhonice. LmH: 15 s, 12 μ. LmN: 12 s, 3,5 μ; LmV: 10 s, 4 μ. D = 14,5°, D <sub>c</sub> = 14,7°; Az = 157°.
9	✗ ei	09 00 27,8	Traces.
9	✗ e	09 07 41	Traces. ei 07 46.
9	✗ ei	11 59 33,4	ei 56 36.
9	✗ ei	15 57 08,6	Traces.

Date	Phase	h m s	Remarques
9	✗ eiP	16 41 46,0	ei 41 59.
10	✗ eiP ✗ ei	01 04 06 40 28	Ile de Rhodes 35°N, 28° <sup>1</sup> / <sub>2</sub> E; H = 01 35 53 (BCIS). D <sub>c</sub> = 18,1°; Az = 140°.
10	✗ ei	02 21 55	Traces.
10	✗ e ✗ eiSg	06 05 17 05 49	Explosion à 65 km ca au NW de Halle. H = 06 04 13 (BCIS). ei 05 57.
10	✗ e	10 43 00,5	ei 10 43 33,5, ei 43 41.
10	✗ e	12 54 55	ei 12 55 17,6.
11	✗ e	01 26 44	Traces.
11	✓ eiP ✗ L ✗ Lm	04 31 27 36,5 37,5	C. Turquie 36° <sup>3</sup> / <sub>4</sub> N, 29° <sup>1</sup> / <sub>2</sub> E; H = 04 27 24 (BCIS). MLH = 4,3 Prùhonice, 4 <sup>3</sup> / <sub>4</sub> Praha. D <sub>c</sub> = 17,2°, Az = 135°. LmH: 13 s, 1 μ. ei 31 38,5, ei 35 04.
11	✓ eiP ✓ eipP	07 35 12 36 04	Quatemala 15°N, 90°W; H = 07 22 40, h = 200 km (USCGS). Magnitude 5,7 Tacubaya. D <sub>c</sub> = 87,7°; Az = 291°.
11	✗ eiPKP ✗ e	13 45 55,8 46 12	Iles Tonga 21°S, 174° <sup>1</sup> / <sub>2</sub> W; H = 13 26 00 (USCGS). D <sub>c</sub> = 150,5°, Az = 17°.
11	✗ eiP	16 52 26,7	Traces. Chine 37°N, 79°E; H = 16 43 46 (USCGS). D <sub>c</sub> = 47,2°, Az = 80°.
12	✗ ei	03 44 52	ei 03 44 58.
12	✓ eiP ✗ ei	14 28 19 28 33,5	Japon 34°N, 146°E; H = 14 16 28, h = 100 km ca (USCGS et BCIS). Magnitude 5,5 Matsushiro. D <sub>c</sub> = 77,5°; Az = 33°.
12	✗ e	22 20 13	Traces.
13	✗ e ✗ eL ✗ Lm	01 43 31 02 06 23	Iles Mariannes 13° <sup>1</sup> / <sub>2</sub> N, 146°E; H = 01 15 25 (USCGS). Magnitude: 6 <sup>3</sup> / <sub>4</sub> Pasadena, MLH = 6 Prùhonice. D <sub>c</sub> = 103,9° Az = 49°. LmH: 18 s, 2,3 μ; LmV: 15 s, 1,5 μ.
13	✓ eiP ✗ ei	07 32 56,5 33 16	Iles Aléoutiennes 53°N, 167° <sup>1</sup> / <sub>2</sub> W; H = 07 20 58 (USCGS et BCIS). D <sub>c</sub> = 77,6°; Az = 1°.
13	✓ eiP ✓ ei	07 46 36,5 47 44,5	Sumatra 3°S, 102°E; H = 07 33 43, h = 150 km ca (USCGS) Magnitude: 6 Matsushiro. D <sub>c</sub> = 90,6°; Az = 94°.



Date	Phase	h m s	Remarques
✓ 13	eiP eipP	08 46 53,5 47 12,8	Costa-Rica 9°N, 83 <sup>1</sup> / <sub>2</sub> W; H = 08 34 08, h = 100 km ca (USCGS). D <sub>c</sub> = 88,3°; Az = 282°. ei 47 45.
14	eiP ei	13 19 21 19 26,3	Japon 33 <sup>1</sup> / <sub>4</sub> N, 140 <sup>1</sup> / <sub>4</sub> E; H = 13 06 50 (BCIS). D <sub>c</sub> = 84,2; Az = 43°.
✓ 14	eiPKP ei	13 36 20,0 36 28	D. Région îles Fidji 21°S, 179°W; H = 13 17 39, h = 650 km cs. (USCGS). D <sub>c</sub> = 149,2°; Az = 25°.
15	ei	11 23 18	Traces.
15	eiP e	15 51 45 51 53	S. Îles Riou-Kiou 27°N, 128°E; H = 15 39 12 (USCGS). D <sub>c</sub> = 83,4°; Az = 55°.
✓ 15	eiPKP <sub>1</sub> iPKP <sub>2</sub> eipPKP <sub>1</sub> eiPP	21 39 32 39 46,5 41 32 43 26	D. Sud des îles Fidji 25 <sup>1</sup> / <sub>2</sub> S, 180°; H = 21 20 26, h = 500 km (USCGS). D <sub>c</sub> = 152,5°; Az = 30°.
✓ 16	iP ei eiPPS eiSS	01 43 24,7 45 27 54 23 58 25	C. Îles Aléoutiennes 52°N, 171°W; H = 01 31 25, h = 60 km ca (USCGS). Magnitude: MLH = 5,9 Prùhonice, 6,2 Uppsala, Kiruna. D <sub>c</sub> = 79° ca; D <sub>c</sub> = 77,8°; Az = 3°. LmH: 20 s, 2,2 μ; LmV: 20 s, 2 μ. eL 02 10,8, Lm 22.
16	iPg i } Sg ei }	08 29 39 9 30 01,0 30 04,5	Explosion 13,1 tonnes 49°00,4'N, 16°21,2'E; H = 00 22 10,0. D <sub>c</sub> = 1,5°. Lm 30 11,5.
16	iPKP i	11 11 37,5 11 43	C. Îles Loyauté 22°S, 170°E; H = 10 51 52 (USCGS). Magnitude 5 <sup>1</sup> / <sub>4</sub> Wellington. D <sub>c</sub> = 146,0°; Az = 44°.
16	eiPg iSg	12 59 44 13 00 05,7	Explosion 15,8 tonnes 49°12,5'N, 16°42,2'E; H = 12 59 12,5. D <sub>c</sub> = 1,6°. i 13 00 11,5, Lm 00 17.
16	eiPKP ei	17 36 50 37 06	Îles Tonga 20°S, 174 <sup>1</sup> / <sub>2</sub> W; H = 15 17 01 (BCIS). D <sub>c</sub> = 149,5°; Az = 16°.
16	ei	15 30 13	Traces.
✓ 16	eiP i e(S) eL	17 02 22 02 25,4 12 10 30,6	Îles Charlotte 52°N, 131 <sup>1</sup> / <sub>2</sub> W; H = 16 50 40 (USCGS). MLH = 5,4 Prùhonice. D <sub>c</sub> = 73,9°; Az = 339°. LmV: 19 s, 2 μ; LmN: 19 s, 1 μ; LmE: 18 s, 1 μ. ei 17 03 09, ei 03 43, Lm 34, Lm 44.

Date	Phase	h m s	Remarques
16	eiPn eiPb iPg eiX <sub>2</sub> eiSn eiSb <sub>2</sub> i } Sg i }	18 10 41 10 55 11 06,7 11 26 11 43 12 11 12 17,5 12 24,5	Effondrement dans une mine de fer à Roncourt Moselle 49°12'24"N; 6°01'54"E; H = 18 09 16,9 (Strasbourg). Magnitude 4,6 Prùhonice. D = 5,4°; D <sub>c</sub> = 5,6°; Az = 268°. ei 18 10 48, ei 11 21, Lm 12 35. LmH: 2 s, 1,4 μ.
17	eP e	07 58 10 58 20	Au large SE de l'île de Rhodos 35 <sup>1</sup> / <sub>2</sub> N, 28 <sup>1</sup> / <sub>2</sub> E; H = 07 53 59 (BCIS). D <sub>c</sub> = 17,7°; Az = 139°. ei 58 30.
✓ 17	eiP e	09 38 03 38 15	Mindanao 10 <sup>1</sup> / <sub>2</sub> N, 126°E; H = 09 24 35 (USCGS). D <sub>c</sub> = 95,5°; Az = 66°.
17	ei	10 24 39	Traces.
17	eiP	10 29 23,5	Traces. Îles Kouriles 45 <sup>1</sup> / <sub>2</sub> N, 153°E; H = 10 17 19 (USCGS). D <sub>c</sub> = 78,2°; Az = 29°.
17	iP	12 28 55	
18	e	09 57 14	Traces.
18	e	11 55 40,5	Traces.
✓ 18	eiPKP ei	15 00 06,8 00 45,5	Région Nouvelle Bretagne 5°S, 152 <sup>1</sup> / <sub>2</sub> E; H = 14 41 06 (USCGS et BCIS). Magnitude 5 <sup>3</sup> / <sub>4</sub> Wellington. D <sub>c</sub> = 122,9°; Az = 52°.
18	eiP	16 00 14,8	Traces. Îles Aléoutiennes 52°N, 166 <sup>1</sup> / <sub>2</sub> W; H = 15 48 18 (USCGS). D <sub>c</sub> = 78,7°; Az = 1°.
18	ei	16 36 19,5	Traces.
✓ 18	ePKP	19 44 47	Traces. Région Nouvelle Bretagne 5°S, 152 <sup>1</sup> / <sub>2</sub> E; H = 19 25 45 (USCGS). D <sub>c</sub> = 122,9°; Az = 52°.
18	ei	21 15 25,8	ei 15 32,5.
✓ 18	ei } PKP <sub>1</sub> i } eiPKP <sub>2</sub> ipPKP eiPP eipPP	22 42 08,3 42 12,5 42 33,5 44 04,0 45 39 47 24	C. h = 500 km. Îles Fidji 19°S, 178°W; H = 22 23 15, h = 450 km ca (USCGS). Magnitude 6 <sup>1</sup> / <sub>4</sub> Pasadena. D <sub>c</sub> = 147,5°; Az = 22°. ei 22 47 41.



Date	Phase	h m s	Remarques
19	X eiP	02 15 50,5	ei 16 06.
19	X eiP	02 20 51	ei 20 57.
19	X iP X ei	08 25 15,3 25 41,6	C. Japon 30°N, 132°E; H = 08 12 47, h = 60 km ca (JMA Japan et BCIS). $D_c = 82,8^\circ$ ; Az = 50°.
19	X eiP	11 09 03,5	Traces.
20	X ePn X eiPg X eiSg	10 42 05,3 42 08,3 42 39,5	D = 2,2°. Faible. ei 10 42 48,5.
20	X ei	11 39 56,1	Traces.
20	X e	13 08 55	ei 09 17,5.
20	X eiP X ei	20 44 52,5 44 54,5	Turquie 36,7°N, 28,7°E; H = 20 40 50 (BCIS). $D_c = 16,7^\circ$ ; Az = 137°.
21	X ei	09 17 28	Traces.
21	X eiP X ei	11 20 48,5 20 59	D. Philippines 19°S, 120°E; H = 11 08 10 (USCGS et BCIS). $D_c = 114,1^\circ$ ; Az = 91°.
21	X ei	12 36 13,8	Traces.
21	X eiP X ei X eiPcP	14 06 06,4 06 18,4 07 37	C. Région de l'île Socotra 13°N, 52°E; H = 13 57 25 (USCGS et BCIS). $D_c = 47,8^\circ$ ; Az = 127°.
21	X ei	18 56 29	Traces.
22	X eiP X e	04 40 58,5 41 08	Sud de la Mer Egée 37°N, 26°E; H = 04 37 14 (BCIS). $D_c = 15,4^\circ$ ; Az = 143°.
22	X iP X eiPP X eiPPP X eiS X eiPS X eiSS X eSSS	05 22 43,4 26 01 27 49,5 32 55,2 35 53 38 07 41 40	C. S. W. Japon 37°55'N, 142°35'E; H = 05 10 28 (JMA Japan et BCIS). Magnitude: 7,5 Praha, 7 $\frac{1}{2}$ Moskva, 6 $\frac{3}{4}$ -7 Pasadena, MLH = 7,5, MPH = 6,6, MSH = 7,4 Prùhonice. D = 82°; $D_c = 81,4^\circ$ ; Az = 39°. PH: 16 s, 5,2 $\mu$ ; SH: 18 s, 40 $\mu$ ; LmE: 24 s, 190 $\mu$ ; LmH: 18 s, 85 $\mu$ .

Date	Phase	h m s	Remarques
22	X eiP X ei	07 45 11,5 45 21,7	Japon 43° $\frac{1}{2}$ N, 144° $\frac{1}{2}$ E; H = 07 33 14 (USCGS et BCIS). $D_c = 77,9^\circ$ ; Az = 35°.
22	X e	09 02 41,5	ei 09 02 44,0. Traces.
22	X eiP X eiPcP X eiPP X eL	09 58 54,2 59 03,5 10 01 50 31,5	C. Japon 38° $\frac{1}{2}$ N, 142°E; H = 09 46 40 (USCGS). Magnitude 5,8 Matsushiro, MLH = 5,5 Prùhonice. $D_c = 80,7^\circ$ ; Az = 39°. LmN: 15 s, 1 $\mu$ ; LmV: 15 s, 1 $\mu$ . Lm 38,5.
22	X ei	12 31 30,5	Traces.
23	X eiP e	08 00 42,7 00 51,5	C. Atlantique Sud. Données peu concordantes (BCIS).
23	X ei	11 22 55,0	Traces.
23	X ei	12 13 59	Traces.
23	X eiP	12 34 28,0	ei 12 34 39,5
23	X iP	17 28 07,0	C. ei 17 28 14.
24	X ePKP X ei	00 48 38 48 44	Région îles Kermadec. Données peu concordantes (BCIS).
24	X eiP X eipP X eiS X eisS X eL	05 20 44,0 21 06,0 30 49,5 31 17 49	C. h. = 80 km. Japon 37° $\frac{1}{2}$ N, 141°E; H = 05 08 35, h = 100 km ca (USCGS et BCIS). Magnitude: 6,4 Uppsala-Kiruna, 5,1 Matsushiro, MLH = 5,9 Prùhonice. D = 83°; $D_c = 81,1^\circ$ ; Az = 40°. ei 05 23 20,8, Lm 59,3, Lm 06 00,0. LmH: 19 s, 1,4 $\mu$ .
24	X eiP	06 31 54,3	ei 06 31 39, ei 32 05,5.
24	X iPn X eiPg X eiSg	07 31 16,5 31 17,8 31 32	D. Explosion 5,9 tonnes. 50°56,5'N, 15°08'E, $D_c = 1^\circ$ . i 31 29,0, ei (X <sub>2</sub> ) 31 34.
24	X iPg X iSg	10 30 06,3 30 07,7	Explosion 3 tonnes 49°57,3'N, 14°23,4'E; H = 10 30 04. $D_c = 11$ km. Lm 30 09.
24	X ei	10 43 45	ei 10 44 19.
24	X ei	12 17 13	Traces.



Date	Phase	h m s	Remarques
24	eiPg	12 58 37,7	D = 1,6°. Explosion (Jena).
	i}Sg	58 59	
	j}Sg	59 00	
24	eS	16 01 20	Traces. Région Rhodes 36° <sup>1</sup> / <sub>2</sub> N, 28° <sup>3</sup> / <sub>4</sub> E; H = 15 54 02 (BCIS). D <sub>c</sub> = 18,2°; Az = 139°.
	ei	01 21,5	
24	eiPKP	16 11 24,3	D. Région îles Tonga 17° <sup>1</sup> / <sub>2</sub> S, 175°W; H = 15 51 47, h = 100 km ca. (USCGS). D <sub>c</sub> = 146,7°; Az = 16°.
	eisPKP	12 05,5	
24	eiP	20 01 29,5	(C). Açores 37° <sup>1</sup> / <sub>2</sub> N, 24° <sup>1</sup> / <sub>2</sub> W; H = 19 55 14 (USCGS et BCIS). Magnitude: 6 <sup>1</sup> / <sub>4</sub> -6 <sup>1</sup> / <sub>2</sub> Pasadena, 6 Praha, Moskva, MLH = 5,9 Průhonice. D = 32°; D <sub>c</sub> = 30,0°; Az = 261°.
	eiPP	02 33,8	
	eiL	08,4	
	Lm	16,5	
25	eiPn	05 37(20)	P int min. manquent. Apennin ligne 44,8°N, 9,5°E; H = 05 35 40 (BCIS). D = 6° ca; D <sub>c</sub> = 6,2°; Az = 216°. Lm 39,7.
	eiSn	38 18	
	eiSg	39 12	
26-28			les appareils hors de fonctionnement.
28	eiP	10 00 36	ei 10 00 42,4. Traces.
28	ei	12 58 44,5	Traces.
28	eiP	14 11 45,0	Traces. Japon 28° <sup>1</sup> / <sub>2</sub> N, 138°E; H = 13 59 53; h = 550 km ca (USCGS et BCIS). Magnitude 5 <sup>1</sup> / <sub>4</sub> Matsushiro. D <sub>c</sub> = 87,1°; Az = 47°.
28	ei	22 24 15,5	Traces. Epicentre probablement dans le centre de la Suisse. Pas de données macroséismiques (BCIS).
29	e	06 52 20	Açores 37° <sup>1</sup> / <sub>2</sub> N, 24° <sup>1</sup> / <sub>2</sub> W; H = 06 45 36 (BCIS). LmH: 19 s, 2,2 μ. MLH = 5,1 Průhonice. D <sub>c</sub> = 30,0; Az = 261°.
	ei	52 33	
29	eiPn	09 46 28,5	Faible. ei 09 46 59,5. D = 2,1°.
	eiSg	46.59,5	
29	e(Pn)	13 16 11	Faible. D = 2,6°.
	eiSn	16 41	
	eiSg	16 53,5	

Date	Phase	h m s	Remarques
29	ei	20 33 29,5	Îles Aléoutiennes 52°N, 174°W; H = 20 21 27 (USCGS et BCIS). Magnitude: 5 <sup>3</sup> / <sub>4</sub> -6 Pasadena. D <sub>c</sub> = 78,4°; Az = 5°.
	ei	33 55,2	
29	eiP	21 10 20,5	C. Îles Aléoutiennes 52°N. Magnitude 5 <sup>1</sup> / <sub>2</sub> Pasadena. D <sub>c</sub> = 78,4°; Az = 5°.
	ei	10 36,5	
29	eiP	23 29 20,5	Au large de la côte de Norvège 71°N, 8°E; H = 23 24 30 (USCGS et BCIS). Magnitude: 5,9 Praha, 6 Moskva, MLH: 5,7 Průhonice. D = 22°; D <sub>c</sub> = 21,2°, Az = 354°. i 23 29 24,7, ei 29 35, ei 30 26,5, ei 31 23,0, ei 34 52, QmH: 20 s, 10,3 μ; QmH: 20 s, 10,3 μ; RmH: 12 s, 9,5 μ; RmV: 12 s, 7 μ.
	eiS	33 17,3	
	Q	35 32	
	Qm	36,7	
	Rm	38,8	
30	ePP	00 40 56	Îles Salomon 10°S, 161°E; H = 00 19 25 (USCGS). Magnitude: 6 <sup>3</sup> / <sub>4</sub> Pasadena, MLH = 6,1 Průhonice. D <sub>c</sub> = 131,4°; Az = 47°.
	ei	42 06,5	
	eL	01 32	
	Lm	36	
30	ei	11 57 35,0	Traces.
30	ei	13 41 41,5	Traces.
30	eiP	13 53 07	Traces. Pamir 37° <sup>1</sup> / <sub>2</sub> N, 73° <sup>1</sup> / <sub>4</sub> E; H = 13 44 49, h = 150 km ca (Quetta). D <sub>c</sub> = 43,1°; Az = 83°.
	ei	53 33	
30	eiPKP <sub>1</sub>	18 28 54,9	Îles Kermadec 31°S, 179°W; H = 18 09 02 (USCGS). D <sub>c</sub> = 158,9°; Az = 33°. ei 18 29 07,7, ei 29 48, ei 31 29,5.
	iPKP <sub>2</sub>	29 32,5	
	eiPP	33 14	
30	ei	20 45 23,5	Traces.
30	eiP	20 50 53,4	(D.) Japon 43°26'N, 144°23'E; H = 20 38 59 (JMA Japon). Magnitude: 5 <sup>3</sup> / <sub>4</sub> -6 Pasadena, 6 <sup>1</sup> / <sub>2</sub> Moskva, MLH = 6,7 Průhonice. D = 78,5°; D <sub>c</sub> = 77,1°; Az = 34°. QmH: 29 s, 19 μ; RmH: 18 s, 17 μ; RmV: 17 s, 13 μ.
	i	50 59,8	
	eiS	21 00 45	
	Q	16	
	Qm	20	
	Rn	22,8	
	Rm	28	
30	iP	22 28 44,5	D. Japon 43°45'N, 144,4°E; H = 22 16 47 (JMA Japon). Magnitude: 6,8 Praha, 6,5 Uppsala, Kiruna, Moskva. MLH = 6,9 Průhonice. D = 78°; D <sub>c</sub> = 76,8°; Az = 34°.
	eiS	38 36,0	
	Q	54	
	Qm	58,5	
	Rm	23 00,7	
	Rm	05,5	



Date	Phase	h m s	Remarques
31	ei	12 57 48,0	Traces.
31	eiP	23 10 44,5	Iles Kouriles 44°N, 147° <sup>1</sup> / <sub>2</sub> E; H = 22 58 46 (BCIS).
	ei	10 51	D <sub>c</sub> = 77,6°; Az = 32°.

## Février 1959

Date	Phase	h m s	Remarques
1	eiP eipP	03 21 07,0 21 51	Hindou-Kouch 36° <sup>1</sup> / <sub>2</sub> N, 71° <sup>1</sup> / <sub>2</sub> E; H = 03 13 31, h = 250 km (BCIS). D <sub>c</sub> = 42,5°; Az = 86°. ei 21 24,8, ei 22 56.
1	iP	03 26 22,1	Traces.
1	ei ei	04 26 31,5 26 44,5	Région de l'île Ascension 7°S, 12° <sup>1</sup> / <sub>2</sub> W; H = 04 16 12 (USCGS et BCIS). D <sub>c</sub> = 61,2°; Az = 211°.
1	eiPKP	08 58 58	C. Iles Fidji 17° <sup>1</sup> / <sub>2</sub> S, 178°W; H = 08 39 22 (BCIS). D <sub>c</sub> = 146,2°; Az = 21°.
1	eiPKP	08 58 58	C. Iles Fidji 17° <sup>1</sup> / <sub>2</sub> S, 178°W; H = 08 39 22 (BCIS). D <sub>c</sub> = 146,2°; Az = 21°.
2	ei	11 10 17	Traces.
2	eiP	12 00 12,0	ei 00 16.
2	eiP ei	19 24 32,5 24 35,7	Région Crête 35,0°N, 24,2°E; H = 19 20 39 (BCIS). D <sub>c</sub> = 16,5°; Az = 151°. ei 24 52,2, ei 25 17.
5	iP eiPcP	01 16 13,2 16 33	Alaska 57°N, 157°W; H = 01 04 46 (BCIS). D <sub>c</sub> = 73,3; Az = 355°. ei 16 20, ei 18 36.
5	eiP eiPP	10 18 02,5 21 09	Japon 37°N, 141° <sup>1</sup> / <sub>2</sub> E; H = 10 05 42 (USCGS). D <sub>c</sub> = 81,8°; Az = 40°. ei 18 14,2, ei 18,28.
5	ei	12 55 34	Traces.
6	eiP Lm	07 31 24,8 08 03,5	Japon 43° <sup>1</sup> / <sub>2</sub> N, 144° <sup>1</sup> / <sub>2</sub> E; H = 07 19 27 (USCGS). D <sub>c</sub> = 77,6°; Az = 35°. ei 31 34,5.
6	ei	11 00 13,8	ei 00 32.

Date	Phase	h m s	Remarques
6	iP	14 03 58,0	D.
6	eP eiPP ePS ePPS Lm Lm	14 45 03 48 03,5 55 36 56 07 15 15 20,3	Iles Aléoutiennes 51°N, 175° <sup>1</sup> / <sub>2</sub> W; H = 14 33 02, h = 60 km (USCGS). Magnitude: 6,3 Praha, 6 Pasadena, MLH = 5,8 Prùhonice. D = 79° ca; D <sub>c</sub> = 78,6°; Az = 6°. ei 14 45 14,2, ei 45 39. LmH: 27 s, 3,1 μ; LmH: 22 s, 2,9 μ; LmV: 22 s, 2,2 μ.
7	ePg eiSn eiSg Lm	07 50 28,7 50 57,6 51 15,5 51 20	Alpes carniques 46,6°N, 13,1°E; H = 07 49 15 (BCIS). D = 3,7°; D <sub>c</sub> = 3,4°; Az = 198°. ei 07 50 36, ei 51 13.
7	eiP iPP eiSKS eiS iPS ij eiPKKP i eiSS eiPP	09 50 25,6 54 38 10 01 03,5 01 48,5 03 00,5 03 09,0 07 09,5 07 15,0 08 25 15 21,5	C. Pérou 4°S, 81° <sup>1</sup> / <sub>2</sub> W; H = 09 36 51 (USCGS et BCIS). Magnitude: 7° <sup>1</sup> / <sub>4</sub> -7° <sup>1</sup> / <sub>2</sub> Pasadena, 7° <sup>1</sup> / <sub>4</sub> Praha, Strasbourg, MLH = 7 Prùhonice. D = 99°; D <sub>c</sub> = 96,7°; Az = 273°. LmH: 21 s, 28 μ; LmV: 21 s, 35 μ. ei 09 51 29,5, ei 54 22, ei 10 02 00,5, ei 07 45,5, ei 15 34, L 18, Lm 31.
7	eiP ePcP	11 03 15,2 03 56,5	Océan Atlantique 13°N, 45°W; H = 10 52 58 (BCIS). D <sub>c</sub> = 60,5°; Az = 255°.
7	ei	12 53 24,5	Traces. ei 53 46.
7	eiP ei eiS ei Lm	20 11 28,0 11 39 13 55 14 03 16,4	Grèce 37,7°N, 20,7°E; H = 20 08 17 (BCIS). Magnitude: 4° <sup>1</sup> / <sub>2</sub> Praha, 4° <sup>3</sup> / <sub>4</sub> -5 Athènes, MLH = 4,6 Prùhonice. D = 13,2°; D <sub>c</sub> = 13,0°; Az = 157°. ei 20 12 57; LmH: 14 s, 2,2 μ.
8	eiP eiPPP e eiNS eL Lm	01 08 15,5 09 13 12 42 12 52 16 18	Nord de l'Océan Atlantique 48° <sup>3</sup> / <sub>4</sub> N, 28° <sup>1</sup> / <sub>2</sub> W; H = 01 02 24 (BCIS). Magnitude 6° <sup>1</sup> / <sub>4</sub> -6° <sup>1</sup> / <sub>2</sub> Pasadena, 5,6 Praha, MLH = 5,6 Prùhonice. D = 27,5°; D <sub>c</sub> = 27,7°; Az = 281°. ei 01 08 32,5, ei 13 11; LmH: 18 s, 12 μ.



Date	Phase	h m s	Remarques
8	✓ eiPKP ✓ ei ✓ eipPKP	06 05 07,1 05 09,5 07 20,5	Iles Fidji 23°S, 180°; H = 05 46 15, h = 600 km ca (USCGS). Magnitude: 6 $\frac{1}{2}$ Wellington. D <sub>c</sub> = 150,7°; Az = 27°.
8	✗ iPg ✗ ei ✗ iSg	13 00 12,7 00 25 00 31,0	Explosion? Frontière Bohême-Saxonie (Prùhonice). D = 1,3°.
8	✗ eiPKP ✗ ei	16 14 38,8 14 50	Iles Kermadec 32°S, 176° $\frac{1}{2}$ W; H = 15 54 06, h = 100 km ca (USCGS). D <sub>c</sub> = 160,2°; Az = 29°.
9	✓ eiP ✓ eiPP ✓ eiS ✗ eiL ✗ Lm	04 54 44,5 57 46,5 05 04 50 23 31,5	Iles Aléoutiennes 50° $\frac{1}{2}$ N, 177° $\frac{1}{2}$ W; H = 04 42 33 (USCGS). Magnitude: 6,7 Quetta, 6,3 Uppsala, Kiruna. D = 81°; D <sub>c</sub> = 78,7°; Az = 7°. ei 04 54 58,5, ei 05 05 11.
9	✓ ePKP ✓ epPKP	21 32 11 32 37	Région des îles Salomon 5°S, 154°E; H = 21 13 18, h = 100 (km ca (USCGS). Magnitude: 6 $\frac{1}{2}$ Wellington. D <sub>c</sub> = 123,6°, Az = 51°.
10	✗ eiSg ✗ ei	07 22 21,5 22 36	Suisse 47,2°N, 9,2°E; H = 07 19 53 (Zürich). D <sub>c</sub> = 4,7°; Az = 233°.
10	✗ eiPg ✗ eiSn	07 51 51,0 52 46	Italie, vers 42° $\frac{1}{2}$ N, 13° $\frac{1}{2}$ E; H = 07 49,7 (BCIS). D = 8,1°; D <sub>c</sub> = 7,5°; Az = 186°. e 07 52 19, ei 53 12.
10	✗ eiP	12 59 05,5	ei 59 19,2.
10	✗ eiSg ✗ ei	22 45 24 45 49	A 50 km ca à l'E de Wien. 48,3°N, 16,9°E. Ressenti IV-V à Baumgarten (Wien). D <sub>c</sub> = 2,2°; Az = 137°.
11	✗ eiPg ✗ eiSg ✗ Lm	08 45 41,8 45 44,4 45 49,8	D. Explosion 4,4 tonnes 50°10,5'N, 14°23,8'E. D = 25 km.
11	✓ i ✓ eiP ✗ ei	11 00 48,5 14 05 23,5 05 29,5	C. Mexique 16°N, 97°W; H = 13 52 13 (USCGS). Magnitude: 6 Pasadena. D <sub>c</sub> = 91,0°; Az = 297°.
11	✗ eiPKP ✗ ei	21 56 27,0 56 39	C. Région îles Samoa 15°S, 173° $\frac{1}{2}$ W; H = 21 36 46 (USCGS) D <sub>c</sub> = 144,2°; Az = 13°.
12	✗ eiPKP	00 21 09	Traces. Région îles Fidji. Données peu concordantes (BCIS).

Date	Phase	h m s	Remarques
12	✓ iPKP <sub>1</sub> ✓ eiPKP <sub>2</sub> ✗ ei	17 22 57,5 23 07,5 23 24,5	C. Région îles Loyauté 22°S, 173°E; H = 17 03 10 (USCGS). Magnitude 5 $\frac{1}{2}$ -6 Wellington. D <sub>c</sub> = 147,3°; Az = 39°. e 24 04.
12	✗ eiPKP	19 10 19,5	Mindanao, Philippines 7° $\frac{1}{2}$ N, 126°E; H = 17 56 40 (USCGS) D <sub>c</sub> = 97,8°; Az = 68°.
13	✗ eiPKP ✗ ei	02 04 52,5 06 44	C. 1000 km ca au SW des îles Tonga vers 26° $\frac{1}{2}$ S, 176° $\frac{1}{2}$ W; H = 01 45,0 (BCIS). D <sub>c</sub> = 155,1°; Az = 24°.
13	✗ ei	13 27 14,0	ei 27 22,5.
13	✗ ei	14 55 41,5	Traces.
13	✓ eiPKP ✗ ei	15 28 10,7 28 21,5	Région îles Tonga 20°S, 177° $\frac{1}{2}$ W; H = 15 09 05, h = 400 km ca (USCGS). D <sub>c</sub> = 149,0°; Az = 22°.
13	✓ ei	16 16 51,7	
14	✗ eiPg ✗ eiSn ✗ eiEg	02 58 56,0 59 18 59 34,1	Haute Silésie (Raciborz) vers 50°N, 19°E; H = 02 58,0 (BCIS). D = 2,9°; D <sub>c</sub> = 2,8°; Az = 88°.
14	✓ ePP	04 55 08	Traces. Mer de Flores 7° $\frac{1}{2}$ S, 122°E; H = 04 36 10 (USCGS et BCIS). Magnitude 5 $\frac{3}{4}$ -6 Wellington. D <sub>c</sub> = 106,8°; Az = = 81°.
14	✗ ei(P)	10 11 12,0	D. ei 10 11 18,5.
14	✗ ei	11 15 44	Traces. ei 11 50 50.
14	✗ ei	11 32 14,5	Traces. ei 11 32 17.
14	✗ ei	15 50 25,5	Traces.
14	✗ ei	15 52 48,5	
14	✓ eiP ✗ ei	22 21 22,5 21 27,5	C. Indes-Birmanie 28°N, 96°E; H = 22 10 43 (USCGS). D <sub>c</sub> = 63,8°; Az = 77°. ei 22 13,5.
14	✓ iP ✗ i ✓ eiPcP ✓ eiPP	22 36 27,5 36 32,5 37 07 38 48	C. Indes-Birmanie 28°N, 97°E; H = 22 25 50 (USCGS). Magnitude: 6,0 Quetta. D <sub>c</sub> = 64,4°; Az = 76°. ei 22 36 43,5, ei 39 24,0.



Date	Phase	h m s	Remarques
✓ 15	iP eiPP eSS eL X Lm	04 10 48,8 12 25 20 53 53 05 04	C. Chine 44 <sup>01</sup> / <sub>2</sub> N, 83 <sup>01</sup> / <sub>2</sub> E; H = 04 02 22 (USCGS). Magnitude 6,1 Praha, MLH = 5,7 Prùhonice. D <sub>c</sub> = 45,7°; Az = 68°. i 04 10 55,4; LMH: 19 s, 5 μ.
15	X ei	04 19 03,5	
✓ 15	ePKP ei Lm Lm	05 01 16 02 20 47 50	Iles Sandwich 59 <sup>01</sup> / <sub>2</sub> S, 26°W; H = 04 42 35 (USCGS). Magnitude: 6 <sup>3</sup> / <sub>4</sub> Pasadena, 6,6 Praha, MLH = 6,6 Prùhonice. D <sub>c</sub> = 114,1°; Az = 201°. LmH: 18 s, 7,1 μ; LmV: 17 s, 6 μ.
15	iP X ei	05 52 20,5 52 34	S. Sud de la Turquie 37°N, 31°E; H = 05 48 12 (BCIS). D <sub>c</sub> = 17,6°; Az = 131°.
✓ 16	eiP X ei	00 52 57,5 53 20	Equateur 1°S, 81 <sup>01</sup> / <sub>2</sub> W; H = 00 39 32 (USCGS et BCIS). Magnitude: 6 Wellington. D <sub>c</sub> = 94,6°; Az = 275°.
✓ 16	eiPKP i e	08 13 31,7 13 44,8 14 20	S. Sud des îles Fidji 25°S, 180°. H = 07 54 28; h = 500 km ca (USCGS). D <sub>c</sub> = 152,9°; Az = 29°.
✓ 17	iPn iPg iX <sub>2</sub> iSg Lm	01 54 48,3 54 49,1 54 56,8 55 10,0 55 12,8	D. Autriche 48,5°N, 15,5°N; H = 01 54 18 (Prùhonice). Magnitude: 3,8 Praha. D = 1,5°; D <sub>c</sub> = 1,6°; Az = 158°. i 01 54 51,0, i 55 02,8.
17	iPg iSg Lm	02 04 02,6 04 23,8 04 26,2	Réplique. H = 02 03 27 (BCIS). i 02 04 05,5, ei 04 22, Lm 04 35. D = 1,6°.
17	X ei	11 59 31,0	Traces.
17	eiP	12 14 21,5	ei 12 14 34.
17	iP eiS eiScS eL Lm	12 15 12,7 25 11 25 28 41,5 53,4	C. Aléoutiennes 51 <sup>01</sup> / <sub>2</sub> N, 171°W; H = 12 03 05 (USCGS). Magnitude: 6 <sup>3</sup> / <sub>4</sub> Praha, 6-6 <sup>1</sup> / <sub>4</sub> Pasadena. D = 80°; D <sub>c</sub> = 78,3°; Az = 3°. i 12 15 16, i 15 29,9; LmE: 20 s, 2 μ.
✓ 17	eiP ei	13 01 57,5 02 16,7	Japon 31 <sup>03</sup> / <sub>4</sub> N, 141 <sup>01</sup> / <sub>4</sub> E; H = 12 49 18, h = 60 km ca (BCIS) D <sub>c</sub> = 86,1°; Az = 43°.

Date	Phase	h m s	Remarques
17	X ei	13 13 36,5	Traces.
17	X eiP	16 02 08,6	Traces. Alaska 56°N, 158 <sup>01</sup> / <sub>2</sub> W; H = 15 50 29 (USCGS). D <sub>c</sub> = 74,4; Az = 356°.
17	X ei	16 59 16	Traces.
17	X eiSg	22 39 00,5	ei 39 12,7.
✓ 18	eiPKP ei eipPKP	02 16 25,0 16 36,9 18 20,5	D. S des îles Fidji 24°S, 179 <sup>01</sup> / <sub>2</sub> W; H = 01 57 21; h = 500 km ca (USCGS et BCIS). D <sub>c</sub> = 151,8°; Az = 27°.
18	i(P)	02 18 07,5	C.
✓ 18	iP X ei	12 17 24,7 17 51,0	C. Japon 42,1°N, 143,2°E; H = 12 05 31, h = 70 km ca (JMA Japon). D <sub>c</sub> = 78,1°; Az = 35°.
18	X ei	14 00 24,6	Traces.
19	X eiPg i i)Sg ij	09 59 46,5 59 56,5 59 57,7	Explosion 5,6 tonnes 49°11,3'N, 13°55,5'E; D <sub>c</sub> = 87,5 km. eiL 10 00 01; Lm 00 04.
19	X ei	18 30 01,5	Traces. ei 18 30 10.
19	X eiP X ei	03 26 53,0 27 14,5	Iles Kouriles 44°N, 150°E; H = 03 14 50 (BCIS). D <sub>c</sub> = 78,9°; Az = 31°.
✓ 20	eiPKP eiPP	04 31 53,3 32 13	Chili central 30 <sup>01</sup> / <sub>2</sub> S, 71°E; H = 04 12 54, h = 100 km ca (USCGS et BCIS). D <sub>c</sub> = 109,9°; Az = 246°.
20	ei(P)	04 38 22,5	ei 38 35.
20	X ei	09 02 46,5	Traces.
20	X eiPKP eipPKP	12 20 40 22 51,5	Iles Fidji 18°S, 178 <sup>01</sup> / <sub>2</sub> W; H = 12 01 57, h = 600 km ca (USCGS). D <sub>c</sub> = 146,7°; Az = 22°.
20	X ei(P)	13 03 14,5	
20	X ei(P)	14 47 12,5	ei 47 18.
✓ 20	eiP eipP	18 29 03 29 35,5	C. Guatemala 15 <sup>01</sup> / <sub>2</sub> N, 91°W; H = 18 16 22, h = 150 km ca (USCGS). D <sub>c</sub> = 88,4°; Az = 292°.



Date	Phase	h m s	Remarques
27	eiP ei	15 31 06,7 31 10	C. Epicentre probable dans Allemagne occidentale. Données insuffisantes (BCIS).
27	eiPKP ei ei	15 40 27,0 40 38,6 40 45	C. Région des îles Tonga $22^{\circ}1/2$ S; $175^{\circ}$ W; H = 15 20 27 (USCGS). $D_c = 151,7^{\circ}$ ; Az = $19^{\circ}$ .
27	iP eL Lm	21 09 01,2 40 50	C. Îles Riou-Kiou $27^{\circ}1/2$ N, $129^{\circ}$ E; H = 20 56 30 (USCGS). Magnitude: $6-6\frac{1}{4}$ Strasbourg, MLH = 6,2 Prùhonice. $D_c = 83,6^{\circ}$ ; Az = $54^{\circ}$ . ei 09 25,5, ei 10 25,5.
28	eiP ei	01 44 22,0 44 38	Aléoutiennes $53^{\circ}$ N, $168^{\circ}1/2$ W; H = 01 32 22 (USCGS). Magnitude: $5\frac{1}{2}$ Matsushiro. $D_c = 77,6^{\circ}$ ; A = $1^{\circ}$ .
28	eiPKP	06 20 25 20 37	Îles Tonga $24^{\circ}1/2$ S, $179^{\circ}1/2$ E; H = 05 59 58 (USCGS). $D_c = 152,1^{\circ}$ ; Az = $30^{\circ}$ .
28	eiPg eiSg iL Lm	07 00 20,5 00 30,0 00 33,0 00 35	Explosion 4,6 tonnes $49^{\circ}45'$ N; $15^{\circ}41'$ E; $D_c = 86$ km.
28	eiPKP	07 10 22	Traces. Région des îles Fidji $16^{\circ}1/2$ S, $177^{\circ}$ W; H = 06 50 40 (USCGS). $D_c = 145,5^{\circ}$ ; Az = $19^{\circ}$ .
28	ei	09 58 28,5	Traces.
28	eiSg ei	11 04 36,5 04 46,5	Haute Silésie vers $50^{\circ}1/4$ N, $19^{\circ}$ E; H = 11 03 03 (BCIS). $D_c = 2,8^{\circ}$ ; Az = $84^{\circ}$ .
28	eiPKP ei	12 04 05,5 04 23,3	Région îles Macquarie vers $55^{\circ}$ S, $147^{\circ}$ E; H = 11 44 05 (USCGS). Magnitude: $5\frac{3}{4}-6$ Matsushiro. $D_c = 151,2^{\circ}$ ; Az = $119^{\circ}$ .
28	eiSg ei	16 01 12,8 01 21,7	Explosion de 12 tonnes à Eschenlohe, Bavière $47^{\circ}38'$ N, $11^{\circ}38'$ N, $11^{\circ}09'$ E; H = 15 59 28 (BCIS). $D_c = 3,3^{\circ}$ ; Az = $225^{\circ}$ .
28	eiSg ei	16 07 04,4 07 16	Explosion de 8 tonnes à Eschenlohe $47^{\circ}38'$ N, $11^{\circ}09'$ E; H = 16 05 20 (BCIS). $D_c = 3,3^{\circ}$ ; Az = $225^{\circ}$ .

Date	Phase	h m s	Remarques
1	eiP iS eiSS Q Qm Rm	00 36 46,5 41 23,5 42 41,5 43 30 46 49	Océan Arctique $75^{\circ}1/2$ N, $8^{\circ}$ E; H = 00 31 14 (BCIS). Magnitude: $5\frac{3}{4}$ Matsushiro, $5\frac{1}{4}$ Strasbourg, Moskva, MLH = 5,1 Prùhonice. D = $27,5^{\circ}$ ; $D_c = 26,2^{\circ}$ ; Az = $356^{\circ}$ . QmH: 19 s, 2,9 $\mu$ ; QmV: 19 s, 5 $\mu$ ; RmH: 11 s, 1,4 $\mu$ ; RmV: 11 s, 2 $\mu$ .
1	eiP eiPP	13 05 55,4 06 11	D. Epicentre dans la région de l'île de Rhodos. Données insuffisantes (BCIS). ei 06 30,5.
1	eP eiPP e(SKKS) eiPS eiPPS eiSS eiSSS eL	17 03 42 08 12,5 14 22 17 34 18 42 23 43 27 44 40	Près de la côte N de la Nouvelle Guinée $1/2^{\circ}$ S, $134^{\circ}1/2$ E; H = 16 49 13, h = 100 km ca (USCGS). Magnitude: 7,4 Strasbourg, 7 Pasadena, MLH = 7,3 Prùhonice. D = $110^{\circ}$ ca; $D_c = 109,3^{\circ}$ ; Az = $66^{\circ}$ . e 17 07 11, ei 22 06, Lm 50, Lm 18 02,5. LmH: 20 s, 20 $\mu$ ; LmV: 19 s, 16 $\mu$ ; LmV: 19 s, 20 $\mu$ .
1	eiP	19 59 44,5	Turquie $37,0^{\circ}$ N, $29,0^{\circ}$ E; H = 19 55 40 (BCIS). $D_c = 16,6^{\circ}$ ; Az = $136^{\circ}$ .
1	ei	20 53 15	ei 53 36,5.
1	iPg iSg	23 34 18,5 34 39,5	D = $1,5^{\circ}$ . L 23 34 45, Lm 34 54,5.
2	ei	13 29 41,3	ei 13 29 53, ei 30 03.
2	iP eipP eiPcP eiS eiSS eiSSS	15 59 16,0 59 58 16 01 10 05 20 08 48 09 40	Hindou-Kouch $36,5^{\circ}$ N, $70,5^{\circ}$ E; H = 15 51 40, h = 220 km (BCIS). Magnitude: 6,6 Quetta, 6,3 Uppsala, Kiruna. D = $42,5^{\circ}$ ; $D_c = 42,1^{\circ}$ ; Az = $86^{\circ}$ . i 15 59 27, ei 16 02 09, ei 10 36.
3	ei	10 43 52	ei 10 43 57,5.
4	eiP eiPcP ePP	01 40 30 04 53 07 12	C. Kamtchatka $51^{\circ}1/2$ N, $159^{\circ}1/2$ E; H = 00 52 49 (USCGS). Magnitude $5\frac{1}{4}$ Matsushiro. $D_c = 74,7^{\circ}$ ; Az = $22^{\circ}$ . ei 05 17,5.
4	ePg iSg iX <sub>2</sub>	12 00 04,2 00 13,5 00 18,4	Explosion 11,8 tonnes $49^{\circ}53,8'$ N, $15^{\circ}37,7'$ E; $D_c = 77,5$ km. ei k2 00 07,1, ei 00 15,4, Lm 00 21,4.



Date	Phase	h m s	Remarques
4	X ei	13 06 24,5	Traces.
4	X ei	13 37 20,8	Traces.
4	iPKP <sub>1</sub> iPKP <sub>2</sub>	19 14 48,8 15 08,5	C. Iles Tonga 20° <sup>1</sup> / <sub>2</sub> S, 175° <sup>1</sup> / <sub>2</sub> W; H = 18 55 03, h = 100 km ca (USCGS).
	X ei	16 06	D <sub>c</sub> = 146,6°; Az = 20°. ei 17 06,5.
4	eiP X ei	20 09 32,8 09 41	(D.) Iles Andaman 12°N, 93°E. H = 19 57 57 (USCGS). D <sub>c</sub> = 73,6°; Az = 91°. ei 09 51,4.
4	eiP X ei	23 12 39,0 12 44	D. Côte W de Hondo, Japon 37,6°N, 138,7°E; H = 23 00 52, h = 200 km (JMA Japon). D <sub>c</sub> = 79,8°; Az = 41°.
5	eiP X ei	00 26 36,0 26 48	C. Kamtchatka 54°N, 160°E; H = 00 15 08 (USCGS). Magnitude: 5 <sup>3</sup> / <sub>4</sub> Matsushiro. D <sub>c</sub> = 72,8°; Az = 20°. ei 27 15.
5	eiP X ei	05 16 09,0 16 19	(D.) Iles Kouriles 44° <sup>1</sup> / <sub>2</sub> N, 149°E; H = 05 04 10 (USCGS et BCIS). D <sub>c</sub> = 78,2°; Az = 31°.
5	X ei	13 12 12,2	
5	eiP eipP	14 21 36,7 22 11	Iles Kouriles 44° <sup>1</sup> / <sub>2</sub> N, 147°E; H = 14 09 47 (USCGS). Magnitude 5,2 Matsushiro. D <sub>c</sub> = 77,5°; Az = 32°.
5	eiP X ei X ei	23 08 04,3 08 17,0 08 39	Sumatra 2°N, 97°E; H = 22 55 39, h = 100 km ca (USCGS). Magnitude: 5 <sup>1</sup> / <sub>2</sub> - 5 <sup>3</sup> / <sub>4</sub> Matsushiro. D <sub>c</sub> = 83,6°; Az = 94°.
6	X eiPg X eiSg	12 51 49,4 52 14,3	D = 1,8°. ei 12 51 53,5.
6	X ei	17 25 04,5	Traces.
7	eiPg eiSg Lm	08 00 28,8 00 44,4 00 58,5	Faible. Explosion 7,1 tonnes 50°14,8'N, 16°13,6'E. D <sub>c</sub> = 125 km. ei 08 00 42,7.
7	eiP X ei	09 25 40,5 26 04,5	Sumatra 3° <sup>1</sup> / <sub>2</sub> S, 102°E; H = 09 12 35, h = 100 km ca (USCGS). Magnitude: 5 <sup>1</sup> / <sub>2</sub> Matsushiro. D <sub>c</sub> = 91,0°; Az = 94°.
7	iPg iSg iL	10 29 41,7 29 43,1 29 43,4	C. Explosion 3 tonnes 49°57,3'N, 14°23,4'E. D <sub>c</sub> = 11 km. Lm 10 29 44,1.

Date	Phase	h m s	Remarques
7	X ePKP X ei	15 05 51,5 06 06,3	Région des Iles Samoa 16° <sup>1</sup> / <sub>4</sub> S, 173° <sup>1</sup> / <sub>4</sub> W; H = 14 46 11 (BCIS) D <sub>c</sub> = 145,5°; Az = 12°.
7	X eiP	15 54 13,5	Alaska 54°N, 161°W; H = 15 42 14 (BCIS). D <sub>c</sub> = 76,0°; Az = 357°.
8	X ei	01 36 37,5	Traces.
8	iPg iSg iL	10 04 26,2 04 32,4 04 34,3	C. Explosion 3,8 tonnes 49°33,3'N, 14°14,1'E; Lm 10 04 35,8.
8	iP eiS Lg	11 19 44,2 21 39 22 57,5	C. Près de la côte de l'Albanie 40° <sup>1</sup> / <sub>4</sub> N, 20,0°E; H = 11 17 10 (BCIS) D = 10,3°. D <sub>c</sub> = 10,5°; Az = 156°. ei 11 20 59,5, ei 22 37,4, Lm 23,6.
8	eiPKP	17 27 40,8	Iles Loyauté 21°S, 170°E; H = 17 07 55 (USCGS). Magnitude 5,4 Wellington. D <sub>c</sub> = 145,1°; Az = 43°.
9	X ei(Pg) X eiX <sub>2</sub> X eiX <sub>3</sub>	10 01 10,0 01 21,7 01 25	Explosion 3,4 tonnes 50°32,5'N, 14°38,7'E; D <sub>c</sub> = 62 km, ei 10 01 12,4, ei 01 16,3, Lm 01 28.
9	X i Lm	15 00 45 01 20	Proche. ei 15 00 48, ei 00 51, i 00 54,5, ei 01 01,5.
9	eiP eipP eisP eiPP	18 56 24,3 56 39,5 56 51,3 59 21,5	C. Japon 41,1°N, 143,3°E; H = 18 44 22, h = 40 km ca (JMA Japon). Magnitude: 5,4 Matsushiro. D <sub>c</sub> = 78,6°; Az = 36°.
9	eiP X ei	22 16 19,0 16 25	D. Guatemala 15° <sup>1</sup> / <sub>2</sub> N, 91°W. H = 22 02 58, h = 150 km ca (USCGS). D <sub>c</sub> = 87,7°; Az = 292°.
10	eiP	17 59 19	Rhodésie-Mozambique 15° <sup>1</sup> / <sub>2</sub> S, 30° <sup>1</sup> / <sub>4</sub> E; H = 17 48 22 (BCIS). Magnitude: 6 - 6 <sup>1</sup> / <sub>4</sub> Lwiro. D <sub>c</sub> = 66,8°; Az = 164°.
10	X ei X eSg	23 18 56,5 19 28,3	Italie vers 44,0°N, 12°E; H = 23 16,0 (BCIS). D <sub>c</sub> = 6,2°; Az = 197°. ei 23 19 14,7.
11	X eiPKP X ei	00 50 27,8 50 44,5	C. Iles Samoa 15° <sup>1</sup> / <sub>4</sub> S, 172°W; H = 00 30 49 (BCIS). D <sub>c</sub> = 145,3°; Az = 12°. ei 51 44.
11	eiP X ei	03 11 01,0 11 12,5	Chine 28°N, 104° <sup>1</sup> / <sub>2</sub> E; H = 02 59 51 (USCGS et BCIS). Magnitude: 4 <sup>3</sup> / <sub>4</sub> Peking. D <sub>c</sub> = 69,2°; Az = 71°.



Date	Phase	h m s	Remarques
11	X ei	12 55 58,7	i 12 56 01,4
11	X eiP	18 41 09,6	ei 18 41 16.
12	X ei	01 34 48,0	ei 01 35 49,5, ei 36 46,5.
12	X ei	01 48 13,5	Iles Carolines 7°N, 145°E; H = 01 29 07 (USCGS et BCIS). Magnitude: 6 Pasadena, Moskva, Uppsala, Kiruna, 6,1 Prùhonice. D <sub>c</sub> = 108,7°; Az = 52°. RmH: 20 s, 2,2 μ.
	eSS	02 03,5	
	eL	20	
	X Q	24	
	X Rm	27,5	
12	X iP	07 41 52,5	D. Iles Ioniennes 38,6°N, 20,4°E; H = 06 38 54 (BCIS). D <sub>c</sub> = 12,1°; Az = 158°. ei 43 09.
	X ei	42 22,5	
13	X eiP	00 50 15,3	Région Grèce 37,6°N, 23,8°E; H = 00 46 44 (BCIS). D <sub>c</sub> = 14,1°; Az = 148°.
	X ei	50 40	
13	X iPn	10 00 11,0	D. Explosion 6,3 tonnes 49°34,6'N, 12°47'E. D <sub>c</sub> = 135 km. iSb = 10 00 27,1, ei (X <sub>2</sub> ) 00 35,4, Lm 00 42.
	X eiPg	00 13,0	
	X i(Sg)	00 28,6	
13	X ei	13 34 24,5	Traces.
13	X ei(P)	15 45 12,4	Haiti 18°1/2N, 72°W; H = 15 33 34 (USCGS et BCIS). D <sub>c</sub> = 73,8°; Az = 283°.
	X ei	45 16,3	
13	X iPKP	16 59 47,5	D. Iles Tonga 21°S, 176°1/2W; H = 16 40 15, h = 200 km ca (USCGS et BCIS). D <sub>c</sub> = 149,9°; Az = 21°.
	X ei	59 52,2	
13	X eiP	19 12 15,0	C. Sud de la Mer Egée 34°1/4N, 26°1/2E; H = 19 08 05 (BCIS). D = 18°; D <sub>c</sub> = 18,1°; Az = 147°. ei 19 12 25,5, ei 14 20,8, ei 16 39, Lm 21,5.
	X eiS	15 38	
	X L	19	
14	X eiP	03 07 28,0	Iles Kouriles 45°N, 151°1/2E; H = 02 55 24 (USCGS). MLH = 5,6 Prùhonice. D <sub>c</sub> = 78,1°; Az = 29°. ei 03 07 39, ei 08 33. LmH: 19 s, 1,4 μ.
	X eL	34	
	X Lm	40	
	X Lm	41,3	
14	X ei	04 59 23,2	ei 04 59 34,5.
14	X ei(Pn)	08 44 27,5	Epicentre en Yougoslavie. Données peu concordantes (BCIS). D = 6,7° ca. ei 08 44 53,5, ei 45 32.
	X i(Sn)	45 41,8	
	X ei	46 05,4	

Date	Phase	h m s	Remarques
14	X iPg	08 59 50,0	C. Explosion 2,2 tonnes 49°57,3'N, 14°13,0'E. D <sub>c</sub> = 27 km.
	X iSg	59 53,5	
	X iL	59 54,7	Lm 08 59 56,8.
15	X eiPKP	21 47 50,5	D. Iles Tonga 18°S, 174°1/2W; H = 21 28 24, h = 200 km ca (USCGS). D <sub>c</sub> = 147,3°; Az = 16°.
15	X eP	22 31 34	Japon 35,5°N, 140,2°E; H = 22 18 57, h = 80 km ca (JMA Japon). D <sub>c</sub> = 82,3°; Az = 41°.
	e	31 40	
16	X eiP	01 48 48,7	C. Sud de l'île Unimak 53°1/2N, 164°1/2W; H = 01 36 45 (USCGS). D <sub>c</sub> = 76,9°; Az = 359°.
	X ei	48 51,5	
16	X eiP	08 14 11,0	C. Iles Kouriles 45°1/2N, 151°E; H = 08 02 10 (USCGS). D <sub>c</sub> = 77,5°; Az = 30°. ei 14 27,3.
	X ei	14 15,0	
16	X ei	11 56 08,0	Proche. ei 11 56 25, ei 56 39, Lm 56 52.
	X eiSg	56 45,5	
16	X ei	15 36 32	Traces. Epicentre à 400 km à l'W du Lac Baikal. H = 15 23,2 (BCIS).
16	X eiP	23 46 41	C. Aléoutiennes 53°N, 168°1/2W; H = 23 34 48, h = 60 km ca (USCGS). D <sub>c</sub> = 76,9°; Az = 2°.
	X ei	47 06	
17	X iP	08 37 58,5	C. Iles Riou-Kiou 27°1/2N, 130°E; H = 08 25 22 (USCGS et BCIS). Magnitude 7 Strasbourg, Prùhonice, 5 <sup>3</sup> / <sub>4</sub> -6 Pasadena D = 84°, D <sub>c</sub> = 83,9°; Az = 53°.
	X eiPP	41 23,5	
	X ePPP	43 23	
	X ei S	48 18,5	i 08 37 58,5, ei 50 70, e = 58 50, Qm 09 10,5, Rm 19,5, QmN: 27 s, 8 μ; QmV: 27 s, 10 μ; RmH: 15 s, 28 μ; RmV: 15 s, 27 μ.
	X ei	48 21,5	
	X eiPS	49 05,5	
	X Q	09 05	
17	X eiPKP	10 52 57,7	C. Nouvelles Hébrides 21°1/2S, 169°3/4E; H = 10 33 19 (BCIS). D <sub>c</sub> = 145,1°; Az = 44°.
	X ei	53 14,5	
17	X ei	12 58 39,5	ei 12 58 46,5.
17	X e	19 02 03,5	ei 19 02 09,0, ei 04 40,5.
17	X eiP	22 05 18,6	C. Région Jan Mayen vers 72°N, 3°W; H = 22 00 08 (BCIS). D <sub>c</sub> = 23,6°; Az = 345°. ei 06 24.
	X ei	05 25,7	



Date	Phase	h m s	Remarques
18	✓ eiP ✓ eS ✓ ePS ✓ Q ✗ Qm ✗ Rm	00 53 55,5 01 04,2 05 06 22 27,5 35,5	D. Iles Riou-Kiou 27°N, 129°E; H = 00 41 17 (USCGS et BCIS). Magnitude: 6 Moskva, Praha, MLH = 6,4 Průhonice, 5 <sup>3</sup> / <sub>4</sub> Strabourg, D = 84°; D <sub>c</sub> = 84,1°; Az = 54°. ei 00 54 31,5, ei 56 07, ei 01 04 25. QMN: 25 s, RmH: 14 s, 7,2 μ; RmV: 14 s, 8 μ.
18	✓ eiP ✓ eipP ✗ ei	07 38 56,7 39 19 39 45	D. Japon 37°N, 141°E; H = 07 26 47, h = 100 km ca (USCGS). Magnitude 6 Matsushiro. D <sub>c</sub> = 81,5°; Az = 40°.
18	✗ eiP ✗ ei	12 54 21,0 54 32	C. Mexique 16°N, 96 <sup>1</sup> / <sub>2</sub> W; H = 12 38 46 (USCGS). D <sub>c</sub> = 90,5°; Az = 297°.
18	✗ ei	19 29 55,5	ei 19 30,03
18	✓ iPg ✓ eiX <sub>2</sub> ✓ ei(Sb) ✓ iSg	23 22 37,2 22 52,5 23 30 23 33,0	Jura Souabe 48°17'N, 9°00'E, Stuttgart. H = 23 21 21 (BCIS). D = 4,1°; D <sub>c</sub> = 4,0°; Az = 248°. e 23 23 16, Lm 23 40.
19	✗ ePg ✗ eiSg ✗ L	00 11 06,5 12 08,7 12 21	Epicentre en Yougoslavie vers 45 <sup>1</sup> / <sub>4</sub> N, 16 <sup>1</sup> / <sub>4</sub> E; H = 00 09,6 (BCIS). D = 4,8°; D <sub>c</sub> = 4,8°; Az = 165°.
19	✗ eP ✗ ei	01 51 09 51 13,2	Grèce vers 38 <sup>1</sup> / <sub>4</sub> N, 20°E; H = 01 47,7 (BCIS). D <sub>c</sub> = 13,9°; Az = 161°.
19	✓ eiP ✓ eiPP ✓ eiPPP ✓ iS ✓ Q ✓ Qm	08 33 05,1 34 36,5 34 58,5 39 06,3 43,5 45	Océan Atlantique 35 <sup>1</sup> / <sub>2</sub> N, 36°W; H = 08 25 35 (BCIS). Magnitude: 6 <sup>1</sup> / <sub>4</sub> -6 <sup>1</sup> / <sub>2</sub> Pasadena, 5,7 Praha, MLH 5,8 Průhonice, Lwiro. D = 39°; D <sub>c</sub> = 39,2°; Az = 269°. ei 08 33 12, ei 39 19,5, Rm 49. QmH: 16 s, 8,1 μ; QmV: 25 s, 12 μ; RmH: 15 s, 6,4 μ; RmV: 15 s, 7 μ.
19	✓ eiPg ✓ eiSg	08 59 58,5 09 00 19	Lm 09 00 34. D <sub>c</sub> = 165 km.
19	✓ eiP	09 49 01,1	Sud de l'Alaska 61 <sup>1</sup> / <sub>2</sub> N, 148°W; H = 09 37 53, h = 100 km ca (USCGS). D <sub>c</sub> = 67,8°; Az = 351°.

Date	Phase	h m s	Remarques
20	✓ eiP ✗ Lm	01 14 19,5 53	Kamtchatka 52°N, 159°E; H = 01 02 42 (USCGS). LmN: 15 s, 0,5 μ; LmV: 15 s, 1,4 μ.
20	✗ iPn ✗ iPg ✗ eiX <sub>1</sub> ✗ ei(Sn) ✗ iSg	10 00 41,1 00 42,1 00 50,7 00 55,5 00 57,3	C. Explosion 22 tonnes 51°00,2'N, 14°24,8'E; D <sub>c</sub> = 114 km. i 10 00 45,2, i 00 46,8, L 01 06, Lm 01 14,5.
20	✓ eiP ✓ epP ✗ eL	15 56 49,5 57 04 16 32	Japon 36 <sup>1</sup> / <sub>2</sub> N, 142 <sup>1</sup> / <sub>2</sub> E; H = 15 44 31, h = 100 km ca (USCGS). D <sub>c</sub> = 82,1°; Az = 40°. LmH: 12 s, 1,4 μ; LmV: 12 s, 1 μ. Lm 16 36,5.
<del>20</del>	✓ ePKP <sub>1</sub> ✓ eiPKP <sub>2</sub>	23 34 27,5 34 45,5	Région des îles Tonga 22 <sup>1</sup> / <sub>2</sub> S, 176 <sup>1</sup> / <sub>2</sub> W; H = 23 14 29 (BCIS). D <sub>c</sub> = 151,3°; Az = 22°.
21	✓ eiPKP ✗ ei ✓ eipPKP	04 46 06 47 18 48 17	Iles Fidji 19°S, 178°W; H = 04 27 21, h = 550 km ca (USCGS). Magnitude: 5 <sup>1</sup> / <sub>2</sub> Wellington. D <sub>c</sub> = 147,8°; Az = 23°.
21	✗ iPg ✗ iSg ✗ iX <sub>1</sub>	11 14 45,9 14 48,2 14 49,8	C. Explosion 6,4 tonnes 49°50'N, 14°42,1'E; D <sub>c</sub> = 19 km. Lm 11 14 50,5.
21	✗ ei	16 52 27,5	ei 16 52 48,5
21	✓ eiPKP	20 05 50,0	Iles Fidji 19 <sup>1</sup> / <sub>2</sub> S, 179°W; H = 19 46 05 (BCIS). D <sub>c</sub> = 147,4°; Az = 25°.
22	✓ iP ✗ eNS ✓ eiSb ✗ eiLg	22 39 41,8 41 53 42 40,4 43 24	C. Près de la côte W de la France 46 <sup>3</sup> / <sub>4</sub> N, 3 <sup>1</sup> / <sub>4</sub> W; H = = 22 36 41 (BCIS). D <sub>c</sub> = 12,6°, Az = 263°. ei 22 39 53,2, ei 40 39,8, ei 41 22,6, ei 41 46,3, ei 42 25,3, LmH: 9 s, 1,4 μ; LmV: 9 s, 1 μ.
23	✓ eiP ✓ e(S) ✓ eiPS eL ✗ Lm	07 22 42,5 33 03 33 27 50 59,3	Nevada 40°N, 118°W; H = 07 10 22 (USCGS). Magnitude 6,3 Pasadena. MLH = 5,7 Průhonice. D = 81° ca; D <sub>c</sub> = 80,8°; Az = 325°. ei 07 22 46,0, ei 23 20,5, ei 24 25, Lm 08 03,4, LmH: 16 s, 1,4 μ; LmV: 15 s, 2 μ.
23	✗ eiPKP ei	13 43 42,5 44 11,6	Région des îles Samoa 16°S, 173 <sup>1</sup> / <sub>2</sub> W. H = 13 24 16, h = = 150 km ca (USCGS). D <sub>c</sub> = 145,2°; Az = 15°.
24	✗ ePn ✗ eiSn	10 25 57 27 22,5	Italie 43,7°N, 11,3°E; H = 10 24 12 (BCIS). D = 7°; D <sub>c</sub> = 6,8°; Az = 201°.



Date	Phase	h m s	Remarques
24	X eiSb <sub>2</sub> ✓ eiSg	10 27 55 28 01,5	e = 10 26 08, ei 26 50, ei 27 09,5, eiL 28 12.
24	X i(P)	12 01 11,0	D. ei 12 01 19,5
24	✓ eP ✓ eL ✓ Lm	17 30 57 18 02 15	Japon 34°N, 142°E; H = 17 18 24 (USCGS et BCIS). Magnitude: MLH = 5,8 Prùhonice, 5,2 Oulan Bator. D <sub>c</sub> = 84,1°; Az = 41°. LmH: 14 s, 1,4 μ; LmV: 14 s, 1 μ.
24	X e	22 37 14,3	Traces. ei 22 37 21,6
25	X ei	09 01 12,2	ei 09 01 15,5
26	✓ eiPKP ✓ eipPKP	02 43 12,0 43 26,5	Iles Salomon 7°S, 155° <sup>1</sup> / <sub>2</sub> E; H = 02 24 12, h = 60 km ca (USCGS). Magnitude: 5 <sup>3</sup> / <sub>4</sub> Matsushiro. D <sub>c</sub> = 126,1°; Az = 51°.
27	X ei	10 59 19,0	
27	X eiPg X ei(X <sub>1</sub> )	12 01 14,7 01 18	Explosion 8,1 tonnes 49°30'N, 14°56'E. D <sub>c</sub> = 61 km. i! 12 01 29,7
28	X eiSg X ei	14 49 40 49 52,5	Explosion? A 130 km au NW de Jena? H = 14 47,8 (BCIS).
28	X eiP X ei X ei	17 23 46,5 23 54,5 24 11,7	C. Au large de la côte S de Formose 21°N, 120°E; H = 17 11 16 (USCGS). Magnitude: 4 <sup>3</sup> / <sub>4</sub> -5 Matsushiro. D <sub>c</sub> = 83,6°; Az = 65°.
28	X ei	18 11 34,5	
28	✓ eiP ✓ eipP	18 50 30 51 11,7	Hindou-Kouch 35° <sup>1</sup> / <sub>2</sub> N, 71°E; H = 18 42 45, h = 200 km ca (USCGS). D <sub>c</sub> = 42,8°; Az = 87°.
28	X ei	18 11 34,5	
28	X eiP X eipP	18 50 30 51 11,7	Hindou-Kouch 35° <sup>1</sup> / <sub>2</sub> N, 71°E; H = 18 42 45, h = 200 km ca (USCGS). D <sub>c</sub> = 42,8°; Az = 87°.
28	✓ eiPKP <sub>1</sub> ✓ iPKP <sub>2</sub> ✓ ipPKP <sub>1</sub> ✓ eisPKP <sub>1</sub> ✓ eisPKP <sub>2</sub>	20 05 48,7 06 11,3 08 09 09 03,5 09 38,5	D. Iles Fidji 20°S, 178° <sup>1</sup> / <sub>2</sub> W. H = 19 47 07, h = 600 km ca (USCGS). Magnitude: 5 <sup>3</sup> / <sub>4</sub> -6 Pasadena. D <sub>c</sub> = 148,5°; Az = 24°. i 20 05 53,5, ei 06 42,5, ei 07 03,5.

Date	Phase	h m s	Remarques
29	X eiP X e	05 51 35,3 51 55	Antilles 19°N, 64° <sup>1</sup> / <sub>2</sub> W; H = 05 39 58 (USCGS). D <sub>c</sub> = 68,7°; Az = 275°.
29	X iP X ei	19 20 33,1 20 35,3	D. Sikhote Alin 45°N, 137° <sup>1</sup> / <sub>2</sub> E; H = 19 09 37 (Moskva et BCIS). D <sub>c</sub> = 73,1°; Az = 38°.
29	✓ eiP X ei	23 10 47,3 10 56	Grèce 37° <sup>1</sup> / <sub>2</sub> N, 23° <sup>3</sup> / <sub>4</sub> E; H = 23 07 15 (BCIS). Magnitude: 4 <sup>3</sup> / <sub>4</sub> -5 Athènes. D <sub>c</sub> = 14,2°; Az = 148°.
29	X ei	17 44 07,5	Traces.
30	X eiPKP X ei	18 38 53 38 57	Iles Tonga 17° <sup>1</sup> / <sub>2</sub> S, 172°W; H = 18 19 04. D <sub>c</sub> = 146,7°; Az = 10°. ei 39 05.
30	X eP X ei	21 10 30 10 41,5	Traces. Crête médiane de l'Atlantique Nord. 41°N, 30°W; H = 21 04,0 (BCIS). D <sub>c</sub> = 32,3°; Az = 272°.
31	✓ iPKP X ei X eL X Lm X Lm	07 40 25,8 40 40 08 36 49,5 50,6	Région des îles Samoa 15°S, 173°W; H = 07 20 45 (BCIS). Magnitude: 6 Pasadena, Prùhonice. D <sub>c</sub> = 144,7°; Az = 13°. LmH: 19 s, 1,4 μ; LmN: 19 s, 2 μ.
31	X ei	11 35 16,1	ei 11 35 18,5.
31	X ei	12 51 13,2	Traces.

## Avril 1959

Date	Phase	h m s	Remarques
1	✓ eiP ✓ eiPP e } S X ei X eL	00 41 14,4 42 33,5 46 27,5 46 52,5 51,5	C. Iles Canaries 27° <sup>3</sup> / <sub>4</sub> N, 21°W; H = 00 34 18 (BCIS). Magnitude: 6 <sup>1</sup> / <sub>4</sub> Pasadena, 5 <sup>3</sup> / <sub>4</sub> Strasbourg, 5,6 Prùhonice. D = 32,5°; D <sub>c</sub> = 34,8°; Az = 245°. i 00 41 29,3, e 43 33,5, Lm 56,5. LmH: 18 s, 5,7 μ; LmV: 18 s, 6 μ.
1	X ei	10 44 24,3	
1	X ei	11 23 51,7	
1	X eiP	12 30 48,7	Près de la côte E du Kamtchatka. H = 12 19 29 (USCGS).



Date	Phase	h m s	Remarques
1	<del>ei</del>	12 56 17	ei 12 56 37,6.
1	<del>eiPKP</del>	15 07 47	D. Nouvelles Hébrides $18^{\circ}1/2S$ , $169^{\circ}E$ ; H = 14 48 34, h = 200 km ca (USCGS et BCIS). Magnitude $5-5\frac{1}{4}$ Matsushiro. $D_c = 142,7^{\circ}$ ; Az = $42^{\circ}$ .
	<del>ei</del>	07 52,5	
	<del>eisPKP</del>	09 12,5	
1	<del>ePg</del>	17 00 47,5	Epicentre $50,2^{\circ}N$ , $19,2^{\circ}E$ ; H = 16 59 52 (Prùhonice). D = $2,9^{\circ}$ ; $D_c = 3,0^{\circ}$ ; Az = $88^{\circ}$ .
	<del>e</del>	01 10,7	
	<del>eiSg</del>	01 27,5	
1	<del>eiPKP</del>	19 35 28,0	Région des îles Tonga $17^{\circ}S$ , $173^{\circ}W$ ; H = 19 15 38 (USCGS). $D_c = 146,7^{\circ}$ ; Az = $13^{\circ}$ . ei 36 04.
	<del>ei</del>	35 45,5	
1	<del>ei</del>	22 41 30	ei 22 41 37,5.
2	<del>eiP</del>	04 14 58,0	Région des îles Riou-Kiou $26^{\circ}N$ , $125^{\circ}E$ ; H = 04 02 31 (USCGS). $D_c = 82,6^{\circ}$ ; Az = $57^{\circ}$ . MLH = 5,9 Prùhonice. LmH: 11 s, 1,4 $\mu$ ; LmV: 11 s, 1 $\mu$ .
	<del>ei</del>	15 38,5	
	<del>Lm</del>	44	
2	<del>eiP</del>	04 37 51	NW de la Turquie $40^{\circ}N$ , $29^{\circ}3/4E$ ; H = 04 34 19 (BCIS). MLH = 4,5 Prùhonice. $D_c = 15,0^{\circ}$ ; Az = $127^{\circ}$ . LmH: 11 s, 1,4 $\mu$ ; LmV: 12 s, 1 $\mu$ .
	<del>ei</del>	37 55	
	<del>e</del>	38 59	
2	<del>e</del>	12 52 34	ei 12 52 47, i 53 02,8.
2	<del>eiPg</del>	15 14 16	Explosion de 14 tonnes près de Hilders (Rhön, Allemagne) $50,5^{\circ}N$ , $10,0^{\circ}E$ ; H = 15 13 19 (BCIS). D = $3^{\circ}$ ; $D_c = 2,9^{\circ}$ ; Az = $280^{\circ}$ .
	<del>ei</del>	14 37	
	<del>eiSg</del>	14 56	
2	<del>eiP</del>	19 34 11,5	Région des îles Batan $20^{\circ}1/2N$ , $121^{\circ}E$ ; H = 19 21 34 (USCGS) Magnitude: 5,9 Matsushiro, MLH = 5,8 Prùhonice. $D_c = 84,6^{\circ}$ ; Az = $64^{\circ}$ . LmH: 13 s, 1,4 $\mu$ ; LmV: 13 s, 1 $\mu$ .
	<del>ei</del>	34 33,5	
	<del>ei</del>	35 37	
	<del>eL</del>	20 08	
2	<del>eiPKP</del>	22 08 16,5	C. îles Tonga $21^{\circ}1/2S$ , $175^{\circ}W$ ; H = 21 48 21 (BCIS). $D_c = 150,5^{\circ}$ ; Az = $17^{\circ}$ . ei 08 35.
	<del>ei</del>	08 21	
3	<del>eiPn</del>	12 00 02,0	C. ei 12 00 06,5.
3	<del>iPg</del>	13 00 19,3	Explosion près de Weinheim in Boden (Allemagne). $49,6^{\circ}N$ , $8,7^{\circ}E$ ; H = 12 58 59 (Stuttgart). D = $4^{\circ}$ ; $D_c = 3,7^{\circ}$ ; Az = $265^{\circ}$ .
	<del>eiSg</del>	01 10,2	
	<del>i</del>	01 14,5	

Date	Phase	h m s	Remarques
4	<del>iPn</del>	07 16 43,7	D. Explosion 5,2 tonnes $50^{\circ}27,3'N$ , $13^{\circ}01,6'E$ ; $D_c = 121$ km. ei 07 16 49,0, Lm 17 03.
	<del>iPg</del>	16 44,3	
	<del>iX<sub>1</sub></del>	16 54,2	
	<del>iSg</del>	16 59,0	
5	<del>eiP</del>	19 16 31,5	Kamtchatka $54^{\circ}N$ , $161^{\circ}E$ ; H = 19 04 59 (USCGS). Magnitude: 5 Matsushiro. $D_c = 72,9^{\circ}$ ; Az = $20^{\circ}$ .
	<del>ei</del>	16 41	
5	<del>iPn</del>	10 49 44,0	C. Alpes occidentales, France $44,6^{\circ}N$ , $6,8^{\circ}E$ ; H = 10 47 53 (BCIS). Magnitude: 5,5 Uppsala, Kiruna, MLH = 5,1 Prùhonice, $5\frac{1}{4}$ Praha. D = $7,2^{\circ}$ ; $D_c = 7,5^{\circ}$ ; Az = $226^{\circ}$ . ei 10 49 59, ei 50 46, Lm 52 20. LmH: 8 s, 9,5 $\mu$ ; LmV: 9 s, 5 $\mu$ .
	<del>eiPb</del>	50 08,5	
	<del>eiPg</del>	50 21	
	<del>iSn</del>	51 10	
	<del>iSb<sub>2</sub></del>	51 44	
	<del>iSg</del>	51 59	
5	<del>eiPn</del>	18 14 35,0	C. Région frontière Hongrie-Croatie $46,0^{\circ}N$ , $17,0^{\circ}E$ ; H = 18 13 26 (BCIS). D = $4,5^{\circ}$ ; $D_c = 4,6^{\circ}$ ; Az = $155^{\circ}$ . ei 18 14 38,8, ei 14 43,7, i 15 32,5, ei 16 01, Lm 16 04.
	<del>iPg</del>	14 54,0	
	<del>eiSn</del>	15 23,0	
	<del>eiSg</del>	15 55,0	
5	<del>eiP</del>	20 11 55	Traces. îles Kouriles $46^{\circ}N$ , $151^{\circ}E$ ; H = 19 59 58 (USCGS et BCIS). $D_c = 77,5^{\circ}$ ; Az = $290^{\circ}$ .
5	<del>eiPKP</del>	21 25 10,9	Nouvelles Hébrides $15^{\circ}1/2S$ , $167^{\circ}1/2E$ ; H = 21 05 54, h = 150 km ca (USCGS). $D_c = 139,5^{\circ}$ ; Az = $42^{\circ}$ .
	<del>ei</del>	25 12,9	
	<del>eiPP</del>	28 35	
5	<del>ePP</del>	23 49 58	Nouvelle Guinée $5^{\circ}1/2S$ , $146^{\circ}E$ ; H = 23 29 25 (USCGS et BCIS). Magnitude $5-6\frac{1}{4}$ Matsushiro. $D_c = 120,1^{\circ}$ ; Az = $59^{\circ}$
	<del>Lm</del>	00 43,5	
6	<del>i</del>	09 57 52,0	
6	<del>eiPP</del>	14 31 25,5	îles Sumba $10^{\circ}S$ , $120^{\circ}1/2E$ ; H = 14 12 36 (USCGS). Magnitude: $6\frac{1}{4}$ Pasadena, Moskva, MLH = 6,2 Prùhonice. $D_c = 107,7^{\circ}$ ; Az = $84^{\circ}$ . LmH: 18 s, 2,8 $\mu$ . LmV: 18 s, 4 $\mu$ .
	<del>e</del>	35 41	
	<del>ePS</del>	40 42	
	<del>L</del>	15 07	
	<del>Lm</del>	25	
7	<del>ei</del>	10 37 32,5	Traces.
8	<del>eiPKP</del>	01 42 40,5	Région des îles Kermadec $32^{\circ}1/2S$ , $179^{\circ}1/2E$ ; H = 01 23 26, h = 400 km ca (USCGS). Magnitude: $6-6\frac{1}{4}$ Pasadena. $D_c = 159,5^{\circ}$ ; Az = $37^{\circ}$ . i 01 43 21,0.
	<del>eipPKP</del>	44 26	
	<del>eisPKP</del>	45 04	
	<del>eiPP</del>	47 05,5	



Date	Phase	h m s	Remarques
8	eiPKP eipPKP ei	08 21 11,0 21 47	Région des îles Tonga 17°S, 174° <sup>1</sup> / <sub>2</sub> W; H = 08 01 36, h = 100 km ca (USCGS). D <sub>c</sub> = 146,5°; Az = 13°.
8	eL Lm Lm	12 42 53,5 59,5	Argentine 50° <sup>1</sup> / <sub>2</sub> S, 73°W; H = 11 44 25 (USCGS). Magnitude: 6 <sup>1</sup> / <sub>4</sub> Matsushiro, Kew. D <sub>c</sub> = 124,7°; Az = 231°. LmE: 23 s, 2 μ; LmV: 23 s, 2 μ; LmN: 18 s, 1 μ.
9	eiP ei	03 31 17,8 31 30,5	Région Crête 35,6°N, 23,3°E H = 03 27 33 (BCIS). D <sub>c</sub> = 15,8; Az = 152°.
9	eiPP eiPP e	06 32 30,5 36 33 37 43	C. Océan Indien 36°S, 77°E; H = 06 18 34 (USCGS et BCIS). Magnitude 5 <sup>3</sup> / <sub>4</sub> -6 Pasadena. D <sub>c</sub> = 101,6°; Az = 133°.
9	eiP	10 29 38,0	D.
9	eiP ei	12 36 15,5 36 27,5	Kouriles 44° <sup>1</sup> / <sub>2</sub> N, 149°E; H = 12 24 20, h = 60 km ca (USCGS et BCIS). D <sub>c</sub> = 78,3°; Az = 32°.
9	e eiSS eL Lm	17 59 45 18 06 09 14 22,5	Sud de Panama 7°N, 82°W; H = 17 36 10 (USCGS). Magnitude: 6 <sup>1</sup> / <sub>4</sub> -6 <sup>1</sup> / <sub>2</sub> Pasadena, MLH = 5,8 Prùhonice. D <sub>c</sub> = 88,9°; Az = 280°. LmH: 24 s, 2,2 μ; LmV: 24 s, 2 μ.
10	eiPKP i eipPKP eiPP	06 06 21,5 06 45 08 48 10 17	Sud des îles Fidji 25°S, 178° <sup>1</sup> / <sub>2</sub> E; H = 05 47 34, h = 600 km ca (USCGS). Magnitude: 6,3 Matsushiro, 6 Berkeley. D <sub>c</sub> = 152,9°; Az = 32°.
11	eiPKP ei	00 11 27 11 51	Iles Tonga 19°S, 173°W; H = 23 51 35 (BCIS). D <sub>c</sub> = 148,3°; Az = 15°.
11	iPg ei iSg	09 00 19,2 00 20,0 00 37,4	Explosion 8,2 tonnes 50°17,8'N, 12°35,4'E. D <sub>c</sub> = 1,3°; Lm 09 00 42.
12	eiP ipP eiPP eiSKS eiS eiPS	10 07 39,0 08 08,9 11 08 18 01 18 24 19 41	Mexique 17° <sup>1</sup> / <sub>2</sub> N, 95°W; H = 09 54 51, h = 100 km ca (USCGS). Magnitude: 6 <sup>1</sup> / <sub>4</sub> Pasadena, 6,4 Uppsala, Kiruna. D = 89°; D <sub>c</sub> = 88,8°; Az = 297°. ei 10 07 47, ei 09 20, eL 42, Lm 49,5. LmN: 19 s, 1 μ; LmV: 18 s, 1.

Date	Phase	h m s	Remarques
12	eiP e	11 11 46,0 12 11	C. Formose 24° <sup>1</sup> / <sub>2</sub> N, 122°E; H = 10 59 21 (USCGS). Magnitude: 5 <sup>1</sup> / <sub>4</sub> -5 <sup>1</sup> / <sub>2</sub> Matsushiro. D <sub>c</sub> = 82,2°; Az = 61°.
12	eiPP Q Qm Rm	15 41 56,5 16 18,5 22 33	Nouvelle Guinée 4° <sup>1</sup> / <sub>2</sub> S, 134°E; H = 15 22 33 (USCGS). Magnitude 6 <sup>1</sup> / <sub>4</sub> -6 <sup>1</sup> / <sub>2</sub> Strasbourg. D <sub>c</sub> = 112,2°; Az = 69°. QmE: 28 s, 2 μ; RmE: 17 s, 1 μ; RmV: 17 s, 1 μ. e 42 11.
12	eiPKP ei e Qm	21 13 40 13 52,7 15 31 22 13	Région îles Samoa 15° <sup>1</sup> / <sub>2</sub> S, 173°W; H = 20 54 00 (USCGS). Magnitude: 6-6 <sup>1</sup> / <sub>4</sub> Pasadena, MLH = 6,1 Prùhonice. D <sub>c</sub> = 145,3°; Az = 13°. QmE: 27 s, 2 μ; QmV: 27 s, 2 μ; RmH: 21 s 2,2 μ; RmV: 21 s 4 μ.
13	iP	14 00 22,5	D.
13	eiP ei eiPcP	18 42 48 43 04,6 43 17,5	D. Frontière Indie-Birmanie 23°N 93° <sup>1</sup> / <sub>2</sub> E; H = 18 31 57 (USCGS). D <sub>c</sub> = 65 7°; Az = 83°.
14	iP eiPcP ei	07 31 50,2 32 14,2 32 31,2	C. Péninsule de l'Alaska 57° <sup>1</sup> / <sub>2</sub> N 155°W; H = 07 20 28 h = 60 km ca (USCGS). D <sub>g</sub> = 72,1°; Az = 354°. ei 33 22.
15	eiP ePS eL Lm	00 27 15,0 37 48 53 59,5	C. Japon 41° <sup>1</sup> / <sub>2</sub> N 143°E; H = 00 15 21 (USCGS). Magnitude: 5 <sup>3</sup> / <sub>4</sub> Moskva, MLH = 5,9 Prùhonice, 5,6 Matsushiro. D = 79° ca; D <sub>c</sub> = 78,7°; Az = 37°. e 00 27 41,5 Lm 01 05,5. LmH: 21 s, 3,6 μ; LmV: 17 s, 3 μ.
15	e	17 22 23	Traces. ei 14 22 28,0.
15	eiP	17 14 50,5	Traces. Iles Andreanov 51°N, 177°W; H = 17 02 45 (USCGS). Magnitude: 4 <sup>3</sup> / <sub>4</sub> -5 Matsushiro. D <sub>c</sub> = 79,0°; Az = 8°.
15	eiSg e	17 44 45,4 45 06	Région de Göttingen 51,7°N 10,0°E; H = 17 42 00 (BCIS). D <sub>c</sub> = 3,2°; Az = 301°.
15	iP ei ei	19 22 50,3 23 10 23 36,5	D. Kamtchatka 54°N, 160° <sup>1</sup> / <sub>2</sub> E; H = 19 11 20 (USCGS). Magnitude: 5-5 <sup>1</sup> / <sub>4</sub> Matsushiro. D <sub>c</sub> = 73,0°; Az = 21°.
15	ei	20 46 11	Traces.



Date	Phase	h m s	Remarques
16	eiPKP ei eipPKP	07 46 24 46 34,5 48 32,5	Sud des îles Fidji 23 <sup>01</sup> / <sub>2</sub> S, 179°E; H = 07 27 27, h = 500 km ca (USCGS). D <sub>c</sub> = 151,1°; Az = 30°.
16	e	16 19 46	e 16 19 52.
16	ei ei	16 31 05,5 32 21	Région îles Mariannes 12 <sup>01</sup> / <sub>2</sub> N 143°E; H = 16 13 56, h = 100 km ca (USCGS). Magnitude: 6 <sup>1</sup> / <sub>2</sub> Pasadena. D <sub>c</sub> = 103,4°; Az = 51°.
17	eiPKP ei	10 50 29,5 50 36,5	D. Îles Fidji 21°S, 178°W; H = 10 31 35 h = 500 km ca (USCGS). D <sub>c</sub> = 149,5°; Az = 23°.
17	eiP	12 17 50,5	Traces. Japon 42 <sup>01</sup> / <sub>4</sub> N, 146 <sup>01</sup> / <sub>2</sub> E. H = 12 06 (JMA Japon). D <sub>c</sub> = 78,8°; Az = 34°.
18	iP ei	03 45 48,5 45 56,5	C. Région Grèce 35,9°N, 23,1°E; H = 03 42 00 (BCIS). D <sub>c</sub> = 15,6°; Az = 153°.
18	eiPKP e ei	06 36 51,0 37 56 38 30	C. Région de la Nouvelle Irlande 4 <sup>01</sup> / <sub>2</sub> S, 153 <sup>01</sup> / <sub>2</sub> E; H = 06 18 00, h = 100 km ca (USCGS). Magnitude: 5 <sup>1</sup> / <sub>2</sub> Matsushiro. D <sub>c</sub> = 123,6°; Az = 51°.
18	ei	09 30 05	ei 09 30 08,5, ei 30,11,5.
19	ei	08 03 53	Traces.
19	eiP i	09 04 16 04 49,2	Est de la Turquie 40°N, 43°E; H = 08 59 17 (USCGS). D <sub>c</sub> = 22,4°; Az = 105°. ei 05 30,5.
18	ei	09 41 31,8	Traces.
19	eiP ei ei ePP	15 14 49,5 14 55,5 15 22,0 17 38	C. Alaska 58°N, 152 <sup>01</sup> / <sub>2</sub> W; H = 15 03 26 (USCGS). Magnitude: 6 <sup>1</sup> / <sub>4</sub> Pasadena, 5,8 Uppsala, Kiruna. D <sub>c</sub> = 71,5°; Az = 353°.
19	eiP ei	17 32 20,0 32 44,5	Données insuffisantes (BCIS). i 17 33 00,8, ei 33 16.
19	eiP eiS L Lm	17 42 03,3 44 31,5 46,7 48,2 <sup>o</sup>	D. Grèce 37,4°N, 20,5°E; H = 17 38 52 (BCIS). Magnitude 5 <sup>1</sup> / <sub>4</sub> -5 <sup>1</sup> / <sub>2</sub> Athènes, MLH = 4,5 Prùhonice. D = 13,3° D <sub>c</sub> = 13,5°; Az = 158°. ei 17 42 12, ei 43 12, ei 44 44. LmH: 12 s, 1,4 μ; LmV: 10 s, 1 μ.

Date	Phase	h m s	Remarques
19	iPKP i	20 02 45,1 02 55,5	C. Région îles Samoa 16°S, 172°W; H = 19 43 04 (USCGS). D <sub>c</sub> = 145,2°; Az = 11°. i 03 04.
19	eiPn eiPg eiSn eiSg	21 29 53,0 30 35,5 31 23 32 16	Alpes occidentales, France 44,6°N, 6,8°E. H = 21 28 03 (BCIS). D = 7,9°; D <sub>c</sub> = 7,5°; Az = 226°. ei 21 31 01,6, ei 31 10, ei 31 38,5, ei 21 55, ei 32 09. Lm 32,5.
20	eiPKP ei Q Qm R Rm	03 46 43,5 48 05 04 23 32 35,1 41	Nouvelle Bretagne 6°S, 149 <sup>01</sup> / <sub>2</sub> E; H = 03 27 52, h = 100 km ca (USCGS). Magnitude: 6 Pasadena, MLH = 6,3 Prùhonice, 6 <sup>1</sup> / <sub>2</sub> -6 <sup>3</sup> / <sub>4</sub> Matsushiro. D <sub>c</sub> = 122,3°; Az = 57°. QmE: 35 s, 1 μ; RmH: 22 s, 2,2 μ; RmV: 22 s, 3 μ.
20	ei	03 56 41	C.
20	eiP ei eL	04 34 05 34 11,5 05 05	Costa Rica 8 <sup>01</sup> / <sub>2</sub> N, 83°W; H = 04 21 10 (USCGS). D <sub>c</sub> = 88,3°; Az = 282°. LmE: 22 s, 2 μ; LmV: 22 s, 3 μ. Lm 08.
21	eiP ei	10 14 36 14 45,2	Îles Kouriles 45°N, 152 <sup>01</sup> / <sub>2</sub> E; H = 10 02 30 (USCGS). D <sub>c</sub> = 78,5°; Az = 29°.
21	(e) eiPg eiSn iSg	21 54 43,5 54 53,5 55 20,5 55 42,5	Alpes carniques à 30 km ca au NW de Tolmezzo. Données peu concordantes (BCIS). D = 3,8°; e 21 54 51,5, ei 55 06,9, ei 55 17,5, ei 55 35, Lm 55 50,5.
22	eiSg ei	03 32 07,2 32 13,5	Suisse, au S de Zürich 47,2°N, 8,6°E; H = 03 29 29 (BCIS). D <sub>c</sub> = 4,7°; Az = 235°.
22	eiP eipP	03 44 31 45 13,5	Afghanistan 34 <sup>01</sup> / <sub>2</sub> N, 70 <sup>01</sup> / <sub>2</sub> E. H = 03 36 46, h = 200 km (BCIS). D <sub>c</sub> = 43,2°; Az = 89°. ei 46 10,5.
22	iP eipP	11 06 57,7 09 51	Aléoutiennes 5,4°N, 167°W; H = 10 55 05 (USCGS). Magnitude: 6 Pasadena, 6,5 Quetta. D <sub>c</sub> = 76,0°; Az = 1°. ei 07 16, ei 08 53,5.
22	ei	12 32 50,5	Traces.



Date	Phase	h m s	Remarques
22	<del>ei</del>	13 01 49,5	Traces.
22	<del>ei</del>	15 05 27,2	Traces.
22	<del>eP</del> <del>ei</del>	17 36 30,5 36 33,2	Traces. Frontière Venezuela-Colombie $7^{\circ}1/2$ N, $72^{\circ}$ W; H = = 17 24 05 (USCGS). $D_c = 82,0^{\circ}$ ; Az = $273^{\circ}$ .
22	<del>e</del> <del>e</del> <del>eL</del> <del>Lm</del>	19.15 08 15 35,5 46 52	Nicaragua $11^{\circ}1/2$ N, $86^{\circ}1/2$ W; H = 19 01 41 (USCGS). Magnitude $5^{3/4}$ Strasbourg, MLH = 5,7 Prùhonice. $D_c = 88,2^{\circ}$ ; Az = $286^{\circ}$ . LmH: 19 s, 1,4 $\mu$ .
22	<del>eiPKP</del> <del>e</del> <del>eiPP</del> <del>Lm</del>	20 46 09,5 46 22,5 48 25,5 21 36	Océan Pacifique $36^{\circ}1/2$ S, $97^{\circ}1/2$ W; H = 20 26 46 (USCGS). Magnitude $5^{3/4}$ -6 Pasadena, Matsushiro, MLH = 5,9 Prùhonice. $D_c = 129,6^{\circ}$ ; Az = $259^{\circ}$ . ei 20 49 31,5, e 21 00 08; LmH: 23 s, 1,4 $\mu$ ; LmV: 23 s, 1 $\mu$ .
23	<del>ei</del>	12 22 21,5	Traces.
23	<del>ei</del>	15 58 18,5	ei 15 58 24,5.
24	<del>ei</del> <del>eL</del> <del>Lm</del>	10 07 13 12 21,6	Près de la côte de Nicaragua $11^{\circ}1/2$ N, $86^{\circ}1/2$ W; H = 09 31 33 (USCGS). MLH = 5,9 Prùhonice. $D_c = 88,2^{\circ}$ ; Az = $286^{\circ}$ . LmH: 18 s, 2,2 $\mu$ ; LmV: 19 s, 3 $\mu$ .
24	<del>ei</del>	11 20 19,2	Traces.
24	<del>ei</del> <del>Lm</del>	12 59 53,0 13 00 06,5	Explosion 7 tonnes $49^{\circ}15,7$ 'N, $14^{\circ}55,4$ 'E. $D_c = 85$ km. ei 12 59 59,5.
24	<del>iPKP</del> <del>eiPP</del> <del>eiPPP</del> <del>eSKKS</del> <del>eiPPS</del> <del>eSS</del> <del>eSSS</del>	18 18 00,0 22 16 25 42 29,1 35 40 42,7 48,3	C. Iles Kermadec $31^{\circ}$ S, $178,3^{\circ}$ W; H = 17 57 58 (USCGS). Magnitude $6^{3/4}$ -7 Pasadena, 6,9 Wellington, MLH = 6,6 Prùhonice. D = $158^{\circ}$ , $D_c = 159,1^{\circ}$ ; Az = $31^{\circ}$ . LQ 19 17, Qm 21, Rm 33, Rm 40. QmH: 27 s, 5 $\mu$ ; QmV: 27 s, 2 $\mu$ ; RmH: 21 s, 5,7 $\mu$ ; RmV: 22 s, 10 $\mu$ .
25	<del>iP</del> <del>iS</del> <del>Q</del> <del>Qm</del> <del>Rm</del> <del>Rm</del>	00 30 33,0 33 52 34 56 35,7 36,5 37,5	D. S. E. SW de la Turquie $37,0^{\circ}$ N, $28,5^{\circ}$ E; H = 00 26 41 (BCIS). Magnitude: 6,2 Uppsala, Kiruna, 6 Strasbourg, MLH = 5,7 Prùhonice. D = $17,6^{\circ}$ ; $D_c = 16,7^{\circ}$ ; Az = $137^{\circ}$ . i 00 30 37,0, ei 31 07, ei 31 39. QmH: 26 s, 18 $\mu$ ; RmH: 12 s, 19 s, RmV: 11 s, 12 $\mu$ .

Date	Phase	h m s	Remarques
25	<del>eiP</del> <del>eiS</del> <del>Q</del> <del>Qm</del>	01 08 33,5 12 52 13 25 14,7	D. Réplique. H = 01 05 42 (BCIS). Magnitude: 5,6 Uppsala, 5 Prùhonice, 5 Strasbourg. D = $17,6^{\circ}$ . i 01 09 38, i 09 51,8, ei 10 10. QmH: 25 s, 3,5 $\mu$ ; RmH: 11 s, 3,5 $\mu$ ; RmV: 10 s, 3 $\mu$ .
25	<del>eiPn</del> <del>eiPg</del> <del>iSn</del> <del>eiSg</del>	09 00 49,0 00 51,5 01 06 01 08,8	Explosion 10,2 tonnes $50^{\circ}09,6$ 'N, $12^{\circ}41,3$ 'E. $D_c = 1,2^{\circ}$ . Lm 09 01 21.
25	<del>ei</del>	11 16 39,0	Traces.
25	<del>ePg</del> <del>eSn</del> <del>eiSg</del>	17 48 55,1 49 27 49 54	Suisse $47,2^{\circ}$ N, $9,1^{\circ}$ E; H = 17 47 25 (BCIS). D = $4,5^{\circ}$ ; $D_c = 4,5^{\circ}$ ; Az = $232^{\circ}$ . ei 17 49 50,8, e 50 05,5, Lm 50 09.
25	<del>eiP</del> <del>ei</del>	23 01 49 02 04,5	Japon $40,2^{\circ}$ N, $142,6^{\circ}$ E; H = 22 49 44 (JMA Japon). $D_c = 78,5^{\circ}$ ; Az = $38^{\circ}$ .
26	<del>iPKP</del> <del>i</del>	05 37 28,0 37 37,7	C. Région îles Samoa $16^{\circ}$ S, $171^{\circ}1/2$ W; H = 05 17 47 (USCGS) $D_c = 145,3^{\circ}$ ; Az = $9^{\circ}$ . ei 37 45.
26	<del>eiPKP</del> <del>ei</del>	06 07 05,8 07 12	Nouvelles Hébrides $19^{\circ}1/2$ S, $169^{\circ}1/2$ E; H = 05 47 28 (USCGS) $D_c = 143,8^{\circ}$ ; Az = $42^{\circ}$ .
26	<del>iPn</del> <del>iPg</del> <del>iSn</del> <del>iSb<sub>2</sub></del> <del>iSg</del> <del>Rm</del>	14 46 16,4 46 30,5 47 01,5 47 17,4 47 19,4 47,7	C. E. N. Alpes de Venétie, Italie $46,5^{\circ}$ N, $13,0^{\circ}$ E; H = = 14 45 16 (BCIS). D = $3,7^{\circ}$ ; $D_c = 3,7^{\circ}$ ; Az = $193^{\circ}$ . MLH = Prùhonice. RmH: 8 s, 6,8 $\mu$ ; RmV: 8 s, 8 $\mu$ .
26	<del>ei</del>	15 11 14,7	ei 15 11 28,5.
26	<del>eiSg</del>	15 14 16,2	ei 15 14 37,5.
26	<del>eSn</del> <del>eiSg</del>	15 22 08 22 30	D = $3,8^{\circ}$ ; ei 15 22 23,4, Lm 22 50.
26	<del>iP</del> <del>eipP</del> <del>eiPP</del> <del>iS</del> <del>eiPS</del>	20 52 46,9 53 20,8 55 59,5 21 02 53,5 03 40,5	C. S. W. Formose $25^{\circ}$ N, $122^{\circ}1/2$ E; H = 20 40 38, h = 150 km ca (USCGS). Magnitude: $7^{1/4}$ - $7^{3/4}$ Pasadena, 7,5 Uppsala, Kiruna, Roma, 7,3 Praha, MLH = 7,6 Prùhonice. D = $83^{\circ}$ ; $D_c = 82,0^{\circ}$ ; Az = $61^{\circ}$ . PH: 8 s, 5 $\mu$ ; PV: 8 s, 15 $\mu$ ; SH: 11 s, 30 $\mu$ ; LmH: 17 s, 44 $\mu$ .



Date	Phase	h m s	Remarques
27	ePKP eiPP ei	10 06 41 07 27 08 24,5	Mer de Banda 7°S, 129°E; H = 09 48 09; h = 150 km ca (USCGS). Magnitude 5 <sup>1</sup> / <sub>2</sub> -6 Wellington. D <sub>c</sub> = 110,9°; Az = 74°.
27	ei	12 55 27,5	Traces.
27	eiP ei eL	13 19 20,5 19 51,5 39	Chine 33 <sup>1</sup> / <sub>2</sub> N, 93°E; H = 13 09 20 (USCGS). Magnitude: 5 <sup>3</sup> / <sub>4</sub> Strasbourg, MLH = 5,7 Prùhonice. D <sub>c</sub> = 58,4°; Az = 75°. LmH: 14 s, 2,5 μ; LmV: 14 s, 3 μ.
27	ei	16 27 26	Traces.
28	iP eiPP eSKS eiS eiPS eiSS eiSSS Q	11 22 27,5 26 01 32 58 33 19 34 33 39 11 43 11 50	C. Mexique-Quatemala 15°N, 93°W; H = 11 09 30 (USCGS). Magnitude: 6 <sup>1</sup> / <sub>2</sub> -6 <sup>3</sup> / <sub>4</sub> Pasadena; 6,6 Tacubaya, MLH = 6,6 Prùhonice. D = 91°; D <sub>c</sub> = 89,3°; Az = 293°. ei 11 22 38,5, ei 22 50,5, ei 23 51, Rm 58,5, Rm 12 05. RmH: 20 s, 12 μ; RmV: 19 s, 15 μ.
28	eiPKP	13 19 46,5	Traces. Nouvelle Bretagne 5°S, 152 <sup>1</sup> / <sub>2</sub> E; H = 13 00 57, h = 100 km ca (USCGS). D <sub>c</sub> = 123,1°; Az = 52°.
28	e eiSg	14 00 22 00 26,5	Explosion à Ettlingen. Lm 14 00 35.
28	eiP ei	17 23 15,6 23 29,1	C. Iles Andreevanov 52°N, 173°W; H = 17 11 15 (USCGS). D <sub>c</sub> = 78,6°; Az = 5°.
28	eiP ei	22 13 23 13 42,5	Japon 36°N, 141°E; H = 22 01 04 (USCGS). D <sub>c</sub> = 81,0°; Az = 41°. ei 14 08.
29	eiP	00 31 09	Traces. Sud de l'Iran 28°N, 55°E; H = 00 23 50. D <sub>c</sub> = 37,8; Az = 110°.
29	eiP ei	01 37 41,6 37 47,7	D. Vrancea 45 <sup>1</sup> / <sub>2</sub> N, 27 <sup>1</sup> / <sub>2</sub> E; H = 01 35 38, foyer profond (Moskva). D <sub>c</sub> = 10,1°; Az = 112°. ei 38 44,5.
29	ei	03 52 48,5	Traces.
29	ei	12 41 12,7	Traces.
29	ei	12 55 19	ei 12 55 58,0.

Date	Phase	h m s	Remarques
30	ei	10 45 08	Traces. ei 10 45 13.
30	ei	12 27 56,5	Traces.
30	e	12 46 51	Traces. ei 12 47 02,5.

## Mai 1959

Date	Phase	h m s	Remarques
1	iP ei(PcP) eSS eL Lm Lm	08 30 05,9 33 19 36 40 42,7 47,5 48,5	C. Nord de l'Iran 36 <sup>1</sup> / <sub>2</sub> N, 52°E; H = 08 23 57 (USCGS). Magnitude: 5,5 Uppsala, Kiruna, MLH = 5,1 Prùhonice. D <sub>c</sub> = 30,1°; Az = 102°. ei 08 30 19,5, ei 31 18, e 35 54; LmH: 15 s, 1,4 μ; LmV: 15 s, 1 μ.
1	ei eiSn	21 40 33,0 40 43	Explosion dans le Harz, Allemagne (Jena); H = 21 39,0 (BCIS).
2	eiPn iPx iPg eiSn	06 37 18,7 37 22,1 37 29,0 38 00,5	Région frontière Autriche-Yougoslavie 46,4°N, 14,2°E; H = 06 36 21 (BCIS). Magnitude 5 Praha. D = 3,4°; D <sub>c</sub> = 3,6°; Az = 179°. ei 06 37 46,5, LmN: 5 s, 1 μ; LmV: 5 s, 1 μ.
3	eiP ei	07 38 31,1 38 46	C. Japon 37 <sup>1</sup> / <sub>2</sub> N, 141°E; H = 07 26 11, h = 100 km ca (USCGS et BCIS). D <sub>c</sub> = 80,7°; Az = 39°.
4	iP iJ iS LQ Qm Qm	07 27 12,1 27 12,7 36 32,5 50,8 55 58,5	C. S. W. Kamtchatka 52 <sup>1</sup> / <sub>2</sub> N, 159 <sup>1</sup> / <sub>2</sub> E; H = 07 15 42, h = 60 km ca (USCGS). Magnitude 8,3 Praha, 8 Pasadena, 7,8 Strasbourg, MLH = 7,8 Prùhonice. D = 72,5°; D <sub>c</sub> = 73,4°; Az = 22°. ei 07 37 36,5, Rm 08.05,4. QmH: 37 s, 740 μ; RmH: 19 s, 290 μ.
4	eiP	11 34 35,0	Traces. Réplique Kamtchatka. H = 11 23 04 (BCIS).
4	eiP ei	17 28 47,5 28 57,5	C. Tibet-Himalaya 29°N, 92°E; H = 17 18 33 (USCGS). D <sub>c</sub> = 60,4°; Az = 79°. ei 29 41,5.



Date	Phase	h m s	Remarques
4	eiPKP	23 03 36,2	C. Iles Fidji vers 21°S, 175°W; H = 22 44,0 (BCIS). $D_c = 149,9^\circ$ ; Az = 19°.
4	eiP ei	09 23 23,5 23 37	C. Iles Kouriles 43 <sup>3</sup> / <sub>4</sub> N, 148 <sup>1</sup> / <sub>4</sub> E; H = 09 11 22 (BCIS). $D_c = 78,2^\circ$ ; Az = 32°.
5	eP ei	11 48 21,5 48 53	Faible. Afghanistan 34 <sup>1</sup> / <sub>2</sub> N, 71 <sup>1</sup> / <sub>2</sub> E; H = 11 40 08 (USCGS). $D_c = 43,8^\circ$ ; Az = 88°.
5	eiP ePP eiPPP eS eiSSS LQ Qm	19 15 46,1 18 25 20 21,0 25 13,5 33 33 38 24 40,6	C. Kamtchatka 53°N, 159°E; H = 19 04 16 (USCGS). Magni- tude: 6,7 Praha, MLH = 6,9 Prùhonice, 6 <sup>1</sup> / <sub>4</sub> Moskva, Stras- bourg. D = 73,0°; $D_c = 73,0^\circ$ ; Az = 21°. ei 19 16 22, ei 25 52,5, Qm 44, Rm 48,5, Rm 52,5. QmE: 30 s, 20 $\mu$ ; RmH: 15 s, 21 $\mu$ ; RmV: 15 s, 24 $\mu$ .
6	eiPKP ei	17 48 03 48 48,7	Iles Fidji 18°S, 179°W; H = 17 29 26, h = 600 km ca (USCGS). $D_c = 146,2^\circ$ ; Az = 24°. ei 49 21,5.
6	eiP	19 05 31,7	Japon 38,6°N, 143,4°E; H = 18 53 15 (JMA Japon et BCIS). $D_c = 80,8^\circ$ ; Az = 38°.
7	ePP ei(PS) eiPPS eSS Qm	00 23 37,8 33 15,5 34 45 40,1 01 07	Mer de Bismarck 3 <sup>1</sup> / <sub>2</sub> S 148 <sup>1</sup> / <sub>2</sub> E; H = 00 03 24 (USCGS). Magnitude 6-6 <sup>1</sup> / <sub>4</sub> Pasadena, 6,2 Uppsala, Kiruna, MLH = = 6,3 Prùhonice. D = 120°; $D_c = 119,6^\circ$ ; Az = 56°. ei 00 25 10, ei 35 19; QmH: 20 s, 2,2 $\mu$ ; QmV: 30 s, 2 $\mu$ ; RmH: 21 s, 4,5 $\mu$ ; QmV: 21 s, 6 $\mu$ .
7	ei	09 00 14,1	Traces.
7	i	10 55 25,7	C.
7	ei	11 29 09,5	Traces.
7	ei	17 17 03	Traces.
7	eiPP	20 41 42,5	Traces. Ile de Flores 8 <sup>1</sup> / <sub>2</sub> S, 123 <sup>1</sup> / <sub>2</sub> E; H = 20 22 41 (USCGS). $D_c = 108,5^\circ$ ; Az = 81°.
7	ePg eSn	22 45 44 46 20	Au NE de Trieste 45,8°N, 14,1°E; H = 22 44 21 (BCIS). D = 4,1°; $D_c = 4,2^\circ$ ; Az = 180°.

Date	Phase	h m s	Remarques
7	ePg eiSn eiSg	22 55 41 56 17,9 56 36	Réplique. H = 22 54 18 (BCIS). ei 22 53 45,4, e 55 53,7, ei 56 14,5, ei 56 31,9, L 56 47.
8	eiP ei	05 27 46 27 55	Iles Riou-Kiou 26 <sup>1</sup> / <sub>2</sub> N, 127 <sup>1</sup> / <sub>2</sub> E; H = 05 15 17 (USCGS). $D_c = 83,4^\circ$ ; Az = 56°.
8	eiP e Lm	06 57 46,2 58 15,5 07 30	Kamtchatka 53 <sup>1</sup> / <sub>2</sub> N 159 <sup>1</sup> / <sub>2</sub> E; H = 06 46 18 (USCGS). Magnitude 5 <sup>1</sup> / <sub>4</sub> -5 <sup>1</sup> / <sub>2</sub> Matsushiro, MLH = 5,6 Prùhonice. $D_c = 72,8^\circ$ ; Az = 21°. LmH: 17 s, 1,4 $\mu$ .
8	i	10 08 45,9	D. ei 08 48.
8	eiP eiPcP eiS eiPPS Q Qm Rm	11 46 16,2 46 39 55 41 56 26 12 11 18 24	C. S. W. Kamtchatka 53 <sup>1</sup> / <sub>2</sub> N, 160 <sup>1</sup> / <sub>2</sub> E; H = 11 34 50; h = 60 km ca (USCGS). Magnitude: 6 Pasadena, Moskva, MLH = 6 Prùhonice. D = 73°; $D_c = 72,9^\circ$ ; Az = 20°. ei 11 47 01 ei 48 05; QmN: 27 s, 3 $\mu$ ; QmV: 27 s, 3 $\mu$ ; QmV: 27 s, 2 $\mu$ ; RmH: 17 s, 2,2 $\mu$ ; RmV: 17 s, 3 $\mu$ .
8	ei	14 04 39,5	Traces.
8	eiP eiPcP	15 40 59 41 10	Iles Kouriles 45 <sup>1</sup> / <sub>2</sub> N, 150 <sup>1</sup> / <sub>2</sub> E; H = 15 28 58 (USCGS). $D_c = 77,5^\circ$ ; Az = 30°.
8	ei	18 34 29	ei 18 34 37.
8	ePg ei eiSg	21 30 14 31 18 31 48,5	Faible. Adriatique au large de la côte yougoslave vers 43 <sup>1</sup> / <sub>2</sub> N, 15 <sup>1</sup> / <sub>2</sub> E; H = 21 28,2 (BCIS). D = 7,2; $D_c = 6,8^\circ$ ; Az = 172°.
8	eiP eiPcP	22 25 52 26 03	Iles Andreanov 51°N, 175°W; H = 22 13 44 (USCGS). $D_c = 78,6^\circ$ ; Az = 6°.
9	eiP ei	12 58 22,5 58 45,5	Iles Aléoutiennes 52 <sup>1</sup> / <sub>2</sub> N, 168 <sup>1</sup> / <sub>2</sub> W; H = 12 46 22 (USCGS). $D_c = 77,2^\circ$ ; Az = 2°.
10	eiP eiPcP L	00 09 02,8 09 19 47	C. Iles Kouriles 45°N, 149°E; H = 23 57 03 (USCGS). $D_c = 77,4^\circ$ ; Az = 31°. ei 00 10 06,5. LmN: 15 s, 1 $\mu$ . ei 00 10 06,5. LmN: 15 s, 1 $\mu$ ; LmV: 15 s, 1 $\mu$ .
10	eiP	11 01 07,5	C. Iles Kouriles 44 <sup>1</sup> / <sub>2</sub> N, 150°E; H = 10 49 08 (USCGS). $D_c = 78,1^\circ$ ; Az = 31°.



Date	Phase	h m s	Remarques
10	<del>ePg</del> <del>eSn</del> <del>eSg</del>	22 18 07 18 50 19 25	Apennin étrusque vers 44°N, 11° <sup>1</sup> / <sub>2</sub> E; H = 22 16,0 (BCIS). D = 6° ca; D <sub>c</sub> = 6,3°; Az = 199.
11	<del>iPg</del> <del>ei</del> <del>eSg</del> <del>Lm</del>	14 39 51,5 39 56,5 40 05,1 40 07	Est de la Tchécoslovaquie 50,0°N, 16,1°E; H = 14 39 31 (BCIS). D = 1°; D <sub>c</sub> = 1,1°; Az = 95°. 49,4°N, 16,0°E, H = 14 39 31. Explosion? (Prùhonice). i 14 39 58,5, ei 40 07,5
11	<del>iP</del> <del>eiPcP</del> <del>ei</del>	16 40 20,0 40 38,2 41 05	C. Kamtchatka 53° <sup>1</sup> / <sub>2</sub> N, 160°E; H = 16 28 49 (USCGS). D <sub>c</sub> = 72,9°; Az = 21°.
12	<del>eiP</del> <del>ei</del> <del>ePP</del>	00 44 44 45 10,5 46 39,5	Frontière Tibet-Inde 32° <sup>1</sup> / <sub>2</sub> N, 79°E; H = 00 35 46 (USCGS). D <sub>c</sub> = 50,0°; Az = 84°.
12	<del>iP</del> <del>eiPP</del> <del>eiS</del> <del>eiPS</del> <del>eiPPS</del> <del>eiSS</del> <del>Q</del> <del>Qm</del>	05 09 09,5 11 51 18 37 19 05 19 23 23 02 33 38,5	D. Iles Commandeur 54° <sup>1</sup> / <sub>2</sub> N, 168°E; H = 04 57 35 (USCGS). Magnitude 6 <sup>1</sup> / <sub>2</sub> Pasadena, 6,2 Strasbourg, 6,3 Prùhonice. D = 73,6°; D <sub>c</sub> = 73,5°; Az = 16°. ei 05 09 30,5, ei 13 01, ei 18 14, Rm 47,6. QmH: 27 s, 5,7 μ; QmV: 27 s, 5 μ; RmH: 16 s, 6,7 μ; RmV: 14 s, 5 μ.
12	<del>eP</del> <del>eS</del> <del>Lm</del>	09 02 05 14 07 17,8	Mer Egée 40° <sup>1</sup> / <sub>2</sub> N, 23° <sup>1</sup> / <sub>4</sub> E; H = 09 09 07 (BCIS). D = 11°; D <sub>c</sub> = 11,7°; Az = 144°. MLH = 4,3 Prùhonice. ei 09 12 08,5, ei 12 27; LmH: 7 s, 0,8 μ.
12	<del>eiP</del> <del>eiPP</del> <del>eiSKS</del> <del>iS</del> <del>eiPS</del> <del>eSS</del> <del>eL</del> <del>Lm</del>	10 00 46 04 44 11 30 12 25,0 13 34 19,2 34 46	Argentine 23° <sup>1</sup> / <sub>2</sub> S, 64° <sup>1</sup> / <sub>2</sub> W; H = 09 46 51 (USCGS et BCIS). Magnitude 6 <sup>3</sup> / <sub>4</sub> Pasadena, 6 <sup>1</sup> / <sub>2</sub> Praha, Strasbourg, MLH = 6,7 Prùhonice. D = 103°; D <sub>c</sub> = 100,8°; Az = 247°. ei 16 01 00,5, ei 14 04. PV: 6 s, 0,7 μ; LmH: 18 s, 9,5 μ; LmV: 18 s, 12 μ.
12	<del>ei</del>	10 45 22,5	ei 10 45 26,5.
12	<del>eiP</del> <del>ei</del> <del>Lm</del>	21 52 27,0 52 43 22 35	Iles Aléoutiennes 51° <sup>1</sup> / <sub>2</sub> N, 177°W; H = 21 40 22 (USCGS). D <sub>c</sub> = 78,0°; Az = 7°; MLH = 5 <sup>1</sup> / <sub>2</sub> Prùhonice. LmH: 16 s, 1,4 μ; LmV: 16 s, 1,2 μ.

Date	Phase	h m s	Remarques
12	<del>eiP</del> <del>eiPcP</del>	22 12 01,5 12 12	D. Réplique H = 21 58 56 (USCHS). Magnitude: 6 Pasadena ei 13 24,5, Lm 57,5.
12	<del>eiP</del> <del>ei</del>	22 46 21 46 39	C. Japon 38°85'N, 142°65'E; H = 22 34 10 (JMA Japon). D <sub>c</sub> = 80,3°; Az = 38°.
12	<del>ei</del>	07 29 49,5	Traces. ei 07 29 58.
12	<del>ei</del>	09 01 50	Traces.
12	<del>ei</del>	10 45 18	Traces. ei 10 45 24.
12	<del>ei</del>	12 00 54	Traces. Epicentre probablement dans le Jura Souabe. Données insuffisantes (BCIS).
14	<del>eP</del> <del>ei(S)</del> <del>Lg</del> <del>Lm</del>	00 58 43,5 01 01 05,5 02 27 04,6	Nord de la Mer Egée 40°N, 23°E. H = 00 55 55 (BCIS). D <sub>c</sub> = 11,9°; Az = 145°. MLH = 4,6 Prùhonice. e 00 58 55,5, ei 01 00 34,5, ei 01 26. LmH: 8 s, 1,6 μ; LmV: 8 s, 1,4 μ.
14	<del>iPKP</del> <del>eipPKP</del>	04 40 58,5 41 18	C. Région îles Tonga 17 s, 173° <sup>1</sup> / <sub>2</sub> W; H = 04 21 19, h = 60 km ca (USCGS). D <sub>c</sub> = 146,3°; Az = 13°.
14	<del>iP</del> <del>ei</del>	06 30 58,9 31 03	C. Crête 35° <sup>1</sup> / <sub>2</sub> N, 24° <sup>1</sup> / <sub>2</sub> E; H = 06 27 05 (BCIS). D <sub>c</sub> = 16,8°; Az = 149°. ei 06 32 19. ei 31 29,5.
14	<del>iP</del> <del>iP</del> <del>iS</del> <del>i</del> <del>Qm</del> <del>Rm</del>	06 40 50,5 40 53,0 44 01,5 44 37,5 46 47	C. N. W. Crête 34,1°N, 24,9°E; H = 06 36 55 (Athènes et BCIS). Magnitude: 6 <sup>1</sup> / <sub>2</sub> Pasadena, 6-6 <sup>1</sup> / <sub>4</sub> Praha, MLH = 5,9, MPH = 5,7, MSH = 5,6, MPV = 5,3 Prùhonice. D = 16,8°; D <sub>c</sub> = 16,7°; Az = 148°. ei 06 41 30; PH = 10 s, 1 μ; PV: 10 s, 1 μ; SH: 5 s, 3,3 μ; SV: 5 s, 2,5 μ; QmH: 25 s, 17 μ; RmH: 11 s, 30 μ; RmV: 12 s, 25 μ.
14	<del>iPKP</del> <del>ei</del> <del>ei</del>	09 52 57,5 53 03 54 47,0	C. Nouvelles Hébrides 19°S, 170°E; H = 09 33 22 (USCGS). D <sub>c</sub> = 143,4°; Az = 41°. ei 09 53 41.
14	<del>iPKP</del> <del>i</del> <del>ei</del>	10 02 10,3 02 21,2 02 46,5	C. Epicentre dans le Pacifique Sud. Données insuffisantes (BCIS). ei 10 03 13.
14	<del>eiP</del> <del>ei</del>	11 30 23,5 02 32,5	C. Réplique. Crête H = 11 26 32 (BCIS). ei 11 30 49,6.



Date	Phase	h m s	Remarques
14	eiPKP ei	12 08 48,5 05 19	Traces. Nouvelles Hébrides 19°S, 170°E. H = 11 49 20, h = 100 km ca (USCGS). $D_c = 143,4^\circ$ ; Az = 41°.
14	ei	12 53 52,3	Traces.
14	ei	12 56 15,4	Traces.
14	iPKP ei e eiPP	13 38 53,5 39 13,8 41 11 42 06,5	C. Nouvelles Hébrides 19°S, 170°E; H = 13 19 32, h = 150 km ca (USCGS). Magnitude $5\frac{1}{2} - 5\frac{3}{4}$ Wellington. $D_c = 143,4^\circ$ ; Az = 41°.
14	ei	14 21 21,0	
14	ei	17 37 10,1	C.
14	eP eiS Lg Rm Rm	19 25 07 27 21,2 28 46 30,4 31	Mer Egée 40,0°N, 23,3°E; H = 19 22 18 (BCIS). Magnitude $5\frac{1}{4} - 5\frac{1}{2}$ Athènes, MLH = 4,7 Prùhonice. D = 12°; $D_c = 12,0^\circ$ ; Az = 144°. ei 19 25 23,8, ei 26 16,5, e 27 09,5, ei 27 32, RmH = 11 s, 3,1 $\mu$ ; RmV: 8 s, 2,4 $\mu$ .
15	eiP ei	01 42 03,2 42 32	C. Kamtchatka 54°N, 158° $\frac{1}{2}$ E; H = 01 30 35 (USCGS). $D_c = 71,8^\circ$ ; Az = 21°.
15	ei	10 44 04	ei 10 44 12.
15	ei	11 20 33	Traces.
15	ei	12 52 16	ei 15 52 25,5.
15	ei	13 01 52,5	Traces.
15	e	14 01 05	Traces. ei 14 01 19.
15	eiP	14 55 54	Traces. Mexique 16°47'N, 99°53'W; H = 14 42 44 (Tacubaya). Magnitude: 5,2 Tacubaya. $D_c = 92,1^\circ$ ; Az = 298°.
16	e	02 17 11	Traces. Suisse H = 02 14 42,3 (Zürich).
16	eiSg Lm	05 03 52,3 04 07	Jura français, vers 47,4°N, 6,4°E. H = 05 00 40 (BCIS). $D_c = 5,8^\circ$ ; Az = 246°.

Date	Phase	h m s	Remarques
16	eiP ei	05 09 09,5 09 23	Alaska 65° $\frac{1}{2}$ N, 156°W; H = 04 58 25 (USCGS). $D_c = 64,5^\circ$ ; Az = 355°.
16	eiPKP eiPP e(PS) eiSS eSSS Q Qm Rm	06 35 18,5 36 46 47 00 54 11 59 08 07 12 17 28	D. Nouvelle Bretagne 4° $\frac{1}{2}$ S, 153° $\frac{1}{2}$ E; H = 06 16 23, h = 60 km ca (USCGS). Magnitude: $6\frac{3}{4}$ Pasadena, Moskva, $6\frac{1}{4}$ Strasbourg, 6,4 Prùhonice. D = 122° ca; $D_c = 122,9^\circ$ ; Az = 51°. i 06 35 4,15; ei 37 30,5, QmH: 32 s, 4,3 $\mu$ ; RmH: 22 s, 3,6 $\mu$ ; RmV: 24 s, 6 $\mu$ .
16	e	06 45 30	
16	ei	07 01 12	ei 07 01 16,8.
16	eiP ei	08 22 14,8 22 21,5	Ile de Crète 35,1°N, 24,9°E; H = 08 18 22 (BCIS). $D_c = 16,9^\circ$ ; Az = 148°. ei 23 30,5.
16	i	09 41 14,3	ei 09 41 21,5.
16	eiP	10 44 30,5	C. ei 10 44 39.
16	ei	11 06 23,7	C.
16	e(Pg) eiSg	14 01 20,5 01 50	e 14 01 44. Explosion 10,1 tonnes 49°42'N, 17°47,3'E. $D_c = 235$ km.
16	ei	15 59 24,5	Traces. Epicentre dans les Aléoutiennes. Données insuffisantes (BCIS).
16	ei	23 39 20	Traces.
17	e iSg	05 45 32 45 41	Explosion? i 05 45 38,5; L 45 51, i 46 06,5.
17	ei	08 41 38	Traces.
17	eiP eiPcP	19 27 12,8 27 26	Kamtchatka 54°N, 159° $\frac{1}{2}$ E; H = 19 15 42 (USCGS). $D_c = 72,1^\circ$ ; Az = 210°.
17	ei	22 48 06,2	Traces.



Date	Phase	h m s	Remarques
18	✓ eiP ✗ ei ✗ ei	07 36 01,6 36 10,8 36 30,5	D. Aléoutiennes $52^{\circ}1/2$ N, $173^{\circ}1/2$ E; H = 07 24 11 (USCGS). Magnitude 6,2 Reykjavík. $D_c = 76,0^{\circ}$ ; Az = $12^{\circ}$ .
18	✗ ei	16 32 13,5	Traces.
19	✗ eiP	08 03 45,5	Traces. Philippines $13^{\circ}$ N, $120^{\circ}1/2$ E; H = 07 50 38 (USCGS). $D_c = 90,1^{\circ}$ ; Az = $69^{\circ}$ .
19	✗ iPKP ✗ ei ✗ ei	08 55 05,4 55 26 55 44	D. Région îles Tonga $16^{\circ}$ S, $174^{\circ}$ W; H = 08 35 23 (USCGS). $D_c = 145,2^{\circ}$ ; Az = $15^{\circ}$ .
19	✓ iP ✓ eiPP ✓ eS ✓ eSS ✗ L ✗ Lm ✗ Lm	15 25 44,0 27 28 32 07 35 25 39 44 46,5	C. Est de l'Afghanistan $33^{\circ}$ N, $68^{\circ}1/2$ E; H = 15 17 44 (USCGS). Magnitude: $5^3/4$ Praha, 5,8 Uppsala, Kiruna, MLH = 5,4 Prùhonice. D = $43^{\circ}$ ; $D_c = 42,8^{\circ}$ ; Az = $93^{\circ}$ . ei 15 25 56, ei 26 10,5, 26 28,2, ei 28 24. LmH: 19 s, 2,4 $\mu$ .
20	✗ ei	10 05 20,0	Traces.
20	✓ eiP	10 56 51,5	D. ei 10 56 58.
20	✓ eiP ✓ ei	11 38 09,8 38 22,8	C. Japon $32^{\circ}1/2$ N, $136^{\circ}1/2$ E; H = 11 26 28, h = 450 km ca (USCGS). $D_c = 82,9^{\circ}$ ; Az = $46^{\circ}$ .
20	✗ ePn ✗ ePg ✗ ei ✗ eiSg	14 42 41 43 18 44 14,0 44 53,3	Alpes occidentales, France; $44,6^{\circ}$ N, $6,8^{\circ}$ E; H = 14 40 50 (BCIS). Réplique du Avril. D = $7,5^{\circ}$ ; $D_c = 7,6^{\circ}$ ; Az = $227^{\circ}$ . e 14 43 40, ei 44 26,5, ei 45 04.
20	✓ eiP ✗ ei ✗ ei ✗ Lm	16 40 43,0 41 03 42 12,5 47,5	C. Îles du Dodécanèse $36,9^{\circ}$ N, $26,3^{\circ}$ E; H = 16 36 52 (BCIS). Magnitude: $5^1/2$ Athènes. $D_c = 15,9^{\circ}$ ; Az = $142^{\circ}$ . ei 16 40 47, ei 41 48; LmH: 9 s, 0,8 $\mu$ ; LmV: 9 s, 0,9 $\mu$ .
20	✓ iP ✓ iPcP ✗ ei ✗ eL ✗ Lm	19 47 04,9 47 14,1 48 14,5 20 16 18,5	C. Îles Kouriles $44^{\circ}1/2$ N, $149^{\circ}$ E; H = 19 35 03 (USCGS). Magnitude: 5,7 Uppsala, Kiruna, $5^1/2$ Strasbourg, MLH = 5,5 Prùhonice. $D_c = 77,8^{\circ}$ ; Az = $31^{\circ}$ . LmH: 23 s, 1,4 $\mu$ ; LmV: 16 s, 1,7 $\mu$ . Lm 29.

Date	Phase	h m s	Remarques
20	✓ eiP ✓ eiS ✗ eL ✗ Lm	19 53 55,5 57 49 20 01 03,5	C. Disturbé par le précédent. Georgie Caucase, URSS $41,8^{\circ}$ N, $42^{\circ}$ E; H = 19 49 12 (Moskva). Magnitude: 5,7 Uppsala, Kiruna, $5^3/4$ Moskva, MLH = 5,1 ca Prùhonice. D = $21,5^{\circ}$ ; $D_c = 20,7^{\circ}$ ; Az = $102^{\circ}$ . ei 54 11,2, ei 55 17,8. LmH: 13 s, 2,3 $\mu$ ; LmV: 13 s, 2,9 $\mu$ .
20	✗ eiP ✗ ei	22 17 40,5 18 08	C. Îles Kouriles $44^{\circ}1/2$ N, $149^{\circ}$ E. H = 22 05 40 (BCIS). $D_c = 77,8^{\circ}$ ; Az = $31^{\circ}$ .
21	✓ eiP ✗ ei ✗ ei	07 03 28,0 03 48 04 16,5	C. Îles Aléoutiennes $52^{\circ}1/2$ N, $170^{\circ}1/2$ W; H = 06 51 40 (USCGS). Magnitude 5 Matsushiro. $D_c = 77,3^{\circ}$ ; Az = $2^{\circ}$ .
21	✗ e ✗ eiPP ✓ eiPPP ✓ eiPPS ✓ eSSS	11 52 20 53 10 55 44 12 03 40 12,0	Argentine $28^{\circ}$ S, $69^{\circ}$ W; H = 11 34 23, h = 60 km ca (USCGS). Magnitude 6 Pasadena, $5^3/4$ Strasbourg. D = $108^{\circ}$ ca; $D_c = 106,9^{\circ}$ ; Az = $247^{\circ}$ . ei 11 53 31, ei 12 01 17, e 02 47, ei 03 40. LmN: 19 s, 0,5 $\mu$ ; LmV: 18 s, 1 $\mu$ . Lm 41,5.
21	✗ ei	12 22 28,0	ei 12 22 35.
21	✗ i	12 59 43,8	
21	✓ iPg ✗ iSg	15 36 30,0 36 31,5	Explosion 3,6 tonnes $49^{\circ}57,3'$ N, $14^{\circ}23,4'$ E. $D_c = 11$ km; Lm 15 36 32,5.
22	✗ eiP ✗ eiPcP	04 53 39,5 53 52	D. Kamtchatka $51^{\circ}1/2$ N, $159^{\circ}$ E; H = 04 41 57 (USCGS). Magnitude 5- $5^1/4$ Matsushiro. $D_c = 74,1^{\circ}$ ; Az = $22^{\circ}$ .
22	✓ ei	07 06 43	ei 07 07 06, 07 26,5.
22	✓ eiPKP ✗ ei	07 17 55,5 18 14	Nouvelle Zélande $41,0^{\circ}$ S, $174,2^{\circ}$ E; H = 06 57 12 (Wellington et BCIS). Magnitude: 6,0 Wellington. $D_c = 163,2^{\circ}$ ; Az = $53^{\circ}$ .
22	✓ iP ✗ i ✗ ei	08 41 54,5 41 59,5 42 15,5	C. Nord de la Birmanie $25^{\circ}1/2$ N, $95^{\circ}1/2$ E; H = 08 41 00 (USCGS). Magnitude: 5 Peking. $D_c = 65,5^{\circ}$ ; Az = $79^{\circ}$ .
22	✓ eiP	09 00 10,0	C. ei 09 00 23,5.
23	✗ iPg ✗ iSg	12 00 09,1 00 12,8	C. Explosion 2,7 tonnes $49^{\circ}57,3'$ N, $14^{\circ}13,0'$ E; $D_c = 27$ km. L 12 00 14,3. Lm 00 16.



Date	Phase	h m s	Remarques
24	✓ eiP ✓ ei ✓ eiPcP	11 38 46,0 38 55,7 39 23,5	D. Frontière Inde-Bhutan $26^{1/2}N$ , $90^{1/2}E$ ; H = 11 28 18 (USCGS). Magnitude: 5 Peking. $D_c = 61,4^\circ$ ; Az = $82^\circ$ .
24	✓ eiP ✓ eL ✓ Lm	13 23 17,1 27 29,7	C. Algérie $36,3^\circ N$ , $4,8^\circ E$ ; H = 13 19 32 (Alger et BCIS). $D_c = 15,7^\circ$ ; Az = $209^\circ$ . ei 13 23 40, ei 24 20, e 26,3. LmN: 15 s, 1,3 $\mu$ ; LmV: 15 s, 1,8 $\mu$ .
24	✓ ei	14 40 56	Traces.
24	✓ eiP ✓ eiPP ✓ eiS ✓ iPS ✓ eiPPS ✓ eiSS ✓ eL ✓ Lm	19 30 33,5 34 08,5 41 26,5 42 30 43 00 47 22 20 02 12	Oaxaca, Mexique $17^{1/2}N$ , $97^\circ W$ ; H = 19 17 40, h = 100 km ca (USCGS et BCIS). Magnitude: 6,8 Praha, MLH = 6,9 Prùhonice, $6^{3/4}-7$ Pasadena. $D = 90^\circ$ ; $D_c = 90,0^\circ$ ; Az = $298^\circ$ . i 19 30 42,5, i 30 52,8, ei 34 39,5, ei 40 29, i 41 52,8, ei 46 39. LmN: 23 s, 8,5 $\mu$ ; LmV: 23 s, 18 $\mu$ .
25	✓ eiPKP	05 22 45,0	Région îles Fidji, vers $16^{1/2}S$ , $178^\circ W$ ; H = 05 03,1 (BCIS). $D_c = 145,2^\circ$ ; Az = $21^\circ$ .
25	✓ eiP ✓ ei	19 31 18 31 46	D. Assam $27^\circ N$ , $94^\circ E$ ; H = 19 20 48 (USCGS). $D_c = 63,4^\circ$ ; Az = $79^\circ$ .
26	✓ iP ✓ eipP ✓ eiPP ✓ eS ✓ eL	04 25 18,0 25 52 28 31 35,5 54	D. Région îles Riou-Kiou $27^{1/2}N$ , $126^{1/2}E$ ; H = 04 13 01, h = 100 km ca (USCGS). Magnitude: $6^{1/2}-6^{3/4}$ Pasadena, 6,5 Praha. $D = 82,5^\circ$ ca, $D_c = 82,1^\circ$ ; Az = $56^\circ$ . ei 04 29 10, e 36 45. LmH: 15 s, 1,1 $\mu$ ; LmV: 15 s, 1,5 $\mu$ . Lm 05 06,7.
26	✓ eiP ✓ ei	05 38 43,2 38 56	D. Petites Antilles $17^\circ N$ , $61^\circ W$ ; H = 05 27 36 (USCGS et BCIS). Magnitude 5,6 Reykjavik. $D_c = 67,9^\circ$ ; Az = $273^\circ$ .
26	✓ ei	12 36 26,4	Traces.
26	✓ ei	12 57 17,3	Traces.
26	✓ eiP ✓ ei	13 34 01 34 39,8	Mer de Groenland $72^\circ N$ , $3^{1/2}W$ ; H = 13 28 48 (BCIS). $D_c = 23,5^\circ$ ; Az = $348^\circ$ .
26	✓ ei ✓ Lm	18 04 25 09,7	Traces. Grèce $38,3^\circ N$ , $22,1^\circ E$ ; H = 18 01 11 (BCIS). $D_c = 13,1^\circ$ ; Az = $152^\circ$ . LmH: 10 s, 0,6 $\mu$ ; LmV: 10 s, 0,7 $\mu$ .

Date	Phase	h m s	Remarques
27	✓ eiP ✓ ei	05 04 22,4 04 34,5	C. Japon $33^\circ N$ , $141^\circ E$ ; H = 04 51 45 (USCGS et BCIS). $D_c = 84,6^\circ$ ; Az = $42^\circ$ .
27	✓ eiP	05 54 32,0	D. ei 05 54 37.
27	✓ eiPn ✓ iPg ✓ iSn ✓ iSb <sub>2</sub> ✓ iSg ✓ Qm ✓ Rm	20 39 57 40 31,5 41 04,5 41 10 41 46 41 54,8 42,5 45,8	Frontière Hongrie-Roumanie $45^{3/4}N$ , $21^{1/4}E$ ; H = 20 38 24 (BCIS). Magnitude: $4^{3/4}-5$ Praha, $5^{1/4}-5^{1/2}$ Matsushiro, MLH = 4,4 Prùhonice. $D = 6,5^\circ$ ; $D_c = 6,3^\circ$ ; Az = $129^\circ$ . i 20 40 18,5, i 41 27,0. QmH: 14 s, 6,4 $\mu$ ; RmH: 8 s, 2,2 $\mu$ ; RmV: 7 s, 1,4 $\mu$ .
29	✓ eiPKP ✓ ipPKP ✓ eiPP ✓ ei(SKKS) ✓ ePPS ✓ eSS ✓ L ✓ Lm	11 02 13 02 38 05 42 12 13 18 15 24 30 45 12 02	Nouvelles Hébrides $19^\circ S$ , $169^{1/2}E$ ; H = 10 42 48; h = 100 km ca (USCGS et BCIS). Magnitude: $6^{1/2}$ Pasadena, 6 Matsushiro, MLH = 6,3 Prùhonice. $D = 145^\circ$ ca; $D_c = 143,2^\circ$ ; Az = $42^\circ$ . i 11 02 21, e 03 25, ei 07 36, e 16 57; LmH: 26 s, 1,8 $\mu$ .
30	✓ ei	12 30 41,3	Traces.
31	✓ e(P) ✓ ei	05 48 34 48 51,5	Îles Cayman $20^\circ N$ , $80^\circ W$ ; H = 05 36 25 (USCGS). $D_c = 77,5^\circ$ ; Az = $287^\circ$ .
31	✓ eiPKP ✓ ei ✓ eiPP ✓ eiPPS	09 47 14,6 47 27,5 49 09,0 10 00 39,5	C. Îles Salomon $6^{1/2}S$ , $155^\circ E$ ; H = 09 28 09 (USCGS et BCIS). Magnitude: $6^{1/2}$ Pasadena. $D = 126^\circ$ ca; $D_c = 125,4^\circ$ ; Az = $51^\circ$ . LmH: 15 s, 0,9 $\mu$ ; LmV: 15 s, 0,9 $\mu$ .
31	✓ eiP ✓ i ✓ iS ✓ ei ✓ Lm	12 18 05,1 18 41,7 20 37,5 20 37,5 22,7	D. Roumanie $45,7^\circ N$ , $24,7^\circ E$ ; H = 12 15 41 (BCIS). $D = 11^\circ$ ; $D_c = 9,8^\circ$ ; Az = $110^\circ$ . i 12 19 19,2, ei 19 27,2; LmH: 10 s, 1,2 $\mu$ ; LmV: 12 s, 1,3 $\mu$ .
31	✓ eP ✓ ei	13 07 35 07 47,0	Iran $37^{1/2}N$ , $49^\circ E$ ; H = 13 01 44 (USCGS et BCIS). $D_c = 27,5^\circ$ ; Az = $104^\circ$ .



Date	Phase	h m s	Remarques
31	<del>eiPKP</del> <del>ei</del>	15 41 43,3 41 47,6	D. Iles Fidji 17°S, 179°W; H = 15 22,2 (BCIS). $D_c = 145,3^\circ$ ; Az = 240°.
31	<del>ei</del>	19 34 23,6	e 19 34 36.

## Juin 1959

Date	Phase	h m s	Remarques
1	<del>ei</del>	01 49 38,6	Traces.
1	<del>i</del>	11 42 36,5	D.
1	<del>eiPKP</del> <del>i</del>	12 50 45,1 50 46,3	Région îles Salomon 6° <sup>1</sup> / <sub>2</sub> S, 155°E; H = 12 32 26, h = 400 km ca (USCGS). $D_c = 125,4^\circ$ ; Az = 51°.
1	<del>ei</del>	13 04 52	Traces.
1	<del>eiPKP</del> <del>eiPP</del> <del>eiPPS</del> <del>Lm</del>	17 26 21 28 15,5 39 45 17,9	D. Iles Salomon 6° <sup>1</sup> / <sub>2</sub> S, 155° <sup>1</sup> / <sub>2</sub> E; H = 17 07 23, h = 100 km ca (USCGS). D = 126°; $D_c = 125,7^\circ$ ; Az = 52°. MLH = Prùhonice. e 17 28 36. LmH: 15 s, 1,4 $\mu$ ; LmV: 17 s, 2 $\mu$ .
1	<del>iP</del> <del>ei</del>	18 08 24,5 08 30	C. Epicentre probablement au Pamir. Données insuffisantes (BCIS).
1	<del>eiP</del> <del>ei</del>	20 37 02,5 37 13	D. Kamtchatka 56°N, 163°E; H = 20 05 40 (BCIS). $D_c = 71,0^\circ$ ; Az = 18°.
2	<del>eiP</del> <del>ei</del> <del>L</del> <del>Lm</del>	00 59 36 59 46,3 01 36 40	Japon 32° <sup>1</sup> / <sub>2</sub> N, 131° <sup>1</sup> / <sub>2</sub> E; H = 00 47 17 (USCGS et BCIS). Magnitude: 5 <sup>3</sup> / <sub>4</sub> Strasbourg, Prùhonice, 5 <sup>1</sup> / <sub>2</sub> Moskva. $D_c = 81,1^\circ$ ; Az = 49°. LmH: 17 s, 2,2 $\mu$ ; LmV: 17 s, 3 $\mu$ .
2	<del>ePP</del> <del>ei</del>	02 14 23 14 30,7	Célèbes 0°, 123° <sup>1</sup> / <sub>2</sub> E; H = 01 56 32, h = 200 km ca (USCGS). $D_c = 102,2^\circ$ ; Az = 76°.

Date	Phase	h m s	Remarques
2	<del>eiP</del> <del>i</del> <del>eiS</del> <del>eiPS</del> <del>Qm</del> <del>Rm</del> <del>Rm</del>	02 50 20,5 50 24,0 03 00 41,5 01 36 21,5 26,6 32,7	Région îles Batan 21°N, 121°E; H = 02 37 46 (USCGS et BCIS). Magnitude: 6,2 Strasbourg, 5,9 Uppsala, Kiruna, Prùhonice. D = 84°; $D_c = 84,3^\circ$ ; Az = 64°. ei 02 50 43,8, e 03 03 15. QmN: 38 s, 2 $\mu$ ; LmH: 15 s, 1,9 $\mu$ ; LmV: 13 s, 1,7 $\mu$ .
2	<del>eiPKP</del> <del>ei</del>	03 43 18 43 31	Région îles Tonga 25°S, 176°W; H = 03 23 12 (USCGS). $D_c = 153,5^\circ$ ; Az = 21°.
2	<del>eiPKP<sub>1</sub></del> <del>eiPKP<sub>2</sub></del> <del>ePP</del>	03 51 51,0 52 12 55 46	D. Réplique. H = 03 31 57 (BCIS). ei 03 51 59, ei 56 06,5.
2	<del>ePKP</del>	04 08 39	Réplique. H = 03 48 13 (BCIS). ei 08 50.
2	<del>eDKP</del> <del>ePP</del>	04 12 10,1 15 56	Réplique. H = 03 52 07 (BCIS). ei 04 12 24.
2	<del>eiP</del> <del>i</del> <del>iS</del> <del>Qm</del> <del>Rm</del> <del>Rm</del>	05 09 58 10 37,7 20 23,5 42,7 48 52,5	C. Région îles Batan 21°S, 121° <sup>1</sup> / <sub>2</sub> E; H = 04 57 18 (USCGS). Magnitude: 6 <sup>3</sup> / <sub>4</sub> Strasbourg, 6,4 Uppsala, 6 <sup>1</sup> / <sub>4</sub> Kew. MLH = = 6,5 Prùhonice. D = 85°; $D_c = 84,5^\circ$ ; Az = 65°. ei 05 10 06,5, ei 10 28,7, ei 21 09. SH: 9 s, 1 $\mu$ ; QmN: 28 s, 3 $\mu$ ; RmH: 16 s, 8 $\mu$ ; RmV: 14 s, 5 $\mu$ .
2	<del>eiP</del> <del>ei</del>	05 55 10,5 55 25	Réplique. H = 05 42 33 (BCIS). Magnitude: 6,0 Kiruna, Uppsala.
2	<del>eSn</del> <del>ei</del>	10 04 55 05 16,5	Région du Monte Cargano, vers 41,5°N, 15,8°E; H = 10 01,2 (BCIS). $D_c = 8,5^\circ$ ; Az = 172°. ei 05 42.
2	<del>iPKP</del> <del>ei</del>	13 04 30,0 04 53	C. Région îles Tonga, vers 25°S, 176°W; H = 12 44,4. Don- nées peu concordantes. $D_c = 153,5^\circ$ ; Az = 22°.
3	<del>iP</del> <del>i</del> <del>ei</del>	05 55 28,2 55 40,0 55 48	D. Iles Aléoutiennes 52° <sup>1</sup> / <sub>2</sub> N, 170°W. H = 05 43 28 (BCIS et USCGS). Magnitude: 6,4 Quetta. $D_c = 77,2^\circ$ . Az = 3°.
3	<del>eiP</del> <del>ei</del>	08 47 30,0 47 44	Kamtchatka 55° <sup>1</sup> / <sub>2</sub> N, 163°E; H = 08 36 04 (USCGS). $D_c = 71,2^\circ$ ; Az = 18°. ei 48 08.
3	<del>ei</del>	16 02 02	ei 16 02 05, ei 02 14,7.



Date	Phase	h m s	Remarques
3	<del>eiSg</del>	23 37 25	Traces. Région de Heidelberg $49^{\circ}1/2N, 8^{\circ}3/4E$ , H = 23 35 23 (BCIS). $D_c = 3,6^{\circ}$ ; Az = $266^{\circ}$ .
4	<del>eiP</del> <del>ei</del>	02 10 35,5 10 52	Costa Rica $9^{\circ}N, 84^{\circ}1/2W$ . H = 01 57 49 (USCGS). $D_c = 88,7^{\circ}$ ; Az = $283^{\circ}$ .
4	<del>iP</del> <del>ei</del>	12 43 00,6 43 39	Bai de Cook $59^{\circ}1/2N, 153^{\circ}W$ ; H = 12 31 56, h = 100 km ca (USCGS). Magnitude: $5^1/2$ Pasadena. $D_c = 70,2^{\circ}$ ; Az = $353^{\circ}$ .
4	<del>e</del>	20 35 04	ei 20 35 17.
4	<del>iPKP</del> <del>i</del>	21 54 07,2 54 14,5	Région îles Tonga, vers $21^{\circ}S, 178^{\circ}W$ ; H = 21 34,4 (BCIS). $D_c = 149,2^{\circ}$ ; Az = $23^{\circ}$ .
4	<del>eiPKP</del> <del>ei</del>	22 12 08,3 12 24,5	C. Région îles Tonga, vers $16^{\circ}1/2S, 172^{\circ}1/2W$ ; H = 21 52 24 (BCIS). $D_c = 145,7^{\circ}$ ; Az = $12^{\circ}$ . ei 13 17,5.
5	<del>ei</del> PKP <del>ei</del>	08 06 06 06 06,8	Région îles Fidji $19^{\circ}S, 177^{\circ}1/2W$ ; H = 07 46 24 (BCIS). $D_c = 147,6^{\circ}$ ; Az = $22^{\circ}$ .
5	<del>iPg</del> <del>iSg</del>	15 29 49,0 29 50,5	Explosion de 5,6 tonnes $49^{\circ}57,3'N, 14^{\circ}23,4'E$ . $D_c = 11$ km. Lm 15 29 51,8.
5	<del>eiP</del>	20 13 41	Près de la côte S de l'île de Crète $35,2^{\circ}N, 24,5^{\circ}E$ ; H = 20 09 48 (BCIS). $D_c = 16,6^{\circ}$ ; Az = $149^{\circ}$ .
5	<del>eL</del> <del>Lm</del> <del>Lm</del>	21 16 26,5 28	Près de la côte de Nicaragua $12^{\circ}N, 86^{\circ}1/2W$ ; H = 20 37 15, h = 100 km ca (USCGS). $D_c = 87,8^{\circ}$ ; Az = $275^{\circ}$ . LmH: 20 s, $1 \mu$ ; LmV: 20 s, $1,4 \mu$ .
6	<del>eiPg</del> <del>e</del> <del>eiSg</del>	01 23 55 24 41,5 24 59,5	Faible. Pic Cazarauls, Suisse $46^{\circ}52'N, 8^{\circ}53'E$ ; H = 01 22 23 (Zürich). D = $4,9^{\circ}$ ; $D_c = 4,8^{\circ}$ ; Az = $228^{\circ}$ . Lm 25 13.
6	<del>ei</del>	11 00 17,5	C. e 11 00 36.
7	<del>eiPKP</del> <del>ei</del>	02 54 35 54 46,5	C. Région îles Loyauté $21^{\circ}1/2S, 170^{\circ}E$ . H = 02 34 53 (BCIS). $D_c = 145,6^{\circ}$ ; Az = $42^{\circ}$ .
7	<del>eiP</del>	08 31 04	ei 08 31 14,2, ei 31 27,5.

Date	Phase	h m s	Remarques
7	<del>eiP</del> <del>eiPP</del> <del>eiS</del> <del>eiPS</del> <del>L</del> <del>Lm</del>	13 49 26,0 51 30 57 23 57 44,5 14 06 18,7	C. Océan Atlantique $1^1/2^{\circ}N, 18^{\circ}W$ ; H = 13 39 38 (USCGS). Magnitude: 6,1 Kiruna, Uppsala, $5^3/4$ Strasbourg. D = $58^{\circ}$ ; $D_c = 56,4^{\circ}$ ; Az = $221^{\circ}$ .
7	<del>eP</del>	14 20 52	Grèce $37,2^{\circ}N, 21,8^{\circ}E$ ; H = 14 17 28 (BCIS). $D_c = 13,9^{\circ}$ ; Az = $153^{\circ}$ .
7	<del>eiPKP</del> <del>e</del>	17 56 06 57 07	C. Îles Tonga $19^{\circ}S, 174^{\circ}W$ ; H = 17 36 19 (USCGS). $D_c = 148,1^{\circ}$ ; Az = $15^{\circ}$ .
9	<del>eiP</del> <del>ei</del>	11 25 16,4 25 24	C. Turquie $36,5^{\circ}N, 28,7^{\circ}E$ ; H = 11 21 16 (BCIS). $D_c = 17,1^{\circ}$ ; Az = $136^{\circ}$ .
9	<del>eiPg</del> <del>eiSg</del>	14 16 26,5 16 46,2	D = $1,4^{\circ}$ .
9	<del>ei</del>	16 59 48,0	Traces.
10	<del>eP</del> <del>eiS</del> <del>eL</del> <del>Lm</del> <del>Lm</del>	04 19 46 22 51 24 26,3 27	Région Crète $35^{\circ}3/4N, 24^{\circ}1/4E$ ; H = 04 16 03 (BCIS). Magnitude: 5,7 Uppsala, Kiruna, $5^1/2$ Athènes, MLH = 4,9 Prùhonice. D = $16,2^{\circ}$ ; $D_c = 16,0^{\circ}$ ; Az = $148^{\circ}$ . i 04 19 52, i 19,57; LmH: 9 s, $2,4 \mu$ ; LmV: 9 s, $2,2 \mu$ .
10	<del>eiP</del> <del>epP</del>	10 02 46 03 12,5	C. Philippines $13^{\circ}1/2N, 120^{\circ}E$ . H = 09 49 53, h = 100 km ca (USCGS). $D_c = 89,5^{\circ}$ ; Az = $69^{\circ}$ .
10	<del>ei</del>	10 17 43	
10	<del>eiPKP</del> <del>ei</del>	11 09 20 09 27	D. S des îles Fidji $20^{\circ}1/2S, 179^{\circ}W$ ; H = 10 50 32, h = 600 km ca (USCGS). $D_c = 148,2^{\circ}$ ; Az = $25^{\circ}$ .
11	<del>eiPKP<sub>1</sub></del> <del>iPKP<sub>2</sub></del>	00 14 39 14 52	Région îles Tonga $24^{\circ}1/2S, 179^{\circ}W$ ; H = 23 54 46 (USCGS). $D_c = 152,5^{\circ}$ ; Az = $28^{\circ}$ .
11	<del>eiPKP</del> <del>ei</del>	01 29 33 29 44	D. Région îles Tonga $23^{\circ}1/2S, 176^{\circ}W$ ; H = 01 09 31 (USCGS). $D_c = 152,0^{\circ}$ ; Az = $21^{\circ}$ .
11	<del>e</del>	07 06 41	e 07 07 54, ei 07 16,5, ei 07 20.
11	<del>eiP</del> <del>ei</del>	08 31 37 33 12	Pamir $38^{\circ}1/2N, 71^{\circ}1/2E$ ; H = 08 23 48 (Moskva et BCIS). $D_c = 41,4^{\circ}$ ; Az = $84^{\circ}$ .



Date	Phase	h m s	Remarques
11	<del>X</del> ei <del>Y</del> e	21 12 52 13 15	Iles Ioniennes 37,9°, 20,7°; H = 21 09 30 (BCIS). Magnitude: 5 Athènes. $D_c = 12,9^\circ$ ; Az = 156°.
12	<del>Y</del> eiP <del>X</del> ei	00 58 01 58 15,5	Iles Aléoutiennes 51°1/2N, 175°W; H = 00 45 56 (USCGS). $D_c = 78,3$ ; Az = 6°. ei 58 28,5.
12	<del>Y</del> ei	12 51 52,5	ei 12 52 03, ei 52 16.
12	<del>X</del> ei	13 16 10,5	ei 13 16 27.
12	<del>Y</del> eiP <del>X</del> ei	13 24 24,5 24 38	Mer d'Okhotsk 51°1/2N, 152°1/2E; H = 13 13 26, h = 300 km ca (BCIS). $D_c = 72,4^\circ$ ; Az = 25°.
12	<del>Y</del> ei	14 30 42,5	
12	<del>Y</del> eiPg <del>Y</del> ei <del>Y</del> eiSg	16 02 10,6 02 41 02 53,5	Explosion de 8,2 tonnes à Adelebsen près de Göttingen 51,7°N, 9,8°E; H = 16 01 00 (BCIS). D = 3,3°, $D_c = 3,5^\circ$ ; Az = 305°.
12	<del>X</del> e <del>Y</del> e	22 58 16 58 35	Epicentre en Vénétie, Italie. Données insuffisantes (BCIS). ei 59 08.
13	<del>X</del> ei	08 03 16	ei 08 03 19.
13	<del>X</del> ei	11 25 44,5	ei 11 26 10. Données insuffisantes (BCIS).
13	<del>X</del> iP <del>X</del> i <del>X</del> eL <del>Y</del> Lm	12 06 26 06 44 14 10 16	C. Près de la côte S de la Turquie 36,0°N, 32,7°E; H = 12 02 01 (BCIS). Magnitude: 5 1/2 Matsushiro. i 12 06 53, ei 08 13, e 10 16. $D_c = 19,4^\circ$ ; Az = 129°.
13	<del>X</del> iPn <del>X</del> iPx <del>X</del> iPb <del>Y</del> iSn <del>Y</del> iSg	21 57 43 57 47 57 52 58 24 58 46	C. E. N. Alpes de Vénétie 46°15'N, 12°34'E; H = 21 56 45 (BCIS). D = 3,6°; $D_c = 4,0^\circ$ ; Az = 197°. MLH = 5 Prùhonice. iSx 21 58 28, Lm 58 59, Lm 59 14; LmH: 7 s, 8,5 µ; LmV: 7 s, 8 µ.
13	<del>X</del> i	22 47 55,5	C. ei 22 48 03.
13	<del>X</del> ePg <del>X</del> eiSg	23 02 14 03 02	Réplique Alpes de Venétie. H = 23 32 24 (BCIS). D = 3,6°. e 23 02 53.
13	<del>X</del> ePg <del>X</del> eSn <del>Y</del> eiSg	23 33 42,5 34 12 34 30,5	Réplique. H = 23 32 24 (BCIS). D = 3,6°.

Date	Phase	h m s	Remarques
14	<del>Y</del> eiP <del>Y</del> isP <del>Y</del> iPP <del>X</del> isPP <del>Y</del> eiPPP <del>X</del> iSKS <del>Y</del> iS <del>Y</del> iPS <del>Y</del> iPPS <del>Y</del> iSS	00 25 44 26 16 29 54 30 30 32 16 36 19 37 12 38 46 39 30 44 00	SW de la Bolivie 20°1/2S, 68°W; H = 00 11 57, h = 100 km ca (USCGS). Magnitude: 7,2-7,5 Pasadena, 7 1/4 Praha, MLH = 7 Prùhonice. D = 101°; $D_c = 100,7^\circ$ ; Az = 251°. eiSSS 00 00 48 00, Lm 01 08,5. PPH = 9 s, 1,6 µ; PPV: 9 s, 39 µ; SH: 13 s, 32 µ; PSH: 16 s, 21 µ; PSV: 13 s, 13,5 µ; PPSH: 17 s, 29 µ; PPSV: 13 s, 21 µ; SSH: 15 s, 19 µ; SSSN: 20 s, 12 µ; LmH: 21 s, 25 µ; LmV: 21 s, 37 µ.
14	<del>Y</del> eiPg <del>Y</del> eiSn	01 01 28,5 02 07	Alpes de Vénétie. Réplique du 13 juin. H = 01 00,2 (BCIS). ei 01 01 54,5, Lm 02 25.
14	<del>Y</del> ei	02 27 21,5	Traces.
14	<del>Y</del> iPKP <del>X</del> ei <del>Y</del> ei	15 16 49,3 17 03 17 33	C. Iles Tonga 20°S, 172°1/2W; H = 14 56 57 (USCGS et BCIS). Magnitude: 5 1/2 Matsushiro. $D_c = 149,3^\circ$ ; Az = 16°.
14	<del>Y</del> iP <del>X</del> ei <del>X</del> ei	16 28 08,5 28 24,0 28 34,5	C. Japon 37°35'N, 141°75'E; H = 16 15 54 (JMA Japon). Magnitude: 5,5 Matsushiro. $D_c = 81,4^\circ$ ; Az = 40°.
14	<del>X</del> ei	17 26 03,2	Traces.
14	<del>Y</del> ei	17 34 37,6	ei 17 34 44,5.
14	<del>X</del> ei	19 33 36,0	Traces. ei 19 33 51,5.
14	<del>Y</del> eiPKP <del>X</del> e <del>Y</del> isPKP	21 21 52,3 22 04,3 23 43,7	Région des îles Tonga 23°1/2S, 179°1/2W; H = 21 02 32, h = 100 km ca (USCGS). $D_c = 151,5^\circ$ ; Az = 28°. ei 21 23 53.
15	<del>Y</del> iP <del>Y</del> ei	02 51 10,8 51 41,7	C. Formose 25°N, 122°1/2E; H = 02 38 48 (USCGS). Magnitude: 4 1/2-4 3/4 Matsushiro. $D_c = 82,2^\circ$ ; Az = 61°.
15	<del>X</del> ei	11 28 28,6	ei 11 28 35.
16	<del>Y</del> eP <del>X</del> ei <del>Y</del> eiS	00 34 47 34 55,6 36 38,5	Faible. Bulgarie 42,3°N; 24,1°E; H = 00 32 17 (BCIS). D = 10°; $D_c = 10,2^\circ$ ; Az = 134°. ei 00 35 09, ei 35 46,5, LmV: 10 s, 1 µ.



Date	Phase	h m s	Remarques
16	ePKP <del>ei</del> <del>ei</del>	02 59 04 59 37 03 00 04	Nouvelle Guinée $4^{01}/2$ S, $143^{\circ}$ E; H = 02 40 34 (USCGS). $D_c = 117,7^{\circ}$ ; Az = $62^{\circ}$ . ei 03 00 27,5.
16	<del>eiPn</del> <del>eiPg</del> <del>eiSn</del> <del>eiSg</del> <del>Lm</del>	03 30 23,2 31 07,5 31 43 32 31,5 32 48	Yougoslavie $44,0^{\circ}$ N, $19,0^{\circ}$ E; H = 03 28 41 (BCIS). D = $7^{\circ}$ ; $D_c = 6,7^{\circ}$ ; Az = $148^{\circ}$ . MLH = 4,1 Prùhonice. ei 03 30 41,5, ei 30 56,5, ei 31 16,7, ei 31 28, ei 32 22, Lm 33,3. LmH: 10 s, 1,2 $\mu$ ; LmV: 10 s, 1 $\mu$ .
16	<del>e</del> <del>eiSg</del>	09 19 06 20 15	Réplique. Yougoslavie H = 09 16,4 (BCIS). ei 09 19 39, ei 19 51,5.
16	<del>ei</del>	10 19 16	ei 10 19 21,5, ei 20 04.
16	<del>ei(PKP)</del>	11 45 05,5	Traces. Région îles Fidji. Probablement profond (BCIS).
16	<del>eiP</del> <del>ei</del>	14 21 09 21 19,5	Japon $43,3^{\circ}$ N, $146,8^{\circ}$ E; H = 14 09 12, h = 40 km ca (JMA et BCIS). $D_c = 78,4^{\circ}$ ; Az = $33^{\circ}$ .
16	<del>ei</del> <del>ei</del>	15 03 05,5 03 25	Traces. Îles Aléoutiennes $51^{\circ}$ N, $177^{\circ}$ W; H = 14 43 45 (USCGS). $D_c = 79,3^{\circ}$ ; Az = $8^{\circ}$ .
16	<del>ei</del>	18 21 23	Traces.
16	<del>ei</del>	19 05 54	Traces.
16	<del>e</del> <del>e(Sn)</del> <del>eiSg</del>	22 45 35 45 52,5 46 45,5	Yougoslavie, au SW de Beograd. Réplique du 16 Juin. H = 22 43,1 (BCIS). ei 22 46 23,5.
17	<del>ei</del>	07 27 17	ei 07 27 20,3, ei 27 33.
17	<del>eiPn</del> <del>eiPg</del> <del>ei</del> <del>eiSg</del> <del>Lm</del>	12 33 51 34 36 36 10,5 36 28 36,9	Région frontière Albanie-Yougoslavie $42^{03}/4$ N, $20,0^{\circ}$ E; H = 12 32 02 (BCIS). MLH = 4,3 Prùhonice. D = $8,6^{\circ}$ ; $D_c = 8,6^{\circ}$ ; Az = $149^{\circ}$ . ei 12 34 14, ei 34 51, ei 35 41. LmH: 10 s, 1,5 $\mu$ ; LmV: 10 s, 1,4 $\mu$ .
17	<del>eiPKP</del>	21 05 05	C. Îles Santa Cruz $12^{01}/2$ S, $167^{01}/2$ E; H = 20 46 03, h = = 200 km ca (USCGS et BCIS), $D_c = 136,7^{\circ}$ ; Az = $41^{\circ}$ .
18	<del>ePKP</del> <del>ei</del> <del>L</del>	07 10 50 11 14,5 08 02	Océan Pacifique $55^{\circ}$ S, $129^{\circ}$ W; H = 06 50 45 (USCGS). $D_c = 151,6^{\circ}$ ; Az = $297^{\circ}$ . MLH = 6,1 Prùhonice. Lm 08 20. LmH: 17 s, 1,2 $\mu$ ; LmV: 17 s, 1,2 $\mu$ .

Date	Phase	h m s	Remarques
18	<del>ei</del>	13 13 13,2	
18	<del>eiP</del> <del>eiS</del> <del>eiPS</del> <del>eiSS</del> <del>eiSSS</del> <del>Q</del>	15 42 53,0 52 21 53 00 57 34 16 00 36 06	Kamtchatka $54^{\circ}$ N, $160^{\circ}$ E; H = 15 31 25. Magnitude: $6^{3}/4-7$ Pasadena, Matsushiro, $6^{3}/4$ Praha, Strasbourg; MLH = 7,3 Prùhonice. D = $74^{\circ}$ ; $D_c = 72,1^{\circ}$ ; Az = 20. ei 15 45 50, ei 53 33, R 16 11 30, Rm 16; QmH: 32 s, 7,9 $\mu$ ; RmH: 16 s, 69 $\mu$ ; RmV: 16 s; 65 $\mu$ .
18	<del>iP</del>	15 47 27	ei 15 47 47.
18	<del>eiP</del> <del>ei</del>	16 10 07,5 10 43,0	Disturbé par le précédent. Kamtchatka $54^{\circ}$ N, $161^{\circ}$ E; H = = 15 58 38 (USCGS). Magnitude $6^{1}/2-6^{3}/4$ Pasadena, Matsushiro. $D_c = 73,1^{\circ}$ ; Az = $20^{\circ}$ .
19	<del>ei</del>	08 14 04,5	Traces. e 08 14 23,5.
19	<del>eP</del>	12 07 59,5	Rive E du Lac Edouard $1/4^{\circ}$ S, $30^{\circ}$ E; H = 11 58 52. Magnitude: 5 Lwiro. $D_c = 51,8^{\circ}$ ; Az = $162^{\circ}$ .
19	<del>i</del>	12 16 27,5	C. Traces.
19	<del>ei</del>	13 36 34	Traces.
20	<del>ei</del>	10 20 47,1	Traces.
20	<del>eiPKP</del> <del>e</del>	10 22 52,5 25 17	Îles Fidji, vers $19^{\circ}$ S, $178^{\circ}$ W; H = 10 03,2 (BCIS). $D_c = 147,4^{\circ}$ ; Az = $23^{\circ}$ .
20	<del>eiP</del> <del>ei</del>	14 24 28 24 50	Pamir $38,5^{\circ}$ N, $71^{\circ}$ E; H = 14 16 47 (Moskva). $D_c = 41,1^{\circ}$ ; Az = $83^{\circ}$ .
20	<del>ei</del>	16 21 51,5	ei 16 22 05.
20	<del>eiP</del> <del>eiPP</del> <del>eiS</del>	16 50 35 52 25,5 57 14	Océan Atlantique $32^{\circ}$ N, $40^{\circ}$ W; H = 16 42 25 (USCGS et BCIS). D = $45^{\circ}$ ; $D_c = 43,8^{\circ}$ ; Az = $267^{\circ}$ . i 16 50 41, Lm 17 08; LmH: 15 s, 0,5 $\mu$ . L 17 03.
21	<del>ei</del>	09 52 19	ei 09 52 21.
21	<del>eiPKP</del> <del>ei</del>	11 32 39,6 32 48	D. Région îles Tonga $17^{\circ}$ S, $174^{01}/2$ W; H = 11 12 55 (USCGS) $D_c = 146,3^{\circ}$ ; Az = $16^{\circ}$ .
21	<del>eiP</del> <del>ei</del>	16 17 53,5 18 05	Japon $36,1^{\circ}$ N, $141,7^{\circ}$ E; H = 16 05 29 (JMA Japon et BCIS). $D_c = 82,6^{\circ}$ ; Az = $40^{\circ}$ .



Date	Phase	h m s	Remarques
21	eiP	21 01 24,5	C. ei 21 01 31,5.
21	iPKP	23 46 13	C. Iles Kermadec 29°S, 178°W; H = 23 25 46 (USCGS). $D_c = 156,9^\circ$ ; Az = 29°.
22	e	05 31 30	ei 05 31 44,5.
22	ei	12 51 28,2	ei 12 51 50,5
22	eiPKP	14 26 25,2	D. Iles Fidji 17°S, 177°W; H = 14 06 50 (USCGS). $D_c = 145,7^\circ$ ; Az = 20°.
	ei	26 32	
23	ei	10 42 34,5	ei 10 43 14,5.
23	eiP	10 53 24	Chine 41°1/2N, 82°E; H = 10 44 55 (USCGS). $D_c = 46,5^\circ$ ; Az = 73°; ei 10 53 38.
	i	53 30,5	
23	ei	12 00 21,5	
23	ei	13 01 43,5	eiSg 13 02 06,5, ei 02 13.
23	eiP	14 47 26,0	C. Nevada, USA 39°N, 119°W; H = 14 35 02 (USCGS). Magnitude: 6,0 Uppsala, Kiruna, 6,2 Pasadena. $D_c = 82,5^\circ$ ; Az = 325°.
	ei	48 23	
	Qm	15 19,5	QmH: 24 s, 0,5 $\mu$ ; RmH: 16 s, 0,6 $\mu$ ; RmV: 15 s, 1,2 $\mu$ .
	Rm	26,5	
24	eiP	02 49 48,5	D. ei 02 49 55,5, ei 50 04.
24	eiP	04 38 22,5	Kamtchatka 51°N, 158°1/2E; H = 04 26 39 (USCGS et BCIS) $D_c = 75,0^\circ$ ; Az = 22°. LmV: 14 s, 0,6 $\mu$ .
	ei	38 44,5	
	Lm	05 16,5	
24	ei	12 03 44	C.
24	ei	12 54 12,5	Traces. ei 12 54 21.
24	ei	13 03 18,5	Traces. Calabrie, Italie; H = 13 01,1 (BCIS).
24	ei	14 52 34,8	ei 14 52 46.
25	ei	03 15 00,2	ei 03 15 07,5.
25	eiP	03 20 32	Hindou-Kouch 36°N, 71°1/2E; H = 03 12 48, h = 200 km ca (Quetta et BCIS). $D_c = 42,9^\circ$ ; Az = 86°; ei 03 23 09,5.
	ei	21 06,5	
	eiPP	22 10,5	

Date	Phase	h m s	Remarques
25	eiP	06 52 23,8	C. S. E. Islande 62°N, 27°1/2W; H = 06 46 55 (USCGS et BCIS). Magnitude: 6,8 Praha, 5,7 Uppsala et Kiruna, MLH = 6,2; MPH = 6,0, MPV = 5,7, MSH = 5,6 Prühonice. D = 27,5°; $D_c = 25,9^\circ$ ; Az = 314°. ei 06 57 10, ei 57 23,5. PH: 5 s, 0,7 $\mu$ ; PV: 5 s, 0,8 $\mu$ ; SH: 6 s, 0,7 $\mu$ ; SV: 6 s, 0,4 $\mu$ ; QmN: 29 s, 2,2 $\mu$ ; QmV: 29 s, 3 $\mu$ ; RmH: 15 s, 2,6 $\mu$ ; RmV: 10 s, 3,7 $\mu$ .
	i	52 26,2	
	iS	57 03,3	
	Q	59 15	
	Qm	07 00,4	
	Rm	04	
	Rm	06,3	
25	eiP	10 02 54	C. Aléoutiennes 51°1/2N, 170°W; H = 09 40 48 (USCGS). $D_c = 79,0^\circ$ ; Az = 3°.
	ei	03 14,7	
25	eiP	10 43 01,7	e 10 43 12.
25	e	13 43 49	Traces.
25	eiP	13 49 36	Iles Riou-Kiou 30°1/2N, 131°E; H = 13 37 10 (USCGS). $D_c = 82,3^\circ$ ; Az = 51°.
	eL	14 21	ei 13 49 42; LmH: 14 s, 0,8 $\mu$ ; LmV: 14 s, 1 $\mu$ . Lm 29,9.
	Lm	26,5	
25	eiPg	15 00 52,5	Explosion 7,5 tonnes 49°22,2'N, 17°06,6'E. $D_c = 1,8^\circ$ . ei 15 01 22, Lm 01 28,5.
	eiSg	01 17	
25	iP	03 04 59,7	D.
26	iP	05 15 10,7	C. Japon 44°3/4N, 141°1/4E; H = 05 03 59, h = 280 km ca (JMA Japon). $D_c = 75,3^\circ$ ; Az = 36°.
	ei	15 28	
26	eiPKP	05 44 45	D. Iles Kermadec 30°1/2S, 177°1/2W; H = 05 24 12 (USCGS). Magnitude: 5,6 Wellington. $D_c = 158,9^\circ$ ; Az = 29°.
	e	45 03	
26	ei	08 47 46,5	Traces. Japon 31°N, 139°E; 139°E; H = 08 35 51, h = 450 km ca (USCGS). $D_c = 85,6^\circ$ ; Az = 29°.
26	ei	12 56 14,5	Traces.
26	eiP	13 46 53,5	D. Roumanie 46,0°N, 26,9°E; H = 13 44,8, h = 150 km ca (BCIS). Magnitude: 4,9 Bucuresti. $D_c = 9,3^\circ$ ; Az = 109°.
	ei	47 01,5	
	ei	48 50,5	ei 13 50 33.
26	e	19 28 15	Faible. e 19 28 21.
26	eiPKP	22 43 59	D. Iles Fidji 17°S, 176°1/2W; H = 22 24 54, h = 350 km ca (USCGS). $D_c = 144,2^\circ$ ; Az = 20°.
	eiPPK	45 42,5	



Date	Phase	h m s	Remarques
27	iPg i iSg	08 00 19,2 00 22,5 00 38,6	D. Explosion 25,5 tonnes 49°18,7'N, 16°26,7'E; $D_c = 1,4^\circ$ ; eiL 08 00 46, Lm 00 51,5.
27	ePg e e	10 14 31,2 14 51 15 04,8	Explosion à Eschenlohe 16 tonnes 47°37,93'N, 11°08,94'E H = 11 13 29,6 (München). $D = 3,3^\circ$ ; $D_c = 3,2^\circ$ ; Az = 218°. e 10 15 10,2, ei 15 18, ei 15 26.
27	ei	17 27 57,5	D. Traces.
27	iP ei eS Lm	19 19 43 21 36,5 26 08 39,5	C. S. W. Chine 41°N, 80°E; H = 19 11 23 (USCGS). Magnitude: $6\frac{3}{4}$ Pasadena, $6\frac{1}{4}$ Praha, MLH = 5,7 Prühonice. $D = 43,5^\circ$ ; $D_c = 44,9^\circ$ ; Az = 74°. LmH: 14 s, 3,2 $\mu$ ; LmV: 14 s, 9 $\mu$ .
27	iPKP i ePP eSSS	19 24 14,0 25 00,5 28 47 54 56	Sud des îles Kermadec 33°S, 179°W; H = 19 04 27, h = 100 km ca (USCGS). Magnitude: $6\frac{3}{4}$ Pasadena, MLH = 6,2 Prühonice; $D_c = 160,5$ ; Az = 37°. ei 19 29 40, ei 35,3; LmH: 21 s, 1 $\mu$ ; LmV: 21 s, 2,5 $\mu$ .
28	eiP ei Lm	04 28 32,5 28 48,5 38,7	C. Près de la côte S de l'Islande 63° $\frac{1}{2}$ N, 20°W, H = 04 23 28 (USCGS et BCIS). $D_c = 23,5^\circ$ ; Az = 320°. e 04 32 54.
28	eiP ei Lm	06 05 23,5 08 37 10,9	Grèce 38° $\frac{1}{2}$ N, 21° $\frac{3}{4}$ E; H = 06 02 16 (BCIS). $D_c = 12,7^\circ$ ; Az = 152°. ei 06 05 30,5, ei 06 07, eLg 09 47,5.
28	ei	08 20 47	Îles Cayman H = 08 08 40 (USCGS). ei 20 55,5.
28	ei	12 28 47,5	Traces.
28	ePKP eiPP ei Qm Rm	20 01 45,5 02 16 09 52 38,5 52	Mer de Sawoe 9° $\frac{1}{2}$ S, 122° $\frac{1}{2}$ E; H = 19 43 22 (USCGS et BCIS). Magnitude: 6,4 Uppsala, Kiruna, 6 Strasbourg, MLH = 6,1 Prühonice. $D_c = 108,8^\circ$ ; Az = 83°. e 20 10 29. QmN: 36 s, 3 $\mu$ ; RmH: 22 s, 2,5 $\mu$ ; RmV: 22 s, 1,8 $\mu$ .
28	eiP	20 13 18,0	C. ei 13 26,5, ei 14 18,5.
29	eiP	13 33 18	Philippines 6°N, 126° $\frac{1}{2}$ E; H = 13 19 47, h = 150 km ca (USCGS) et BCIS). $D_c = 99,4^\circ$ ; Az = 69°.
29	i	14 58 25	

Date	Phase	h m s	Remarques
29	ei	16 00 25	Traces.
30	eiPn ei eiLg	07 28 44,0 29 20 31 39,5	D. Vrancea, Roumanie 46,0°N, 26,9°E; H = 07 26 34; h = 150 km (BCIS). $D_c = 9,3^\circ$ ; Az = 109°. ei 07 32 23,5.
30	eiPKP ei ei	10 42 55 44 05 44 18	Îles Kermadec 34°S, 179°W; H = 10 23 17 (USCGS). Magnitude: 5,9 Wellington. $D_c = 161,5^\circ$ ; Az = 37°.
30	ei	11 45 53	Traces.
30	ei	13 32 50	Traces.
30	ei	13 54 32	Traces.

Date	Phase	h m s	Remarques
1	eiP eipP eiSKS eiS eiSP eiSS eSSS	02 39 42,0 41 36 49 20 49 40 50 44 55 30 59 26	D. Région des îles Bonin 28°N, 139° $\frac{1}{2}$ E; H = 02 27 46, h = 550 km ca (USCGS). Magnitude: $6\frac{1}{2}$ Uppsala, Kiruna, 6 Pasadena. $D = 87^\circ$ ; $D_c = 88,5^\circ$ ; Az = 46°. ei 02 40 17, ei 53 02, e 03 03,3, Lm 16. LmN: 16 s, 1 $\mu$ .
1	ei	12 02 05,8	
1	ei	21 32 30,5	ei 21 32 41.
2	eSg e	03 36 19,5 36 32	Tirol, vers 47° $\frac{1}{2}$ N, 12°E (BCIS). H = 03 34 47,0 Zürich. $D_c = 3,0^\circ$ ; Az = 210°. Lm 36 37,0.
2	iPKP i	11 46 26,5 46 32	D. Îles Fidji 20°S, 178° $\frac{1}{2}$ W; H = 11 27 45, h = 650 km ca (USCGS). $D_c = 148,4^\circ$ ; Az = 24°.
2	eiPKP <sub>1</sub> eiPKP <sub>2</sub> eipPKP <sub>1</sub>	11 52 57,3 53 31,5 55 25,5	C. Réplique. H = 11 34 20 (USCGS). i 11 53 01,5; i 53 07,8.



Date	Phase	h m s	Remarques
3	eiPg eiSb <sub>1</sub> iSg	04 59 58,3 05 00 48 00 56,3	Massif des Grisons, Suisse 46°36'N, 9°47'E; H = 04 58 34,3 (Zürich). D = 4,5°; D <sub>c</sub> = 4,6°; Az = 222°. ei 05 00 03, ei 00 11.
<del>3</del>	<del>eiP ei</del>	<del>05 32 34,5 33 09,5</del>	<del>D. Région îles Kodiak 58°1/2'N, 152°W; H = 05 21 13 (USCGS). D<sub>c</sub> = 71,7°; Az = 352°.</del>
3	eiPg eiSg	09 00 18,5 00 33	Explosion de 9 tonnes 49°25,3'N, 13°14,1'E; D <sub>c</sub> = 110 km. L = 09 00 36,5.
3	eiPg ei(Sg)	14 59 13,2 59 27,5	Explosion de 7 tonnes 49°25,4'N; 16°01,9'E; D <sub>c</sub> = 120 km. Lm 14 59 34.
3	ePg eiSn ei eiSg	15 02 02 02 29,2 02 39 02 42	Explosion de 15,5 tonnes près de Gersfeld (Rhön) 50,4°N, 9,9°E. H = 15 01 04 (Stuttgart). D = 3,1°; D <sub>c</sub> = 3,0; Az = 278°. e 15 02 13,5, eiL 02 47,6.
3	e iPg i iSg	16 03 35 03 36,8 04 06,8 04 17,5	Données discordantes provenant en partie d'une explosion à 130 km au SW de Jena (BCIS). D = 3,2° ca. ei 16 03 39,2, ei 03 51,4, ei 04 11, ei 04 26.
<del>3</del>	<del>eiPKP eiPKS eiZPPS Q Qm</del>	<del>18 14 43 18 16 30 20 19 04 09 08</del>	<del>C. Région des Nouvelles Hébrides 16,1°S, 172,8°E, H = = 17 55 12 (BCIS). Magnitude: 6<sup>3</sup>/<sub>4</sub> Praha, 6<sup>3</sup>/<sub>4</sub>-6<sup>1</sup>/<sub>2</sub> Pasadena. MLH = 6,6 Prùhonice; D<sub>c</sub> = 141,5°; Az = 36°. Rm 19 12,8. QmN: 27 s, 6 μ; RmH: 26 s, 8,3 μ; RmV: 26 s, 12 μ.</del>
<del>3</del>	<del>eiPKP eiPKS ePPS eSS eSSS</del>	<del>18 15 25,2 18 53 31,0 37 11 42 40</del>	<del>Région des Nouvelles Hébrides 16°S, 173°E; H = 17 55 53 (USCGS). D = 142°; D<sub>c</sub> = 142,0°; Az = 36°. ei 18 16 33, ei 21 38.</del>
<del>4</del>	<del>eiPKP ei eisPKP</del>	<del>05 14 03,9 14 15,8 14 49,5</del>	<del>D. Région des îles Tonga 24°1/2'S, 177°W; H = 04 54 14, h = 100 km ca (USCGS). D<sub>c</sub> = 153,2°; Az = 24°.</del>
<del>4</del>	<del>eP ei</del>	<del>07 45 55 46 07</del>	<del>Océan Arctique 72°1/4'N, 1°3/4'E; H = 07 40 51 (Uppsala et BCIS). D<sub>c</sub> = 22,6°; Az = 351°.</del>
4	eiPn eiPb eSn i(Sg)	14 00 08 00 10,6 00 32,8 00 39,0	Explosion 24,1 tonnes 49°42,5'N, 17°46,2'E; H = 13 59 33 (Prùhonice). D <sub>c</sub> = 234 km. iPg 14 00 12,2, ei 00 18, e 00 27,5, ei(Sb) 00 37,6, ei(L) 00 56.

Date	Phase	h m s	Remarques
4	eiSg ei	<del>15 28 30,5</del> 28 45	Côte de la Belgique, destruction d'une épave de navire en mer à 10 m de profondeur. 51°25'N, 3°51,5'E (Uccle); H = = 15 24 34 (BCIS). D <sub>c</sub> = 7,2°; Az = -285°.
<del>6</del>	<del>eiP ipP eisP i)PP i)PP eipPP iSKS eiS</del>	<del>09 23 15,0 25 31,7 26 28,5 27 33,0 27 37 29 53 32 57,5 34 12</del>	<del>D. h = 600 km. Lm manquent. Province de Chaco, Argentine 26°1/2'S, 61°W; H = 09 10 17, h = 600 km ca (USCGS). Magnitude 7,0 Quetta, 6<sup>3</sup>/<sub>4</sub> Pasadena, Roma. D = 103°; D<sub>c</sub> = 101,2°; Az = 243°. ei 09 24 13, ei 33 33, eiPSKS 35 38, eisSKS 37 03. SKSH: 7 s, 4,6 μ.</del>
<del>6</del>	<del>eiP eipP eisP eiPP iSKS eiS eipSKS eisSKS</del>	<del>09 36 24,5 38 40,5 39 35 40 43,2 46 06,0 47 17,5 48 32 50 13</del>	<del>Disturbé par le précédent. h = 600 km. Province de Chaco, Argentine 26°1/2'S, 61°1/2'W; H = 09 23 27, h = 600 km ca (USCGS). Magnitude: 6<sup>3</sup>/<sub>4</sub>-7 Pasadena, 6,6 Uppsala, Kiruna. D = 103°; D<sub>c</sub> = 101,3°; Az = 243°. ei 09 46 43. SKSH: 6 s, 7,9 μ.</del>
6	eiP	10 18 24,8	C.
<del>7</del>	<del>eiP ei ei</del>	<del>14 53 03,5 53 10 53 20,5</del>	<del>Au large de la côte E de Hondo, Japon 40°N, 143°1/2'E; H = 14 40 55 (USCGS). D<sub>c</sub> = 79,2°; Az = 37°.</del>
<del>8</del>	<del>iP ei</del>	<del>02 09 32,8 10 26</del>	<del>C. Groenland 71°1/2'N, 20°W; H = 02 03 58 (BCIS). D<sub>c</sub> = 26,8°; Az = 337°.</del>
<del>8</del>	<del>iP eipP</del>	<del>04 12 26,8 12 50</del>	<del>C. Iles Kouriles 44°N, 147°1/2'E; H = 04 00 37, h = 100 km ca (USCGS). D<sub>c</sub> = 78,2°; Az = 33°.</del>
8	ei	16 24 43	Traces.
8	ei	16 50 07	Traces.
9	eiPKP e	09 26 53 27 06	Traces. Région des îles Samoa 15°S, 173°1/2'W; H = 09 07 11 (USCGS). D <sub>c</sub> = 144,3°; Az = 13°.
9	e	11 01 13	ei 11 01 27,5.



Date	Phase	h m s	Remarques
9	eiP	16 19 06	Frontière Chili-Bolivie $20^{\circ}1/2'S$ , $68^{\circ}W$ ; H = 16 05 18, h = 100 km ca (USCGS). Magnitude: $6^{\circ}3/4$ Pasadena, 6,5 Uppsala, Kiruna. D = $102^{\circ}$ ; $D_c = 100,8^{\circ}$ ; Az = $251^{\circ}$ . ei 16 22 10,5, ei 22 40, ei 31 31. SKSH: 7 s, 1,1 $\mu$ ; SKSV: 9 s, 2,5 $\mu$ ; LmN: 20 s, 1 $\mu$ ; LmV: 21 s, 2,5 $\mu$ .
	eiPP	19 33,5	
	iSKS	23 12,5	
	iS	29 36	
	eL	30 33	
	Lm	50	
		17 02	
10	e(Pn)	08 06 12	D = $2^{\circ}$ ca. eiSn 08 06 40, iL 06 51,3.
	eiPg	06 19	
	iSg	06 45,5	
10	e	12 44 56	Traces. ei 12 45 04.
10	iPg	14 00 15,6	Explosion de 7 tonnes $50^{\circ}17,8'N$ , $12^{\circ}35,4'E$ . $D_c = 144$ km. i 14 00 36,5, i 00 38.
	i	00 18,0	
	iSg	00 34	
10	ei	14 24 04	Traces.
10	ei	15 00 32	Faible. Explosion de 6 tonnes $49^{\circ}14,6'N$ , $16^{\circ}51,0'E$ ; $D_c = 185$ km, Lm 15 00 50.
	ei	00 47	
	iL	01 06	
10	eiP	17 48 36	Kirghizie $41^{\circ}N$ , $73^{\circ}1/2'E$ ; H = 17 40 50 (Moskva). $D_c = 41,5^{\circ}$ ; Az = $79^{\circ}$ . ei 17 48 45.
	ei	48 43	
	eiPP	50 10	
10	eiP	20 31 54,5	Chypre $34,8^{\circ}N$ , $33,0^{\circ}E$ ; H = 20 27 20 (BCIS). $D_c = 20,8^{\circ}$ ; Az = $129^{\circ}$ .
	ei	32 46	
11	eiPKP	05 11 05	C. Nouvelles Hébrides $18^{\circ}1/2'S$ , $169^{\circ}E$ ; H = 04 51 30 (USCGS). Magnitude: 5,7 Wellington. $D_c = 142,6^{\circ}$ ; Az = $43^{\circ}$ . LmN: 26 s, 1 $\mu$ .
	e	14 44	
	Lm	06 12,5	
11	iPg	10 17 25,5	Explosion de 9 tonnes $50^{\circ}02,2'N$ , $13^{\circ}55,6'N$ ; $D_c = 44$ km. i 10 17 32,0, iL 17 35.
	iSg	17 30,4	
11	e } PP	12 20 03	Océan Indien $37^{\circ}1/2'S$ , $78^{\circ}E$ ; H = 12 01 42 (BCIS). Magnitude: $6^{\circ}1/4 - 6^{\circ}1/2$ Pasadena, 6,3 Uppsala, Kiruna. D = $104^{\circ}$ ca; $D_c = 103,6^{\circ}$ ; Az = $133^{\circ}$ . e 12 26 09, e 32 21, L 45, Lm 13 04, Lm 12. LmH: 19 s, 1 $\mu$ ; LmV: 20 s, 2,5 $\mu$ .
	ei	20 09	
	ePPP	22 29	
	eiS	27 34	
	ePS	29 10	
	ePPS	30 08	

Date	Phase	h m s	Remarques
11	iP	18 35 01	C. Iles Kouriles $44^{\circ}1/2'N$ , $148^{\circ}1/4'E$ . H = 18 23 00 (USCGS). Magnitude: 5,4 Matsushiro. $D_c = 77,5^{\circ}$ ; Az = $32^{\circ}$ .
	ei	35 10	
	ei	36 07	
12	eiPKP	00 43 23,5	C. Région des îles Fidji $19^{\circ}1/2'S$ , $177^{\circ}1/2'W$ ; H = 00 24 22, h = 400 km ca (USCGS). Magnitude: $6^{\circ}1/4$ Pasadena, 6,1 Wellington. $D_c = 148,1^{\circ}$ ; Az = $22^{\circ}$ . i 00 43 33,2.
	i	43 28,0	
	ipPKP	45 04	
	eiPP	46 57,5	
12	ePn	05 19 53	Traces. Au large de la côte dalmate vers $43^{\circ}N$ , $21^{\circ}1/2'E$ ; H = 05 18,1 (BCIS). D = $8,4^{\circ}$ ; $D_c = 8,6^{\circ}$ ; Az = $142^{\circ}$ . e 05 20 44.
	ei	20 19	
	eSn	21 16	
12	eiP	16 56 18	C. Sud de la Mer Egée $35,8^{\circ}N$ , $25,8^{\circ}E$ ; H = 16 52 26 (BCIS). D = $16,9^{\circ}$ ; $D_c = 16,6^{\circ}$ ; Az = $145^{\circ}$ .
	ei	56 42	
	eiS	59 23	
12	eiP	19 29 37	Kirghizie URSS $42^{\circ}N$ , $72^{\circ}1/2'E$ ; H = 19 21 59 (BCIS). $D_c = 40,1^{\circ}$ ; Az = $78^{\circ}$ . Lm 47.
	eiPP	31 17	
13	eiP	01 44 26	D. Ile Jan Mayen $71^{\circ}1/2'N$ , $7^{\circ}1/2'W$ ; H = 01 39 12 (USCGS et BCIS). $D_c = 23,9^{\circ}$ ; Az = $343^{\circ}$ .
	ei	44 55	
13	iP	12 40 48,5	D. Iles Andréanov $52^{\circ}N$ , $172^{\circ}1/2'W$ ; H = 12 28 45 (USCGS). Magnitude: $6^{\circ}1/2$ Pasadena, 5,9 Praha, MLH = 5,8 Prùhonice. D = $79^{\circ}$ ; $D_c = 78,7^{\circ}$ ; Az = $4^{\circ}$ . ei 12 41 27,5, ei 42 33, ei 52 14, e 57 40; LmH: 17 s, 2,2 $\mu$ . Lm 21,5.
	iPcP	40 58,5	
	iPPP	45 36	
	iS	50 43	
	eL	13 11,7	
13	e	19 16 15	Epicentre probablement en Haute Silésie. Données insuffisantes (BCIS).
	ei	16 39	
14	eP	00 12 12	Iles Aléoutiennes $50^{\circ}1/2'N$ , $170^{\circ}W$ ; H = 23 59 59 (USCGS). $D_c = 79,0^{\circ}$ ; Az = $2^{\circ}$ .
	e	12 21	
14	eiP	08 52 50	C. Iles Aléoutiennes $51^{\circ}1/2'N$ , $172^{\circ}W$ ; H = 08 40 48 (USCGS). Magnitude: $5 - 5^{\circ}1/4$ Matsushiro. $D_c = 78,4^{\circ}$ ; Az = $3^{\circ}$ .
	eiPcP	53 04	
14	iP	11 45 20,5	C. Alaska $57^{\circ}N$ , $158^{\circ}W$ ; H = 11 33 51, h = 60 km ca (USCGS). $D_c = 72,9^{\circ}$ ; Az = $355^{\circ}$ .
	ei	46 22	
14	eiPKP	13 20 53	Région Nouvelles Hébrides $16^{\circ}1/2'S$ , $173^{\circ}E$ ; H = 13 00 24, h = 100 km ca (USCGS). Magnitude: $5^{\circ}1/2$ Matsushiro. $D_c = 146,0^{\circ}$ ; Az = $13^{\circ}$ .
	e	22 18	



Date	Phase	h m s	Remarques
14	X(e)S ✓e	16 36 07 37 50	Région du Lac Ochrida. Vers 41°N, 21°E; H = 16 32,0 (BCIS). $D_c = 10,3^\circ$ ; Az = 150°.
14	X eiPKP	18 34 34	D. Région îles Fidji 21°S, 179°W; H = 18 14 51, h = 700 km ca (USCGS et BCIS). $D_c = 149,2^\circ$ ; Az = 25°.
14	✓e ✓ei	20 27 52 28 07	Grèce 29,3°N, 20,3°E; H = 20 25 09 (BCIS). $D_c = 11,5^\circ$ ; Az = 156°. ei 20 28 25.
15	X eSn X eiSg X L	23 27 53 28 11 28 18	NE de l'Italie 46,5°N, 12,7°E; H = 23 26 12 (BCIS). $D_c = 3,6^\circ$ ; Az = 195°.
16	X eiP ✓ eiPcP	15 29 35 29 28	C. Iles Aléoutiennes 50° <sup>1</sup> / <sub>2</sub> N, 177°E; H = 15 17 27 (USCGS). $D_c = 79,8^\circ$ ; Az = 11°.
16	X eiP X ei	19 33 33 33 42,2	D. Iles Loyauté 20° <sup>3</sup> / <sub>4</sub> S, 168° <sup>1</sup> / <sub>2</sub> E; H = 19 13 59 (BCIS). $D_c = 144,3^\circ$ ; Az = 45°.
17	X eiPn X eiPg X eiSn X eiSg	13 18 29 19 02 19 55,5 20 48	Hautes Alpes, France 44,6°N, 6,8°E; H = 13 16 36 (BCIS). $D_c = 7,6^\circ$ ; Az = 225°. eiX <sub>2</sub> 13 19 33,5, ei 20 10,5, eiSb <sub>2</sub> 20 39.
17	X iPg X iSg	15 31 18,9 31 20,4	Explosion 0,65 tonnes 49°57,3'E; 14°23,4'E; $D_c = 11$ km. Lm 15 21,5.
17	✓ eiP X e	19 41 31 41 52	Traces. Près de la côte S de la Turquie, 36,8°N, 29,0°E; H = 19 37 31 (BCIS). $D_c = 17,0^\circ$ ; Az = 136°.
17	X eiP Y ei	23 04 34,3 04 39,2	Frontière Colombie-Vénézuéla 7° <sup>1</sup> / <sub>2</sub> N, 71° <sup>1</sup> / <sub>2</sub> W (USCGS), H = 22 52 08. $D_c = 81,7^\circ$ ; Az = 272°.
17	✓ eiP	23 32 57	Alaska 60° <sup>1</sup> / <sub>2</sub> N, 153° <sup>1</sup> / <sub>2</sub> W; H = 23 21 28, h = 150 km ca (USCGS). $D_c = 69,0^\circ$ ; Az = 353°.
18	X eiP X ei	03 58 42 59 03,5	Golfe Persique 29° <sup>1</sup> / <sub>2</sub> N, 51°E; H = 03 51 57 (BCIS). $D_c = 34,0^\circ$ ; Az = 113°.
18	X iPKP X ei	07 19 34,5 19 45	C. Région îles Fidji 21° <sup>1</sup> / <sub>2</sub> S, 179°W; H = 07 00 36, h = 600 km ca (USCGS). $D_c = 149,5^\circ$ ; Az = 25°.

Date	Phase	h m s	Remarques
18	✓ iP ✓ eiPP ✓ iSKS ✓ iS ✓ iP ✓ eiSS ✓ eiSSS	20 07 44,0 11 14 17 58 18 14 19 17 24 12 27 30	D. N. E. Luçon, Philippines 15° <sup>1</sup> / <sub>2</sub> N, 120° <sup>1</sup> / <sub>2</sub> E; H = 19 54 57, h = 150 km ca (USCGS). Magnitude: 7,1 Uppsala, Kiruna, 7 Praha, MLH = 6,9 Prùhonice. $D = 86^\circ$ ; $D_c = 88,2^\circ$ ; Az = 67°. ei 20 08 22, Qm 42, Rm 48. QmN: 25 s, 20 $\mu$ ; RmH: 16 s, 6,3 $\mu$ ; RmV: 15 s, 7,5 $\mu$ .
19	✓ eiPP X ei X eL X Lm	03 59 29 59 44 04 36 46,5	Détroit de la Sonde 6° <sup>1</sup> / <sub>2</sub> S, 105°E; H = 03 42 02, H = 03 42 02 (USCGS). Magnitude: 5,9 Uppsala, Kiruna. $D_c = 95,5^\circ$ ; Az = 94°. LmH: 17 s, 0,6 $\mu$ ; LmV: 20 s, 1,5 $\mu$ .
19	✓ eiP ✓ eiPP ✓ eiPP ✓ iSKS ✓ iS ✓ eiP ✓ eiPS	15 19 28 20 21,2 23 29,5 24 17,5 29 49,5 30 40,0 31 48 32 47	C. E. h = 200 km. Pérou 15°S, 70° <sup>1</sup> / <sub>2</sub> W; H = 15 06 10, h = 200 km ca (USCGS). Magnitude: 7,2 Praha, 7 Pasadena, Uppsala, Kiruna. $D = 99^\circ$ ; $D_c = 98,1^\circ$ ; Az = 256°. eiSS 15 37 28, eisSS 34 46, eSSS 41 28, eL 46; Lm 57, Lm 16 04. SKSH: 9 s, 10,8 $\mu$ ; SKSV: 9 s, 2,1 $\mu$ ; LmH: 20 s, 3,1 $\mu$ ; 3,1 $\mu$ ; LmV: 20 s, 8 $\mu$ .
20	✓ eiP ✓ iSKS ✓ eiSKKS ✓ eiSS	02 55 45 03 03 42,0 04 12 11 35	Mer de Java 6°S, 111°E; H = 02 41 04, h = 500 km ca (USCGS). Magnitude: 7,0 Wellington, 6,0 Uppsala, Kiruna. $D_c = 98,6^\circ$ ; Az = 88°. ei 02 59 34. Lm 44.
20	✓ eiPKP	09 26 11,6	Traces. Région îles Samoa 15° <sup>1</sup> / <sub>2</sub> S, 173° <sup>1</sup> / <sub>2</sub> W; H = 09(06)35 (USCGS). $D_c = 144,7^\circ$ ; Az = 13°.
20	X ei	11 40 31	Traces.
20	X ei	11 48 41,5	Traces.
20	X ei	12 50 49	Traces.
20	X ei	13 32 15	Traces.
20	X ei	13 46 03,5	ei 13 46 15, ei 46 48.
20	✓ eiPKP X ei ✓ epPKP	17 12 29,8 12 40,5 14 44,5	D. Région îles Fidji 23° <sup>1</sup> / <sub>2</sub> S, 179°E; H = 16 53 38, h = 600 km ca (USCGA). Magnitude: 5,5 Wellington. $D_c = 150,8^\circ$ ; Az = 31°.



Date	Phase	h m s	Remarques
21	✓ eiPKP	08 02 42,5	(D). Nouvelles Hébrides $14^{01/2}S$ , $167^{01/2}E$ ; H = 07 43 13 (USCGS). Magnitude: $6^{1/4}$ Pasadena. D = $140^\circ$ ca, $D_c = 138,3^\circ$ ; Az = $42^\circ$ . LmH: 20 s, 0,7 $\mu$ ; LmV: 18 s, 1 $\mu$ ; Lm 09 10,8.
	✓ eiPP	05 29	
	✓ ePKS	06 15	
	✓ eSKKS	12 15	
21	✓ eP	09 29 11	République Dominicaine $19^\circ N$ , $68^{01/2}W$ ; H = 09 17 51 (USCGS). Magnitude: 6 Pasadena. D = $71^\circ$ ; $D_c = 71,3^\circ$ ; Az = $287^\circ$ . ei 09 29 19, ei 38 38. QmH. 24 s, 0,7 $\mu$ ; QmV: 24 s 2 $\mu$ ; RmH: 16 s, 0,3 $\mu$ ; RmV: 16 s, 0,7 $\mu$ .
	✓ ei	30 16	
	✓ eiS	38 25	
	✓ Qm	54	
	✓ Rm	10 05	
21	✓ eiP	12 42 20	D. Mexique $16^\circ N$ , $98^\circ W$ ; H = 12 29 09 (USCGS). Magnitude: 6,3 Uppsala, Kiruna, 6 Pasadena; D = $92^\circ$ ; $D_c = 91,8^\circ$ ; Az = $297^\circ$ . ei 12 43 09, e 51 45, ei 53 47, Lm 13 25,5; LmH: 19 s, 0,8 $\mu$ ; LmV: 19 s, 1,2 $\mu$ .
	✓ iPP	45 57	
	✓ eiPPP	48 13	
	✓ eiPS	54 32	
	✓ eSS	59 29	
	✓ eL	13 22	
21	✓ ei	13 26 30	Traces.
21	✓ e	14 56 37	Yougoslavie, vers $44^\circ N$ , $15^\circ E$ ; H = 14 54,2 (BCIS). $D_c = 6,1^\circ$ ; Az = $175^\circ$ ; e 14 57 12.
	✓ eiSn	56 52	
	✓ eiSg	57 24,5	
21	✓ ei	17 51 54	Traces. Utah-Arizona $37^\circ N$ , $112^{01/2}W$ ; H = 17 39 29 (USCGS). Magnitude: $5^{1/2}-5^{3/4}$ Pasadena. $D_c = 81,4^\circ$ ; Az = $320^\circ$ .
22	✓ eiP	05 29 42,5	C. ei 05 29 50.
22	✓ iP	19 34 37,6	D. N. E. h = 650 km. Mer d'Okhotsk $53^\circ N$ , $153^\circ E$ ; H = 19 24 17, h = 650 km ca (USCGS et BCIS). Magnitude: $6^{1/2}$ Matsushiro, 6,1 Uppsala, Kiruna. D = $72^\circ$ ; $D_c = 71,1^\circ$ ; Az = $24^\circ$ . i 19 34 56,5, ei 58 32, ei 43 29, ei 46 57, Lm 20 13,5, Lm 21,7. PV: 3 s, 1,4 $\mu$ ; LmH: 11 s, 0,9 $\mu$ ; LmV: 10 s, 1 $\mu$ .
	✓ ipP	36 45,7	
	✓ eiPP	37 27	
	✓ eisP	37 48,5	
	✓ eiS	43 06	
	✓ iSP	43 48	
	✓ eisSP	47 32	
	✓ eL	20 08	
22	✓ eiP	22 01 47	Traces. Prés de la côte SE de Formose. H = 21 49,0 (BCIS).
	✓ ei	01 53	
22	✓ eiPKP	23 21 22,0	C. Nouvelle Bretagne $5^\circ S$ , $152^{01/2}E$ ; H = 23 02 27, h = 60 km ca (USCGS). Magnitude: $6^{3/4}-7$ Matsushiro, 6,6 Uppsala, Kiruna, MLH = 6,6 Prùhonice.
	✓ iPP	23 05	
	✓ eSKS	28 25	

Date	Phase	h m s	Remarques
23	✓ eiPPS	23 34 14	D = $123^\circ$ ; $D_c = 122,9^\circ$ ; Az = $52^\circ$ . ei 23 21 36,5, ei 23 41,5, ei 24 16,6, ei(PS) 33 08, ei 35 23, Rm 00 18,5, QmH: 28 s, 4 $\mu$ ; RmH: 20 s, 5,1 $\mu$ ; RmV: 20 s, 8 $\mu$ .
	✓ eSS	40 09	
	✓ eSSS	44 40	
	✓ LQ	00 01	
	✓ Qm	04	
23	✓ iP	04 01 02,0	C. Colombie $2^{01/2}N$ , $75^{03/4}W$ ; H = 08 48 10, h = 60 km ca (BCIS). $D_c = 88,3^\circ$ ; Az = $273^\circ$ .
	✓ ei	01 24	
23	✓ ei	10 45 19,2	ei 10 45 28,7.
23	✓ ePg	12 51 22	D = $1,6^\circ$ ; Lm 12 51 48.
	✓ eSg	51 44,2	
23	✓ eiPKP <sub>1</sub>	15 16 32,2	D. Région des îles Tonga $24^\circ$ , $1/2S$ , $176^\circ W$ ; H = 14 56 45, h = 60 km ca (USCGS). Magnitude: $5^{3/4}$ Matsushiro. D = $152^\circ$ ; $D_c = 153,0^\circ$ ; Az = $22^\circ$ . ei 15 16 40,7, ei 17 26, ei 21 55. QmN: 27 s, 1 $\mu$ ; QmV: 27 s, 1,2 $\mu$ ; RmN: 20 s, 1 $\mu$ ; RmV: 20 s, 1,2 $\mu$ .
	✓ eiPKP <sub>2</sub>	16 49,7	
	✓ eiPP	20 23	
	✓ e(SKKS)	27,1	
	✓ Q	16 13 36	
	✓ Qm	15,5	
23	✓ Rm	24	Iles Riou-Kiou $25^\circ N$ , $125^{01/2}E$ ; H = 21 25 39 (USCGS). $D_c = 83,5^\circ$ ; Az = $58^\circ$ .
	✓ eiP	21 38 09,7	
	✓ ei	38 21	
24	✓ eiP	01 35 37,5	C. Californie $41^\circ N$ , $125^{01/2}W$ ; H = 01 23 09 (USCGS). Magnitude: $6-6^{1/4}$ Matsushiro, $5^{3/4}$ Pasadena, MLH = 5,9 Prùhonice. D = $82^\circ$ ; $D_c = 82,9^\circ$ ; Az = $331^\circ$ . ei 01 35 48,5, ei 36,37, ei 42 25, Lm 02 11,7, Lm 12,7. LmN: 20 s, 5 $\mu$ ; LmH: 17 s, 2,7 $\mu$ ; LmV: 17 s, 6 $\mu$ .
	✓ e(S)	45 55	
	✓ eiPS	46 38	
	✓ eSS	51 06	
	✓ eSSS	54,9	
	✓ L	02 02	
24	✓ eiP	02 56 40,0	C. Japon $43^\circ 25'N$ , $147^\circ 2'E$ ; H = 02 44 44, h = 100-120 km (JMA Japon et BCIS). $D_c = 78,1^\circ$ ; Az = $32^\circ$ .
	✓ ei	56 57,6	
24	✓ iPg	12 39 45,5	D. Au Sud de Dresden, Allemagne, $51^{01/4}N$ , $14^\circ E$ ; H = 12 39 24 (BCIS). D = $1,2^\circ$ ; $D_c = 1,2^\circ$ ; Az = $353^\circ$ . ei 12 39 48,5, ei 40 06.
	✓ i	39 54,2	
	✓ iSg	40 02	
	✓ Lm	40 16	
24	✓ eiPg	13 00 02,5	Explosion 20 tonnes $49^\circ 03,2'N$ , $14^\circ 01,2'E$ ; $D_c = 110$ km. ei 13 00 04, Lm 00 22,5.
	✓ iSg	00 15,7	
	✓ L	00 18	



Date	Phase	h m s	Remarques
24	<del>iP</del> <del>ei</del>	16 28 18,4 28 47,2	C Inde — Birmanie $23^{\circ}3/4$ N, $95^{\circ}$ E; H = 16 17 43, h = 150 km (BCIS) $D_c = 66,1^{\circ}$ ; Az = $81^{\circ}$ . ei 29 09,5.
24	<del>eiPKP</del>	19 38 58	Traces. Région Nouvelle Bretagne $5^{\circ}1/2$ S, $153^{\circ}$ E, H = 19 20 03 (USCGS). Magnitude: $5^1/2$ Port Moresby. $D_c = 123,6^{\circ}$ ; Az = $52^{\circ}$ .
24	<del>ei(Sg)</del> <del>ei</del>	22 26 10 26 17	Suisse. H = 22 22 59 (Zürich). Données discordantes (BCIS).
25	<del>ei</del>	03 58 37	Traces.
25	<del>eiPn</del> <del>iPg</del> <del>iSg</del>	09 00 33,8 00 35,3 00 49,3	Explosion 5 tonnes, $50^{\circ}56,5'$ N, $15^{\circ}08'$ E; $D_c = 114$ km.
25	<del>eiP</del>	11 00 18,5	Sud de la Turquie $37,2^{\circ}$ N, $35,3^{\circ}$ W; H = 10 55 54 (BCIS). $D_c = 20,0^{\circ}$ ; Az = $122^{\circ}$ .
25	<del>eiP</del>	16 10 08,5	Traces. Sakhaline $50^{\circ}$ N, $142^{\circ}1/2$ E; H = 15 58 50 (USCGS). $D_c = 70,8^{\circ}$ ; Az = $32^{\circ}$ .
25	<del>eiP</del>	19 35 15	Traces. Sakhaline $49^{\circ}1/2$ N, $142^{\circ}1/2$ E; H = 19 23 54 (USCGS). $D_c = 71,1^{\circ}$ ; Az = $32^{\circ}$ .
25	<del>iP</del> <del>eiP</del>	21 32 42,1 33 04,5	D. Japon $37^{\circ}$ N, $140^{\circ}1/2$ E; H = 21 20 35, h = 100 km ca (USCGS). $D_c = 80,6^{\circ}$ ; Az = $41^{\circ}$ .
26	<del>eiP</del> <del>ei</del> <del>e(S)</del> <del>eiLg</del> <del>Qm</del> <del>Rm</del>	17 10 09,2 10 20,5 12 49 13 28 14,7 16,5	(D). NW de la Turquie $40,8^{\circ}$ N, $27,5^{\circ}$ E; H = 17 07 03 (BCIS) Magnitude: $5^1/4 - 5^1/2$ Matsushiro, 5,1 Uppsala, MLH = 4,9 Prùhonice. D = $13,8^{\circ}$ ca; $D_c = 13,1^{\circ}$ ; Az = $129^{\circ}$ . QmN: 22 s, 1,6 $\mu$ ; RmH: 12 s, 4,6 $\mu$ ; RmV: 12 s, 6 $\mu$ .
26	<del>eiP</del> <del>ei</del>	19 49 12,4 49 45	D. Kamtchatka $53^{\circ}$ N, $160^{\circ}$ E; H = 19 37 40 (USCGS). $D_c = 73,3^{\circ}$ ; Az = $21^{\circ}$ .
27	<del>e</del>	00 58 31,5	Traces. e 00 59 04,5.
29	<del>eiPKP</del> <del>ei</del>	00 49 34 49 38	Iles Fidji $18^{\circ}1/2$ S, $178^{\circ}$ W; H = 00 30 54, h = 650 km ca (USCGS). $D_c = 110,9^{\circ}$ ; Az = $12^{\circ}$ .

Date	Phase	h m s	Remarques
29	<del>ei</del>	13 49 35	Traces.
29	<del>i</del>	17 13 34,1	C.
30	<del>iP</del> <del>ei</del>	00 05 37,7 05 52,5	C. Portugal, vers $38^{\circ}3/4$ N, $9^{\circ}3/4$ W; H = 00 00,7 (BCIS). $D_c = 20,5^{\circ}$ ; Az = $247^{\circ}$ .
30	<del>ei</del>	11 01 18,5	Traces.
30	ei	12 28 50	Traces. Anatolie orientale, vers $41^{\circ}$ N, $41^{\circ}$ E; H = 12 23,9 (BCIS). $D_c = 20,7$ ; Az = $287^{\circ}$ .
30	<del>ei</del>	12 49 59,5	Traces.
30	<del>eiPKP</del> <del>e</del>	13 14 36,0 14 50	Traces. Iles Kermadec $31^{\circ}1/2$ S, $177^{\circ}1/2$ W; H = 12 53 56 (USCGS). $D_c = 160,2^{\circ}$ ; Az = $31^{\circ}$ .
31	<del>ei</del>	03 15 55,5	Traces.
31	<del>eiP</del> <del>ei</del>	10 33 49 34 04,5	Mer Caspienne $38,5^{\circ}$ N, $49,0^{\circ}$ E; H = 10 28 04 (BCIS). $D_c = 27,0^{\circ}$ ; Az = $102^{\circ}$ .
31	<del>eiP</del> <del>ei</del>	14 31 19 31 31	C. Grèce $36^{\circ}$ N, $22,0^{\circ}$ E; H = 14 27 38 (BCIS). $D_c = 15,2^{\circ}$ ; Az = $155^{\circ}$ .
31	<del>iPg</del> <del>iSg</del>	15 30 46,1 30 47,8	Explosion 5,7 tonnes $49^{\circ}57,3'$ N, $14^{\circ}23,4'$ E; $D_c = 11$ km, Lm 15 30 49,5.
31	<del>e</del>	15 44 10	Traces. ei 15 44 24,2.
31	<del>iP</del>	18 32 47,0	C. Mongolie $44^{\circ}1/2$ N, $100^{\circ}$ E; H = 18 23 10 (USCGS). $D_c = 55,3^{\circ}$ ; Az = $60^{\circ}$ .
31	<del>eiP</del> <del>iPP</del> <del>eSS</del>	20 00 46,2 02 20,5 09 30	Tadjik, URSS $38^{\circ}1/2$ N, $70^{\circ}$ E; H = 19 53 02 (USCGS). $D_c = 40,5^{\circ}$ ; Az = $84^{\circ}$ . Lm 20 18; LmH: 11 s, 0,7 $\mu$ ; LmV: 10 s, 0,3 $\mu$ .
31	<del>iP</del>	21 41 04	D.



Date	Phase	h m s	Remarques
1	<del>ei</del>	10 01 46,5	ei 10 01 55,5.
1	<del>eiPKP</del> <del>e</del>	10 35 43 36 12,5	Région des îles Samoa $15^{\circ}1/2$ S, $174^{\circ}1/2$ W; H = 10 16 04 (USCGS). $D_c = 145,7^{\circ}$ ; Az = $9^{\circ}$ .
1	<del>eiP</del> <del>e</del>	17 53 46,7 53 53	Kamtchatka $53^{\circ}1/4$ N, $158^{\circ}1/4$ E; H = 17 42 16 (BCIS). $D_c = 73,3^{\circ}$ ; Az = $21^{\circ}$ .
3	<del>i</del>	09 09 26,0	D. Traces.
3	<del>i</del>	09 16 45,5	C. Traces.
4	<del>eiPKP<sub>1</sub></del> <del>eipPKP<sub>1</sub></del> <del>eisPKP<sub>1</sub></del> <del>eisPKP<sub>2</sub></del>	08 20 59,5 23 19,5 24 16 24 40	C. Région des îles Fidji $20^{\circ}1/2$ S, $178^{\circ}$ W; H = 08 02 17, h = 600 km ca (USCGS). $D_c = 149,2^{\circ}$ ; Az = $16^{\circ}$ . i 08 21 04,0, ei 21 10,2.
4	<del>ei</del>	10 54 46	e 10 55 07.
5	<del>ei</del>	10 40 55	ei 10 41 06.
6	<del>eiP</del> <del>ei</del>	03 56 20 56 31	C. Etat de Washington, USA $48^{\circ}$ N, $120^{\circ}$ W; H = 03 44 37 (USCGS). $D_c = 73,2^{\circ}$ ; Az = $330^{\circ}$ .
6	<del>ei</del>	11 59 05	i 11 59 24,9.
6	<del>eiPn</del> <del>iPg</del> <del>eiSg</del>	14 58 10,7 58 11,6 58 26,7	Explosion 8,8 t; D = 120 km. i 14 58 11,6, Lm 58 31,5.
6	<del>ei(Pn)</del> <del>eiPg</del> <del>ei</del> <del>eiSg</del>	16 11 56 12 16,2 13 11,5 13 39	Faible. Bosnie, Yougoslavie $44,2^{\circ}$ N, $17,8^{\circ}$ E; H = 16 10 14 (BCIS). D = $6^{\circ}$ ca, $D_c = 6,6^{\circ}$ ; Az = $157^{\circ}$ . ei 16 11 59, ei 12 12, ei 12 28,5, ei 12 46.
6	<del>ei(Lm)</del>	16 29 44	Traces. Ile d'Eubée, Grèce $39,8^{\circ}$ N, $23,2^{\circ}$ E; H = 16 21 17 (BCIS). Magnitude: $4^{3/4}$ -5 Athènes. $D_c = 12,1^{\circ}$ ; Az = $145^{\circ}$ .
7	<del>eiPn</del> <del>eiPg</del> <del>eSn</del>	01 56 32 57 07,5 57 48	Adriatique $42^{\circ}3/4$ N, $15^{\circ}1/4$ E; H = 01 54 43 (BCIS). D = $7^{\circ}$ ; $D_c = 7,3^{\circ}$ ; Az = $174^{\circ}$ . ei 01 57 14,5, ei 58 22,5, ei 58 49, Lm 59 36.

Date	Phase	h m s	Remarques
7	<del>eiP</del>	09 40 25,0	ei 09 40 38.
7	<del>iP</del> <del>eiPPP</del> <del>eiS</del> <del>ePS</del> <del>eL</del> <del>Lm</del>	10 55 07,5 59 36 11 04 41 05 20 26 32,5	C. Région de l'île Kodiak $56^{\circ}$ N, $154^{\circ}$ W; H = 10 43 32 (USCGS). Magnitude: 5,9 Uppsala, Kiruna, $5^{3/4}$ Pasadena, Moskva, MLH = 5,5 ca Prùhonice. D = $75^{\circ}$ ; $D_c = 74,2^{\circ}$ ; Az = $353^{\circ}$ . i 10 55 16,0, ei 55 32, e 11 05 06, Lm 36. LmH: 16 s, 1 $\mu$ ; LmV: 16 s, 1 $\mu$ .
7	<del>iP</del> <del>ei</del>	11 00 08,5 00 16	C. Réplique. H = 10 48 34 (BCIS). ei 11 00 21, ei 00 43.
7	<del>iP</del> <del>eiPPP</del> <del>eiS</del> <del>eL</del> <del>Lm</del>	21 57 01 22 01 30 06 33 30 38	C. Ile Kodiak $56^{\circ}1/2$ N; $154^{\circ}$ W; H = 21 45 26 (USCGS et BCIS). Magnitude: 6,0 Uppsala, Kiruna, Moskva. D = $75^{\circ}$ ; $D_c = 73,9^{\circ}$ ; Az = $353^{\circ}$ . e 21 57 48, ei 22 07 01, LmH: 15 s, 0,7 $\mu$ ; LmV: 16 s, 0,9 $\mu$ .
8	<del>iP</del> <del>iS</del> <del>eiPS</del> <del>eiPPS</del> <del>ei</del> <del>Q</del> <del>Rm</del>	00 59 05,5 01 08 27,5 09 11 09 26 10 10 27 37	C. Kamtchatka $55^{\circ}$ N, $162^{\circ}1/2$ E; H = 00 47 38 (USCGS). Magnitude: $6^{1/2}$ Pasadena, 6,0 Uppsala, Kiruna, MLH = 5,6 Prùhonice. D = $72,5^{\circ}$ ; $D_c = 72,6^{\circ}$ ; Az = $19^{\circ}$ . ei 00 59 24, ei 59 52, ei 01 03 44, ei 04 17. RmH: 17 s, 0,1 $\mu$ ; RmV: 17 s, 4,5 $\mu$ .
8	<del>ei</del>	11 45 26	ei 11 45 29,2.
8	<del>ei</del>	17 59 48	Traces.
9	<del>ei</del>	08 02 56,7	e 08 03 07.
9	<del>ei</del>	12 52 28,5	ei 12 52 35.
9	<del>ei</del>	15 38 22	Traces.
9	<del>ePP</del> <del>ei</del> <del>eL</del> <del>Lm</del>	20 51 03 51 53,5 21 37 49,5	Iles Salomon $10^{\circ}$ S, $161^{\circ}$ E; H = 20 29 28; h = 100 km ca (USCGS). Magnitude: $5^{3/4}$ -6 Matsushiro. $D_c = 131,5^{\circ}$ ; Az = $47^{\circ}$ . LmN: 18 s, 0,5 $\mu$ .
10	<del>eiP</del> <del>ei</del>	00 40 48 40 50,5	Crète $35^{\circ}1/4$ N, $27^{\circ}1/4$ E; H = 00 36 42 (BCIS). $D_c = 17,7^{\circ}$ ; Az = $142^{\circ}$ .



Date	Phase	h m s	Remarques
10	ePKP ei ei	00 56 27,5 56 32 56 44	Océan Indien 55° <sup>1</sup> / <sub>2</sub> S, 146°E; H = 00 36 35 (USCGS). Magnitude: 5 <sup>3</sup> / <sub>4</sub> -6 Matsushiro. D <sub>c</sub> = 150,4°; Az = 120°.
10	eiP	21 53 24,0	Traces. Iles Aléoutiennes 51° <sup>3</sup> / <sub>4</sub> N, 167° <sup>3</sup> / <sub>4</sub> W; H = 21 41 20 (BCIS). D <sub>c</sub> = 78,4°; Az = 1°.
10	iP ei ei	23 18 27,5 18 34 19 12,5	C. Chine 35°N, 111°E, H = 23 07 27 (USCGS). D <sub>c</sub> = 68,0°; Az = 61°. LmV: 15 s, 0,3 μ; LmV: 15 s, 0,5 μ. Lm 49,3.
11	ei	13 21 44,5	ei 13 21 47,5.
11	ei	13 46 51,5	Traces. Région Jan Mayen. Données insuffisantes (BCIS).
11	eiP	14 15 22,0	C. ei 14 15 30.
11	eiP	15 09 15,6	C. Jan Mayen (Uppsala). ei 09 34.
11	iP ei	15 36 29,0 36 37	C. Iles Kouriles 44° <sup>1</sup> / <sub>2</sub> N, 148° <sup>1</sup> / <sub>2</sub> E; H = 15 24 30 (USCGS). D <sub>c</sub> = 78,4°; Az = 31°.
11	eiP	16 17 10	C. Région Jan Mayen. H = 16 13,3 (BCIS).
11	eiP ei	18 20 18,5 20 37,2	C. Jan Mayen, vers 72°N, 8°W; H = 18 15,2 (BCIS). D <sub>c</sub> = 24,1°; Az = 345°. LmN: 16 s, 0,3 μ. Lm 30,5.
11	Lm	23 04,5	Iles Salomon 11°S, 163°E; H = 21 49 42 (USCGS et BCIS). Magnitude: 5 <sup>3</sup> / <sub>4</sub> -6 Matsushiro. D <sub>c</sub> = 133,3°; Az = 45°; LmN: 20 s, 0,5 μ; LmV: 22 s, 0,8 μ.
11	eiP ei eiS Rm	23 30 38 30 53 32 34 34,7	Frontière Macédoine-Yougoslavie 41° <sup>1</sup> / <sub>4</sub> M, 23,0°E; H = 23 28 04 (BCIS). MLH = 4,1 Prùhonice. D = 10,4°; D <sub>c</sub> = 10,7°; Az = 142°. ei 23 31 27,5; ei 33 11, RmH: 10 s, 1 μ; RmV: 10 s, 1 μ.
12	eiP ei	01 37 25,5 37 36	Jan Mayen, vers 72°N, 8°W; H = 01 32,3 (BCIS). D <sub>c</sub> = 24,1°; Az = 345°.
12	eiP e eL Lm	04 16 06,3 17 06 43 50,3	C. Nord de la Rhodésie 15°S, 28°E; H = 04 05 20 (USCGS). Magnitude: 6 <sup>1</sup> / <sub>2</sub> -6 <sup>3</sup> / <sub>4</sub> Lwiro. D <sub>c</sub> = 66,0°; Az = 166°. LmN: 13 s, 0,5 s; LmV: 13 s, 0,6 μ.

Date	Phase	h m s	Remarques
12	eiPKP ei eSKKS Q Qm Rm	10 18 02,4 18 06 28 13 11 06 10,5 14	Région îles Fidji 16° <sup>1</sup> / <sub>2</sub> S, 177° <sup>1</sup> / <sub>2</sub> W; H = 09 58 22 (USCGS). Magnitude 6 <sup>1</sup> / <sub>2</sub> Pasadena, Praha, Strasbourg, Prùhonice. D <sub>c</sub> = 145,2°. Az = 21°. ei 10 19 04,5, ei 19 30, ei 20 31,5. QmN: 38 s, 5 μ. RmH: 29 s, 9,3 μ; RmV: 27 s, 8 μ; RmH: 21 s, 3,7 μ; RmV: 21 s, 4 μ.
12	e	11 10 34	ei 11 10 48,5.
12	ei	11 17 51	ei 11 17 57.
13	eiP eS eSS eL Lm	00 38 53,5 43 24 44 08 48 51,5	République d'Azerbeïdjan, URSS 40,0°N, 48,0°E; H = 00 33 11 (BCIS). Magnitude: 5,8 Uppsala, Kiruna, 4 <sup>1</sup> / <sub>2</sub> Moskva. D = 26,5°; D <sub>c</sub> = 25,6°; Az = 100°. e 00 43 37,5, LmV: 15 s, 0,5 μ.
13	ei	17 15 27,5	ei 17 15 43.
13	iP	18 40 57,5	C.
14	iP ei eiPP	04 53 11,0 53 16 57 29	D. Mer des Moluques 0°, 125° <sup>1</sup> / <sub>2</sub> E; H = 04 39 07 (USCGS). D <sub>c</sub> = 103,3°; Az = 73°. ei 04 56 25.
14	i(Pg) iSg	07 02 16,8 02 38,4	Explosion 15,5 tonnes 49°00,4'N, 16°21,2'E; D <sub>c</sub> = 1,5°, ei 07 02 20, iL 20 48,5.
15	ei	03 05 32	Traces.
15	iPg i iSg Lm	09 01 26,0 01 28,5 01 36,0 01 41	Explosion 15,5 tonnes 50°28,1'N, 15°29'E; D <sub>c</sub> = 87 km. Enregistré avec le séismographe à courte période (Tm = 0,2 sec, Vm = 200 000). i 01 01 30,5, i 10 40,0.
15	iP eiPP iS eiSS Rm Rm	09 09 30,0 12 44 19 52,2 25 00 43 46	C. W. Sud de Formose 23°N, 121°E; H = 08 57 04 (USCGS). Magnitude: 7 <sup>1</sup> / <sub>2</sub> Moskva. 6 <sup>3</sup> / <sub>4</sub> -7 Pasadena, MLH = 7,5 Prùhonice. D = 84,5°; D <sub>c</sub> = 82,6°; Az = 63°. i 09 10 02, i 10 32, Rm 49. RmH: 23 s, 130 μ; RmV: 23 s, 53 μ; RmH: 19 s, 96 μ; RmV: 19 s, 75 μ.



Date	Phase	h m s	Remarques
15	eiP	10 59 52	Traces.
15	eiPKP	13 34 20,3	D. Iles Tonga 21°S, 174°W; H = 13 14 26 (USCGS). Magnitude: 5 <sup>3</sup> / <sub>4</sub> Matsushiro. D <sub>c</sub> = 149,9°; Az = 16°.
	ei	34 31	
15	ei(P)	14 47 19,5	
15	i	16 58 06	C. ei 16 58 09.
15	ePg	18 03 33	Yougoslavie, vers 44°N, 19° <sup>1</sup> / <sub>2</sub> E; H = 18 01,3 (BCIS). D = 7°; D <sub>c</sub> = 7,1°; Az = 147°.
	ei	04 05,4	
	eiSn	04 19	
15	eiP	18 53 22,7	Kamtchatka 55°N, 162° <sup>1</sup> / <sub>2</sub> E; H = 18 41 56 (USCGS). Mag- nitude: 5 <sup>1</sup> / <sub>4</sub> –5 <sup>1</sup> / <sub>2</sub> Matsushiro. D <sub>c</sub> = 72,7°; Az = 18°. LmN: 15 s, 0,7 μ.
	ei	53 41,5	
	Lm	19 30,6	
15	eiPKP	21 49 19,0	D. Iles Fidji 17° <sup>1</sup> / <sub>2</sub> S, 177°W; H = 21 29 42 (USCGS). D <sub>c</sub> = 146,3°; Az = 11°.
	ei	49 36,5	
16	eiPKP	01 11 20,8	C. Région îles Loyauté 21°S, 169°E; H = 00 51 40 (USCGS). Magnitude: 6 <sup>1</sup> / <sub>2</sub> Strasbourg, 6 Berkeley. D <sub>c</sub> = 145,8°; Az = 44°.
	ei	11 40,5	
	ei	12 08	
16	eiP	01 33 34	Formose 22°N, 121°E. H = 01 21 05 (USCGS et BCIS). Magnitude: 6 Matsushiro, 5,9 Uppsala, Kiruna. D <sub>c</sub> = 83,5°; Az = 63°. Lm 02 10.
	ei	34 10	
	e	44 11	
16	iPKP <sub>1</sub>	10 12 40,5	C. h = 380 km. Iles Fidji 18°S, 178°W; H = 09 53 52, h = = 350 km (USCGS). D <sub>c</sub> = 146,7°; Az = 22°.
	eiPKP <sub>2</sub>	12 56,5	
	ipPKP <sub>1</sub>	14 10,5	
	eipPKP <sub>2</sub>	14 25	
16	eiP	18 45 20,3	Péloponèse, Grèce 37° <sup>1</sup> / <sub>4</sub> N, 22°E; H = 18 42 00 (BCIS). Magnitude: 5,5 Uppsala, Kiruna, 5 <sup>1</sup> / <sub>4</sub> Athènes. D <sub>c</sub> = 14,1°; Az = 154°. LmH: 12 s, 2,9 μ.
	i	43 30,0	
	ei	48 06	
	Lm	50,3	
17	eiP	01 15 04,3	D. Formose 22° <sup>1</sup> / <sub>2</sub> N, 121°E; H = 01 02 37 (USCGS). Magnitude: 5 <sup>1</sup> / <sub>4</sub> –5 <sup>1</sup> / <sub>2</sub> Matsushiro. D <sub>c</sub> = 83,2°; Az = 63°.
	ei	15 51	
17	iPKP	01 21 22,0	C. Iles Fidji vers 20°S, 178°W; H = 01 01,6 (BCIS). D <sub>c</sub> = 148,6°; Az = 22°.
	ei	21 45,5	

Date	Phase	h m s	Remarques
17	iP	01 35 38,5	C. N. Côte de l'Albanie 41°N, 19° <sup>1</sup> / <sub>2</sub> E; H = 01 33 14 (BCIS). Magnitude: 6–6 <sup>1</sup> / <sub>4</sub> Matsushiro, 6 Praha, MLH = 5,6 Prù- honice; D = 9,4°; D <sub>c</sub> = 9,7°; Az = 156°. LmH: 12 s, 35 μ; LmV: 14 s, 34 μ.
	i	35 51,1	
	i	36 31,5	
	eiS	37 25	
	Lg	38 04	
	Lm	40	
17	eiP	04 31 25	Côte de l'Albanie 41°N, 19° <sup>1</sup> / <sub>2</sub> E; réplique H = 04 29 01 (BCIS). Magnitude: 5,4 Kew, MLH = 4,6 Prùhonice D = 10,1°. ei 04 31 38. LmH: 12 s, 3,5 μ; LmV: 12 s, 2,1 μ.
	ei	31 31	
	eS	33 19	
	ei	33 35	
	Lm	36	
17	eiP	08 10 34	Formose 22° <sup>1</sup> / <sub>2</sub> N, 121°E; H = 07 58 04 (BCIS). D <sub>c</sub> = 83,2°; Az = 63°. Lm 49.
	ei	17 23	
17	eiP	08 37 46	Réplique. H = 08 25 16 (BCIS). ei 08 38 15; eL 58, Lm 09 17. LmH: 14 s, 0,7 μ.
	eiPP	40 09	
	e(S)	47 05	
17	i(P)	16 17 13	
17	i(P)	21 22 28,9	C.
17	eiPKP	21 23 53	C. Iles Salomon 7° <sup>1</sup> / <sub>2</sub> S, 156°E; H = 21 04 04 (USCGS). Magnitude: 7 <sup>1</sup> / <sub>2</sub> Matsushiro, MLH = 7,5 Prùhonice, 7 <sup>1</sup> / <sub>4</sub> Moskva, Pasadena. D = 128°; D <sub>c</sub> = 127,0°; Az = 51°. i 21 30 21, Lm 22 16,5, Lm 17,5, Lm 24. LmH: 18 s, 36 μ; 18 s, 36 μ.
	eiPP	25 45	
	eiPPP	28 34	
	iSKS	31 06	
	eiPS	35 50	
	eiPPS	37 30	
	eSS	42 30	
	eSSS	48,0	
17	iP	21 42 49	
17	eiP	22 46 42	
18	iP	00 46 13,2	D. Formose 22° <sup>1</sup> / <sub>2</sub> N, 122°E; H = 00 34 03, h = 200 km ca (USCGS). Magnitude: 7–7 <sup>1</sup> / <sub>4</sub> De Bilt, 6,8 Uppsala, Kiruna. D = 83°; D <sub>c</sub> = 83,8°; Az = 63°. ei 00 57 12, ei 58 05. LmH: 18 s, 1,2 μ.
	i	48 02	
	ePP	49 32	
	eiS	56 19	
	eL	01 16,5	
	Lm	23	



Date	Phase	h m s	Remarques
18	eiP ei	05 25 52,5 25 58	C. Oregon 42°N, 127°W. H = 05 13 30 (USCGS). $D_c = 82,6^\circ$ ; Az = 323°.
18	eiPKP ei	05 58 27 06 00 55	C. Région îles Loyauté 22° $\frac{1}{2}$ S, 172°E; H = 05 38 39 (USCGS). $D_c = 147,5^\circ$ ; Az = 40°.
18	eiP iPP i}S i}S ePS eSS eSSS Q	06 48 50 51 53 58 37 58 42 59 27 07 03 48 07 13 13,9	D. Lac Hebgen, Montana USA, 44°55'N, 111°05'W; H = = 06 37 15,0 (USCGS). Magnitude: 7,7 Praha, MLH = 7,8 Prùhonice, 7,5 Pasadena, 7 $\frac{1}{4}$ Moskva. D = 77,5°; $D_c = 74,7^\circ$ ; Az = 323°. i 06 49 43, Qm 07 16,5, Rm 22,5. QmH: 35 s, 255 $\mu$ . RmH: 18 s, 230 $\mu$ ; RmV: 18 s, 240 $\mu$ .
18	eiP e	08 07 58 12 08	Réplique 45°N, 110° $\frac{1}{2}$ W; H = 07 56 18 (USCGS). Magnitu- de: 6 $\frac{1}{2}$ Berkeley.
18	eiP	08 53 28	Réplique 44,8°N, 110,7°W; H = 08 41 50 (USCGS). Magni- tude: 6 Berkeley.
18	ei	10 18 13	
18	iP eiS eiPS eSS eiSSS Qm	15 37 47,0 47 23 48(00) 52 20 55 52 16 04	D. Réplique 44°53'N, 110°44'W; H = 15 26 06 (USCGS). Magnitude: 7 Berkeley, 6 $\frac{1}{2}$ Pasadena, 6 $\frac{1}{4}$ Praha, MLH = = 6,5 Prùhonice. D = 75,5°; $D_c = 74,5^\circ$ ; Az = 323°. e 15 51 30, Rm 07, Rm 12. QmH: 32 s, 15 $\mu$ ; RmH: 20 s, 14 $\mu$ .
18	eiPn ei eiSn eiSg Lm	22 06 27 07 48,5 08 12 09 32 11	C. Albanie 41°N, 19° $\frac{1}{2}$ E; H = 22 04 00, réplique du 17 août (BCIS). Magnitude: 5 $\frac{1}{4}$ Kew. D = 100°; $D_c = 9,9^\circ$ ; Az = 156°. ei 22 06 33,5. LmN: 11 s, 1 $\mu$ .
19	eiP e	15 34 10 37 10	D. S des Carpathes 45° $\frac{1}{2}$ N, 21° $\frac{1}{2}$ E; H = 15 32 00, profond (Moskva). $D_c = 6,7^\circ$ ; Az = 130°.
19	eiPKP ei	17 32 26,5 32 45	C. Région îles Tonga, vers 20°S, 175°W; H = 17 12 36 (USCGS). $D_c = 149,2^\circ$ ; Az = 19°.
21	e	00 03 08	e 00 03 23, ei 03 40.

Date	Phase	h m s	Remarques
21	eiP	07 20 40	Traces. Chine 38° $\frac{1}{2}$ N, 104°E; H = 07 13 19 (USCGS et BCIS). $D_c = 61,6^\circ$ ; Az = 62°.
21	iPKP ei eiPKS e(SKKS) Lm	08 22 54,6 23 17 26 30 33 15 09 21	C. Océan Indien 50° $\frac{1}{2}$ S, 139° $\frac{1}{2}$ E; H = 08 03 15 (USCGS). Magnitude: 5 $\frac{3}{4}$ Pasadena, 6,2 Strasbourg, MLH = 5,9 Prùhonice. $D_c = 145,6^\circ$ ; Az = 113°. e 08 32 30, Lm 09 38 LmH: 22 s, 1,4 $\mu$ ; LmH: 18 s, 1,4 $\mu$ .
21	iPKP	08 25 13,7	C. Réplique H = 08 05 35 (BCIS). Magnitude: 6,0 Uppsala, Kiruna.
21	iPKP ei Lm	09 57 28,5 57 35 10 58,5	D. Océan Indien 50° $\frac{1}{2}$ S, 140°E; H = 09 37 49 (USCGS). Magnitude: 6 Matsushiro, Kew, MLH = 5,9 Prùhonice. $D_c = 145,8^\circ$ ; Az = 113°. LmH: 22 s, 1,4 $\mu$ .
21	e	18 31 36	ei 18 31 41, ei 31 46,5.
21	ei	19 16 26	ei 19 16 33.
22	ei	08 15 44,5	Traces.
22	ei	20 38 45	ei 20 38 53.
22	eiP ei	23 56 03,4 56 18,5	C. Belouchistan 27° $\frac{1}{4}$ N, 63° $\frac{1}{4}$ E; H = 23 48 14 (BCIS). $D_c = 43,5^\circ$ ; Az = 101°.
23	ei	03 21 17,5	Traces.
23	eiPKP ei	20 35 25,5 35 37,5	Région îles Samoa, 15°S, 175° $\frac{1}{2}$ W; H = 20 15 48 (BCIS). $D_c = 144,2^\circ$ ; Az = 16°.
23	eiP eiS Rm Rm	22 25 56,0 29 40 32,8 34	Méditerranée 35° $\frac{1}{2}$ N, 3°W; H = 22 21 30 (BCIS). Magni- tude: 5 $\frac{1}{2}$ Praha, Kew, MLH = 5,1 Prùhonice. D = 20°; $D_c = 19,7^\circ$ ; Az = 230°. ei 22 26 16, RmH: 14 s, 2,6 $\mu$ ; RmH: 11 s, 2,7 $\mu$ .
24	e	00 16 37	ei 00 17 11.
24	eiP ei	08 24 11,5 24 43,0	C. Birmanie 25°N, 97°E; H = 08 13 17 (Shillong), $D_c = 66,5^\circ$ ; Az = 78°.



Date	Phase	h m s	Remarques
24	<del>i</del>	12 33 27,0	C.
24	<del>iP</del>	12 40 53,1	D. Kamtchatka 53°N, 159° <sup>1</sup> / <sub>2</sub> E; H = 12 29 20 (USCGS). D <sub>c</sub> = 73,7°; Az = 21°.
	<del>ei</del>	41 13,5	
24	<del>ei</del>	14 57 58	Traces.
24	<del>ei</del>	16 28 03,8	ei 16 28 13,6.
24	<del>iPn</del>	17 34 22,0	C. Turquie, vers 39°N, 40°E; H = 17 29,6 (BCIS). Magnitude: 4 <sup>3</sup> / <sub>4</sub> Moskva. D <sub>c</sub> = 21,0°; Az = 110°.
	<del>ei</del>	34 41,6	
24	<del>iP</del>	21 10 14,5	D. i 21 10 21,5.
24	<del>e</del> } PKP	21 50 04	Iles Salomon 10° <sup>1</sup> / <sub>2</sub> S, 161°E; H = 21 30 46 (USCGS). Magni- tude: 7 <sup>1</sup> / <sub>4</sub> Berkeley, 7 Pasadena, Prùhonice, 6,8 Strasbourg, 6,9 Praha. D = 134°; D <sub>c</sub> = 131,8°; Az = 48°. i 21 52 40, eL 22 25, Lm 47. LmH: 22 s, 21 μ; LmV: 22 s, 24 μ.
	<del>ei</del>	50 07	
	<del>eiPP</del>	52 28	
	<del>eiPPP</del>	55 16	
	<del>eiSKS</del>	57 12	
	<del>eiSKKS</del>	59 30	
	<del>eiSS</del>	22 09 58	
	<del>eSSS</del>	14,9	
25	<del>iPg</del>	07 30 09,6	Explosion 7,9 tonnes, 50°35,2'N, 13°49,6'E. Enregistré avec le séismographe à courte période (T <sub>m</sub> = 0,2 sec, V <sub>m</sub> = = 200 000). D <sub>c</sub> = 85 km. i 07 30 11,6.
	<del>i(Sg)</del>	30 18,6	
	<del>iX<sub>2</sub></del>	30 24,0	
	<del>i(X<sub>3</sub>)</del>	30 29,0	
25	<del>ei</del>	09 10 43	ei 09 10 55.
25	<del>iP</del>	12 00 10,0	C. Albanie 41°N, 20°E; H = 11 57 42 (BCIS). D <sub>c</sub> = 10,1°; Az = 154°. i 12 00 15, ei 01 33,5, ei 03 36.
	<del>eiS</del>	02 09,5	
	<del>Lm</del>	05	
25	<del>ei</del>	12 26 04	Traces.
25	<del>iP</del>	14 10 42,0	C.
25	<del>ei</del>	14 21 25,5	
25	<del>ei</del>	16 15 23,5	Traces.

Date	Phase	h m s	Remarques
25	<del>ei</del>	22 12 31	Traces.
25	<del>ei</del>	22 30 23,5	Traces.
25	<del>ei</del>	23 00 16	Traces.
26	<del>iP</del>	08 38 23,8	C. E. Veracruz 18°N, 94° <sup>1</sup> / <sub>2</sub> W; H = 08 25 30 (USCGS et BCIS). Magnitude: 7,1 Veracruz, 6 <sup>3</sup> / <sub>4</sub> Pasadena, 6,5 Praha, MLH = 6,3 Prùhonice. D = 89°; D <sub>c</sub> = 88,0°; Az = 296°. i 08 38 35,5; ei 41 42, ei 49 40, ei 50 30, Rm 23. QmN: 34 s, RmH: 18 s, 5,7 μ; RmV: 18 s, 10 μ.
	<del>eSKS</del>	48 48	
	<del>eiS</del>	49 08	
	<del>eSS</del>	54 22	
	<del>Qm</del>	09 06,5	
	<del>Rm</del>	19	
	<del>Rm</del>	22	
26	<del>i</del>	09 59 35,5	C. ei 09 59 47.
26	<del>iP</del>	10 39 29,0	D. Région des îles de la Reine Charlotte 51°N, 132°W; H = = 10 27 41 (USCGS). Magnitude: 6,5 Uppsala, Kiruna, MLH = 6,5 Prùhonice, 6,3 Praha. D = 76,5°; D <sub>c</sub> = 75,6°; Az = 339°. ei 10 39 35,8, ei 39 48, ei 40 32, ei 50 32, e 58. QmH: 27 s, 9,2 μ; RmH: 16 s, 9,5 μ; RmV: 16 s, 6 μ.
	<del>eiPP</del>	42 16,5	
	<del>eiS</del>	49 10	
	<del>eiPS</del>	49 48	
	<del>eiPPS</del>	50 08	
	<del>eSS</del>	54	
	<del>Qm</del>	11 08,5	
	<del>Rm</del>	17	
26	<del>iP</del>	11 05 44,0	D. Au large SW de Sainte Hélène, vers 22° <sup>1</sup> / <sub>2</sub> S, 12° <sup>1</sup> / <sub>2</sub> W; H = 10 53,7 (BCIS). D <sub>c</sub> = 78,3°; Az = 206°.
	<del>ei</del>	05 46	
	<del>ei</del>	06 10,5	
27	<del>ei</del>	10 14 54	Traces.
27	<del>ei</del>	12 00 21	Traces.
27	<del>i</del>	12 38 23,6	Traces.
27	<del>ei</del>	12 51 45,5	Traces.
27	<del>ei</del>	16 29 33,5	Traces.
27	<del>ei</del>	16 56 03,5	ei 16 56 12.
27	<del>i</del>	17 19 05,5	Traces.



Date	Phase	h m s	Remarques
28	iP eiPP eL Lm	00 04 01,0 06 27 28 32,5	C. Birmanie 25°N, 96°E; H = 23 53 10 (USCGS). Magnitude: $5\frac{1}{2}$ - $5\frac{3}{4}$ Matsushiro. $D_c = 65,9^\circ$ ; Az = $79^\circ$ . ei 00 03 20,5 LmM: 15 s, 0,7 $\mu$ .
28	ei	01 00 34,5	ei 01 00 42,5.
28	iP eiPcP	02 08 49,5 09 05	D. Iles Kouriles 48°N, 155°E; H = 01 56 56 (USCGS). $D_c = 76,7^\circ$ ; Az = $26^\circ$ .
28	i	09 03 42	Traces.
28	iPg iSg iX <sub>2</sub> i(RiP)	11 29 26,9 29 29,2 29 30,5 29 35,3	Explosion 10 tonnes 49°50'N, 14°42,1'E; $D_c = 19$ km (Prùhonice). Enregistré avec le séismographe à courte période (Tm = 0,2 sec, Vm = 200 000). i 11 29 32,9.
28	iP	11 48 06,2	C. i 11 48 15.
28	iP i	12 18 32,5 18 37,3	C. Alaska $63^{\circ}1/2$ N, 148°W; H = 12 07 44 (USCGS) $D_c = 63,6^\circ$ ; Az = $351^\circ$ .
29	ei	07 48 26,5	ei 07 49 07.
29	eP ei Lm	10 45 09 45 37,5 55,5	Turquie $38^{\circ}3/4$ N, 41°E; H = 10 40 13 (BCIS). $D_c = 22,1^\circ$ ; Az = $111^\circ$ . LmH: 16 s, 1,4 $\mu$ .
29	eiP	13 48 13,5	Traces.
29	eiP	13 56 19,5	Réplique. H = 13 51 51 (BCIS). ei 56 50.
29	iP iPcP eiPP eiS eiSS Lm Lm	17 12 37,1 13 52,5 14 48 20 08 24 01 34 38	D. Lac Baikal, URSS 53°N, 106,8°E; H = 17 03 11 (BCIS). Magnitude: 7,2 Prùhonice, 7 Strasbourg, 6,9 Praha, $6\frac{1}{2}$ - $6\frac{3}{4}$ Pasadena. D = $53,5^\circ$ ; $D_c = 53,7^\circ$ ; Az = $48^\circ$ . LmH: 15 s, 95 $\mu$ ; LmV: 15 s, 135 $\mu$ .
29	e ei	19 36 07 36 18,2	Yougoslavie 43,8°N, 20,5°E; H = 19 34 10 (BCIS). $D_c = 7,5^\circ$ ; Az = $143^\circ$ . ei 19 38 18.
30	iP ei	03 29 21,1 29 50	(D). N. E. Méditerranée 35,4°N, 3,4°W; H = 03 24 54 (BCIS). Magnitude: 5 Prùhonice, 5 Praha, $5\frac{1}{4}$ Kew.

Date	Phase	h m s	Remarques
	eiS eL Lm	03 33 05,5 35 37,8	D = $20^\circ$ ; $D_c = 19,6^\circ$ ; Az = $230^\circ$ . ei 03 30 05 LmH: 10 s, 1,8 $\mu$ ; LmV: 10 s, 1,5 $\mu$ .
30	ei	11 53 56	Traces.
30	eiP ei	13 54 58,5 55 03	Alaska 63°N, 150°W; H = 13 44 07 (USCGS). $D_c = 67,0^\circ$ ; Az = $352^\circ$ .
30	e Lm	15 09 26 14,5	Réplique Lac Baikal H = 14 39 25 (Moskva). LmH: 15 s, 0,8 $\mu$ ; LmV: 15 s, 1 $\mu$ .
30	iPKP i	19 08 24,5 08 35,0	C. Région Iles Loyauté 23°S, $171^{\circ}1/2$ E; H = 18 48 34 (USCGS) $D_c = 147,6^\circ$ ; Az = $43^\circ$ .
30	eiP ei Lm	23 04 43,5 04 58 27,5	D. Afghanistan-Tadzhik 37°N, $68^{\circ}1/2$ E; H = 22 57 00 (USCGS). $D_c = 40,1^\circ$ ; Az = $87^\circ$ . e 23 14 35. LmH: 15 s, 0,8 $\mu$ ; LmV: 15 s, 1 $\mu$ .
30	eP e Lm	23 46 09,5 00 05 14 11,7	Lac Baikal, URRS, 53°N, 106°E; H = 23 36 42 (USCGS). Magnitude: $5\frac{1}{2}$ Strasbourg. $D_c = 53,1^\circ$ ; Az = $48^\circ$ . LmH: 14 s, 1 $\mu$ ; LmV: 16 s, 1,6 $\mu$ .
31	eiP ei	09 17 55,5 18 35	C. Iles Aléoutiennes $52^{\circ}1/2$ N, 171°W; H = 09 05 56 (USCGS). $D_c = 77,0^\circ$ ; Az = $3^\circ$ .
31	ePg ei	10 45 34 46 14,5	Suisse $46^{\circ}15,8'N$ , $9^{\circ}19,1'E$ ; H = 10 44 04,0 (Zürich). $D_c = 5,2^\circ$ ; Az = $222^\circ$ .
31	ei	13 05 45,5	Traces.
31	ePKP ei	13 44 40 45 04,5	Nouvelles Hébrides 21°S; $172^{\circ}1/2$ E; H = 13 25 02 (BCIS). $D_c = 147,1^\circ$ ; Az = $39^\circ$ .
31	ei	14 09 38,5	Traces.
31	e	15 17 28	Traces.
31	eiP	15 46 28,2	C. ei 15 46 39.



Date	Phase	h m s	Remarques
1	eiP e	01 05 42,5 06 39	Pérou 11°S, 74° <sup>1</sup> / <sub>2</sub> W; H = 00 52 04 (USCGS). D <sub>c</sub> = 97,7°; Az = 262°.
1	eiP	01 11 47,5	ei 01 11 53. Données insuffisantes (BCIS).
1	eiP e eL Lm	07 34 37 40 18 43 46,5	Crête médiane de l'Atlantique 54°N, 35° <sup>1</sup> / <sub>2</sub> W; H = 07 28 23 (BCIS). Magnitude: 5,1 Strasbourg, MLH = 4,9 Prùhonice. D <sub>c</sub> = 30,6°; Az = 298°. e 07 40 40. LmH: 16 s, 1,1 μ; LmV: 16 s, 1 μ.
1	iP ei eL Lm	11 00 51,0 01 04 31 34,5	C. Nord de Porto-Rico 20°N, 64° <sup>1</sup> / <sub>2</sub> W; H = 10 49 43 (USCGS). D <sub>c</sub> = 67,9°; Az = 275°. LmE: 16 s, 0,6 μ; LmV: 16 s, 0,9 μ.
1	iPn iPg eiSn iLg Lm Lm	11 40 04,4 40 58,3 41 55,5 42 45,5 43,7 44,7	C. Albanie 41,0°N, 19,6°E; H = 11 37 40 (BCIS). Magnitude: 6 <sup>1</sup> / <sub>4</sub> Praha, 6 <sup>1</sup> / <sub>4</sub> Moskva, 5,9 Uppsala, Kiruna, Prùhonice. D = 9,7°; D <sub>c</sub> = 9,8°; Az = 156°. i 11 40 10,1, i 40 37,7, i 41 25,5, ei 42 05,5. LmH: 15 s, 65 μ; LmV: 15 s, 48 μ.
2	eiP ei ei	08 14 10,4 14 26,5 14 45	C Péninsule de Kenai 60°N, 151°W; H = 08 03 00 (USCGS). D <sub>c</sub> = 70,3°; Az = 352°.
2	eiP ei	09 42 43,8 43 06,5	N de Puerto-Rico 20°N, 65°W; H = 09 31 36 (USCGS). D <sub>c</sub> = 68,4°; Az = 276°.
2	eiP ei	13 03 44,5 03 58	Kamtchatka 55°N, 164°E; H = 12 52 20 (USCGS). Magnitude: 5 <sup>1</sup> / <sub>2</sub> Matsushiro. D <sub>c</sub> = 72,5°; Az = 17°.
2	ei	15 09 03,5	Traces.
2	ei	15 40 51,6	Traces.
2	i	17 00 25,5	
3	iPKP ei	02 57 55,2 58 01,5	D. Région îles Tonga-Fidji 20° <sup>1</sup> / <sub>2</sub> S, 178° <sup>1</sup> / <sub>2</sub> W; H = 02 39 04, h = 550 km ca (USCGS). D <sub>c</sub> = 148,5°; Az = 25°.
3	eiP eS	04 04 28,0 06 15	D. Albanie 41°N, 20°E; H = 04 02 00 (USCGS). Magnitude: 5 Kew, MLH = 4,2 Prùhonice. D = 9,4°; D <sub>c</sub> = 9,9°.

Date	Phase	h m s	Remarques
	Lg Lm	04 07 44 10	Az = 154°. ei 04 04 48,5, ei 06 36,5. LmH: 12 s, 1,6 μ; LmV: 12 s, 1,7 μ
3	eiP eiPP eiSKS eiPS eL Lm	06 41 44 46 07,3 52 25 55 13,5 07 21 28,4	C. Célèbes 4° <sup>1</sup> / <sub>2</sub> S, 122° <sup>1</sup> / <sub>2</sub> E; H = 06 27 33 (BCIS). Magnitude: 6 <sup>1</sup> / <sub>4</sub> —6 <sup>1</sup> / <sub>4</sub> Matsushiro, 6 Strasbourg, MLH = 6,1 Prùhonice. D = 107°; D <sub>c</sub> = 105,1°; Az = 79°. ei 06 44 55, ei 45 48,5, ei 53 10, Lm 07 38,5. LmH: 21 s, 3 3 μ; LmV: 20 s, 2,3 μ.
3	eiPg eiSg	12 51 17,8 51 41,3	D = 17°.
3	eiPKP ei	22 08 34,6 08 43	Région îles Fidji 15°S, 175° <sup>1</sup> / <sub>4</sub> W; H = 21 48 56 (USCGS). Magnitude: 5 <sup>1</sup> / <sub>4</sub> Matsushiro. D <sub>c</sub> = 144,2°; Az = 16°.
4	eiP ei	00 20 08 20 17,7	Epicentre probablement dans le NE de la Chine. Données insuffisantes (BCIS).
4	iPn iPb i(Pg) iSn iSb	08 30 30,4 30 31,2 30 32,0 30 50,9 30 51,7	Explosion 15 t 49°00,4'N, 16°21,2'E (Prùhonice). D <sub>c</sub> = 170 km. i 08 30 38 8, i(Sg) 50 51,7, Lm 31 05.
4	eiPg i(Sb) iSg	08 38 20,6 39 06,5 39 23,0	N. W. Bade Allemagne 48°23'N, 7°43'E; H = 08 36 53 (BCIS). D = 4,7°; D <sub>c</sub> = 4,6°; Az = 251°. i 08 38 22,2, i 38 34,2.
4	ei	10 44 18	
4	e(PN) eiPg eiSn eiLg	11 01 12,7 01 54 02 52 04 35	Albanie 41°N, 19° <sup>3</sup> / <sub>4</sub> E; H = 10 58 45 (BCIS). D = 10° ca; D <sub>c</sub> = 9,8°; Az = 156°. ei 11 02 16,7, ei 03 44,5, Lm 05,6. LmH: 7 s, 0,8 μ; LmV: 7 s, 0,6 μ.
4	iPg iX <sub>1</sub> iX <sub>2</sub> iX <sub>3</sub>	11 59 23,5 59 25,4 59 27,5 59 29,2	D. Explosion de 3,5 tonnes d'explosifs en Tchécoslovaquie 49°57,5'N, 14°13,0'E (Prùhonice). D <sub>c</sub> = 26,5 km. Enregistré avec le sismographe spécial à courte période (Tm = 0,2 sec).
4	e(Pn) eiSn ei	16 18 53 20 35,5 21 21	Faible. Albanie 41°N, 19° <sup>3</sup> / <sub>4</sub> E; H = 16 16 25 (BCIS). D <sub>c</sub> = 9,8°; Az = 156°. ei 16 19 51, Lm 22,4. LmN: 7 s, 0,4 μ; LmV: 7 s, 0,6 μ.



Date	Phase	h m s	Remarques
4	iP	18 36 54,7	(D). Océan Atlantique 1°S, 24°W; H = 18 26 41 (BCIS).
	iPcP	37 40,7	Magnitude: 6 <sup>1</sup> / <sub>4</sub> Roma.
	eiS	45 14,5	D = 62°; D <sub>c</sub> = 60,6°; Az = 226°.
	eSS	49,1	ei 18 38 18,5; Lm 19 00,5. LmN: 25 s, 0,8 μ; LmV: 25 s, 1,3 μ.
	eL	57	
4	eiP	19 34 31,3	C. Iles Aléoutiennes 52° <sup>1</sup> / <sub>2</sub> N, 168° <sup>1</sup> / <sub>2</sub> W; H = 19 22 32 (USCGS). D <sub>c</sub> = 77,3°; Az = 2°.
5	ei	05 43 45,5	Traces.
5	e	06 26 30	Début perdu par le changement des feuilles. Région de l'île
	Lm	07 03	Halmahera 1°N, 129°E; H = 06 07 38 (USCGS). Magnitude:
	Lm	13	6 <sup>1</sup> / <sub>2</sub> Matsushiro, 6,1 Uppsala, Kiruna, 5 <sup>1</sup> / <sub>2</sub> Moskva. D <sub>c</sub> =
			= 104,6°; Az = 69°.
5	eiPKP	07 20 48,5	Région îles Balleny 62°S, 156°E; H = 07 00 26 (USCGS).
	ei	21 04,4	Magnitude: 6,1 Wellington.
	ei	21 19	D <sub>c</sub> = 155,5°; Az = 135°.
5	e	15 50 14,5	Région de l'île Halmahera 1°N, 129°E; H = 15 34 44 (USCGS).
	e	50 31	Magnitude: 6-6 <sup>1</sup> / <sub>4</sub> Matsushiro, MLH = 6 Prùhonice.
	ePP	53 13	D <sub>c</sub> = 104,6°; Az = 69°.
	Lm	16 40,5	LmH: 20 s, 3,3 μ; LmV: 20 s, 1,2 μ.
5	eiP	21 24 04,5	Iles Aléoutiennes 51° <sup>1</sup> / <sub>2</sub> N, 179° <sup>1</sup> / <sub>2</sub> E; H = 21 12 02 (USCGS).
			D <sub>c</sub> = 77,7°; Az = 9°.
5	eiP	21 40 44	Iles Aléoutiennes 51°N; 179° <sup>1</sup> / <sub>2</sub> E; H = 21 28 42 (USCGS).
	eL	22 15	Magnitude: 5 <sup>1</sup> / <sub>2</sub> -5 <sup>3</sup> / <sub>4</sub> Matsushiro. D <sub>c</sub> = 78,3°; Az = 9°.
	Lm	20,5	LmN: 17 s, 0,5 μ; LmV: 17 s, 0,8 μ.
5	iPKP	23 23 44,5	C. Iles Fidji 18°S, 178°W; H = 23 05 00, h = 550 km ca
	i	23 55	(USCGS). D <sub>c</sub> = 147,5°; Az = 23°.
6	eiP	00 41 45,5	Philippines 5° <sup>1</sup> / <sub>2</sub> N, 126° <sup>1</sup> / <sub>2</sub> E; H = 00 27 59 (USCGS et BCIS)
	ei	41 58,5	Magnitude: 5 <sup>1</sup> / <sub>4</sub> Matsushiro. D <sub>c</sub> = 99,6°; Az = 69°.
6	eiP	00 45 21	C. ei 00 45 52; ei 46 08,5.
6	iPKP	18 25 34,5	D. Traces. Iles Fidji, vers 22°S, 180°; H = 18° 06,0 (BCIS).
	ei		D <sub>c</sub> = 149,6°; Az = 28°.
7	eP	04 13 33	Océan Atlantique 1° <sup>1</sup> / <sub>4</sub> S, 24°W; H = 04 03 18 (BCIS).
	eiPcP	14 19	D <sub>c</sub> = 60,6°; Az = 226°.

Date	Phase	h m s	Remarques
7	ei	12 51 13,5	Traces.
8	eiPKP	04 35 53,5	C. Région îles Tonga H = 04 16,2 (BCIS).
8	iP	08 58 52 1	C. Au large de la côte S de l'île de Rhodos 35° <sup>1</sup> / <sub>2</sub> N, 28°E;
	ei	58 58,3	H = 08 54 47 (BCIS). D <sub>c</sub> = 18,1°; Az = 141°.
	ei	59 50,5	LmH: 12 s, 0,5 μ. Lm 09 06.
8	iP	10 15 43,0	C. Japon 36° <sup>1</sup> / <sub>2</sub> N, 140° <sup>1</sup> / <sub>2</sub> E; H = 10 03 28, h = 80 km (BCIS)
	i	15 50,1	Magnitude: 5,9 Matsushiro.
	eipP	16 10,5	D <sub>c</sub> = 81,9°; Az = 41°.
	eiPP	18 40,5	
8	eiP	13 30 28,5	C. S de l'Océan Atlantique 54° <sup>1</sup> / <sub>2</sub> S, 22°E; H = 13 12 08
	eL	14 08	(BCIS). Magnitude: 5 <sup>1</sup> / <sub>2</sub> -5 <sup>3</sup> / <sub>4</sub> Matsushiro, MLH = 5,6 Prù-
	Lm	18	honice. D <sub>c</sub> = 103,7°; Az = 176°. LmH: 18 s, 0,8 μ.
8	iP	19 31 29,0	C. Japon 42° <sup>1</sup> / <sub>2</sub> N, 142° <sup>1</sup> / <sub>2</sub> E; H = 19 19 39, h = 100 km ca
	e(S)	41 17	(USCGS). Magnitude: 5,3 Matsushiro, MLH = 5,4 Prù-
	eSP	41 45	honice. D = 78° ca; D <sub>c</sub> = 77,1°; Az = 36°.
	eL	59	ei 19 31 44, ei 32 40,8. LmH: 17 s, 0,9 μ; LmV: 17 s, 1 μ.
	Lm	20 09,5	
9	iP	02 01 38,0	C. Kamtchatka 55°N, 161° <sup>1</sup> / <sub>2</sub> E; H = 01 50 12 (BCIS).
	ei	01 43	D <sub>c</sub> = 71,6°; Az = 19°.
9	iP	06 52 20,2	C. Hindou-Kouch. Epicentre périodique 36,5°N, 70,5°E
	ei	52 37	H = 05 44 40, h = 220 km (BCIS). D <sub>c</sub> = 41,9°; Az = 87°.
9	ei	12 50 11	Traces. ei 12 50 24.
9	eSg	14 10 12	Destruction en mer d'une épave de navire, Belgique 51°25'N,
	ei	10 44,9	3°15'E; H = 14 06 46,2 (Uccle). D <sub>c</sub> = 7,2°; Az = 286°.
9	eiPg	17 50 14,6	Région de Zabrze, Pologne, vers 50° <sup>1</sup> / <sub>4</sub> N, 18° <sup>3</sup> / <sub>4</sub> E; H =
	eiSn	50 35,6	= 17 49,3 (BCIS).
	eiSg	50 51	D = 2,8°; D <sub>c</sub> = 2,6°; Az = 89°.
10	ePg	00 04 53	Piemont, Italie, 45,3°N, 7,5°E; H = 00 02 40 (BCIS).
	ei	06 12,6	D = 6,5°; D <sub>c</sub> = 6,8°; Az = 226°.
	eiSg	06 18,3	ei 00 05 25,5.
10	eiP	03 57 25,5	Au large de l'île de Rhodos, vers 35° <sup>1</sup> / <sub>2</sub> N, 28°E; H = 03 53,3
	e	57 33	(BCIS). D <sub>c</sub> = 17,7°; Az = 140°.



Date	Phase	h m s	Remarques
10	<del>iPKP</del> <del>e</del>	05 54 06,6 54 35	C. Iles Salomon $6^{01}/2$ S, $154^{01}/2$ E; H = 05 35 04 (USCGS). Magnitude: $6^{1}/4$ Port Moresby, $5^{1}/2 - 5^{3}/4$ Matsushiro. $D_c = 125,1^\circ$ ; Az = $51^\circ$ .
10	<del>eiPg</del> <del>ei</del> <del>eiSg</del>	12 57 23,7 57 35,5 57 47,5	Explosion? Enregistré par le séismographe vertical à courte période (T = 0,2 sec). D = $1,8^\circ$ ca.
10	<del>ei</del>	12 58 46,5	Traces. ei 12 58 59.
10	<del>eiPg</del> <del>eiSg</del> <del>ei</del>	13 02 06,8 02 28,7 02 30,5	Explosion? Enregistré par le séismographe vertical à courte période (T = 0,2 sec). ei 13 02 34,0. D = $1,6^\circ$ .
10	<del>eiPg</del> <del>eiSg</del>	13 12 14 12 36,5	Réplique? D = $1,6^\circ$ .
10	<del>iPg</del> <del>ei(Sg)</del> <del>ei</del> <del>iX<sub>2</sub></del>	13 16 06,2 16 14,7 16 17,6 16 19,0	Explosion de 5,9 tonnes $50^\circ 33,8'N$ , $14^\circ 00,4'E$ ; $D_c = 75$ km. Enregistré par le séismographe vertical à courte période (T = 0,2 sec).
10	<del>iP</del> <del>ei</del> <del>ei</del>	14 04 06,6 04 36 05 23	C. Turquie orientale $38^{01}/2N$ , $43^{01}/2E$ ; H = 13 59 00 (BCIS). $D_c = 23,4^\circ$ ; Az = $107^\circ$ .
10	<del>iP</del> <del>ei</del>	15 55 25,5 55 36	C. Iles Kouriles $45^{01}/2N$ , $148^{01}/2E$ ; H = 15 43 28 (USCGS). $D_c = 76,6^\circ$ ; Az = $31^\circ$ .
10	<del>eiP</del> <del>ei</del>	23 08 27,0 08 33	C. Iles Kouriles $47^\circ N$ , $152^\circ E$ ; H = 22 56 34 (USCGS). $D_c = 76,4^\circ$ ; Az = $28^\circ$ . ei 09 28.
11	<del>ei</del>	00 34 14,0	Traces.
11	<del>ei</del>	09 58 30	Traces.
11	<del>eiP</del> <del>eiS</del> <del>eL</del> <del>Lm</del>	12 37 21,5 42 22 44,7 47,7	Crête médiane de l'Atlantique $43^\circ N$ , $29^\circ W$ ; H = 12 31 01 (BCIS). Magnitude: $5^{1}/4$ Strasbourg, MLH = 5,2 Prùhonice. D = $31^\circ$ ; $D_c = 30,4^\circ$ ; Az = $273^\circ$ . LmH: 12 s, 1,1 $\mu$ .
11	<del>e</del>	12 55 08	Faible. e 12 55 36,5, ei 55 56,0.

Date	Phase	h m s	Remarques
11	<del>eiP</del> <del>ei</del> <del>eL</del>	14 24 25,8 24 32 33	C. Au N des Açores $43^\circ N$ , $29^\circ W$ ; H = 14 18 07 (BCIS). Magnitude: 5 Strasbourg, Kew, MLH = 5 Prùhonice. $D_c = 30,4^\circ$ ; Az = $273^\circ$ . LmH: 12 s, 0,6 $\mu$ . Lm 35.
12	<del>ePP</del> <del>eiPPP</del> <del>ePPS</del> <del>eiSS</del> <del>eiSSS</del> <del>LQ</del> <del>Qm</del> <del>Rm</del>	02 13 52 16 13 25 04 30 32 34 32 44 48,7 55	Mer de Bismarck $3^\circ S$ , $146^{01}/2E$ ; H = 01 53 47 (USCGS). $6^{1}/2 - 6^{3}/4$ Matsushiro, 6,5 Uppsala, Kiruna, MLH = 6,6 Prùhonice. D = $118^\circ$ ca; $D_c = 118,1^\circ$ ; Az = $57^\circ$ . ei 02 14 19; ei 14 58; ei 16 54; e 24 30; e 29 26, Rm 55. QmH: 15 s, 4,3 $\mu$ ; RmH: 28 s, 10 $\mu$ ; RmH: 20 s, 4,5 $\mu$ ; RmV: 21 s, 5 $\mu$ .
12	<del>eL</del> <del>Lm</del>	08 01 14	Mer de Bismarck $3^\circ S$ , $146^{01}/2E$ ; H = 07 01 45 (USCGS). Magnitude: $5^{3}/4$ Strasbourg, $5^{1}/2$ Port Moresby. $D_c = 118,1^\circ$ ; Az = $57^\circ$ .
12	<del>eP</del>	10 43 49	ei 10 44 54.
12	<del>eiPKP</del> <del>ePP</del> <del>eL</del> <del>Lm</del>	11 43 46,0 45 49 12 24 46	Région Iles Salomon $9^{01}/2S$ , $156^\circ E$ ; H = 11 24 27 (USCGS). Magnitude: $6,3^\circ$ Wellington, $5^{3}/4$ Strasbourg, MLH = 5,7 Prùhonice. $D_c = 128,4^\circ$ ; Az = $52^\circ$ . LmH: 19 s, 1,4 $\mu$ ; LmV: = 19 s, 2 $\mu$ .
12	<del>eiPKP</del>	12 30 08,5	ei 12 30 31.
12	<del>ei</del>	13 56 38,5	Traces.
12	<del>eiPKP</del>	15 57 13,5	Traces. Nouvelle Bretagne, vers $5^\circ S$ , $151^\circ E$ ; H = 15 38,7 (BCIS). Magnitude: $4^{3}/4$ Port Moresby. $D_c = 122,2^\circ$ ; Az = $54^\circ$ .
12	<del>ei</del>	16 48 33,5	Traces.
12	<del>e</del>	16 58 05	Traces.
12	<del>iP</del> <del>eipP</del> <del>eisP</del> <del>eiPP</del> <del>isPP</del>	21 27 37,5 28 21,3 28 45,5 29 12,2 30 23,0	C. h = 200 km. Hindou-Kouch $36^\circ N$ , $71^\circ E$ ; H = 21 19 57; h = 200 km ca (USCGS). $D_c = 42,5^\circ$ ; Az = $87^\circ$ . ei 21 27 53, i 32 56,5.
13	<del>eiPg</del> <del>ei</del> <del>eiSg</del>	03 06 35,5 06 56,5 07 12,2	Région de Zabrze, Pologne $50^{01}/4N$ , $18^{03}/4E$ ; H = 03 05,6 (BCIS). D = $2,7^\circ$ ; $D_c = 2,6^\circ$ ; Az = $89^\circ$ .



Date	Phase	h m s	Remarques
13	✓ iP	18 24 24,0	C. ei 18 24 31,8.
13	✓ eiP	19 23 54,5	Frontière Chine-Kirghisie URSS, $39^{\circ}1/2$ N, $74^{\circ}1/2$ E; H = 19 15 52 (USCGS). MLH = 5,1 Prùhonice. $D_c = 42,7^{\circ}$ ; Az = $80^{\circ}$ . ei 19 24 28,5, ei 26 42,5; LmH: 15 s, 1 $\mu$ .
	✓ eiPP	25 42,3	
	✓ eL	37	
	✓ Lm	40	
13	✓ e	21 00 04	Traces.
13	✓ eiPP	22 59 09	Région de l'île Halmahera $1^{\circ}$ N, $129^{\circ}$ E; H = 22 40 36 (USCGS). Magnitude: $5^3/4$ -6 Matsushiro, $5^1/2$ Strasbourg. $D_c = 104,6^{\circ}$ ; Az = $71^{\circ}$ .
	✓ e	59 30	
14	✓ eiP	04 36 30,5	ei 04 36 41,5.
14	✓ iPKP <sub>1</sub>	13 35 41,5	Région des îles Tonga $24^{\circ}$ S, $176^{\circ}1/2$ W; H = 13 15 49 (USCGS). Magnitude: $6^1/2$ Matsushiro, $5^3/4$ -6 Berkeley. $D_c = 152,5^{\circ}$ ; Az = $23^{\circ}$ . ei 13 37 45, ei 38 35.
	✓ ei	35 49,6	
	✓ eiPKP <sub>2</sub>	36 10,5	
	✓ i	36 22,5	
14	✓ ePKP <sub>1</sub>	14 29 36,8	C. Iles Kermadec $28^{\circ}1/2$ S, $177^{\circ}$ W; H = 14 09 39 (USCGS). Magnitude: $7^3/4$ -8 Berkeley, Matsushiro, $7^3/4$ Pasadena, MLH = 7,8 Prùhonice. $D_c = 156^{\circ}$ ; $D_c = 156,6^{\circ}$ ; Az = $27^{\circ}$ . ei 14 29 48,5, i 30 29,3, iZ 34 01, ei 41 47, ei 41 47, ei 44 38. LmH: 19 s, 70 $\mu$ ; LmV: 19 s, 54 $\mu$ .
	✓ iPKP <sub>2</sub>	30 08,5	
	✓ eiPP	33 45	
	✓ eSKKS	40 20	
	✓ eL	15 30	
	✓ Lm	48	
14	✓ eiPKP <sub>1</sub>	15 18 38,7	Réplique. Iles Kermadec $28^{\circ}1/2$ S, $176^{\circ}1/2$ W; H = 14 58 40 (USCGS). $D_c = 157,3^{\circ}$ ; Az = $25^{\circ}$ .
	✓ ei	18 49,5	
14	✓ ei	15 20 24,0	
14	✓ ePKP	17 16 44	Réplique. Iles Kermadec $29^{\circ}$ S, $176^{\circ}1/2$ W; H = 16 56 13 (USCGS). $D_c = 157,1^{\circ}$ ; Az = $27^{\circ}$ .
	✓ ei	16 57,5	
14	✓ iPKP <sub>1</sub>	17 26 12,2	C. Réplique $29^{\circ}$ S, $176^{\circ}1/2$ W; H = 17 06 15 (USCGS). Magnitude: $6^3/4$ -7 Berkeley, $6^1/2$ Strasbourg, MLH = 6,7 Prùhonice, $6^1/4$ Praha. D = $156^{\circ}$ ; $D_c = 157,1^{\circ}$ ; Az = $27^{\circ}$ . ei 17 26 27, ei 27 41, ei 38 12, ei 39 12, Lm 18 44. LmH: 23 s, 4,8 $\mu$ ; LmV: 23 s, 4 $\mu$ ; LmH: 19 s, 5,5 $\mu$ ; LmV: 19 s, 5,5 $\mu$ .
	✓ iPKP <sub>2</sub>	26 45,1	
	✓ iPP	30 20,3	
	✓ eSS	50 48	
	✓ eSSS	55,9	
	✓ eL	18 27	
	✓ ei	18 27	
14	✓ iP	17 34 23,3	C. Iles Kouriles $46^{\circ}$ N, $151^{\circ}1/2$ E; H = 17 22 28 (USCGS). $D_c = 77,1^{\circ}$ ; Az = $29^{\circ}$ . ei 35 11.
	✓ ei	34 47,5	

Date	Phase	h m s	Remarques
14	✓ ei	18 21 39	ei 18 21 45.
14	✓ eiPKP	20 47 40,0	Réplique. Iles Kermadec $28^{\circ}1/2$ S, $176^{\circ}1/2$ W; H = 20 27.10 (USCGS). Magnitude: 5,7 Wellington. $D_c = 157,2^{\circ}$ ; Az = $26^{\circ}$ .
	✓ ei	47 50,5	
14	✓ eiPKP <sub>1</sub>	22 43 53,1	C. Réplique. Iles Kermadec $29^{\circ}$ S, $177^{\circ}$ W; H = 22 23 53 (USCGS). Magnitude: $6^1/2$ Matsushiro, 6 Strasbourg, MLH = 6,1 Prùhonice. D = $156^{\circ}$ ; $D_c = 157,1^{\circ}$ ; Az = $27^{\circ}$ . ei 22 44 07,4, i 44 30,7, e 57 40, e 59 15, Lm 23 59. LmH: 20 s, 1,8 $\mu$ ; LmV: 20 s, 2,5 $\mu$ .
	✓ eiPKP <sub>2</sub>	44 25,5	
	✓ eiPP	48 01	
	✓ eSS	23 08,0	
	✓ eL	45	
	✓ Lm	52	
15	✓ iPKP <sub>1</sub>	06 19 37,5	C. Réplique. Iles Kermadec $28^{\circ}1/2$ S, $177^{\circ}$ W; H = 05 59 42 (USCHS). Magnitude: $7^1/4$ - $7^1/2$ Berkeley, Matsushiro, MLH = 7,3 Prùhonice, $6^1/2$ - $6^3/4$ Pasadena. D = $156^{\circ}$ ; $D_c = 156,6^{\circ}$ ; Az = $27^{\circ}$ . eL 07 20, Lm 38. LmH: 20 s, 24 $\mu$ ; LmV: 18 s, 1,8 $\mu$ .
	✓ eiPKP <sub>2</sub>	20 05	
	✓ eiPP	23 42	
	✓ eiSKSP	34 15	
	✓ ePPS	36 56	
	✓ eiSS	43 48	
	✓ eSSS	49,0	
15	✓ eiPKP	06 37 57,5	Réplique. Iles Kermadec $28^{\circ}1/2$ S, $176^{\circ}1/2$ W; H = 06 17 28 (USCGS). $D_c = 156,8^{\circ}$ ; Az = $26^{\circ}$ .
	✓ ei	38 04,5	
15	✓ eiPKP	08 20 53,0	D. Réplique. H = 06 17 28 (USCGS). ei 21 25.
15	✓ eiPKP <sub>1</sub>	11 24 14,5	D. h = 600 km. Région îles Fidji $21^{\circ}1/2$ S, $179^{\circ}1/2$ W; H = 11 05 33, h = 600 km ca (USCGS). Magnitude: 7,1 Uppsala, Kiruna, $6^1/2$ Pasadena. D = $150^{\circ}$ ; $D_c = 149,6^{\circ}$ ; Az = $26^{\circ}$ . i 11 24 17,0, i 24 21,7, ei 33 53, ei 34 35, ei 50 22.
	✓ iPKP <sub>2</sub>	24 31,0	
	✓ ipPKP <sub>1</sub>	26 37,0	
	✓ eisPKP <sub>1</sub>	27 40	
	✓ eiPP	28 02	
	✓ eiSKSP	37 19	
	✓ eiSPP	40 16	
	✓ eiSS	46 24	
15	✓ ..	13 00	int. min. manquent.
16	✓ ..	06 00	
16	✓ iPKP	10 28 30	C. Réplique îles Kermadec $29^{\circ}$ S, $176^{\circ}1/2$ W; H = 10 07 45 (USCGS). Magnitude: $5^3/4$ -6 Matsushiro. $D_c = 157,1^{\circ}$ ; Az = $27^{\circ}$ .
	✓ ei	28 50,5	
16	✓ eiPKP <sub>2</sub>	16 17 30,5	Réplique îles Kermadec $28^{\circ}1/4$ S, $176^{\circ}$ W; H = 15 57 03 (USCGS). Magnitude: 6- $6^1/4$ Matsushiro, 6,2 Uppsala, Kiruna, MLH = 6,2 Prùhonice.
	✓ eiPP	21 08,5	
	✓ ePPS	34 25	



Date	Phase	h m s	Remarques
	✓ eiSS	16 41 11	D = 156° ca; D <sub>c</sub> = 157,2°; Az = 27°.
	✗ eL	17 18	ei 16 18 25, e 25 19, Lm 45. LmH: 19 s, 1,9 μ; LmV: 17 s, 2,6 μ.
	✗ Lm	32	
16	✗ eiP	17 24 23,5	C. 17 24 34,5.
16	✗ eiS	17 28 14	Région Crète, vers 35° <sup>1</sup> / <sub>2</sub> N, 26° <sup>1</sup> / <sub>4</sub> E; H = 17 22,8 (BCIS). D <sub>c</sub> = 17,1°; Az = 143°.
16	✗ ei	18 04 32	e 18 04 47.
16	✓ ei	21 06 38	Traces. ei 21 06 56,5.
16	✗ iP	22 23 46,1	ei 22 23 53.
17	✗ ePKP	07 30 58	Traces. Réplique îles Kermadec. H = 07 10 24 (BCIS).
17	✓ eiPKP	14 28 23,5	Traces. Réplique îles Kermadec. H = 14 07 54 (USCGS).
17	✓ ePKP <sub>1</sub>	16 56 10	Réplique îles Kermadec 28° <sup>1</sup> / <sub>2</sub> S, 176°W; H = 14 36 11 (USCGS). Magnitude: 5 <sup>3</sup> / <sub>4</sub> -6 Berkeley, Matsushiro, 5,8 Uppsala, Kiruna, MLH = 5,9 Prùhonice.
	✓ eiPKP <sub>2</sub>	56 40	
	✓ ePP	15 00 21	
	✓ ePPS	13 39	D = 157°; D <sub>c</sub> = 157,2°; Az = 27°m.
	✓ eSS	20 15	ei 14 57 31, ei 15 03 39. LmH: 18 s, 1,1 μ; LmV: 18 s, 1,1 μ.
	✗ eL	16 17	
	✗ Lm	20	
17	✓ eiP	21 37 14	El Salvador 13° <sup>1</sup> / <sub>2</sub> N, 88° <sup>1</sup> / <sub>2</sub> W; H = 21 24 27, h = 60 km ca (USCGS). D <sub>c</sub> = 87,9°; Az = 289°.
	✓ e	37 38	
17	✗ ei	21 53 29	Méditerranée. H = 21 49 02 (BCIS). e 53 43.
18	✗ eiP	02 09 25,7	C. Méditerranée, région de l'île Alberan. H = 02 05 00 (BCIS). Lm 02 17,9.
	✓ ei	09 56	
18	✓ iPg	12 00 24,5	D = 1,1°. i 12 00 45.
	✓ iSg	00 39,5	
18	✓ e(PP)	12 20 45	Îles Sandwich 57° <sup>1</sup> / <sub>2</sub> S, 24°W; H = 12 01 11 (USCGS). Magnitude: 6 <sup>1</sup> / <sub>4</sub> Matsushiro, 5,8 Uppsala, Kiruna, 5,8 Prùhonice.
	✗ e	30 37	
	✓ Lm	13 02	D <sub>c</sub> = 111,8°; Az = 201°. LmH: 21 s, 1,4 μ; LmV: 21 s, 1,7 μ.
19	✓ iP	04 23 15,2	C. Japon 38,5°N, 142°15'E; H = 04 11 05, h = 600 km (USCGS). Magnitude: 5,0 Matsushiro. D <sub>c</sub> = 80,2°; Az = 39°.
	✓ ei	23 26	

Date	Phase	h m s	Remarques
19	✗ i	10 35 40,5	Traces.
19	✓ ei	11 06 04	i 11 06 06,1.
19	✗ eP	16 09 10	Traces. Golfe Persique, vers 30°N, 50°E; H = 16 02 25 (BCIS). D <sub>c</sub> = 33,1°; Az = 113°.
	✗ e	09 27	
20	✗ eiP	07 01 08	ei 07 01 14,5, ei 01 30. Explosion (Jena).
20	✗ ei(P)	10 53 05,2	C. Région Crète, vers 35° <sup>1</sup> / <sub>4</sub> N, 27° <sup>3</sup> / <sub>4</sub> E; H = 11 48,9 (BCIS). D <sub>c</sub> = 18,0°; Az = 141°.
	✗ e	53 24	
21	✓ eiPKP	02 27 31,0	Nouvelle Guinée 9° <sup>1</sup> / <sub>2</sub> S, 149°E; H = 02 08 28 (USCGS et BCIS). Magnitude: 5 <sup>3</sup> / <sub>4</sub> Wellington, Matsushiro. D <sub>c</sub> = 124,7°; Az = 58°.
	✓ e	29 08	
21	✓ eiPKP	02 58 49	Traces. Région des îles Fidji, vers 20° <sup>1</sup> / <sub>2</sub> S, 177°W; H = 02 39,3 (BCIS). D <sub>c</sub> = 149,2°; Az = 22°.
21	✓ eiP	12 27 31,0	Frontière Kirghizie, URSS-Chine 40°N, 74° <sup>1</sup> / <sub>2</sub> E; H = 12 09 30 (USCGS et BCIS). D <sub>c</sub> = 42,5°; Az = 79°.
	✗ ei	27 47,3	
	✓ eiPP	29 18,5	ei 12 27 34, ei 28 14.
21	✗ e	15 48 07	ei 15 48 14,2.
21	✗ eiP	16 27 21,3	SW de l'Alaska 62° <sup>1</sup> / <sub>2</sub> N, 159°W; H = 16 16 19 (USCGS et BCIS) D <sub>c</sub> = 67,8°; Az = 356°. ei 28 27,5.
	✗ ePcP	27 47	
22	✗ iP	12 03 55,5	C. Région des îles Samoa 16°S, 173° <sup>1</sup> / <sub>2</sub> W; H = 11 44 15 (USCGS). D <sub>c</sub> = 145,1°; Az = 14°.
	✗ i	04 09,2	
22	✗ ei	12 37 17,5	Traces.
22	✗ ei	13 02 05	Traces.
22	✗ e	23 11 52	Apennin ligure, Italie, vers 44,6°N, 9,7°E; H = 23 08,8 (BCIS). D <sub>c</sub> = 6,4°; Az = 210°.
	✗ ei	12 07,3	
23	✓ eP	10 46 56	Océan glacial arctique, 83° <sup>1</sup> / <sub>2</sub> N, 113° <sup>1</sup> / <sub>2</sub> E; H = 10 38 59 (USCGS). D <sub>c</sub> = 42,0°; Az = 11°.
	✓ eiPP	48 46	
23	✗ i	16 37 13,0	D.



Date	Phase	h m s	Remarques
23	eiP ei eL Lm	22 35 28,0 35 33,0 23 07,5 16	Japon $35^{\circ}1/2$ N, $138^{\circ}1/2$ E; H = 22 23 11 (USCGS). Magnitude: 5,7 Matsushiro, MLH = 6 Prùhonice, $5^1/2$ Strasbourg. $D_c = 81,4^{\circ}$ ; Az = $43^{\circ}$ . LmH: 14 s, 2,4 $\mu$ ; LmV: 14 s, 1,2 $\mu$ .
24	eiP ei eiPP	05 51 26,0 51 35 53 16	Océan Arctique $83^{\circ}1/2$ N; $112^{\circ}1/2$ E; H = 05 43 38 (USCGS). $D_c = 41,9^{\circ}$ ; Az = $10^{\circ}$ . ei 05 51 59,5.
24	ei	12 50 07	ei 12 50 30,5.
25	eiPP ei	00 32 51 32 04,5	Au large de la côte E de Java $9^{\circ}$ S, $110^{\circ}1/2$ E; H = 00 14 30 (USCGS). $D_c = 102,5^{\circ}$ ; Az = $89^{\circ}$ .
25	iPKP ei	01 59 39,2 59 50	Iles Kermadec $29^{\circ}$ S, $177^{\circ}$ W; H = 01 39 09 (USCGS). Magnitude: $5^1/4$ Wellington. $D_c = 157,1^{\circ}$ ; Az = $27^{\circ}$ .
25	iP iPP iPPP iS eiPS eiPPS eiSS L Lm	02 49 19,1 52 26 54 24,2 59 35,5 03 00 27,5 01 00 05 00 20 24	C. S. W. Près de la côte E de Formose $22^{\circ}$ N, $122^{\circ}$ E; H = 02 36 48 (USCGS et BCIS). Magnitude: 7,25 Roma, 6,2 Uppsala, Kiruna, $6^3/4$ Matsushiro, MLH = 6,8 Prùhonice. D = $84^{\circ}$ ; $D_c = 84,0^{\circ}$ ; Az = $63^{\circ}$ . ei 02 49 32,5, ei 50 49, ei 53 00, ei 03 00 07, Lm 26,5, Lm 31. PH = 8 s, 1 $\mu$ ; PV: 8 s, 2,3 $\mu$ ; SH: 9 s, 1,8 $\mu$ . LmH: 20 s, 21 $\mu$ ; LmV: 20 s, 27 $\mu$ .
25	eiP ei	07 22 48,5 23 22	Caucase URSS $44,0^{\circ}$ N, $39,3^{\circ}$ E; H = 07 18 37 (Moskva et BCIS). $D_c = 17,5^{\circ}$ ; Az = $98^{\circ}$ .
25	ei	11 38 53	Traces.
25	iPg ei iSg i	12 29 48,0 29 59,7 30 08,6 30 10,0	Explosion 4,5 tonnes $49^{\circ}39,2'$ N, $16^{\circ}43,7'$ E (Prùhonice). $D_c = 161$ km. Enregistré par le séismographe vertical à courte période (T = 0,3 s).
25	ei	13 30 06	Traces. i 13 30 50,3.
25	i	15 06 42,6	Traces.
26	iP eiPP eS eiPS	08 33 11,1 36 24 43 21 44 20	C. Au large de la côte de l'Orégon, USA $43^{\circ}1/2$ N, $128^{\circ}1/2$ W; H = 08 20 51 (USCGS). Magnitude: 6,2 Strasbourg, Roma, MLH = 6,2 Prùhonice, 6 Wellington, Praha. D = $82^{\circ}$ ; $D_c = 81,1^{\circ}$ .

Date	Phase	h m s	Remarques
	eiSS Qm Rm	08 48 42 54,5 09 09	ei 08 33 16, ei 33 39,5, ei 35 06, ei 43 37, Rm 09 12. QmH: 44 s, 6,2 $\mu$ ; RmH: 19 s, 4,6 $\mu$ ; RmV: 18 s, 5,5 $\mu$ .
26	ei ei	16 02 16,4 02 44	Province de Macerata, Italie $43,0^{\circ}$ N, $13,5^{\circ}$ E; H = 15 59 00 (BCIS). $D_c = 7,1^{\circ}$ ; Az = $164^{\circ}$ . ei 03 16,3.
26	i	17 01 54,0	D. ei 17 01 59,5.
26	ei(Pg) ei i(Sg)	18 48 19,5 48 44,5 49 04,5	Région épicertrale probable: Tirol. Données discordantes (BCIS). i 18 49 15,0.
27	eiPKP ei	10 38 54,5 39 09	Mer de Banda $5^{\circ}1/2$ S, $129^{\circ}$ E; H = 10 20 18 (USCGS). Magnitude: $5^1/2$ Port Moresby. $D_c = 110,1^{\circ}$ ; Az = $73^{\circ}$ .
27	ePg ei	14 20 52 21 30,5	NW de la Yougoslavie, vers $45^{\circ}3/4$ N, $14^{\circ}1/4$ E; H = 14 19,5 (BCIS). D = $4,2^{\circ}$ ; $D_c = 4,4^{\circ}$ ; Az = $181^{\circ}$ .
28	iP ei eL Lm	04 33 01,2 33 11,5 05 07 14	C. Iles Okinawa $26^{\circ}1/2$ N, $128^{\circ}$ E; H = 04 20 27 (USCGS). MLH = 5,7 Prùhonice. $D_c = 84,1^{\circ}$ ; Az = $55^{\circ}$ . ei 04 34 17,5; LmH: 15 s, 1,2 $\mu$ ; LmV: 15 s, 1,3 $\mu$ .
28	ei	09 21 06	Traces. e 09 21 14.
28	eiP ei	10 20 26,5 20 35	C. Côte S de la Turquie $36^{\circ}1/4$ N, $30^{\circ}1/4$ E; H = 10 16 16 (BCIS). $D_c = 18,1^{\circ}$ ; Az = $134^{\circ}$ . ei 21 10.
29	ei	12 20 08	Traces.
29	ei	13 12 01	Traces.
29	ePKP <sub>1</sub> eiPKP <sub>2</sub> eiPP eiSKSP eiPPS eiSS eL	15 51 55 52 27 56 05 06 28 09 13 16 07 48	Iles Kermadec $29^{\circ}$ S, $176^{\circ}$ W; H = 15 31 57 (USCGS). Magnitude: $6^3/4$ Strasbourg, $6^1/2-6^3/4$ Pasadena, Matsushiro, $6^1/4-6^1/2$ Praha, MLH = 6,6 Prùhonice. D = $156^{\circ}$ ; $D_c = 157,2^{\circ}$ ; Az = $27^{\circ}$ . ei 15 53 28, ei 59 23, Lm 17 06,5, Lm 20,5. LmH: 19 s, 4,7 $\mu$ ; LmV: 17 s, 6 $\mu$ .
29	eiPKP <sub>2</sub> eiPP	16 01 50 05 20	Réplique H = 17 07 50 (USCGS).



Date	Phase	h m s	Remarques
30	<del>eiP</del> <del>ei</del>	03 42 38,5 42 47	Iles Riou-Kiou, Japon 27°N, 125°E; H = 03 30 05 (USCGS). $D_c = 81,9^\circ$ ; Az = 57°. ei 42 51.
30	<del>eiPKP</del> <del>ei</del>	05 16 50,1 17 03	C. Réplique îles Kermadec H = 04 56 22 (BCIS). Magnitude: 5 $\frac{1}{2}$ Wellington.
30	<del>eiPKP</del> <del>ei</del>	13 52 02,0 52 11	C. Réplique îles Kermadec H = 13 31 32 (BCIS).
30	<del>ei</del>	15 18 07	ei 15 18 12.
30	<del>i</del>	16 44 50,0	D. Traces.
30	<del>eiP</del> <del>ei</del> <del>eL</del> <del>Lm</del>	17 02 04 02 29 07 5 10	Méditerranée, région de l'île Alboran 36°N, 3,3°W; H = = 16 57 37 (BCIS). Magnitude: 4 $\frac{3}{4}$ Praha, MLH = 4,6 Prùhonice. $D_c = 19,2^\circ$ ; Az = 230°. LmH: 11 s, 1,2 $\mu$ ; LmV: 11 s, 0,5 $\mu$ .
30	<del>iPKP</del> <del>i</del> <del>ei</del> <del>eiPP</del> <del>eL</del> <del>Lm</del>	20 45 32,0 43 43 46 31 46 31 21 38 44	C. Nouvelles Hébrides 18°S, 168°E; H = 20 25 58 (USCGS). Magnitude: 6 $\frac{1}{2}$ Pasadena, 6,2 Uppsala, Kiruna, Roma, MLH = 5,1 Prùhonice. $D_c = 141,8^\circ$ ; Az = 44°. ei 20 47 22, Lm 21 51,5. LmH: 25 s, 2,6 $\mu$ ; LmV: 25 s, 2,6 $\mu$ ; LmH: 20 s, 1,4 $\mu$ ; LmV: 20 s, 2,3 $\mu$ .

## Octobre 1959

Date	Phase	h m s	Remarques
1	<del>iP</del>	03 26 57,0	C. ei 03 27 07.
1	<del>eiP</del> <del>eL</del> <del>Lm</del>	04 41 03,5 45,5 47	Péloponèse, Grèce 37,3°N, 21,9°E; H = 04 37 47 (BCIS). $D_c = 14,0^\circ$ ; Az = 155°. e 07 41 12,5. LmH: 9 s, 0,6 $\mu$ ; LmV: 8 s, 0,9 $\mu$ .
1	<del>e</del>	11 30 03,5	Traces.
1	<del>iPg</del> <del>iSg</del>	12 45 32,8 45 34,5	Explosion 2,9 tonnes 49°57,3'N, 14°23,4'E; $D_c = 11$ km (Prùhonice). Lm 45 36.

Date	Phase	h m s	Remarques
1	<del>eiP</del> <del>i</del> <del>eiS</del>	16 07 06,2 07 29,3 08 49	Vrancea, Roumanie 40,0°N, 26,9°E; H = 16 04 52 (BCIS). D = 9°; $D_c = 9,2^\circ$ ; Az = 134°. ei 16 07 15, ei 08 17.
1	<del>iPg</del> <del>i</del> <del>iSg</del> <del>Lm</del>	15 30 39,2 30 42,0 30 46,7 30 48	Explosion 2,8 tonnes 49°32'N, 14°49,6'E; $D_c = 55$ km (Prùhonice). Enregistré avec le séismographe spécial à courte période ( $T_m = 0,2$ sec).
2	<del>iPn</del> <del>iPg</del> <del>i(Sb)</del> <del>ei(Sg)</del>	08 00 33,8 00 37,6 00 53,5 00 56,4	Explosion 12 tonnes 49°06,5'N, 16°34,7'E; $D_c = 176$ km (Prùhonice). Enregistré avec le séismographe spécial à courte période ( $T_m = 0,2$ sec). L 01 07, Lm 01 12.
2	<del>i(Pn)</del> <del>e(Sb)</del> <del>ei(Sg)</del>	13 00 55,0 01 14,1 01 16,6	Explosion 4,8 tonnes 49°12,5'N, 16°42,2'E; $D_c = 174$ km (Prùhonice). Enregistré avec le séismographe spécial à courte période ( $T_m = 0,2$ sec).
3	<del>ei</del>	03 06 28,0	ei 13 06 35,5.
3	<del>i(Pn)</del> <del>i(Pg)</del> <del>ei(Sn)</del> <del>ei(Sg)</del>	10 00 21,5 00 25,5 00 50 00 55	Explosion 8,2 tonnes 49°34,7'N, 17°41,5'E; $D_c = 238$ km. Enregistré avec le séismographe spécial à courte période ( $T_m = 0,2$ sec).
3	<del>iP</del>	20 14 48,5	Japon 42°N, 146°E; H = 02 20 40 (USCGS). $D_c = 78,8^\circ$ ; Az = 34°.
5	<del>eP</del> <del>ei</del> <del>ePP</del>	18 04 13 04 21,0 05 46,7	Région du Pole Nord 84°N; 113°E; H = 17 56 25 (BCIS). $D_c = 41,4^\circ$ ; Az = 9°.
5	<del>eiP</del>	18 19 17	Traces. Réplique H = 18 11 28 (BCIS).
5	<del>iP</del> <del>eiPP</del> <del>eiPcP</del> <del>eiS</del> <del>eiSS</del> <del>Q</del> <del>Qm</del>	18 35 38,0 37 14 37 33,5 41 57 44 51 47,3 52	C. S. Océan Arctique 83° $\frac{1}{2}$ N, 112° $\frac{1}{2}$ E; H = 18 27 47 (USCGS). Magnitude: 5,9 Uppsala, Kiruna, MLH = 5,6 Prùhonice, 5 $\frac{1}{4}$ -5 $\frac{1}{2}$ Praha. D = 42,5°; $D_c = 41,5^\circ$ ; Az = 9°. ei 18 36 03; ei 36 31; ei 43 37, Rm 57,5. SH: 14 s, 1,8 $\mu$ ; QmH: 25 s, RmH: 14 s, 3,4 $\mu$ .



Date	Phase	h m s	Remarques
5	<del>iP</del>	10 36 28,4	D. Albanie 41°N, 19° <sup>1</sup> / <sub>2</sub> E; H = 20 34 06 (BCIS). Magnitude: 5,5 Uppsala, Athènes, 5 <sup>1</sup> / <sub>2</sub> Kew, MLH = 5,1 Prùhonice. D = 9,6°; D <sub>c</sub> = 9,7°; Az = 156°. i 20 36 36,0, ei 38 45, ei 39 26. LmH: 14 s, 8,8 μ; LmV: 13 s, 9,9 μ.
	<del>eiS</del>	38 18	
	<del>eLg</del>	39 07	
	<del>Lm</del>	40	
	<del>Lm</del>	41	
6	<del>ei</del>	16 43 57,5	ei 16 44 04,5.
7	<del>iP</del>	08 33 04,1	C. N. Albanie 41°N, 19° <sup>3</sup> / <sub>4</sub> E; H = 08 30 41 (BCIS). Magnitude: 5,9 Uppsala, Kiruna, 5 <sup>1</sup> / <sub>2</sub> Praha, MLH = 5,5 Prùhonice. D = 9,3°; D <sub>c</sub> = 9,7°; Az = 156°. i 08 33 21,0, i 33 35,2, i 34 15,2, i 34 32,5. RmH: 12 s, 20 μ; RmV: 11 s, 13 μ.
	<del>iS</del>	35 50,0	
	<del>Q</del>	35 05	
	<del>R</del>	35 52	
	<del>Rm</del>	36,6	
	<del>Rm</del>	38,8	
7	<del>eiP</del>	09 37 18,0	Albanie. Réplique H = 09 34 55 (BCIS). e 09 38 57.
	<del>ei</del>	40 11,2	
7	<del>ei</del>	12 00 25,1	Traces.
7	<del>eiP</del>	13 10 19,5	Traces. Frontière Kashmir-Tibet, vers 35°N, 80°E; H = H = 13 01,5 (BCIS). D <sub>c</sub> = 49,7°; Az = 82°.
7	<del>e</del>	21 21 38,5	Réplique Albanie H = 21 19 00 (BCIS). e 21 24 55,5.
	<del>eS</del>	23 14	
8	<del>iPKP</del>	00 23 04,1	C. Nouvelles Hébrides 19°S, 169°E; H = 00 03 28 (USCGS). D <sub>c</sub> = 143,0°; Az = 43°.
	<del>ei</del>	24 18	
	<del>eiPP</del>	26 19,8	
8	<del>iP</del>	02 47 22,7	C. Iles Aléoutiennes 52° <sup>1</sup> / <sub>2</sub> N, 171°W; H = 02 35 20 (USCGS). D <sub>c</sub> = 77,2°; Az = 4°.
	<del>ei</del>	47 43,5	
8	<del>eiP</del>	07 23 14,5	Réplique. Albanie H = 07 20 51 (BCIS). ei 07 26 31,7, Lm 27.
	<del>ei</del>	25 13,5	
8	<del>iP</del>	11 06 53,1	Haiti 19° <sup>1</sup> / <sub>2</sub> N, 73° <sup>1</sup> / <sub>2</sub> W; H = 10 55 12 (USCGS). D <sub>c</sub> = 74,0°; Az = 281°.
	<del>e</del>	07 10,5	
8	<del>eP</del>	14 23 37	Lac Baikal 52° <sup>1</sup> / <sub>2</sub> N, 107° <sup>1</sup> / <sub>2</sub> E; H = 14 34 18 (Moskva et BCIS). MLH = 5,3 Prùhonice. D <sub>c</sub> = 54,3°; Az = 48°. LmH: 15 s, 1,2 μ; LmV: 15 s, 1,4 μ.
	<del>eL</del>	44	
	<del>Lm</del>	49,4	
	<del>Lm</del>		
9	<del>ei</del>	10 27 07	Traces.

Date	Phase	h m s	Remarques
9	<del>iPg</del>	13 58 05,7	Explosion 5,4 tonnes vers 49°39'N, 14°21'E; D = 40 km (Prùhonice). Enregistré avec le séismographe spécial à courte période (T <sub>m</sub> = 0,2 sec). Lm 13 58 13.
	<del>eiX<sub>1</sub></del>	58 09,1	
	<del>iSg</del>	58 10,7	
	<del>iX<sub>2</sub></del>	58 12,2	
9	<del>e</del>	15 32 13	Traces. ei 15 31 18,0.
10	<del>eiP</del>	16 13 34,7	Au large de la côte de l'Albanie 40°N, 19° <sup>1</sup> / <sub>2</sub> E; H = 16 11 01 (BCIS). D = 10°; D <sub>c</sub> = 10,6°; Az = 158°. ei 16 16 42.
	<del>ei</del>	14 17	
	<del>eS</del>	15 26	
	<del>Lm</del>	17 10	
11	<del>iP</del>	09 45 47,0	C. Japon 41° <sup>1</sup> / <sub>2</sub> N, 142°E; H = 09 33 44 (USCGS). D <sub>c</sub> = 77,5°; Az = 37°.
	<del>ei</del>	46 06,5	
11	<del>eiPKP</del>	20 23 55	Traces. Région îles Kermadec 28° <sup>1</sup> / <sub>2</sub> S, 176° <sup>1</sup> / <sub>2</sub> W; D <sub>c</sub> = 157,2°. Az = 25°.
12	<del>eP</del>	01 15 50,5	Traces. Crête médiane de l'Atlantique, vers 6°N; 36°W; H = 01 05,8 (BCIS). D <sub>c</sub> = 60,8°; Az = 243°.
12	<del>eiP</del>	01 46 56,5	Traces. Pamir 36° <sup>3</sup> / <sub>4</sub> N, 73° <sup>1</sup> / <sub>4</sub> E; H = 01 38 52 (BCIS). D <sub>c</sub> = 43,5°; Az = 84°.
	<del>e</del>	47 26	
12	<del>iP</del>	03 34 27,3	C. Près de la côte de Sumatra 2°N, 98° <sup>1</sup> / <sub>2</sub> E; H = 03 21 52 (USCGS). Magnitude: 6,3 Uppsala, Kiruna, MLH = 5,5 Prùhonice, 5 <sup>3</sup> / <sub>4</sub> Moskva. D = 84°; D <sub>c</sub> = 84,5°; Az = 93°. ei 03 34 36,5, e 45 14. LmH: 20 s, 1,1 μ; LmV: 17 s, 0,8 μ.
	<del>eiPP</del>	37 42,5	
	<del>eiS</del>	44 50	
	<del>ePS</del>	45 44	
	<del>eL</del>	04 03	
	<del>Lm</del>	18,7	
13	<del>eSn</del>	00 35 47	Faible. Apennin ligure 44° <sup>3</sup> / <sub>4</sub> N, 9° <sup>1</sup> / <sub>2</sub> E; H = 00 32 58 (BCIS). D <sub>c</sub> = 6,2°; Az = 213°. ei 36 18,5.
	<del>ei</del>	35 55,4	
13	<del>iPg</del>	12 45 38,2	C. Explosion 8,5 tonnes 49°57,3'N, 14°23,4'E; D <sub>c</sub> = 12 km. Lm 12 45 41.
	<del>iSg</del>	45 40,0	
14	<del>ei</del>	10 59 45	Traces.
14	<del>ePKP</del>	10 53 43	Traces. Région des îles Fidji 15°S, 177°W; H = 20 33 59 (USCGS), D <sub>c</sub> = 143,7°; Az = 20°.
	<del>e</del>	53 51	



Date	Phase	h m s	Remarques
15	eiP	06 29 22,0	Changement des feuilles. Célèbes $1\frac{1}{2}^{\circ}\text{N}$ , $120^{\circ}\frac{1}{2}\text{E}$ ; H = = 06 15 22 (USCGS et BCIS). Magnitude: $7\frac{1}{4}$ Matsushiro, $6\frac{1}{2}$ Pasadena, Moskva, MLH = 6,9 Prùhonice. $D_c = 100,0^{\circ}$ ; Az = $77^{\circ}$ . ei 06 31 27,5, ei 32 31, ei 40 01,5, e 41 14. QmH: 45 s, 2,4 $\mu$ ; RmH: 25 s, 30 $\mu$ .
	eiPP	33 29,5	
	eiPS	42 28,0	
	Q	07 02	
	Qm	05	
15	Rm	15,5	
	ei	07 26 49,5	ei 07 27 03.
15	iP	07 52 26,5	C. Iles Kouriles $44^{\circ}\text{N}$ , $148^{\circ}\text{E}$ ; H = 07 40 20 (USCGS et BCIS). $D_c = 77,9^{\circ}$ ; Az = $32^{\circ}$ . ei 53 22,5.
	ei	52 35,5	
15	eiP	20 45 50,5	Iles Aléoutiennes $51^{\circ}\frac{1}{4}\text{N}$ , $169^{\circ}\frac{3}{4}\text{W}$ ; H = 20 33 40 (BCIS). $D_c = 78,0^{\circ}$ ; Az = $3^{\circ}$ .
	e	46 03	
16	ePg	01 10 37	Alpes de Vénétie $46^{\circ}\frac{1}{2}\text{N}$ , $12^{\circ}\frac{3}{4}\text{E}$ ; H = 01 09 28 (BCIS). D = $3,7^{\circ}$ ; $D_c = 4,2^{\circ}$ ; Az = $197^{\circ}$ . e 01 11 04,5.
	eiSn	11 11,0	
	eiSg	11 25	
16	iPn	11 59 51,7	D = 120 km. Enregistré par le séismographe vertical à courte période (T = 0,2 sec). i 11 59 55,2, iX <sub>1</sub> 12 00 01,9, Lm 00 10.
	iPg	59 53,2	
	iSb	12 00 04,9	
16	ePg	14 28 12,5	Explosion 6 tonnes $49^{\circ}08,7'\text{N}$ , $13^{\circ}45,2'\text{E}$ . $D_c = 110$ km (Prùhonice). e 14 28 13,7, Lm 28 32.
	eiSg	28 26,2	
	eiL	28 28,7	
16	e	15 00 02	Faible. ei 15 00 05, i 00 09,5.
	ei	02 44 55	Traces.
17	eiPg	10 14 31,8	Faible. Explosion de 8,8 t à Eschenlohe, Allemagne $47^{\circ}37,93'\text{N}$ , $11^{\circ}08,94'\text{E}$ ; H = 10 13 31 (Stuttgart). H = = 10 13 30 (BCIS). D = $3,3^{\circ}$ ; $D_c = 3,3^{\circ}$ ; Az = $221^{\circ}$ .
	eSb	15 08	
	eiSg	15 16,5	
17	ei	10 19 43,0	Traces. Explosion de 5,6 t à Eschenlohe.
	ei	10 55 50	Traces. Kashmir-Chine $34^{\circ}\text{N}$ , $79^{\circ}\text{E}$ ; H = 10 46 49 (Peking). $D_c = 49,0^{\circ}$ ; Az = $83^{\circ}$ .
17	iPg	14 57 33,5	C. Explosion 8,1 tonnes $50^{\circ}08,9'\text{N}$ , $14^{\circ}22,7'\text{E}$ . $D_c = 20$ km. Enregistré par le séismographe vertical à courte période (T = 0,2 sec).
	i	57 35,6	
	iSg	57 36,0	
	iX <sub>4</sub>	57 39,5	

Date	Phase	h m s	Remarques
17	ei	23 36 08,8	ei 23 36 15,6.
18	ei(PKP)	09 44 24,0	D. Pacifique Sud. Données insuffisantes (BCIS).
	ei	44 28,5	
18	iP	17 18 00,7	C. Kamtchatka $50^{\circ}\frac{1}{2}\text{N}$ , $156^{\circ}\text{E}$ ; H = 17 06 13 (USCGS). $D_c = 74,2^{\circ}$ ; Az = $24^{\circ}$ .
	ei	18 25	
19	iPKP	02 32 53,0	D. Sud des îles Fidji $25^{\circ}\frac{1}{2}\text{S}$ , $177^{\circ}\frac{1}{2}\text{W}$ ; H = 02 12 55 (USCGS). $D_c = 153,8^{\circ}$ ; Az = $25^{\circ}$ . e 33 28.
	i	33 06,5	
19	iP	02 58 50,0	C. Iles Kouriles $44^{\circ}\frac{1}{2}\text{N}$ , $148^{\circ}\text{E}$ ; H = 02 46 49 (USCGS et BCIS). $D_c = 77,3^{\circ}$ ; Az = $32^{\circ}$ .
	ei	59 06,5	
	eiPP	03 01 40	
19	eiPKP	04 54 53	Traces. Région îles Fidji $22^{\circ}\text{S}$ , $176^{\circ}\frac{1}{2}\text{W}$ ; H = 04 34 59 (USCGS). $D_c = 150^{\circ}$ ; Az = $22^{\circ}$ .
19	eiPKP <sub>1</sub>	08 47 17,0	Iles Kermadec $27^{\circ}\frac{1}{2}\text{S}$ , $177^{\circ}\text{W}$ ; H = 08 27 21 (USCGS et BCIS). Magnitude: $6\frac{1}{4}$ Pasadena, Berkeley, MLH = 6,2 Prùhonice, 6 Strasbourg. D = $156^{\circ}$ ca; $D_c = 155,7^{\circ}$ ; Az = $24^{\circ}$ . e 08 59 25, Lm 10 10,5. LmH: 23 s, 1,8 $\mu$ ; LmV: 23 s, 1,3 $\mu$ ; LmH: 18 s, 1,8 $\mu$ ; LmV: 18 s, 1,3 $\mu$ .
	eiPKP <sub>2</sub>	47 49	
	eiPP	51 22	
	e(SKSP)	09 02 06	
	eL	48	
19	Lm	53	
	eiPKP	09 35 49	Traces. Région des îles Kermadec. $28^{\circ}\text{S}$ , $176^{\circ}\frac{1}{2}\text{W}$ ; H = = 09 15 20 (USCGS). $D_c = 156,3^{\circ}$ ; Az = $25^{\circ}$ .
19	ei	35 59	
	iPKP	14 11 28,3	D. Région des îles Fidji $22^{\circ}\text{S}$ , $179^{\circ}\frac{1}{2}\text{W}$ ; H = 13 52 40, h = 600 km ca (USCGS). Magnitude: $6\frac{1}{2}$ – $6\frac{3}{4}$ Pasadena. $D_c = 154,2^{\circ}$ ; Az = $24^{\circ}$ .
19	i	11 37,0	Région des îles Sandwich $54^{\circ}\frac{1}{2}\text{S}$ , $29^{\circ}\text{W}$ ; H = 15 55 30 (USCGS et BCIS). Magnitude: 6,4 Uppsala, Kiruna, MLH = = 6,5 Prùhonice, $6\frac{1}{4}$ Praha, Matsushiro. $D_c = 110,5^{\circ}$ ; Az = $205^{\circ}$ . e 16 17 00, ei 20 49, Rm 54. QmN: 40 s, 5,5 $\mu$ ; RmH: 23 s, 711 $\mu$ ; RmV: 23 s, 10 $\mu$ .
	eipPKP	13 49,0	
	e	16 13 37	
	eiPP	14 33	
	eiPS	24 08	
19	eiSS	29 53	
	eiSSS	33 32	
19	i(P)	16 25 09,8	C. ei 16 25 19,5.
20	e	08 46 42	Traces.
20	ei	13 01 49,0	ei 13 01 54,7.
20	ei	13 45 01,5	ei 13 45 09.



Date	Phase	h m s	Remarques
20	iPKP ei	21 41 01,8 41 08	D. Région îles Fidji 19°S, 178°W; H = 21 21 24 (BCIS). $D_c = 147,6^\circ$ ; Az = 22°.
23	iPg iX <sub>1</sub> iSg iX <sub>2</sub> Lm	08 00 31,4 00 38,2 00 40,2 00 45,1 00 47	Explosion 7,8 tonnes 49°35,7'N, 13°40,2'E; $D_c = 71$ km (Prùhonice). Enregistré par le séismographe vertical à courte période (T = 0,2 sec). i 08 00 33,4, i 00 35,4.
23	ei(Sn) ei eiSg	10 48 56 49 15 49 32	Faible. Italie 43,8°N, 13,0°E; H = 10 46 02 (BCIS). $D_c = 6,3^\circ$ ; Az = 186°.
23	eiP	13 29 46,0	Traces. Nord de la Sicile 38°1/4'N, 13,0°E; H = 13 26 56 (BCIS). $D_c = 11,7^\circ$ ; Az = 186°.
23	eiP	17 01 30	Traces. E de l'Iran 33°1/2'N, 59°E; H = 16 54 23 (USCGS). $D_c = 36,5^\circ$ ; Az = 99°.
24	eiPg eiSg L	06 59 55,4 07 00 07,1 00 11	Explosion 6,9 tonnes 49°43,3'N, 13°27,9'E; $D_c = 90$ km (Prùhonice). Lm 00 16.
24	iPg i iSg	08 46 44,5 46 45,0 46 47,6	Explosion 10 tonnes 50°10,5'N, 14°23,8'E; $D_c = 25$ km (Prùhonice). Enregistré par le séismographe vertical à courte période (T = 0,2 sec). i 46 51,0.
24	iP iPP eS eSS L Lm	23 48 02,6 49 32,9 54,0 56 42 00 00 04,5	C. Kirghizie, URSS 41,8°N, 69,8°E; H = 23 40 37 (USCGS et BCIS). Magnitude: 5 <sup>1/2</sup> Moskva, 5 <sup>3/4</sup> Strasbourg. D = 39°; $D_c = 38,5^\circ$ ; Az = 79°. i 23 48 07,6, i 48 28,5, Lm 00 05,7. LmN: 17 s, 7 μ. LmH: 13 s, 6 μ; LmV: 10 s, 4,2 μ.
25	eiP ei eS Lg Rm	06 57 18,5 58 12,5 07 02 14 06 08	Crête médiane de l'Atlantique 45,0°N, 28,5°W; H = 06 51 18 (BCIS). Magnitude: 5 <sup>1/2</sup> Kew, 5 <sup>3/4</sup> Prùhonice. D = 29° ca; $D_c = 29^\circ$ ca; Az = 278°. ei 06 57 23. RmH: 16 s, 2,5 μ; RmV: 16 s, 2,8 μ.
25	eiP ei eS	16 02 48,5 03 26,7 06 54	E de la Turquie 39,4°N, 41,6°E; H = 15 57 52 (BCIS). Magnitude: 6,2 Uppsala, Kiruna, 5 Moskva. D = 23°; $D_c = 22,4^\circ$ ; Az = 108°. e 07 41, Lm 13.

Date	Phase	h m s	Remarques
26	iP eiPP eiPS eiPS eL Lm Lm	07 47 28,4 50 40 57 44 58 33 08 13,5 20,7 28	C. Japon 37°1/2'N, 142°1/2'E; H = 07 35 12, h = 60 km ca (USCGS et BCIS). Magnitude: 6,9 Praha, 6 <sup>3/4</sup> Moskva, MLH = 6,8 Prùhonice, 6 <sup>1/2</sup> Pasadena. D = 83°; $D_c = 81,4^\circ$ ; Az = 39°. i 07 47 36,5, ei 48 49,5, ei 49 19,8, Lm 08 30. SH: 11 s, 4 μ; LmH: 19 s, 19 μ; LmH: 14 s, 17 μ; LmV: 13 s, 14 μ.
26	iP ei eisP eiPP	10 40 31,4 40 42 41 21 43 42	C. Kamtchatka 51°1/2'N, 157°1/2'E; H = 10 29 09, h = 150 km ca (USCGS). Magnitude 6 <sup>1/2</sup> -6 <sup>3/4</sup> Matsushiro. $D_c = 74,0^\circ$ ; Az = 23°.
27	iP isP eiS eiPS eiPPS eiSS eiSSS Lm	07 04 40,6 05 21,5 14 23,5 15 12 15 22,5 19 41,5 23 22 37	C. Îles Kouriles 45°1/2'N, 151°E; H = 06 52 50, h = 100 km ca (USCGS et BCIS). Magnitude: MLH = 7,4, MPV = 6,6 Prùhonice, 6 <sup>3/4</sup> Strasbourg, 6 <sup>1/2</sup> Pasadena. D = 79°; $D_c = 77,8^\circ$ ; Az = 30°. ei 07 05 54,5, ePPP 09 30, eL 33, Lm 42,5. PV: 10 s, 3 μ; LmH: 21 s, 38 μ; LmH: 19 s, 66 μ; LmV: 18 s, 70 μ.
27	iP eiPcP	13 30 50,0 30 58,5	D. Îles Kouriles 46°N, 151°E; H = 13 18 51 (USCGS). $D_c = 76,8^\circ$ ; Az = 30°.
29	eiP ei	10 47 18,8 48 19	C. D. Îles Kouriles 46°N, 151°E; H = 10 35 20 (USCGS). $D_c = 76,8^\circ$ ; Az = 30°.
29	ei	12 56 26,7	Traces. Probablement explosion près de la côte des Etats baltes. H = 12 50 56 (Uppsala).
29	eiPKP <sub>1</sub> iPKP <sub>2</sub> eL Lm	14 39 48,5 40 19,9 15 39 56,1	Îles Kermadec 29°1/2'S, 176°1/2'W; H = 14 19 51, h = 60 km ca (USCGS). Magnitude: 6 <sup>1/4</sup> Matsushiro. $D_c = 158,1^\circ$ ; Az = 27°. LmN: 20 s, 1,5 μ.
29	iP ipP eiPP	14 40 57,3 42 52,4 43 46	Frontière Chine-Corée 43°N, 131°E; H = 14 30 24, h = 550 km ca (USCGS). Magnitude: 6 <sup>3/4</sup> Matsushiro, Pasadena, Strasbourg. D = 73°; $D_c = 72,9^\circ$ ; Az = 43°.
30	iP eiPP eiPPP	04 10 10,5 11 12,5 12 16	C. Yakoutsk, URSS 66°N, 136°1/2'E; H = 04 00 26 (USCGS et BCIS). $D_c = 56,0^\circ$ ; Az = 24°. i 04 10 15,9.



Date	Phase	h m s	Remarques
30	iPn	12 59 18,5	Explosion 3,7 tonnes 50°14,8'N, 16°13,6'E; $D_c = 124$ km (Prùhonice). i 12 59 23,1. Enregistré par le sismographe vertical à courte période ( $T = 0,2$ s).
	iSn	59 33,5	
	iSg	59 35,0	
30	eiPKP	14 18 26,5	Région des îles Tonga 23°1/2'S, 175°1/2'W; H = 13 58 25 (USCGS). Magnitude: 5 <sup>3/4</sup> -6 Matsushiro, MLH = 6,1 Prùhonice. $D_c = 152,2^\circ$ ; Az = 21°. LmH: 19 s, 1,4 $\mu$ ; LmV: 19 s, 1,6 $\mu$ .
	ei	18 37	
	eiPP	22 11	
	eL	15 25	
	Lm	35	
30	iPKP	21 56 20,5	D. îles Fidji 19°S, 177°1/2'W; H = 21 37 35, h = 600 km ca (USCGS). $D_c = 147,7^\circ$ ; Az = 22°.
	ei	56 25,2	
	eipPKP	58 32,5	
31	eiPKP	04 46 01,9	D/C. îles Fidji 16°1/2'S, 178°W; H = 04 27 12, h = 450 km ca (USCGS). $D_c = 144,9^\circ$ ; Az = 22°.
	eipPKP	47 45	
	e	49 16	
31	ei	04 57 00,7	Traces.
31	iPg	07 59 43,0	Explosion 4 tonnes 49°57,3'N, 14°13,0'E. $D_c = 27$ km (Prùhonice). Enregistré par le sismographe vertical à courte période ( $T = 0,2$ sec). ei 59 46,2.
	i	59 44,2	
	iSg	59 47,2	
	Lm	59 50	
	ei	14 20 30,5	
31	ei	14 20 30,5	Traces.

## Novembre 1959

Date	Phase	h m s	Remarques
2	e	08 57 36	Région des îles Mariannes 22°1/2'N, 144°1/2'E; H = 08 43 54 (USCGS et BCIS). Magnitude: 5 <sup>3/4</sup> -6 Matsushiro, MLH = 5,6 Prùhonice. $D_c = 95,4^\circ$ ; Az = 45°. e 08 57 49; LMH: 22 s, 2,3 $\mu$ .
	ePP	09 01 15	
	e	01 32	
	eL	30	
	Lm	41,5	
2	eiP	12 10 33,0	Frontière Kirghizie-Chine 40°1/2'N, 73°1/2'E; H = 12 02 45, h = 100 km (BCIS). $D_c = 41,5^\circ$ ; Az = 78°.
	ei	10 39,5	
	eiPP	12 10,0	

Date	Phase	h m s	Remarques
2	eiP	13 26 25,0	Frontière Pakistan-Birmanie 21°1/2'N, 92°1/2'E; H = 13 15 40, h = 100 km ca (USCGS). Magnitude: 5 <sup>3/4</sup> -6 Matsushiro. $D_c = 66,2^\circ$ ; Az = 85°.
	ei	26 34	
	eisP	27 07,5	
	Lm	54	
2	eiPKP	20 22 25,6	D. Nouvelle Bretagne 5°1/2'S, 151°1/2'E; H = 20 03 32 (USCGS). Magnitude: 6 <sup>3/4</sup> Pasadena, 6,3 Uppsala, Kiruna, 6,1 Prùhonice. D = 124° ca; $D_c = 122,7^\circ$ ; Az = 54°. ei 20 22 37,5; ei 23 30,5, ei 36 24. LMH: 23 s, 5,4 $\mu$ ; LmV: 23 s, 7 $\mu$ .
	eiPP	24 04	
	ePS	34,1	
	eSS	40,2	
	eL	21 06	
	Lm	15	
2	eiPKP	22 13 04,6	C. Région des îles Tonga 23°1/2'S, 175°1/2'W; H = 21 53 05 (USCGS). Magnitude: 5 <sup>1/2</sup> -5 <sup>3/4</sup> Matsushiro. $D_c = 152,2^\circ$ ; Az = 21°.
	ei	13 16	
	e	14 48	
3	eiPKP	09 25 00,5	Région des îles Tonga. Réplique. H = 09 04 58 (USCGS).
	ei	25 20	
3	eiP	09 54 03,5	D. Sud de Java 10°1/2'S, 111°E; H = 09 40 05 (USCGS et BCIS). Magnitude: 6,4 Uppsala, Kiruna, 5 <sup>3/4</sup> Praha, 5,6 Prùhonice. D = 105°; $D_c = 102,2^\circ$ ; Az = 86°. e 09 56 38, ei 57 21,7. LmH: 19 s, 2,1 $\mu$ .
	iPP	58 13,5	
	eSKS	10 04 36	
	eSS	12 08	
	Lm	45	
3	i	13 00 43,7	
3	i	13 57 35,1	
4	ei	09 58 04,0	ei 09 58 09,5.
4	iPg	12 46 38,7	D. Explosion 1,5 tonnes 49°57,3'N, 14°23,4'E; $D_c = 12$ km (Prùhonice).
	iSg	46 40,2	
	Lm	46 41	
4	ei	15 15 13,7	ei 15 15 14,7, ei 15 25.
4	eiPKP	17 33 45,7	Traces. Région îles Tonga 20°1/4'S, 175°W; H = 17 13 52 (BCIS). $D_c = 149,2^\circ$ ; Az = 19°.
	ei	33 59,3	
4	ei	18 04 55,5	Traces. ei 18 05 03,5.
4	eiPKP	19 27 12,2	D. îles Loyauté 20°S, 169°1/2'E. H = 19 07 36 (USCGS). $D_c = 142,9^\circ$ ; Az = 42°.
	e	27 22	



Date	Phase	h m s	Remarques
4	<del>eiPKP</del> <del>ei</del>	22 13 36,2 13 47,3	Région îles Tonga $23^{01}/_2S$ , $175^{01}/_2W$ ; H = 21 53 38 (USCGS). $D_c = 152,3^\circ$ ; Az = $20^\circ$ .
5	<del>ei</del>	10 06 48,5	Traces. ei 10 06 56.
5	<del>ePKP</del> <del>eiPP</del> <del>ei</del> <del>eL</del> <del>Lm</del>	12 09 49 12 30 13 22,5 56 13 09	Région Nouvelles Hébrides $13^\circ S$ , $166^{01}/_2E$ ; H = 11 50 17, h = 100 km ca (USCGS et BCIS). Magnitude: 5,7 Wellington, $5^{3}/_4-6$ Matsushiro, MLH = $5^{3}/_4$ Prùhonice. $D_c = 136,6^\circ$ ; Az = $42^\circ$ . LmH: 23 s, 1,7 $\mu$ ; LmV: 20 s, 1,4 $\mu$ . Lm 15,5.
5	<del>iP</del> <del>eipP</del> <del>esP</del>	15 11 29,5 12 32 12 55	D. h = 250 km. Région îles Riou-Kiou $30^\circ N$ , $129^\circ E$ ; H = = 14 59 37, h = 250 km ca (USCGS et BCIS). Magnitude: $5^{3}/_4-6$ Matsushiro. $D_c = 81,4^\circ$ ; Az = $53^\circ$ .
5	<del>ePKP</del> <del>e</del>	17 57 22 57 53	Traces. Iles Salomon $9^\circ S$ , $157^{01}/_2E$ ; H = 17 38 08 (USCGS). Magnitude: 6,2 Wellington. $D_c = 128,8^\circ$ ; Az = $50^\circ$ .
6	<del>ei(P)</del> <del>e</del>	02 00 28,5 00 48	Faible.
6	<del>Lm</del>	02 19,3	Réplique. H = 01 07 31 (BCIS). LmN: 15 s, 0,4 $\mu$ ; LmV: 15 s, 1,1 $\mu$ .
6	<del>eiPn</del> <del>eiPg</del> <del>iSn</del> <del>eiSg</del>	07 39 32,8 40 25 41 22,8 42 18	Yougoslavie $41^{03}/_4N$ , $21^{01}/_4E$ ; H = 07 37 08 (BCIS). D = $92^\circ$ ; $D_c = 9,6^\circ$ ; Az = $147^\circ$ . MLH = 4,6 Prùhonice. ei 07 39 45,1, ei 42 27, Lm 43 17. LmH: 9 s, 3,3 $\mu$ ; LmV: 9 s, 3,5 $\mu$ .
6	<del>e</del>	08 38 27	ei(Sg) 08 38 36,7, ei 38 43,0.
6	<del>eiPn</del> <del>eiSg</del> <del>eL</del>	10 00 25,3 00 45,0 00 55	Explosion 5,7 tonnes $50,3^\circ N$ , $16^\circ 37,9'E$ ; $D_c = 148$ km (Prùhonice). Lm 10 00 56.
6	<del>eiPKP<sub>1</sub></del> <del>i</del> <del>iPKP<sub>2</sub></del> <del>eiPP</del>	12 03 01,5 03 08,5 03 20,0 06 49,0	Région des îles Tonga $24^\circ S$ , $174^{01}/_2W$ ; H = 11 13 06 (USCGS). Magnitude: $5^{1}/_2$ Matsushiro. $D_c = 152,7^\circ$ ; Az = $19^\circ$ .
6	<del>eiSg</del> <del>Lm</del>	14 05 38,6 05 40,4	Explosion 1500 kg d'explosifs. $50^\circ 03'N$ , $14^\circ 24,7'E$ ; $D_c =$ = 13 km (Prùhonice).
6	<del>ei</del>	23 45 54,0	Traces. Turquie orientale, vers $41^\circ N$ , $39^\circ E$ . Données peu con- cordantes (BCIS). $D_c = 19,2^\circ$ ; Az = $108^\circ$ .

Date	Phase	h m s	Remarques
7	<del>eiP</del> <del>ei</del> <del>Q</del> <del>Qm</del> <del>Rm</del>	02 35 55 37 31,0 40 03 41 42,3	S manquent. Algérie $36,1^\circ N$ , $2,5^\circ E$ ; H = 02 32 08 (Alger et BCIS). Magnitude: $5^{1}/_2-5^{3}/_4$ Matsushiro, MLH = $4^{3}/_4-5$ Prùhonice. $D_c = 16,7^\circ$ ; Az = $215^\circ$ . ei 02 36 14,5, ei 36 46. QmH: 19 s, 2,3 $\mu$ ; RmH: 14 s, 3,5 $\mu$ . RmV: 13 s, 1,4 $\mu$ .
7	<del>eiPn</del> <del>eiPg</del> <del>eiSn</del> <del>eiSg</del>	04 02 38,3 02 56,5 03 33 03 57,2	Région des Alpes vénétiennes. Données insuffisantes; pas de renseignements macroséismiques (BCIS). D = $4,3^\circ$ ca. ei 04 03 43,7, Lm 04 16.
7	<del>ei</del>	10 58 31,2	Traces.
7	<del>ei</del>	11 32 01,5	Traces. i 11 32 03,5.
7	<del>ePKP</del> <del>ei</del> <del>ei</del> <del>eL</del>	22 36 10 36 17,0 38 21,5 23 40	Région des îles Tonga $23^{01}/_2S$ , $175^{01}/_2W$ ; H = 22 16 15 (USCGS). Magnitude: $6^{1}/_4$ Pasadena, 6 Matsushiro, MLH = = 5,7 Prùhonice. $D_c = 152,3^\circ$ ; Az = $20^\circ$ . LmH: 20 s, 1,3 $\mu$ ; LmV: 20 s, 2,2 $\mu$ ; Lm 52,5.
8	<del>iP</del> <del>eiPcP</del> <del>eiS</del> <del>eiPPS</del> <del>eiSSS</del> <del>Q</del> <del>Qm</del>	14 06 43,1 06 58 16 24 17 15 25 05 33 37	C. Japon $44^\circ N$ , $140^{01}/_2E$ ; H = 13 54 55 (USCGS). Magnitude: $6^{3}/_4$ Praha, Strasbourg, $6^{1}/_2$ Pasadena, Moskva, MLH = 6,6 Prùhonice. D = $76^\circ$ ; $D_c = 75,1^\circ$ ; Az = $37^\circ$ . ei 14 07 28; Rm 40,6; Rm 43. QmH: 20 s, 11,3 $\mu$ ; RmH: 12 s, 19 $\mu$ ; RmV: 13 s, 17 $\mu$ .
10	<del>iP</del>	13 00 50,5	C. ei 13 00 54, ei 03 50.
10	<del>eiP</del> <del>ei</del> <del>ei</del> <del>eL</del> <del>Lm</del>	21 05 38,8 05 46,5 06 19 24 27	D. Chine. Nord du Tibet $36^\circ N$ , $89^\circ E$ ; H = 20 56 12 (USCGS et BCIS). Magnitude: 6,1 Uppsala, Kiruna, MLH = 5,6 Prùhonice. $D_c = 54,1^\circ$ ; Az = $74^\circ$ . Lm 17 s, 4,1 $\mu$ .
11	<del>ei</del>	12 45 06,5	Traces.
12	<del>iPg</del> <del>i</del> <del>iSg</del> <del>Lm</del>	11 00 06,5 00 07,1 00 10,2 00 15	Explosion 6,3 tonnes $49^\circ 56,6'N$ , $14^\circ 58,3'E$ . $D_c = 30,5$ km (Prùhonice). Enregistré par le séismographe vertical à courte période.



Date	Phase	h m s	Remarques
12	eiPg ei eiSg Lm	11 30 33,4 30 40,3 30 41,4 30 47	Explosion 6,9 tonnes 49°25,8'N, 14°50'E; $D_c = 66$ km (Prùhonice). Enregistré par le séismographe vertical à courte période. i 11 30 33,9, i 30 37,3.
12	ei	12 59 57	ei 13 00 03,3.
12	eiPg eiSg Lm	15 01 13,4 01 14,9 01 18	Explosion 1,7 tonnes 49°59,5'N, 14°21'E; $D_c = 13,5$ km (Prùhonice).
13	iPKP ei	10 25 06,0 25 15,1	C. Sud des îles Fidji 23°S, 179°E; H = 10 06 14, h = 600 ca (USCGS). $D_c = 150,3^\circ$ ; Az = 31°.
14	e	19 28 24	Traces. ei 19 28 32,5.
15	e	04 11 53	Traces. Mer Egée 26°3/4N, 26°E; H = 04 07 47 (BCIS). $D_c = 15,9^\circ$ ; Az = 143°.
15	iP iPP eiS iSS L Lm	10 33 18,5 35 11,5 39 52 43 09,5 47 54	C. Chaîne de Kachgar, 38°N, 74°1/2E; H = 10 25 03 (USCGS) Magnitude: 6,5 Uppsala, Kiruna, 5°3/4 Moskva, MLH = 5,6 Prùhonice. D = 45°, $D_c = 43,7^\circ$ ; Az = 81°. ei 10 33 54,5, ei 34 46,7. LmH: 17 s, 6,2 $\mu$ ; LmV: 18 s, 7 $\mu$ .
15	iP i iES iZ Lm	17 11 47,3 12 57,5 14 01,5 14 44,5 16,5	C. N. W. Mer Ionienne 37,8°N, 20,5°E; H = 17 08 41 (BCIS). Magnitude: 7 Praha, 6°1/2-6°3/4 Pasadena. D = 12,1°; $D_c = 13,0^\circ$ ; Az = 160°. ei 17 12 03,5.
15	eiP ei	17 34 32,2 34 46	Réplique. H = 17 31 25 (USCGS et BCIS). Magnitude: 5°1/4-5°1/2 Athènes. ei 35 28,9.
15	iP ei	19 20 22,0 20 31,5	C. Au large S de l'île de Crète, vers 34°1/2N, 25°E; H = 19 16,3 (BCIS). $D_c = 17,4^\circ$ ; Az = 149°.
15	e	19 43 08	Traces.
15	e ei	21 00 31 03 15,5	Réplique Mer Ionienne; H = 20 56 54 (BCIS).

Date	Phase	h m s	Remarques
16	iP eiPP ePPP eiS eL Lm	10 31 27,2 33 38 35 23 39 42 48 56,6	D. Crête médiane de l'Atlantique 1°N, 26°1/2W; H = 10 21 17 (BCIS). Magnitude: 6°1/4-6°1/2 Pasadena, 5°3/4 Praha, MLH = 5°1/4-5°1/2 Prùhonice. D = 61°; $D_c = 59,9^\circ$ ; Az = 220°. i 10 31 34,4, ei 41 26. LmH: 16 s, 1,9 $\mu$ ; LmV: 16 s, 1,9 $\mu$ .
16	ei	11 09 34	Traces. ei 11 09 46.
17	eiP eiPcP	02 44 25,8 44 43,5	Océan Indien 11°S; 66°1/2E. H = 02 32 37 (USCGS). Magnitude: 5°3/4-6 Matsushiro. $D_c = 75,5^\circ$ ; Az = 128°.
17	ei	12 19 45,5	Traces.
17	e eiPKP <sub>2</sub>	23 31 54 32 09	Nouvelle Zélande 34°S, 178°W; H = 23 11 20. Magnitude: 5,4 (Wellington). $D_c = 161,4^\circ$ ; Az = 35°.
18	eiP ei	00 05 18,5 05 34,5	Chine 30°1/2N, 94°E; H = 23 55 01 (USCGS et BCIS). Magnitude: 4°3/4 Peking. $D_c = 60,8^\circ$ ; Az = 76°.
18	ei	11 30 05,8	ei 11 30 19,5.
19	eiPKP ei	05 46 04,5 48 18	Faible. Région des îles Tonga 24°1/2S, 177°W; H = 05 25 53 (USCGS). Magnitude: 5°1/2 Matsushiro. $D_c = 153,2^\circ$ ; Az = 23°.
19	iPKP ei iPP eiPS eiSS Q Qm	11 27 25,5 28 05 28 58 38 52 45 24 12 01 04	C. Disturbé par le suivant. Nouvelle Guinée 5°1/2S, 146°E; H = 11 08 41; h = 100 km ca (USCGS). Magnitude: 7°1/4-7°1/2 Matsushiro, 7 Pasadena, 6°3/4-7 Praha, MLH = 6,8 Prùhonice. D = 120° ca; $D_c = 119,9^\circ$ ; Az = 60°. ei 11 29 28,8, ei 36 43, e 37 18, ei 39 26. QmN: 50 s, RmH: 29 s, 16 $\mu$ ; RmV: 21 s, 9 $\mu$ .
19	eiP	11 37 35,1	Dans le précédent. i 11 41 15,5. ei 38 13,7.
19	iP Q Qm Rm Rm	14 03 49,0 07,8 08,7 10,5 10,9	C. S. manquent. Côte W de la Turquie 38,8°N; 26,5°E; H = 14 00 26 (BCIS). Magnitude: 5°1/2 Athènes, 5°1/4 Praha, MLH = 4,8 Prùhonice. $D_c = 14,3^\circ$ ; Az = 137° i 14 03 59,8. QmN: 19 s, 1,8 $\mu$ ; RmH: 13 s, 4,7 $\mu$ ; RmV: 10 s, 3,6 $\mu$ .
20	iPg i iSg Lm	07 29 53,5 29 55,0 30 06,6 30 14	Explosion 7,3 tonnes 49°24,9'N, 15°40,5'E (Prùhonice). $D_c = 105$ km. Enregistré par le séismographe vertical à courte période. i 07 29 54,2, i 29 57,3.



Date	Phase	h m s	Remarques
21	i(Pn) i(Pg) iSn iSg Lm	10 00 20,6 00 22,0 00 40,6 00 43,8 01 00	Explosion de 25 tonnes 49°18,5'N, 17°02'E (Prùhonice). $D_c = 192$ km. Enregistré par le séismographe vertical à courte période. i 10 00 25,6, i 00 35,2, i 00 37,2.
22	e(Sn) ei	13 57 10,5 57 32,0	Faible. Apennin étrusque 43,8°N, 11,9°E; H = 13 54,3 (BCIS). $D_c = 6,3^\circ$ ; Az = 196°. ei 58 11,5.
22	eiPKP	15 56 15	Traces. Région îles Fidji 18°1/2S, 174°E; H = 15 36 28 (BCIS). $D_c = 144,4^\circ$ ; Az = 36°.
22	ei ei Lm	16 47 30,5 51 11 17 55	Sud de l'Océan Pacifique 54°S, 136°W; H = 16 26 34 Magnitude: 6 1/4 Matsushiro, 6 Wellington, 5,8 Prùhonice. $D_c = 161,6^\circ$ ; Az = 64°. LmH: 21 s, 1,4 $\mu$ .
22	iPKP <sub>1</sub> iPKP <sub>2</sub> eipPKP eisPKP eiPP	19 53 23,7 53 36,3 55 32,0 56 29 57 06	C. h = 550 km. Région des îles Fidji 21°1/2S, 178°1/2W; H = 19 34 35, h = 550 km ca (USCGS). Magnitude: 6 1/4 Peking, 6 Wellington. $D_c = 150,0^\circ$ ; Az = 26°. i! 19 53 28,7, ei 54 13, ei 55 43,3, ei 57 43,5.
22	eiPKP ei	23 02 35,5 02 51,5	Région des îles Fidji 19°1/2S; 175°E; H = 22 42 49. $D_c = 145,7^\circ$ ; Az = 36°.
23	iPg iSg i Lm	13 28 15,5 28 17,2 28 18,5 28 20	Explosion 1 tonne 49°59,5'N, 14°21'E; $D_c = 13,5$ km (Prùhonice). Enregistré par le séismographe vertical à courte période.
23	eiPKP ei	16 34 31,2 35 07,5	D. Région des îles Fidji 20°S, 174°1/2E; H = 16 14 47 (USCGS). Magnitude: 5 1/2 - 5 3/4 Matsushiro, 5,5 Wellington. $D_c = 146,0^\circ$ ; Az = 36°.
23	ei	18 25 47,5	Traces.
24	eiPKP	14 23 07	D. Région des îles Fidji 19°S, 178°1/2W; H = 14 04 17, h = 500 km ca (USCGS). $D_c = 147,5^\circ$ ; Az = 24°.
24	eiP ei	15 10 00,6 10 11,5	Philippines 17°1/2N, 120°E; H = 14 57 15 (USCGS). $D_c = 86,4^\circ$ ; Az = 67°. ei 15 10 31.

← NO SIGNIFICANCE

Date	Phase	h m s	Remarques
24	eiP eL Lm Lm	20 16 28,5 33 35 40	Crête médiane de l'Atlantique 7°N, 36°1/2W; H = 20 06 33 (BCIS). Magnitude: 5 3/4 Kew. $D_c = 60,2^\circ$ ; Az = 244°. ei 20 16 51,5, ei 17 07,3. LmH: 18 s, 0,8 $\mu$ .
24	iPKP ei	21 59 24,4 59 30,0	C. Région des îles Tonga, vers 22°S, 175°W; H = 21 39,5, h = 100 km ca (BCIS). $D_c = 150,7^\circ$ ; Az = 19°.
25	e eiPg eiSg	10 17 38 17 46,5 18 42	Faible. Yougoslavie 45°7N, 14,7°E; H = 10 16 20 (BCIS). D = 44°; $D_c = 4,3^\circ$ ; Az = 176°. ei(Sn) 10 18 10, ei 18 27,5.
25	e	22 39 20	Traces. ei 22 39 32,2.
26	i(P)	01 09 09,0	C. Traces.
26	iP eiPP eiS eL Lm	07 19 35,1 23 18 30 40 52 08 04	C. Sumatra 5°1/2S, 102°1/2E; H = 07 06 19 (USCGS). Magnitude: 6 1/2 Pasadena, 6 1/4 Praha, Moskva. D = 94°; $D_c = 92,6^\circ$ ; Az = 95°. ei 07 19 49, ei 31 17, ei 33 00. SN: 26 s, 5,3 $\mu$ ; LmN: 22 s, 5 $\mu$ ; LmV: 22 s, 2,5 $\mu$ .
26	iPKP ei	16 26 03,0 26 12	C. Îles Tonga 22°S, 174°1/2W; H = 16 06 06 (BCIS). $D_c = 150,7^\circ$ ; Az = 18°. ei 16 26 31,5.
26	eiP iPP eiS eiSS eiSSS eL	23 22 41,0 26 05,5 33 40 40 16 43 43 54	C. Sumatra 5°1/2S, 103°E; H = 23 09 23 (USCGS). Magni- tude: 6 3/4 Pasadena, 6 1/2 Strasbourg, Moskva, Praha. D = 93°; $D_c = 93,1^\circ$ ; Az = 95°. Lm 23 59,5, Lm 00 09,5. SN: 26 s, 13,5 $\mu$ ; LmN: 19 s, 7,5 $\mu$ ; LmV: 19 s, 6 $\mu$ .
26	iP ei(S)	23 25 53,5 36 38	C. D = 90° ca. ei 23 47 02.
27	iP e ei Lm	00 25 26,5 29 39 30 09 31,7	D. Disturbé par le précédent. Grèce 37,8°N, 20,1°E; H = = 00 22 24 (BCIS). Magnitude: 5 1/2 - 5 3/4 Athènes, 5 Praha. $D_c = 13,0^\circ$ ; Az = 159°. LmN: 16 s, 4,8 $\mu$ .
27	eiPKP ei i	11 01 36 01 45 03 30	Région des îles Tonga 22°S, 177°1/2W; H = 10 42 10, h = 250 km ca (USCGS). Magnitude: 5,5 Wellington. $D_c = 150,5^\circ$ ; Az = 23°.
27	ei	13 05 12,4	ei 13 06 12,1, ei 06 20,2.

← NO SIGNIFICANCE



Date	Phase	h m s	Remarques
28	<del>eiPKP</del> <del>ei</del> <del>ei</del>	03 05 29,0 05 40 06 48	C. Région des îles Fidji $19^{21}/_2$ S, $174^{21}/_2$ E; H = 02 45 45 (USCGS). Magnitude: $6-6^{1}/_4$ Strasbourg, $5^{3}/_4-6$ Matsushiro. $D_c = 145,6^\circ$ ; Az = $35^\circ$ .
28	<del>eiP</del> <del>eL</del> <del>Lm</del> <del>Lm</del>	03 33 01,0 04 00 08,5 15	D. Iles Riou-Kiou $26^\circ$ N, $128^{21}/_2$ E; H = 03 20 24 (USCGS). $D_c = 84,4^\circ$ ; Az = $55^\circ$ . ei 03 33 10. LmN: 21 s, 1,2 $\mu$ ; LmV: 13 s, 2,1 $\mu$ .
28	<del>iPg</del> <del>i</del> <del>iSg</del> <del>Lm</del>	08 00 11,9 00 16,1 00 22,5 00 25	Explosion 7,8 tonnes $50^\circ 28,1'$ N, $15^\circ 29'$ E. $D_c = 85$ km (Prùhonice). Enregistré par le séismographe vertical à courte période. i 08 00 12,9, i 00 19,9.
28	<del>i(Pg)</del> <del>i</del> <del>i(Sg)</del>	11 30 22,8 30 25,0 30 36,7	Allemagne $50^{23}/_4$ N, $13^{21}/_4$ E; H = 11 30 00. Explosion? (BCIS). $D_c = 123$ km. iL 11 30 42,0, Lm 31 03.
28	<del>eiPKP</del> <del>eiPP</del> <del>eiPS</del> <del>eL</del> <del>Lm</del>	12 53 34,5 53 49,5 13 03 23,5 31 36,6	Chili $28^{21}/_2$ S, $71^\circ$ W; H = 12 34 53 (USCGS). Magnitude: $6^{1}/_2$ Pasadena, Wellington, $5^{3}/_4$ Prùhonice. D = $110^\circ$ ca; $D_c = 108,4^\circ$ ; Az = $247^\circ$ . ei 13 03 32,5, Lm 39. LmH: 18 s, 2,5 $\mu$ ; LmV: 18 s, 2,3 $\mu$ .
28	<del>ei</del>	18 50 06,7	Traces.
28	<del>eiPKP</del> <del>eiPP</del> <del>ei</del>	22 58 38 23 01 21 01 59	Nouvelles Hébrides $13^\circ$ S, $167^{21}/_2$ E; H = 22 39 13 (USCGS). $D_c = 136,9^\circ$ ; Az = $40^\circ$ .
29	<del>ei</del> <del>eiSn</del>	00 41 45 42 12	Région côtière de la Yougoslavie, vers $45^\circ$ N, $14^{21}/_2$ E; H = 00 39,6 (BCIS). $D_c = 5,0^\circ$ ; Az = $177^\circ$ .
29	<del>eiPKP</del>	01 50 42	D. Traces. Iles Tonga $21^\circ$ S, $177^\circ$ W; H = 01 30 52 (USCGS). $D_c = 149,6^\circ$ ; Az = $22^\circ$ .
29	<del>ePKP</del> <del>ei</del>	06 06 30 06 46,0	Région des îles Kermadec $26^{21}/_2$ S, $178^\circ$ W; H = 05 46 56, h = 300 km ca (USCGS). $D_c = 151,9^\circ$ ; Az = $27^\circ$ .
29	<del>eiP</del> <del>ei</del>	15 41 46,5 42 04,8	Traces. Japon $37,3^\circ$ N, $141^\circ 85'$ E; H = 15 29 47, h = 60 km ca (JMA). $D_c = 81,2^\circ$ ; Az = $39^\circ$ .
29	<del>iP</del>	23 24 46,0	D. ei 23 24 51,5.

Date	Phase	h m s	Remarques
29	<del>iP</del> <del>ei</del> <del>ei</del>	23 53 28,1 53 35,1 54 20,4	C. Près de la côte S de la Grèce, $36^\circ$ N, $23^{23}/_4$ E; H = 23 49 42 (BCIS). Magnitude: $5^{1}/_4$ Athènes. $D_c = 15,7^\circ$ ; Az = $149^\circ$ .
30	<del>iP</del> <del>i</del> <del>e(S)</del> <del>Lg</del> <del>Lm</del>	11 21 05,2 21 16,1 27 51 35 25 40	C. Forte ag. mi. Chine $44^{21}/_2$ N, $80^{21}/_2$ E; H = 11 12 53 (USCGS). Magnitude: 6,2, Uppsala, Kiruna, $5^{1}/_2$ Moskva, MLH = 5,4 Prùhonice. $D_c = 43,7^\circ$ ; D = $46^\circ$ ca; Az = $69^\circ$ . LgH: 7 s, 6,3 $\mu$ ; LgV: 7 s, 2,8 $\mu$ ; LmH: 14 s, 3,3 $\mu$ ; LmV: 14 s, 3 $\mu$ .
30	<del>iP</del> <del>i</del>	15 29 52,4 29 57	C. Alaska $59^{21}/_2$ N, $152^\circ$ W; H = 15 18 37 (USCGS). $D_c = 70,0^\circ$ ; Az = $353^\circ$ . ei 15 31 10,5.

Date	Phase	h m s	Remarques
1	<del>iP</del> <del>eNS</del> <del>Lg</del> <del>Lm</del> <del>Lm</del>	12 41 50,3 44 16 46 04 46 45 48	D. Région Grèce $38,0^\circ$ N, $20,1^\circ$ E; H = 12 38 49 (BCIS). Magnitude: 5,9 Uppsala, Kiruna, $5^{1}/_2$ Athènes, MLH = 5,1 Prùhonice. D = $13^\circ$ ; $D_c = 12,7^\circ$ ; Az = $158^\circ$ . ei 12 42 01 8, ei 44 21, ei 44 41, ei 45 15. LmH: 9 s, 6,8 $\mu$ ; LmV: 11 s, 4,6 $\mu$ .
1	<del>iP</del> <del>ei</del>	12 55 03,3 55 09	D. Grèce $38^\circ$ N, $21^\circ$ E; H = 12 51 58 (BCIS). $D_c = 13^\circ$ ; Az = $155^\circ$ .
1	<del>eiPKP</del> <del>ei</del> <del>eL</del> <del>Lm</del>	15 20 03 20 20,2 16 17 21,5	Région des îles Balleny $63^\circ$ S, $154^\circ$ E; H = 14 59 40 (USCGS). Magnitude: $6^{1}/_4-6^{1}/_2$ Matsushiro, MLH = 6,9 Prùhonice. LmH: 25 s, 2,6 $\mu$ ; $D_c = 149,9^\circ$ ; Az = $137^\circ$ .
1	<del>ei(P)</del>	19 27 45,0	Traces.
2	<del>eP</del> <del>iPP</del> <del>e(PPS)</del> <del>eiSS</del> <del>eiSSS</del> <del>eL</del> <del>Lm</del>	09 48 03,5 52 12,1 10 01 38 07 40 12 00 21 28	Célébes $1^\circ$ S, $123^\circ$ E; H = 09 34 00 (USCGS et BCIS). Magnitude: $6^{1}/_2-6^{3}/_4$ Pasadena, $6^{1}/_4$ Strasbourg, 6,2 Prùhonice. D = $102^\circ$ ca, $D_c = 102,6^\circ$ ; Az = $77^\circ$ . e 09 48 25,5, e 51 24,5, e 56 01, e 57 13, e 10 00 04, ei 02 25, Lm 37. LmH: 31 s, 7,5 $\mu$ ; LmV: 23 s, 9,2 $\mu$ ; LmV: 23 s, 6,5 $\mu$ .



Date	Phase	h m s	Remarques
9	<del>eiP</del> <del>i</del> <del>ei</del>	16 58 34,5 58 42,0 59 22	C. Turquie orientale 38°N, 39°E; H = 16 53 51 (BCIS). $D_c = 21,3^\circ$ ; Az = 114°. ei 17 00 14.
9	<del>eiPg</del> <del>iSg</del> <del>L</del>	21 13 40,7 13 45,5 13 50	Coup de toit dans la région de Kladno, Tchécoslovaquie (d'après Collmberg). D = 38 km. Lm 21 13 53,5.
11	<del>eiPKP</del> <del>ei</del> <del>ei</del>	01 58 45,5 58 56 59 45,5	Région des îles Tonga 23°S, 175°W; H = 01 38 33 (USCGS). Magnitude: $5\frac{3}{4}$ Matsushiro, $D_c = 151,8^\circ$ ; Az = 19°.
11	<del>eiPKP</del> <del>ei</del>	10 27 24 27 32	Traces. Région des îles Tonga 23°S, 175°W; H = 10 07 12 (USCGS). $D_c = 151,8^\circ$ ; Az = 19°.
11	<del>iPg</del> <del>i</del> <del>iSg</del> <del>Lm</del>	12 00 40,5 00 41,8 00 54,0 00 57	Explosion 6,8 tonnes 50°47,4'N, 14°31,5'E; $D_c = 90$ km. Enregistré par le séismographe vertical à courte période. i 12 00 43,7, i 00 50,5.
12	<del>iPg</del> <del>ei</del> <del>iSg</del>	09 00 31,5 00 32,7 00 50,0	Explosion 8 tonnes 50°17,8'N, 12°35,4'E; $D_c = 144$ km. Enregistré par le séismographe vertical à courte période. i 00 53
13	<del>eiP</del> <del>ei</del>	02 12 29,3 12 44,5	Turquie orientale 39° $\frac{3}{4}$ N, 38° $\frac{3}{4}$ E; H = 02 07 54 (BCIS). $D_c = 19,8^\circ$ ; Az = 112°.
13	<del>eiPKP</del> <del>ei</del>	17 55 54,0 56 03	C. Îles Tonga 18°S, 173° $\frac{1}{2}$ W; H = 17 36 07 (USCGS). $D_c = 147,1^\circ$ ; Az = 16°.
13	<del>e</del> <del>ei</del> <del>eiSg</del>	19 22 36 22 56 23 33	Italie du Nord, vers 44,3°N, 11,0°E; H = 19 19 57 (BCIS). $D_c = 6,1^\circ$ ; Az = 202°.
14	<del>eiP</del> <del>eiPP</del> <del>eiPP</del> <del>eiESKS</del> <del>eiSP</del>	18 11 58,2 12 43,5 16 10 22 25,5 24 38,4	D. Forte ag. mi. Mindanao 5° $\frac{1}{2}$ N, 125° $\frac{1}{2}$ E; H = 17 58 33, h = 200 km ca (USCGS et BCIS). Magnitude: $6\frac{1}{2}$ Matsushiro, $5\frac{1}{4}$ Peking. D = 100°; $D_c = 99,2^\circ$ ; Az = 69°. ei 18 12 15,4, ei 21 53,5, Lm 51. LmN: 22 s, 1,3 $\mu$ .

Date	Phase	h m s	Remarques
14	<del>iP</del> <del>ei</del> <del>e(S)</del> <del>eL</del> <del>Lm</del> <del>Lm</del>	22 12 53,3 13 14 23 00 45,5 53,5 58	C. Forte ag. mi. Îles Aléoutiennes 52° $\frac{1}{2}$ N, 168°W. H = = 22 00 50 (USCGS et BCIS). Magnitude: 6 Strasbourg, Pasadena, MLH = 5,9 Prùhonice. $D_c = 77,4^\circ$ ; Az = 1°. e 22 14 19, ei 14 34, e 25 08. LmH: 16 s, 5,3 $\mu$ ; LmV: 16 s, 6,5 $\mu$ .
14	<del>eiP</del> <del>iPKP</del> <del>eiPP</del> <del>eSKS</del> <del>ei</del> <del>i</del> <del>iSS</del>	23 36 52,5 40 40,0 41 35,5 47 20 51 22 51 32,0 57 29,0	Îles Sandwich 60° $\frac{1}{2}$ S, 27° $\frac{1}{2}$ W; H = 23 21 55 (BCIS). Magnitude: 7,1 Praha, 7 Pasadena, Strasbourg, MLH = 6,9 Prùhonice. D = 116°; $D_c = 115,3^\circ$ ; Az = 202°. ei 23 43 20, Lm 00 24,5, Lm 26,6. PSH: 20 s, 48 $\mu$ ; PSV: 20 s, 10 $\mu$ ; LmH: 19 s, 28 $\mu$ .
15	<del>eiPP</del>	09 14 15	Traces. Îles Mariannes 17° $\frac{1}{2}$ N, 145°E. H = 08 56 20 (USCGS). $D_c = 100,2^\circ$ ; Az = 47°.
15	<del>eiP</del> <del>i</del> <del>eiPP</del>	10 55 31,8 55 40,0 57 10,5	Hindou-Kouch 27°N, 70°E; H = 10 47 42 (USCGS et BCIS). $D_c = 47,8^\circ$ ; Az = 96°.
15	<del>e</del> <del>eiSg</del>	21 24 27 25 06	Haute-Silésie, coup de toit (d'après Collm).
15	<del>iPn</del> <del>eiPb</del> <del>eiPg</del> <del>eiSn</del> <del>eiSg</del>	23 03 28,0 03 50,4 03 58,3 04 36,2 05 15,4	D. Apennin étrusque, Italie 44,1°N, 11,1°E; H = 23 01 55 (BCIS). D = 6°; $D_c = 6,7^\circ$ ; Az = 201°. i 23 03 35,2, ei 04 47,4, ei 05 23,5.
16	<del>eiPKP</del> <del>ei</del>	17 04 28 04 36	Région des îles Fidji 20° $\frac{1}{2}$ S; 178°W; H = 16 45 45, h = 600 km ca (BCIS). $D_c = 148,7^\circ$ ; Az = 24°.
17	<del>eiP</del> <del>ei</del>	02 43 35 43 42	C. Formose 21° $\frac{1}{2}$ N, 121°E; H = 02 31 02 (USCGS et BCIS). Magnitude: $4\frac{3}{4}$ Peking. $D_c = 84,0^\circ$ ; Az = 63°.
17	<del>eiP</del> <del>ei</del>	02 59 31,5 59 41,5	Formose 21,8°N, 121,7°E; H = 02 46,9 (BCIS). $D_c = 81,4^\circ$ ; Az = 63°.
17	<del>ePKP</del>	03 15 58	Région des îles Tonga 24°S, 177°W; H = 02 55 58, h = 100 km ca (USCGS). $D_c = 152,6^\circ$ ; Az = 24°.
17	<del>iP</del> <del>ei</del>	05 16 53,0 17 06	C. Japon 40° $\frac{1}{2}$ N, 142° $\frac{1}{2}$ E; H = 05 04 46 (USCGS). $D_c = 78,8^\circ$ ; Az = 37°.



Date	Phase	h m s	Remarques
18	<del>iP</del>	16 36 51,0	C. Forte ag. mi. Aléoutiennes 53°N, 168° <sup>1</sup> / <sub>2</sub> W; H = 16 24 50 (USCGS). Magnitude: 6 <sup>1</sup> / <sub>2</sub> Pasadena, 6 <sup>1</sup> / <sub>4</sub> -6 <sup>1</sup> / <sub>2</sub> Matsushiro, MLH = 5,7 Prùhonice. D <sub>c</sub> = 76,6°; Az = 1°. i 16 38 17,5, ei 38 48. LmH: 18 s, 3,1 μ.
	<del>iPcP</del>	37 03,0	
	<del>eL</del>	56	
	<del>Lm</del>	17 19	
	<del>Lm</del>	23	
18	<del>eiPg</del>	18 30 44,4	Styrie, Autriche 47°22'N, 15°00'E; H = 18 29 54 (BCIS). D = 2,5°; D <sub>c</sub> = 2,5°; Az = 168°. ei 18 31 12,4, i 31 23,0.
	<del>ei</del>	30 45,8	
	<del>iSg</del>	31 17,8	
20	<del>eiPKP</del>	21 13 23,5	Traces. Région des îles Tonga 17°S, 175°W; H = 20 53 37 (BCIS). D <sub>c</sub> = 146,0°; Az = 18°.
	<del>ei</del>	13 30	
21	<del>eiPKP<sub>1</sub></del>	10 40 38,5	Région des îles Kermadec 27° <sup>1</sup> / <sub>2</sub> S, 176°W; H = 10 20 33 (USCGS et BCIS). Magnitude: 6-6 <sup>1</sup> / <sub>4</sub> Matsushiro, 6 Pasadena. D <sub>c</sub> = 155,9°; Az = 26°.
	<del>eiPKP<sub>2</sub></del>	41 07,5	
	<del>ei</del>	44 41,5	
21	<del>eiP</del>	11 27 48,5	C. N. W. Golfe d'Aden 13° <sup>1</sup> / <sub>2</sub> N, 52°E. H = 11 19 13 (BCIS). Magnitude: 7 <sup>1</sup> / <sub>4</sub> Matsushiro, 6 <sup>1</sup> / <sub>2</sub> -6 <sup>3</sup> / <sub>4</sub> Pasadena, 6 <sup>3</sup> / <sub>4</sub> Praha, 6 <sup>1</sup> / <sub>4</sub> Strasbourg, MLH = 6,5 Prùhonice. D = 47,5°; D <sub>c</sub> = 47,3°; Az = 125°. i 11 27 59,5, ei 35 45, Lm 54. SH: 11 s, 11,4 μ; LmH: 26 s, 60 μ; LmV: 14 s, 40 μ; LmV: 14 s, 18 μ.
	<del>eiPcP</del>	29 18,5	
	<del>eiPP</del>	29 44,5	
	<del>iS</del>	34 40,5	
	<del>eiSS</del>	38 24	
	<del>eL</del>	41	
	<del>Lm</del>	46	
21	<del>iPg</del>	12 31 34,8	D = 1,5°; i 12 31 59,5, L 32 06, Lm 32 10.
	<del>eiSg</del>	31 55,0	
22	<del>eiP</del>	00 18 13,0	C/D. Réplique Golfe d'Aden. H = 00 09 38 (BCIS).
	<del>ei</del>	18 24	
22	<del>ei</del>	05 53 08	Traces. ei 05 53 15.
22	<del>iP</del>	09 01 01,5	D. ei 09 01 28.
22	<del>iPg</del>	10 43 25,0	Explosion 7 tonnes 49°57,3'N, 14°23,4'E. D <sub>c</sub> = 11 km (Prùhonice). Lm 10 43 28.
	<del>iSg</del>	43 26,8	
22	<del>iP</del>	17 32 35,1	C. Japon 37° <sup>1</sup> / <sub>2</sub> N, 141° <sup>1</sup> / <sub>2</sub> E; H = 17 20 19 (USCGS). D <sub>c</sub> = 80,9°; Az = 39°.
	<del>i</del>	32 49,0	
	<del>eiPP</del>	35 38	
23	<del>iP</del>	04 00 37,5	C. Alaska 56° <sup>1</sup> / <sub>2</sub> N, 158°W; H = 03 49 00 (USCGS et BCIS). D <sub>c</sub> = 73,4°; Az = 355°.
	<del>ei</del>	00 53,5	

Date	Phase	h m s	Remarques
23	<del>eiP</del>	09 31 56,5	Côte N de la Sicile 37,8°N, 14,7°E; H = 09 29 02, h = 100 km (BCIS). D = 12,5°; D <sub>c</sub> = 12,3°; Az = 168°. ei 09 34 14,5.
	<del>ei</del>	32 13,4	
	<del>eiS</del>	34 27	
23	<del>eiP</del>	12 50 11,5	Traces. Région du Pole Nord, vers 85°N, 25°W; H = 12 43,5 (BCIS). D <sub>c</sub> = 36,5°; Az = 357°.
	<del>ei</del>	50 48,5	
23	<del>eiPKP</del>	14 19 10,0	Traces. Région îles Kermadec 27° <sup>1</sup> / <sub>2</sub> S, 176°W; H = 13 59 02 (USCGS). D <sub>c</sub> = 155,8°; Az = 24°.
	<del>e</del>	19 30	
23	<del>eiP</del>	21 42 40,5	Grèce 36,8°N, 21,4°E; H = 21 39 18 (BCIS). Magnitude: 5-5 <sup>1</sup> / <sub>4</sub> Athènes. D <sub>c</sub> = 14,3°; Az = 157°. e 21 45 49.
	<del>ei</del>	42 49,5	
	<del>ei</del>	43 23,5	
24	<del>iPKP</del>	01 24 21,5	C. Îles Tonga, vers 19°S, 175°W; H = 01 04,6 (BCIS). D <sub>c</sub> = 147,9°; Az = 18°.
	<del>ei</del>	24 43	
24	<del>eP</del>	05 40 19	Traces. Côte N de la Sicile. e 40 49.
24	<del>eiP</del>	08 19 56,0	i 08 20 10,0.
24	<del>e(PKP)</del>	09 34 50,5	Traces. Région îles Kermadec 27° <sup>1</sup> / <sub>2</sub> S, 176° <sup>1</sup> / <sub>2</sub> W; H = 09 14 24 (USCGS). D <sub>c</sub> = 155,4°; Az = 26°.
26	<del>eiP</del>	18 30 22,5	Forte ag. mi. Alaska 59° <sup>1</sup> / <sub>2</sub> N, 151° <sup>1</sup> / <sub>2</sub> W; H = 18 19 10 (USCGS). Magnitude: 6 <sup>1</sup> / <sub>4</sub> Pasadena, 6,2 Uppsala, Kiruna. D <sub>c</sub> = 70,0°; Az = 352°.
	<del>ei</del>	30 52,5	
	<del>ei</del>	31 24	
26	<del>iP</del>	22 14 10,5	C. Forte ag. mi. SE du Kamtchatka 53°N, 160°E; H = 22 02 35 (USCGS et BCIS). Magnitude: 6,7 Uppsala, Kiruna, MLH = 5,7 Prùhonice, 5 <sup>1</sup> / <sub>2</sub> Moskva. D <sub>c</sub> = 73,0°; Az = 21°. ei 22 14 29,5. LmH: 25 s, 2,8 μ.
	<del>ei</del>	15 24	
	<del>eL</del>	42	
	<del>Lm</del>	49	
	<del>Lm</del>	51,5	
27	<del>eiP</del>	04 59 24,0	Forte ag. mi. SE du Kamtchatka 52° <sup>1</sup> / <sub>2</sub> N, 160° <sup>1</sup> / <sub>2</sub> E; H = 04 47 45 (USCGS). Magnitude: 6,2 Uppsala, Kiruna, 6 Matsushiro. D <sub>c</sub> = 73,9°; Az = 21°.
	<del>ei</del>	59 36,1	
27	<del>eP</del>	05 13 35	Kamtchatka 52° <sup>1</sup> / <sub>2</sub> N, 160°E; H = 05 01 55 (USCGS). D <sub>c</sub> = 73,6°; Az = 21°.
	<del>Lm</del>	48,5	
27	<del>iP</del>	05 26 42,0	C. Forte ag. mi. Crête 35,1°N, 26,2°E; H = 05 22 42 (BCIS). D <sub>c</sub> = 17,3°; Az = 145°.
	<del>ei</del>	26 49,5	



Date	Phase	h m s	Remarques
27	<del>iP</del> <del>eL</del>	12 06 27,0 37	C. Réplique Kamtchatka; H = 11 48 55 (BCIS). ei 12 06 37, Lm 45.
27	<del>iP</del> <del>eiPP</del> <del>i</del>	12 52 12,0 56 32 56 52,5	C. Argentine 28°S, 63°W; H = 12 39 09, h = 650 km (USCGS). $D_c = 103,2^\circ$ ; Az = $244^\circ$ .
27	<del>iP</del> <del>eiPP</del> <del>eiPPP</del> <del>iS</del> <del>eiSS</del> <del>eL</del> <del>Lm</del>	16 04 15,6 06 44,7 08 20 13 34,5 18 12 28 36	C. Kamtchatka 56°N, 162° $\frac{1}{2}$ E; H = 15 52 55 (USCGS). Magnitude: 7 Praha, 6 $\frac{3}{4}$ —7 Pasadena, MLH = 6,7 Prùhonice. D = 72°; $D_c = 70,5^\circ$ ; Az = 18°. i 16 04 47,5, ei 07 12,3, i 13 52,5, Lm 39, Lm 41. SSH: 21 s, 6 $\mu$ ; SSSN: 18 s, 6 $\mu$ ; LmH: 19 s, 39 $\mu$ ; LmH: 15 s, 31 $\mu$ ; LmV: 20 s, 35 $\mu$ .
27	<del>eiP</del>	19 40 00,5	Traces. Réplique. H = 19 28 02 (BCIS).
28	<del>iP</del> <del>eiS</del> <del>Q</del> <del>Qm</del> <del>Rm</del> <del>Rm</del>	07 32 10,5 41 52 55 08 01 04 10,5	C. Forte ag. mi. Kamtchatka 52° $\frac{1}{2}$ N, 160°E; H = 07 20 32 (USCGS). Magnitude: 6 $\frac{1}{2}$ Pasadena, Strasbourg, Praha, MLH = 6,5 Prùhonice. D = 76,5°; $D_c = 73,4^\circ$ ; Az = 22°. i 07 32 24,5, e 37 28. QmH: 29 s, 27 $\mu$ ; RmH: 20 s, 25 $\mu$ ; RmH: 15 s, 15 $\mu$ ; RmV: 15 s, 19 $\mu$ .
28	<del>eiP</del> <del>eL</del> <del>Lm</del> <del>Lm</del>	13 16 09 44 49 55	C. Forte ag. mi. Réplique. H = 13 04 30 (BCIS). Magnitude: 6,5 Uppsala, Kiruna, 6 Pasadena, MLH = 5,8 Prùhonice. ei 13 16 20,5. LmH: 15 s, 3,5 $\mu$ ; LmV: 13 s, 3,9 $\mu$ .
29	<del>eiPKP</del> <del>i</del> <del>e</del>	17 34 35,5 34 48,6 35 08	Iles Tonga 21° $\frac{1}{2}$ S, 174°W; H = 17 14 40 (USCGS). $D_c = 150,6^\circ$ ; Az = 17°.
29	<del>e</del> <del>eiPP</del>	20 51 19 52 23,5	Iles Mariannes 18°N, 145°E; H = 20 35 08; h = 350 km ca (USCGS). Magnitude: 6—6 $\frac{1}{4}$ Pasadena, Matsushiro. $D_c = 94,4^\circ$ ; Az = 48°.
30	<del>eiPg</del> <del>iSg</del>	11 29 49,0 29 52,2	Explosion 7,1 tonnes 49°50'N, 14°42,1'E; $D_c = 19$ km. Lm 11 29 54.
31	<del>e(P)</del> <del>e</del>	20 59 20 21 00 21	Açores 37,9°N, 25,2°W; H = 20 52 57 (BCIS). Magnitude: 5 $\frac{3}{4}$ Kew. $D_c = 30,7^\circ$ ; Az = 262°.

LISTE DES SECOUSSES VOISINES (D < 100 KM)  
ENREGISTRÉES A PRÛHONICE EN 1959.

V. Kárník, J. Nykles

## Remarque:

Toutes les explosions avec l'épicentre connu sont incluses dans la partie précédente.



Date	
1	e 19 35 36, Lm 35 46.
1	e 23 03 48. Traces.
2	eiPg 10 27 35, iSg 27 39 5, iL 27 42,8, Lm 27 47. D = 36 km. T = 1 sec, A = 3 mm.
3	eiSg 11 34 29,5, eiL 34 32, Lm 34 34. T = 1 sec, A = 1,1 mm.
4	eiPg 08 32 42,5, ei 32 43,8, iSg 32 48,0, eL 32 52,5, Lm 32 54. Coup de toit, région de Kladno. T = 1 sec, A = 6 mm.
5	eiPg 12 28 24,1, eSg 29 29,5, Lm 28 32,5. D = 44 km. T = 1 sec, A = 3,3 mm.
7	eL 12 35 49,5, Lm 35 51. T = 0,8 sec, A = 2 mm.
8	eiPg 07 13 47,0, iSg 13 51,7, ei 13 53,6, ei 13 56,1, iL 13 57,6, Lm 13 59,5. T = 1 sec, A = 6 mm.
8	eiPg 19 09 35, ei 19 38,2, Lm 09 39. T = 1 sec, A = 1,6 mm.
9	ei 12 45 40,8, ei 45 42,4.
11	ei 03 52 10, ei 52 12,5, Lm 52 14. Coup de toit, Kladno. T = 1 sec, A = 1,5 mm.
11	ei 10 38 13, Lm 38 15. T = 0,7 sec, A = 1,9 mm.
12	e 08 46 11, ei 46 13,6, Lm 48 18. T = 1 sec, A = 1,5 mm.
14	e 16 00 24,2, ei 16 00 28,5, Lm 31,5. T = 1 sec, A = 0,6 mm.
14	e 19 09 08,3, ei 09 13,5, Lm 09 15. T = 1 sec, A = 0,7 mm.
15	e 09 13 27, ei 13 28,5. Traces.
15	iPg 10 14 52,3, i 14 52,8, iL 14 53,4, Lm 14 53,7. T = 0,7 sec, A = 4 mm.
15	eiPg 11 41 16,5, eiSg 41 21, eiL 41 23, Lm 41 24,5. D = 36 km. T = 1 sec, A = 2 mm.
15	eiPg 23 31 27,4, eiSg 31 31,2, Lm 31 34. D = 30 km. T = 1 sec, A = 1,2 mm.
16	ePg 08 02 15, eiSg 02 20, eL 02 21,5, Lm 02 23. D = 40 km. T = 1 sec, A = 1,5 mm.
16	ei 12 32 53, eL 32 55, Lm 32 56. T = 0,7 sec, A = 2,5 mm.
16	eiPg 22 37 38, eiSg 37 41, eL 22 37 44, Lm 37 46. D = 24 km. T = 1 sec, A = 2 mm.
17	eiPg 12 02 28,0, eiSg 02 34, Lm 02 38. D = 48 km. T = 1 sec, A = 1,6 mm.
20	eiPg 12 06 17,6, L 06 23,5, Lm 06 17. T = 1 sec, A = 2,1 mm.
21	eiPg 12 26 28,1, eiSg 26 31,6, Lm 26 34,5. D = 28 km. T = 1 sec, A = 5 mm.
21	e 13 21 51, ei 22 07,3, ei 22 08,7.
22	e 07 41 08, Lm 41 13. T = 1 sec, A = 1,5 mm.
22	iPg 11 57 38,4, eiSg 57 43, ei 57 44, Lm 57 49,5. D = 35 km. T = 1 sec, A = 2,5 mm.
22	ei 12 37 35, Lm 37 37. T = 1 sec, A = 1,9 mm.
28	ei 13 38 33,5, eL 38 37,7, Lm 38 41,5. T = 1 sec, A = 1,3 mm.
29	ei g 16 58 18,5, ei(Sg) 53 23,0, eL 53 26, Lm 53 26. D = 36 km. Coup de toit, région Kladno.
31	e 10 30 48, ei 30 51, Lm 30 54.
31	iPg 14 11 40,5, iSg 11 44,7, Lm 11 49,5. C. D = 34 km.

Date	
2	ei(Sg) 14 17 30,8, Lm 17 34. T = 0,7 sec, A = 3 mm.
4	eiPg 11 56 58,0, eiSg 57 04, Lm 57 07. D = 48 km. T = 1 sec, A = 3 mm.
4	ei 13 54 47, ei 54 59.
5	eiSg 15 09 21, Lm 09 23. T = 1 sec, A = 1,1 mm.
6	iPg 11 58 11,0, eiSg 58 15,5, L 58 17, Lm 58 19,5. C. D = 36 km. T = 1 sec, A = 3,5 mm.
6	ei(Sg) 12 19 39,0, L 19 42,5, Lm 19 44. T = 1 sec, A = 2 mm.
6	ei 16 26 40,5, L 26 44,5, Lm 26 48. T = 1 sec, A = 1 mm.
8	e 11 51 37, Lm 51 40. T = 1 sec, A = 1,2 mm.
9	ePg 04 03 02, eiSg 03 06,2, Lm 03 09. D = 34 km. T = 1 sec, A = 1,2 mm.
9	eiPg 12 22 21,7, ei 22 27, Lm 22 31. T = 1 sec, A = 4 mm.
9	eiPg 12 34 24,2, L 34 30,5, Lm 34 32. T = 1 sec, A = 1,2 mm.
11	eiPg 12 57 38,1, eiSg 57 42, Lm 57 45. D = 30 km. T = 0,7 sec, A = 4 mm.
12	eiL 10 04 44, Lm 04 46. Traces. T = 1 sec, 0,6 mm. Coup de toit, région de Kladno.
12	ei 14 40 58,5, Lm 41 02. T = 1 sec, A = 0,6 mm.
12	ePg 15 09 13,5, eiSg 09 17, eiL 09 20,5, Lm 09 21,5, ei 09 33,5. D = 28 km. T = 1 sec, A = 1 mm.
13	ei 11 05 16,9, Lm 05 18. T = 0,7 sec, A = 1,2 mm.
13	iPg 12 31 05,5, iSg 31 09,2, L 31 10,2, Pm 31 11,5. D = 30 km, T = 0,7 sec, A = 8 mm.
14	eiPg 22 43 17, eL 43 21, Lm 43 25,5. T = 0,7 sec, A = 0,7 mm.
15	eiPg 00 46 48,0, eiSg 46 52,3, L 46 56,5, Lm 47 00,5. D = 35 km, T = 1 sec, A = 4 mm.
15	ei 10 15 47, eL 15 52,5, Lm 15 56. T = 1 sec, A = 0,8 mm.
17	ei 11 20 06. Coup de toit, région de Kladno.
17	eiPg 12 31 07,1, eiL 31 08,3, Lm 31 10,5. T = 0,7 sec, A = 4,5 mm.
17	ei 16 59 16. Traces.
18	ei 02 04 13, eL 04 17, Lm 04 20. T = 1 sec, A = 1,4 mm.
18	ei 10 32 45. Traces.
18	e 13 35 48,5, Lm 35 50,8.
18	ei(Pg) 22 10 13,7, ei(Sg) 10 17,3, Lm 22 10 21,5, T = 2 sec, A = 0,7 mm.
18	eiPg 23 05 05,6, eiSg 05 10, Lm 05 13. D = 36 km. T = 1 sec, A = 1 mm.
19	eiL 11 59 33,3, Lm 59 35,7. T = 0,7 sec, A = 1,5 mm.
21	iPg 03 30 31,8, iSg 30 36,5, Lm 30 40,5. D = 38 km. T = 1 sec, A = 2,5 mm.
21	ePg 12 02 00,2, eiSg 02 04,8, ei 02 03,5, L 02 06, Lm 02 07. D = 36 km. T = 0,7 sec, A = 5,5 mm.
21	iPg 18 58 38,7, eiSg 58 43,6, L 58 45,5, Lm 58 52,5. D = 40 km. T = 1 sec, A = 7 mm.
23	ei 12 45 19,6. Traces.
23	e 19 29 46, ei 29 50,5. Coup de toit, région de Kladno.
24	eiP 11 59 33,9, eiL 11 59 41,2, Lm 59 43. T = 1 sec, A = 1,3 mm.
24	ei 16 14 11,9. Traces.
25	eiPg 08 57 55,6, eiSg 57 59,5, Lm 58 02. D = 36 km. T = 0,7 sec, A = 4 mm.



Date	
25	e 11 20 16, Lm 11 20 21. T = 1 sec, 0,7 mm.
26	e 05 55 26,5, eL 55 22, Lm 55 34,5. T = 2 sec, A = 1 mm.
26	eL 15 01 50, Lm 01 53. T = 0,7 sec, A = 3,5 mm.
26	e 17 40 10, eiL 40 14,8, Lm 40 19. T = 1 sec, A = 1 mm.
26	e 22 32 13, L 32 19,5, Lm 32 22. T = 1 sec, A = 1,5 mm.
27	eSg 07 27 27, eiL 27 30, Lm 27 35. Traces. Coup de toit, région de Kladno. T = 1 sec, A = 0,7 mm.
27	eiPg 12 00 35,0, eiSg 00 38,4, L 00 40, Lm 00 43,5. D = 28 km.
27	ei 12 39 45,3. Traces.
28	eiPg 14 52 48,8, eiSg 52 53,4, Lm 52 56,5. D = 36 km.

## Mars 1959

Date	
2	ei 12 00 32. Traces.
3	ei 09 58 25,5. Traces.
3	eiPg 12 34 23,2, eiSg 34 24,7, Lm 34 25,5. D = 12 km. T = 0,5 sec, A = 1 mm.
3	eiPg 14 37 31,5, eiSg 37 36, eiL 37 37, Lm 37 40. D = 36 km. T = 1 sec, A = 1,9 mm.
3	ei 20 02 02,7, eL 02 07, Lm 02 09. T = 1 sec, A = 0,6 mm.
4	eiSg 12 03 24,0, eL 03 29,2, Lm 03 32.
4	eiPg 23 46 18,4, eiSg 46 22,4, ei 46 25,3, eL 46 28,5, Lm 46 32. T = 1 sec, A = 7,5 mm.
5	i 05 39 15,0, ei 39 19, L 39 21,3, Lm 39 22,5. T = 1 sec, A = 0,8 mm.
5	eiPg 09 04 49,5, iSg 04 53,3, eL 04 55, Lm 04 56,2. T = 0,8 sec, A = 3,6 mm.
5	i 16 08 52,0. Traces.
5	eiPg 19 07 35,5, eiSg 07 40,5, ei 07 44,7, L 07 46,5, Lm 07 48,5. T = 1 sec, A = 3,5 mm.
5	eSg 21 39 30,5, eiL 39 34,3, Lm 39 37. T = 1 sec, A = 1,2 mm.
6	ei 10 45 57,5. Traces.
6	ei 11 01 01. Traces.
6	ei 11 56 21. Traces.
6	ei 12 27 35. Traces.
6	ei 15 35 02,5. Traces.
6	ei 15 56 11. Traces.
7	e 07 54 25, eL 07 54 29,5, Lm 54 33,5. T = 1 sec, A = 1 mm.
7	ei 10 02 43,5.
7	ei 10 41 37,8.
8	ei 08 53 34,5. Traces.
8	eiPg 19 59 06,5, eiSg 59 11, L 59 11,5, Lm 59 15. T = 1 sec, A = 1,7 mm.

Date	
9	e 14 00 29, Lm 14 00 31.
9	ei 15 16 16,3. Traces.
10	iPg 12 13 21,7, eiL 13 23, Lm 13 25. T = 0,7 sec, A = 5 mm.
11	ei 05 10 14.
11	ei 12 26 18. Traces.
11	eiPg 15 29 23,6, iSg 29 27,0, L 29 28,5, Lm 29 36,5. D = 28 km, T = 0,5 sec, A = 10,5 mm.
12	ei 10 34 31,3. Traces.
12	ei 12 45 35,8. Traces.
13	eiPg 22 34 38,9, L 34 43, Lm 34 47. T = 1 sec, A = 1 mm.
14	iPg 10 39 03,5, iSg 29 07,0, iL 29 09, Lm 29 09,5. C. D = 28 km. T = 0,8 sec, A = 6,5 mm.
15	ePg 22 56 35,5, L 22 56 42,5, Lm 56 44,5. T = 1 sec, A = 1,5 mm.
17	ei 12 37 39,5. Traces.
17	e 14 55 06,5, eL 55 07,5, Lm 55 09. T = 0,8 sec, A = 1,5 mm.
17	eiSg 15 20 57, eiL 20 59,5, Lm 21 05. T = 2 sec, A = 1,5 mm.
17	ei 18 21 04,5, eL 21 06,5, Lm 21 09.
18	ei 09 20 21,5. Traces.
18	eiPg 09 55 16,4, eiL 55 18, Lm 55 19. T = 0,6 sec, A = 0,6 mm.
19	ei 16 48 40, Lm 48 47. T = 1 sec, A = 1,1 mm.
20	ei 12 16 12. Traces.
20	ei 12 41 41. Traces.
20	iPg 12 54 24,5, L 54 25,5, Lm 54 27,5. T = 0,7 sec, A = 2,1 mm.
21	eiPg 03 06 24,8, eiSg 06 29,1, L 06 30,5, Lm 06 32,5. D = 35 km. T = 1 sec, A = 0,8 mm.
21	eiSg 04 45 16, L 45 21.
24	e 05 32 27, ei 32 29, eL 32 33,5, Lm 32 37,5. T = 1 sec, A = 1 mm.
25	eiPg 12 56 36,0, eiL 56 37,5, Lm 56 38,5. T = 0,3 sec, A = 1,2 mm.
26	eiPg 15 22 40,5, eiSg 22 42,5, Lm 22 44. D = 16 km.
27	eiPg 12 30 55,5, eiSg 30 59,5, Lm 31 02. D = 32 km.
28	ePg 05 58 24, eiSg 58 28,3. D = 36 km.
28	eiPg 11 52 55,5, eiSg 53 00, L 53 04,5, Lm 53 08,5. D = 36 km. T = 2 sec, A = 3 mm.
29	ei 00 49 33,5. Traces.
31	eiPg 11 59 41,5, iSg 59 45,5, L 59 47, Lm 59 49. D = 32 km. T = 1 sec, A = 1,5 mm.



Date	
1	eiPg 12 42 42,5, iSg 42 46,5, eL 42 48, Lm 42 50. D = 32 km. T = 1 sec, A = 4,1 mm.
2	ePg 00 42 08, eiSg 42 12,5, Lm 42 16. D = 36 km. T = 1 sec, A = 0,7 mm.
2	ei 10 24 40. Traces.
2	ei 12 27 06. Traces.
2	eiSg 13 45 41, eiL 13 45 45, Lm 45 50. T = 1 sec, A = 1,1 mm.
2	ei 15 13 17,4. Traces.
3	eiL 03 14 13, Lm 14 16. T = 1 sec, A = 0,5 mm.
3	eiPg 12 33 12,1, iSg 33 15,5, L 33 16,8, Lm 33 19. D = 28 km. T = 1 sec, A = 3 mm.
3	ei 22 05 43,2, eiSg 05 46,1, ei 05 49, L 05 55,5. T = 1 sec, A = 2 mm.
4	eiSg 08 02 18,8, Lm 08 02 20,3.
4	eiPg 09 45 51,2, eiSg 45 54,4, L 45 56,8, Lm 45 58,7. C. D = 26 km. T = 1 sec, A = 1,3 mm.
4	iPg 10 28 03,6, eiSg 28 05,0, Lm 28 07,3. D. D = 11 km. T = 0,5 sec, A = 7 mm.
4	ePg 14 35 48,2, iSg 35 50,5, Lm 35 52,5. D = 18 km. T = 0,5 sec.
6	ei 10 00 58. Traces.
6	ei 12 12 16, Lm 12 20.
6	eiPg 12 55 52, eiSg 56 08, ei 56 14,5, D = 1,2°.
7	eL 01 44 26,5, Lm 44 29,5. T = 1 sec, A = 0,4 mm.
7	ei 09 25 43, eiSg 25 56, L 25 58, Lm 26 01. T = 1 sec, A = 1 mm.
9	eiPg 09 00 47,5, ei 00 50,5, eiSg 00 53,5, Lm 00 58. D = 48 km. T = 1 sec, A = 2,5 mm.
10	ei 12 59 30,5, ei 59 35,5, Lm 59 40. T = 1 sec, A = 4,5 mm.
11	eiPg 11 00 17,6, eiSg 00 21,9, L 00 23, Lm 00 25. D. T = 1,2 sec, A = 4 mm.
15	eiPg 13 00 48,5, eiSg 00 51,5, L 00 53, Lm 00 56. D = 24 km. T = 1 sec, A = 4,5 mm.
16	eiPg 12 31 40,5, eiSg 31 44,3, L 31 45,5, Lm 31 48. D = 30 km. T = 0,8 sec, A = 6,5 mm.
17	ePg 11 59 19, ei 59 22, eiSg 59 28,0, e 59 29,4, L 59 31. D = 72 km. T = 1 sec, A = 9 mm.
18	eiPg 11 23 32,5, ei 23 35, i 23 37,5, Lm 23 43,5. T = 1 sec, A = 4 mm.
21	e 14 57 50, eL 57 55, Lm 57 57.
22	eiPg 11 59 15,4, eiSg 59 20, L 59 21, Lm 59 24. D = 36 km. T = 1 sec, A = 2,5 mm.
23	ei 12 12 22,5, eL 12 25,5, Lm 12 29. T = 1 sec, A = 2,5 mm.
23	eiPg 12 16 13,5, Lm 16 23.
23	L 12 47 11,5, Lm 47 13. T = 1 sec, A = 1,3 mm.
23	ei 13 50 46,5, eL 50 50,5, Lm 50 54.
23	eiPg 14 37 45,5, eL 37 49,5, Lm 37 53,5. T = 1 sec, A = 1,1 mm.
24	iPg 15 31 44,0, iSg 31 45,5, Lm 31 46. D = 12 km.
25	e 15 44 45, eL 44 49, Lm 44 54. T = 1 sec. A = 0,6 mm.
25	iPg 22 48 03,4, ei 48 05,4, iSg 48 08,2, L 48 10, Lm 48 16. D = 38 km. T = 1 sec, A = 8 mm.
26	eiPg 21 59 26,5, ei 49 28,3, iSg 59 31, eiL 59 33,5, Lm 59 40. D = 36 km. T = 1 sec, A = 4 mm.
27	e 07 56 11, eiSg 56 16, L 56 18, Lm 56 22. T = 1 sec. A = 1,3 mm.

Date	
28	eiPg 07 36 46, ei 36 48,5, eiSg 36 50,5, L 36 53, Lm 36 57. D = 36 km. T = 1 sec, A = 3 mm.
29	eiPg 12 00 53,2, eiSg 00 57,6, L 00 59,5, Lm 01 02. D = 36 km. T = 1 sec, A = 4,5 mm.
30	ei 09 30 41, L 30 46, Lm 30 48. T = 1 sec, A = 1 mm.

## Mai 1959

Date	
3	eiPg 17 34 00,8, eiSg 34 04,8, Lm 34 08,5. D = 32 km.
4	eiL 09 06 41,5, Lm 06 47,7. T = 0,6 sec, A = 2,3 mm.
4	ei 10 39 17,3. Traces.
5	eiPg 01 06 51,5, eiSg 06 54,5, L 06 59, Lm 07 02. D = 24 km. T = 1 sec, A = 2 mm.
5	ei 02 58 01,5. Traces.
5	ei 04 07 38,3, L 07 42,5, Lm 07 46. T = 1 sec, A = 0,6 mm.
5	ei 05 55 04,5, L 05 55 09,2, Lm 55 15. T = 1 sec, A = 1,6 mm.
5	e 08 24 02, e 24 05, Lm 24 10.
5	ei 10 59 11. Traces.
5	eiPg 12 04 36,5, eiSg 04 41,5, L 04 43, Lm 04 46. D = 40 km. T = 1 sec, A = 4,2 mm.
5	iPg 12 24 30,4, iSg 24 34,3, L 24 35,5, Lm 24 37. C. D = 32 km. T = 0,8 sec, A = 4,5 mm.
5	e 22 51 32. Traces.
6	e 03 42 56,5. Traces.
6	eiPg 07 42 46,5, ei 42 49,6, eiSg 42 52, L 42 53,7, Lm 42 56. D = 44 km. T = 1 sec, A = 2 mm.
6	ei 08 57 42,2. Traces.
6	ei 09 56 53,5. Traces.
6	ei 12 39 22,5. Traces.
7	eiPg 08 00 23,2, eiSg 00 26,6, L 00 28,2, Lm 00 30. D = 28 km.
7	iPg 11 58 01,8, eiSg 58 07,1, Lm 58 10,5. D = 42 km.
7	ei 12 00 28,5, ei 00 34,1.
8	ePg 08 59 07, ei 59 07,5, eiSg 59 09,2, Lm 59 13. D = 17 km.
8	ei 10 19 11, Lm 19 13,5.
8	ei 10 33 25,4.
8	eiPg 19 16 26,5, Lm 16 33,5.
9	ei 00 56 40. Traces.
9	eiPg 04 31 12,7, eiSg 31 15,1, L 31 17, Lm 37 20. D = 20 km. T = 1 sec, A = 2,2 mm.



Date	
12	eiPg 05 33 16,5, eiSg 33 20,5, Lm 33 22,5. D = 32 km. T = 1 sec, A = 1,5 mm.
12	eiPg 12 31 30,0, eiSg 31 34,0, L 31 35, Lm 31 37. D = 32 km. T = 0,8 sec, A = 6 mm.
12	eiPg 12 33 12,2, eiSg 33 16,5, L 33 17,5, Lm 33 19. D = 34 km. T = 1 sec, A = 1,6 mm.
13	i 17 26 50,5. Traces.
13	ei 18 17 03. Traces.
13	ei 22 19 38,5. Traces.
13	eiPg 22 35 36,5, eiSg 35 41, Lm 35 45. D = 36 km. T = 1 sec, A = 0,6 mm.
14	eiPg 11 01 03,7, eiSg 01 09, L 01 13,5, Lm 01 17. D = 42 km. T = 1 sec, A = 3 mm.
15	ei 08 39 53, Lm 40 02.
15	ei 09 03 26. Traces.
15	eiPg 09 54 00, eiSg 54 03, L 54 05,5. D = 24 km. T = 1 sec, A = 2,5 mm.
15	ei 14 24 52. Traces.
15	eiPg 22 21 12,3, eiSg 21 17, Lm 21 20,5. D = 38 km. T = 1 sec, A = 2 mm.
16	eiP 09 01 17,1, ei 01 25,3, iSg 01 32,8. D = 1,2°.
18	eiPg 12 33 17,2, eiSg 33 23, L 33 24,5, Lm 33 26. D = 46 km. T = 1 sec, A = 1,8 mm.
19	ei 04 21 42,5. Traces.
19	ei 11 08 07,5. Traces.
19	ei 11 21 14,8. C. Traces.
19	ei 11 48 22,5. Traces.
19	ePg 11 59 24, eiSg 59 29, L 59 30, Lm 59 32. D = 40 km. T = 1 sec, A = 4,5 mm.
19	ei 12 47 26,8. Traces.
19	eiPg 14 46 31,5, eiSg 46 34,3, Lm 46 37. D = 20 km. T = 1 sec, A = 3 mm.
19	i(Lm) 14 58 50,8. Traces.
20	ei 10 05 20,0. Traces.
20	ei 13 51 41,5. Traces.
21	e 01 32 57, L 01 33 04, Lm 33 07. T = 1 sec, A = 1 mm.
21	e 12 41 24,5, Lm 41 31. T = 1 sec, A = 1,6 mm.
22	ei 08 32 00,1, ei 32 01,8.
22	eiPg 12 00 03,2, ei 00 05,1, ei 00 06, Lm 00 09. T = 1 sec, A = 4 mm.
22	eiPg 12 57 31, eSg 57 34, Lm 57 39, D = 24 km. T = 1 sec, A = 2 mm.
22	ePg 14 30 02,7, eiSg 30 06,5, Lm 30 10. D = 30 km. T = 1 sec, A = 1,2 mm.
25	ei 12 37 39. Traces.
25	ei 15 10 40. Traces.
28	ei 09 00 57,5.
28	ei 10 16 08. Traces.
28	ei 11 59 33,2. Traces.
28	e 13 13 43, ei 13 49. Traces.
30	ei 10 28 06,2. Traces.
30	ei 17 45 04,3, ei 17 45 07,5. Traces.
31	e 15 34 15. Traces.

Date	
1	ei 09 49 27,0. Traces.
1	ei 12 30 07,1. Traces.
1	e 21 23 49,5, Lm 23 57.
2	ePg 05 27 10, eiSg 27 14,2, Lm 27 18. D = 32 km.
4	ei 00 40 40,5. Traces.
4	L 11 41 15, Lm 41 21. T = 1 sec, A = 1,5 mm.
4	e 12 41(01).
5	ei 08 06 06, i 06 06,8.
5	ei 12 29 51,5 iSg 29 53,0, iL 29 54,5.
5	e 15 09 22, ei 09 24. Traces.
5	ei 20 13 41.
6	e 09 32 05, Lm 32 12.
6	eiPg 10 16 09,8, iSg 16 13,3, Lm 16 15,2. D = 28 km. T = 1 sec, A = 3,5 mm.
6	ei 10 39 49. Traces.
6	eiPg 17 25 19, e 25 23, Lm 25 26. T = 1 sec, 0,8 mm.
8	ei 12 00 08, iL 00 09,5, Lm 00 12. T = 1 sec, A = 3,5 mm.
9	e 12 00 12, e 00 14.
9	e 12 04 17, L 04 25, Lm 04 29. T = 1 sec, A = 0,7 mm.
9	eiPg 19 57 52,5, eiSg 57 57, Lm 58 01. D = 36 km. T = 1 sec, A = 2,5 mm.
10	eiPg 03 44 45, eSg 44 50, Lm 44 53,3. D = 40 km. T = 1 sec, A = 0,9 mm.
11	ei 12 31 38. Traces.
11	ei 16 30 21,5. Traces.
11	e 19 46 52, ei 46 58.
12	eiPg 11 59 54,5, eiSg 59 59,5, Lm 00 04. D = 40 km. T = 1 sec, A = 4,6 mm.
12	ei 12 57 12,5. Traces.
13	eiPg 11 00 06, eiSg 00 10, eiL 00 12,5, i 00 14. D = 32 km.
13	ei 11 12 48. Traces.
14	eiPg 03 23 22,3, eiSg 23 27,0, L 23 30, Lm 23 35. D = 38 km. T = 1 sec, A = 3,5 mm.
14	ei 14 56 03,2. Traces.
15	ei 04 16 46. Traces.
15	ei 09 49 46,5. Traces.
15	ei 15 17 02,5. Traces.
15	ei 23 56 05, ei 56 14.
16	eiPg 13 20 25,5, eiSg 20 28,7, Lm 20 31. D = 25 km. T = 1 sec, A = 2,4 mm.
16	i 16 01 58,5. Traces.
17	eiPg 13 00 29,5, iSg 00 33,8, L 00 35, Lm 00 38. C. D = 35 km. T = 1 sec, A = 6,5 mm.
18	ei 10 18 42,5. Traces.
18	i 13 21 35,5. C. Traces.
18	eiPg 20 13 37, eiSg 13 42, Lm 13 45. D = 40 km. T = 1 sec, A = 1 mm.
19	ei 05 09 22, ei 09 27. Traces.
19	eiPg 08 59 57,1, iSg 00 01,1, Lm 00 02,5. D = 32 km.
19	ei 09 44 21,5.



Date	
19	ePg 10 54 04,5, eSg 54 07, Lm 54 10. D = 20 km.
19	e 11 13 15,6, ei 13 23,5.
19	e 22 56 33, L 56 38,5, Lm 56 41. T = 1 sec, A = 1 mm.
20	eiPg 10 58 04,7, iSg 58 08,2, Lm 58 11. D = 36 km. T = 1 sec, A = 4,5 mm.
20	ei 10 59 14,5. Traces.
21	ei 20 16 57,5. Traces.
23	eiPg 08 25 38, ei 25 42, iSg 25 46,5. D = 68 km.
23	ei 10 15 29. Traces.
23	ei 11 52 10,5. Traces.
23	e 13 14 54, Lm 15 03. T = 1 sec, A = 1 mm.
23	ei 19 25 05. Traces.
24	eiPg 10 30 05,4, ei 30 07,3, eiSg 30 09,2, Lm 30 13. D = 30 km. T = 1 sec, A = 1 mm.
24	ei 12 51 19. Traces.
24	ei 13 59 24,5. Traces.
24	ei 18 54 20,5. Traces.
25	ei 11 02 33,5.
25	eiPg 12 39 10,7, iSg 39 14,3, Lm 39 17. D = 30 km. T = 1 sec, A = 2,5 mm.
25	e 15 58 26, e 58 32. Traces.
25	e 22 46 24, ei 46 30.
26	e 10 42 48,5, ei 10 42 54. Traces.
26	eiPg 12 00 44, ei(Sg) 00 48, Lm 00 51,5. T = 1 sec, A = 4,7 mm.
26	ei 12 28 50,0.
26	eiPg 13 17 11,5, eSg 17 16, Lm 17 19. D = 36 km. T = 1 sec, A = 0,7 mm.
28	ePg 22 33 21, eiSg 33 25,5, Lm 33 28. D = 36 km. T = 1 sec, A = 0,7 mm.
29	ei 13 32 40,5.
29	eiPg 18 18 57, L 18 58, Lm 18 58,2. T = 1 sec, A = 3 mm.
30	ePg 11 58 19, eSg 58 22, Lm 58 26. D = 24 km. T = 1 sec, A = 2,5 mm.
30	ei 12 07 15,0. Traces.
30	ei 12 09 29,5. Traces.
30	ei 12 27 57,5.

## Juillet 1959

Date	
1	ePg 12 51 31, eSg 51 35,5, Lm 51 37. D = 36 km. T = 1 sec, A = 0,6 mm.
1	ei 17 58 04,5, iSg 58 07,8, eiLm 58 13,2, ei 58 21,5.
2	eiPg 08 07 38,3, i 07 40,9, eiSg 07 43, Lm 07 49. D = 38 km. T = 1 sec, A = 1,5 mm.
2	ei 18 08 04,2. Traces.
3	eiPg 10 46 49,5, eiSg 46 54, Lm 46 58. D = 36 km. T = 1 sec, A = 1,7 mm.
3	ei 18 59 41. Traces.
4	ei 23 13 51, L 13 56, Lm 13 58. T = 1 sec. A = 0,5 mm.

Date	
5	e 02 47 56,5. Traces.
6	ei 13 47 19,5, ei 47 20,5.
6	ei 13 51 38,5. Traces.
7	eiPg 13 52 04,5, eiSg 52 08,2, Lm 52 11. D = 30 km. T = 1 sec, A = 3 mm.
7	eiPg 15 56 31,5, e 56 36, Lm 56 40. T = 1 sec, A = 0,7 mm.
8	eiPg 02 48 11,7, eSg 48 16, Lm 48 19. D = 35 km. T = 1 sec, A = 0,5 mm.
8	e 09 13 09, ei 13 12,8, Lm 13 18.
8	ei 13 11 13,8. Traces.
8	ei 16 00 35,5. Traces.
8	i 17 56 27,5. Traces.
8	ei 18 03 38,5. Traces.
9	ei 11 59 58. Traces.
9	ei 12 21 21,5. Traces.
10	iPg 11 58 10,8, iSg 58 14,9, iL 58 17,1. D = 32 km.
10	eSg 23 53 12, eL 53 16.
11	eSg 08 21 14, Lm 21 16. T = 1 sec, A = 0,7 mm.
11	eiPg 10 32 59, eiSg 33 04, Lm 33 05. D = 40 km. T = 1 sec, A = 2,1 mm.
11	eiPg 14 25 22,3, iSg 25 27,2, eL 25 31,5. D = 40 km. T = 1 sec, A = 2,7 mm.
11	eSg 19 49 46, eL 49 50, Lm 49 53. T = 1 sec, A = 1 mm.
13	eiSg 00 57 35, eL 57 38.
13	e 18 52 24, ei 52 30. Traces.
15	eiSg 03 44 30,5, eL 03 44 37, Lm 44 46. T = 1 sec, A = 0,5 mm.
15	eSg 07 34 31, L 34 39, Lm 34 42. T = 1 sec, A = 1,5 mm.
16	eiPg 00 03 35,0, i 03 36,5, iSg 03 39,2, eiLm 03 41. D = 37 km. T = 1 sec, A = 7 mm.
16	eiSg 03 38 48, L 38 54, Lm 38 57.
16	iPg 14 52 47,8, i 52 49,7, iSg 52 51,8, iL 52 53,2. D = 32 km.
17	eiSg 05 27 14,3, L 27 16,5, Lm 27 22. T = 1 sec, A = 2 mm.
21	ei 13 17 37,5. Traces.
21	eiPg 15 50 06,5, Lm 50 13. T = 1 sec, A = 0,7 mm.
21	ei 16 13 40,5, ei 13 49.
21	ei 16 59 54. Traces.
22	ei 12 34 21, i 34 22,3.
22	ei 12 34 49, iSg 34 52,1, Lm 34 55. T = 1 sec, A = 3,5 mm.
22	ei 13 14 20,5, ei 14 25, Lm 14 30. T = 1 sec, A = 0,6 mm.
23	ePg 09 06 55, eiSg 07 01,6, Lm 07 04. D = 52 km. T = 1 sec, A = 1,7 mm.
23	ei 09 10 06,5. Traces.
23	ei 12 57 04. Traces.
23	eiPg 18 30 49,0, Lm 30 55.
23	eiPg 18 31 54,5, eiSg 31 59,2, L 32 02, Lm 32 07. D = 38 km, T = 1 sec, A = 3 mm.
23	ei 21 54 52,5. Traces.
24	e 00 19 55, eL 20 04,5, Lm 20 07. T = 1 sec, A = 1 mm.
24	eiPg 18 31 14,5, ei 31 16,5, eiSg 31 19,3, i 31 21,5, iL 31 23,9, Lm 31 27,5. D = 39 km.
24	Coup de toit, région Kladno. T = 1 sec, A = 7,5 mm.
24	e 19 42 31, ei 42 33,4, ei 42 37,7, Lm 42 42. T = 1 sec, A = 1 mm.



Date	
25	ei 10 59 18,5.
25	eiPg 11 43 51,2, iSg 43 56,5, i 43 58,9, Lm 44 01. D = 42 km.
25	ei 13 38 22,4, L 38 27, Lm 38 30. T = 1 sec, A = 0,8 mm.
25	e 14 40 21, ei 40 23,7, Lm 40 31.
27	ei 17 27 15. Traces.
28	ei 11 09 40. Traces.
28	ePg 11 45 08, L 45 10,5, Lm 45 12. T = 1 sec, A = 1,2 mm.
29	eiPg 09 56 33,5, eSg 56 38, Lm 56 41. D = 36 km. T = 1 sec, A = 0,7 mm.
29	ei 13 26 10. Traces.
30	ei 12 01 27,5. Traces.
30	ei 15 31 18,5. Traces.
31	ei 12 16 38,5. Traces.

## Août 1959

Date	
1	e 11 21 22, L 21 27,5, Lm 21 29. T = 1 sec, A = 0,5 mm.
1	ei 12 51 34. Traces.
2	ei 11 58 02,5. Traces.
3	eiPg 12 08 43, eSg 08 47, Lm 08 50. D = 32 km. T = 1 sec, A = 1 mm.
3	i 13 02 46. C. Traces.
3	e 16 02 03. Traces.
3	ei 18 01 52. Traces.
3	e 19 01 25. Traces.
3	e 19 35 06,5. Traces.
3	e 23 25 12. Traces.
4	e 02 19 17. Traces.
4	eiSg 09 08 39,6, Lm 08 47. T = 1 sec, A = 1 mm.
4	ePg 12 00 15, eiSg 00 19, Lm 00 24. D = 32 km.
4	ei 12 52 32. Traces.
4	i 17 57 13,0. Traces.
5	ei 02 08 11,5. Traces.
5	eSg 05 21 05, eL 21 10,5, Lm 21 13.
5	e 10 07 57. Traces.
5	ei 11 45 11,5, Lm 11 45 14,5.
6	eiPg 02 12 18, ei 12 20,5, eiSg 12 23,5, Lm 12 28,5. D = 44 km. T = 1 sec, A = 2 mm.
6	e 14 34 54. Traces.
7	ei 11 58 51,5.
7	eiPg 12 05 43,6, eSg 05 52, Lm 05 58. D = 70 km. T = 1 sec, A = 7 mm.
7	e 19 09 52, Lm 10 01. Traces.

Date	
8	ei 09 45 07,5, Lm 45 10.
8	e 10 15 46. Traces.
8	e 10 26 39, ei 26 41.
8	eiPg 12 11 14,6, eiSg 11 17, Lm 12 11 20. D = 21 km. T = 1 sec, A = 6 mm.
8	eiPg 14 24 26,3, eiSg 24 30,3, Lm 24 33. D = 32 km.
10	e 09 36 41. Traces.
10	ei 12 33 29. Traces.
10	eiPg 12 44 25, Lm 44 28. T = 1 sec, A = 1,5 mm.
10	ei 14 49 46. Traces.
10	e 16 01 37, ei 01 48.
10	ei 18 48 48, Traces.
10	ei 19 22 52,5, Traces.
11	eiPg 04 54 39, eiSg 54 43, Lm 54 47. D = 36 km. T = 1 sec, A = 1 mm.
11	eiPg 09 13 49,5, i 13 52, eiSg 13 55, Lm 14 00. D = 44 km. T = 1 sec, A = 2,5 mm.
11	ePg 12 32 07,4, iSg 32 10,7, Lm 32 14. D = 26 km. T = 1 sec, A = 2,5 mm.
11	ePg 17 19 32, Lm 19 38. T = 1 sec, A = 1,2 mm.
12	ei 08 36 20. Traces.
12	eiPg 16 14 19, ei(Sg) 14 22, eL 14 26,5, Lm 14 30. D = 24 km ca. T = 1 sec, A = 2,7 mm.
14	ei 21 27 26. Traces.
15	eiPg 17 15 38,5, eSg 15 44, Lm 15 47. D = 44 km. T = 1 sec, A = 0,7 mm.
16	eiPg 03 02 54, eSg 02 59, Lm 03 04. D = 40 km.
16	e 10 52 46, e 52 52. Traces.
16	ei 19 55 16,5. Traces.
17	eiPg 02 46 02,8, eiSg 46 07,2, Lm 46 11. D = 36 km. T = 1 sec, A = 1 mm.
17	iPg 06 24 24,5, ei 24 25, 4, i 24 27,8, iSg 24 30,5, Lm 24 37. D = 48 km. T = 1 sec, A = 14 mm.
17	ei 11 16 50. Traces.
18	eiPg 12 13 28,0, eSg 13 31,5. D = 28 km.
19	eiSg 12 32 23, L 12 32 25, Lm 32 27. T = 1 sec, A = 3 mm.
19	eiSg 15 00 30, eL 00 35, Lm 00 40. T = 1 sec, A = 0,6 mm.
19	ei 20 15 14.
19	ei 22 59 07, e 22 59 10.
20	e 11 50 17, e 50 24.
20	ei 11 59 47, iSg 59 52, iL 59 55, Lm 59 59. T = 1 sec, A = 2,5 mm.
20	e 13 27 16, Lm 27 18. T = 1 sec, A = 0,3 mm.
21	e 02 23 17, eSg 23 21, L 23 25, Lm 23 30. T = 1 sec, A = 1,1 mm.
21	ei 11 21 46,1. Traces.
21	iPg 11 58 42,6, eiSg 58 47, L 58 48, Lm 58 51. D = 35 km. T = 1 sec, A = 4 mm.
21	ei 12 29 35,5, eL 29 37,5, Lm 29 41. T = 1 sec, A = 8 mm.
21	ei 12 58 10,4. Traces.
21	i 18 26 04,6. Traces.
22	eiPg 08 46 15,5, eiSg 46 22,5, Lm 46 24. D = 56 km. T = 1 sec, A = 1 mm.
22	ei 14 25 21. Traces.



Date	
22	ei 21 05 04, eiL 05 08,5, Lm 05 12. T = 1 sec, A = 1,2 mm.
24	eiPg 00 52 45, eiSg 52 50, Lm 52 53. D = 40 km.
24	ei 05 12 55. Traces.
25	ePg 10 01 27, eSg 01 34,7, Lm 01 37. D = 62 km. T = 1 sec, A = 0,5 mm.
25	eiPg 11 56 20,5, eiSg 56 26, Lm 56 32. D = 44 km.
26	iPg 12 31 22, eiSg 31 23,5, Lm 31 25. D = 12 km.
26	ePg 15 10 41, eSg 10 45, Lm 10 48. D = 32 km.
26	eiPg 16 22 48,5, eiSg 22 53,5, Lm 23 02. D = 40 km.
27	ePg 09 53 25,5, e 53 32,5, Lm 53 36.
30	eL 02 13 11, Lm 13 19. T = 1 sec, A = 0,7 mm.
31	L 12 34 29, Lm 34 33.
31	e 21 04 43,5, Lm 04 52.

## Septembre 1959

Date	
1	ei 08 40 29,5. Traces.
1	ei 08 56 41,5. Traces.
2	ei 11 21 36. Traces.
2	e 12 32 04, eiSg 32 08,4, Lm 32 11. T = 0,8 sec, A = 2 mm.
2	e 21 11 56, Lm 12 02. Traces. T = 0,8 sec, A = 0,6 mm.
3	e 05 41 36, Lm 41 44. T = 1 sec, A = 1 mm.
3	eSg 11 21 16, L 21 18,5, Lm 21 20. T = 1 sec, A = 1,3 mm.
3	ei 12 21 12,5. Traces.
3	ei 12 49 05,5. Traces.
3	i 13 02 59. Traces.
3	i 17 54 01,0. Traces.
4	e 00 34 59,5, eSg 35 03, Lm 35 06. T = 1 sec, A = 0,7 mm.
4	eiSg 03 41 18,5, L 41 23, Lm 41 25. Coup de toit, région de Kladno. T = 1 sec, A = 0,3 mm.
4	e 03 55 21,5, eiSg 55 24,5, L 55 28, Lm 55 34. T = 1 sec, A = 2 mm.
4	i(Sg) 12 00 19,7, iL 00 25,5, Lm 00 28,3. T = 1 sec, A = 1 mm.
4	e 23 51 04, Lm 51 10. T = 1 sec, A = 0,7 mm.
5	e 00 03 19, Lm 03 26. T = 1 sec, A = 0,3 mm.
5	eiSg 02 41 51, Lm 41 57. T = 1 sec, A = 0,7 mm.
6	ei 07 59 48. Traces.
6	eL 11 42 05, Lm 42 08. T = 1 sec, A = 0,5 mm.
6	eSg 17 28 54, eL 28 58, Lm 29 01. T = 1 sec, A = 0,5 mm.
7	e 08 30 50. Traces.

Date	
7	eiPg 08 59 54,5, eiSg 59 57,6, L 59 59, Lm 09 00. D = 24 km. T = 0,4 sec, A = 1 mm.
7	iPg 09 00 20,7, iSg 00 24,5, L 00 26. D = 30 km.
7	ei 12 07 05. Traces.
7	e 12 29 25, Lm 29 28,5. T = 0,7 sec, A = 1,4 mm.
7	e 14 54 53. Traces.
7	e 15 57 05, Lm 57 12. T = 1 sec, A = 0,5 mm.
8	ei 10 55 42.
8	eiPg 11 54 20, eSg 54 24,8, Lm 54 28. D = 38 km. T = 1 sec, A = 2 mm.
8	ei 12 37 32,4, eiSg 38 35,2, L 38 37,5, Lm 38 43. T = 1 sec, A = 2 mm.
8	eiSg 23 53 56, Lm 54 02. T = 1 sec, A = 1,6 mm.
9	eiSg 09 05 35,5, Lm 05 39. T = 1 sec, A = 0,5 mm.
9	eSg 11 59 33, Lm 59 37. T = 1 sec, A = 1 mm.
9	eiSg 14 59 32, eL 59 35,5, Lm 59 38. T = 1 sec, A = 1 mm.
9	eL 22 25 24, Lm 25 27. T = 1 sec, A = 0,5 mm.
10	ei 10 42 06. Traces.
10	12 18 35, eL 18 41, Lm 18 44. T = 1 sec, A = 0,7 mm.
11	iPg 09 06 42,0, iSg 06 45,0, iL 06 46,1, Lm 06 48,2, D = 24 km. T = 0,8 sec, A = 2,5 mm.
11	eiPg 10 00 49,5, eSg 00 52,5, L 00 54, Lm 00 57. D = 24 km. T = 1 sec, A = 2,5 mm.
11	ei 14 07 07. Traces.
11	eL 14 21 18, Lm 14 21 23. T = 1 sec, A = 0,4 mm.
12	eL 04 07 33,5, Lm 07 40. Traces. T = 1 sec, A = 0,5 mm.
12	eiSg 07 12 13,5, eL 12 17, Lm 12 21. T = 1 sec, A = 0,5 mm.
12	ei 08 01 14, eiSg 01 07, eL 01 20, Lm 01 25. T = 1 sec, A = 1,1 mm.
12	e 09 18 18, ei 18 23,5. Traces.
13	eSg 08 04 45, eL 40 48,5, Lm 40 53. T = 1 sec, A = 0,5 mm.
14	eiPg 16 29 02,4, eiSg 29 07,0, Lm 29 12. D = 36 km, T = 1 sec, A = 3 mm.
14	iPg 17 02 58,6, iSg 03 02,5, L 03 04, Lm 03 05,5. D = 32 km, T = 0,7 sec, A = 4,5 mm.
15	e 02 11 32,5, eiSg 11 36,4, L 11 39,5, Lm 11 44. T = 1 sec, A = 2,5 mm.
15	e 10 21 44. Traces.
15	iPg 12 02 00,7, iSg 02 16,5, D = 1,2°.
16	eiSg 11 02 34,5, ei 02 37, Lm 02 41. T = 0,7 sec, A = 1,2 mm.
16	ei 11 14 54,5. Traces.
16	ei 12 40 19.
16	ei 12 42 39,6, eiSg 42 42, ei 42 47, Lm 42 51. T = 1 sec, A = 2 mm.
17	eiSg 08 15 42, L 15 47, Lm 15 50. T = 1 sec, A = 1 mm.
17	iPg 12 00 21,7, iSg 00 25,8, L 00 27, Lm 00 30. D = 32 km, T = 1 sec, A = 1 mm.
17	iPg 12 35 28,5, iSg 35 32,0, L 35 33, Lm 35 36. D = 28 km.
17	eSg 15 24 59, Lm 25 10. T = 1 sec, A = 1 mm.
18	ei 12 11 18,5. Traces.
19	e 20 43 19, eiSg 43 21,5, eL 26,2, Lm 29,5.
20	e 02 53 35, eiSg 53 37,4, L 53 39,8, Lm 53 45. T = 1 sec, A = 1,5 mm.
20	e 12 35 32, eiSg 35 36,4, L 35 40, Lm 35 45. T = 1 sec, A = 2,6 mm.
20	iPn 19 19 16,6, iPg 19 19,5, ei 19 23,7, iSg 19 49,0. D = 2°.



Date	
21	e 11 11 42,5.
21	ei 12 51 15,6. Traces.
21	ei 13 27 49. Traces.
22	e 03 52 57,5, eiSg 53 01,5, L 53 06,3, Lm 53 10. T = 1 sec, A = 3,6 mm.
22	ei 15 09 54. Traces.
22	e 16 39 46, Lm 39 50. Coup de toit, région de Kladno. T = 1 sec, A = 0,6 mm.
23	ei 15 59 49,5. Traces.
24	eSg 00 13 30. L 13 34. Lm 13 37.
24	iPg 11 59 44,5, iSg 59 48,0, L 59 50, Lm 59 51,5. D = 28 km, T = 1 sec, A = 4 mm.
25	ei 09 49 20,5.
25	eiSg 22 03 33,5, L 03 39, Lm 03 42. Coup de toit, région de Kladno. T = 1 sec, A = 1 mm.
25	eiSg 16 38 05, L 38 10, Lm 38 13. T = 1 sec. A = 1,1 mm.
26	eiSg 16 48 27,5, Lm 48 30. T = 0,7 sec, A = 2 mm.
27	eiSg 21 56 41, Lm 56 49. T = 1 sec, A = 0,5 mm.
28	iPg 12 27 06,0, iSg 27 09,5, Lm 27 11,8. D = 28 km. T = 1 sec, A = 3,5 mm.
28	ei 13 21 45. Traces.
28	e 13 54 02, L 54 03,5, Lm 54 05. T = 0,7 sec, A = 1 mm.
28	eiSg 16 22 16,5, L 22 22, Lm 22 25. T = 1 sec, A = 1 mm.
28	ei 20 41 23,5. Traces.
29	eiSg 00 22 35, L 22 39. Lm 22 43. Coup de toit, région de Kladno. T = 1 sec, A = 0,9 mm.
29	e 07 07 49. Traces.
29	ei 08 08 16,5. Traces.
29	ei 11 05 53,0. Traces.
30	ei 11 10 09. Traces.

## Octobre 1959

Date	
1	e 00 41 52, Lm 41 58. T = 1 sec, A = 0,3 mm.
1	(e) 23 49 39,5, ei 49 44,1, eiSg 49 47, L 49 50, Lm 49 53. T = 1 sec, A = 3 mm.
2	e 00 30 26, eSg 30 30, L 30 32,5, Lm 30 34. T = 1 sec, A = 0,4 mm.
2	i 12 35 21,1. Traces.
2	i(Pg) 12 53 20,5, i(Sn) 53 43,5, i(Sg) 53 56,2, ei 54 02, ei 54 18,5. (D = 2,8° ca).
2	ei 13 46 52,0. Traces.
2	i 14 18 51,1. Traces.
2	ei 15 02 04,7. Traces.
2	ei 14 59 47. Traces.
2	ei 15 32 56. Traces.

Date	
2	ei 15 32 56. Traces.
3	iPg 10 54 39, iSg 54 42,5, Lm 54 44. D = 28 km.
3	iPg 10 55 26,0, iSg 55 28,0, Lm 55 29. C. D = 16 km, T = 1 sec, A = 2,5 mm.
3	ei 11 28 27.
3	ei 11 38 33.
3	ei 13 56 08, Lm 56 12. T = 1 sec, A = 2 mm.
4	ei 05 46 06.
4	ei 09 56 07.
4	ei 11 57 47,5.
5	ei 08 50 29, i 30 35,7.
5	ei 16 30 37,0. Traces.
6	ei 11 59 49,5.
7	e 09 45 13. Traces.
7	ei 10 41 55. Traces.
7	iPg 13 42 05,0, iSg 42 06,5, Lm 42 09. D = 12 km. T = 0,6 sec, A = 3,5 mm.
7	e 18 17 12, eiSg 17 16, Lm 17 22. T = 1 sec, A = 1 mm.
8	ePg 09 07 12,4, eSg 07 15, Lm 09 07 18. D = 20 km. T = 0,7 sec, A = 2 mm.
8	eiPg 13 59 42,0, eiSg 14 00 01, Lm 00 17. D = 140 km.
8	iPg 14 13 43,5, iSg 13 47,0, L 13 48, Lm 13 51. D = 28 km. T = 0,7 sec, A = 4,1 mm.
9	e 11 59 55,5.
9	ei 12 33 07,5, Lm 33 11. Traces. T = 1 sec, A = 0,9 mm.
9	iPg 12 35 26,8, iSg 35 29,3, L 35 31, Lm 35 33. D = 20 km. T = 0,8 sec, A = 2,5 mm.
10	ei 11 02 48. Traces.
10	eiSg 13 31 46,5, L 31 51, Lm 31 53. T = 1 sec, A = 0,5 mm.
12	ei 15 21 43,5. Traces.
12	iSg 21 42 43,1, iL 42 47,5, Lm 42 49. T = 1 sec, A = 1 mm.
13	iPg 12 01 47,1, eiSg 01 52, L 01 53, Lm 01 55. D = 40 km. T = 1 sec, A = 1,5 mm.
13	e 13 27 30,8, iSg 27 33,5, iL 27 36,9, Lm 27 39. T = 1 sec, A = 2 mm.
13	i 14 18 46,1, iSg 18 48,5, L 18 53, Lm 18 57. T = 1 sec, A = 1,4 mm.
13	i 14 53 24. Traces.
14	eL 09 11 05, Lm 11 08. T = 1 sec, A = 0,3 mm.
14	e 09 26 47. Traces.
14	eiSg 12 30 08, L 30 10, Lm 30 13. T = 1 sec, A = 1,5 mm.
14	ei 13 06 00. Traces.
14	ei 13 08 28,5. Traces.
15	ei 12 33 04,4. Traces.
15	ei 21 47 48,5. Traces.
16	eiSg 10 08 05,5, L 08 11, Lm 08 13. T = 1 sec, A = 1 mm.
17	eiPg 10 50 08,1, ei 50 10,5, eiSg 50 13, L 50 16,2, Lm 50 21. T = 1 sec, A = 4 mm.
17	L 07 14 02, Lm 14 07.
17	eiPg 10 32 05,0, eSg 32 08, Lm 32 11. D = 24 km. T = 0,7 sec, A = 2,5 mm.
17	ei 18 10 28,0. Traces.
17	ei 22 32 42. Traces.



Date	
18	ei 18 51 20. Traces.
19	eiSg 10 16 04, Lm 16 12. T = 1 sec, A = 0,7 mm.
20	eL 10 36 07, Lm 36 16. T = 1 sec, A = 0,6 mm.
20	eL 10 39 53, Lm 40 01. T = 1 sec, A = 0,4 mm.
21	eiSg 09 10 26,0, L 10 26,5, Lm 10 30. T = 1 sec, A = 1 mm.
21	eiSg 13 58 44,5, L 58 45,5, Lm 58 47. T = 0,7 sec, A = 2 mm.
21	eiPg 14 33 26,0, eiSg 33 29,3, Lm 33 32. D = 25 km. T = 1 sec, A = 2,5 mm.
22	eiPg 12 36 27, eiSg 36 30,5, L 36 32, Lm 36 33,4. D = 28 km. T = 1 sec, A = 3 mm.
23	eiPg 12 01 08,4, eiSg 01 13,2, Lm 01 17. D = 38 km. T = 1 sec, A = 2,5 mm.
23	e(Pg) 12 50 01,5, iSg 50 25,5. D = 1,6°.
23	ei 23 42 04. Traces.
24	eL 10 34 24, Lm 34 28. Traces. T = 0,7 sec, A = 1,7 mm.
24	eiSg 17 19 45,5, Lm 19 51,5. Traces. T = 1 sec, A = 0,6 mm.
28	eiPg 09 00 52, eiSg 00 55,5, L 00 57, Lm 00 58. D = 28 km. T = 1 sec, A = 5 mm.
28	e 19 09 43. Traces.
29	ei 11 23 34,0. Traces.
29	e 12 06 17,4. Traces.
29	eiSg 13 04 14,3, L 04 16, Lm 04 19. T = 0,7 sec, A = 5 mm.
30	i 15 07 25,7. Traces.
30	e 21 10 57, Lm 11 06. Traces. T = 1 sec, A = 0,7 mm.
31	eiSg 10 33 13, L 33 14, Lm 33 16. T = 1 sec, A = 1,3 mm.
31	eiSg 16 23 54, L 23 56, Lm 24 04. T = 1 sec, A = 1,6 mm.
31	eSg 17 43 27, Lm 43 34. T = 1 sec, A = 0,5 mm.
31	eSg 21 37 05,5, L 37 09, Lm 37 12. T = 1 sec, A = 1 mm.

## Novembre 1959

Date	
1	eiSg 13 17 43, L 17 47, Lm 17 51. T = 1 sec, A = 0,6 mm.
2	L 12 23 54, Lm 23 57. T = 1 sec, A = 1 mm.
2	eiSg 14 47 34,3, L 47 38,5, Lm 47 42. T = 1 sec, A = 0,8 mm.
3	ei 13 19 39. Traces.
3	ei 14 12 20. Traces.
3	iPg 14 59 39,6, eiSg 59 44,5, L 59 45,5, Lm 59 49,5. C. D = 38 km, T = 1 sec, A = 5,6 mm.
4	ei 11 33 26,1. Traces.
4	ei 12 26 41,5. Traces.
4	15 19 29,8, Lm-19 36. Traces. T = 1 sec, A = 0,3 mm.
6	eiSg 04 12 19,0, L 12 24,2, Lm 12 27. T = 1 sec, A = 1,1 mm.
7	eL 14 20 20, Lm 20 25. T = 1 sec, A = 0,4 mm.

Date	
8	ePg 12 08 35,5, iSg 08 37,8, L 08 38,6, Lm 08 40. D = 19 km. T = 1 sec, A = 3,5 mm.
9	eiSg 10 59 16, L 59 19, Lm 59 23. T = 1 sec, A = 2,1 mm.
9	eL 14 25 54, Lm 26 01. T = 1 sec, A = 0,6 mm.
11	eiSg 09 05 15,8, L 05 17, Lm 05 19. T = 1 sec, A = 1,6 mm.
11	eiSg 12 33 16,8, L 33 21,2, Lm 33 24. T = 1 sec, A = 3,5 mm.
11	e 23 55 03, L 55 07, Lm 55 11. T = 1 sec, A = 0,7 mm.
12	iPg 00 54 56,5, iSg 55 01,0, iL 55 05,5, Lm 55 10. T = 1 sec, A = 9 mm.
12	eiPg 11 39 07,5, eiSg 39 16,1, L 39 19. D = 68 km.
13	ei 15 36 16. Traces.
14	ei 00 29 46,5. Traces.
14	ei 00 40 27, ei 40 30,2.
15	eiPg 08 33 36, eiSg 33 39,5, L 33 43,5, Lm 33 47. D = 28 km. T = 1 sec, A = 1 mm.
15	eiSg 10 04 23,0, L 04 26, Lm 04 31. T = 1 sec, A = 1,6 mm.
15	L 11 30 57,5 Lm 31 05. T = 1 sec, A = 1 mm.
15	L 16 21 15, Lm 21 22. T = 1 sec, A = 0,3 mm.
15	eSg 18 09 35,5, L 09 39,5, Lm 09 42,5. T = 1 sec, A = 0,6 mm.
16	eiPg 14 58 46,5, eiSg 58 50,5, L 50 53, Lm 50 57. D = 32 km. T = 1 sec, A = 3 mm.
17	ePg 02 05 52, eiSg 05 55, Lm 05 58. D = 24 km. T = 1 sec, A = 5 mm.
17	ei 12 35 13. Traces.
17	ei 13 43 36,5, i 43 38. Traces.
18	ei 10 13 02. Traces.
18	ei 13 21 20. Traces.
18	ei 14 08 31. Traces.
19	eiSg 12 28 16,2, L 28 17,8, Lm 28 20. T = 1 sec, A = 2,5 mm.
19	ePg 15 00 09,5, L 00 16, Lm 00 19. T = 1 sec, A = 3 mm.
19	ei 17 42 13,8. Traces.
20	eiSg 10 22 13,5, L 10 22 17, Lm 22 21. T = 1 sec, A = 0,6 mm.
20	eiPg 12 26 46,5, eiSg 26 50, Lm 26 52. D = 28 km. T = 1 sec, A = 3 mm.
21	i(Pg) 10 25 54,4, ei 25 57,1, i 25 58,3, ei 26 03, i(Sg) 26 03,4.
21	L 15 31 35,5, Lm 31 39,5.
22	L 01 32 06,2, Lm 32 14. T = 1 sec, A = 1 mm.
23	eiPg 20 56 19,8, eiSg 56 24,4, ei 56 26,5, Lm 56 33. D = 36 km. T = 1 sec, A = 4 mm.
24	eiPg 13 00 54,5, Lm 01 03. T = 1 sec, A = 2,1 mm.
24	eL 17 31 19, Lm 31 25. T = 1 sec, A = 0,5 mm.
25	iPg 09 19 54,7, iSg 19 59,5, L 20 01,5, Lm 20 06. D = 38 km. Coup de toit, région de Kladno. T = 1 sec, A = 17 mm.
26	ei 20 29 55. Traces.
27	eiPg 11 58 42,1, eiSg 58 46,1. D = 32 km. T = 1 sec, A = 5 mm.
29	eiSg 13 40 16, Lm 40 24. T = 1 sec, A = 0,4 mm.
30	eiPg 12 34 10, eiSg 34 13,3, Lm 34 16,5. D = 28 km. T = 1 sec, A = 3 mm.



Date	
1	ei 09 05 25,6, i 05 27,5, i 05 31,1.
1	eiSg 14 48 13,5, L 48 17,5, Lm 48 22. T = 1 sec, A = 2,5 mm.
2	eiSg 13 35 22,7, eL 35 28,5, Lm 35 34. T = 1 sec, A = 2 mm.
3	eiSg 14 39 17,5, eL 39 20, Lm 39 26. T = 1 sec, A = 0,9 mm.
4	eiSg 12 53 32,5, L 53 34, Lm 53 35,5.
4	iPg 14 59 48,0, eSg 59 52,7, Lm 59 58. D = 37 km.
4	eiL 21 41 05,5, Lm 41 13, T = 1 sec, A = 3 mm.
5	iSg 12 57 13,6, iL 57 14,6, Lm 57 15,6. T = 1 sec, A = 2 mm.
6	eiSg 02 38 02,2, L 02 38 06,5, Lm 38 11. T = 1 sec, A = 1,2 mm.
7	eiSg 15 10 59,3, eiL 11 02,3, Lm 11 08. T = 1 sec, A = 1 mm.
7	eiSg 00 21 47,5, eiL 21 50,5, Lm 21 56. T = 1 sec, A = 1 mm.
8	eiSg 19 49 02,4, L 19 49 07, Lm 49 10.
9	eL 12 36 07, Lm 36 11,5. T = 1 sec, A = 0,5 mm.
10	ei 09 16 03,5. Traces.
10	ei 12 29 56,5. Traces.
10	eiSg 12 39 39, L 39 41, Lm 39 42. T = 1 sec, A = 1,2 mm.
10	eiSg 16 11 15,5, Lm 11 22. T = sec, A = 0,8 mm.
11	e 00 50 57, Lm 51 06. T = 1 sec, A = 2 mm.
11	ei 10 00 23. Traces.
12	iSg 12 38 32,5, L 38 34, Lm 38 35,5.
13	ei 22 36 31,5. Traces.
14	e 12 32 33, iSg 32 35,7, Lm 32 39. T = 1 sec, A = 1,6 mm.
14	eiPg 13 00 06,8, iSg 00 10,9, L 00 13,5, Lm 00 16. D = 34 km. T = 1 sec, A = 2,5 mm.
14	ei 16 37 59. Traces.
15	eiSg 16 37 38,4, L 37 41, Lm 37 47. T = 1 sec, A = 1 mm.
15	e 20 24 25, ei 24 31,5. Traces.
16	eSg 04 16 55, L 16 58, Lm 17 03. T = 1 sec, A = 0,7 mm.
16	eiPg 14 15 46,4, eiSg 15 50,8, L 15 53,5, Lm 15 56. D = 36 km.
17	ei 12 29 34. Traces.
18	ei 14 30 53, ei 30 55,5.
19	iSg 08 32 16,9, L 32 18,2, Lm 32 19. T = 1 sec, A = 1,1 mm.
19	eiSg 19 55 06, L 55 10,5, Lm 55 13. T = 1 sec, A = 2 mm.
20	eiSg 02 46 30,5, L 46 34,5, Lm 46 38. T = 1 sec, A = 0,6 mm.
20	eiSg 18 03 11, L 03 15,3, Lm 03 18. T = 1 sec, A = 0,4 mm.
21	ePg 14 13 30, eiSg 13 36, Lm 13 39. D = 48 km. T = 1 sec, A = 2,5 mm.
21	eiSg 23 30 36, L 30 39, Lm 30 44. T = 1 sec, A = 2 mm.
22	ePg 11 57 39, eiSg 57 43,5, L 11 57 45,5, Lm 57 47. D = 36 km. T = 1 sec, A = 1,3 mm.
22	eiSg 12 37 47,5, L 37 49, Lm 37 51. T = 1 sec, A = 2 mm.
22	eiSg 19 28 21,5, L 28 26, Lm 28 29. T = 1 sec, A = 0,6 mm.
23	eiSg 10 25 17, L 25 22, Lm 25 26. T = 1 sec, A = 1 mm.
23	ei 12 00 49,5.
31	eiPg 11 58 54,7, eSg 59 02,8, Lm 59 07,5. D = 64 km. T = 1 sec, A = 6 mm.

OBSERVATIONS SÉISMQUES  
DE LA STATION SÉISMOLOGIQUE  
DE PRAHA EN 1959

## Appareils:

- I = Pendule astatique Wiechert, masse 1000 kg, amortissement d'air, composantes N et E, enregistrement mécanique.  
 II = Vertical Wiechert, masse 80 kg, amortissement d'air, composante Z, enregistrement mécanique.  
 III Séismomètre à torsion, système modifié Wood—Anderson, masse 3 g, amortissement magnétique, composante E, enregistrement photographique.

## Coordonnées des appareils:

I,	$\varphi = 50^{\circ}04'13''$ N	$\lambda = 14^{\circ}25'59''$ E	h = 225 m
II, III	$\varphi = 50^{\circ}04'11''$ N	$\lambda = 14^{\circ}25'48''$ E	h = 202 m

## Sous-sol:

- I Ordovicien (schistes de Zahorany)  
 II, III Ordovicien couvert de couches de sable



	Wiechert horizontal:							
	NS				EW			
	T <sub>0</sub>	V <sub>0</sub>	ε : 1	r	T <sub>0</sub>	V <sub>0</sub>	ε : 1	r
I.	9,2	226	6,3	0,0035	9,7	215	4,8	0,0032
II.	non mesuré				non mesuré			
III.	10,0	207	6,0	0,0030	10,0	181	4,5	0,0030
IV.	9,1	249	5,9	0,0036	9,4	211	5,0	0,0034
V.	10,2	182	6,3	0,0029	10,2	186	4,0	0,0029
VI.	9,6	231	5,6	0,0033	9,9	188	6,1	0,0031
VII.	9,0	228	4,8	0,0036	9,3	215	5,3	0,0035
VIII.	non mesuré				non mesuré			
IX.	9,1	222	6,3	0,0036	10,0	174	5,2	0,0030
X.	9,5	203	7,8	0,0033	9,5	192	4,3	0,0033
XI.	10,6	187	6,4	0,0027	10,5	189	6,2	0,0027
XII.	9,0	225	7,0	0,0037	9,3	198	4,5	0,0036

	Wiechert vertical				Anderson - Wood		
	T <sub>0</sub>	V <sub>0</sub>	ε : 1	r	T <sub>0</sub>	V <sub>0</sub>	ε : 1
I. - III.	3,9	56	3,9	0,013	2,7	1865	11,7
IV. - VI.	4,0	59	3,9	0,0125	2,5	1700	7,0
VII. - IX.	4,1	53	3,8	0,012	2,8	1940	15,0
X. - XII.	3,7	67	3,7	0,014	3,0	1940	12,0

Date	Phase	h m s	Remarques
1	e eX <sub>1</sub> eSn eSb eiSg eiL	02 39 08 39 15 39 28 39 37 39 48 39 55	Nord de la Yougoslavie. D <sub>c</sub> = 4,2; Az = 175°. i 02 40 16.
2	e eL	00 00 14 01 11	Gran Sasso, Italie. D <sub>c</sub> = 7,6°; Az = 188°.
2	iP iS iLg iL	05 22 38,5 25 00 26 11 26 36	Bretagne, France. Magnitude 5,2 Praha. D = 12°; D <sub>c</sub> = 12,3°. Az = 260°. LmH: 6 s, 5,8 μ. ei 05 23 14,5; ei 24 32; i 25 44; i 25 53; i 26 04; i 26 29; Lm 27 40.
2	eSg iL	10 27 37 27 40	Voisin.
4	iSg eiL	08 32 44 32 48	Voisin.
4	e	23 19 08	Région Crète; D <sub>c</sub> = 18,0°; Az = 140°.
5	iPKP ei	10 06 29,5 07 41	Région des îles Loyauté. D <sub>c</sub> = 146,8°; Az = 41°.
5	eSg eL	12 28 29 28 36	Voisin.
8	eiP iS Lm	01 44 53 53 42 02 06,8	Petites Antilles. Magnitude: MSH = 7; MLH = 6 Praha. D <sub>c</sub> = 68,9°; Az = 270°. SH = 2,5 s, 2,5 μ; LmH: 15 s, 1 μ. e 01 45 36; e 45 51.
8	eSg iL	17 13 50 13 53	Voisin.
8	iPg iSg	19 09 28 09 32	Voisin.
9	e eS eiL	01 58 59 02 01 46 03 29	Grèce. Magnitude 4,7 Praha. D <sub>c</sub> = 14,8°; Az = 157°. LmH: 11 s, 2,8 μ. e 01 59 59; e 02 02 39; Lm 04 30.



Date	Phase	h m s	Remarques
11	eiP X eL Y Lm	04 31 27 36,2 37,4	Turquie. Magnitude $4\frac{3}{4}$ Praha. $D_c = 17,3^\circ$ ; $Az = 138^\circ$ . LmH: 8 s, 1,5 $\mu$ . ei 04 31 37; e 33 18.
12	X e Y iL	03 44 51 44 55	Voisin.
15	X ePg Y iL	11 41 14 41 17	Voisin.
16	Y eP	01 43 24	Iles Aléoutiennes. $D_c = 77,9^\circ$ ; $Az = 3^\circ$ . e 01 44 25.
16	Y iL	08 02 17	Voisin.
16	Y eL	13 00 13	Voisin.
16	ePg X eX <sub>1</sub> Y eX <sub>2</sub> Y iSn Y iSb <sub>2</sub> Y iSg Y iL	18 11 05 11 20 11 30 11 47 12 12,8 12 24 12 29,6	Roncourt Moselle, France. $D = 5,2^\circ$ ; $D_c = 5,5^\circ$ ; $Az = 264^\circ$ .
18	ePKP epPKP	22 42 12 44 04	Iles Fidji. $D_c = 147,3^\circ$ ; $Az = 22^\circ$ . e 22 43 14; e 44 31; e 46 26.
22	iP ePP eiS iSS eL	05 22 45 25 56 33 00 38 40 52,2	C. Japon. Magnitude: MPV = 7,2; MLH = 7,6 Praha. $D = 83^\circ$ ; $D_c = 82,8^\circ$ ; $Az = 39^\circ$ . PV: 2 s, 2,9 $\mu$ ; LmM: 17 s, 250 $\mu$ . i 05 23 25; i 23 38; i 35 05; i 36 48; e 39 40; e 42 22; e 44 00; Lm 53,0; Lm 06 01,5; Lm 02,5; W 08 21 00.
22	X e	07 42 05	Traces.
22	X eSg Y eL	11 57 42 57 45	Voisin.
24	iP ePP	05 20 49 23 25	Japon. $D_c = 80,8^\circ$ ; $Az = 40^\circ$ , e 25 21 29; e 21 45; e 26 53.
24	iP ePP eiS	20 01 31,5 02 39,5 06 34	Açores. Magnitude: MSH = 6,4; MLH = 5,8 Praha. $D = 31^\circ$ ; $D_c = 29,5^\circ$ ; $Az = 260^\circ$ ; SH: 9 s, 5,2 $\mu$ ; LmH: 13 s, 6 $\mu$ .

Date	Phase	h m s	Remarques
	X eiS Y iSS Y eL	20 06 34 08 24 09	e 20 02 21,5; Lm 12,5.
26	X eSn Y eSg	05 38 30 39 09	Apeninn ligure, Italie. $D_c = 6,2^\circ$ ; $Az = 212^\circ$ . e 04 39 18; e 39 44.
26	eP	11 42 55	Turquie. $37^\circ N$ ; $29,5^\circ E$ ; H = 11 38 55 (USCGS). $D_c = 17,4^\circ$ ; $Az = 135^\circ$ .
27	X i	01 28 03	Voisin. eL 01 28 07.
27	eiP X e	03 40 28 41 50	Région de l'île Jan Mayen $71\frac{1}{2}^\circ N$ ; $2^\circ W$ ; H = 03 35 29 (USCGS). $D_c = 23,0^\circ$ ; $Az = 347^\circ$ ; e 03 42 48.
27	X i	11 49 05,7	Voisin.
28	X i	10 00 36,2	Traces.
29	iP iPP iS Y Lm	23 29 24 29 52 33 20,4 38,6	Atlantique du Nord. Magnitude: MPH = 5,8; MSH = 5,8; MLH = 6,1 Praha. $D = 21,7^\circ$ ; $D_c = 21,0^\circ$ ; $Az = 354^\circ$ . PH: 4 s, 2 $\mu$ ; SH: 6 s, 8,2 $\mu$ ; LmH: 10 s, 6,2 $\mu$ ; LmH: 7s, 7,2 $\mu$ . i 23 30 43; Lm 41,8.
30	eiPKP <sub>1</sub> iPKP <sub>2</sub>	18 29 27 29 55	Iles Kermadec. $D_c = 158,8^\circ$ ; $Az = 33^\circ$ . e 18 31 06.
30	eP eS Q R X Rm	20 50 59 21 00 48 18,0 22,0 25,5	Japon. Magnitude: MLH = $6\frac{1}{4}$ Praha. $D = 78^\circ$ ; $D_c = 76,8^\circ$ ; $Az = 35^\circ$ . LmH: 20 s, 14,5 $\mu$ . e 20 51 21.
30	iP eS Q X R X Lm X Lm X Lm	22 28 29,2 38 36 54 56,5 23 00,5 02 03,8	Réplique du précédent. Magnitude: MSH = 6,4; MLH = 6,7 Praha. $D = 81^\circ$ ; $D_c = 76,6^\circ$ ; $Az = 35^\circ$ . SH: 7 s, 1,1 $\mu$ ; LmH: 20 s, 31 $\mu$ ; LmH: 20 s, 38 $\mu$ ; LmH: 15 s, 20 $\mu$ . e 22 30 40.
31	X e X iSg X eL	14 11 14 11 47 11 50	Voisin.



Date	Phase	h m s	Remarques
4	X eL	11 57 03	Voisin.
6	X eSg	11 58 17	Voisin.
6	X eSg	12 19 44	Voisin.
6	X Lm	15 23	Iles Aléoutiennes. Magnitude 6,3 Praha. $D_c = 78,6^\circ$ ; Az = $6^\circ$ . LmH: 20 s, 2,8 $\mu$ .
7	X eSg	07 51 10	Alpes carniques. $D_c = 3,6^\circ$ ; Az = $194^\circ$ .
	X eL	51 20	
7	✓ iP	09 50 27	S. E. C. Pérou. Magnitude: MPH = 7,3; MPV = 7,3; MPPH: = 7,1; MSH = 7,4; MLH = 7,2 Praha. D = $100^\circ$ ; $D_c = 96,8^\circ$ ; Az = $274^\circ$ . PH: 5 s, 0,5 $\mu$ ; 10 s, 2,1 $\mu$ ; PV: 10 s, 11 $\mu$ ; PPH: 10 s, 3,2 $\mu$ ; PPV: 4 s, 1,3 $\mu$ ; SH: 10 s, 6,6 $\mu$ ; PSH: 11 s, 10,2 $\mu$ ; LmH: 30 s, 68 $\mu$ ; LmH: 20 s, 37 $\mu$ ; LmV: 20 s, 44 $\mu$ . e 09 54 00; e 54 17; e 59 55; e 10 01 53; Lm 24,2; Lm 31,5.
	✓ eiPP	54 41	
	✓ ePPP	56 57	
	✓ eSKS	10 01 03	
	✓ eiS	01 46	
	X ePS	03 05	
	✓ eSS	08 27	
	✓ eSSS	13 50	
	X eL	31,5	
	X e	20 11 34	
7	X Lm	16 25	Grèce. Magnitude $4\frac{1}{2}$ Praha. $D_c = 13,2^\circ$ ; Az = $158^\circ$ . LmH: 12 s, 1 $\mu$ . e 20 13 29; e 14 21.
8	✓ eP	01 18 16	Océan Atlantique. Magnitude 5,6 Praha. $D_c = 27,7^\circ$ ; Az = = $286^\circ$ . LmH: 17 s, 7 $\mu$ . e 01 11 00; e 12 41; Lm 18,0.
	X eL	17,0	
8	X eL	11 51 33	Voisin.
8	X eSg	13 00 30	Voisin.
9	X eL	04 03 02	Voisin.
9	X iPg	12 22 17,4	Voisin.
	X iL	22 22	
9	X eL	12 34 25	Voisin.
10	X eSg	07 53 34	Italie. $D_c = 7,6^\circ$ ; Az = $185^\circ$ .
	X eL	53 58	
10	X e	12 59 01	Voisin. e 12 59 03; e 59 08.

Date	Phase	h m s	Remarques
11	X ePg	08 45 41	Explosion. $D_c = 13$ km.
	X eiSg	45 43	
11	✓ e	14 24 35	Mexique. $D_c = 90,7^\circ$ ; Az = $302^\circ$ .
14	✓ eP	22 36 28	Indes-Birmanie. $D_c = 64,4^\circ$ ; Az = $76^\circ$ . e 22 38 17; e 38 02.
	X e	38 34	
15	X iPg	00 46 49,1	Voisin.
	X iL	46 54,1	
15	✓ eP	04 11 01	Chine. Magnitude 6,1 Praha. $D_c = 45,5^\circ$ ; Az = $69^\circ$ . LmH: 5 s, 3,6 $\mu$ .
	X eL	26,6	
	X Lm	27	
15	X eL	05 42 30	Iles Sandwich. Magnitude 6,6 Praha. $D_c = 114,2^\circ$ ; Az = $202^\circ$ . LmH: 16 s, 7,2 $\mu$ .
	X Lm	49	
17	X ePn	01 54 46	Autriche. Magnitude 3,8 Praha. D = $1,9^\circ$ ; $D_c = 1,7^\circ$ ; Az = $157^\circ$ . LmH: 3 s, 3,6 $\mu$ .
	X ePg	54 51	
	X iSg	55 13,7	
	X Lm	55 16	
	X eL	55 16	
17	X eSg	02 04 27	Réplique.
	X eL	04 30	
17	✓ eP	12 15 19	Iles Aléoutiennes. Magnitude $6\frac{3}{4}$ Praha. $D_c = 78,5^\circ$ ; Az = $3^\circ$ . SH: 6 s, 2,4 $\mu$ . e 12 15 53; e 18 58.
	✓ iS	25 16	
21	X ePg	03 30 30	Voisin.
21	X ePg	12 01 57	Voisin.
	X eiSg	02 03	
21	X eiSg	13 01 04,5	Explosion. $D_c = 62$ km.
21	X ePg	18 58 30	Voisin.
	X iSg	58 43	
23	X eL	16 55,0	Iles Kouriles. Magnitude 5,7 Praha. $D_c = 75,1^\circ$ ; Az = $24^\circ$ . LmH: 15 s, 2,5 $\mu$ .
	X Lm	55,5	
24	X eSg	15 22 47	Voisin.
	X eL	22 50,5	



Date	Phase	h m s	Remarques
26	X iPg	10 30 01	Explosion. $D_c = 13$ km.
	X iSg	30 03,5	
	X L	30 05	
26	X e	22 32 10	Voisin.
	X eiL	32 13,2	
27	X e	10 00 40	Voisin.
	X eiL	00 45,5	

## Mars 1959

Date	Phase	h m s	Remarques
1	X eP	00 36 48	Océan Arctique. Magnitude: MPH = 6; MSH = 5,7 Praha. $D_c = 26,2^\circ$ . Az = $356^\circ$ . PH: 5 s, 1,1 $\mu$ ; SH: 8 s, 2,6 $\mu$ . e 37 13; e 41 00; Sm 41 32; Lm 49.
	X eS	41 25	
	X eSS	42 35	
1	X e	17 07 55	Nouvelle Guinée. Magnitude MLH = 7 Praha. $D_c = 109,2^\circ$ ; Az = $66^\circ$ . LmH: 20 s, 16,4 $\mu$ ; LmV: 18 s, 10 $\mu$ . Lm 17 50; Lm 56.
	X ePP	08 26	
	X ePS	17 47	
	X eSS	23 58	
	X eSSS	27 52	
	X eL	44	
1	X eSg	23 34 43	Voisin.
	X eL	34 46	
2	X eiP	15 59 15	Hindou-Kouch. $D_c = 42,6^\circ$ ; Az = $86^\circ$ . e 16 02 03.
	X epP	16 00 02	
	X eiPcP	01 08	
3	X ePg	14 37 28	Voisin.
	X eSg	37 32	
3	X eL	20 02 01	Voisin.
4	X eSg	12 00 21,5	Explosion. $D_c = 88$ km.
	X e	00 31	

Date	Phase	h m s	Remarques
4	X iPg	23 46 20	Voisin.
	X iSg	46 23	
	X Lm	46 31	
5	X eiPg	19 07 37,3	Voisin.
	X iSg	07 41,8	
	X Lm	07 43	
7	X eiSg	10 29 44,8	Explosion. $D_c = 13$ km.
8	X eSg	10 04 34,5	Explosion. $D_c = 59$ km.
	X iL	04 38,7	
8	X eSb <sub>1</sub>	11 22 17	Albanie. Magnitude: MLH = 4,3 Praha. $D_c = 10,4^\circ$ ; Az = $156^\circ$ . LmH: 8 s, 1,4 $\mu$ .
	X Lm	23,7	
9	X e	10 01 19	Explosion. $D_c = 54$ km.
	X eL	01 28	
9	X ePg	15 00 50	Voisin.
	X iL	01 06	
11	X i	15 29 26	Voisin.
	X i	29 31,2	
13	X e	10 00 38	Explosion. $D_c = 129$ km.
	X e	00 43	
13	X ePKP	16 59 50	Iles Tonga. $D_c = 149,9^\circ$ ; Az = $19^\circ$ .
13	X eP	19 12 19	Mer Egée. $D_c = 18,2^\circ$ ; Az = $146^\circ$ . e 19 12 44; e 13 35.
	X eiS	15 44	
13	X e	22 34 41	Traces.
14	X eSn	08 45 45	Yougoslavie. e 08 45 53; e 46 20.
14	X eSg	08 59 53	Explosion. $D_c = 20$ km.
14	X e	10 29 08	Voisin.
15	X ePg	22 56 35	Voisin.
	X eL	56 38,5	



Date	Phase	h m s	Remarques
✓ 17	eP iS ePS eL	08 38 00 48 19 - 49 04 09 11 00	Riou-Kiou. Magnitude MSH = 6,6; MLH = 6,7 Praha. D = 84°; D <sub>c</sub> = 83,8°; Az = 54°. LmH: 15 s, 18 μ; LmV: 15 s, 50 μ. e 08 40 12; Sm 48 23; e 09 12 57; Lm 19,5.
✓ 18	eP eS	00 54 01 01 04 20	Réplique. Magnitude MLH = 6 Praha. LMH: 14 s, 3,5 μ. e 01 04 50; Lm 35,5.
18	eSg eL	23 23 35 23 43	Jura Souabe. D <sub>c</sub> = 4°; Az = 236°.
✓ 19	eP iS eL	08 33 06 39 17 46 20	Océan Atlantique. Magnitude: MSH = 6,9; MLH = 5,7 Praha. D = 41°; D <sub>c</sub> = 39,1°; Az = 264°. SH: 5 s, 5 μ. Lm 08 49,5.
20	iSn iSg iL	10 00 50 00 53,8 00 55,2	Explosion. D <sub>c</sub> = 104 km.
✓ 21	eiPKP	04 46 07	Iles Fidji. D <sub>c</sub> = 147,7°; Az = 23°. ei 04 47 21.
21	eiSg iL	11 14 52 14 54,5	Explosion. D <sub>c</sub> = 33 km.
22	e eS Lm	22 40 11 42 21 43 56	Océan Atlantique. Magnitude: MLH = 4,5 Praha. D <sub>c</sub> = 12,3°; Az = 255°. e 22 40 14; ei 43 08; iLg 43 36; LMH: 9 s, 3,1 μ.
24	eSn eiSb <sub>1</sub> eSg	10 27 09 27 35 28 00	Italie. D <sub>c</sub> = 6,8°; Az = 199°. eiL 10 28 26.
27	e	12 01 33	Explosion. D <sub>c</sub> = 73 km. i 12 01 35,5.
✓ 28	iPKP epPKP <sub>1</sub> eisPKP <sub>2</sub>	20 05 53,5 07 50 09 35	Iles Fidji. D <sub>c</sub> = 148,5°; Az = 23°. e 20 06 44; ei 07 15.

Date	Phase	h m s	Remarques
✓ 1	eP ePPP eL	00 41 15 42 59 52	Océan Atlantique. Magnitude MLH = 5,5 Praha. D <sub>c</sub> = 35,2°; Az = 242°; LmH: 15 s, 4,8 μ. e 00 42 00; Lm 57.
2	eL Lm	04 42,2 44,8	Turquie. Magnitude MLH = 4,7. D <sub>c</sub> = 14,9°; Az = 127°. LmH: 13 s, 2,8 μ.
2	eSg	15 14 54	Explosion. D <sub>c</sub> = 3,0°; Az = 281°.
3	e	12 00 01	Traces.
3	e iL	22 05 46 05 49	Voisin.
4	e	09 45 53	Voisin.
5	ePn eiPx iPg iX <sub>1</sub> iSn iSg	10 49 48 49 52,5 50 25,7 50 50 51 12 52 00	Alpes occidentales, France. Magnitude MLH = 5,25 Praha. D = 7,3°; D <sub>c</sub> = 7,5°; Az = 226°. LmH: 7 s, 6,1 μ. e 10 50 08; eL 52 17; Lm 52 50.
5	eX <sub>1</sub> eX <sub>2</sub> eSn eSx iSb <sub>2</sub> iL	18 15 00 15 08 15 23 15 29 15 38 15 54	Région frontière Hongrie-Croatie. D = 4,5°; D <sub>c</sub> = 4,5°; Az = 165°. i 18 15 59; Lm 16 34.
7	eSg eL	09 25 51 25 53,5	Voisin. D = 28 km.
✓ 8	eiPKP ipPKP	08 21 12 21 48	Région îles Tonga. D <sub>c</sub> = 146,1°; Az = 14°. e 08 22 13.
9	ePg eSg eL	09 00 52 00 52,5 00 57,5	Voisin. Lm 09 01 02.
9	eL	10 29 40,5	Voisin.
✓ 10	ePKP eiPKP	06 06 23 09 00	Iles Fidji. D <sub>c</sub> = 153,1°; Az = 31°.



Date	Phase	h m s	Remarques
✓	eisPKP eiPP	06 09 22 10 29	i 06 06 32.
10	e iL	12 59 36 59 43	Voisin.
11	iPg iSg iL	11 00 22,6 00 26 00 29	Voisin.
12	eP ePP eSKS eS ePPS	10 07 39 11 08 18 01 18 22 20 08	Mexique. $D_c = 88,4^\circ$ ; $Az = 298^\circ$ . e 10 09 40; e 10 28.
12	ePKP ePP Lm	21 13 43 17 02 22 16	Iles Samoa. Magnitude MLH = 6,5 Praha. $D_c = 145,0^\circ$ ; $Az = 13^\circ$ . LmH: 20 s, 7,5 $\mu$ . e 21 14 20; e 15 34.
14	e	07 00 35	Voisin. e 07 00 37; e 00 50.
14	eiP ePcP	07 31 50 32 02	Alaska. $D_c = 72,3^\circ$ ; $Az = 353^\circ$ . e 07 32 23.
15	eiSn iSg iL	13 00 50 00 52 00 54	Voisin.
15	i	20 46 05,5	Voisin.
16	eiPKP <sub>1</sub> ePKP <sub>2</sub> epPKP <sub>1</sub>	07 46 25 46 48 48 41	Iles Fidji. $D_c = 151,0^\circ$ ; $Az = 30^\circ$ .
16	eiPg iSg	12 31 40 31 42,5	Voisin.
17	eSg eL	11 59 36 59 45	Voisin.
17	eL	12 00 10	Explosion.
19	eP ePP	09 04 15 05 05	Turquie. $D_c = 22,5^\circ$ ; $Az = 107^\circ$ .

Date	Phase	h m s	Remarques
19	e	15 15 09	Alaska. $D_c = 71,2^\circ$ ; $Az = 353^\circ$ . e 15 15 57.
19	ei	17 32 59	Traces. i 17 33 02,5; ei 33 13,3.
19	eP eS eL	17 42 05 44 26 45 03	Grèce. $D_c = 13,6^\circ$ ; $Az = 159^\circ$ . e 17 42 38; e 47 31.
19	eSn eSb <sub>2</sub> eSg eL	21 31 23 31 54 32 15 32 22	Alpes occidentales, France. $D = 8^\circ$ ; $D_c = 7,5^\circ$ ; $Az = 226^\circ$ . e 21 32 29.
21	eSn iSg iL	21 55 22 55 40,5 55 49	Alpes carniques. Données peu concordantes. e 21 55 32; e 55 36; e 55 57.
22	eP e	11 06 57 07 09	Iles Aléoutiennes. $D_c = 75,5^\circ$ ; $Az = 0^\circ$ . e 11 07 19.
22	e	11 59 21	Voisin. e 11 59 25.
22	e	12 12 31	Voisin.
23	e iL	14 37 42 37 46	Voisin.
24	eL	13 00 09	Explosion. $D_c = 96$ km.
24	ePKP <sub>1</sub> ePKP <sub>2</sub> ePP eSKS eL	18 18 03 18 37 22 17 24 45 19 25	Iles Kermadec. Magnitude MLH = 6,6 Praha. $D_c = 158,8^\circ$ ; $Az = 31^\circ$ . LmH: 17 s, 5,7 $\mu$ . e 18 19 18; e 21 02; Lm 42.
25	eP eS Lm	00 30 34 33 52 36 35	Turquie. Magnitude: MPH = 6; MLH = 6,3 Praha. $D = 17^\circ$ ; $D_c = 17,0^\circ$ ; $Az = 138^\circ$ . PH: 5 s, 3 $\mu$ ; LmH: 10 s, 17,5 $\mu$ . e 00 30 55; e 31 48; e 32 31; e 34 21.
25	eP eS Lm	01 09 37 13 01 15 30	Réplique. Magnitude: MPH = 5,7; MLH = 5,0 Praha. $D = 17^\circ$ ; $D_c = 17,0^\circ$ ; $Az = 138^\circ$ . PH: 3 s, 0,8 $\mu$ ; LmH: 8 s, 2,7 $\mu$ . e 01 09 57; e 11 37; e 13 27.



Date	Phase	h m s	Remarques
25	eiPn	09 00 48	Explosion. $D_c = 125$ km.
	eiSn	01 05	
	eL	01 12	
25	iPg	15 44 43	Voisin.
	iSg	44 46	
	eiL	44 48	
25	eiSg	17 50 04	Suisse. $D_c = 4,7^\circ$ ; Az = $227^\circ$ .
	Lm	50 16	
25	iSn	22 48 04,3	Voisin.
	iSg	48 06,6	
	iL	48 08,4	
26	iPn	14 46 17,2	Alpes de Venétie. Magnitude: MLH = 5,2 Praha. $D = 3,5^\circ$ ; $D_c = 3,8^\circ$ ; Az = $197^\circ$ . PgH: 1,3 s, 1,7 $\mu$ ; SnH: 1 s, 2,4 $\mu$ . LmH: 2,5 s, 18,8 $\mu$ .
	iPb	46 25,4	
	iPg	46 32,4	
	iX <sub>2</sub>	46 46,7	
	iSn	46 58,9	
	iSg	47 17	
	Lm	47 25	
26	iP	20 52 47,2	Formose. Magnitude: MPH = 7,3; MPV = 7,3; MPPH = 7,3; MSH = 7,9; MLH = 7,3 Praha. $D = 81^\circ$ ; $D_c = 81,8^\circ$ . Az = $52^\circ$ . PH: 6 s, 4,6 $\mu$ ; PV: 6 s, 11 $\mu$ ; PPH: 6 s, 3,3 $\mu$ ; SH: 7 s, 36 $\mu$ ; SSH: 12 s, 15,5 $\mu$ ; LmH: 8 s, 25 $\mu$ . e 20 56 25; e 58 26; i 21 00 05; e 03 32; e 04 30; Lm 26,4.
	ipP	53 26	
	ePP	55 50	
	iS	21 02 52,8	
	iPS	03 44	
	eSS	08 50	
26	iPg	21 59 29	Voisin.
	iSg	59 33	
27	e	07 56 10	Voisin. i 07 56 13,8.
28	iPg	07 36 45	Voisin.
	iSg	36 49	
28	eP	11 22 29	Mexique. Magnitude: MSH = 7; MLH = 6,4, Praha. $D = 91^\circ$ ; $D_c = 89,3^\circ$ ; Az = $293^\circ$ . SH: 4,5 s, 1,4 $\mu$ ; SSH: 17 s, LmH: 19 s, 8,1 $\mu$ . e 11 24 25; Lm 12 03,5.
	ePP	26 00	
	eSKS	33 05	
	eS	33 23	
	ePS	34 40	
	eSS	39 15	
29	eL	56,0	Voisin.
	e	12 00 57	

719

Date	Phase	h m s	Remarques
1	eP	08 30 16	Iran. $D_c = 30,3^\circ$ ; Az = $103^\circ$ . e 08 32 46.
2	iPb	06 37 32	Région frontière Autriche — Yougoslavie. Magnitude: MLH = 5 Praha. $D = 3,3^\circ$ ; $D_c = 3,7^\circ$ ; Az = $182^\circ$ . LmH: 1 s, 2,3 $\mu$ ; LmV: 1 s, 1,2 $\mu$ . i 06 37 37; i 38 33; i 38 47.
	iPg	37 34	
	iX <sub>2</sub>	37 52	
	eiSn	38 03	
	iSb <sub>2</sub>	38 12	
	eiSg	38 17,5	
	iL	38 22	
3	e	07 15 39	Traces. e 07 18 37.
4	iP	07 27 11	C. Début perturbé par le changement des feuilles. Kamtchatka. Magnitude: PMV = 8,3; MPPH = 8,3; MSH = 8,3; MLH = 8,3 Praha. $D = 72,8^\circ$ ; $D_c = 73,2^\circ$ ; Az = $21^\circ$ . PE: 7 s, 14 $\mu$ ; PV: 1 s, 18 $\mu$ ; PCPE: 2 s, 22 $\mu$ ; PcPV: 2 s, 20 $\mu$ ; PPH: 2,5 s, 11,7 $\mu$ ; PPV: 2 s, 9 $\mu$ ; PPPH: 5 s, 13 $\mu$ ; SH: 7 s, 110 $\mu$ ; SV: 3 s, 10 $\mu$ ; PSH: 5 s, 24 $\mu$ ; PPSH: 7 s, 42 $\mu$ ; LmH: 25 s, 1200 $\mu$ ; LmV: 32 s, 1200 $\mu$ . i 07 27 56; i 29 24; i 29 46; i 32 27; i 41 35; Lm 57,2.
	iPcP	27 25	
	iPP	29 25	
	iPPP	32 05	
	iIS	36 33	
	iPS	36 58	
	iPPS	37 42	
ISS	41 00		
5	ePg	01 06 51	Voisin.
	eL	06 55	
5	eiPg	12 04 32	Voisin.
	eSg	04 45	
	eL	04 47	
5	e	13 44 40	Traces. e 13 45 02.
5	eP	19 15 51	Kamtchatka. Magnitude MLH = 6,4 Praha. $D_c = 72,6^\circ$ ; Az = $21^\circ$ . LmH: 12 s, 10,1 $\mu$ . Lm 19 48,5.
	ePP	18 36	
	e(PS)	26 11	
6	ePg	07 42 45	Voisin.
	eL	42 50	
6	e	12 38 27	Traces.
7	eL	01 05	Traces. Mer de Bismarck. $D_c = 119,5^\circ$ ; Az = $55^\circ$ . Lm 01 14.
7	e	08 00 26	Voisin.
7	e	11 58 04	Voisin.
	eL	58 07	



Date	Phase	h m s	Remarques
7	✓ iSg	22 46 41	Au NE de Trieste. e 22 47 24.
7	✓ iSg	22 56 40	Réplique. ei 22 57 22.
8	✓ iP ✓ e(PS) ✓ Lm	11 46 18 56 15 12 20	Kamtchatka. Magnitude MLH = 5,8 Praha. $D_c = 71,6^\circ$ ; Az = $21^\circ$ . LmH: 17 s, 2,9 $\mu$ . e 11 47 15; e 48 36.
8	✓ e	21 32 02	Mer Adriatique. $D_c = 6,7^\circ$ ; Az = $173^\circ$ ; e 21 32 11.
9	✓ i ✓ iL	04 31 09,5 31 14	Voisin.
10	✓ e	09 44 57	Traces.
12	✓ eP ✓ ePP ✓ eS ✓ eSS	05 09 08 11 41 18 38 23 00	Iles Commandeur. Magnitude: MSH = 6,1 Praha. $D_c = 73,0^\circ$ ; Az = $16^\circ$ . SH: 10 s; 1,4 $\mu$ . ei 05 09 52; Q 35,2; R 40,7; Rm 43,5.
12	✓ eiPg ✓ eiSg ✓ eiLm	05 33 14 33 17,5 33 21	Voisin.
12	✓ e	09 14 55	Traces. Mer Egée. $D_c = 11,6^\circ$ ; Az = $145^\circ$ . e 09 15 56.
12	✓ ePP ✓ iSKS ✓ eiS ✓ Lm	10 04 53 11 26 12 25 45	Argentine. Magnitude MLH = 6,6 Praha. $D_c = 101,2^\circ$ ; Az = $246^\circ$ . SKSH: 5 s, 1,9 $\mu$ ; SH: 5 s, 1,5 $\mu$ ; LmH: 20 s, 14 $\mu$ .
12	✓ eiPg ✓ iSg	12 31 30 31 35	Voisin. i 12 31 33,5; Lm 31 37.
12	✓ e	21 53 08	Iles Aléoutiennes. $D_c = 77,7^\circ$ ; Az = $7^\circ$ .
12	✓ iPg ✓ e	22 33 10 33 13	Voisin.
14	✓ e(P) ✓ Lm	00 58 59 01 04,5	Mer Egée. Magnitude: MLH = 4,5 Praha. $D_c = 11,9^\circ$ ; Az = $145^\circ$ . LmH: 7 s, 1,6 $\mu$ . ei 01 02 47; ei 03 14.
14	✓ iP ✓ iS ✓ Lm	06 40 51 44 04 46,8	Crète. Magnitude: MLH = 6,0 Praha. D = $17^\circ$ ; $D_c = 17,1^\circ$ ; Az = $150^\circ$ . LmH: 10 s, 34 $\mu$ . i 06 41 02.

Date	Phase	h m s	Remarques
16	✓ ePKP ✓ ePP ✓ eL	06 35 24 37 24 07 17	Nouvelle Bretagne. Magnitude: MLH = 6,9 Praha. $D_c = 122,9^\circ$ ; Az = $51^\circ$ . LmH: 22,5 s, 28 $\mu$ . Lm 07 28,5.
19	✓ eiP ✓ ePP ✓ Lm	15 25 43,5 27 28 44,5	Afghanistan. Magnitude: MLH = 5,4 Praha. $D_c = 43,0^\circ$ ; Az = $95^\circ$ . LmH: 7 s, 1,1 $\mu$ .
20	✓ ei ✓ eSg ✓ eL	14 44 08 44 53 45 05	Alpes occidentales. France. $D_c = 7,5^\circ$ ; Az = $226^\circ$ . ei 14 45 18,5; ei 45 26; e 45 48.
20	✓ e ✓ eL	16 41 06 41 47	Dodécanèse. $D_c = 16,0^\circ$ ; Az = $143^\circ$ .
20	✓ iP ✓ iPcP ✓ Lm	19 47 08 47 26,5 20 30	Iles Kouriles. $D_c = 77,5^\circ$ ; Az = $31^\circ$ . Disturbé par le suivant. e 19 47 38,5; ei 47 53,5; i 48 37,5.
20	✓ iP ✓ iPP ✓ eL	19 53 57,5 54 28 20 01 18	Georgie, Caucase, U. R. S. S. $D_c = 21,0^\circ$ ; Az = $105^\circ$ . Disturbé par le précédent. i 19 54 45; i 55 15; Lm 20 03,5.
21	✓ ePn ✓ iX <sub>1</sub>	10 21 11 21 15	Région à l'E de Cheb, vers $50^\circ\text{N}$ , $12^{23}/4\text{E}$ . H = 10 20,8 (BCIS). $D_c = 1,1^\circ$ ; Az = $267^\circ$ . i 10 21 40,5; i 21 54,5.
21	✓ eiSg ✓ iL	15 36 32 36 33,5	Explosion. $D_c = 13$ km.
22	✓ ei	08 31 58,5	Voisin. i 08 32 00.
24	✓ L ✓ Lm	13 30,5 31,5	Algérie. Magnitude: MLH = 4,7 Praha. $D_c = 15,4^\circ$ ; Az = = $210^\circ$ . LmH: 11,5, 1,6 $\mu$ .
24	✓ iP ✓ iP ✓ eiS ✓ eiPP ✓ ePPP ✓ eiSKS ✓ eiS ✓ iPS ✓ iSS ✓ eSSS	19 30 31 31 01 31 16,5 34 07,5 34 50 41 01,5 41 26 42 30 47 21 51 02	N. W. D. Mexique. Magnitude: MPH = 6,4; MSH = 7,5; MLH = 6,4 Praha. D = $90^\circ$ ; $D_c = 89,6^\circ$ ; Az = $297^\circ$ . PH: 7 s, 1,1 $\mu$ ; SH: 3 s, 15,5 $\mu$ ; LmH: 25 s, 15 $\mu$ ; LmH: 20 s, 11,2 $\mu$ ; LmH: 30 s, 12 $\mu$ . i 19 33 38; L 59; Lm 20 09; Lm 11,5; Lm 19.



Date	Phase	h m s	Remarques
26	<del>iP</del> <del>Lm</del>	04 25 20 58	Région Riou-Kiou. Magnitude: MLH = 6,5 Praha. $D_c = 82,0^\circ$ ; Az = $56^\circ$ . PV: 2 s, 2 $\mu$ ; LmH: 10 s, 1,7 $\mu$ .
26	<del>eP</del> <del>ePP</del>	06 43 45 45 31	Région frontière Afghanistan-Tadzhik, URSS $37,5^\circ$ N, $70^\circ$ E; H = 06 36 00 (USCGS). $D_c = 41$ ; Az = $95^\circ$ .
27	<del>iPn</del> <del>iPx</del> <del>iPg</del> <del>iX<sub>2</sub></del> <del>eiSn</del> <del>iSx</del> <del>eSg</del>	20 39 59,5 40 04,8 40 29,8 40 52 41 08,5 41 16,5 41 49	Hongrie. Magnitude: MLH = $4\frac{3}{4}$ Praha. D = $5,7^\circ$ ; $D_c = 6,4^\circ$ ; Az = $132^\circ$ . LmH: 5 s, 8,2 $\mu$ . eL 20 42 03; Lm 42,3.
28	<del>e</del> <del>eL</del>	15 34 51 34 57	Voisin. i 15 34 53,3.
29	<del>ePKP</del> <del>e</del>	11 02 20 03 03	Nouvelles Hébrides. $D_c = 143,2^\circ$ ; Az = $42^\circ$ . e 11 03 54.
31	<del>e</del> <del>eL</del>	09 26 53 26 55	Voisin.
31	<del>ePg</del> <del>eSg</del> <del>eL</del>	12 18 06 21 26 22 31	Roumanie. $D_c = 9,9$ ; Az = $110^\circ$ . e 12 18 47; e 22 04.

## Juin 1959

Date	Phase	h m s	Remarques
2	<del>Lm</del>	01 39,7	Japon. Magnitude: MLH = 5,9 Praha. $D_c = 80,6^\circ$ ; Az = $49^\circ$ . LmH: 15 s, 3 $\mu$ .
2	<del>e</del> <del>eL</del> <del>Lm</del>	02 50 29 03 25,0 27,5	Région îles Batan. Magnitude: MLH = 5,9 Praha. $D_c = 84,0^\circ$ ; Az = $65^\circ$ . LmH: 12 s, 2,2 $\mu$ .
2	<del>ePKP<sub>2</sub></del>	03 52 14	Îles Tonga. $D_c = 153,9^\circ$ ; Az = $21^\circ$ .

Date	Phase	h m s	Remarques
2	<del>eS</del> <del>eL</del> <del>Lm</del>	05 20 25 38,0 52 4	Région îles Batan. Magnitude: MSH = 5,7; MLH = 6,5 Praha. $D_c = 84,2^\circ$ ; Az = $66^\circ$ . SH: 7,5 s, 0,3 $\mu$ ; LmH: 15 s, 9,7 $\mu$ . Changement des feuilles.
2	<del>eSb<sub>2</sub></del> <del>eL</del>	10 05 32 06 01	Région du Monta Cargano, Italie. $D_c = 8,6^\circ$ ; Az = $173^\circ$ .
5	<del>iPg</del> <del>iSg</del>	15 29 50,2 29 52	Explosion. $D_c = 13$ km. iL 15 29 53,6.
6	<del>i</del>	09 32 03,2	Voisin. i 09 32 06,4.
7	<del>eP</del> <del>eS</del> <del>eL</del>	13 49 27 57 25 14 05	Océan Atlantique. Magnitude: MLH = 5,8 Praha. D = $58^\circ$ ; $D_c = 56,8^\circ$ ; Az = $220^\circ$ . LmH: 8 s, 0,55 $\mu$ . e 13 49 41; Lm 14 17.
8	<del>e</del>	12 00 07	Voisin. e 12 00 11; e 00 14.
9	<del>e</del>	19 57 50	Voisin. i 19 57 54.
10	<del>ei</del>	03 44 43	Voisin. ei 03 44 46.
10	<del>eP</del> <del>eS</del> <del>eL</del>	04 19 53 22 58 25 20	Crète. Magnitude: MLH = 4,5 Praha. $D_c = 16,1^\circ$ ; Az = $150^\circ$ . LmH: 7,5 s, 1 $\mu$ . Lm 04 26,8.
13	<del>eP</del> <del>e</del>	12 06 29 07 21	Turquie. $D_c = 19,7^\circ$ ; Az = $131^\circ$ .
13	<del>ePn</del> <del>iPx</del> <del>iPg</del> <del>iX<sub>2</sub></del> <del>iSn</del> <del>eSx</del> <del>iSg</del>	21 57 44 57 47 57 57 58 11 58 25 58 30 58 44	Alpes de Vénétie. Magnitude: MLH = 5,0 Praha. D = $3,5^\circ$ ; $D_c = 4,0^\circ$ ; Az = $196^\circ$ . SnH: 4 s, 1,44 $\mu$ ; SgH: 1 s, 1,4 $\mu$ ; LmH: 4 s, 18 $\mu$ ; LmV: 2 s, 10 $\mu$ . iL 21 58 48; Lm 58 52.
14	<del>eP</del> <del>ePP</del> <del>ePPP</del> <del>eSKS</del> <del>eS</del> <del>ePS</del> <del>eSS</del> <del>eSSS</del>	00 25 44 29 49 31 51 36 15 37 17 38 50 44 03 48 00	Bolivie. Magnitude: MPPH = 7,2; MLH = 7,2 Praha. D = $100^\circ$ ; $D_c = 101,0^\circ$ ; Az = $251^\circ$ . PPH: 4 s, 1,4 $\mu$ ; SKSH: 10 s, 32 $\mu$ ; SH: 10 s, 34 $\mu$ ; LmH: 20 s, 26,3 $\mu$ . e 00 34 47; eL 58; Lm 01 08.



Date	Phase	h m s	Remarques
14	<del>eX<sub>2</sub></del>	01 02 01	Répliques, Alpes.
	<del>eSn</del>	02 16	$D_c = 4,6^\circ$ ; $Az = 196^\circ$ .
	<del>iSx</del>	02 19	
	<del>eSb<sub>2</sub></del>	02 32	
14	<del>iPg</del>	03 23 24,5	Voisin.
	<del>iL</del>	23 29,0	
16	<del>ePg</del>	00 35 28	Bulgarie.
	<del>eSn</del>	36 32	$D_c = 10,2^\circ$ ; $Az = 138^\circ$ .
	<del>eSg</del>	37 55	
16	<del>ePx</del>	03 30 28	Yougoslavie. Magnitude: $MLH = 4,3$ Praha.
	<del>eiPg</del>	31 04	$D_c = 6,9^\circ$ ; $Az = 151^\circ$ . $LmH: 3$ s, $0,7 \mu$ .
	<del>eSg</del>	32 29	$i$ 03 31 32; $i$ 31 55; $Lm$ 32 43.
17	<del>i</del>	09 02 01,5	Traces.
17	<del>ePg</del>	12 34 41	Frontière Albanie—Yougoslavie. $D_c = 8,2^\circ$ ; $Az = 149^\circ$ .
	<del>iL</del>	36 47	$e$ 12 35 31; $e$ 36 02; $i$ 37 22.
17	<del>i</del>	13 00 33,6	Voisin. $i$ 13 00 38,2.
18	<del>eP</del>	15 43 03	Kamtchatka. Magnitude: $MSH = 6,5$ ; $MLH = 7,0$ Praha.
	<del>ePP</del>	45 48	$D = 74^\circ$ ; $D_c = 72,0^\circ$ ; $Az = 21$ .
	<del>eS</del>	52 27	$SH: 17$ s, $7 \mu$ ; $LmH: 15$ s, $111 \mu$ .
	<del>ePS</del>	53 02	$e$ 15 47 21; $e$ 53 35; $Lm$ 16 16 00.
	<del>eSS</del>	56 58	
	<del>eSSS</del>	16 00 30	
	<del>eL</del>	06	
19	<del>eiL</del>	09 00 05	Voisin.
19	<del>eiPg</del>	11 13 15	Voisin.
	<del>iSg</del>	13 19,6	
20	<del>eiP</del>	16 50 35	Océan Atlantique.
	<del>eS</del>	57 11	$D = 44,9^\circ$ ; $D_c = 43,6^\circ$ ; $Az = 272^\circ$ .
24	<del>eiPg</del>	10 30 03	Voisin.
	<del>eSg</del>	30 06	
24	<del>e</del>	12 51 33	Traces.
24	<del>ei</del>	13 17 12	Voisin.

Date	Phase	h m s	Remarques
25	<del>eP</del>	06 52 24	Islande. Magnitude $MPH = 6,0$ ; $MSH = 6,0$ ; $MLH = 5,5$
	<del>ePP</del>	53 05	Praha. $D = 27^\circ$ ; $D_c = 25,9^\circ$ ; $Az = 314^\circ$ . $PH = 6$ s, $1,1 \mu$ ;
	<del>eS</del>	57 08	$SH: 5$ s, $1,4 \mu$ ; $LmH: 15$ s, $5 \mu$ .
	<del>eL</del>	07 02 15	$e$ 06 54 11; $e$ 56 38; $e$ 59 19; $Lm$ 07 04.
25	<del>e</del>	15 01 29	Explosion. $D_c = 1,9^\circ$ .
26	<del>eP</del>	13 46 55	Roumanie. $D_c = 9,2^\circ$ ; $Az = 112^\circ$ .
27	<del>ePg</del>	18 00 19	Explosion.
	<del>eSg</del>	00 42	$D_c = 1,5^\circ$ .
	<del>eL</del>	00 51	
27	<del>eP</del>	19 19 44	Chine. Magnitude: $MLH = 6\frac{1}{4}$ Praha.
	<del>ePP</del>	21 24	$D_c = 44,6^\circ$ ; $Az = 75^\circ$ . $LmH: 7$ s, $8,3 \mu$ .
	<del>e(S)</del>	26 47	$e$ 19 23 07; $e$ 24 35; $e$ 30 02; $Lm$ 35 40.
	<del>eL</del>	31 20	
28	<del>ePKP</del>	20 01 56	Mer de Sawoe. Magnitude: $MLH = 5,7$ Praha.
	<del>ePP</del>	02 17	$D_c = 109,0^\circ$ ; $Az = 83^\circ$ . $LmH: 25$ s, $2,2 \mu$ .
	<del>Lm</del>	31	$e$ 10 03 31.

## Juillet 1959

Date	Phase	h m s	Remarques
1	<del>e</del>	17 58 06	Voisin.
	<del>iL</del>	58 09	
2	<del>e</del>	11 26 47	Voisin.
2	<del>e(PKP<sub>1</sub>)</del>	11 53 04	Iles Fidji. $D_c = 148,5^\circ$ ; $Az = 22^\circ$ .
	<del>ePKP<sub>2</sub></del>	53 33	$e$ 11 54 17.
3	<del>eSx</del>	05 00 48	Suisse.
	<del>eSb<sub>1</sub></del>	00 55	$D_c = 4,7^\circ$ ; $Az = 223^\circ$ .
	<del>iSg</del>	01 09,5	
	<del>eL</del>	01 18	
3	<del>ePg</del>	09 00 36	Explosion.
	<del>eSg</del>	00 42	$D_c = 1,0^\circ$ .
	<del>eL</del>	00 44	



Date	Phase	h m s	Remarques
3	<del>iSg</del> <del>eL</del>	15 02 43 02 46	Explosion. $D_c = 2,9^\circ$ ; $Az = 283^\circ$ .
3	<del>eSb<sub>2</sub></del> <del>eiSg</del> <del>eL</del>	16 04 13 04 16 04 24	Explosion.
3	<del>ePKP</del> <del>e(SKS)</del> <del>eiSS</del> <del>eSSS</del> <del>eL</del>	18 14 53 22 22 36 47 24,8 19 02	C. Nouvelles Hébrides. Magnitude: $MLH = 6,6$ Praha. $D = 144^\circ$ ; $D_c = 142,0^\circ$ ; $Az = 35^\circ$ . SKSH: 8 s, 6,4 $\mu$ ; LmH: 25 s, 10,4 $\mu$ . e 18 15 12; i 15 53; i 16 32; i 17 33; e 40 1; Lm 19 14.
4	<del>ePKP<sub>1</sub></del>	05 14 14	Iles Tonga. $D_c = 153,1^\circ$ ; $Az = 23^\circ$ . e 05 15 33.
4	<del>eSb<sub>2</sub></del> <del>eiL</del>	14 00 41 00 49	Explosion. $D_c = 2,2^\circ$ .
6	<del>epP</del> <del>esP</del> <del>ePP</del> <del>iSKS</del> <del>iS</del> <del>isSKS</del>	09 25 31 26 31 27 31 32 54 34 09 37 07	Argentine. $D_c = 101,4^\circ$ ; $Az = 242^\circ$ . SKSH: 5 s, 5,3 $\mu$ ; SH: 5 s, 2,7 $\mu$ . i 09 33 35. Perturbé par le suivant.
6	<del>iPP</del> <del>iSKS</del> <del>iS</del> <del>Lm</del>	09 40 41 46 06 47 16 10 09	Réplique. $D_c = 101,7^\circ$ ; $Az = 242^\circ$ . SKSH: 7 s, 10,8 $\mu$ ; SH: 5 s, 5,7 $\mu$ ; LmH: 15 s, 1 $\mu$ . e 09 43 07; i 46 45; e 49 32; e 51 07; e 53 25. Perturbé par le précédent.
7	<del>e</del> <del>iL</del>	15 56 27 56 31	Voisin.
8	<del>e</del> <del>iL</del>	02 48 03 48 12	Voisin.
9	<del>epP</del> <del>iPP</del> <del>e(sPP)</del> <del>iSKS</del> <del>iS</del> <del>eSS</del>	16 19 37 23 10,5 23 51 29 33 30 27 37 18	Chili—Bolivie. Magnitude: $MLH = 6,4$ Praha. $D_c = 100,9^\circ$ ; $Az = 251^\circ$ . LmH: 15 s, 3 $\mu$ . e 16 21 27; e 24 32; Lm 17 02,0.
10	<del>i</del> <del>iL</del>	11 58 13 58 20	Voisin. i 11 58 17.

Date	Phase	h m s	Remarques
11	<del>Lm</del> <del>Lm</del>	13 11 16	Océan Indien. Magnitude: $MLH = 6$ Praha. $D_c = 103,4^\circ$ ; $Az = 133^\circ$ . LmH: 15 s, 0,3 $\mu$ ; LmH: 18 s, 2,2 $\mu$ .
11	<del>i</del> <del>eL</del>	14 25 24,5 25 30	Voisin. i 14 25 26,2.
11	<del>eL</del>	19 49 45	Voisin.
12	<del>eiPKP</del>	00 43 27	Iles Fidji. $D_c = 148,3^\circ$ ; $Az = 22^\circ$ . e 00 43 51; e 43 55; e 44 40.
13	<del>iP</del> <del>ePP</del> <del>eS</del> <del>ePS</del>	12 40 48,5 43 54 50 42 51 22	Iles Andreanov. Magnitude: $MLH = 5,9$ Praha. $D = 80^\circ$ ; $D_c = 77,5^\circ$ ; $Az = 4^\circ$ . LmH: 18 s, 4 $\mu$ . e 12 41 06; e 42 15; i 43 16; Lm 13 22,5.
13	<del>i</del>	12 58 27,5	Voisin. i 12 58 29,5; ei 58 32; i 58 34,5.
13	<del>i</del>	18 52 34	Traces.
15	<del>iL</del>	03 44 38	Voisin.
15	<del>iSg</del>	23 28 17,5	Italie. $D_c = 3,8^\circ$ ; $Az = 198^\circ$ . iL 23 28 24,5; i 28 28,5.
16	<del>iSn</del> <del>eSg</del> <del>iL</del>	00 03 36,5 03 38 03 40,3	Voisin. Magnitude: $MLH = 3,9$ Praha. $D = 1,4^\circ$ ; SnH: 0,5 s, 0,3 $\mu$ ; LmH: 1 s, 0,6 $\mu$ .
16	<del>i</del>	03 38 46	Voisin. i 03 38 47,5.
16	<del>ei</del> <del>iL</del>	14 52 50 52 58,3	Voisin. i 14 42 53; i 52 56,5.
16	<del>eP</del>	15 29 37	Iles Aléoutiennes. $D_c = 79,6^\circ$ ; $Az = 11^\circ$ . e 15 29 59; e 30 33.
17	<del>i</del>	05 27 10	Voisin. i 05 27 14.
17	<del>ei</del> <del>eSn</del> <del>eSx</del> <del>eSb<sub>1</sub></del> <del>eSb<sub>2</sub></del> <del>iSg</del>	13 19 50 19 55 20 09 20 21 20 39 20 52	Hautes Alpes, France. $D_c = 7,6^\circ$ ; $Az = 225^\circ$ .
17	<del>i</del>	15 31 21,5	Explosion. $D_c = 13$ km. i 15 31 22; i 31 22,8.



Date	Phase	h m s	Remarques
18	eiP	20 07 36	N. E. D. Luçon, Philippines. Magnitude: MPH = 7; MPV = $7\frac{1}{4}$ ; MPPH = 7; MSH = $7\frac{1}{2}$ ; MLH = $6\frac{3}{4}$ Praha. D = 86,5°; D <sub>c</sub> = 88,2°; Az = 67°. PH: 5 s, 2,1 μ; PV: 2 s, 5 μ; PPH: 4 s, 1,4 μ; PPV: 3 s, 3 μ; SH: 5 s, 12,2 μ; LmH: 30 s, 25 μ. LmH: 15 s, 8,3 μ. e 20 07 58; e 30,5; Lm 47.
	ePP	10 58	
	iSKS	17 51	
	iS	18 08	
	iPS	19 10	
	eSS	24 00	
	eSSS	28,4	
	eL	30,5	
19	ePP	03 59 25	Sumatra. D <sub>c</sub> = 95,4°; Az = 92°. e 03 59 43.
19	eP	15 19 30	D. Pérou. Magnitude: MLH = 7,2 Praha. D = 99°; D <sub>c</sub> = 98,3°; Az = 257°. SKSH: 8 s, 17,2 μ; LmH: 18 s, 11,2 μ. e 15 24 27; e 27 35; Lm 16 03,5.
	epP	20 25	
	ePP	23 25	
	epPP	24 17	
	eiPPP	25 45	
	iSKS	29 50	
	eSKKS	30 25	
	eS	30 40	
	ePS	31 40	
	eSS	37 17	
	eSSS	38,9	
	eL	57	
20	e	02 57 20	Mer de Java. D <sub>c</sub> = 98,8°; Az = 89°. e 02 59 14.
	eipPP	59 41	
	iSKS	03 03 43	
	eSKKS	04 01	
	eS	04 40	
	epS	07 11	
20	e	17 12 53	Iles Fidji. D <sub>c</sub> = 150,8°; Az = 31°. e 17 14 08.
21	ePP	08 05 34	Nouvelles Hébrides. D <sub>c</sub> = 138,3°; Az = 42°. e 08 07 07.
21	i	14 56 42	Yougoslavie. D <sub>c</sub> = 6,1°; Az = 176°. e 14 57 29.
	iSb <sub>2</sub>	57 22	
	iSn	57 35	
	eL	57 40	
21	iL	15 50 05	Voisin.
21	e	16 13 33	Voisin. eL 16 13 35.
21	eL	16 59 49	Voisin.

Date	Phase	h m s	Remarques
22	iP	19 34 38	D. Mer d'Okhotsk. D = 78°; D <sub>c</sub> = 71,0°; Az = 25°. Magnitude: MPV = 7 Praha. PV: 1,5 s, 2 μ; LmH: 15 s; e 19 35 33; e 39 43; e 46 52; e 53 8. Wiechert horizontal n'a pas fonctionné.
	epP	36 45	
	ePP	37 24	
	esP	39 08	
	iS	43 04	
	eiScS	43 35	
	Lm	20 15	
22	e	23 22 40	Nouvelle Bretagne. D <sub>c</sub> = 122,9°; Az = 52°. e 23 24 10; e 27 35; e 29 43; e 33 56. Wiechert horizontal n'a pas fonctionné.
	eSKS	28 22	
	Lm	00 19	
23	e	15 17 20	Iles Tonga. D <sub>c</sub> = 153,0°; Az = 21°. e 15 17 50; e 18 30.
23	i	18 31 56,6	Voisin.
	iL	32 01	
24	eP	01 35 44	Californie. Magnitude: MLH = 6,1 Praha. D <sub>c</sub> = 82,4°; Az = 328°. LmH: 20 s, 5,7 μ. e 01 36 39; Lm 02 16.
	ePP	38 19	
	eS	45 28	
	ePS	46 10	
	eL	02 04	
24	i	11 59 26,5	Voisin. i 11 59 28,3; i 59 33,5.
	iL	59 34,7	
24	i	12 06 09,3	Traces.
24	i	12 39 50	Au Sud de Dresden — Allemagne. D <sub>c</sub> = 1,2°; Az = 359°.
	iPg	39 51,5	
	iSg	40 06	
	iL	40 08	
24	iPb	13 00 08	Explosion. D <sub>c</sub> = 118 km. e 13 00 20.
	iX <sub>1</sub>	00 13,5	
	iL	00 24,5	
24	iPg	18 31 12,5	Mines de Kladno. D <sub>c</sub> = 32 km.
	eX <sub>2</sub>	31 15	
	iSg	31 16,5	
	iPn	31 18,5	
	iL	31 23,4	
25	i	10 59 24,5	Traces.



Date	Phase	h m s	Remarques
25	✓ i	11 44 01	Voisin. ei 11 44 13.
26	iP ✓ eL	17 10 11,5 14 04	Turquie. Magnitude: MLH = 5,1 Praha. $D_c = 13,2^\circ$ ; Az = $= 129^\circ$ . LmH: 6 s, 3,9 $\mu$ . e 17 10 52; e 12 33; Lm 16,6.
27	✓ i ✓ iL	08 30 51 30 55	Voisin.
27	✓ i ✓ eL	17 27 15 27 22	Voisin. i 17 27 17.
29	✓ e ✓ iL	08 11 04 11 10	Voisin.
29	✓ i ✓ iL	09 56 30 56 34,5	Voisin.
29	✓ iL	13 26 05	Voisin.
31	✓ i	15 30 45,7	Explosion. $D_c = 13$ km. i 15 30 46,8. i 30 48,5.

## Août 1959

Date	Phase	h m s	Remarques
3	✓ e ✓ eL	10 08 38 08 43	Voisin. ei 10 08 49.
3	✓ i	18 02 49,5	Voisin. e 18 02 51; i 02 52.
4	✓ iPKP <sub>1</sub> ✓ eiPKP <sub>2</sub>	08 21 04 21 29	Iles Fidji. $D_c = 149,1^\circ$ ; Az = $23^\circ$ . ei 08 21 08.
4	✓ e ✓ eSg ✓ eL	09 08 36 08 39 08 41	Voisin.
4	✓ iSg	12 00 21	Voisin. i 12 00 28.
6	✓ iPg ✓ ei	02 12 17 12 22	Voisin. i 02 12 18,5

Date	Phase	h m s	Remarques
6	✓ i	16 13 16	Yougoslavie. $D_c = 6,4^\circ$ ; Az = $158^\circ$ .
7	✓ iPg ✓ iSg	02 12 17 12 22	Voisin. i 02 12 18,5.
7	✓ eS ✓ ePS	11 04 42 05 07	Région d'île Kodiak. Magnitude: MSH = 5,8 Praha. $D_c = 73,4^\circ$ ; Az = $354^\circ$ . SH: 5 s, 0,4 $\mu$ .
8	✓ i	11 45 34	Voisin. i 11 45 34,7; i 45 36.
9	✓ e	12 52 38	Traces. e 12 52 44.
9	✓ e	15 09 18	Traces.
11	✓ ePg ✓ iL	04 54 36 54 39,5	Voisin.
11	✓ iPg	09 13 48,7	Voisin. i 09 13 50,6; i 13 52,8.
11	✓ e	17 19 41	Voisin.
11	✓ ePb ✓ ePg ✓ eX <sub>1</sub> ✓ eSn ✓ eSb <sub>2</sub>	23 30 44 31 34 32 02 32 39 33 37	Yougoslavie. Magnitude: MLH = 4,2 Praha. $D_c = 10,6^\circ$ ; Az = $142^\circ$ . LmH: 8 s, 1,2 $\mu$ . Lm 23 34,6.
12	✓ iPKP ✓ eL ✓ Lm ✓ Lm	10 18 09,3 11 07 13,5 29	Iles Fidji. $16\frac{1}{2}^\circ$ S, $177\frac{1}{2}^\circ$ W; H = 09 58 22 (USCGS). Magnitude: MLH = $6\frac{1}{2}$ Praha. $D_c = 145,1^\circ$ ; Az = $20^\circ$ . LmH: 25 s, 13,4 $\mu$ ; LmH: 20 s, 5,4 $\mu$ . e 10 18 26; e 20 25; ei 20 41; e 23 40; e 31,5; e 32 47; e 33 54; e 36 14.
12	✓ iPg ✓ iSg ✓ iL	16 14 20 14 21 14 22,5	Voisin.
13	✓ eP ✓ eL	00 38 50 48 08	Mer Caspienne. $D_c = 25,7^\circ$ ; Az = $100^\circ$ . e 00 40 10.
14	✓ ePn ✓ eL	07 02 19 02 47	Explosion. $D_c = 1,6^\circ$ . e 07 02 53.



Date	Phase	h m s	Remarques
15	iP	09 09 30,5	Formose. Magnitude: MPPH = 7,3; MSH = 7,2; MLH = 7,2 Praha. $D = 84^\circ$ ; $D_c = 82,6^\circ$ ; $Az = 63^\circ$ . PPH: 4 s, 1,7 $\mu$ ; PPV: 4 s, 3 $\mu$ ; SH: 10 s, 10,5 $\mu$ ; LmH: 17 s, 110 $\mu$ ; LmH: 15 s, 100 $\mu$ . e 09 18 54; e 21 25; i 25 58; Lm 46,5; Lm 47,6.
	ePP	12 40	
	ePPP	14 47	
	iS	19 51,5	
	iPS	20 58	
	eSSS	28 27	
	eL	37,8	
16	i	03 02 52,6	Voisin.
	eL	02 55	
16	ePP	18 45 37,5	Grèce. Magnitude: MLH = 4,6 Praha. $D = 13,6^\circ$ ; $D_c = 14,0^\circ$ ; $Az = 151^\circ$ . LmH: 9 s, 1,7 $\mu$ . i 18 46 00; i 46 19; Lm 51,5.
	eS	48 06	
	eL	49 51	
17	ePn	01 35 38	D. Albanie. Magnitude: MLH = 6 Praha. $D = 8^\circ$ ; $D_c = 9,8^\circ$ ; $Az = 154^\circ$ . LmH, 15 s, 63 $\mu$ . i 01 38 12; Lm 40,3.
	iPb	36 14	
	ePg	36 35	
	eX <sub>2</sub>	37 11	
	eiSn	37 23	
	iSb <sub>1</sub>	38 08,5	
	iSg	38 24	
17	i	02 46 00	Voisin.
	iL	46 02,7	
17	eP	04 31 30	Réplique. Albanie. Magnitude: MLH = 5,1 Praha. $D_c = 9,8^\circ$ ; $Az = 154^\circ$ . LmH: 5 s, 4,3 $\mu$ . e 04 31 42; Lm 35.
	eSx	33 33	
	eSb <sub>1</sub>	33 51	
	eiSn	34 24	
	eL	34 47	
17	iPg	06 24 25	Voisin.
	iSg	24 27	
	iL	24 29,5	
17	ePKP	21 23 57	Iles Salomon. Magnitude: MPPH = 6,6, MLH = 7,1 Praha. $D = 128^\circ$ ; $D_c = 126,8^\circ$ ; $Az = 52^\circ$ . PPH: 11 s, 0,5 $\mu$ ; LmH: 30 s, 46 $\mu$ ; LmH: 15 s, 27 $\mu$ ; LmH: 17 s, 28 $\mu$ . e 21 24 01; i 26 43; ei 28 02; e 30 20; e 32 16; e 44,8. Lm 22 09,5; Lm 16,8; Lm 24.
	ePP	25 53	
	ePKS	27 24	
	eiSKS	31 29,5	
	eSS	43,4	
	eL	22 02	

Date	Phase	h m s	Remarques
18	iP	00 46 14	Formose. $D = 81^\circ$ ; $D_c = 83,5^\circ$ ; $Az = 63^\circ$ . e 00 46 57; e 47 39.
	eS	56 15	
	ePS	57 14	
	e(PPS)	58 05	
18	eP	06 48 55	D. Montana USA. Magnitude: MPV = 7,5 Praha; MLH = 7,5; MLH = 8,1 Praha. $D = 77,5^\circ$ ; $D_c = 74,5^\circ$ ; $Az = 323^\circ$ . PV: 3 s, 7 $\mu$ ; SH = 10 s, 20,6 $\mu$ ; PSH = 10 s, 34 $\mu$ ; PPSH = 10 s, 14 $\mu$ ; SSH: 25 s, 166 $\mu$ ; SSSH: 12 s, 37 $\mu$ ; LmH: 17 s, 595 $\mu$ . e 06 54 14; Lm 07 22,4. Wiechert horizontal perturbé par l'observateur.
	ePcP	49 09	
	iPP	52 04	
	iS	58 42	
	iPS	59 24	
	iPPS	59 40	
	eSS	07 03 45	
eiSSS	07 19		
18	eL	08,5	Réplique. Montana. Magnitude: MSH = 6,3; MLH = 6,2 Praha. $D_c = 74,5^\circ$ ; $Az = 323^\circ$ . SH: 5 s, 1,1 $\mu$ ; SSSH 10 s, 2,1 $\mu$ , LmH: 16 s, 7 $\mu$ . i 15 38 21, Lm 16 10,5.
	iP	15 37 47	
	eS	47 24	
	eSSS	56,0	
18	eL	16 02,5	Albanie. Magnitude MLH = 4 $\frac{1}{4}$ Praha. $D = 10^\circ$ ; $D_c = 9,8^\circ$ $Az = 157^\circ$ . LmH: 6 s, 1,3 $\mu$ . ei 22 10 14; e 10 28.
	iPn	22 06 28	
	ePb	07 04	
19	Lm	12,5	Carpathes. $D_c = 6,6^\circ$ ; $Az = 131^\circ$ . ei 15 37 10.
	ePg	15 34 10	
20	i	11 55 50,7	Voisin. i 11 55 53,8.
	i	11 55 50,7	
21	ePKP	08 23 01	Océan Indien. $D_c = 146,4^\circ$ ; $Az = 111^\circ$ . e 08 25 52; e 31 14.
	i	25 17	
21	ePKP	09 57 31	Océan Indien. $D_c = 146,4^\circ$ ; $Az = 110^\circ$ . e 09 58 02; e 58 40; e 10 02 06.
	eiPKS	10 01 15	
21	iL	11 58 48	Voisin.
	iL	12 29 41	
21	i	18 31 38,5	Voisin. i 18 31 41.
	i	18 31 38,5	
22	i	02 10 59,3	Voisin. i 02 11 01,5.
	i	02 10 59,3	
22	e	08 46 13	Voisin. i 08 46 16,5.
	e	08 46 13	
22	i	21 05 01,8	Voisin. i 21 05 05,3.
	i	21 05 01,8	



Date	Phase	h m s	Remarques
23	iP	22 25 56,5	Mer Méditerranée. Magnitude: MSH = 5,7; MLH = 5,2 Praha. D = 20,5°; D <sub>c</sub> = 19,6°; Az = 229°. SH: 7 s, 1 μ; LmH: 10 s, 4,5 μ. i 22 26 14; i 27 42; i 31 33; Lm 34,3.
	eS	29 44	
	iL	32 56	
24	eiPP	21 52 33,5	D. Iles Salomon. Magnitude: MLH = 6,9 Praha. D = 134°; D <sub>c</sub> = 131,9°; Az = 47°. LmH: 25 s, 18 μ; LmH: 20 s, 18 μ. ei 21 53 41; i 55 32; e 22 06 25; i 07 05; e 10,4; Lm 38,5; Lm 47,5.
	iSKKS	59 14	
	eiSS	22 09 35	
	eSSS	14,7	
	eL	25	
25	iPg	07 30 12	Explosion. D <sub>c</sub> = 0,6°. i 07 30 13,2; i 30 36.
	eSg	30 19	
	eL	30 30	
25	ePn	12 00 12	Albanie. D <sub>c</sub> = 9,9°; Az = 155°.
	eSn	02 02	
	iSg	03 18	
	eL	03 29	
26	iP	08 38 22	Vera Cruz. Magnitude: MPH = 6,6; MPV = 6,2; MSH = 7; MLH = 6,5 Praha. D = 89°; D <sub>c</sub> = 87,7°; Az = 295°. PH: 4 s, 0,5 μ; PV: 4 s, 0,7 μ; SH: 5 s, 2,6 μ; LmH: 20 s, 10,8 μ. Lm 09 19.
	ePP	41 45	
	ePPP	43 32	
	eS	49 05	
	ePS	49 44	
	eiSS	55,2	
	eL	09 02	
26	eP	10 39 28	D. Iles de la Reine Charlotte. Magnitude: MSH = 6,4; MLH = = 6,2 Praha. D = 76,5°; D <sub>c</sub> = 74,8°; Az = 339°. SH: 10 s, 2,7 μ; LmH: 25 s, 9 μ; LmH: 20 s, 6 μ. i 10 39 57; e 50 25; Lm 11 08,5; Lm 12.
	ePP	42 25	
	eiPPP	44 17	
	iS	49 09	
	eSS	54 12	
26	i	14 55 37,5	Voisin. i 14 55 38,8; i 55 40.
	eL	58,2	
26	ePg	16 22 48	Voisin. i 16 22 50.
	iSg	22 53	
	iL	22 54	
28	iP	00 04 01	Birmanie. D <sub>c</sub> = 65,8°; Az = 81°.

Date	Phase	h m s	Remarques
28	iPg	11 29 30	Explosion. D <sub>c</sub> = 32 km.
	iX <sub>1</sub>	29 32	
	iSg	29 33,3	
	iSn	29 36,1	
29	ei	07 45 13	Traces. i 07 45 20,5.
29	eP	17 12 32	C. Lac Baikal URSS. Magnitude: MPH = 6,4; MSH = 6,6; MLH = 7,1 Praha. D = 54°; D <sub>c</sub> = 53,3°; Az = 49°. PH: 8 s, 1,1 μ; PPPH: 5 s, 3,2 μ; SH: 12 s, 4 μ; PSH: 12 s, 10,1 μ; LmH: 15 s, 92 μ; LmH: 12 s, 134 μ. Lm 17 34,7; Lm 38,5.
	ePcP	13 30	
	iPP	14 57	
	iPPP	15 58,5	
	eS	20 05	
	iPS	20 27	
	iSS	24 11,5	
	eSSS	26,0	
30	eL	27,0	Mer Méditerranée. Magnitude: MLH = 5 Praha. D = 20,5°; D <sub>c</sub> = 19,9°; Az = 227°. LmH: 7 s, 1,5 μ. e 03 31 28.
	iP	03 29 21	
	eS	33 09	
30	Lm	37,5	Afghanistan. D <sub>c</sub> = 40,4°; Az = 88°. e 23 05 17; i 07 08.
	iP	23 04 48	
	iPcP	06 14,5	

## Septembre 1959

Date	Phase	h m s	Remarques
1	ePn	11 40 09	Albanie. Magnitude: MLH = 6,5; MSH = 6,6 Praha. D = 10°; D <sub>c</sub> = 9,8°; Az = 156°. SH: 12 s, 5 μ; LmH: 12 s, 130 μ. Lm 11 44,0.
	eSn	41 58	
	eL	42 48	
3	ePn	04 04 30	Albanie. D <sub>c</sub> = 9,9°; Az = 155°. e 04 08 22; e 09 32.
	eSg	07 32	
3	ePP	06 46 10	Célèbes. D <sub>c</sub> = 105,0°; Az = 80°. e 06 47 19.
	eSKS	52 23	
	ePS	55 11	
4	i	03 55 22,3	Voisin. i 03 55 25,3.



Date	Phase	h m s	Remarques
4	eSg	08 30 55	Explosion. $D_c = 1,6^\circ$ .
4	eP	08 38 20	Bade — Allemagne. $D = 5,3^\circ$ ; $D_c = 4,5^\circ$ ; $Az = 256^\circ$ .
	eSn	38 38	i 08 39 47.
	eSb	39 08	
	eiSg	39 23	
	iL	39 28	
4	eSn	11 02 50	Albanie. $D_c = 9,8^\circ$ ; $Az = 156^\circ$ .
	e(Sb <sub>1</sub> )	03 26	
	eSb <sub>2</sub>	03 54	
	eSg	04,1	
4	eiPg	11 59 17,7	Explosion. $D_c = 20$ km. i 11 59 29,7; ei 59 41,5.
4	ePg	16 19 37	Albanie. $D_c = 9,8^\circ$ ; $Az = 156^\circ$ .
	eSb <sub>2</sub>	21 24	
4	eP	18 36 55	Océan Atlantique. $D_c = 60,8^\circ$ ; $Az = 225^\circ$ .
	e	38 14	
5	eSS	16 07 02	Ile Halmahera. $D_c = 104,6^\circ$ ; $Az = 70^\circ$ .
	eSSS	11 25	e 16 09 16; e 13 11.
7	eL	09 00 29	Voisin.
9	e	14 59 29	Voisin.
10	eSg	00 06 11	Piemont. Italie. $D_c = 6,7^\circ$ ; $Az = 226^\circ$ .
10	eSg	12 18 34	Voisin.
	eiL	18 37,5	
10	eSg	13 16 12	Explosion. $D_c = 62$ km. e 13 16 41.
10	eP	14 04 09	Turquie. $D_c = 24,0^\circ$ ; $Az = 111^\circ$ .
11	eiS	10 00 50	Voisin.
	eL	00 53	
11	eiSg	14 21 12	Voisin.
	eL	21 16,5	

Date	Phase	h m s	Remarques
12	eL	02 43	Mer de Bismarck. Magnitude: $MLH = 6\frac{1}{4}$ Praha.
	Lm	57,5	$D_c = 117,9^\circ$ ; $Az = 57^\circ$ .
	Lm	03 02	LmH: 22 s, 5 $\mu$ ; LmH: 27 s, 6 $\mu$ .
12	e	04 07 33,5	Voisin. e 04 07 36.
12	eLg	07 12 17	Voisin.
12	eP	21 27 42	Hindou-Kouch. $D_c = 42,7^\circ$ ; $Az = 86^\circ$ .
	epP	28 13	e 21 27 53.
	esPP	30 22	
13	e	08 40 46	Voisin.
14	ePKP <sub>2</sub>	13 36 03	Iles Tonga. $D_c = 152,7^\circ$ ; $Az = 22^\circ$ .
14	ePKP <sub>1</sub>	14 29 38	Iles Kermadec. Magnitude: $MLH = 7\frac{3}{4}$ Praha; $MPPH = 6,9$ Praha.
	ePKP <sub>2</sub>	29 58	$D_c = 157,0^\circ$ ; $Az = 27^\circ$ . PPH: 9 s, 2,4 $\mu$ ; LmH: 22 s, 63 $\mu$ ;
	ePP	33 43	LmH: 20 s, 77 $\mu$ .
	ePPP	37 50	e 14 29 49; e 30 32; e 31 06; e 34 02; e 34 23; i 44 48;
	eSKKKS	41 35	Lm 15 46,7.
	eL	15 36,7	
14	eiSg	16 29 09	Voisin. i 16 29 13,5.
14	ePKP <sub>2</sub>	17 26 44	Iles Kermadec. Réplique. Magnitude $MLH = 6\frac{1}{4}$ Praha.
	ePP	30 19	$D_c = 157,4^\circ$ ; $Az = 27^\circ$ . LmH: 20 s, 3,3 $\mu$ .
	Lm	18 34	e 17 26 59; e 28 00.
15	ePKP <sub>2</sub>	06 20 00	Iles Kermadec. $D_c = 157,0^\circ$ ; $Az = 28^\circ$ . e 06 20 10.
15	ePKP <sub>2</sub>	06 38 24	Iles Kermadec. $D_c = 157,1^\circ$ ; $Az = 27^\circ$ .
15	iPKP <sub>1</sub>	11 24 18	Iles Fidji. $D_c = 149,8^\circ$ ; $Az = 26^\circ$ .
	eiPKP <sub>2</sub>	24 27	i 11 24 20,5; ei 25 32; i 28 58; e 33 37; e 34 41.
	eiPP	28 17	
16	e	11 14 29	Traces.
16	e	12 42 39,7	Voisin. i 12 42 43.
16	e	22 23 44	Voisin. i 22 23 47,6.
17	e	08 15 38,5	Voisin. i 08 15 42,3.



Date	Phase	h m s	Remarques
17	X e	12 00 26	Voisin. e 12 00 34.
17	Y e	12 35 30	Voisin.
17	Y ei	15 24 58,5	Voisin. ei 15 25 02,5.
19	Y ei	20 43 18,7	Voisin. e 20 43 22.
20	Y i	12 35 34,1	Voisin. i 12 35 37.
24	Y e	00 15 26	Voisin. i 00 15 30.
24	X ei	11 59 44,2	Voisin. i 11 59 48,8.
25	Y iP	02 49 24	Formose. $D_c = 83,9^\circ$ ; $Az = 63^\circ$ . ei 02 49 36; e 50 08; e 50 26.
25	Y e	13 30 11	Traces.
26	Y eP	08 33 16	Orégon. Magnitude MLH = 6 Praha.
	Y eS	43 38	$D_c = 81,2^\circ$ ; $Az = 334^\circ$ . LmH: 16 s, 4,4 $\mu$ .
	Y Lm	09 11,5	e 08 35 05.
26	X e	18 48 04	Traces. Epicentre probable: Tirol.
	Y e	48 07	e 18 48 13; e 48 17.
26	Y ei	19 05 33,7	Voisin. i 19 05 43.
29	Y ePKP <sub>2</sub>	15 52 30	Iles Kermadec. Magnitude MLH = 6 $\frac{1}{2}$ Praha.
	Y eSKS	59 07	$D_c = 157,5^\circ$ ; $Az = 26^\circ$ . LmH: 15 s, 2,2 $\mu$ ; LmH: 12 s, 4 $\mu$ .
	Y e	16 02 55	Lm 17 11,0; Lm 20.
30	X Lm	17 10,5	Méditerranée. Magnitude MLH = 4 $\frac{3}{4}$ Praha. $D_c = 19,5^\circ$ ; $Az = 228^\circ$ . LmH: 8 s, 1,1 $\mu$ .

Date	Phase	h m s	Remarques
4	X e	09 56 51,5	Voisin. e 09 56 54; e 56 56.
5	Y eP	18 35 38	Océan Arctique. Magnitude MLH = 5 $\frac{1}{4}$ Praha.
	Y eiPP	37 10	$D_c = 41,6^\circ$ ; $Az = 10^\circ$ . LmH: 10 s, 1,5 $\mu$ .
	Y iPPP	38 17	Lm 18 54.
	Y e(SS)	44 43	
	Y iSSS	46 23	
	Y eL	50,1	
5	Y iPn	20 36 31	Albanie. Magnitude MLH = 5 Praha.
	Y ePx	36 41	$D = 9,6^\circ$ ; $D_c = 9,8^\circ$ ; $Az = 157^\circ$ .
	Y eiPg	37 31	LmH: 7 s, 8,7 $\mu$ .
	Y eiSn	38 19,5	
	Y iSb <sub>1</sub>	38 55,6	
	Y eSb <sub>2</sub>	39 07	
	Y eiSg	39 36	
	Y iL	40 02	
7	Y iPn	08 33 07	D. N. E. République Albanie. Magnitude MLH = 5 $\frac{1}{2}$ Praha.
	Y iPg	33 52	$D = 8,9^\circ$ ; $D_c = 9,8^\circ$ ; $Az = 156^\circ$ . LmH: 6 s, 20,6 $\mu$ .
	Y iX <sub>2</sub>	34 14	i 08 33 23; e 35 20; Lm 36,6.
	Y iSn	34 55	
	Y eSb <sub>2</sub>	35 48	
	Y iSg	36 05	
7	X e	18 17 11	Voisin.
	Y iSg	17 13	
	Y iL	17 15	
7	Y ePn	21 24 38	Albanie. République. $D_c = 9,8^\circ$ ; $Az = 156^\circ$ .
	Y ePg	25 21	
8	X eSn	07 24 38	Albanie. République.
	Y iSg	26 11	e 07 27 30.
9	X e	11 59 52	Voisin.
	Y eL	59 57	e 11 59 55.
9	Y ePn	13 58 14	Explosion. $D_c = 47$ km.
	Y eSg	58 15	
10	Y eX <sub>1</sub>	16 14 47	Albanie. $D_c = 10,7^\circ$ ; $Az = 159^\circ$ .
	Y eX <sub>2</sub>	15 23	
	Y eSb <sub>2</sub>	16 30	
	Y eSg	16 47	



Date	Phase	h m s	Remarques
12	eP ePP eS eiPS	03 34 29 37 31 44 50 45 34	Sumatra. $D = 84^\circ$ ; $D_c = 84,6^\circ$ ; $Az = 95^\circ$ . e 03 38 36.
13	eSb iSg	00 36 06 36 23	Apennin ligure. $D_c = 6,0^\circ$ ; $Az = 215^\circ$ .
14	i	12 45 39,3	Voisin. i 12 45 40.
15	eP ePP eiPPP eiSKS eiPS eiSS eSSS eL	06 29 23 33 32 35 33 40 03 43 12 48 17 52,6 07 02,5	C. Célèbes. Magnitude MPPH = 7,0; MLH = 6,6 Praha. $D = 100^\circ$ ; $D_c = 99,8^\circ$ ; $Az = 77^\circ$ . PPH: 6 s, 1,1 $\mu$ ; LmH: 20 s, 13,4 $\mu$ . i 06 34 12; i 41 07; Lm 07 13,5.
16	eL	12 00 14	Voisin.
17	e iL	01 50 07 50 13,5	Voisin. i 01 50 09,7; ei 50 12.
17	i iL	07 13 56 14 00	Voisin.
17	iPg	14 57 31,1	Explosion. $D_c = 10$ km.
17	i iL	18 10 17,5 10 22	Voisin.
17	e iL	23 21 06 21 10	Voisin.
19	eP e	02 58 51 59 14	Iles Kouriles. $D_c = 77,2^\circ$ ; $Az = 32^\circ$ . e 03 00 24.
19	iL	10 16 04	Voisin.
19	eL Lm	16 43 54,5	Iles Sandwich. Magnitude MLH = $6\frac{1}{4}$ Praha. $D_c = 110,7^\circ$ . $Az = 205^\circ$ ; LmH: 20 s, 5,3 $\mu$ .
19	iL	17 27 47	Voisin.

Date	Phase	h m s	Remarques
24	eP ePcP eSS	23 48 04 50 05 57 15	Kirghizie, URSS. $D_c = 38,4^\circ$ ; $Az = 81^\circ$ .
26	iP iPP ePPP iS ePS eSS eSSS eL	07 47 29 50 43 52 23 57 48 58 40 08 03 12 06 43 17	C. W. Japon. Magnitude: MPH = 6,9; MPV = 6,9; MPPH = 7; MSH = 6,9; MLH = 7 Praha. $D = 83^\circ$ ; $D_c = 81,6^\circ$ ; $Az = 39^\circ$ . PH: 4 s, 1,2 $\mu$ ; PV: 2 s, 1,2 $\mu$ ; PPH: 5 s, 1,5 $\mu$ ; PPV: 5 s, 0,9 $\mu$ ; SH: 10 s, 5,6 $\mu$ ; LmH: 15 s, 33 $\mu$ . e 07 47 59; e 48 18; e 08 04,6; Lm 26,7.
27	iP eisP eS eSKS ePS eSS e(SSS) eL	07 04 37,5 05 22 14 24 14 43 15 15 19,5 23,4 28	C. N. E. Iles Kouriles. Magnitude: MPH = 6,8; MPV = 6,6; MLH = 7,0 Praha. $D = 78^\circ$ ; $D_c = 77,5^\circ$ ; $Az = 23^\circ$ . PH: 3 s, 1 $\mu$ ; LmH: 20 s, 78 $\mu$ ; LmV: 20 s, 120 $\mu$ . e 07 04 53; e 05 45; ei 17 34; e 20,9; Lm 42,8.
31	iPKP	04 46 03	Iles Fidji. $D_c = 145,1^\circ$ ; $Az = 21^\circ$ .
31	iPg iSg iL	07 59 45 59 48 59 51	Explosion. $D_c = 20$ km.

## Novembre 1959

Date	Phase	h m s	Remarques
2	eLm	21 15,5	Nouvelle Bretagne. Magnitude: MLH = 6,2 Praha. $D_c = 122,7^\circ$ ; $Az = 54^\circ$ ; LmH: 22 s, 4 $\mu$ .
3	iPP Lm	09 58 17 10 45	Java. Magnitude: MLH = $5\frac{3}{4}$ Praha. $D_c = 102,4^\circ$ ; $Az = 85^\circ$ . LmH: 20 s, 1,8 $\mu$ .
6	eL	07 42 54	Traces.



Date	Phase	h m s	Remarques
8	eP e(PP) eS eL	14 06 45 09 10 16 21 36 10	Japon. Magnitude: MLH = $6\frac{3}{4}$ Praha. D = 76°; D <sub>c</sub> = 75,2°; Az = 37°. LmH: 15 s, 21,6 μ. Lm 14 40,5.
9	eSg	10 59 19	Voisin. e 10 59 22; ei 59 26.
10	e	18 04 41	Voisin. e 18 04 42.
10	e	18 53 24	Voisin. e 18 53 28.
10	eP eL	21 05 40 25,7	Tibet. D <sub>c</sub> = 54,2°; Az = 74°.
11	e	12 45 06	Voisin.
12	iPg eSg	00 54 57,2 55 08	Voisin.
15	e	10 04 19	Voisin. ei 10 04 24.
15	eP ePP eSS eL	10 33 17 35 11 43 15 49 35	Tadjikistan. URSS. D <sub>c</sub> = 43,6°; Az = 81°. SSH: 7 s, 0,6 μ.
15	iP iS iL Lm	17 11 47 14 07 15 21 18	C. N. W. Grèce. Magnitude: MPH = 7,2; MPV = 7,0; MSH = 7,2; MLH = 6,8 Praha. D <sub>c</sub> = 13,0°; Az = 158°. PH: 10 s, 7,5 μ; PV: 3 s, 1,5 μ; SH: 10 s, 25,5 μ; LmH: 14 s, 359 μ. LmV: 7 s, 125 μ.
16	eiP eL	10 31 28 55 40	Océan Atlantique. Magnitude: MLH = $5\frac{3}{4}$ Praha. D <sub>c</sub> = 60,2°; Az = 229°. LmH: 15 s, 2,8 μ. e 10 33 00; e 33 53.
17	e	12 19 45	Voisin. e 12 19 47; ei 19 50.
18	e	08 16 49	Traces. e 08 17 08.
19	ePP ePPP e(PS) eSS eL	11 28 59 31 22 39 10 45 20 12 06 45	Nouvelle Guinée. Magnitude: MLH = 7 Praha. D <sub>c</sub> = 119,8°; Az = 59°. LmH: 20 s, 18 μ. e 11 30 20; Lm 12 12,5.

Date	Phase	h m s	Remarques
19	eP eL	14 03 52 08 17	Turquie. Magnitude: MLH = $5\frac{1}{4}$ Praha. D <sub>c</sub> = 14,1°; Az = 138°. LmH: 10 s, 6,7 μ. e 14 04 03; e 05 09; e 06 02; Lm 10,8.
21	eX <sub>2</sub> eSn eSg	10 00 45 00 52 01 02	Explosion. D <sub>c</sub> = 197 km.
22	iPKP <sub>1</sub> epPKP	19 53 27,6 55 40	Iles Fidji. D <sub>c</sub> = 149,9°; Az = 30°. e 19 53 54; e 54 44.
23	iSg	20 56 21,6	Voisin. i 20 56 26,3; Lm 56 27.
25	ePg iSg iPn iSn	09 19 52 19 54,5 19 57 20 02	Voisin. D = 32 km.
26	ei e(PP) eSKS eS eL	07 20 08 23 12 29,7 30,4 08 45	Sumatra. Magnitude: MLH = $6\frac{1}{4}$ Praha. D <sub>c</sub> = 92,9°; Az = 94°. LmH: 20 s, 5,3 μ.
26	eP eSKS eSKKS eS	23 22 53 33 35 33 40 34 09	Sumatra. Magnitude: MSH = $6\frac{1}{4}$ ; MLH = $6\frac{3}{4}$ Praha. D <sub>c</sub> = 93,3°; Az = 95°. SH: 10 s, 2,3 μ; LmH: 17 s, 9,5 μ. e 23 23 10; e 23 55; e 24 03; e 24,48; e 46 10; Lm 00 08 10.
27	eP ei(S) Lm	00 25 32 28 34 34 10	Péloponèse. Magnitude: MLH = 5 Praha. D <sub>c</sub> = 13°; Az = 159°. LmH: 9 s, 3,3 μ. e 00 26 23; i 27 52; e 29 23; ei 29 56.
27	e	11 58 46	Voisin. i 11 58 53.
28	ePS Lm	13 03 23 38	Chili. Magnitude: MLH = 5,8 Praha. D <sub>c</sub> = 109,0°; Az = 248°. LmH: 16 s, 1,5 μ.
28	iX <sub>1</sub> eSg iL	11 30 28,2 30 40,5 30 44,5	Allemagne. D <sub>c</sub> = 1°.
30	eP e(PPP) ePcS eS eL	11 21 08 24 14 26 42 27 42 33 21	Chine. Magnitude: MLH = 6,7 Praha. D <sub>c</sub> = 43,8°; Az = 71°. LmH: 6 s, 14,5 μ. Lm 11 36 20.



Date	Phase	h m s	Remarques
1	<del>eiP</del>	12 41 51	Grèce. Magnitude: MLH = $5\frac{1}{4}$ Praha. $D_c = 12,8^\circ$ ; Az = $159^\circ$ ; LmH: 10 s, 8,6 $\mu$ ; LmH: 8 s, 7,8 $\mu$ . i 12 42 58; i 45 39; i 46 54.
	<del>iL</del>	45 57	
	<del>Lm</del>	47,6	
	<del>Lm</del>	48,5	
2	<del>iPP</del>	09 52 18	Célèbes. Magnitude: MLH = $6\frac{1}{4}$ Praha. $D_c = 102,6^\circ$ ; Az = $76^\circ$ . LmH: 30 s, 6 $\mu$ ; LmH: 23 s, 7,6 $\mu$ . i 09 55 45; i 57 11; Lm 10 27; Lm 37.
	<del>iSKS</del>	58 41	
	<del>iPS</del>	10 01 33	
	<del>eSSS</del>	11,3	
	<del>eL</del>	18	
2	<del>iPn</del>	18 21 30,6	Yougoslavie. Magnitude: MLH = 4,5 Praha. $D_c = 5,5^\circ$ ; Az = $172^\circ$ ; LmH: 5 s, 5,2 $\mu$ . Lm 18 23,7.
	<del>iPx</del>	21 32,6	
	<del>eiPb</del>	21 49,7	
	<del>iPg</del>	21 58	
	<del>iX<sub>1</sub></del>	22 08	
	<del>iSn</del>	22 29,7	
	<del>iSb<sub>1</sub></del>	22 48,8	
	<del>iSb<sub>2</sub></del>	22 54	
	<del>iSg</del>	23 06	
3	<del>i</del>	11 59 33	Voisin. i 11 59 35; i 59 39; i 59 40.
3	<del>iSg</del>	14 39 17	Voisin. iL 14 35 20.
4	<del>iSg</del>	12 55 48	Explosion. $D_c = 57$ km.
	<del>iL</del>	55 51	
4	<del>iSg</del>	14 59 57	Voisin. iL 15 00 01,5.
4	<del>iSg</del>	21 41 02	Voisin. iL 21 41 05.
6	<del>iSg</del>	02 38 00,5	Voisin. iL 02 38 03,2.
7	<del>iSg</del>	15 00 55,5	Voisin. iL 15 10 59,5.
8	<del>i</del>	00 21 43,5	Voisin. iL 00 21 46.
8	<del>i</del>	09 09 59	Voisin. iL 09 10 03.
8	<del>iP</del>	13 39 01	Caucase. $D_c = 21,8^\circ$ ; Az = $102^\circ$ . ei 13 39 06; ei 46 24; e 49 01.
	<del>eS</del>	43 14	
8	<del>i</del>	14 11 15	Voisin. i 14 11 47.
8	<del>i</del>	19 48 59	Voisin. i 19 49 02.

Date	Phase	h m s	Remarques
9	<del>iP</del>	16 58 29	Turquie. $D_c = 21,6^\circ$ ; Az = $114^\circ$ . e 16 59 15.
9	<del>iPg</del>	21 13 43,5	Kladno. $D_c = 32$ km.
	<del>iSg</del>	13 47	
10	<del>i</del>	16 11 12	Voisin. iL 16 11 15.
11	<del>i</del>	08 11 59	Traces. e 08 12 35.
11	<del>iPg</del>	12 00 47	Explosion. $D_c = 80$ km. i 12 01 03.
	<del>eSg</del>	00 57	
11	<del>i</del>	16 47 03	Voisin. i 16 47 08.
14	<del>iL</del>	13 00 17	Voisin.
14	<del>iP</del>	22 12 54	Iles Aléoutiennes. Magnitude: MLH = 6 Praha. $D_c = 77,5^\circ$ ; Az = $1^\circ$ . LmH: 16 s, 3,9 $\mu$ . e 22 13 26; e 13 53; e 20 44; Lm 52.
	<del>eS</del>	22 38	
	<del>eL</del>	46	
14	<del>ePKP</del>	23 40 34	Iles Sandwich. Magnitude: MLH = 7,1 Praha. $D_c = 115,5^\circ$ ; Az = $201^\circ$ . LmH: 20 s, 32 $\mu$ . i 23 43 07; i 49 31; i 50 30.
	<del>Lm</del>	00 25	
15	<del>iX<sub>2</sub></del>	23 04 30	Italie. $D_c = 6,5^\circ$ ; Az = $201^\circ$ . e 23 04 38; e 05 23; i 05 42.
	<del>iSb<sub>1</sub></del>	05 03	
	<del>iSg</del>	05 26	
	<del>iL</del>	05 35	
21	<del>eP</del>	11 27 50	Golfe d'Aden. Magnitude: MSH = 7; MLH = $6\frac{1}{2}$ ; MPH = = 6,6 Praha. D = $47^\circ$ ; $D_c = 47,8^\circ$ ; Az = $127^\circ$ . PH: 5 s, 0,9 $\mu$ ; SH: 8 s, 10,4 $\mu$ ; LmH: 13 s, 20,7 $\mu$ . Lm 11 55,5.
	<del>ePP</del>	29 46	
	<del>eS</del>	34 43	
	<del>ePS</del>	34 59	
	<del>eSS</del>	38 24	
	<del>eL</del>	43,5	
27	<del>eP</del>	16 04 17	Kamtchatka. Magnitude: MLH = 7 Praha. D = $72^\circ$ ; $D_c = 70,6^\circ$ ; Az = $19^\circ$ . LmH: 14 s, 34,2 $\mu$ . Lm 16 40,5.
	<del>eiPcP</del>	04 21	
	<del>eS</del>	13 28	
	<del>eL</del>	26 40	
28	<del>eP</del>	07 32 12	Kamtchatka. Magnitude: MLH = $6\frac{1}{2}$ Praha. D = $75,5^\circ$ ; $D_c = 73,4^\circ$ ; Az = $21^\circ$ . LmH: 14 s, 16,5 $\mu$ . Lm 08 10,5.
	<del>eS</del>	41 42	
	<del>eL</del>	59,5	
28	<del>eL</del>	13 48 15	Kamtchatka. Réplique.



OBSERVATIONS SÉISMQUES  
DE LA STATION SÉISMOLOGIQUE  
DE CHEB EN 1959\*)

*K. Holub*

Appareils:

- I = Pendule Mainka, masse 450 kg, amortissement d'air, composante N, enregistrement mécanique  
II = Belar-Zlatorog, masse 1 kg, amortissement magnétique, composante E, enregistrement photographique  
III = Séismomètre à torsion, système modifié Anderson-Wood, masse 4 g, amortissement magnétique, composante N, enregistrement photographique

Coordonnées des appareils:

$\varphi = 50^{\circ}04'46''$  N       $\lambda = 12^{\circ}22'34''$  E      h = 430 m

Sous-sol:

Strates tertiaires 30 m, phyllites

Constantes 1959

Mois	Appareil	C <sup>te</sup>	Z <sub>1</sub> (s)	V <sub>0</sub>	r/T <sub>1</sub> <sup>2</sup> (mm/s <sup>2</sup> )	$\varepsilon : 1$	Vitesse de l'inscription
Janvier-Février	I	N	14	108	0,002	3,6	14 mm/min.
Janvier	II	E	10	138		1,3	7 mm/min.
Février-Mai	II	E	10	138		1,9	
Mars	I	N	14	102	0,002	10	
Avril	I	N	14	102	0,002	19,3	
Mai	I	N	14	102	0,002	19	
Juin	I	N	12,6	102	0,003	3,8	
	II	E	10	138		1,8	
Juillet	I	N	13	102	0,003	5	
Juillet-Septembre	II	E	10	138		1,9	
Août	I	N	13	167	0,001	3,7	
Septembre	I	N	13	167	0,001	3,9	
Octobre	I	N	13,3	167	0,002	4,9	
Octobre-Décembre	II	E	10	138		1,8	
Novembre-Décembre	I	N	13	168	0,002	5,2	

Instrument à torsion

Mois	Appareil	C <sup>te</sup>	T <sub>1</sub> (s)	V <sub>0</sub>	$\varepsilon : 1$	Vitesse de l'inscription
Janvier	III	N	2	1400	1,7	30 mm/min.
Février	III	N	2	1400	1,2	
Mars	III	N	2	1400	1,3	
Avril	III	N	2	1400	2	
Mai	III	N	2	1400	2,6	
Juin	III	N	3	1400	1,8	
Juillet	III	N	2	1400	1,7	
Octobre-Décembre	III	N	2	1400	2,5	

\*) La station a été surveillée par M. K. Siebert.



Date	Phase	h m s	Remarques
1	e	02 39 58	Traces. Yougoslavie. $D_c = 4,5^\circ$ . eiL 02 40 09, Lm 40 12.
2	iP iLg	05 22 16,0 25 34,5	A.-W. Bretagne (France). $D = 11^\circ$ ; $D_c = 11,9^\circ$ ; i 05 33 24,5, i 23 59, i 25 10,5, Lm 26,0.
5	eiPKP ei	10 06 27,5 06 52,5	Faible. Région îles Loyauté. $D_c = 147,2^\circ$ .
16	eiPn eiPg iSb iSg	18 10 22 10 37 11 21 11 33	France. $D = 4,1^\circ$ ; $D_c = 4,0^\circ$ ; eiX <sub>1</sub> 18 10 45. eiX <sub>2</sub> 10 54.
22	eP ePP ePPP eiS eSS eSSS eL	05 22 50 26 02 27 57 33 06 38 15 42 03 53,9	Japon. $D_c = 82,0^\circ$ . e 05 25 43, e 32 58, e 35 41, e 37 27, Lm 57, Lm 06 02. LmH: 17 s, 94 $\mu$ . LmN: 16 s, 170 $\mu$ .
24	eiP eN eiE } S	20 01 15 06 18 06 20	Açores. $D = 31^\circ$ ; $D_c = 28,7^\circ$ . ei 01 25, e 08 12, eiL 09,5.
26	e eiPg ei(Sn)	05 37 16,5 37 35,5 38 15,5	Apennin figure. $D = 5^\circ$ ; $D_c = 5,7^\circ$ . ei 47 43.
27	eiP	03 40 30	Jan Mayen. $D_c = 21,9^\circ$ . ei 40 41; ei 41 15,5.
29	eiP eiS eL	23 29 17 33 12 37	Atlantique du Nord. $D = 21^\circ$ ; $D_c = 21,1^\circ$ . ei 23 30 13, Lm 38,2, LmN: 16 s, 9 $\mu$ .
30	eiPKP	18 29 36	Traces. Îles Kermadec. $D_c = 159,6^\circ$ . e 18 29 58.
30	eP eL	20 51 02 21 18,5	Japon. $D_c = 77,8^\circ$ . e 20 56 55, Lm 21 24. LmH: 16 s, 15 $\mu$ .
30	e Q	22 38 22 55,6	Réplique. Japon. Qm 22 59,2, Rm 23 03. QmH: 22 s, 28 $\mu$ . RmH: 16 s, 10 $\mu$ .

Date	Phase	h m s	Remarques
5	eiP	01 16 10,0	Traces. Alaska. $D_c = 73,1^\circ$ . ei 16 23.
7	eiP eiPP eiS eiPS	09 50 20,5 54 22 10 01 38 03 06	Pérou. $D = 97^\circ$ ; $D_c = 95,9^\circ$ . ei 09 50 33,5, e 56 40, e 58 23, ei 10 01 30, eSS 08 13, eSSS 12,2, eL 16,5. LmH: 21 s, 12 $\mu$ .
7	Lm	20 17	Traces. Crête. $D_c = 13,8^\circ$ .
8	eiP eS eL	01 08 09,5 12 34,5 16,1	Océan Atlantique. $D = 25,5^\circ$ ; $D_c = 26,4^\circ$ . e 01 09 27, e 10 30, ei 12 49, Lm 19,3. LmN: 16 s, 5 $\mu$ .
15	ePKP eL	05 01 59 42,5	Faible. Îles Sandwich. $D_c = 113,6^\circ$ . e 05 04 31, Lm 47.
17	ePg eSn	01 55 15 55 34	Autriche. $D = 2,7^\circ$ ; $D_c = 2,6^\circ$ . eiSb 01 55 38, ei 55 42, eiSg 55 45,5, Lm 55 50.
26	e	07 27 36,5	Traces. e 07 27 46, e 27 56, e 28 17.
27	eP	21 09(11)	P int. min. manquent. Riou-Kiou. $D_c = 84,6^\circ$ . ei 21 09 32, ei 11 49.

## Mars 1959

Date	Phase	h m s	Remarques
1	eiP Lm	00 36 50,5 50	Océan Arctique. $D = 26^\circ$ ; $D_c = 26,8^\circ$ . ei 00 37 28,5. ei 38 30, ei 42 43, ei 44 26, LmN: 9 s, 2 $\mu$ .
1	ePP Q	17 00 30 41,7	Nouvelle Guinée. $D_c = 110,5^\circ$ . ei 17 12 45,5. Qm 45, Rm 49. QmN: 30 s, 42 $\mu$ . RMH: 22 s, 41 $\mu$ .
17	eiS eiPS	08 48 30 49 11	Riou-Kiou. $D_c = 84,8^\circ$ . e 08 51 50, eL 09 09,5. LmN: 22 s, 18 $\mu$ .
18	eiP	00 54 03	Faible. Riou-Kiou. $D_c = 85,0^\circ$ . e 55 43, eL 01 36.
19	eiP eiS	08 32 52 38 52,5	Océan Atlantique. $D = 39,5^\circ$ ; $D_c = 37,8^\circ$ . ei 08 39 49, eL 43, Lm 44,5. LmN: 16 s, 6 $\mu$ .



Date	Phase	h m s	Remarques
22	e	22 42 14	Traces. Océan Atlantique. $D_c = 11,3^\circ$ . ei 22 42 37, e 43 20.
28	iPKP	20 05 50	Iles Fidji. $D_c = 148,8^\circ$ . ei 20 05 59,5; ei 06 50, ei 07 33.

## Avril 1959

Date	Phase	h m s	Remarques
1	iP ei } S ei }	00 40 59,0 46 18,4 46 24	Iles Canaries. $D = 33^\circ$ ; $D_c = 33,7^\circ$ . ei 00 41 11, e 43 24, e 47 27, Lm 51,3. LmN: 17 s, 5 $\mu$ .
5	iPn iPg eiSn iSg	10 49 26 50 00 50 40,5 51 26	Alpes occidentales. $D = 6,6^\circ$ ; $D_c = 6,8^\circ$ . i 10 49 54, eiE 50 58, iL 51 38, Lm 52 10.
5	eiPn eiPg eiSn eiSg	18 14 40 15 10 15 41,5 16 12	Région frontière Hongrie-Croatie. $D = 5,2^\circ$ ; $D_c = 5,1^\circ$ . eiX <sub>1</sub> 18 15 20,5, eL 16 36, Lm 17,5.
8	iPKP eipPKP	01 43 20 44 50	Région îles Kermadec. $D_c = 160,2^\circ$ . ei 43 24, ei 42 40.
12	eiP eipP eisP eSKS eiS	10 07 34,5 07 57,5 08 14 17 53,5 18 11	Mexique. $D = 88,5^\circ$ ; $D_c = 87,4^\circ$ . ei 10 10 59, e 15 33, ePS 19 28, e 19 54, Lm 50,3.
12	eiPKP ePKS	21 13 42,5 17 13	Région îles Samoa. $D_c = 145,8^\circ$ . ei 21 14 02, e 17 35.
15	eiP	19 23 00	Faible. Kamtchatka. $D_c = 73,4^\circ$ . e 19 23 19.
19	eiPg eiSb eiSg	21 30 12,5 31 25,5 31 46	Alpes occidentales. $D = 7,1^\circ$ ; $D_c = 6,8^\circ$ . ei 30 25, ei 30 44,5.
24	(e)PKP ePP eL	18 18 02 22 03 19 25	Iles Kermadec. Faible. $D_c = 159,7^\circ$ . e 18 21 42, e 23 25, e 40 06, Lm 41,5. LmE: 19 s, 5 $\mu$ .

Date	Phase	h m s	Remarques
25	iP iS eL	00 30 47,5 34 10 36,5	Turquie. $D = 18^\circ$ ; $D_c = 17,6^\circ$ . ei 00 31 12, ei 32 19, ei 35 21, Lm 38,4. LmN: 11 s, 10 $\mu$ .
25	eiP eS	01 09 53 13 17	Réplique. ei 01 10 42, e 14 24, eL 15,7, Lm 17,5. LmN: 10 s, 3 $\mu$ .
26	iPn iPg	14 46 14 46 26,5	Alpes de Vénétie. $D = 3,4^\circ$ ; $D_c = 3,6^\circ$ . i 14 46 37, iSn 47 00,8, iSg 47 10, Lm 57 20.
26	eiP eipP eisP eiPP eipPP i } S i }	20 52 49,5 53 53 54 32,5 56 32 57 33 21 02 59,5 03 00,5	h = 250–300 km ca. Formose. $D = 86^\circ$ ; $D_c = 82,2^\circ$ . ei 03 45, eisS 07 47, ei 05 54, eSS 08,5, eL 17,8, Lm 26, e 39 24, e 41 29, eL 53, Lm 55,5. LmN: 21 s, 5 $\mu$ .

## Mai 1959

Date	Phase	h m s	Remarques
2	ePn iPg iSb iSg	06 37 21,5 37 34,0 38 23 38 40	Frontière Autriche–Yougoslavie. $D = 4^\circ$ ; $D_c = 3,9^\circ$ . ei 06 37 26,5, e 37 47, i 38 15,5, Lm 38 42.
4	iP ei(PP) iS eiPS eiSS Q R	07 27 13 30 15 36 32,5 36 58 41 08 49,2 52	Kamtchatka. $D = 72^\circ$ ; $D_c = 73,9^\circ$ . ei 07 33 18,5, Sm 36 40, Qm 50,5, Rm 53,4. SmH: 6 s, 86 $\mu$ ; QmN: 60 s, 1300 $\mu$ ; RmN: 46 s, 1700 $\mu$ .
5	eP	19 15 53	Faible. Kamtchatka. $D_c = 73,4^\circ$ . e 19 18 16, eL 39,5, Lm 4,85. LmN: 16 s, 4 $\mu$ .
7	ei eiSg ei	22 46 43,5 46 50 47 10	Faible. Au NE de Trieste. $D_c = 4,5^\circ$ .



Date	Phase	h m s	Remarques
7	<del>e</del> <del>eiSg</del> <del>ei</del>	22 56 41 56 47 56 54,6	Faible. Réplique.
8	<del>eiP</del> <del>eS</del>	11 46 18 55 44	Kamtchatka. $D = 73,5^\circ$ ; $D_c = 73,3^\circ$ . e 11 47 05, e 56 02.
10	<del>eiP</del>	00 09 04	Faible. Iles Kouriles. $D_c = 78,1^\circ$ . ei 00 09 18,5, ei 10 11,5.
12	<del>eiP</del> <del>ePP</del> <del>eiS</del> <del>ePS</del>	05 09 12 12 00 18 36 19 03	Iles Commandeur. $D = 73^\circ$ ; $D_c = 73,7^\circ$ . ei 05 09 22, e 10 38, e 21 04, eSS 23 29, eL 38,6, Lm 43. LmN: 19 s, 8 $\mu$ .
12	<del>eiPP</del> <del>eiSKS</del> <del>eL</del>	10 04 41,5 11 21 41,5	Faible. Argentina. $D_c = 102,2^\circ$ . e 10 06 39,5, e 12 11, e(PS) 13 41, e 14 29, Lm 48,5. LmN: 15 s, 4 $\mu$ .
12	<del>eiP</del>	21 52 26	Faible. Iles Aléoutiennes, $D_c = 78,2^\circ$ . ei 21 54 36.
12	<del>eiP</del>	22 12 02	Faible. Réplique. ei 22 12 17, e 13 51.
14	<del>e</del>	01 02 15	Mer Egée. $D_c = 12,8^\circ$ . e 01 03 03.
14	<del>eiP</del> <del>eiS</del>	06 40 58 44 20,5	Crète. $D = 18^\circ$ ; $D_c = 17,8^\circ$ . ei 06 41 08, eiL 45 25, Lm 48. LmN: 14 s, 34 $\mu$ .
20	<del>e</del> <del>e(S)</del>	19 55 13 58 12	Caucase. $D_c = 22,1^\circ$ . e 19 56 05, e 20 01,5, Lm 04,5.
24	<del>iP</del> <del>eipP</del> <del>eiPP</del> <del>eiPPP</del> <del>eSKS</del> <del>iS</del> <del>eiPS</del>	19 30 26 30 53,5 34 02 37 45,5 40 37,5 41 12 42 36	Oaxaca, Mexique. $D = 91^\circ$ ; $D_c = 88,5^\circ$ . ei 19 32 26, ei 33 48,5, ei 35 21, e 36 47, ei 44 22,5, e 47 34, eL 20 00, Lm 06. LmE: 24 s, 9 $\mu$ .
26	<del>eiP</del>	04 25 23	Riou-Kiou. $D_c = 83,4^\circ$ . ei 25 35, ei 27 22, eL 57, Lm 05 02,5.
27	<del>eiPn</del> <del>eiPg</del> <del>eiSg</del>	20 40 18 40 55 42 34	Frontière Hongrie - Roumanie. $D = 7,5^\circ$ ; $D_c = 7,4^\circ$ . ei 20 40 34,5, ei 41 22, i 46 16,5, i 42 39,5, Lm 45,5.
31	<del>ePP</del>	09 49 14	Faible. Iles Salamon. $D_c = 126,4^\circ$ . e 50 27, ei 51 06, ei 55 30.
31	<del>e</del>	12 21 49	Faible. Roumanie. $D_c = 11,1^\circ$ . e 22 11, ei 23 14.

Date	Phase	h m s	Remarques
2	<del>e</del> <del>eS</del>	05 16 32 20 30,5	Région Iles Batan. $D_c = 85,7^\circ$ . e 05 20 02,5, eL 41,2, Lm 50. LmN: 13 s, 2 $\mu$ .
10	<del>e</del> <del>eL</del>	04 21 12 24,8	Région Crète. $D_c = 16,8^\circ$ . e 04 22 43, Lm 29,3, LmN: 8 s, 2 $\mu$ .
13	<del>iPn</del> <del>eiSn</del>	21 57 39 58 22,5	Alpes de Vénétie. $D = 3,8^\circ$ ; $D_c = 3,8^\circ$ . eiPx 57 42,5, eiPg 57 52,5, i 58 39,5, eiSg 58 45, Lm 59 11.
14	<del>eiP</del> <del>eipP</del> <del>eiPP</del> <del>eipPP</del> <del>eiPPP</del> <del>iSKS</del> <del>iS</del>	00 25 40 26 08 29 40 30 13 32 16 36 13 37 11,5	Bolivie. $h = 150$ km ca. $D = 101^\circ$ ; $D_c = 99,5^\circ$ . e 00 28 55, ei 30 40, ei 33 37, iS 37 58,5, iPS 38 44, eiSPP 39 30, ei 41 13, eiSS 43 53, eisSS 44 34, eL 53, Lm 01 07. LmH: 21 s, 32 $\mu$ .
14	<del>e</del>	01 01 54	Traces. Réplique. Alpes de Vénétie. e 02 11.
16	<del>ePg</del> <del>eSn</del> <del>eiSg</del>	03 13 13 32 01 32(59)	Yougoslavie. $D = 7,7^\circ$ ; $D_c = 7,7^\circ$ . ei 03 31 42, e 32 22, eiSb 32 43, Lm 33,1.
18	<del>e(P)</del> <del>eS</del> <del>eiPS</del>	15 43 05 52,4 53 07	Kamtchatka. $D = 7,25^\circ$ ; $D_c = 73,0^\circ$ . e 15 47 12, e 54 27, eSS 16 00 45. LmE: 16 s, 11 $\mu$ .
20	<del>eiP</del>	16 50 23	Traces. Océan Atlantique. $D_c = 42,6$ . ei 16 50 32,5.
25	<del>eiP</del> <del>eS</del>	06 52 16 56 45	Islande. $D = 26,5^\circ$ ; $D_c = 26,3^\circ$ . e 06 53 30, ei 46 38, eL 07 00, Lm 03. LmH: 14 s, 3 $\mu$ .



Date	Phase	h m s	Remarques
3	ePKP eiPP	18 14 48 18 17	Nouvelles Hébrides. $D_c = 142,2^\circ$ . e 18 16 40, e 32 26, eL 19 02, Lm 13,5. LmN: 27 s, 9 $\mu$ .
6	eiPP i X i) SKS	09 27 21 32 46,5 32 49	Argentine. $D_c = 101,2^\circ$ . epPP 09 29 42, e(S) 34 19, ei 35 08.
6	eiSP iPP iSKS eiS	09 39 23 40 32 45 58 47 03	Disturbé par le précédent. Argentine. $D = 102^\circ$ ; $D_c = 101,2^\circ$ . ei 09 41 36, ei(pPP) 42 03, ei 47 23, esSKS 49 54.
9	epP iSKS iS	16 19 27 29 25 30 22	Frontière Chili-Bolivie. $D_c = 100,4^\circ$ . e 16 22 36; ei 31 32,5, ei 32 41, ei 34 17.
18	ei e eiPP	20 07 37 07 41 11 21,5	Luçon. $D = 88,5^\circ$ ; $D_c = 86,9^\circ$ . e 20 09 44, ei 13 28, ei 20 15, eiSS 24 17,5, eSSS 27,9, Q 31,1, Qm 31,5, R 38,2, Rm 43,2. QmN: 29 s, 20 $\mu$ ; RmN: 24 s, 18 $\mu$ .
19	eP epP iSKS eiS	15 19 18 20 10 29 40 30 24	Pérou. $D = 98^\circ$ ; $D_c = 97,5^\circ$ . ei(PP) 23 00, ei 23 46, eiPP 25 31, ei 31 05, eiSP 31 40, eiPS 32 12, eSS 37 00, e(SSS) 41 15, eL 48, Lm 49,5.
22	ePP	23 23 07	Nouvelle Bretagne. $D_c = 123,9^\circ$ . e 23 30 10, e 35 28 eL 00 02.
24	e(P) eL	01 34 41 02 04,7	Faible. Californie. $D_c = 81,7^\circ$ . e 01 38 13,5, e 45 10, e 48 21, Lm 10,5. LmE: 19 s, 4 $\mu$ .
26	e	17 13 08	Turquie. $D_c = 14,2^\circ$ . e 17 13 08, eL 15,2, Lm 17,5.

Date	Phase	h m s	Remarques
8	e(S)	01 08,5	Faible. Kamtchatka. $D_c = 73,1^\circ$ . eL 01 27,1, Lm 33. LmN: 14 s, 2 $\mu$ .
11	e	23 31 19	Frontière Macédonie-Yougoslavie. $D_c = 11,4^\circ$ . e 23 32 16, e 34 30, e 35 25.
12	eiPKP eSKS eL	10 18 09 24 58 11 07	Région îles Fidji. $D = 147^\circ$ ; $D_c = 145,7^\circ$ . e 18 37, e 19 22, ei 21 06. LmN: 12, 2 $\mu$ ; LmN: 28 s, 8 $\mu$ ; LmH: 18 s, 5 $\mu$ .
15	iF iN iPP	09 09 40,0 09 44,0 13 00	Formose. $D = 85^\circ$ ; $D_c = 84,9^\circ$ . ei 09 10 07,5, i 11 27, eiPS 20 46, eiPPS 21 22, eiSS 25 27, eSSS 29 43, Q 38,2, Qm 41, R 42 52, Rm 44. QmN: 33 s, 70 $\mu$ . RmH: 24 s, 115 $\mu$ .
16	e eL	01 47 00 02 08 00	Traces. Formose. $D_c = 84,7^\circ$ . e 01 51 24, Lm 02 12. LmN: 13 s, 1 $\mu$ .
16	e(P)	18 45 45	Grèce. $D_c = 14,7^\circ$ . e 18 49 22, eL 50 17, Lm 52. LmH: 7 s, 5 $\mu$ .
17	ei ei(S)	01 36 00 37 49	Albanie. $D_c = 10,4^\circ$ . ei 01 36 38, Lg 38 49, Lm 41,5. LmH: 11 s, 22 $\mu$ .
17	e eL	04 33 24 36,2	Faible. Réplique. Albanie. $D_c = 10,2^\circ$ . ei 04 33 24, Lm 37. LmH: 9s, 3 $\mu$ .
17	ePP eiSKS eiSKKS ePPS	21 25 57 30 45 32 41 37 46	Îles Salomon. $D = 129^\circ$ ; $D_c = 128,4^\circ$ . e 21 26 36, e 28 06, eSS 43 15, eSSS 48 20, Q 22 07, Qm 09, R 14, Rm 19. QmH: 29 s, 44 $\mu$ ; RmH: 14 s, 14 $\mu$ .
18	eP eS	00 46 22,5 56 46	Faible. Formose. $D = 82,5^\circ$ ; $D_c = 85^\circ$ . e 00 49 10, eL 01 14, Lm 22,2.
18	iP eiPP eiPPP iS eiPS	06 48 53,5 51 41 53 27 58 26 59 18	Montana. USA. $D = 75^\circ$ ; $D_c = 76,0^\circ$ . ei 06 50 45, ei 07 00 27, eiSS 03 24,5, eSSS 06 26, Q 12, Qm 15, Rm 23,5. RmH: 9 s, 8 $\mu$ . SmH: 15 s, 39 $\mu$ ; QmH: 33 s, 420 $\mu$ ; RMH: 17 s, 310 $\mu$ .
18	eiP eS	15 37 43 47 13	Réplique. Montana. USA. $D = 74^\circ$ ; $D_c = 74^\circ$ . ePS 47 54, eSS 52,1, eSSS 55 41, eL 16 03, Lm 09,5. LmH: 17 s, 12 $\mu$ .
18	e	22 09 25	Traces. Réplique. Albanie. e 10 02, Lm 12. LmN: 13 s, 1 $\mu$ .

20-30 août les appareils hors de fonctionnement.



Date	Phase	h m s	Remarques
1	eiP eS	11 40 13 42 17	Albanie. $D = 10,5^\circ$ ; $D_c = 10,4^\circ$ . ei 11 40 25, ei 41 44, eL 43,1, Lm 46. LmH: 14 s, 52 $\mu$ .
3	e eL	04 07 36 08,2	Faible. Traces. Albanie. $D_c = 10,6^\circ$ . Lm 04 10. LmH: 10 s, 2 $\mu$ .
3	e(P) eiPP eSKS	06 41 37 46 23 52 32	Faible. Célèbes. $D_c = 107^\circ$ . e 06 45 33, ei 50 02, eo 53 24, ei 55 22.
12	e	02 15 36	Faible. Mer-de Bismarck. $D_c = 119,1^\circ$ . ei 17 12, eL 49,2, Lm 55,5. LmN: 24 s, 4 $\mu$ .
14	eiPKP eiPP eiSKS eSKKS eSKSP	14 30 11 33 41 36 30 40 34 43 56	Iles Kermadec. $D = 158^\circ$ ; $D_c = 157,2^\circ$ . ei 14 30 42,5, e 35 17, ei 38 07, ei 39 15, ei 50 07, eSS 54,2, eSSS 16 00,9, eL 25, Lm 29. LmH: 18 s, 33 $\mu$ .
14	eL	18 30,5	Changement des feuilles. Iles Kermadec. $D_c = 157,7^\circ$ . Lm 18 41,5. LmN: 16 s, 2 $\mu$ .
15	ePKP eiPKS eiPP eiSKSP	06 20 11 23 06 23 44 34 11	Réplique. Iles Kermadec. $D = 158^\circ$ ; $D_c = 157,2^\circ$ . ei 06 20 30, e 28 11, e 30 19, ei 31 14, ei 39 11, eSS 43,7, L 07 17,5, LmN: 20, Lm 45,5. LmN: 27 s, 2 $\mu$ ; LmH: 17 s, 6 $\mu$ .
25	e ei(PS)	02 49 38 03 00 31	Faible. Formose. $D_c = 85,4^\circ$ . ei 03 00 15, eL 21,2, Lm 28. LmN: 18 s, 12 $\mu$ .
26	ei eL	08 34 05 09 05,5	Faible. Orégon. USA. $D_c = 80,9^\circ$ . e 08 37 22, Lm 10,5. LmN: 17 s, 3 $\mu$ .

Date	Phase	h m s	Remarques
5	eiP ePP eS	18 35 40 37-18 42 04	Océan Arctique. $D = 43^\circ$ ; $D_c = 41,5^\circ$ . e 18 36 15, e 39 12, e 40 21, eSS 45 03, L 50,3, Lm 19 02. LmN: 10 s, 1 $\mu$ .
5	ei eiS	20 37 30 38 35	Albanie. $D_c = 10,4^\circ$ . ei 20 38 21, ei 39 32, eiL 40, Lm 43. LmM: 7 s, 3 $\mu$ .
7	eP eiL	08 33 13 36 24	Albanie. $D_c = 10,5^\circ$ . ei 08 35 42, ei 36 15, Lm 39. LmH: 9 s, 16 $\mu$ .
15	e eSKS e(PS)	06 32 50 41 11 44 20	Faible. Célèbes. $D_c = 101,2^\circ$ . ei 06 40 29,5, e 43 35, e 47 06, Q 17 04, Qm 06, R 15, Rm 25,5. QmN: 47 s, 24 $\mu$ ; RmN: 19 s, 8 $\mu$ .
24	eiP eiPP eiPcP	23 48 16 49 48 50 06	Kirghizie, URSS. $D = 40^\circ$ ; $D_c = 39,9^\circ$ . ei 23 48 30, ei 49 24, eiSSS 57 42, eL 00 01, Lm 02,5.
25	eiP	06 57 09,5	Traces. Océan Atlantique. $D_c = 27,8^\circ$ . ei 06 58 10, e 07 01 25.
25	eiP	16 03 06	Faible. Turquie. $D_c = 23,8^\circ$ . ei 04 29, eo 05 15.
26	iP eiPP eiS	07 47 33 50 48 57 51	Japon. $D = 84^\circ$ ; $D_c = 83,2^\circ$ . ei 09 58 09, ePPS 58 52, e 08 00 26, eL 16,2, Lm 21,5. LmH: 16 s, 11 $\mu$ .
27	eiP eipP ei(PP)	07 04 43 05 09 08 41	$h = 100$ km ca. Iles Kouriles. $D = 79^\circ$ ; $D_c = 78,4^\circ$ . e 07 10 12, eiS 15 10, ePS 15 27, e 21 11, e(SSS) 24 28, eL 32,2 Lm 43. LmH: 16 s, 13 $\mu$ .
31	ePKP	04 46 06	Traces. Iles Fidji. $D_c = 145,3^\circ$ . e 46,12, e 46 49.



Date	Phase	h m s	Remarques
6	<del>e</del> <del>Lm</del>	07 41 35 43,5	Faible. Yougoslavie. $D_c = 10,4^\circ$ . e 07 42 10, ei 42 41, LmE: 9 s, 1 $\mu$ .
7	<del>eiP</del> <del>eL</del>	02 35 48 40,5	Algérie. $D_c = 16,0^\circ$ . ei 02 39 33, e 39 52.
8	<del>eiP</del> <del>eS</del> <del>eiSKS</del>	14 06 48 16 31 16 50	Japon. $D = 75,5^\circ$ ; $D_c = 75,5^\circ$ . eiPS 14 17 17, ei 19 36, eSSS 25,2, eL 34,5, Lm 38,5. LmH: 16 s, 21 $\mu$ .
15	<del>ei</del> <del>eL</del>	10 34 15 49,5	Faible. Chine. $D_c = 45,1^\circ$ . ei 10 38 18, ei 40 17,5, e 42 40, Lm 51, LmN: 12 s, 2 $\mu$ .
15	<del>eiP</del> <del>iPP</del> <del>iS</del>	17 11 57 12 12 14 31	Mer Ionienne. $D = 14^\circ$ ; $D_c = 13,8^\circ$ . i 17 12 25,5, ei 13 45, i 14 10, iL 16 35, Lm 19. LmH: 10 s, 160 $\mu$ .
19	<del>ePP</del> <del>eiPS</del> <del>eSS</del>	11 28 51 38 37 45,4	Nouvelle Guinée. $D_c = 121,0^\circ$ . e 11 29 51, e 35 33, Q 12 02,5, Qm 10, Rm 12,5. QmN: 28 s, 16 $\mu$ ; RmN: 18 s, 6 $\mu$ .
19	<del>ei</del>	14 04 41	Turquie. $D_c = 15,1^\circ$ . eL 14 08, Lm 09,8.
22	<del>iPKP</del> <del>eiPKP</del>	19 53 30,5 55 33	Région Iles Fidji. $D_c = 150,6^\circ$ ; i 53 38, i 54, ei 57 31.
26	<del>eSS</del>	23 40,3	Sumatra. $D_c = 94,5^\circ$ . eL 23 53,3, Lm 00 08,7. LmN: 18 s, 4 $\mu$ .
27	<del>eP</del> <del>eiL</del>	00 25 30 30	Disturbé par le précédent. Grèce. $D_c = 13,5^\circ$ . ei00 25 45, ei 27 20, Lm 34.
30	<del>e</del> <del>Lg</del>	11 26 22 35,5	Forte ag. mi. Chine. $D_c = 45,0^\circ$ . e 11 29 57, Lm 40. LmN: 6 s, 2 $\mu$ .

Date	Phase	h m s	Remarques
1	<del>ei</del> <del>Lg</del>	12 42 11 45,9	Grèce. $D_c = 13,4^\circ$ . ei 12 44 22, Lm 49,2, LmN: 10 s, 2 $\mu$ .
2	<del>e</del> <del>eSS</del>	09 54 25 07 30	Célèbes. $D_c = 103,9^\circ$ . e 10 02 35, e 09 22, eL 25, Lm 35.
2	<del>iPn</del> <del>iPg</del> <del>iSn</del> <del>iSg</del>	18 21 34 21 56,5 22 37 23 16	Yougoslavie. $D = 5,7^\circ$ ; $D_c = 5,8^\circ$ . iPx 18 21 40, i 22 03, iSb 23 03. eL 23 32, Lm 23 46. LmN: 6 s, 3 $\mu$ .
8	<del>ei(P)</del> <del>eiSS</del>	13 39 13 44 46	Forte ag. mi. Caucase. $D_c = 23^\circ$ . ei 40 59, e 43 53,5, eL 47, Lm 49,5. LmN: 12 s, 2 $\mu$ .
13	<del>eiPKP</del>	17 56 04	Faible. Iles Tonga. $D_c = 147,5^\circ$ . ei 57 23, e 57 57.
14	<del>eiP</del> <del>eN(S)</del> <del>eSS</del>	22 12 52 23 08 28 22	Forte ag. mi. Iles Aléoutiennes. $D = 83^\circ$ ; $D_c = 79,3^\circ$ . ei 14 46,5, e 18 49, ei 20 33, ei 23 19, e 25 08, eL 47, Lm 57,3. LmN: 16 s, 3 $\mu$ .
14	<del>e</del> <del>eiPKP</del> <del>eiPP</del> <del>eSKS</del> <del>iPS</del>	23 38 23 40 43,5 41 32 47 39 51 19	Iles Sandwich. $D = 116^\circ$ ; $D_c = 114,3^\circ$ . ei 23 41 17, ei 43 41, ei 45 58,5, eSS 57 5, eSS 00 02 00, eL 12, Lm 25,5. PSN: 18 s, 7 $\mu$ ; LmH: 17 s, 13 $\mu$ .
15	<del>eiPn</del> <del>eiPg</del> <del>eiSn</del> <del>ei(Sg)</del>	23 03 24 03 53 04 29 05(09)	Italie. $D = 5,7^\circ$ ca; $D_c = 6,1^\circ$ . eiPb 23 03 40,5, ei 04 21,5, ei 04 39, ei 04 54, eiL 05,8.
21	<del>eiP</del> <del>eiPP</del> <del>eiS</del>	11 27 57 29 45 34 39	Golfe d'Aden. $D = 48^\circ$ ; $D_c = 48,5^\circ$ . ei(PPP) 11 30 31, ei 34 56, e 35 33, iSS 38 42, Q 43,5, Qm 47,7, R 58, Rm 12 01,1. QmN: 25 s, 15 $\mu$ ; RmN: 13 s, 11 $\mu$ .
27	<del>iP</del> <del>eiPP</del> <del>eiS</del>	16 04 16 06 45 13 34	Kamtchatka. $D = 72^\circ$ ; $D_c = 71,7^\circ$ . i 16 04 47, ei 05 51, ei 13 34, ei 14 35, ei 15 55, e 20 21, eSSS 22,1, L 28,6, Lm 43. LmN: 17 s, 18 $\mu$ .
28	<del>eiP</del> <del>eiS</del>	07 32 10 41 56	Kamtchatka. $D = 77^\circ$ ; $D_c = 74,7^\circ$ . ei 07 33 20, ei 43 36, e(SS) 45,5, L 58,7, Lm 08 02,7. LmH: 23 s, 17 $\mu$ .
28	<del>eL</del>	13 45 44	Traces. Réplique. Kamtchatka. Lm 13 51. LmN: 15 s, 2 $\mu$ .



OBSERVATIONS SÉISMIQUES  
DE LA STATION SÉISMOLOGIQUE  
de BRATISLAVA en 1959

A. Molnár

Séismomètre Krumbach, composantes N et E, deux pendules avec la masse 4 kg, enregistrement optique, amortissement magnétique, composante Z, système électrodynamique, enregistrement galvanométrique.

Coordonnées des appareils:

$\varphi = 48^{\circ}10,1' \text{ N}$        $\lambda = 17^{\circ}06,3' \text{ E}$        $h = 270 \text{ m}$

Sous-sol:

Granit

Constantes 1959

Appareil	C <sup>te</sup>	T <sub>1</sub> (s)	V <sub>0</sub>	$\varepsilon : 1$	Vitesse de l'inscription
Krumbach	N	1,8	1900	3,0	20 mm/min
	E	1,8	1900	4,0	20 mm/min

Appareil	C <sup>te</sup>	T <sub>1</sub>	T <sub>2</sub>	D <sub>1</sub>	D <sub>2</sub>	$\sigma^2$	V <sub>max</sub>	Vitesse de l'inscription
Krumbach	Z	2,0	2,0	0,3	1,0	0,3	2200	20 mm/min



Date	Phase	h m s	Remarques
✓ 1	✓ iP ✓ eiPP	02 13 48 15 17	Groenland, $D_c = 36,2^\circ$ ; i 02 14 06, ei 14 25, F 02 17.
1	✓ iPn ✓ iPg ✓ iSn	02 38 32 38 38 39 00	Nord de la Yougoslavie. $D = 2,3^\circ$ ; $D_c = 2,9^\circ$ ; LmH: 1,4 s, 0,5 $\mu$ ; ei 02 38 42, ei 38 53, Lm 39,1, F 02 42.
2	✓ eiP ✓ iPP ✓ iS	05 23 01 23 11 25 32	Bretagne (France), $D = 13,7^\circ$ ; $D_c = 13,5^\circ$ ; LmH: 3 s, 5 $\mu$ ; i 05 24 50, i 25 17, i 26 42, Lm 05 28, F 05 35.
4	✓ eiP	23 18 31	Région Crète, $D_c = 15,2^\circ$ ; F 23 20.
✓ 5	✓ iPKP ✓ ipPKP ✓ eiPKS	10 06 27 06 42 09 48	D. Région des îles Loyauté, $D_c = 147^\circ$ ; i 10 07 30, ei 08 36, ei 09 30, F 10 12.
6	✓ eiP	12 41 44	Îles Kouriles, $D_c = 77,2^\circ$ ; F 12 43.
✓ 7	✓ eiP	22 25 22	SW de la Turquie, $D_c = 14,5^\circ$ ; F 22 27.
✓ 8	✓ iP	01 45 01	Petites Antilles, $D_c = 70,8^\circ$ ; i 01 45 44, ei 45 59, F 01 50.
✓ 9	✓ eiPn ✓ eL	01 58 28 02 02 22	Grèce, $D_c = 13,2^\circ$ ; LmH: 11 s, 6 $\mu$ ; Lm 02,5.
11	✓ eiP	04 30 52	Turquie. $D_c = 13,8^\circ$ ; F 04 33.
15	✓ ei	02 55 40	
✓ 15	✓ eiPKP <sub>1</sub> ✓ eiPKP <sub>2</sub> ✓ eipPKP <sub>1</sub>	21 39 25 39 49 41 15	Sud des îles Fidji, $D_c = 156,8^\circ$ ; ei 21 39 35, F 21 42.
✓ 16	✓ iP ✓ iPcP	01 43 31 43 40	D. Îles Aléoutiennes, $D_c = 79,5^\circ$ ; F 01 45.
16	✓ eiPKP <sub>1</sub>	11 11 37	Îles Loyauté, $D_c = 146,2^\circ$ ; ei 11 11 44, F 11 13.
16	✓ eiPn ✓ eiPg ✓ eiSn ✓ eiSg	18 11 04 12 15 12 43 13 19	Effondrement dans une mine de fer à Roncourt Moselle, $D_c = 7,2^\circ$ ; LmH: 1,5 s, 4 $\mu$ ; Lm 13,4, F 18 17.

Date	Phase	h m s	Remarques
✓ 18	✓ eiPKP <sub>1</sub> ✓ eipPKP <sub>1</sub>	22 42 15 44 07	Îles Fidji, $D_c = 148,4^\circ$ ; F 22 46.
✓ 22	✓ iP ✓ iPcP ✓ eS ✓ ePs ✓ eSS ✓ L	05 22 45 22 53 33 14 34 05 38 39 52	Près de la côte de Honshu, Japon, $D = 86^\circ$ ; $D_c = 84,2^\circ$ ; LmH: 16 s, 115 $\mu$ ; ei 05 25,36, e 41 35, Lm 06 02, Lm 07,8, Lm 13, F dans le changement des feuilles.
✓ 24	✓ iP ✓ ipP ✓ eiPP ✓ eiPPP	05 20 48 21 10 23 48 25 42	Japon, $D_c = 81^\circ$ ; F 05 28.
✓ 24	✓ eiP ✓ eiPP ✓ eiS ✓ eSS	20 01 42 02 48 06 51 08 36	Açores, $D = 32^\circ$ ; $D_c = 30,9^\circ$ ; LmH: 13 s, 10 $\mu$ ; Lm 20 15, Lm 18, Lm 27, F 20 50.
26	✓ ei	00 34 27	Séismique? ei 00 43 05, F 00 45.
✓ 27	✓ iP ✓ eiPP	03 40 57 41 12	Région de l'île Jan Mayen, $73^\circ N$ , $0^\circ E$ ; H = 03 35 29 (USCGS), $D_c = 24,5^\circ$ ; F 03 44.
✓ 29	✓ iP ✓ eiS ✓ ei ✓ e	23 29 41 33 59 41 08 41	C. Au large de la côte de Norvège, $D_c = 24^\circ$ ; i 23 29 50, i 23 29 55, e 37 14, e 37 47, e 39 47, ei 40 17, e 46, F 00 00.
✓ 30	✓ eiPKP <sub>1</sub> ✓ iPcP <sub>2</sub> ✓ eiPP	18 28 54 29 33 33 13	Îles Kermadec, $D_c = 159,3^\circ$ ; ei 18 31 29, F 18 35.
✓ 30	✓ eiP ✓ eS ✓ L	20 50 44 21 00 31 20,0	Japon. $D = 77,5^\circ$ ; $D_c = 77^\circ$ ; LmH: 15 s, 1:0 $\mu$ ; Lm 21 25, Lm 31, F 21 45.
✓ 30	✓ iP ✓ iPcP ✓ eS ✓ eSS ✓ L	22 28 47 28 56 38 40 43 25 55	Japon, $D = 78,5^\circ$ ; $D_c = 77^\circ$ ; LmH: 16 s, 20 $\mu$ ; Lm 22 02, Lm 08, Lm 13, F 22 20.



Date	Phase	h m s	Remarques
✓ 1	✓ eiP ✓ eipP ✓ eiPP ✓ eipPP	03 20 50 21 44 22 29 23 41	Hindou-Kouch, $D_c = 41,1^\circ$ ; F dans l'ag. mi.
2	✓ eiP ✓ eiPP	19 24 09 24 15	Région Crête, $D_c = 14,7^\circ$ ; F 19 26.
✓ 5	✓ iP	01 16 16	D. Alaska, $D_c = 74,5^\circ$ ; F 01 17.
✓ 7	✓ eiP ✓ eipP ✓ eSKS ✓ eSS	09 50 37 54 37 10 01 12 08,8	Pérou, $D_c = 98,7^\circ$ ; LmH: 18 s, 10 $\mu$ ; i 09 50 45, ei 50 52, i 51 13, i 51 22, e 10 03 15, ei 11 27, ei 15 18, Lm 41, Lm 46, F 11 20.
✓ 8	✓ iP ✓ ePcP	01 08 36 11 30	Nord de l'Océan Atlantique, $D_c = 33,8^\circ$ , LmH: 18 s, 15 $\mu$ ; i 08 52, ei 09 14, e 11 03, Lm 01 21, F 01 45.
✓ 9	✓ iP ✓ eiPP	04 54 55 58 01	C. Iles Aléoutiennes, $D_c = 80,5^\circ$ ; i 04 55 07, ei 55 23, ei 57 25, ei 05 06 46, F 06 06 11.
10	✓ eiPg ✓ iSg	22 44 12 44 19	A 50 km ca à l'E de Wien. Ressenti IV-V à Baumgarten (Wien), $D = 0,3^\circ$ ; $D_c = 0,5^\circ$ ; Lm 22 44 29, F 22 47.
✓ 12	✓ eiPKP	17 22 57	Région Iles Loyauté, $D_c = 147,5^\circ$ ; F 17 28.
✓ 14	✓ eiP	22 21 14	Indes-Birmanie, $D_c = 62,3^\circ$ ; F 22 22.
✓ 14	✓ iP	22 36 20	Indes-Birmanie, $D_c = 63^\circ$ ; i 22 36 25, F 22 42.
✓ 15	✓ eiP ✓ eiPP	04 10 41 12 33	Chine, $D_c = 44,6^\circ$ ; i 04 10 49, ei 11 19.
✓ 15	✓ ePKP	05 01 25	Iles Sandwich, $D_c = 113^\circ$ ; e 05 01 52.
15	✗ ei	06 21 52	F 06 24.
17	✓ iPn ✓ iSg	01 54 38,5 54 54,2	C. Autriche. $D = 1,1^\circ$ ; $D_c = 1,3^\circ$ ; LmH: 0,9 s, 0,9 $\mu$ ; i 01 54 41,5, Lm 01 54 57, F 01 57.
✓ 17	✓ iP	12 15 24	C. Aléoutiennes, $D_c = 80^\circ$ ; e 12 15 30, i 15 50, e 12 22 13, ei 22 34, F dans l'ag. mi.

Date	Phase	h m s	Remarques
18	✗ ei	13 59 21	ei 14 01 10, F 14 02.
20	✓ eiP	12 28 26	Quatemala, $D_c = 90,2^\circ$ ; ei 18 28 30, F 18 32.
21	✓ ei	04 43 44	F 04 45.
21	✓ e	11 27 43	F 11 29.
22	✓ eP	09 05 40	Pakistan occidental, $31,5^\circ\text{N}$ ; $69^\circ\text{E}$ ; H = 08 53 30 (BCIS), $D_c = 41,2^\circ$ ; e 09 05 51, e 06 03, F 09 07.
✓ 23	✓ iP	16 15 40	Iles Kouriles, $D_c = 75,8^\circ$ ; F 16 18.
25	✓ ei	23 20 36	ei 23 20 45, F 23 22.
26	✓ ei	09 00 39	F 09 01.
26	✓ ei	09 07 27	e 09 07 36, F 09 00.
26	✓ i	09 34 25	D. i 09 34 42, F 09 36.
26	✓ ei	12 20 50	ei 12 22 18, e 23 57, F 12 25.
✓ 27	✓ eiPKP	15 39 38	Région des Iles Tonga, $D_c = 152,2^\circ$ ; F 15 41.
✓ 27	✓ iP	21 07 58	Iles Riou-Kiou, $D_c = 83^\circ$ ; ei 21 08 14, ei 08 25, F 21 10.
✓ 28	✓ eiP	01 43 35	Aléoutiennes, $D_c = 78,6^\circ$ ; F 01 45.
28	✗ iPg ✓ iSg	21 07 40 08 02	$D = 1,6^\circ$ ; F 21 12.



Date	Phase	h m s	Remarques
1			Les appareils hors de fonctionnement.
2	✓ eiP ✓ eipP ✓ eiPP	15 59 02 59 50 16 00 22	D. Hindou-Kouch. $D_c = 40^\circ$ ; F 16 06.
4	✓ eiP	01 04 37	Kamtchatka, $D_c = 74,5^\circ$ ; F 01 05.
4	✓ eiP	20 09 23	C. Iles Andaman, $D_c = 71,2^\circ$ ; F 20 10.
5	✓ eiP	23 07 42	Sumatra, $D_c = 82,3^\circ$ ; F 23 09.
7	✓ eiPKP	15 06 09	Région des Iles Samoa, $D_c = 147^\circ$ ; F 15 08.
8	✓ eiPn ✓ eiSg	11 19 10 21 37	Près de la côte de l'Albanie, $D_c = 8,5^\circ$ ; ei 11 19 52, ei 22 16.
9	✓ eiP ✓ eiPcP	18 56 27 56 42	Japon, $D_c = 79,8^\circ$ ; F 18 58.
12	✓ Lm	02 28 00	Iles Carolines, $D_c = 108,5^\circ$ ; LmH: 19 s, 8 $\mu$ ; F 02 30.
17	✓ iP ✓ iPcP ✓ eiS ✓ ePPS ✓ L	08 37 48 37 51 48 15 49 02 09 07	C. Iles Riou-Kiou, $D = 85,3^\circ$ ; $D_c = 83,6^\circ$ ; LmH: 19 s, 50 $\mu$ ; i 08 37 57, e 48 50, Lm 18,5, Lm 28, F 09 40.
18	✓ eiP ✓ eS	00 53 52 01 04 18	C. Iles Riou-Kiou, $D = 85,2^\circ$ ; $D_c = 83,5^\circ$ ; LmH: 19 s, 12 $\mu$ ; Lm 01 28, Lm 01 33, F 01 45.
23	✓ eipPKP	13 44 17	C. Région des Iles Samoa, $D_c = 146,9^\circ$ ; ei 13 44 57, F 13 46.
24	✓ eiPn ✓ eiSn	10 25 42 26 57	Italie, $D = 6,5^\circ$ ; $D_c = 6^\circ$ ; LmH: 5 s, 2 $\mu$ ; ei 10 26 33, Lm 28, F 10 30.
28	✓ iPKP <sub>1</sub> ✓ eipPKP <sub>1</sub>	20 05 50 08 02	C. Iles Fidji, $D_c = 149,2^\circ$ ; i 20 05 56, ei 06 20, ei 07 11, ei 10 02, F 20 12.

Date	Phase	h m s	Remarques
1	✓ iP ✓ eiPP ✓ eS	00 41 22 42 25 46 31	C. Iles Canaries, $D = 36,5^\circ$ ; $D_c = 35,7^\circ$ ; LmH: 16 s, 8 $\mu$ ; i 00 41 34, e 47 01, Lm 00 55, Lm 00 59, F 01 10.
5	✓ iPn ✓ iPg ✓ eiSn	10 49 49 50 30 51 18	C. Alpes occidentales, France, $D = 7,8^\circ$ ; $D_c = 7,8^\circ$ ; LmH: 3 s, 0,2 $\mu$ ; ei 10 50 24, ei 51 10, ei 51 52, Lm 10 53, Lm 53,8, F 11 10.
5	✓ iPn ✓ iSn ✓ iSg	18 14 03 14 33 14 51	D. Région frontière Hongrie-Croatie, $D = 2,4^\circ$ ; $D_c = 2,3^\circ$ ; Lm 18 15 03, F 18 22.
6	✓ iP ✓ eiPP	14 26 55 31 12	C. Iles Sumba, $D_c = 106,3^\circ$ ; ei 14 27 42, e 30 00, F 14 35.
8	✓ iPKP <sub>1</sub>	01 42 40	D. Région des Iles Kermadec, $D_c = 159,2^\circ$ ; i 01 43 21, ei 45 07, F 01 48.
8	✓ eiPKP <sub>1</sub> ✓ eipPKP <sub>1</sub> ✓ iPKP	08 21 11 21 38 21 50	Région des Iles Tonga, $D_c = 147,4^\circ$ ; F 08 25.
10	✓ eiPKP <sub>1</sub> ✓ eiPKP <sub>2</sub> ✓ eipPKP <sub>1</sub>	06 06 26 06 47 08 47	Sud des Iles Fidji, $D_c = 152,7^\circ$ ; ei 06 06 33, F 06 10.
12	✓ eiPKP ✓ eiPP	21 13 46 17 04	Région des Iles Samoa, $D_c = 146,5^\circ$ ; LmH: 21 s, 5 $\mu$ ; i 21 13 57, i 14 01, ei 14 34, ei 15 22, ei 16 03, Lm 22 13, F 22 20
15	✓ eiP ✓ eiPcP	00 27 26 27 39	C. Japon, $D_c = 78,2^\circ$ ; ei 00 28 12, ei 30 30, F 00 35.
15	✓ eiP	19 22 55	Kamtchatka, $D_c = 73,4^\circ$ ; F 19 25.
16	✓ ei	13 32 35	ei 13 35 20, F 13 36.
19	✓ iPP ✓ eiPP	09 03 54 04 09	Est de la Turquie, $D_c = 19^\circ$ ; F 09 07.
19	✓ eiP	15 15 09	Alaska, $D_c = 73,5^\circ$ .
19	✓ eiPn ✓ eiSn	17 41 32 45 28	Grèce, $D_c = 11,5^\circ$ ; F 17 50.
21	✓ ei	13 11 30	ei 13 12 30, F 13 14.



Date	Phase	h m s	Remarques
22	iP iPcP	11 07 08 07 16	D. Aléoutiennes, $D_c = 77,5^\circ$ ; F 11 10.
24	iPKP <sub>1</sub> iPKP <sub>2</sub> eiPKS eiPP eiSKS eiSKKS eiSKSP eSS	18 18 01 18 30 21 18 22 09 24 54 28 45 33 03 42 42	D. Iles Kermadec, $D_c = 159,5^\circ$ ; LmH: 24 s, 9 $\mu$ ; ei 18 18 09, ei 18 51, ei 19 33, ei 20 18, e 18 52, e 19 18, Lm 24, Lm 31, Lm 36, Lm 44.
25	iP iPPP eiS eiSS eSSS	00 29 59 30 06 31 17 32 17 32 44	C. SW de la Turquie, $D = 12,3^\circ$ ; $D_c = 12,2^\circ$ ; LmH: 7,5 s, 11 $\mu$ ; i 00 30 33, ei 32 04, ei 33 12, e 33 21, e 34, Lm 00 38, F 00 50.
25	eiP eiS	01 09 00 11 12	Réplique, Turquie, $D = 11,8^\circ$ ; $D_c = 12,2^\circ$ ; LmH: 10 s, 10 $\mu$ ; ei 01 10 18, e 12 46, Lm 14.
26	iPn iPg iSn iSg	14 46 12 46 22 46 51 47 06	D. Alpes de Vénétie, Italie, $D = 3^\circ$ ; $D_c = 3,1^\circ$ ; LmH: 1 s, 5,5 $\mu$ ; i 14 46 42, Lm 14 47,2.
26	iP ipP iS eSS	20 52 40 53 13 21 02 48 08,0	D. Formose, $D_c = 88,7^\circ$ ; LmH: 16 s, 26 $\mu$ ; i 20 53 34, i 03 21, e 21 11,2, Lm 27, Lm 41, F 22 15.
28	iP eiS L	11 22 37 33 32 11 49	Mexique-Quatemala, $D = 92^\circ$ ; $D_c = 92,3^\circ$ ; LmH: 19 s, 22 $\mu$ , ei 23 37, ei 27 22, Lm 12 01, F 12 40.

Date	Phase	h m s	Remarques
1	iP	08 29 41	C. Nord de l'Iran, $D_c = 27,9^\circ$ ; i 08 29 47, i 30 23, ei 31 02, F 08 37.
2	eiPn iSn	06 36 52 37 27	Région frontière Autriche-Yougoslavie, $D = 2,8^\circ$ ; $D_c = 2,9^\circ$ ; LmH: 2 s, 1 $\mu$ ; i 06 37 04, Lm 06 37 40, F 06 42.
4	iP iPcP iS Sm eSS	07 27 18 27 24 36 46 37,0 41,0	D. Kamtchatka, $D = 74^\circ$ ; $D_c = 74^\circ$ ; LmH: 27 s, 850 $\mu$ ; e 07 44,5, e 48 2, e 50,0, Lm 53, Lm 57, Lm 08 02,5, F 09 45.
5	iP eS L	19 15 48 25 12 38	Kamtchatka, $D = 73,5^\circ$ ; $D_c = 74,5^\circ$ ; LmH: 21 s, 24 $\mu$ ; Lm 19 46, Lm 51, Lm 56, F 20 15.
7	ei	22 55 19	Au NE de Trieste, $D_c = 3,4^\circ$ ; ei 22 56 01, F 22 57.
8	iP eS	11 46 20 55 53	D. Kamtchatka, $D = 73^\circ$ ; $D_c = 73,8^\circ$ ; LmH: 19 s, 9 $\mu$ ; i 11 46 26, i 46 35, ei 46 50, ei 47 18, Lm 12 17, Lm 23, F 12 30.
12	eiP eiS	05 09 14 18 53	C. Iles Commandeur $D = 76^\circ$ ; $D_c = 74^\circ$ ; LmH: 18 s, 13,5 $\mu$ ; Lm 05 43, F 06 00.
12	ei	09 12 00	Nord de la Mer Egée, $D_c = 9,3^\circ$ ; ei 09 12 58, e 13 20, e 14 03, e 15 00, e 15,9.
12	ei	21 46 08	Iles Ioniennes, $39^{21}/_4N$ , $20^{21}/_4E$ ; H = 21 40 15 (BCIS), $D_c = 9,4^\circ$ ; F 21 50.
12	iP	21 52 32	C. Iles Aléoutiennes, $D_c = 79,5^\circ$ ; F 22 00.
12	iP e	22 12 09 21 30	D. Iles Aléoutiennes, $D_c = 79,5^\circ$ ; LmH: 15 s, 7 $\mu$ ; e 22 21 24, Lm 22 55, Lm 59.
14	eiPn eiSn	00 58 06 01 00 00	Nord de la Mer Egée, $D = 10,1^\circ$ ; $D_c = 9,3^\circ$ ; LmH: 6 s, 3 $\mu$ ; ei 00 58 43, ei 59 24, ei 00 18, ei 00 40, Lm 01 02, Lm 03, F 02 15.
14	eiP	06 40 15	C. Crète, $D_c = 14,4^\circ$ ; i 06 40 24, i 43 04, dans le changement des feuilles.
14	eiPn eL	19 25 04 28 34	Mer Egée, $D_c = 9,4^\circ$ ; LmH: 12 s, 18 $\mu$ ; ei 19 25 40, ei 26 38, e 27 04, Lm 29, F 19 40.



Date	Phase	h m s	Remarques
16	eiPKP	06 35 16	C. Nouvelle Bretagne, $D_c = 122^\circ$ ; i 06 35 35, e 36 53, F 06 40.
19	eiP	15 25 23	Est de l'Afghanistan, $D_c = 41^\circ$ ; ei 15 26 09, ei 27 11, F 15 30.
20	eiP	16 40 02	Iles de Dodecanèse, $D_c = 13,2^\circ$ ; LmH: 9 s, 2,5 $\mu$ ; ei 16 40 23, ei 41 11, Lm 47,0, F 16 50.
20	iP	19 47 10	D. Iles Kouriles, $D_c = 77,5^\circ$ ; ei 19 47 16, ei 47 40, F 19 52.
20	iP eiS	19 53 35 57 06	D. Caucase, $D = 19,3^\circ$ ; $D_c = 18^\circ$ ; LmH: 15 s, 4,5 $\mu$ ; i 19 53 44, ei 55 03, e 20 00 23, Lm 20 31, F 20 40.
24	iP iPP eiSKS eiS eSS L	19 30 44 34 25 41 11 41 40 46 54 59,0	D. Oaxaca, Mexique, $D = 92^\circ$ ; $D_c = 92,3^\circ$ ; LmH: 24 s, 15,6 $\mu$ ; i 19 31 02, i 31 13, ei 36 25, ei 38 01, ei 39 05, ei 40 26, ei 41 02, e 49 35, Lm 20 10, Lm 20 17, F 20 45.
26	iP eiPP eiS	04 25 15 28 34 35 30	C. Région Iles Riou-Kiou, $D_c = 81,8^\circ$ ; LmH: 9 s, 2,3 $\mu$ ; i 04 25 27, ei 26 16, ei 27 09, Lm 04 57, F 05 05.
27	iPn iPg iSn	20 39 23 39 39 40 02	C. Frontière Hongrie-Roumaine, $D = 3,3^\circ$ ; $D_c = 3,9^\circ$ ; LmH: 2 s, 5,5 $\mu$ ; i 20 39 26, i 39 29, i 39 45, i 39 50, i 40 23, Lm 40,7, Lm 41,5, F 21 00.
27	eiPn eiSn	21 47 14 47 56	Frontière Hongrie-Roumanie, $D = 3,5^\circ$ ; $D_c = 3,7^\circ$ ; ei 21 48 08, ei 48 32, F 21 52.
28	ePn eiSn	02 02 36 03 18	Réplique. Frontière Hongrie-Roumanie. $D = 3,5^\circ$ ; $D_c = 3,7^\circ$ ; ei 02 03 03, ei 03 54, F 02 06.
28	ePn ePg eiSn eiSg	06 11 19 11 31 12 08 12 31	Frontière Hongrie-Roumanie. Réplique du 27. V. $D_c = 3,9^\circ$ ; LmH: 1,8 s, 0,1 $\mu$ ; ei 06 11 50, ei 12 13, Lm 13,4, F 06 16.
29	ePKP eipPKP eiPP eiSKKS	11 02 17 02 41 05 41 12 12	Nouvelles Hébrides, $D_c = 143,2^\circ$ ; ei 11 06 29, ei 08 08, F 11 14.
31	les appareilles hors de fonctionnement.		

Date	Phase	h m s	Remarques
1	Les appareils hors de fonctionnement		
2	eP eS	02 50 19 03 00 45	Région Iles Batan, $D = 85^\circ$ ; $D_c = 83,5^\circ$ ; LmH: 15 s, 6,5 $\mu$ ; e 02 50 27, ei 51 31, Lm 03 06.
2	ePKP <sub>2</sub>	03 43 37	Région Iles Tonga, $D_c = 154,9^\circ$ ; e 03 43 43, F 03 45.
2	eipPKP <sub>2</sub>	03 52 16	Région Iles Tonga. Réplique. $D_c = 155^\circ$ ; ei 52, 31, F 03 55.
2	eiPKP <sub>2</sub>	04 08 37	Région Iles Tonga. Réplique. $D_c = 154,9^\circ$ ; ei 04 12 56, F 04 15.
2	eiP	05 09 46	Région Iles Batan, $D_c = 83,3$ ; LmH: 20 s, 17 $\mu$ ; ei 05 09 56, ei 10 13, e 20,5, Lm 44, Lm 31, Lm 54, F 06 10.
3	iP	05 55 03	Iles Aléoutiennes, $D_c = 79,5^\circ$ ; F 05 57.
6	ei	10 34 20	D. ei 10 34 56, F 10 35.
7	iP	13 49 20	D. Océan Atlantique, $D_c = 56,5^\circ$ ; LmH: 13 s, 3,5 $\mu$ ; i 13 49 42, ei 51 25, Lm 14 18, Lm 22, F 14 25.
10	eiP eiS eiL	04 19 14 22 00 23 44	Région Crète, $D = 15^\circ$ ; $D_c = 15,6^\circ$ ; LmH: 9 s, 5 $\mu$ ; ei 04 19 20, ei 20 05, ei 20 41, ei 23 12, Lm 25,5, Lm 28, F 04 40.
13	eiP	12 06 00	Près de la côte S de la Turquie, $D_c = 16,5^\circ$ ; ei 12 06 12, ei 06 27, ei 06 52, ei 07 36, ei 09 37, F 12 15.
13	iPn iPg iSn iSg	21 57 39 57 50 58 16 58 32	D. Alpes de Vénétie, $D = 3,1^\circ$ ; $D_c = 3,6^\circ$ ; LmH: 2 s, 42 $\mu$ ; i 21 58 08, Lm 21 58,7, F 22 10.
14	eP eiPP iSKS eiPS eSS eSSS G eL	00 25 49 30 06 36 23 39 10 44 34 48 30 55,0 57,4	SW de la Bolivie, $D = 102^\circ$ ; $D_c = 102^\circ$ ; LmH: 20 s, 41 $\mu$ ; ei 00 26 20, ei 29 20, i 37 47, ei 39 59, e 41 56, Lm 01 10, Lm 01 13, Lm 20, F 02 00.



Date	Phase	h m s	Remarques
16	<del>eiPn</del>	00 34 13	Bulgarie, $D = 7,1^\circ$ ; $D_c = 7,6^\circ$ ; LmH: 2,5 s, 0,4 $\mu$ ; ei 00 34 22, ei 35 44, Lm 00 37, F 00 45.
	<del>eiPg</del>	34 45	
	<del>eiSn</del>	35 35	
	<del>eiSg</del>	36 19	
	<del>L</del>	36 28	
16	eiPKP	02 59 13	Nouvelle Guinée, $D_c = 116,7^\circ$ ; ei 03 00 19, ei 00 26, e 00 49, F 03 03.
16	<del>iPn</del>	03 29 50	D. Yougoslavie, $D = 3,9$ ; $D_c = 4,2$ ; LmH: 2,1 s, 0,5 $\mu$ ; i 03 29 58, Lm 03 31,5, F 03 40.
	<del>iPg</del>	30 08	
	<del>iSn</del>	30 37	
	<del>eiSg</del>	30 58	
	<del>L</del>	31	
17	<del>ePn</del>	12 33 37	Région frontière Albanie—Yougoslavie, $D = 7,3^\circ$ ; $D_c = 7,2^\circ$ ; LmH: 9 s, 4,5 $\mu$ ; ei 12 34 34, ei 34 49, ei 35 34, Lm 12 36,3, F 12 45.
	<del>eiSn</del>	35 01	
18	<del>eiP</del>	15 43 00	Kamtchatka, $D = 75^\circ$ ; $D_c = 73^\circ$ ; LmH: 20 s, 214 $\mu$ ; ei 15 45 33, ei 47 18, ei 52 45, e 54 48, e 55 42, e 57,0, Lm 16 13, Lm 19,5, F 17 00.
	<del>eS</del>	52 33	
	<del>eL</del>	16 05	
18	<del>eiP</del>	16 10 15	Kamtchatka, $D = 71,5^\circ$ ; $D_c = 73,1^\circ$ ; ei 16 19 15, F dans le précédent.
	<del>eS</del>	19 30	
19	<del>iPg</del>	08 59 59	F 09 00 03.
20	<del>iP</del>	16 50 45	D. Océan Atlantique, $D_c = 45,2^\circ$ .
25	<del>eiP</del>	06 52 53	D. Islande, $D_c = 26,3^\circ$ ; LmH: 15 s, 8 $\mu$ ; ei 06 53 38, e 57 32, e 07 01,0, Lm 07 05, F 07 20.
	<del>L</del>	07 02	
26	<del>eiPn</del>	13 46 22	C. Roumanie, $D = 6,9^\circ$ ; $D_c = 6,8^\circ$ ; LmH: 3 s, 0,3 $\mu$ ; ei 13 46 29, ei 46 35, ei 46 41, ei 48 11, ei 48 37, Lm 49, F 13 53.
	<del>eiSn</del>	47 41	
27	<del>iP</del>	19 19 32	C. Chine, $D_c = 43,6^\circ$ ; i 19 19 38, i 19 56, i 21 14.
27	<del>iPKP</del>	19 24 16	D. Sud des îles Kermadec, $D = 160^\circ$ ; $D_c = 159,5^\circ$ ; LmH: 18 s, 5 $\mu$ ; ei 19 34 52, ei 38 38, Lm 20 04, F 20 15.
	<del>ipPKP</del>	24 48	
	<del>isPKP</del>	25 00	
	<del>eiPP</del>	28 44	
	<del>eiSKS</del>	30 50	
	<del>eiPPP</del>	32 53	

Date	Phase	h m s	Remarques
2	<del>iPKP<sub>1</sub></del>	11 46 29	Iles Fidji, $D_c = 149,2^\circ$ ; F 11 48.
2	<del>eiPKP<sub>1</sub></del>	11 52 59	Iles Fidji, $D_c = 149,2^\circ$ ; F 11 57.
	<del>iPKP<sub>2</sub></del>	53 02	
	<del>eipPKP<sub>1</sub></del>	55 29	
3	<del>eiPKP</del>	18 14 44	Région des Nouvelles Hébrides, $D_c = 142,2^\circ$ ; LmH: 22 s, 18 $\mu$ ; e 18 22 35, Lm 18 14, Lm 30, F 18 45.
	<del>ipPKP</del>	15 26	
	<del>eiPKS</del>	18 26	
	<del>eSKS</del>	21 47	
	<del>eSSS</del>	42 59	
	<del>eL</del>	58	
4	<del>eiPKP<sub>1</sub></del>	05 13 59	Région des îles Tonga, $D_c = 154^\circ$ ; ei 05 15 32, F 05 17.
	<del>iPKP<sub>2</sub></del>	14 21	
6	<del>eP</del>	09 23 16	Province de Chaco, Argentine, $D = 102^\circ$ ; $D_c = 102,2^\circ$ ;
	<del>eipP</del>	25 31	
	<del>iPP</del>	27 37	
	<del>iSKS</del>	32 45	
	<del>eiS</del>	34 04	
6	<del>eipP</del>	09 38 39	Province de Chaco, Argentine, $D_c = 102,3^\circ$ ; ei 09 40 30, e 48 00, e 50 45, e 52 36, F 10 15.
	<del>eisP</del>	39 30	
	<del>iPP</del>	40 48	
	<del>iSKS</del>	46 04	
	<del>eiSKKS</del>	46 36	
	<del>eS</del>	47 08	
	<del>epSKS</del>	48 45	
9	<del>e</del>	16 22 59	Frontière Chili-Bolivie, $D_c = 102^\circ$ ; LmH: 18 s, 7 $\mu$ ; e 16 33 42, Lm 17 06, F 17 10.
	<del>eiPP</del>	23 18	
	<del>eiSKS</del>	29 36	
	<del>eiS</del>	30 30	
	<del>eiPS</del>	32 24	
	<del>ePPS</del>	33 09	
	<del>L</del>	58	
11	<del>ePP</del>	12 19 10	Océan Indien, $D_c = 100,1^\circ$ ; LmH: 20 s, 4 $\mu$ ; e 12 19 39, ei 20 31, Lm 13 16.
12	<del>eiPKP<sub>1</sub></del>	00 43 24	Région des îles Fidji, $D_c = 147,2^\circ$ ; i 00 43 29, ei 46 30, F 00 50.
	<del>eipPKP<sub>1</sub></del>	45 00	



Date	Phase	h m s	Remarques
13	iP eipP eiS	12 40 57 41 23 51 02	C. Iles Andréanov, $D = 81^\circ$ ; $D_c = 79,8^\circ$ ; LmH: 19 s, 16 $\mu$ ; ei 12 41 36, ei 51 38, Lm 24, F 12 30.
14	eiPn eiSn	20 28 42 30 28	Grèce, $D = 9,3^\circ$ ; $D_c = 9,0^\circ$ ; ei 20 30 16, F 20 35.
16	eiP	15 29 42	Iles Aléoutiennes, $D_c = 80,4^\circ$ ; e 15 29 54, F 15 32.
18	iP eiPP eiSKS eiS eSS Q	20 07 33 10 50 17 42 17 54 23 29 30	C. Luçon, Philippines, $D = 84,5^\circ$ ; $D_c = 87^\circ$ ; LmH: 24 s, 58 $\mu$ ; i 20 07 42, e 18 35, Lm 41, Lm 45, F 21 15.
19	eP eipP iPP iSKS e(S) ePPS	15 19 23 20 24 23 33 29 50 30 50 32 50	D. Pérou, $D = 101,5^\circ$ ; $D_c = 99,4^\circ$ ; LmH: 21 s, 37 $\mu$ ; e 15 22 05, ei 22 44, ei 24 24, ei 25 38, e 30 00, ei 33 26, Lm 51, Lm 16 03, F 17 15.
22	iP ipP eisP iS esS eL	19 34 42 36 51 37 56 43 18 47,0 20 14	C. Mer d'Okhotsk, $D = 73^\circ$ ; $D_c = 72,4^\circ$ ; LmH: 10 s, 7 $\mu$ ; ei 19 34 57, ei 35 27, i 43 48, i 43 56, Lm 20 25, F 20 40.
22	iPKP eiPP eiPPP eiSKS L	23 21 24 22 53 23 51 28 24 00 01	C. Nouvelle Bretagne, $D = 120^\circ$ ; $D_c = 122,6^\circ$ ; LmH: 21 s, 19,5 $\mu$ ; e 23 40,0, Lm 00 16, Lm 23, Lm 30.
23	eiPKP <sub>1</sub> iPKP <sub>2</sub> ePP	15 16 33 16 55 20 44	Région des Iles Tonga, $D = 155^\circ$ ; $D_c = 154,4^\circ$ ; ei 15 16 41, ei 15 17 27, F 15 30.
24	eiP PcP eS L	01 35 50 36 11 46 21 02 03	Californie, $D = 86^\circ$ ; $D_c = 84,9^\circ$ ; LmH: 19 s, 14 $\mu$ ; e 47 12, Lm 02 13, Lm 02 17, F 02 40.

Date	Phase	h m s	Remarques
24	ei	13 41 11	F 13 42.
24	eP eiPP	16 28 08 28 23	D. Inde-Birmanie, $D_c = 63,8^\circ$ ; F 16 30.
31	eiP	10 33 32	Mer Caspienne, $D_c = 25^\circ$ ; ei 10 34 08, F 10 38.
31	ei	15 30 32	ei 15 32 20, F 15 35.
31	eiP iPP	20 00 46 02 08	Tadjik, $D_c = 42,2^\circ$ ; ei 20 10 32, Lm 17 32, F 20 30.

## Août 1959

Date	Phase	h m s	Remarques
4	ei	01 21 05	i 01 21 05, e 23 20, F 01 25.
6	eiPn iSn	16 11 18 12 01	Bosnie, Yougoslavie, $D = 5,5^\circ$ ; $D_c = 6,2^\circ$ ; LmH: 1,5 s, 0,2 $\mu$ ; ei 16 11 25, ei 11 40, i 12 20, F 16 18.
7	eiP	01 56 27	Adriatique, $D_c = 6^\circ$ ; ei 01 57 27, e 57 51, F 02 05.
7	eiP	10 55 18	Région de l'île Kodiak, $D_c = 75,4^\circ$ ; ei 10 55 27, F 10 58.
7	eiP	21 57 12	Ile Kodiak, $D_c = 75,6^\circ$ ; ei 21 57 27, F 22 00.
8	iP eiS	00 59 12 08 42	D. Kamtchatka, $D = 74^\circ$ ; $D_c = 72,8^\circ$ ; LmH: 21 s, 27 $\mu$ ; ei 00 59 24, e 02 39, e 09 12, e 09 45, Lm 01 30, Lm 37, F 01 45.
9	eiPKP	20 48 36	Iles Salomon, $D_c = 131,2^\circ$ ; ei 20 52 07, e 52 38, e 53 18, F 20 55.
10-11 les appareils hors de fonctionnement			
11	eiPn Sg	23 29 57 32 19	Frontière Macédoine-Yougoslavie, $D = 8,1^\circ$ ; $D_c = 8,3^\circ$ ; LmH: 4 s, 1,1 $\mu$ ; i 23 30 39, ei 31 09, Lm 32,8, F 23 45.



Date	Phase	h m s	Remarques
12	✓ eiPKP <sub>1</sub> ✓ eiPP ✓ eiPKS	10 18 05 21 16 21 49	D. Région des îles Fidji, D = 143°; D <sub>c</sub> = 145,8°; LmH: 33 s, 17 μ; i 10 18 14, ei 18 43, ei 19 40, e 26 19, e 28 21, Lm 11 10, Lm 11 20, Lm 26, Lm 31, F 12 00.
13	✓ eiP ✓ eS	00 38 24 42 36	République d'Azerbeïdjan, URSS, D = 24°; D <sub>c</sub> = 23,2°; ei 00 38 35, ei 38 43, F 00 45.
15	✓ eiP ✓ eiPP ✓ eiS ✓ eiPS	09 09 27 12 37 19 41 20 36	C. Sud de Formose, D = 83°; D <sub>c</sub> = 81,7°; LmH: 20 s, 111 μ; ei 09 12 17, e 21 15, e 25 33, e 29 03, Lm 09 42, Lm 51, Lm 59, F 11 00.
16	✓ eiPKP <sub>1</sub>	01 11 22	Région îles Loyauté, D <sub>c</sub> = 144,8°; F 01 15.
16	✓ eiPn	18 44 54	Péloponèse, D <sub>c</sub> = 11,3°; LmH: 5 s, 15 μ; ei 18 45 06, e 48 01, Lm 18 50, F 18 55.
17	✓ eiPn ✓ iPg ✓ iSn ✓ iSg	01 35 04 35 33 36 25 37 20	Côte de l'Albanie, D = 7,1°; D <sub>c</sub> = 7,6°; LmH: 4 s, 33 μ; i 01 35 12, i 01 35 25, Lm 01 28, Lm 43, Lm 02 08, F 02 15.
17	✓ eiPn ✓ iSn	04 30 57 32 19	Réplique, D = 7,1°; D <sub>c</sub> = 7,4°; LmH: 3 s, 1 μ; i 04 31 06, i 32 33, i 32 48, ei 33 00, Lm 04 34, F 04 45.
17	✓ e ✓ eiPKP ✓ eiPP ✓ eiPPP ✓ ePS ✓ eSS ✗ L	21 22 43 23 49 25 43 28 30 35 34 42,0 22 01,0	Îles Salomon, D = 126°; D <sub>c</sub> = 126,6°; LmH: 21 s, 72 μ; ei 21 26 17, ei 30 16, ei 33 07, e 34 28, e 40 43, e 45,0, Lm 22 10,0, Lm 22 17, Lm 22 24, F 23 30.
18	✓ eiP	00 46 15	Formose, D <sub>c</sub> = 82,8°; ei 00 46 27, ei 46 46, ei 47 45, F 00 53.
18	✓ eiP ✓ eiPP ✓ eiS	06 49 10 52 18 59 09	D. Lac Hebgen, Montana USA, D = 80°; D <sub>c</sub> = 80,6°; LmH: 16 s, 40 μ; i 06 49 16, ei 49 51, e 07 04, e 07 08, e 08 12, Lm 08 25, F 08 30.
18	✓ ei	08 08 11	Réplique; F 07 10.
18	✓ iP ✓ eS ✓ Lm	15 38 00 47 36 16 04	Réplique, D = 75°; D <sub>c</sub> = 77°; LmH: 16 s, 18 μ; ei 15 38 28, ei 40 54, e 48 18, Lm 16 12, Lm 16 16, F 16 30.

Date	Phase	h m s	Remarques
18	✓ eiPn ✓ iSn	22 06 02 07 21	Albanie. D = 6,8°; D <sub>c</sub> = 7,5°; LmH: 3 s, 0,7 μ; i 22 06 17, ei 08 12, Lm 22 08,8, F 22 15.
19	✓ eiPn	15 33 39	S des Carpathes, D <sub>c</sub> = 5,3°; LmH: 3 s, 0,2 μ; ei 15 33 46, ei 34 08, ei 34 41, ei 35 05, i 35 20, Lm 15 36, F 15 40.
19	✗ eiPKP	17 32 24	Région îles Tonga, D <sub>c</sub> = 150,3°; F 17 34.
21	✓ eiPKP ✓ eipPKP	08 23 00 25 08	Océan Indien, D <sub>c</sub> = 143,2°; ei 08 24 17, F 08 35.
21	✓ ePKP	09 57 35	Océan Indien, D <sub>c</sub> = 143,1°; e 09 10 00, F 09 10 04.
23	✗ eiPKP	20 35 29	Région îles Samoa, D <sub>c</sub> = 145,5°; F 20 38.
23	✓ eiP ✓ eiS	22 26 00 29 26	Méditerranée, D = 19,5°; D <sub>c</sub> = 20°; LmH: 8 s, 3,5 μ; i 22 26 04, ei 27 35, ei 28 26, e 30 38, Lm 22 37, F 22 45.
24	✓ ePKP ✓ eiPP ✓ ePS ✓ eiPPS ✓ eSS ✗ L	21 50 05 53 35 55 22 56 14 22 10 11 22 27	D. Îles Salomon, D = 132°; D <sub>c</sub> = 131,7°; LmH: 24 s, 55 μ; i 21 50 08, ei 21 52 17, e 54 25, e 22 02 08, e 05 25, e 22 15, Lm 22 39, Lm 22 43, Lm 50, F 00 00.
25	✓ eiPn ✗ eiSn	11 59 47 01 07	Albanie, D = 7,8°; D <sub>c</sub> = 7,9°; LmH: 9 s, 2,6 μ; ei 12 00 23, ei 02 14, e 03,3, F 12 05.
26	✓ iP ✓ eiPP ✓ eiSKS ✓ iS ✓ ei(PS) ✗ L	08 38 35 42 00 49 05 49 29 50 24 09 05	D. Veracruz, D = 91,5°; D <sub>c</sub> = 90°; LmH: 21 s, 22 μ; i 08 38 47, ei 40 26, ei 42 34, ei 44 08, ei 49 53, ei 51 29, ei 51 55, ei 53 21, Lm 09 17, Lm 09 24, F 09 45.
26	✓ iP ✓ eS ✗ L	10 39 43 49 35 11 07	C. Région des îles de la Reine Charlotte, D = 68,5°; D <sub>c</sub> = 78,3°; LmH: 20 s, 40 μ; ei 10 42 34, e 51 16, e 54 35, Lm 11 17, Lm 11 21, F 11 45.
26	✓ eiP	11 05 38	Au large SW de Sainte Hélène, D <sub>c</sub> = 75,5°; ei 11 05 50, F 11 10.
28	✓ ei	11 49 44	ei 11 49 48, F 11 51.



Date	Phase	h m s	Remarques
29	<del>eiP</del>	17 12 41	Lac Baikal, URSS, $D = 54^\circ$ ; $D_c = 54,5^\circ$ ; LmH: 11 s, 78 $\mu$ ; ei 17 17 08, ei 18 20, i 20 20, ei 21 06, ei 21 37, e 29 44, e 31 05, Lm 17 37,5, Lm 17 40,5, F 18 45.
	<del>eiPP</del>	14 44	
	<del>eiPPP</del>	15 56	
	<del>iS</del>	20 14	
	<del>iPS</del>	20 29	
	<del>eSS</del>	24 00	
	<del>eSSS</del>	26 05	
	<del>eL</del>	28 31	
29	<del>eiPn</del>	19 35 26	Yougoslavie, $D = 3,8^\circ$ ; $D_c = 5,2^\circ$ ; LmH: 4 s, 1 $\mu$ ; i 19 35 33, ei 36 02, ei 36 33, Lm 19 37, F 19 40.
	<del>eiSn</del>	36 12	
30	<del>iP</del>	03 29 26	Méditerranée, $D_c = 20,2^\circ$ ; LmH: 5 s, 1 $\mu$ ; ei 03 29 35, ei 30 17, e 33 16, Lm 03 38, F 03 45.

## Septembre 1959

Date	Phase	h m s	Remarques
1	<del>eiP</del>	07 35 00	Crête médiane de l'Atlantique, $D_c = 32,8^\circ$ ; F 07 36.
	<del>eiPP</del>	35 15	
1	<del>eiP</del>	11 01 03	Nord de Porto-Rico, $D_c = 69,8^\circ$ ; F 11 04.
	<del>eiPcP</del>	01 13	
1	<del>eiPn</del>	11 39 32	Albanie, $D = 7,5^\circ$ ; $D_c = 7,4^\circ$ ; LmH: 7 s, 80 $\mu$ ; i 11 39 39, i 41 13, Lm 43, F 12 30.
	<del>iP</del>	39 44	
	<del>iPg</del>	40 06	
	<del>iSn</del>	40 58	
	<del>iS</del>	41 21	
	<del>iSg</del>	41 35	
	<del>iL</del>	42 13	
3	<del>eiPKP<sub>1</sub></del>	02 57 51	Région îles Tonga-Fidji, $D_c = 149,8^\circ$ ; ei 02 57 58.
	<del>eipPKP<sub>1</sub></del>	02 59 00	
3	<del>eiPn</del>	04 04 04	Albanie, $D = 7,4^\circ$ ; $D_c = 7,5^\circ$ ; LmH: 4 s, 1 $\mu$ ; ei 04 04 21, ei 05 11, e 05 17, ei 05 23, ei 05 11, ei 06 29, Lm 07,2, F 04 15.
	<del>eiPg</del>	04 38	
	<del>eiSn</del>	05 29	
	<del>eiSg</del>	06 11	

Date	Phase	h m s	Remarques
4	<del>eiPn</del>	08 38 46	Bade Allemagne, $D = 6,1^\circ$ ; $D_c = 6,2^\circ$ ; ei 08 39 32, ei 40 10, ei 40 13, F 08 45.
	<del>eiSn</del>	39 56	
4	<del>ePn</del>	11 00 25	Albanie, $D_c = 7,4^\circ$ ; LmH: 5 s, 1 $\mu$ ; ei 11 01 22, ei 01 45, ei 02 31, Lm 11 03,6, F 11 10.
	<del>eiPg</del>	00 55	
	<del>eiSg</del>	02 16	
4	<del>eiPn</del>	16 18 11	Albanie, $D_c = 7,4^\circ$ ; F 16 20.
	<del>eiPg</del>	18 32	
4	<del>iP</del>	18 36 55	Océan Atlantique, $D_c = 60,8^\circ$ ; e 18 40 25, F 18 42.
	<del>eiPcP</del>	37 37	
5	<del>iPKP<sub>1</sub></del>	23 23 45	Iles Fidji, $D_c = 147,2^\circ$ ; F 23 25.
	<del>eipPKP<sub>1</sub></del>	26 00	
6	<del>ei</del>	20 47 19	F 20 48.

## 7-8 les appareils hors de fonctionnement.

9	<del>eiPn</del>	17 50 03	Région de Zabrze, Pologne, $D_c = 3,6^\circ$ ; ei 17 50 42, F 17 52.
	<del>eiSn</del>	50 51	
12	<del>iPKP</del>	02 12 48	Mer de Bismark, $D_c = 117,7^\circ$ ; ei 02 13 12, ei 13 57, F 17 52.
12	<del>ePKP<sub>1</sub></del>	11 43 39	Région îles Salomon, $D_c = 128,2^\circ$ ; ei 11 44 18, F 11 50.
12	<del>eiP</del>	21 27 24	Hindou-Kouch, $D_c = 41,2^\circ$ ; ei 21 29 36, F 21 35.
	<del>epP</del>	28 06	
	<del>eisP</del>	28 30	
	<del>iPP</del>	29 03	
14	<del>eiPKP<sub>1</sub></del>	13 35 42	Région des îles Tonga, $D_c = 153,9^\circ$ ; F 13 40.
	<del>eiPKP<sub>2</sub></del>	36 15	
14	<del>iPKP<sub>1</sub></del>	14 29 37	D. Iles Kermadec, $D = 158^\circ$ ; $D_c = 157,1^\circ$ ; LmH: 25 s, 55 $\mu$ ; i 14 29 47, ei 34 22, ei 40 25, ei 42 02, ei 48 31, e 50 07, e 51 08, e 15 02,7, Lm 15 35, Lm 41, Lm 46,5, Lm 50,0, Lm 54,0, Lm 59, F 17 00.
	<del>iPKP<sub>2</sub></del>	30 13	
	<del>iPP</del>	33 55	
	<del>eSKS</del>	37 19	
	<del>eiSKKS</del>	41 27	
	<del>iSKSP</del>	44 49	
	<del>eiPPS</del>	47 25	
	<del>eSS</del>	53,2	
	<del>eL</del>	15 32	



Date	Phase	h m s	Remarques
14	<del>iPKP<sub>1</sub></del> <del>iPKP<sub>2</sub></del>	15 18 40 19 13	Réplique, $D_c = 157^\circ$ ; ei 15 22 49, ei 23 19, F 17 25.
14	<del>iPKP<sub>1</sub></del> <del>iPKP<sub>2</sub></del> <del>eiPP</del> <del>eiSKS</del>	17 26 13 26 46 29 55 34 07	D. Réplique, $D_c = 157,1^\circ$ ; LmH: 21 s, 9 $\mu$ ; i 17 26 25, ei 17 30 19, ei 30 28, ei 31 35, ei 35 49, e 37 10, Lm 18 34,0, Lm 18 42, F 19 03.
14	<del>iP</del>	17 34 28	Iles Kouriles, $D_c = 78^\circ$ ; F 17 36.
14	<del>eiPKP<sub>1</sub></del>	22 43 52	D. Réplique Iles Kermadec, $D_c = 157^\circ$ ; ei 22 44 34, F 23 46.
15	<del>eiPKP<sub>1</sub></del> <del>iPKP<sub>2</sub></del> <del>eiPP</del> <del>eiSKS</del> <del>L</del>	06 19 40 20 15 23 31 26 46 07 07 14	D. Réplique, $D = 158^\circ$ ; $D_c = 157,1^\circ$ ; LmH: 24 s, 27 $\mu$ ; ei 06 19 49, ei 19 58, i 20 39, ei 29 40, ei 31 25, Lm 07 25, Lm 33, Lm 41, F 08 30.
15	<del>eiPg</del> <del>eiSg</del>	10 45 55 45 59	F 10 46.
15	<del>iPKP<sub>1</sub></del> <del>eiPKP<sub>2</sub></del> <del>ipPKP<sub>1</sub></del> <del>eiPKS</del> <del>eiSKS</del> <del>eiSKKS</del>	11 24 17 24 49 26 44 27 38 31 19 33 58	D. Région Iles Fidji, $D_c = 150,2^\circ$ ; i 11 24 24, i 24 32, ei 25 16, ei 26 37, ei 28 49, ei 29 37, ei 33 22, F 11 40.
15	<del>ei</del>	17 24 34	ei 17 24 37, F 17 24,7.
16	<del>eiP</del>	05 17 25	Près de la côte N de la Crête, $35,3^\circ\text{N}$ ; $26,0^\circ\text{E}$ ; H = 05 13 52 (BCIS). $D_c = 14,4^\circ$ ; ei 06 17 13, ei 17 41, ei 18 02, e 22 26, F 05 30.
16	<del>ePKP<sub>1</sub></del> <del>ePKP<sub>2</sub></del>	16 17 08 17 38	Réplique, Iles Kermadec, $D_c = 157,1^\circ$ ; F 16 20.
17	<del>ePKP<sub>1</sub></del>	14 56 10	Réplique, $D_c = 157^\circ$ ; ei 14 56 43, ei 57 01, F 14 58 05.
21	<del>eiPKP</del>	02 27 30	Nouvelle Guinée, $D_c = 124,2^\circ$ ; ei 02 28 21, ei 29 11, F 02 30.
24	<del>eiP</del> <del>eiPP</del>	05 51 39 53 27	Océan Arctique, $D_c = 43^\circ$ ; ei 05 51 49, ei 52 02, F 05 57.

Date	Phase	h m s	Remarques
25	<del>iP</del> <del>iPcP</del> <del>eiPP</del> <del>eiPPP</del> <del>eiS</del> <del>ePS</del> <del>eSS</del>	02 49 16 49 22 51 26 53 10 59 34 03 00 34 05,0	D. Près de la côte E de Formose, $D = 83^\circ$ ; $D_c = 82,5^\circ$ ; LmH: 27 s, 31 $\mu$ ; i 02 49 31, ei 49 46, ei 50 38, ei 54 43, ei 03 00 01, e 20 25, Lm 03 25, Lm 27, Lm 33, Lm 44, F 04 00.
25	<del>eiP</del>	07 22 27	Caucase, $D_c = 17,3^\circ$ ; ei 07 22 31, F 07 24.
26	<del>eiP</del> <del>eS</del> <del>L</del>	08 33 28 43 52 09 07	Au large de la côte de l'Oregon, $D = 85^\circ$ ; $D_c = 83,7^\circ$ ; LmH: 15 s, 5 $\mu$ ; i 08 33 36, ei 33 58, ei 34 07, ei 34 41, Lm 14, F 09 25.
28	<del>eiP</del>	04 33 00	Iles Okinawa, $D_c = 83,2^\circ$ ; ei 04 33 11, F 04 35.
29	<del>ePKP<sub>1</sub></del> <del>eiPKP<sub>2</sub></del> <del>eiPP</del> <del>e(PPP)</del> <del>eiSKKS</del> <del>eSKSP</del>	15 51 55 52 25 56 25 16 01 25 02 20 07 10	Iles Kermadec, $D = 157^\circ$ ; $D_c = 158^\circ$ ; LmH: 21 s, 9 $\mu$ ; e 15 53 00, e 53 55, e 55 10, ei 55 46, ei 01 55, e 18,0, Lm 17 05, Lm 17 09, Lm 17 19, Lm 17 24, Lm 17 31, F 17 40.
30	<del>eiPKP</del> <del>eiPP</del>	20 45 34 48 29	Nouvelles Hébrides, $D_c = 141,8^\circ$ ; ei 20 45 44, ei 46 38, F 20 52.

## Octobre 1959

Date	Phase	h m s	Remarques
1	<del>eiP</del> <del>eiPP</del> <del>eiPPP</del>	04 40 35 40 50 41 01	Péloponèse, Grèce, $D_c = 12^\circ$ ; ei 04 44 17, F 04 50.
5	<del>eiP</del> <del>ei</del> <del>eiPcP</del>	18 04 28 04 36 06 10	Océan Arctique, $D_c = 42,3^\circ$ ; F 18 07.
5	<del>eiP</del> <del>eiPcP</del> <del>eS</del>	18 35 46 37 25 41,0	Océan Arctique, $D_c = 42,8^\circ$ ; LmH: 1,5 s, 0,1 $\mu$ ; ei 18 36 45, e 43 37, Lm 18 58,6, F 19 15.



Date	Phase	h m s	Remarques
5	<del>eiPn</del> <del>iSn</del> <del>iSg</del>	20 35 56 37 22 38 13	Albanie, $D = 7,5^\circ$ ; $D_c = 7,3^\circ$ ; LmH: 4 s, 4 $\mu$ ; ei 20 36 25, i 36 37, ei 37 30, i 38 28, Lm 38,8, F 20 55.
7	<del>iPn</del> <del>iPb</del> <del>iPg</del> <del>iSn</del> <del>iSb</del> <del>eiSg</del>	08 32 33 32 48 33 07 33 54 34 24 34 45	Albanie, $D = 7,5^\circ$ ; $D_c = 7,4^\circ$ ; LmH: 6 s, 26 $\mu$ ; Lm 08 35,2, F 08 45.
7	<del>eiPn</del> <del>eiSn</del>	21 21 25 22 48	Albanie, $D_c = 7,3^\circ$ ; ei 21 21 48, ei 23 35, F 21 25.
8	<del>iP</del>	02 47 36	Iles Aléoutiennes, $D_c = 78,7^\circ$ ; F 02 48.
10	<del>eiPn</del> <del>eSn</del> <del>eSg</del>	16 13 10 14 31 15 22	Au large de la côte de l'Albanie, $D_c = 8,4^\circ$ , ei 16 13 18, ei 14 01, F 16 20.
12	<del>iP</del> <del>iPcP</del> <del>eiPP</del> <del>iS</del>	03 34 17 34 27 37 21 44 30	Près de la côte de Sumatra, $D = 82,8^\circ$ ; $D_c = 82,9^\circ$ ; i 03 34 40, ei 35 12, ei 35 27, ei 36 00, ei 44 49, F 03 48.
15	<del>eiP</del> <del>eiPP</del> <del>eS</del> <del>L</del>	06 29 17 32 56 39 53 07 03	Célèbes, $D_c = 96,1^\circ$ ; LmH: 22 s, 25 $\mu$ ; ei 06 32 21, i 33 27, e 39 23, e 40 47, Lm 07 13, Lm 19, F 08 00.
15	<del>iP</del> <del>eiPcP</del>	07 52 29 52 46	D. Iles Kouriles, $D_c = 78,5^\circ$ ; F 07 54.
19	<del>eiP</del> <del>eipP</del>	02 58 55 59 29	Iles Kouriles, $D_c = 77^\circ$ ; F 03 00.
19	<del>eiPKP<sub>1</sub></del> <del>eiPKP<sub>2</sub></del> <del>ePKS</del>	08 47 17 47 52 51 34	Iles Kermadec, $D_c = 156,2^\circ$ ; F 08 52.
19	<del>eiPP</del>	16 14 27	Région des îles Sandwich, $D_c = 110^\circ$ ; LmH: 14 s, 3 $\mu$ ; Lm 16 45.

Date	Phase	h m s	Remarques
24	<del>iP</del> <del>iPP</del> <del>eS</del> <del>eSS</del>	23 47 50 49 18 52 42 56 20	Kirghisie, $D_c = 37,4^\circ$ ; i 23 47 57, ei 48 13, ei 48 47, ei 50 48, e 53 43, e 58 05, e 00 00 35, e 01 41, e 04 39, Lm 06 41, F 00 15.
25	<del>iP</del> <del>iPP</del>	16 02 25 02 38	E de la Turquie, $D_c = 18,5^\circ$ ; ei 17 05 16, F 16 00.
26	<del>iP</del> <del>eiPcP</del> <del>eiPP</del> <del>ePPP</del> <del>eiS</del> <del>ePPS</del> <del>L</del>	07 47 30 47 35 50 36 52 27 57 45 58 15 08 19	D. Japon, $D = 83^\circ$ ; $D_c = 81,7^\circ$ ; LmH: 15 s, 25 $\mu$ ; e 08 02 50, Lm 08 26, Lm 08 32, F 09 00.
26	<del>eiP</del> <del>eipP</del>	10 40 37 41 09	Kamchatka, $D_c = 74,5^\circ$ ; F 10 42.
27	<del>iP</del> <del>iPp</del> <del>eipPP</del> <del>eiS</del> <del>epS</del> <del>esSS</del> <del>eSSS</del> <del>L</del>	07 04 45 05 44 07 47 14 32 15 02 20 40 23 40 29	D. Iles Kouriles, $D = 77,5^\circ$ ; $D_c = 78,9^\circ$ ; LmH: 21 s, 10 $\mu$ ; Lm 07 37, Lm 07 43, F 08 30.
29	<del>iPKP</del>	14 39 49	Iles Kermadec, $D_c = 158,3^\circ$ .
29	<del>iP</del> <del>iPP</del> <del>eipPP</del> <del>eiS</del>	40 58 43 46 45 25 49 34	C. Frontière Chine-Corée, $D_c = 73^\circ$ ; ei 14 40 23, ei 43 32, eiNE 44 55, e 49 46, F 14 53.
30	<del>eiP</del>	04 10 19	Yakoutsk, URSS, $D_c = 57,8^\circ$ ; ei 04 10 25, F 04 11.
30	<del>eiPKP</del>	14 18 20	Région des îles Tonga, $D_c = 153,5^\circ$ ; ei 14 18 39, ei 19 05, F 14 25.
31	<del>iPKP<sub>1</sub></del> <del>eiPKP<sub>2</sub></del>	04 46 04 46 37	C. Iles Fidji, $D_c = 146^\circ$ ; e 04 47 46, F 04 55.



Date	Phase	h m s	Remarques
2	eiPKP	20 22 22	Nouvelle Bretagne, $D_c = 122,4^\circ$ ; F 20 25.
	eipPKP	22 42	
2	eiPKP <sub>1</sub>	22 13 04	Région des îles Tonga, $D_c = 154^\circ$ ; F 22 15.
	eiPKP <sub>2</sub>	13 32	
3	iP	09 53 55	C. Sud de Java, $D_c = 100,2^\circ$ ; ei 09 56 17, i 56 58, F 10 05.
6	iPn	07 38 58	Yougoslavie, $D_c = 7,1^\circ$ ; LmH: 6 s, 4 $\mu$ ; Lm 07 42,3, F 07 50.
	iPb	39 10	
	iPg	39 23	
	iSn	40 11	
	eiSb	40 35	
	iSg	40 50	
6	iPKP <sub>1</sub>	12 03 11	C. Région des îles Tonga, $D_c = 154^\circ$ ; i 12 03 42, F 12 10.
	ipPKP <sub>1</sub>	03 23	
7	eP	02 35 12	Algérie, $D_c = 17,5^\circ$ ; LmH: 11 s, 4 $\mu$ ; ei 02 35 36, i 35 52, ei 37 27, ei 39 09, Lm 44 1, F 02 45.
	L	41	
7	eiPKP <sub>1</sub>	22 36 11	Région des îles Tonga, $D_c = 153,8^\circ$ ; F 22 40.
	eiPKP <sub>2</sub>	36 31	
8	iP	14 06 45	D. Japon, $D = 76,5^\circ$ ; $D_c = 75,4^\circ$ ; LmH: 12 s, 11 $\mu$ ; eiN 14 07 35, e 09 16, e 15 32, Lm 39,0, Lm 44,8, F 15 00.
	iPcP	06 52	
	eiPP	11 20	
	eS	16 28	
	ePPS	17 26	
	L	34,0	
10	eiPn	18 04 08	Vrancea, Roumanie, $46,0^\circ\text{N}$ ; $26,9^\circ\text{E}$ , H = 18 02 36 (BCIS), $D_c = 7^\circ$ ; ei 18 04 53, ei 05 17, ei 07 02, F 18 10.
	eiSg	06 21	
15	iP	10 33 07	D. Chatne de Kachgar, $D_c = 42,2^\circ$ ; LmH: 16 s, 11 $\mu$ ; ei 10 33 40, ei 36 21, eN 53 14, Lm 56, F 11 00.
	eiPP	34 41	
	iPPP	35 30	
	eiS	39 27	
	eSS	42 52	
15	iP	17 11 17,5	D. Mer Ionienne, $D = 9,7$ ; $D_c = 10,2^\circ$ ; LmH: 5 s, 50 $\mu$ ; i 17 12 36, i 13 47, Lm 17 15,5, Lm 20, Lm 27, F 18 15.
	iPP	11 29	
	iPPP	11 53	
	iS	13 08	
	iSS	14 44	

Date	Phase	h m s	Remarques
16	iP	10 31 28	C. Crête médiane de l'Atlantique, $D_c = 65,8^\circ$ ; LmH: 19 s, 5 $\mu$ ; i 10 31 37, ei 35 11, Lm 11 03.
	eiPcP	32 05	
	ei	33 26	
	L	55	
19	eiPKP	11 27 25	Nouvelle Quinée, $D_c = 119^\circ$ ; LmH: 27 s, 23 $\mu$ ; ei 11 28 06, ei 30 43, e 45 06, Lm 12 09, F 12 30.
	eiPP	28 40	
	eipPP	29 19	
	e(S)	36,3	
19	iP	14 03 16	Côte W de la Turquie, $D_c = 12,2^\circ$ ; LmH: 10 s, 8 $\mu$ ; ei 14 04 13, ei 06 55, Lm 14 08,3, F 14 15.
	iPP	03 22	
	eiPPP	03 58	
	L	07 31	
22	iPKP <sub>1</sub>	19 53 24	D. Région des îles Fidji, $D_c = 150,9^\circ$ ; i 19 53 30, ei 54 29, ei 55 04, ei 55 51, e 56 06, F 20 00.
	iPKP <sub>2</sub>	53 40	
	eipPKP <sub>1</sub>	55 36	
26	iP	23 22 32	C. Sumatra, $D = 91^\circ$ ; $D_c = 91,4^\circ$ ; LmH: 21 s, 27 $\mu$ ; i 23 22 43, i 23 13, ei 25 43, ei 27 01, Lm 00 10, Lm 00 14, F 00 30.
	eiPP	26 22	
	eS	33 25	
27	eiPn	00 24 55	Grèce, $D_c = 10,3^\circ$ ; LmH: 8 s, 4 $\mu$ ; ei 00 25 23, ei 28 46, Lm 00 34, F 00 40.
27	eiP	19 04 36	Au large W de la côte de Sumatra, $5,5^\circ\text{S}$ , $103^\circ\text{E}$ , H = 18 51 27 (USCGS), $D_c = 91,3$ ; ei 19 05 45, F 19 06.
28	eiPKP <sub>1</sub>	03 05 30	D. Région des îles Fidji, $D_c = 146,1^\circ$ ; e 03 06 39, F 03 10.
	eiPKP <sub>2</sub>	05 56	
28	eiP	03 32 59	D. Iles Riou-Kiou, $D_c = 84^\circ$ ; ei 03 33 05, F 03 34.
30	eiP	11 20 57	D. Chine, $D_c = 42,8^\circ$ ; LmH: 5 s, 2 $\mu$ ; ei 11 21 24, ei 22 43, e 27 48, ei 11 31 21, ei 31 43, ei 33 18, Lm 37, F 11 45.
30	iP	15 30 13	C. Alaska, $D_c = 72,5^\circ$ ; i 15 30 19, F 15 32.



Date	Phase	h m s	Remarques
1	<del>ePn</del> <del>eiSn</del>	12 41 16 43 04	Région Grèce, $D = 9,5^\circ$ ; $D_c = 10,5^\circ$ ; LmH: 8 s, 7 $\mu$ ; e 12 43 54, ei 45 03, Lm 47, F 13 00.
2	<del>eP</del> <del>eiPP</del> <del>F</del>	09 47 59 52 12 10 26	Célèbes, $D_c = 101,4^\circ$ ; LmH: 19 s, 10 $\mu$ ; ei 09 50 29, ei 51 30, Lm 37, F 09 45.
2	<del>iPn</del> <del>iPg</del> <del>iSn</del> <del>iSg</del>	18 21 05 21 23 21 48 22 05	D. Yougoslavie, $D = 3,6^\circ$ ; $D_c = 3,7^\circ$ ; LmH: 1,3 s, 1 $\mu$ ; i 18 21 10, i 21 36, Lm 22 25, F 18 30.
9	<del>ei</del>	16 58 12	Turquie orientale, $D_c = 20,1^\circ$ ; F 16 59.
14	<del>iP</del> <del>iPcP</del>	22 13 03 13 08	D. Iles Aléoutiennes, $D_c = 79,8^\circ$ ; LmH: 18 s, 10 $\mu$ ; i 22 13 12, i 14 18, ei 15 51, Lm 52, F 23 00.
14	<del>eiP</del> <del>ePKP</del> <del>iPP</del> <del>iPS</del> <del>eiSS</del> <del>L</del>	23 36 52 40 27 41 30 51 30 57 22 00 14	Iles Sandwich, $D_c = 114,2^\circ$ ; LmH: 21 s, 23 $\mu$ ; ei 23 41 00, imax. 42 30, ei 51 06, ei 59 54, Lm 00 24, Lm 28, F 00 45.
15	<del>iPn</del> <del>eiPg</del> <del>iSn</del>	23 03 22 03 49 04 27	Apennin étrusque, $D = 5,6^\circ$ ; $D_c = 5,4^\circ$ ; LmH: 1,5 s, 0,2 $\mu$ ; i 23 03 32, i 04 22, i 05 04, Lm 05 30, F 23 10.
18	<del>iP</del> <del>iPcP</del>	16 37 01 37 09	C. Aléoutiennes, $D_c = 79,6^\circ$ ; i 16 37 19, ei 37 28, ei 38 04, ei 39 04, F 16 45.
21	<del>iP</del> <del>eiPP</del> <del>eiS</del> <del>eSS</del>	11 27 30 29 16 34 08 37 16	C. Golfe d'Aden, $D_c = 45,5^\circ$ ; $D_c = 44,4^\circ$ ; LmH: 21 s, 32 $\mu$ ; i 11 27 43, i 27 52, ei 31 56, ei 35 52, e 40,7, Lm 11 44, Lm 48, Lm 54, F 12 15.
23	<del>iP</del> <del>ei</del>	09 31 33 32 29	Côte N de la Sicilie, $D = 10,3^\circ$ ; $D_c = 11,4^\circ$ ; i 09 31 42, i 31 50, i 32 06, ei 33 35, ei 34 29, F 09 36.
23	<del>eiPKP<sub>1</sub></del>	14 18 59	Région îles Kermadec, $D_c = 156,8^\circ$ ; ei 14 19 26, F 14 21.
26	<del>iP</del>	18 30 37	Alaska, $D_c = 72,5^\circ$ ; i 18 30 43, ei 32 17, F 18 35.
27	<del>iP</del>	04 59 31	SE du Kamtchatka, $D = 74,6^\circ$ ; ei 12 06 57, F 12 08.

Date	Phase	h m s	Remarques
27	<del>iP</del>	12 06 35	Kamtchatka, $D_c = 74,6^\circ$ ; ei 12 06 57, F 12 08.
27	<del>iP</del> <del>eiPP</del> <del>eiS</del> <del>eSS</del> <del>L</del>	16 04 23 07 00 13 50 19,0 28	D. Kamtchatka, $D = 73,5^\circ$ ; $D_c = 72,1$ ; LmH: 24 s, 30 $\mu$ ; i 16 04 35, e 08 45, e 14 23, e 16 22 00, Lm 16 34, Lm 37, Lm 41, F 17 10.
28	<del>iP</del> <del>eS</del> <del>L</del>	07 32 19 40 00 58 00	D. Kamtchatka, $D = 76^\circ$ ; $D_c = 74,5^\circ$ ; LmH: 21 s, 25 $\mu$ ; i 07 32 22, i 32 40, ei 33 04, e 35 22, e 42 13, Lm 08 04, Lm 08 10, F 08 30.
29	<del>eiPKP<sub>1</sub></del>	17 34 34	Iles Tonga, $D_c = 152,8^\circ$ ; ei 17 34 46, F 17 38.
31	<del>eP</del>	20 59 34	Açores, $D_c = 32^\circ$ ; F 21 00.



OBSERVATIONS SÉISMIQUES  
DE LA STATION SÉISMOLOGIQUE  
DE HURBANOVO EN 1959

A. Molnár

Appareils:

Deux pendules Mainka, masse 210 kg, amortissement d'air, composante N et E, enregistrement mécanique.

Coordonnées des appareils:

$\varphi = 47^{\circ}52'25''$        $\lambda = 18^{\circ}11'34''$        $h = 115$  m

Sous-sol:

Couches de sable

Constantes 1959

Mois	C <sup>te</sup>	T <sub>0</sub> (s)	V <sub>0</sub>	$\frac{r}{T_0^2} \left( \frac{\text{mm}}{\text{s}^2} \right)$	$\varepsilon : 1$	Vitesse de l'inscription
Janvier—Mars	N	10,5	47	0,009	3,8	30 mm/min
	E	9,2	52	0,006	4,0	30 mm/min
Avril—Juin	N	11	49	0,007	3,9	30 mm/min
	E	9,4	53	0,004	4,0	30 mm/min
Juillet—Septembre	N	10,7	50	0,008	4,8	30 mm/min
	E	9	50	0,003	3,5	30 mm/min
Octobre—Décembre	N	10,7	51	0,006	4,1	30 mm/min
	E	9,3	53	0,005	3,6	30 mm/min



Date	Phase	h m s	Remarques
5	<del>ePn</del> <del>iSn</del> <del>iSg</del>	18 14 07 14 40 14 50	Région frontière Hongrie-Croatie, $D = 2,6^\circ$ ; $D_c = 2,1^\circ$ ; LmH: 4 s, 11 $\mu$ ; F 18 20.
12	<del>eiPKP<sub>1</sub></del>	21 13 59	Région des îles Samoa, $D_c = 147^\circ$ ; ei 21 14 39, ei 15 09, F 21 20.
25	<del>eP</del> <del>eS</del>	00 29 55 32 20	SW de la Turquie, MLH = 6,5 (Hurbanovo), $D_c = 13,3^\circ$ ; LmH: 12 s, 185 $\mu$ ; e 00 30 24, ei 33 34, e 34 08, Lm 00 35, F 00 50.
25	<del>e</del> <del>eL</del>	01 11 52 12 36	Réplique, Turquie, $D_c = 13,3^\circ$ ; LmH: 10 s, 12 $\mu$ ; Lm 01 13,9, F 01 20.
26	<del>ePn</del> <del>eiPg</del> <del>eiSn</del>	14 46 10 46 24 46 52	Alpes de Vénétie, Italie, $D_c = 3,8^\circ$ ; LmH: 2,6 s, 13 $\mu$ ; F 14 56.

473  
Mai 1959

Date	Phase	h m s	Remarques
2	<del>ePn</del> <del>eSg</del>	06 37 09 38 00	Région frontière Autriche-Yougoslavie, $D_c = 3,1^\circ$ ; LmH: 6 s, 3 $\mu$ ; Lm 06 39, F 06 45.
4	<del>eiP</del> <del>eiPP</del> <del>iS</del> <del>eSS</del> <del>G</del>	07 27 22 30 00 36 50 41,5 07 51	C. Kamtchatka, MLH = 7,5 (Hurbanovo) $D = 73^\circ$ ; $D_c = 74,4^\circ$ ; SH: 7 s, 135 $\mu$ ; LmH: 18 s, 250 $\mu$ ; i 07 27 54, i 28 30, i 37 12, e 45,0, e 49,8, Lm 03,5, Lm 07,5, F 07 09,5.
5	<del>eS</del>	19 25 31	Kamtchatka, $D_c = 74^\circ$ ; LmH: 14 s, 11 $\mu$ ; Lm 19 48, F 20 00.
12	<del>eP</del> <del>eS</del> <del>L</del>	05 09 41 18 57 42	Îles Aléoutiennes, MLH = 6,3 (Hurbanovo) $D = 72^\circ$ ; $D_c = 74,8^\circ$ ; e 05 12 00, e 14 51, Lm 05 50, F 06 00.
12	<del>e</del>	09 15 42	e 09 17 52, LmH: 16 s, 13 $\mu$ ; Lm 10 52, F 11 00.
14	<del>e</del>	01 00 48	Nord de la Mer Egée, LmH: 8 s, 5 $\mu$ ; Lm 01 02,2, F 01 10.

Date	Phase	h m s	Remarques
14	<del>eP</del> <del>eS</del>	06 40 12 42 34	Crête, MLH = 6 (Hurbanovo), $D = 13^\circ$ ; $D_c = 13,2^\circ$ ; LmH: 13 s, 82 $\mu$ ; e 06 40 32, e 41 18, ei 43 02, ei 43 44, Lm 06 45,2, ei 06 46,8, F 07 15.
14	<del>e</del>	19 27 02	LmH: 9 s, 8,5 $\mu$ ; eLm: 19 28,2, F 19 40.
24	<del>eP</del> <del>epP</del> <del>ePP</del> <del>eS</del> <del>ePS</del> <del>ePPS</del> <del>L</del>	19 30 50 31 18 34 38 41 42 42 58 43 38 20 00	Oaxaca, Mexique, $D = 93^\circ$ ; $D_c = 92,5^\circ$ ; LmH: 26 s, 22 $\mu$ ; e 19 35 38, e 40 16, e 41 18, e 46 12, Lm 20 08, Lm 13, Lm 17, F 20 25.
26	<del>Lm</del>	04 57	Riou-Kiou, $D_c = 80,8^\circ$ ; LmH: 9 s, 3 $\mu$ ; F 05 00.
27	<del>eiPn</del> <del>iPg</del> <del>iSn</del> <del>iSg</del>	20 39 18 39 25 39 50 40 03	Frontière Hongrie-Roumanie, $D = 2,6^\circ$ ; $D_c = 2,7^\circ$ ; LmH: 4 s, 52 $\mu$ ; i 20 39 37, i 40 07, Lm 41, Lm 43, F 21 00.
27	<del>e</del>	21 48 00	Frontière Hongrie-Roumanie, réplique, F 21 50.
31	<del>ePn</del> <del>eiSg</del>	12 17 49 19 33	Roumanie, $D = 5,8^\circ$ ; $D_c = 6,1^\circ$ ; LmH: 7 s, 4,5 $\mu$ ; Lm 22, F 12 30.

Date	Phase	h m s	Remarques
2	<del>eS</del>	05 20,3	Région îles Batan, MLH = 6 (Hurbanovo), $D_c = 84,2^\circ$ ; LmH: 14 s, 12 $\mu$ ; Lm 05 46, Lm 52, F 06 15.
10	<del>e</del> <del>eS</del>	04 19 32 22 00	Région Crête, $D_c = 13,0^\circ$ ; LmH: 10 s, 5 $\mu$ ; Lm 04 24, F 04 35.
13	<del>e</del>	12 06 11	Traces. F 12 10.
13	<del>ePn</del> <del>e(Pg)</del> <del>eiSn</del> <del>eSg</del>	21 57 45 58 00 58 32 58 52	Alpes de Vénétie, $D = 3,9^\circ$ ; $D_c = 4,1^\circ$ ; LmH: 4 s, 22 $\mu$ ; ei 21 58 13, Lm 22 00,5, F 22 10.



Date	Phase	h m s	Remarques
14	<del>eP</del>	00 28 17	SW de la Bolivie, MLH = 6,5 (Hurbanovo), LmH: 16 s, 21 $\mu$ ; ei 00 37 21, e 40 25, Lm 01 15, F 01 50.
	<del>eiPP</del>	30 09	
	<del>eiSKS</del>	36 23	
	<del>eiS</del>	37 03	
	<del>ePPS</del>	39 21	
	<del>e(SS)</del>	43 19	
	<del>XG</del>	58	
16	<del>ePn</del>	00 34 12	Bulgarie, D = 6,8°; D <sub>c</sub> = 6,6°; LmH: 6 s, 3 $\mu$ ; Lm 00 39.
	<del>eSn</del>	35 30	
	<del>eiSg</del>	36 18	
16	<del>Xe</del>	02 59 42	Nouvelle Guinée, D <sub>c</sub> = 116,7°; e 03 00 32, F 03 05.
16	<del>ePn</del>	03 29 50	Yougoslavie, D = 2,9°; D <sub>c</sub> = 2,9°; LmH: 3 s, 14 $\mu$ ; ei 03 29 56, Lm 03 31,3, Lm 03 32,5, F 03 40.
	<del>eSn</del>	30 26	
	<del>eiSg</del>	30 54	
17	<del>ePn</del>	12 33 36	Région frontière Albanie – Yougoslavie, D = 7,1°; D <sub>c</sub> = 5,6°; LmH: 6 s, 4 $\mu$ ; Lm 12 37,5.
	<del>eiSn</del>	34 57	
18	<del>eP</del>	15 43 11	Kamtchatka, MLH = 6,5 (Hurbanovo), D = 73°; D <sub>c</sub> = 74°; LmH: 30 s, 22 $\mu$ ; ei 15 46 42, ei 48 08, e 52 54, e 54 22, Lm 17 13, Lm 20, F 17,0.
	<del>ei(PP)</del>	46 11	
	<del>eS</del>	52 34	
	<del>ePS</del>	53 04	
	<del>L</del>	17 07	
27	<del>Xe</del>	19 19 34	Chine, D <sub>c</sub> = 43°; e 19 21 24, dans le suivant.
27	<del>ePKP<sub>1</sub></del>	19 24 15	Sud des îles Kermadec, D <sub>c</sub> = 160°; e 19 34 48, e 35 20, e 36 09 e 40 18, F 50.
	<del>epPKP<sub>1</sub></del>	24 50	
	<del>e(PKS)</del>	27 34	
	<del>eSKS</del>	30 50	
	<del>eSKSP</del>	38 18	

Date	Phase	h m s	Remarques
3	<del>ePKP</del>	18 14 45	Région des Nouvelles Hébrides, D <sub>c</sub> = 142,5°; e 18 19 20, e 20 34, e 22 36, F 18 30.
	<del>eipPKP</del>	15 26	
6	<del>ePP</del>	09 27 35	Province de Chaco, Argentina, D <sub>c</sub> = 103,1°; e 09 30 19, dans le suivant.
	<del>e(S)</del>	33 31	
6	<del>epP</del>	09 38 25	Province de Chaco, Argentina. Réplique, D <sub>c</sub> = 103,1°; e 09 41 39, e 47 05, e 47 47, e 48 17, e 54 47, e 58 16, F 10 00.
	<del>eSP</del>	39 25	
	<del>ePP</del>	40 47	
	<del>epPP</del>	42 13	
	<del>eiSKS</del>	46 09	
	<del>esSKS</del>	50 27	
9	<del>eSKS</del>	16 29 42	Frontière Chili – Bolivie, D <sub>c</sub> = 102,5°; e 16 32 15, F 16 40.
	<del>eS</del>	30 34	
18	<del>eP</del>	20 07 33	C. Luçon, Philippines, MLH = 6,7 (Hurbanovo), D = 85°; LmH: 20 s, 26 $\mu$ ; e 20 07 49, e 08 27, ei 11 25, ei 19 33, e 20 19, e 22 15, Lm 40, Lm 55, F 21 15.
	<del>ePP</del>	10 44	
	<del>eiSKS</del>	17 43	
	<del>eiS</del>	17 57	
	<del>L</del>	30	
19	<del>ePP</del>	15 23 47	Pérou, D <sub>c</sub> = 100,3°; ei 15 25 29, e 30 28, e 31 39, F 15 50.
	<del>eiSKS</del>	29 57	
	<del>ePPS</del>	32 57	
22	<del>eiP</del>	19 34 46	Mer d'Okhotsk, D = 73°; D <sub>c</sub> = 72,8°; ei 19 35 15, e 43 46, e 44 30, F 19 50.
	<del>epP</del>	36 46	
	<del>eS</del>	43 20	
25	<del>Xei</del>	11 20 12	ei 11 20 29, F 11 25.
26	<del>Xe</del>	17 11 26	NW de la Turquie, D <sub>c</sub> = 11°; LmH: 10 s, 12 $\mu$ ; e 17 11 56, e 12 42, F 17 30.



Date	Phase	h m s	Remarques
12	eiPKP <sub>1</sub> ePP eSKS	10 18 15 21 37 25 07	Région des îles Fidji, $D_c = 146,2^\circ$ ; ei 10 18 27, e 19 37, e 20 15, e 24 17, F 10 30.
15	eP eiPP eS eiPS eSS LQ	09 09 28 12 22 19 38 20 28 24 44 40	Sud de Formose, MLH = 7 (Hurbanovo), LmH: 20 s, 80 $\mu$ ; ei 09 10 12, ei 11 20, ei 20 08, e 21 42, Lm 09 49, Lm 09 56, F 10 20.
17	ei iPg iSn eSg	01 35 18 35 38 36 36 37 14	Côte de l'Albanie, $D = 6,7^\circ$ ; $D_c = 7,3^\circ$ ; LmH: 7 s, 130 $\mu$ ; i 01 36 10; ei 36 50, e 37 24, Lm 01 38, F 02 00.
17	e eSn	04 31 28 32 14	Côte de l'Albanie, réplique, $D_c = 7,3^\circ$ ; LmH: 6 s, 8 $\mu$ ; e 04 32 42; F 04 40.
18	eiP eS eiPS eSS eSSS	06 49 00 59 08 59 48 04 48 08 10	Lac Hebgen, Montana, MLH = 7,2 (Hurbanovo), $D = 81^\circ$ ; $D_c = 79^\circ$ ; LmH: 14 s, 50 $\mu$ ; e 06 50 56, e 51 16, e 59 22, e 10 38, Lm 25,5, Lm 32, dans le changement des feuilles.
18-19 les appareils hors de fonctionnement.			
23	eP	22 26 04	Mer Méditerranée, $D_c = 19,6^\circ$ ; LmH: 6 s, 3 $\mu$ ; Lm 22 34, F 22 40.
24	ePP	21 53 16	Îles Salomon, $D_c = 131,2^\circ$ ; e 21 54 00, e 55 02, e 57 30, F 22 00.
25	e	12 02 00	Albanie, $D_c = 7,5^\circ$ ; LmH: 7 s, 2 $\mu$ ; Lm 12 02,9, F 12 04.
26	eP ePP eS	08 38 44 42 14 49 42	Veracruz, $D = 92^\circ$ ; $D_c = 90,2^\circ$ ; e 08 43 50, e 49 26, e 51 36, e 52 20.
29	eiPP eiS	17 14 52 20 32	Lac Baikal, MLH = 6,7 (Hurbanovo), LmH: 9 s, 50 $\mu$ ; e 17 22 24, e 23 00, e 27 26, Lm 38,8, F 18 00.

Date	Phase	h m s	Remarques
1	eiPn eiPg eiSn i!Sg	11 39 30 40 06 40 50 41 40	Albanie, $D = 6,9^\circ$ ; $D_c = 7^\circ$ ; LmH: 9 s, 250 $\mu$ ; ei 11 39 58, Lm 42,5, Lm 45, F 12 10.
3	ei eiSn eSg	04 04 31 05 25 05 59	Albanie. Réplique, $D_c = 7,2^\circ$ ; LmH: 6 s, 4 $\mu$ ; ei 04 05 13, ei 05 45, Lm 07,2, Lm 08, F 04 15.
4	e	11 01 36	Albanie. Réplique, $D_c = 7^\circ$ ; LmH: 3 s, 4,5 $\mu$ ; e 11 02 02, Lm 11 03, F 11 07.
12	e	21 29 24	Hindou-Kouch. $D_c = 40,1^\circ$ ; e 21 30 26, F 21 33.
14	eiPKP <sub>1</sub> eiPKP <sub>2</sub> eiPP eSKS eSKKS eSS	14 29 43 30 25 34 19 37 05 41 17 54,2	Îles Kermadec, MLH = 7,5 (Hurbanovo), $D = 159^\circ$ ; $D_c = 157,6^\circ$ ; LmH: 30 s, 170 $\mu$ ; e 14 42 25, e 44 07, e 46 19, e 57,5, e 15 29, Lm 15 40, Lm 50, Lm 57, F 17 00.
15	e	06 20 39	Îles Kermadec, MLH = 6,9 (Hurbanovo), $D_c = 157,6^\circ$ ; LmH: 18 s, 25 $\mu$ ; e 06 23 21, e 31 05, Lm 07 40, Lm 45, F 08 15.
15	ePKP <sub>1</sub> eiPKP <sub>2</sub> epPKP <sub>1</sub> ePKS	11 24 20 24 47 26 50 27 38	Région îles Fidji, $D = 150^\circ$ ; $D_c = 150^\circ$ ; ei 11 25 40, e 11 28 24, e 30 25, e 33 36, e 34 35, F 11 40.
17	e	14 57 16	Îles Kermadec, $D_c = 157,8^\circ$ ; F 15 00.
25	eiP eS L	02 49 18 59 44 03 17,4	Près de la côte E de Formose, MLH = 6,3 (Hurbanovo), $D = 85^\circ$ ; $D_c = 83,2^\circ$ ; ei 02 52 19, e 53 16, e 03 00 30, e 03 23, e 06,0, Lm 03 28,7, Lm 12, F 03 45.
29	e	16 16,0	Îles Kermadec, $D_c = 159^\circ$ ; LmH: 20 s, 8 $\mu$ ; Lm 17 13 00.



Date	Phase	h m s	Remarques
5	eP e(S) L	18 35 45 41 41 56	Océan Atlantique, MLH = 5,6 (Hurbanovo), $D_c = 42^\circ$ ; LmH: 9 s, 7 $\mu$ ; e 18 37 25, e 38 22, Lm 19 06, Lm 19 13, F 19 20.
5	ei eSn eiSg	20 36 07 37 21 38 09	Albanie, $D = 7,2^\circ$ ; $D_c = 7^\circ$ ; LmH: 8 s, 36 $\mu$ ; e 20 36 23, e 37 38, Lm 39,3, F 20 55.
7	eiPn iSn iNSg	08 32 33 33 50 34 41	Albanie, $D = 6,7^\circ$ ; $D_c = 6,9^\circ$ ; LmH: 5 s, 110 $\mu$ ; ei 08 33 05, i 33 41, i 34 17, iN 34 35, Lm 08 35,2, Lm 37,0, F 09 00.
7	eS	21 23,3	Réplique, Albanie, F 21 25.
12	eP e	03 34 30 44 45	Près de la côte de Sumatra, $D = 83^\circ$ ; $D_c = 82,2^\circ$ ; e 03 35 33, e 03 44 22, e 45 30, e 46 21, e 46 42, F 03 50.
15	e ePP eiS eiPS	06 30 08 32 46 39 52 40 22	Changement des feuilles, Célèbes, $D_c = 98,8^\circ$ ; e 06 33 20.
24	eS	23 52 36	Kirghizie, URSS, $D_c = 36^\circ$ ; LmH: 6 s, 8 $\mu$ ; e 23 56 22, ei 57 14, Lm 23 05,5, Lm 10, F 23 20.
26	eiP eS	07 47 32 57 45	Japon, MLH = 6,5 (Hurbanovo), $D = 82,5^\circ$ ; $D_c = 82,3^\circ$ ; LmH: 16 s, 21 $\mu$ ; e 07 50 36, e 51 00, eN 52 34, e 57 30, e 58 40, Lm 08 22, Lm 08 26, Lm 08 31, F 09 00.
27	eiP eiS L	07 04 45 14 34 36	Iles Kouriles, MLH = 6,7 (Hurbanovo) $D = 78^\circ$ ; $D_c = 76,5^\circ$ ; LmH: 15 s, 30 $\mu$ ; ei 07 07 30, e 15 03, e 18 00, e 31 04, Lm 46, Lm 49, F 08 00.

Date	Phase	h m s	Remarques
6	ePg eiSn eSg	07 39 16 40 03 40 34	Yougoslavie, $D = 5,4^\circ$ ; $D_c = 6,6^\circ$ ; LmH: 7 s, 10 $\mu$ ; e 07 39 34 Lm 41,7, F 07 50.
8	eiP eS eL	14 06 50 16 30 37,7	Japon, MLH = 6,5 (Hurbanovo), $D = 76^\circ$ ; $D_c = 75,5^\circ$ ; LmH: 13 s, 20 $\mu$ ; e 14 09 56, e 15 36, e 17 24, Lm 40,6, Lm 45, F 15 00.
15	e	10 39 40	Chaîne de Kachgar, MLH = 5,8 (Hurbanovo), $D_c = 41,6^\circ$ ; LmH: 8 s, 7 $\mu$ ; e 10 41 26, Lm 44, Lm 49, F 11 00.
15	eiPn iSn iL	17 11 12 13 06 14 48	Mer Ionienne, $D = 10,1^\circ$ ; $D_c = 10,3^\circ$ ; LmH: 7 s, 700 $\mu$ ; ei 17 11 24, i 12 06, i 13 36, i 13 40, i 14 24, Lm 15,8, Lm 17,4, F 18 30.
16	e	10 31 44	Crête médiane, $D_c = 65,2^\circ$ ; LmH: 18 s, 8 $\mu$ ; e 10 34 46, Lm 11 00, F 11 10.
19	eP eS	14 03 15 05 15	Côte W de la Turquie, $D_c = 11,2^\circ$ ; LmH: 11 s, 23 $\mu$ ; e 14 06 11, Lm 14 08, F 14 20.
26	e eiS	23 23 10 33 22	Sumatra, MLH = 6,5 (Hurbanovo), LmH: 16 s, 17 $\mu$ ; e 23 34 20, Lm 00 11,8, F 00 20.
27	e	00 25 24	Grèce, $D_c = 10,8^\circ$ ; LmH: 8 s, 10 $\mu$ ; e 00 27 30, Lm 00 30, Lm 34, F 00 40.
30	e	11 21 52	Chine, MLH = 6,3 (Hurbanovo), $D_c = 41,7^\circ$ ; LmH: 7 s, 25 $\mu$ ; e 11 27 35, e 31 15, Lm 36,5, F 11 45.



Date	Phase	h m s	Remarques
1	eS	12 42 48	Région Grèce, $D_c = 10,3^\circ$ ; LmH: 8 s, 27 $\mu$ ; e 12 43 12, e 43 38, e 46 16, Lm 45,5, F 13 00.
2	ePg	18 21 52	Yougoslavie, $D_c = 4^\circ$ ; LmH: 5 s, 8 $\mu$ ; ei 18 22 53, Lm 23,7, F 18 30.
14	e	23 41 43	Iles Sandwich, MLH = 6,7 (Hurbanovo), $D_c = 114,5^\circ$ ; e 23 44 50, e 45 41, e 51 16, e 52 16, Lm 00 25, Lm 31, F 00 45.
21	ei eS	11 27 42 33 52	Golfe d'Aden, MLH = 6,3 (Hurbanovo), $D_c = 44^\circ$ ; SH: 8 s, 7 $\mu$ ; LmH: 22 s, 42 $\mu$ ; ei 11 29 34, e 34 32, Lm 38, Lm 43, F 12 20.
27	eiP eS L	16 04 26 13 46 31	Kamtchatka, MLH = 7,3 (Hurbanovo), $D = 72,5^\circ$ ; $D_c = 72,5^\circ$ ; SH: 6 s, 9 $\mu$ ; LmH: 16 s, 65 $\mu$ ; e 16 06 56, ei 14 12, Lm 40, F 17 00.
28	eP eiPP eS L	07 32 26 34 56 41 16 58	Kamtchatka, MLH = 6,2 (Hurbanovo), $D = 67^\circ$ ; $D_c = 73,7^\circ$ ; PH: 4 s, 5 $\mu$ ; PPH: 4 s, 9 $\mu$ ; SH: 7 s, 3 $\mu$ ; LmH: 18 s, 25 $\mu$ ; Lm 08 05, Lm 13, F 08 30.

OBSERVATIONS SÉISMIQUES  
DE LA STATION SÉISMOLOGIQUE  
DE SKALNATÉ PLESO EN 1959

A. Molnár

Appareils:

- I = Pendule astatique Wiechert, masse 210 kg, amortissement d'air, composantes N et E, enregistrement mécanique.
- II = Séismomètre Krumbach, composantes N et E, deux pendules avec la masse 4 kg, enregistrement optique, amortissement magnétique, composantes Z, système électrodynamique, enregistrement galvanométrique.

Coordonnées des appareils:

$\varphi = 49^\circ 11' 20''$  N       $\lambda = 20^\circ 14' 32''$  E      h = 1772 m

Sous-sol:

Granit



Pendule astatique Wiechert

Mois	C <sup>te</sup>	T <sub>0</sub>	V <sub>0</sub>	r/T <sub>0</sub> (mm/s <sup>2</sup> )	ε : 1	Vitesse de l'inscription
Janvier — Mars	N	8	40	0,013	3,2	11,5 mm/min
	E	7	51	0,008	2,7	11,5 mm/min
Avril — Juin	N	8	43	0,017	3,4	11,5 mm/min
	E	8	54	0,009	3,4	11,5 mm/min
Juillet — Septembre	N	8	54	0,012	2,9	11,5 mm/min
	E	7	50	0,013	2,9	11,5 mm/min
Octobre — Décembre	N	7	45	0,007	2,9	11,5 mm/min
	E	8	53	0,004	3,6	11,5 mm/min

Séismomètre Krumbach

Appareil	C <sup>te</sup>	T <sub>0</sub>	V <sub>0</sub>	ε : 1	Vitesse de l'inscription
Krumbach	N	2	2000	4,0	20 mm/min
	E	1,7	1900	4,2	20 mm/min

Appareil	C <sup>te</sup>	T <sub>1</sub>	T <sub>2</sub>	D <sub>1</sub>	D <sub>2</sub>	σ <sup>2</sup>	V <sub>max</sub>	Vitesse de l'inscription
Krumbach	Z	1,9	1,9	0,33	1	0,1	1850	20 mm/min

Date	Phase	h m s	Remarques
✓ 1	<del>eiP</del> <del>ePP</del>	02 13 38 14 29	Groenland, D <sub>c</sub> = 35,2°; F 02 17.
✓ 2	<del>eiP</del> <del>e(SS)</del>	05 23 26 26 05	Bretagne (France), D <sub>c</sub> = 15°; LmH: 2,5 s, 1 μ; Lm 05 28,5, F 05 35.
4	<del>ei</del>	05 55 20	F 05 57 (séismique ?).
✓ 5	<del>iPKP<sub>1</sub></del> <del>iPKP<sub>2</sub></del> <del>eiPP</del>	10 06 18 06 33 09 32	D. Région des îles Loyauté, D <sub>c</sub> = 144,9°; ei 10 08 08, F 10 11.
✓ 18	<del>eiPKP<sub>1</sub></del> <del>eipPKP<sub>1</sub></del>	22 42 00 43 51	Iles Fidji, D <sub>c</sub> = 146,4°; F 22 45.
✓ 22	<del>iP</del> <del>eiPP</del> <del>eS</del> <del>eSS</del> <del>L</del>	05 22 32 25 36 32 51 38 14 48	D. Japon, MLH = 7,5 (Skalnaté Pleso), D = 84°; D <sub>c</sub> = 82,3°; LmH: 16 s, 100 μ; e 05 32 07, e 33 09, e 41,5, Lm 06 01, F dans le changement des feuilles.
22-23 les appareils hors de fonctionnement.			

Février 1959

Date	Phase	h m s	Remarques
✓ 7	<del>eP</del> <del>eiPP</del> <del>eSKS</del> <del>ePS</del> <del>ePPS</del>	09 50 53 55 07 10 01 25 04 19 05 15	Pérou, MLH = 7 (Skalnaté Pleso), D = 99°; D <sub>c</sub> = 100,5°; LmH: 28 s, 80 μ; ei 10 02 25, e 10 17, Lm 24, Lm 34, F 11 20.
✓ 9	<del>ePP</del>	04 57 25	Iles Aléoutiennes, D <sub>c</sub> = 79°. Traces.
✓ 17	<del>eP</del>	12 15 21	Aléoutiennes, D <sub>c</sub> = 78,6°; Faible.



Date	Phase	h m s	Remarques
17	✓ eiPn ✓ eiSn	12 33 40 35 00	Région frontière Albanie-Yougoslavie, $D = 7^\circ$ ; $D_c = 6,7^\circ$ ; LmH: 5 s, 0,6 $\mu$ ; F 12 42.
18	✓ eiP ✓ eiPcP ✓ eS ✓ L	15 42 58 43 20 52 16 16 06	Kamtchatka, MLH = 6,7 (Skalnaté Pleso), LmH: 16 s, 50 $\mu$ ; e 15 52 28, Lm 16 17, Lm 20,7, F 17 00.
26	✓ iP	13 46 10	Roumanie, $D_c = 7,2^\circ$ ; F 13 50.
27	✓ iP	19 19 15	Chine, $D_c = 41^\circ$ ; ei 19 20 51, ei 21 03.
27	✓ eipPKP <sub>1</sub> ✓ eipPKP <sub>1</sub>	19 24 15 24 51	Sud des îles Kermadec, $D_c = 158,2^\circ$ ; e 19 29 39; e 39 00, Lm 20 04, F 20 15.

## Juillet 1959

Date	Phase	h m s	Remarques
3	✓ eipPKP ✓ eipPKP ✓ eipPP	18 14 40 15 22 18 22	Région des Nouvelles Hébrides, $D_c = 142^\circ$ ; LmH: 26 s, 18 $\mu$ ; Lm 19 10, F 19 45.
4	✓ ePKP	05 13 50	Région des îles Tonga, $D_c = 156,1^\circ$ ; F 05 15.
6			les appareils hors de fonctionnement
9	✓ eiSKS ✓ eiS	16 29 40 30 35	Frontière Chili-Bolivie, $D = 101^\circ$ ; $D_c = 103,2^\circ$ ; ei 16 30 25, e 34 10, F 16 45.
13	✓ eP	12 40 45	Îles Andréanov, MLH = 6 (Skalnaté Pleso), $D_c = 77,5^\circ$ ; LmH: 19 s, 7 $\mu$ ; Lm 13 30, F 13 40.
18	✓ iP ✓ iSKS ✓ G	20 07 25 17 30 29	C. Luçon, Philippines, MFH = 6,7 (Skalnaté Pleso), $D =$ $= 83^\circ$ ; $D_c = 85,7^\circ$ ; LmH: 19 s, 34 $\mu$ ; Lm 20 41, F 20 30.
19	✓ ePP ✓ iSKS ✓ eiS ✓ eipS	15 23 50 30 04 31 01 32 00	Pérou, $D_c = 101,8^\circ$ ; LmH: 22 s, 12 $\mu$ ; ei 15 30 17, ei 33 10, e 34 06, Lm 15 52, F 16 09.
26	✓ eS ✓ eiL	17 12 20 13 10	NW de la Turquie, $D_c = 9,6^\circ$ ; LmH: 11 s, 5 $\mu$ ; e 17 13 24, Lm 14,0, F 17 20.

Date	Phase	h m s	Remarques
12	✓ ePP	10 21 23	Région des îles Fidji, MLH = 7,4 (Skalnaté Pleso), LmH: 25 s, 15 $\mu$ ; Lm: 11 13 00, Lm 21, F 11 40.
13	✓ iP ✓ eS	00 38 05 42 05	République d'Azerbeïdjan, URSS, $D = 22,5^\circ$ , $D_c = 22^\circ$ ; i 00 38 17, e 39 14, F 00 45.
15	✓ eiP ✓ eiPP ✓ eiS ✓ eiPS ✓ eSS ✓ eSSS ✓ LQ ✓ LR	09 09 15 12 22 19 19 20 04 24 50 29,0 36,0 39,0	Sud de Formose, MLH = 7,3 (Skalnaté Pleso), $D = 81^\circ$ ; $D_c = 79,3^\circ$ ; LmH: 20 s, 170 $\mu$ ; ei 09 10 10, ei 21 00, Lm 09 45,1, Lm 49, F 10 40.
15	✓ eiP	18 03 40	Yougoslavie, $D_c = 5,7^\circ$ ; F 18 05.
17	✓ iPn ✓ eiSn ✓ eiSg	01 35 19 36 44 37 40	Côte de l'Albanie, $D = 7,4^\circ$ ; $D_c = 7,3^\circ$ ; i 01 35 34, ei 36 31.
17	✓ ePn	04 30 52	Côte de l'Albanie, réplique, F 04 33.
17	✓ e ✓ ePKP ✓ eiPP ✓ eiPS	21 22 40 23 46 25 34 35 28	Îles Salomon, MLH = 7 (Skalnaté Pleso), $D = 124^\circ$ ; $D_c =$ $= 124^\circ$ ; LmH: 21 s, 52 $\mu$ ; ei 21 45 34, Lm 22 10, F 23 00.
18	✓ iP	00 45 48	Sud de Formose, $D_c = 80,5^\circ$ ; ei 00 46 13; ei 46 16, ei 46 55, F 00 50.
18	✓ iP ✓ iS ✓ eSS ✓ eSSS ✓ L	06 49 15 59 13 07 04,7 08 15	C. Lac Hebgen, Montana, MLH = 7,5 (Skalnaté Pleso), $D =$ $= 78,9^\circ$ ; $D_c = 78,5^\circ$ ; LmH: 15 s, 314 $\mu$ ; i 06 49 25, Lm 07 26, Lm 07 34, F 08 30.
18	✓ eP ✓ eiS ✓ L	15 38 00 47 51 16 04	Lac Hebgen, Montana, réplique, MLH = 6,5 (Skalnaté Pleso), $D = 78^\circ$ ; $D_c = 78,3^\circ$ ; LmH: 23 s, 31 $\mu$ .
18	✓ eiPn ✓ eiPg ✓ eiSn	15 06 06 06 36 07 36	$D = 7,8^\circ$ ; LmH: 5 s, 1 $\mu$ ; i 15 06 18, ei 06 45, Lm 15 09.



Date	Phase	h m s	Remarques
19	iPn	15 33 19	S des Carpathes, $D_c = 3,8^\circ$ ; ei 15 34 57, ei 15 35, F 15 40.
23	eiP	22 26 20	Mer Méditerranée, $D_c = 21,8^\circ$ ; e 22 30 30, F 22 35.
24	eiPP	21 53 30	Iles Salomon, MLH = 6,7 (Skalnaté Pleso), $D_c = 129,3^\circ$ ;
	eSS	22 09 36	LmH: 19 s, 42 $\mu$ ; Lm 22 38,5, Lm 22 41, F 23 45.
	L	27,0	
26	Lm	09 15,0	Veracruz, $D_c = 91,3^\circ$ ; F 09 30.
26	Lm	11 15,0	Région des îles de la Reine Charlotte, $D_c = 78^\circ$ ; LmH: 17 s, 14 $\mu$ ; F 11 30.
29	eP	17 12 22	Lac Baikal, URSS, MLH = 6,2 (Skalnaté Pleso), $D = 52^\circ$ ;
	eS	19 38	$D_c = 53,5^\circ$ ; LmH: 15 s, 22 $\mu$ ; Lm 17 23,6, F 17 30.

## Septembre 1959

Date	Phase	h m s	Remarques
1	iPn	11 39 47	C. Albanie, $D = 7,7^\circ$ ; $D_c = 7,3^\circ$ ; LmH: 8 s, 88 $\mu$ ; i 11 39 57,
	iPg	40 20	i 42 30, Lm 43,5, Lm 45,7, F 12 00.
	iSn	41 15	
9	iPn	17 49 45	Région de Zabrze, $D_c = 1,2^\circ$ ; i 17 50 06, F 17 52.
13	eiPn	03 06 06	Région de Zabrze, $D_c = 1,2^\circ$ ; ei 03 06 30, F 03 08.
14	eiPKP <sub>1</sub>	13 35 18	Iles Kermadec, $D_c = 151,2^\circ$ ; ei 13 36 36, F 13 38.
	eiPKP <sub>2</sub>	36 15	
14	eiPKP <sub>1</sub>	14 29 36	Iles Kermadec, MLH = 7,5 (Skalnaté Pleso), $D = 156^\circ$ ;
	eiPKP <sub>2</sub>	30 06	$D_c = 155,8^\circ$ ; LmH: 29 s, 105 $\mu$ ; i 14 30 18, e 42 30, ei 43 30,
	i(PP)	34 00	e 44 06, e 45 26, e 14 55 00, e 15 03 00, Lm 14 35, Lm 14 43,
	eiPPP	37 36	Lm 15 50, F 17 00.
	L	15 21	
14	eiPKP <sub>1</sub>	17 26 18	Iles Kermadec, $D_c = 155,8^\circ$ ; LmH: 21 s, 46 $\mu$ ; ei 17 30 36,
			e 34 10, Lm 18 33, Lm 18 40.
14	ei	17 34 18	Iles Kouriles, $D_c = 75,8^\circ$ ; F 17 36.

Date	Phase	h m s	Remarques
15	eiPKP <sub>1</sub>	06 19 39	Iles Kermadec, MLH = 6,8 (Skalnaté Pleso), LmH: 22 s, 54 $\mu$ ;
	eiPKP <sub>2</sub>	20 12	ei 06 21 24, Lm 07 26, F 08 00.
	eiPP	23 42	
	L	07 17	
25	eP	02 49 18	Près de la côte E de Formose, MLH = 6,5 (Skalnaté Pleso),
	L	03 20	$D_c = 80,8^\circ$ ; LmH: 20 s, 45 $\mu$ ; e 03 00 03, Lm 03 30, Lm 03 35,
			F 03 50.
26	Lm	09 08 00	Au large de la côte de l'Oregon, USA, $D_c = 82,8^\circ$ ; LmH:
			16 s, 7 $\mu$ ; F 09 20.
29	e	16 01 03	Iles Kermadec, MLH = 6,3 (Skalnaté Pleso), $D_c = 156^\circ$ ;
	L	46 00	LmH: 19 s, 16 $\mu$ ; F 17 15.

## Octobre 1959

Date	Phase	h m s	Remarques
5	e	20 36 00	Albanie, $D_c = 8,3^\circ$ ; LmH: 8 s, 5 $\mu$ ; Lm 20 40,0, Lm 20 42,
			F 20 45.
7	iPn	08 32 48	D. Albanie, $D = 8,8^\circ$ ; $D_c = 8,2^\circ$ ; LmH: 5 s, 23 $\mu$ ; ei 08 32 59,
	eiSn	34 28	ei 35 00 ei 35 14, Lm 08 36; Lm 37, F 08 50.
15	eiPP	06 33 10	Célèbes, MLH = 6,5 (Skalnaté Pleso); $D_c = 102,6^\circ$ ; LmH:
	eSKS	39 45	24 s, 40 $\mu$ ; Lm 07 17, Lm 26, F 07 35.
	eS	40 30	
	L	07 03	
24	eP	23 47 41	Kirghizie, URSS, $D_c = 35^\circ$ ; LmH: 15 s, 15 $\mu$ ; e 23 48 16,
			e 55 48, e 56 47, e 00 00 05, Lm 00 06, F 00 10.
26	eiP	07 47 19	Japon, MLH = 6,5 (Skalnaté Pleso), $D = 81,8^\circ$ ; $D_c = 79,8^\circ$ ;
	eiS	57 27	LmH: 14 s, 29 $\mu$ ; e 07 50 47, e 08 01,7, Lm 08 21, Lm 27,
			F 09 00.
27	eiP	07 04 34	Iles Kouriles, MLH = 6,6 (Skalnaté Pleso), $D = 76^\circ$ ; $D_c =$
	eS	14 12	$= 76^\circ$ ; LmH: 31 s, 53 $\mu$ ; ei 07 04 51, e 05 45, e 20,1, Lm 07 36,
			Lm 07 42, F 08 00.



Date	Phase	h m s	Remarques
6	<del>e</del>	07 41 27	Yougoslavie, $D_c = 7,4^\circ$ ; LmH: 8 s, 1 $\mu$ ; Lm 07 42,3.
7	<del>eiF</del>	02 36 23	Algérie, $D_c = 15,8^\circ$ ; F 02 37.
8	<del>eP</del> <del>eS</del> <del>L</del>	14 06 34 16 05 32	Japon, MLH = 6,5 (Skalnaté Pleso), $D_c = 73^\circ$ ; LmH: 16 s, 42 $\mu$ ; e 14 10 30, e 15 20, Lm 42, F 15 00.
15	<del>eP</del> <del>L</del>	10 33 06 46	Chaîne de Kachgar, MLH = 6,3 (Skalnaté Pleso), $D_c = 40^\circ$ ; LmH: 16 s, 19 $\mu$ ; e 10 39 01, ei 39 31, e 42 11, e 44 11, Lm 53, F 11 00.
15	<del>iPn</del> <del>iSn</del>	17 11 26 13 27	D. Mer Ionienne, $D = 10,7^\circ$ ; $D_c = 11,3^\circ$ ; PH: 5 s, 8 $\mu$ ; 6 s, 8 $\mu$ ; LmH: 11 s, 840 $\mu$ ; i 17 11 51, i 14 26, ei 14 46, Lm 17, F 18 00.
19	<del>ePS</del>	11 37 16	Nouvelle Guinée, $D_c = 116,9^\circ$ ; LmH: 20 s, 22 $\mu$ ; Lm 12 10.
19	<del>iP</del>	14 03 13	Côte W de la Turquie, $D_c = 11,2^\circ$ ; LmH: 8 s, 3 $\mu$ ; e 14 06 40, e 07 53, F 14 20
26	<del>eS</del> <del>L</del>	23 33 18 00 02	Sumatra, MLH = 6,5 (Skalnaté Pleso), $D_c = 89,3^\circ$ ; LmH: 17 s, 20 $\mu$ ; Lm 23 07, Lm 12.
27	<del>e</del>	00 28 52	Grèce, $D_c = 11,4^\circ$ ; LmH: 14 s, 7 $\mu$ ; Lm 00 33, F 00 40.
30	<del>e</del>	11 22 54	Chine, $D_c = 40,3^\circ$ ; LmH: 6 s, 5 $\mu$ ; e 11 29 16, e 32 22, Dm 11 35, F 11 50.

Date	Phase	h m s	Remarques
1	<del>eiP</del> <del>eS</del>	12 41 36 43 27	Région Grèce, $D = 9,8^\circ$ ; $D_c = 8,5^\circ$ ; LmH: 12 s, 12 $\mu$ ; Lm 12 45, Lm 47, F 12 50.
2	<del>e</del>	18 22 40	Yougoslavie. Traces.
13	<del>eiPKP</del>	17 55 54	D. Iles Tonga, $D_c = 142^\circ$ ; ei 17 56 03; ei 57 12, F 18 00.
14	<del>iP</del> <del>eipP</del>	18 11 57 12 50	Mindanao, $D_c = 103,3^\circ$ ; ei 18 12 24; ei 14 33, ei 15 33, F 18 20.
14	<del>iPKP<sub>1</sub></del> <del>iPP</del> <del>eiPS</del> <del>L</del>	23 36 39 41 38 51 22 00 14	Iles Sandwich, MLH = 7 (Skalnaté Pleso), $D_c = 120^\circ$ ; LmH: 28 s, 116 $\mu$ ; ei 23 26 54, ei 58 57, Lm 00 30, Lm 37, F 01 10.
15	<del>ePn</del> <del>eSn</del>	23 03 54 04 52	Apennin étrusque, $D_c = 8,3^\circ$ ; F 23 06.
18	<del>eP</del>	18 36 48	D. e 18 37 32, e 39 51.
21	<del>eiP</del> <del>iS</del> <del>L</del>	11 27 23 33 54 40	C. Golfe d'Aden, MLH = 6 (Skalnaté Pleso), $D = 44,5^\circ$ ; $D_c = 44,2^\circ$ ; PH: 3,5 s, 3,5 $\mu$ ; SH: 6 s, 4 $\mu$ ; LmH: 35 s, 80 $\mu$ ; i 11 27 39, i 34 57, ei 36 01, e 37 28, Lm 11 43, Lm 11 50, F 12 20.
27	<del>iP</del> <del>eS</del> <del>eSS</del> <del>L</del>	16 04 15 13 43 21 45 25,5	C. Kamtchatka, MLH = 6,9 (Skalnaté Pleso), $D = 72,5^\circ$ ; $D_c = 70,3^\circ$ ; PH: 3 s, 4 $\mu$ ; SH: 5,5 s, 3 $\mu$ ; LmH: 19 s, 72 $\mu$ ; ei 16 04 21, ei 06 48, e 08 15, Lm 35, Lm 39, F 17 10.
28	<del>eiP</del> <del>eS</del> <del>L</del>	07 32 13 41 17 58	Kamtchatka, MLH = 6,2 (Skalnaté Pleso), $D_c = 72,5^\circ$ ; LmH: 19 s, 50 $\mu$ ; e 07 35, 36, e 41 47, Lm 08 03, Lm 08, F 09 00.



AGITATION MICROSEÏSMIQUE

J. Hajský, A. Janáčková: **Praha** — janvier—décembre

A. Lepková: **Bratislava** — janvier—décembre

Agitation microséismique  
Appareil: Wiechert NS

Janvier 1959

Praha

TMG	00 <sup>h</sup>			06 <sup>h</sup>			12 <sup>h</sup>			18 <sup>h</sup>		
	K	T	A	K	T	A	K	T	A	K	T	A
1	3	3,6	0,3	3	3,8	0,2	3	3,7	0,4	3	4,3	0,5
2	3	4,8	0,5	...			3	4,6	0,6	3	4,6	0,7
3	3	4,6	0,4	3	3,9	0,5	3	3,9	0,5	3	3,9	0,4
4	3	4,5	0,4	3	4,9	0,5	3	4,8	0,5	3	5,1	0,6
5	3	4,3	0,5	3	4,8	0,7	3	3,9	0,6	3	4,0	0,5
6	3	3,8	0,5	3	3,7	0,6	1	5,0	0,9	3	4,5	0,7
7	1	4,4	0,7	3	3,9	0,6	3	4,2	0,5	3	3,8	0,5
8	3	4,3	0,4	3	3,9	0,4	3	4,1	0,5	3	3,7	0,4
9	3	4,4	0,4	3	4,3	0,5	3	3,8	0,4	3	3,9	0,4
10	3	4,2	0,4	3	3,9	0,5	3	3,8	0,5	3	3,7	0,3
11	3	3,9	0,2	3	3,5	0,3	3	3,6	0,4	3	4,2	0,4
12	3	4,0	0,4	3	4,8	0,5	3	5,2	0,5	3	4,8	0,5
13	3	4,0	0,5	3	3,9	0,5	3	4,4	0,5	3	4,9	0,4
14	3	4,1	0,4	3	4,2	0,4	3	3,8	0,4	3	4,2	0,4
15	3	3,8	0,2	3	3,7	0,5	3	3,2	0,4	3	2,9	0,3
16	3	3,2	0,3	3	3,7	0,4	3	3,7	0,4	3	4,0	0,4
17	3	4,2	0,4	3	3,7	0,4	3	4,4	0,4	3	4,0	0,4
18	3	4,2	0,4	3	4,5	0,5	3	4,6	0,5	3	4,8	0,5
19	3	4,8	0,6	1	4,5	0,9	1	4,6	1,0	1	4,7	1,0
20	3	4,1	0,7	3	4,1	0,9	3	4,7	1,0	3	4,7	0,7
21	3	4,3	0,6	3	4,4	0,7	3	4,7	0,9	3	4,7	0,9
22	3	4,5	0,7	tt			3	4,5	0,9	3	4,8	0,6
23	3	4,6	0,7	3	4,5	0,6	3	3,6	0,4	3	4,8	0,4
24	3	3,4	0,3	3	3,3	0,3	3	3,5	0,4	3	4,2	0,5
25	3	4,3	0,5	3	4,3	0,5	3	4,1	0,5	3	4,3	0,4
26	3	3,8	0,4	3	4,0	0,5	3	4,9	0,6	3	4,2	0,4
27	3	4,1	0,5	3	4,0	0,5	3	3,7	0,4	3	3,9	0,4
28	3	3,6	0,4	3	4,1	0,4	3	3,5	0,3	3	4,2	0,2
29	3	3,7	0,3	3	4,1	0,2	3	2,9	0,3	3	3,6	0,4
30	...			3	4,3	0,2	3	4,5	0,2	3	4,0	0,4
31	3	3,9	0,2	3	3,5	0,4	3	3,4	0,3	3	3,8	0,2



Praha

Janvier 1959

Agitation microsismique  
Appareil: Wiechert EW

TMG	00 <sup>h</sup>			06 <sup>h</sup>			12 <sup>h</sup>			18 <sup>h</sup>		
	K	T	A	K	T	A	K	T	A	K	T	A
1	3	3,9	0,1	3	3,5	0,3	3	3,4	0,3	3	4,0	0,4
2	3	4,5	0,4	...			3	4,7	0,6	3	4,5	0,5
3	3	4,4	0,4	3	5,1	0,5	3	4,5	0,5	3	5,4	0,5
4	3	4,9	0,4	3	4,9	0,5	3	5,5	0,5	3	5,5	0,5
5	3	4,8	0,5	vv			3	4,7	0,5	3	3,9	0,5
6	3	3,9	0,4	3	3,9	0,5	3	4,3	0,5	3	4,7	0,6
7	3	4,1	0,4	3	4,5	0,4	3	3,5	0,5	3	3,9	0,4
8	3	4,2	0,4	3	4,0	0,4	vv			vv		
9	3	4,6	0,4	3	4,4	0,4	3	4,5	0,5	3	4,4	0,4
10	3	4,0	0,3	3	4,5	0,4	3	4,2	0,4	3	4,0	0,3
11	3	3,5	0,3	3	4,3	0,3	3	4,0	0,4	3	4,0	0,3
12	3	3,5	0,3	3	4,3	0,4	3	4,0	0,5	vv		
13	vv			vv			vv			3	4,6	0,4
14	3	4,0	0,4	3	4,0	0,3	3	3,8	0,3	...		
15	3	3,6	0,4	3	3,6	0,3	3	2,9	0,3	3	3,7	0,3
16	3	3,6	0,3	3	3,6	0,4	3	4,0	0,3	3	3,6	0,4
17	3	3,9	0,4	3	4,5	0,4	3	4,4	0,4	3	3,7	0,3
18	3	3,7	0,3	3	4,7	0,4	3	4,6	0,4	3	4,0	0,5
19	3	4,3	0,5	1	4,4	0,6	1	4,9	0,6	1	4,6	0,8
20	3	4,8	0,6	3	4,4	0,8	3	4,1	0,7	3	4,0	0,7
21	3	3,8	0,5	3	4,8	0,6	vv			3	5,6	0,9
22	3	4,8	0,6	tt			3	4,7	0,6	3	5,2	0,5
23	3	4,3	0,5	3	4,3	0,5	3	4,8	0,5	3	5,2	0,4
24	3	3,9	0,4	3	5,2	0,4	vv			vv		
25	3	4,2	0,4	3	3,9	0,4	vv			3	4,8	0,4
26	3	4,2	0,4	3	3,8	0,3	3	4,3	0,5	3	4,5	0,4
27	3	4,3	0,4	3	4,5	0,4	3	4,0	0,4	3	4,3	0,4
28	3	4,2	0,3	3	4,1	0,4	3	3,7	0,3	3	3,9	0,3
29	3	4,4	0,3	3	4,2	0,3	3	4,9	0,3	...		
30	...			3	4,8	0,3	3	3,9	0,3	3	4,1	0,4
31	3	4,0	0,4	3	4,0	0,4	3	3,8	0,3	3	3,8	0,3

260

Agitation microsismique  
Jours internationaux réguliers  
Appareil: Wiechert

Le 3 janvier 1959

Praha

TMG	NS			EW		
	K	T	A	K	T	A
00	3	4,6	0,4	3	4,4	0,4
01	3	4,7	0,4	3	4,7	0,4
02	3	4,4	0,4	3	4,7	0,4
03	3	4,4	4,4	3	4,2	0,4
04	3	5,3	0,5	3	4,8	0,4
05	3	4,6	0,6	3	4,0	0,4
06	3	3,9	0,5	3	5,1	0,5
07	3	4,3	0,5	3	5,1	0,5
08	3	4,4	0,4	3	4,7	0,5
09	3	3,9	0,5	3	4,9	0,5
10	3	4,5	0,5	3	4,9	0,5
11	3	4,9	0,4	3	5,4	0,5
12	3	3,9	0,5	3	4,5	0,5
13	3	4,7	0,5	3	5,2	0,5
14	3	4,0	0,5	3	4,7	0,5
15	3	4,0	0,5	3	4,7	0,5
16	3	4,4	0,5	3	5,5	0,5
17	3	4,2	0,5	3	4,3	0,4
18	3	3,9	0,4	3	5,4	0,5
19	3	4,7	0,5	3	5,0	0,5
20	3	4,0	0,5	3	4,8	0,4
21	3	4,4	0,5	3	4,0	0,4
22	3	4,2	0,4	3	4,6	0,4
23	3	3,8	0,4	3	4,7	0,4

261



Praha

Le 4 janvier 1959

Agitation microsismique  
 Jours internationaux réguliers  
 Appareil: Wiechert

TMG	NS			EW		
	K	T	A	K	T	A
00	3	4,5	0,4	3	4,9	0,4
01	3	4,4	0,4	3	4,9	0,4
02	3	4,6	0,4	3	3,9	0,4
03	3	4,2	0,4	3	4,4	0,5
04	3	4,0	0,5	3	3,7	0,5
05	3	4,0	0,6	3	4,7	0,5
06	3	4,9	0,5	3	4,9	0,5
07	3	5,1	0,5	3	4,8	0,5
08	3	4,7	0,6	3	5,2	0,5
09	3	4,6	0,6	3	5,7	0,5
10	3	5,5	0,7	3	5,8	0,6
11	3	4,0	0,6	3	5,5	0,5
12	3	4,8	0,5	3	5,4	0,5
13	3	4,2	0,5	3	6,2	0,5
14	3	4,6	0,6	3	5,8	0,5
15	3	5,4	0,6	3	5,6	0,5
16	3	4,6	0,7	3	5,4	0,5
17	3	4,2	0,5	3	4,6	0,4
18	3	5,1	0,6	3	5,5	0,5
19	3	3,8	0,5	3	4,7	0,5
20	3	4,6	0,6	3	4,6	0,5
21	3	4,3	0,5	3	5,3	0,5
22	3	5,3	0,7	3	4,7	0,5
23	3	4,5	0,4	3	4,3	0,5

262

Agitation microsismique  
 Jours internationaux réguliers  
 Appareil: Wiechert

Le 9 janvier 1959

Praha

TMG	NS			EW		
	K	T	A	K	T	A
00	3	4,4	0,4	3	4,6	0,4
01	3	4,6	0,4	3	4,5	0,4
02	3	3,6	0,4	3	3,8	0,3
03	3	5,0	0,4	vv		
04	3	4,6	0,4	vv		
05	3	4,3	0,4	vv		
06	3	4,3	0,5	3	4,4	0,4
07	3	3,8	0,4	3	4,9	0,4
08	3	4,5	0,5	3	4,4	0,5
09	3	4,5	0,5	3	4,7	0,4
10	3	3,7	0,5	3	5,2	0,5
11	3	4,0	0,6	3	4,7	0,4
12	3	3,9	0,4	3	4,5	0,4
13	3	3,9	0,6	3	4,5	0,4
14	3	4,7	0,4	3	4,7	0,3
15	3	3,9	0,5	3	3,9	0,4
16	3	3,8	0,5	3	4,5	0,4
17	3	4,8	0,5	3	4,0	0,4
18	3	3,9	0,4	3	4,4	0,4
19	3	4,5	0,4	3	3,4	0,4
20	3	4,4	0,4	3	4,5	0,4
21	3	4,9	0,4	3	3,1	0,3
22	3	4,2	0,4	3	3,5	0,3
23	3	3,9	0,4	3	3,4	0,6

263



TMG Date	00 <sup>h</sup>			06 <sup>h</sup>			12 <sup>h</sup>			18 <sup>h</sup>		
	K	T	A	K	T	A	K	T	A	K	T	A
1	3	3,9	0,3	3	3,7	0,3	3	4,5	0,4	3	4,4	0,4
2	3	3,8	0,3	3	4,4	0,4	3	3,6	0,4	3	4,2	0,5
3	3	3,8	0,4	3	4,1	0,4	3	4,4	0,5	3	4,0	0,5
4	3	4,5	0,4	3	4,5	0,6	3	5,4	0,8	3	5,0	0,6
5	3	4,5	0,6	3	4,1	0,5	3	4,3	0,4	3	4,0	0,4
6	3	3,8	0,4	3	4,0	0,3	3	4,2	0,3	3	3,7	0,3
7	3	3,3	0,3	3	3,3	0,3	tt			3	3,9	0,3
8	3	4,1	0,3	3	3,9	0,3	3	4,0	0,3	3	4,4	0,3
9	3	3,6	0,4	3	3,7	0,4	3	4,9	0,5	3	4,6	0,5
10	3	4,9	0,6	3	5,8	0,8	1	6,7	0,7	1	6,4	0,9
11	1	6,6	0,9	1	6,1	0,9	1	6,1	0,9	1	6,1	0,6
12	1	4,8	0,5	1	5,1	0,5	3	5,3	0,5	3	4,9	0,5
13	3	5,5	0,5	3	4,5	0,5	3	4,8	0,5	3	4,9	0,5
14	3	4,8	0,5	3	4,5	0,5	3	5,8	0,5	3	5,6	0,8
15	3	5,5	0,8	tt			3	5,5	0,6	3	4,9	0,6
16	3	5,1	0,8	3	5,6	0,9	1	6,5	1,0	1	6,1	1,0
17	1	6,0	0,9	1	4,9	0,8	1	5,4	0,6	1	4,9	0,6
18	3	4,8	0,6	3	4,3	0,6	1	4,8	0,5	3	4,7	0,5
19	1	5,9	0,8	1	5,6	0,6	1	6,4	0,9	1	6,1	1,0
20	3	5,2	0,6	1	5,4	0,9	1	6,5	1,0	3	5,6	0,8
21	vv			3	5,1	0,8	vv			3	4,8	0,5
22	3	4,1	0,4	3	4,0	0,5	3	4,4	0,4	3	4,1	0,4
23	3	4,8	0,4	3	4,2	0,3	3	4,3	0,4	3	4,4	0,4
24	3	4,3	0,3	3	4,5	0,4	3	3,9	0,4	3	3,9	0,4
25	3	3,9	0,4	3	3,9	0,4	3	3,9	0,3	3	4,3	0,3
26	3	3,7	0,3	3	4,2	0,3	3	4,8	0,4	3	4,6	0,5
27	3	3,8	0,4	3	4,2	0,7	3	5,0	0,5	3	5,0	0,6
28	3	4,0	0,4	3	4,8	0,5	3	4,9	0,5	3	5,2	0,5

TMG	NS			EW		
	K	T	A	K	T	A
00	1	6,2	0,8	1	6,0	0,9
01	1	4,9	0,6	1	6,1	0,9
02	3	6,5	0,8	1	5,7	0,6
03	3	4,4	0,7	1	4,8	0,8
04	3	4,8	0,7	1	5,0	0,8
05	3	5,8	0,7	1	5,2	0,8
06	3	5,4	0,7	1	4,9	0,8
07	1	5,6	1,2	1	5,6	0,8
08	1	5,7	0,8	1	5,8	0,8
09	1	4,8	0,9	1	5,6	0,9
10	1	5,1	0,7	1	5,8	1,0
11	1	4,4	0,6	1	5,4	1,0
12	1	5,8	0,7	1	5,4	0,6
13	1	5,2	0,6	1	5,5	1,0
14	1	5,8	0,7	1	5,4	0,8
15	1	6,2	0,9	1	4,8	0,9
16	1	5,7	1,2	1	5,6	0,8
17	1	6,7	1,3	1	5,8	0,8
18	1	5,2	1,0	1	4,9	0,6
19	1	5,6	0,7	1	5,2	0,8
20	1	6,0	0,7	1	5,4	0,8
21	3	5,3	0,7	1	5,0	0,9
22	3	6,1	0,7	1	5,3	0,8
23	3	5,7	0,6	3	4,7	0,6



Praha

Le 18 février 1959

Agitation microséismique  
 Jours internationaux réguliers  
 Appareil: Wiechert

TMG	NS			EW		
	K	T	A	K	T	A
00	3	5,2	0,5	3	4,8	0,6
01	3	5,1	0,6	3	5,7	0,6
02	3	5,1	0,5	3	4,7	0,6
03	3	5,1	0,7	3	4,6	0,5
04	3	5,4	0,5	3	4,4	0,6
05	3	5,5	0,7	3	4,4	0,5
06	3	5,3	0,7	3	4,3	0,6
07	1	5,0	0,9	1	4,3	0,5
08	1	5,0	0,7	1	5,5	0,5
09	1	5,2	6,8	1	4,3	0,5
10	1	5,2	0,6	1	5,2	0,6
11	1	4,8	0,6	1	5,6	0,5
12	1	5,0	0,6	1	4,8	0,8
13	3	3,9	0,5	3	4,2	0,5
14	3	4,8	0,6	3	5,2	0,5
15	3	4,6	0,5	3	4,9	0,5
16	3	4,6	0,5	3	5,5	0,6
17	3	4,4	0,5	3	6,3	0,5
18	3	4,5	0,4	3	4,7	0,5
19	3	5,1	0,5	3	5,2	0,6
20	3	4,3	0,5	3	5,2	0,6
21	3	5,1	0,5	3	5,7	0,6
22	3	4,7	0,6	3	6,2	0,7
23	3	5,8	0,5	3	6,5	0,5

268

Agitation microséismique  
 Jours internationaux réguliers  
 Appareil: Wiechert

Le 19 février 1959

Praha

TMG	NS			EW		
	K	T	A	K	T	A
00	3	4,6	0,5	1	5,9	0,8
01	3	5,2	0,5	3	5,4	0,6
02	3	5,3	0,5	1	4,9	0,5
03	3	5,7	0,5	1	5,9	0,6
04	1	5,6	0,6	1	5,2	0,5
05	1	5,9	0,7	1	6,1	0,6
06	1	5,3	0,9	1	5,8	0,6
07	1	6,2	0,8	1	6,1	0,7
08	1	6,7	0,7	1	6,1	0,9
09	1	5,3	0,7	1	5,4	0,8
10	3	5,0	0,6	1	6,3	0,9
11	3	5,4	0,8	1	6,0	0,1
12	1	5,8	0,7	1	6,4	0,9
13	1	6,4	0,8	1	6,0	1,0
14	1	6,0	1,1	1	5,8	0,9
15	3	4,7	0,7	3	5,8	0,6
16	3	5,5	0,6	3	5,7	0,6
17	1	5,8	0,6	3	5,8	0,8
18	1	5,7	0,8	1	6,1	1,0
19	1	6,2	0,9	1	5,6	0,8
20	3	5,3	1,1	3	5,7	0,6
21	3	5,6	0,7	3	5,4	0,8
22	1	5,4	0,6	3	5,3	0,8
23	1	5,3	0,7	3	6,5	0,7

269



TMG	00 <sup>h</sup>			06 <sup>h</sup>			12 <sup>h</sup>			18 <sup>h</sup>		
	K	T	A	K	T	A	K	T	A	K	T	A
1	3	4,5	0,5	3	4,0	0,5	3	5,0	0,5	tt		
2	3	5,5	0,4	3	4,7	0,5	3	5,4	0,5	3	5,4	0,6
3	3	5,6	0,5	3	4,5	0,5	3	4,3	0,5	3	4,8	0,5
4	3	4,6	0,4	3	4,8	0,5	3	5,3	0,7	3	5,3	0,7
5	3	4,7	0,7	3	5,5	0,8	1	6,0	0,9	1	5,7	0,7
6	3	4,7	0,6	3	5,0	0,6	3	5,3	0,6	3	5,3	0,5
7	3	4,1	0,4	3	4,2	0,4	3	3,9	0,4	3	4,4	0,5
8	3	5,5	0,6	3	5,9	0,6	3	5,5	0,6	3	4,7	0,5
9	3	4,3	0,5	3	4,3	0,5	3	4,2	0,5	3	4,2	0,5
10	3	3,9	0,4	3	4,3	0,4	3	4,5	0,5	3	3,8	0,4
11	3	4,4	0,4	3	4,1	0,2	3	5,2	0,6	3	5,0	0,5
12	3	3,9	0,2	3	4,8	0,4	3	5,3	0,6	3	5,1	0,5
13	3	5,0	0,4	3	5,2	0,6	3	3,9	0,4	3	4,3	0,5
14	3	4,4	0,2	...			3	5,2	0,5	3	4,4	0,4
15	3	4,1	0,4	3	4,4	0,4	3	4,8	0,4	3	5,0	0,4
16	3	4,6	0,2	3	4,7	0,4	3	4,6	0,4	3	4,8	0,2
17	3	4,0	0,2	3	3,6	0,3	3	4,3	0,2	3	4,1	0,2
18	3	3,6	0,3	3	4,3	0,4	3	4,2	0,4	3	4,4	0,6
19	3	4,9	0,7	3	5,2	1,0	1	4,8	0,9	3	4,9	0,5
20	3	4,0	0,2	3	3,7	0,4	3	4,4	0,4	3	3,5	0,2
21	3	3,9	0,1	3	4,4	0,2	3	3,6	0,3	3	4,2	0,2
22	3	4,5	0,2	3	3,8	0,2	3	4,2	0,2	3	4,3	0,4
23	3	3,9	0,2	3	4,4	0,2	3	3,7	0,2	3	3,4	0,3
24	3	4,0	0,2	3	4,2	0,5	3	5,1	0,4	3	4,8	0,4
25	3	4,1	0,2	3	3,8	0,2	3	4,5	0,2	3	4,2	0,2
26	3	4,3	0,2	3	4,8	0,4	3	4,8	0,2	3	4,3	0,2
27	3	4,0	0,2	3	3,8	0,2	3	4,0	0,2	3	3,9	0,2
28	3	4,4	0,2	3	4,6	0,2	3	4,5	0,2	3	5,2	0,2
29	3	4,7	0,2	3	4,5	0,2	3	4,7	0,2	3	4,5	0,4
30	3	6,1	0,4	3	5,3	0,2	3	4,9	0,2	3	4,8	0,4
31	3	4,5	0,2	3	4,8	0,2	3	4,6	0,2	3	4,2	0,2

TMG	00 <sup>h</sup>			06 <sup>h</sup>			12 <sup>h</sup>			18 <sup>h</sup>		
	K	T	A	K	T	A	K	T	A	K	T	A
1	3	4,8	0,5	3	5,5	0,5	3	4,8	0,5	tt		
2	3	4,7	0,4	3	4,2	0,4	3	4,4	0,5	3	4,8	0,5
3	3	4,6	0,5	3	4,9	0,5	3	5,1	0,4	3	5,1	0,4
4	3	4,8	0,4	3	5,2	0,5	3	6,3	0,6	3	5,6	0,6
5	3	5,4	0,6	3	6,5	0,7	1	6,3	0,9	1	7,1	0,9
6	3	5,9	0,6	3	5,4	0,5	3	6,4	0,6	3	5,7	0,5
7	3	5,3	0,4	3	4,3	0,4	3	4,0	0,3	3	4,3	0,4
8	3	4,6	0,5	3	5,0	0,5	3	5,3	0,5	3	4,4	0,5
9	3	4,2	0,4	3	4,3	0,4	3	4,2	0,3	3	4,2	0,4
10	3	3,3	0,3	3	4,4	0,4	3	4,4	0,4	3	4,0	0,4
11	3	4,2	0,4	3	5,4	0,4	3	5,3	0,4	3	5,2	0,4
12	3	5,0	0,4	3	5,0	0,4	3	4,6	0,5	3	5,2	0,4
13	3	4,7	0,3	3	4,4	0,4	3	4,3	0,4	3	4,4	0,4
14	3	4,0	0,3	3	4,9	0,4	3	4,6	0,4	3	4,8	0,4
15	3	4,3	0,3	3	4,4	0,4	3	4,7	0,4	3	5,0	0,4
16	3	4,5	0,3	3	4,0	0,4	3	4,9	0,4	3	4,6	0,3
17	3	4,1	0,3	3	4,6	0,3	3	4,6	0,3	3	4,9	0,3
18	3	4,3	0,3	3	4,3	0,4	3	4,0	0,3	3	4,8	0,6
19	3	4,6	0,8	3	5,4	0,8	1	5,0	0,9	3	4,0	0,5
20	3	4,2	0,4	3	3,6	0,3	3	4,3	0,4	3	3,8	0,3
21	3	4,0	0,1	3	4,0	0,3	3	4,2	0,3	3	4,8	0,4
22	3	4,5	0,4	3	4,1	0,4	3	4,3	0,4	3	4,9	0,4
23	3	4,8	0,3	3	4,2	0,4	3	4,5	0,3	3	4,1	0,3
24	3	4,3	0,3	3	4,6	0,4	3	4,8	0,4	3	4,5	0,3
25	3	4,8	0,3	3	5,0	0,3	3	4,8	0,3	3	4,8	0,3
26	3	4,9	0,4	3	4,9	0,5	3	5,5	0,5	3	5,5	0,5
27	3	4,8	0,3	3	3,6	0,3	3	4,7	0,3	3	4,8	0,3
28	3	5,6	0,4	3	5,8	0,4	3	5,2	0,4	3	4,5	0,4
29	3	5,1	0,4	3	6,0	0,4	3	5,9	0,4	3	5,5	0,4
30	3	7,5	0,5	3	6,8	0,4	3	6,2	0,4	3	5,0	0,3
31	3	5,3	0,4	3	5,7	0,4	3	5,5	0,3	3	4,9	0,3



Praha

Le 17 mars 1959

Agitation microsismique  
 Jours internationaux réguliers  
 Appareil: Wiechert

TMG	NS			EW		
	K	T	A	K	T	A
00	3	4,0	0,2	3	4,1	0,3
01	3	4,3	0,1	3	3,6	0,6
02	3	3,7	0,2	3	4,5	0,3
03	3	3,6	0,2	3	4,4	0,3
04	3	3,4	0,3	3	4,2	0,3
05	3	4,3	0,2	3	4,4	0,3
06	3	3,6	0,3	3	4,6	0,3
07	3	4,3	0,4	3	4,8	0,3
08	3	3,9	0,2	3	4,6	0,3
09	tt			tt		
10	3	4,7	0,2	3	5,5	0,3
11	3	4,8	0,4	3	4,8	0,3
12	3	4,3	0,2	3	4,6	0,3
13	3	5,4	0,4	3	5,0	0,3
14	3	3,8	0,2	3	4,5	0,3
15	3	4,6	0,2	3	5,6	0,4
16	3	4,6	0,4	3	3,8	0,3
17	3	5,2	0,4	3	5,2	0,4
18	3	4,1	0,2	3	4,6	0,3
19	3	4,3	0,4	3	3,9	0,3
20	3	4,3	0,2	3	5,6	0,4
21	3	4,6	0,4	3	4,9	0,3
22	3	5,0	0,2	3	4,7	0,3
23	3	4,8	0,2	3	5,0	0,4

Agitation microsismique  
 Jours internationaux réguliers  
 Appareil: Wiechert

Le 18 mars 1959

Praha

TMG	NS			EW		
	K	T	A	K	T	A
00	3	3,6	0,3	3	4,3	0,3
01	tt			tt		
02	3	4,0	0,2	3	3,8	0,3
03	3	4,4	0,4	3	4,5	0,4
04	3	4,4	0,2	3	4,6	0,4
05	3	5,2	0,4	3	4,9	0,4
06	3	4,3	0,4	3	4,3	0,4
07	3	3,8	0,4	3	4,0	0,3
08	3	3,6	0,4	3	4,2	0,3
09	3	4,2	0,4	3	4,2	0,4
10	3	3,1	0,3	vv		
11	3	4,5	0,2	vv		
12	3	4,2	0,4	3	4,0	0,3
13	3	4,3	0,5	3	4,2	0,4
14	3	4,5	0,6	3	4,4	0,5
15	3	4,7	0,6	vv		
16	3	4,2	0,7	3	4,7	0,6
17	3	4,6	0,5	3	5,0	0,5
18	3	4,4	0,6	3	4,9	0,6
19	3	5,3	0,9	3	5,2	0,9
20	3	4,7	0,9	3	5,3	0,6
21	3	5,3	0,7	3	6,2	0,7
22	3	4,2	0,6	3	5,6	0,9
23	3	4,7	0,9	3	4,7	1,0





Praha

Le 19 mars 1959

Agitation microsismique  
 Jours internationaux réguliers  
 Appareil: Wiechert

TMG	NS			EW		
	K	T	A	K	T	A
00	3	4,9	0,7	3	4,6	0,8
01	3	4,8	0,9	3	4,9	1,0
02	3	4,5	0,7	3	5,2	0,9
03	3	4,7	0,7	3	4,2	0,8
04	3	5,2	1,0	3	5,2	1,0
05	3	5,1	1,2	3	5,1	0,9
06	3	5,2	1,0	3	5,4	0,8
07	1	4,9	1,2	1	5,2	1,1
08	1	5,0	1,1	1	5,2	0,9
09	tt			tt		
10	1	4,8	0,9	1	5,1	0,8
11	1	4,7	1,1	1	4,6	0,8
12	1	4,6	0,9	1	5,0	0,9
13	1	4,7	1,0	1	4,6	0,9
14	1	5,0	0,6	1	4,9	0,8
15	1	4,9	0,7	1	4,8	0,8
16	3	4,2	0,7	3	5,1	0,5
17	3	4,4	0,6	3	4,4	0,6
18	3	4,9	0,5	3	4,0	0,5
19	3	4,8	0,7	3	4,9	0,5
20	3	4,4	0,5	3	4,2	0,4
21	3	4,7	0,4	3	5,2	0,6
22	3	4,5	0,5	3	4,5	0,4
23	3	4,6	0,4	3	4,5	0,4

274

Agitation microsismique  
 Appareil: Wiechert NS

Avril 1959

Praha

TMG	00h			06h			12h			18h		
	K	T	A	K	T	A	K	T	A	K	T	A
1	3	4,0	0,2	3	4,7	0,2	3	5,2	0,4	3	4,4	0,2
2	3	4,9	0,2	3	4,9	0,2	3	4,2	0,2	3	4,3	0,2
3	3	4,4	0,1	3	4,6	0,2	3	5,0	0,2	3	5,2	0,4
4	3	4,0	0,2	3	4,3	0,4	3	4,3	0,2	3	4,6	0,4
5	3	4,4	0,2	3	4,9	0,2	vv			3	4,5	0,4
6	3	5,5	0,4	3	4,8	0,5	3	4,8	0,5	3	5,5	0,6
7	3	5,7	0,5	3	5,2	0,5	3	5,1	0,5	3	5,2	0,5
8	3	4,9	0,2	3	4,9	0,4	3	4,5	0,5	3	5,2	0,4
9	3	4,8	0,2	3	4,8	0,4	3	5,3	0,5	3	4,8	0,4
10	3	4,5	0,2	3	4,6	0,2	3	4,9	0,4	3	4,4	0,4
11	3	4,3	0,2	3	3,8	0,2	3	5,0	0,2	3	4,5	0,2
12	3	4,1	0,2	3	3,9	0,2	3	4,5	0,2	3	5,1	0,4
13	3	4,8	0,4	3	5,1	0,4	3	4,8	0,5	3	4,5	0,4
14	3	5,1	0,2	3	4,7	0,4	3	4,9	0,5	3	4,8	0,6
15	3	5,3	0,5	3	5,8	1,0	3	5,5	0,6	3	5,6	0,7
16	3	5,2	0,5	3	5,2	0,6	3	5,3	0,6	3	4,9	0,5
17	3	4,5	0,2	3	4,9	0,4	3	6,1	0,5	3	5,7	0,4
18	3	4,0	0,2	3	4,5	0,2	3	4,7	0,4	3	4,8	0,2
19	3	4,9	0,2	3	5,7	0,4	3	5,7	0,4	3	5,9	0,4
20	3	4,9	0,2	3	5,3	0,2	3	5,5	0,5	3	5,4	0,4
21	3	4,3	0,2	3	5,6	0,2	3	5,1	0,2	3	5,0	0,2
22	3	5,0	0,1	3	4,5	0,1	3	4,6	0,2	3	4,2	0,1
23	3	4,4	0,1	3	4,3	0,1	3	6,2	0,2	3	5,6	0,1
24	3	4,6	0,1	3	4,8	0,2	0,0			3	4,5	0,1
25	0,0			0,0			3	4,5	0,1	3	5,6	0,2
26	3	4,6	0,2	3	4,8	0,2	3	3,9	0,2	3	4,5	0,2
27	3	4,5	0,2	3	5,0	0,2	3	5,6	0,2	3	4,5	0,2
28	0,0			3	4,5	0,1	tt			3	4,5	0,2
29	3	5,0	0,1	3	4,5	0,1	3	5,8	0,2	3	5,0	0,2
30	3	5,0	0,2	3	4,5	0,2	3	4,4	0,1	3	4,5	0,1

18\*

275



Praha

Avril 1959

Agitation microsismique  
Appareil: Wiechert EW

TMG	00h			06h			12h			18h		
	K	T	A	K	T	A	K	T	A	K	T	A
1	3	4,7	0,3	3	5,4	0,3	3	6,2	0,2	3	5,6	0,4
2	3	5,0	0,4	3	5,2	0,3	3	5,5	0,3	3	4,9	0,3
3	3	5,1	0,3	3	5,3	0,3	3	5,0	0,3	3	5,3	0,3
4	3	5,0	0,3	3	4,0	0,3	3	5,4	0,3	3	5,0	0,3
5	3	5,0	0,4	3	5,0	0,3	vv			3	4,9	0,3
6	3	4,9	0,4	3	4,7	0,4	3	5,2	0,5	3	5,6	0,5
7	3	5,8	0,5	3	6,6	0,6	vv			3	5,1	0,4
8	3	5,4	0,4	3	5,2	0,4	3	5,6	0,4	3	4,7	0,3
9	3	5,2	0,4	3	5,3	0,4	3	5,7	0,5	3	5,4	0,4
10	3	4,8	0,3	3	5,3	0,3	3	5,6	0,4	3	5,6	0,3
11	3	3,9	0,3	3	4,9	0,4	3	4,5	0,3	3	5,4	0,3
12	3	5,6	0,3	3	5,2	0,4	3	5,3	0,4	3	4,9	0,4
13	3	4,7	0,3	3	5,2	0,4	3	4,5	0,3	3	5,4	0,4
14	3	5,1	0,3	3	5,2	0,4	3	5,3	0,4	3	5,4	0,4
15	3	5,8	0,5	3	5,5	0,5	3	5,4	0,5	3	5,5	0,5
16	3	4,8	0,4	3	4,9	0,5	3	6,0	0,4	3	5,6	0,4
17	3	4,7	0,4	3	4,8	0,4	3	4,9	0,4	3	5,3	0,4
18	3	6,3	0,2	3	5,3	0,4	3	5,3	0,3	3	4,6	0,3
19	3	4,9	0,3	3	6,5	0,4	3	6,1	0,4	3	5,9	0,4
20	3	4,5	0,4	3	5,8	0,3	3	5,9	0,4	3	5,0	0,3
21	3	5,3	0,3	3	5,0	0,3	3	5,3	0,3	3	4,0	0,1
22	3	5,2	0,1	3	5,2	0,1	3	5,2	0,2	3	5,1	0,1
23	3	5,2	0,1	3	5,8	0,3	3	4,8	0,1	3	5,2	0,1
24	3	6,2	0,2	3	5,4	0,1	3	5,6	0,2	3	5,6	0,1
25	3	5,7	0,1	3	6,7	0,2	3	5,6	0,3	3	5,7	0,1
26	3	5,3	0,3	3	5,7	0,3	3	5,1	0,3	3	5,6	0,3
27	3	5,1	0,3	3	5,6	0,3	3	5,6	0,3	3	6,2	0,2
28	3	5,0	0,3	3	5,6	0,3	tt			3	5,6	0,1
29	3	6,2	0,1	3	5,6	0,3	3	6,2	0,2	3	5,6	0,3
30	3	5,6	0,3	3	6,2	0,2	3	5,5	0,1	3	4,7	0,3

276

Agitation microsismique  
Jours internationaux réguliers  
Appareil: Wiechert

Le 14 avril 1959

Praha

TMG	NS			EW		
	K	T	A	K	T	A
00	3	5,1	0,2	3	5,1	0,3
01	3	4,9	0,2	3	4,7	0,3
02	3	3,8	0,4	3	5,1	0,3
03	3	3,8	0,4	3	4,7	0,3
04	3	4,6	0,2	3	4,5	0,4
05	3	4,6	0,4	3	4,5	0,3
06	3	4,7	0,4	3	5,2	0,4
07	3	5,7	0,5	3	4,6	0,4
08	3	5,9	0,6	3	5,6	0,4
09	3	5,3	0,5	3	5,1	0,4
10	3	4,8	0,6	3	4,6	0,4
11	3	5,4	0,5	3	4,8	0,5
12	3	4,9	0,5	3	5,3	0,4
13	3	5,3	0,6	3	5,2	0,5
14	3	5,2	0,9	3	5,5	0,4
15	3	4,7	0,5	3	5,7	0,5
16	3	5,1	0,5	3	5,1	0,5
17	3	5,7	0,5	3	5,2	0,4
18	3	4,8	0,6	3	5,4	0,4
19	3	5,6	0,6	3	5,1	0,5
20	3	5,2	0,5	3	5,7	0,4
21	3	4,9	0,6	3	5,4	0,4
22	3	5,2	0,5	3	5,3	0,5
23	3	5,5	0,5	3	5,8	0,4

277



Praha

Le 15 avril 1959

Agitation microsismique  
Jours internationaux réguliers  
Appareil: Wiechert

TMG	NS			EW		
	K	T	A	K	T	A
00	3	5,3	0,5	3	5,8	0,5
01	3	6,1	0,5	3	5,5	0,5
02	3	5,7	0,5	3	5,6	0,4
03	3	5,2	0,7	3	6,2	0,6
04	3	5,5	0,7	3	5,8	0,5
05	3	5,6	0,8	3	5,2	0,8
06	3	5,6	1,0	3	5,5	0,5
07	3	6,1	0,9	3	5,6	0,6
08	3	5,7	0,6	3	6,2	0,5
09	3	5,6	0,7	3	5,6	0,8
10	3	5,7	0,8	3	5,5	0,5
11	3	5,0	0,6	3	5,7	0,5
12	3	5,5	0,6	3	5,4	0,5
13	3	5,4	0,6	3	5,2	0,5
14	3	5,6	0,7	3	5,2	0,5
15	3	5,7	0,7	3	5,4	0,5
16	3	5,7	0,6	3	5,5	0,5
17	3	5,2	0,6	3	5,6	0,5
18	3	5,6	0,7	3	5,5	0,5
19	3	6,1	0,5	3	5,7	0,4
20	3	5,4	0,5	3	5,3	0,4
21	3	5,1	0,5	3	5,6	0,5
22	3	5,4	0,6	3	4,8	0,4
23	3	5,3	0,6	3	5,3	0,4

278

Agitation microsismique  
Jours internationaux réguliers  
Appareil: Wiechert

Le 16 avril 1959

Praha

TMG	EW			NS		
	K	T	A	K	T	A
00	3	4,8	0,4	3	5,2	0,5
01	3	5,5	0,4	3	5,1	0,5
02	3	4,3	0,4	3	4,7	0,4
03	3	4,7	0,4	3	5,7	0,5
04	3	5,5	0,4	3	5,3	0,4
05	3	5,5	0,4	3	5,2	0,6
06	3	4,9	0,5	3	5,2	0,6
07	3	5,4	0,4	3	4,9	0,6
08	3	6,1	0,4	3	5,4	0,5
09	3	4,1	0,4	3	5,4	0,7
10	3	5,8	0,6	3	5,4	0,5
11	3	5,5	0,4	3	5,5	0,5
12	3	5,0	0,4	3	5,3	0,6
13	3	5,7	0,5	3	4,7	0,5
14	3	5,3	0,3	3	5,4	0,5
15	3	5,1	0,4	3	5,2	0,6
16	3	4,8	0,4	3	4,9	0,5
17	3	4,2	0,3	3	5,3	0,4
18	3	5,6	0,4	3	4,9	0,5
19	3	4,7	0,3	3	4,8	0,4
20	3	4,5	0,3	3	5,1	0,4
21	3	4,5	0,4	3	4,8	0,4
22	3	4,5	0,3	3	4,4	0,4
23	3	5,0	0,4	3	5,1	0,4

279



Praha

Le 17 avril 1959

Agitation microsismique  
Jours internationaux réguliers  
Appareil: Wiechert

TMG	NS			EW		
	K	T	A	K	T	A
00	3	4,5	0,2	3	4,7	0,4
01	3	4,4	0,2	3	4,7	0,4
02	3	5,2	0,2	3	4,0	0,3
03	3	4,6	0,2	3	3,9	0,3
04	3	4,5	0,5	3	4,5	0,4
05	3	4,5	0,4	3	4,6	0,4
06	3	4,9	0,4	3	0,8	0,4
07	3	5,3	0,4	3	5,6	0,4
08	3	5,1	0,4	3	5,6	0,4
09	3	5,4	0,5	3	5,8	0,4
10	3	4,8	0,5	3	4,9	0,4
11	3	4,6	0,5	3	5,1	0,5
12	3	6,1	0,5	3	4,9	0,4
13	3	5,8	0,4	3	5,5	0,5
14	3	5,2	0,5	3	5,2	0,5
15	3	4,7	0,5	3	4,7	0,4
16	3	4,8	0,5	3	5,8	0,4
17	3	4,7	0,4	3	5,7	0,4
18	3	5,7	0,4	3	5,3	0,4
19	3	5,1	0,4	3	6,0	0,5
20	3	5,2	0,5	3	6,0	0,5
21	3	6,4	0,4	3	5,4	0,4
22	3	5,8	0,4	3	6,1	0,4
23	3	4,9	0,2	3	4,7	0,3

Agitation microsismique  
Jours internationaux réguliers  
Appareil: Wiechert

Le 18 avril 1959

Praha

TMG	NS			EW		
	K	T	A	K	T	A
00	3	4,0	0,2	3	6,3	0,2
01	3	5,4	0,4	3	4,7	0,3
02	3	5,2	0,2	3	5,4	0,4
03	3	4,5	0,6	3	5,3	0,4
04	3	4,5	0,2	3	4,6	0,4
05	3	4,9	0,2	3	6,5	0,2
06	3	4,5	0,2	3	5,3	0,4
07	3	4,9	0,4	3	5,6	0,4
08	3	5,2	0,4	3	5,1	0,4
09	3	5,6	0,5	3	5,2	0,3
10	3	5,1	0,4	3	4,7	0,3
11	3	4,8	0,4	3	4,7	0,4
12	3	4,7	0,4	3	5,3	0,3
13	3	4,8	0,4	3	4,9	0,3
14	3	4,5	0,2	3	5,2	0,4
15	3	5,2	0,2	3	4,7	0,4
16	3	4,9	0,2	3	4,5	0,4
17	3	4,7	0,2	3	4,5	0,3
18	3	4,8	0,2	3	4,6	0,3
19	3	5,4	0,2	3	4,9	0,3
20	3	4,3	0,2	3	6,1	0,2
21	3	3,7	0,2	3	4,9	0,3
22	3	4,5	0,2	3	4,9	0,4
23	3	4,5	0,2	3	4,8	0,4



Praha

Le 19 avril 1959

Agitation microsismique  
 Jours internationaux réguliers  
 Appareil: Wiechert

TMG	NS			EW		
	K	T	A	K	T	A
00	3	4,9	0,2	3	4,9	0,3
01	3	4,7	0,2	3	5,2	0,4
02	3	4,3	0,2	3	5,4	0,4
03	3	5,6	0,2	3	6,1	0,6
04	3	5,2	0,2	3	5,6	0,4
05	3	5,2	0,2	3	8,8	0,4
06	3	5,7	0,4	3	6,5	0,4
07	3	5,7	0,5	3	6,1	0,3
08	3	5,5	0,4	3	6,5	0,4
09	3	5,1	0,4	3	6,7	0,2
10	3	6,1	0,4	3	5,4	0,4
11	3	5,4	0,4	3	6,5	0,4
12	3	5,7	0,4	3	6,1	0,4
13	3	6,3	0,5	3	6,5	0,5
14	3	6,3	0,4	3	4,7	0,4
15	3	6,6	0,4	3	6,7	0,5
16	3	5,5	0,4	3	5,4	0,4
17	3	5,6	0,4	3	5,9	0,2
18	3	5,9	0,4	3	5,9	0,4
19	3	5,8	0,4	3	6,4	0,4
20	3	5,0	0,2	3	5,3	0,4
21	3	5,0	0,4	3	5,6	0,3
22	3	5,1	0,2	3	5,4	0,3
23	3	5,6	0,4	3	5,6	0,4

Agitation microsismique  
 Jours internationaux réguliers  
 Appareil: Wiechert

Le 20 avril 1959

Praha

TMG	NS			EW		
	K	T	A	K	T	A
00	3	4,6	0,2	3	4,5	0,4
01	3	5,1	0,2	3	5,4	0,3
02	3	5,9	0,2	3	5,6	0,3
03	3	5,1	0,2	3	5,4	0,4
04	3	5,6	0,4	3	4,9	0,4
05	3	5,7	0,2	3	5,2	0,3
06	3	5,3	0,2	3	5,8	0,3
07	3	5,6	0,4	3	5,9	0,4
08	3	5,8	0,4	3	6,7	0,4
09	3	5,6	0,4	3	5,8	0,3
10	3	5,4	0,4	3	5,8	0,3
11	3	5,8	0,4	3	5,4	0,4
12	3	5,5	0,5	3	5,9	0,4
13	3	5,8	0,4	3	5,7	0,4
14	3	5,4	0,4	3	4,6	0,4
15	3	5,4	0,4	3	5,6	0,4
16	3	5,2	0,2	3	5,4	0,4
17	3	4,7	0,2	3	5,6	0,4
18	3	5,4	0,4	3	5,0	0,3
19	3	4,6	0,2	3	5,6	0,4
20	3	4,3	0,2	3	5,8	0,4
21	3	5,6	0,2	3	5,2	0,3
22	3	3,8	0,2	3	4,5	0,3
23	3	4,0	0,2	3	5,2	0,3



Praha

Le 21 avril 1959

Agitation microsismique  
 Jours internationaux réguliers  
 Appareil: Wiechert

TMG	NS			EW		
	K	T	A	K	T	A
00	3	4,3	0,2	3	5,3	0,3
01	3	4,5	0,1	3	4,7	0,3
02	3	4,7	0,1	3	4,9	0,3
03	3	4,1	0,1	3	3,7	0,3
04	3	4,7	0,2	3	4,9	0,3
05	3	4,5	0,1	3	4,0	0,3
06	3	5,6	0,2	3	5,0	0,3
07	3	4,9	0,2	3	4,7	0,3
08	3	5,2	0,2	3	4,7	0,3
09	3	6,1	0,2	3	4,4	0,3
10	3	5,6	0,2	3	4,7	0,3
11	3	5,2	0,2	3	4,0	0,3
12	3	5,1	0,2	3	5,2	0,3
13	3	5,2	0,2	3	4,9	0,3
14	3	4,7	0,2	3	4,7	0,3
15	3	6,1	0,2	3	5,6	0,3
16	3	4,2	0,1	3	4,3	0,3
17	3	5,2	0,2	3	4,7	0,3
18	3	5,0	0,2	3	4,0	0,1
19	3	4,5	0,2	3	4,3	0,1
20	3	4,7	0,2	3	4,3	0,1
21	3	5,4	0,2	3	4,5	0,1
22	3	4,5	0,1	3	4,7	0,1
23	3	4,9	0,2	3	5,8	0,3

284

Agitation microsismique  
 Jours internationaux réguliers  
 Appareil: Wiechert

Le 22 avril 1959

Praha

TMG	NS			EW		
	K	T	A	K	T	A
00	3	5,0	0,1	3	5,2	0,1
01	3	4,7	0,1	3	5,6	0,1
02	3	4,0	0,1	3	4,5	0,1
03	3	4,0	0,1	3	5,6	0,3
04	3	4,5	0,1	3	5,2	0,1
05	3	5,2	0,1	3	5,6	0,3
06	3	4,5	0,1	3	5,2	0,1
07	3	4,0	0,2	3	4,5	0,1
08	3	5,8	0,1	3	5,2	0,1
09	3	6,1	0,2	3	4,9	0,1
10	3	4,5	0,1	3	5,8	0,3
11	3	4,9	0,2	3	5,8	0,1
12	3	4,6	0,2	3	5,2	0,3
13	3	4,9	0,2	3	5,4	0,1
14	3	5,4	0,2	3	6,5	0,2
15	3	4,7	0,1	3	6,1	0,1
16	3	4,7	0,2	3	7,6	0,1
17	3	4,9	0,1	3	6,1	0,2
18	3	4,2	0,1	3	5,1	7,1
19	3	4,3	0,1	3	6,1	0,1
20	3	3,8	0,1	3	5,2	0,3
21	3	4,9	0,1	3	5,8	0,1
22	3	4,0	0,1	3	4,9	0,3
23	3	4,7	0,1	3	5,8	0,1

285



Praha

Le 23 avril 1959

Agitation microsismique  
 Jours internationaux réguliers  
 Appareil: Wiechert

TMG	NS			EW		
	K	T	A	K	T	A
00	3	4,4	0,1	3	5,2	0,1
01	3	5,2	0,1	3	5,2	0,1
02	3	4,5	0,1	3	4,9	0,3
03	3	3,7	0,1	3	5,4	0,1
04	3	4,0	0,1	3	4,7	0,1
05	3	3,6	0,1	3	4,9	0,1
06	3	4,3	0,1	3	5,8	0,3
07	3	5,1	0,1	3	5,6	0,1
08	3	4,9	0,1	3	5,5	0,1
09	3	5,6	0,2	3	5,7	0,1
10	3	5,5	0,1	3	5,6	0,1
11	3	5,6	0,1	3	4,9	0,1
12	3	6,2	0,2	3	5,8	0,1
13	3	5,7	0,1	3	5,5	0,1
14	3	5,8	0,1	3	5,6	0,1
15	3	5,5	0,1	3	5,6	0,1
16	3	6,7	0,1	3	4,7	0,1
17	3	5,3	0,1	3	5,0	0,1
18	3	5,6	0,1	3	5,2	0,1
19	3	5,2	0,1	3	6,2	0,2
20	3	5,6	0,1	3	5,1	0,3
21	3	5,8	0,1	3	6,7	0,1
22	3	5,6	0,1	3	6,2	0,1
23	3	5,0	0,1	3	6,1	0,1

Agitation microsismique  
 Jours internationaux réguliers  
 Appareil: Wiechert

Le 24 avril 1959

Praha

TMG	EW			NS		
	K	T	A	K	T	A
00	3	6,2	0,2	3	4,8	0,1
01	3	5,7	0,1	3	6,7	0,1
02	3	5,1	0,1	3	5,6	0,1
03	3	5,8	0,3	3	5,0	0,1
04	3	5,4	0,1	3	4,7	0,1
05	3	6,1	0,2	3	4,5	0,1
06	3	5,4	0,1	3	4,6	0,2
07	3	5,4	0,1	0,0		
08	3	5,1	0,1	0,0		
09	3	5,6	0,1	0,0		
10	3	6,7	0,1	0,0		
11	3	6,7	0,1	0,0		
12	3	5,6	0,2	0,0		
13	3	6,7	0,1	0,0		
14	3	5,6	0,1	0,0		
15	3	4,9	0,3	0,0		
16	3	5,8	0,1	0,0		
17	3	5,1	0,3	0,0		
18	3	5,6	0,1	3	4,5	0,1
19	3	5,6	0,1	3	5,6	0,1
20	3	5,6	0,1	0,0		
21	3	5,7	0,1	0,0		
22	3	5,6	0,3	0,0		
23	3	5,6	0,1	0,0		



TMG	NS			EW		
	K	T	A	K	T	A
00	0,0			3	5,7	0,1
01	3	6,2	0,1	3	6,7	0,2
02	0,0			3	5,6	0,1
03	0,0			3	5,6	0,1
04	0,0			3	5,7	0,1
05	0,0			3	5,6	0,3
06	0,0			3	6,7	0,2
07	0,0			3	5,6	0,1
08	0,0			3	6,2	0,1
09	0,0			3	5,6	0,3
10	3	4,5	0,1	3	4,7	0,3
11	3	4,5	0,1	3	5,4	0,1
12	3	4,5	0,1	3	5,6	0,3
13	3	5,0	0,1	3	5,6	0,3
14	3	5,7	0,2	3	5,2	0,3
15	3	5,6	0,2	3	5,0	0,3
16	3	4,5	0,2	3	5,0	0,3
17	3	4,5	0,2	3	5,6	0,1
18	3	5,6	0,2	3	5,7	0,1
19	3	4,5	0,2	3	5,6	0,3
20	3	5,6	0,2	3	5,0	0,3
21	3	4,5	0,2	3	5,6	0,3
22	3	5,6	0,2	3	6,2	0,3
23	3	5,0	0,2	3	6,7	0,3

TMG	00 <sup>h</sup>			06 <sup>h</sup>			12 <sup>h</sup>			18 <sup>h</sup>		
	K	T	A	K	T	A	K	T	A	K	T	A
1	3	5,0	0,1	3	4,5	0,1	3	4,5	0,1	3	4,5	0,1
2	0,0			3	4,5	0,1	3	5,8	0,2	3	5,8	0,2
3	3	4,9	0,1	3	4,5	0,1	3	4,5	0,1	3	5,6	0,1
4	0,0			3	5,6	0,1	0,0			0,0		
5	0,0			0,0			3	5,0	0,1	3	5,6	0,1
6	3	5,6	0,2	0,0			3	4,5	0,2	3	5,6	0,1
7	3	5,6	0,1	3	4,5	0,1	...			3	4,0	0,1
8	0,0			0,0			3	5,6	0,2	3	4,5	0,2
9	3	4,5	0,2	0,0			3	5,6	0,1	3	3,9	0,1
10	0,0			3	4,5	0,1	3	5,6	0,1	3	4,5	0,1
11	3	4,5	0,1	0,0			0,0			0,0		
12	0,0			tt			3	5,1	0,1	...		
13	0,0			0,0			0,0			0,0		
14	0,0			0,0			0			...		
15	...			...			0,0			3	4,4	0,1
16	3	4,8	0,1	3	3,8	0,1	3	5,8	0,1	3	5,3	0,1
17	3	4,6	0,1	3	5,8	0,1	0,0			0,0		
18	0,0			0,0			0,0			0,0		
19	0,0			0,0			0,0			0,0		
20	0,0			3	5,6	0,3	0,0			0,0		
21	0,0			0,0			0,0			0,0		
22	0,0			0,0			0,0			0,0		
23	0,0			0,0			0,0			0,0		
24	0,0			3	3,5	0,1	0,0			0,0		
25	0,0			0,0			0			0		
26	0,0			0,0			0,0			0,0		
27	0,0			0,0			0,0			0,0		
28	0,0			0,0			0,0			0,0		
29	0			...			0,0			0,0		
30	0,0			0,0			0,0			0,0		
31	0,0			0,0			0,0			0,0		



TMG	00 h			06 h			12 h			18 h		
	K	T	A	K	T	A	K	T	A	K	T	A
1	3	5,2	0,1	3	3,9	0,3	3	4,8	0,3	3	5,8	0,2
2	3	5,0	0,1	3	4,6	0,1	3	5,7	0,3	3	5,6	0,3
3	3	5,3	0,1	3	6,3	0,2	3	6,2	0,1	3	5,6	0,1
4	3	6,2	0,2	3	4,5	0,1	0,0			0,0		
5	0,0			0,0			3	5,6	0,1	3	5,6	0,1
6	3	5,6	0,3	3	6,2	0,1	3	6,8	0,1	3	5,6	0,3
7	3	5,6	0,1	3	5,6	0,1	...			...	5,6	0,1
8	0,0			0,0			3	5,6	0,2	3	5,6	0,3
9	3	5,6	0,3	0,0			vv			0,0		
10	3	5,0	0,1	3	4,5	0,1	...			...		
11	...			0,0			0,0			0,0		
12	0,0			tt			...			...		
13	0,0			0,0			0,0			...		
14	0,0			3	4,5	0,1	0,0			...		
15	...			...			3	5,1	0,1	3	5,2	0,3
16	3	5,4	0,3	3	5,6	0,3	3	5,6	0,3	3	4,8	0,3
17	3	4,9	0,3	3	4,6	0,1	3	5,8	0,1	3	5,6	0,1
18	3	5,6	0,1	3	5,3	0,1	0,0			0,0		
19	0,0			0,0			...			3	5,6	0,3
20	3	5,6	0,1	3	5,6	0,3	0,0			0,0		
21	0,0			0,0			0,0			0,0		
22	0,0			0,0			0,0			0,0		
23	0,0			0,0			...			0,0		
24	3	5	0,1	3	4,8	0,1	0,0			0,0		
25	0,0			0,0			0,0			0,0		
26	0,0			0,0			0,0			0,0		
27	0,0			0,0			0,0			0,0		
28	0,0			0,0			0,0			0,0		
29	0,0			0,0			0,0			0,0		
30	0,0			0,0			0,0			0,0		
31	0,0			0,0			0,0			0,0		

TMG	NS			EW		
	K	T	A	K	T	A
00	0,0			0,0		
01	0,0			0,0		
02	0,0			0,0		
03	0,0			0,0		
04	0,0			0,0		
05	0,0			0,0		
06	...			...		
07	0,0			0,0		
08	3	3,8	0,1	0,0		
09	3	4,5	0,1	3	6,2	0,2
10	3	5,1	0,1	...		
11	tt			tt		
12	3	5,1	0,1	...		
13	0,0			...		
14	3	5,6	0,1	3	5,6	0,1
15	3	6,2	0,2	...		
16	3	5,1	0,1	0,0		
17	0,0			0,0		
18	...			...		
19	0,0			...		
20	0,0			...		
21	0,0			...		
22	0,0			...		
23	0,0			...		

Le 13 et 14 mai le mouvement microsismique très faible, l'amplitude inférieure à 0,1  $\mu$ .



TMG	00 <sup>h</sup>			06 <sup>h</sup>			12 <sup>h</sup>			18 <sup>h</sup>		
	K	T	A	K	T	A	K	T	A	K	T	A
1	0,0			0,0			0,0			0,0		
2	0,0			tt			0,0			3	4,8	0,1
3	0,0			3	5,6	0,1	3	5,0	0,1	0,0		
4	0,0			3	4,8	0,1	3	4,8	0,1	3	4,5	0,1
5	0,0			0,0			0,0			0,0		
6	0,0			0,0			0,0			0,0		
7	3	5,6	0,1	3	5,1	0,1	3	5,6	0,1	3	4,8	0,1
8	3	3,9	0,1	3	4,5	0,1	3	4,5	0,1	3	4,5	0,2
9	3	5,1	0,1	3	4,5	0,1	3	4,5	0,1	3	5,6	0,1
10	3	5,1	0,1	0,0			0,0			3	4,8	0,1
11	0,0			0,0			0,0			0,0		
12	0,0			0,0			0,0			0,0		
13	0,0			0,0			0,0			3	4,5	0,1
14	3	4,6	0,1	...			0,0			0,0		
15	0,0			3	4,5	0,1	3	3,4	0,1	0,0		
16	0,0			0,0			0,0			0,0		
17	...			...			0,0			0,0		
18	0,0			3	4,5	0,1	3	5,6	0,1	3	4,0	0,1
19	...			3	4,3	0,1	3	4,5	0,1	3	3,0	0,1
20	...			...			0,0			0,0		
21	0,0			0,0			0,0			0,0		
22	0,0			0,0			0,0			0,0		
23	0,0			0,0			0,0			0,0		
24	0,0			0,0			0,0			0,0		
25	0,0			0,0			0			0		
26	0,0			0			0,0			0,0		
27	0			0			0,0			0,0		
28	0			0,0			0,0			0,0		
29	0			0			0,0			0		
30	0			0,0			3	4,1	0,1	0,0		

TMG	00 <sup>h</sup>			06 <sup>h</sup>			12 <sup>h</sup>			18 <sup>h</sup>		
	K	T	A	K	T	A	K	T	A	K	T	A
1	0,0			0,0			0,0			0,0		
2	0,0			tt			3	5,1	0,1	3	5,2	0,1
3	3	4,3	0,1	3	4,9	0,1	3	5,1	0,1	3	4,5	0,1
4	3	5,2	0,2	3	5	0,1	0,0			0,0		
5	0,0			0,0			0,0			0,0		
6	0,0			0,0			0,0			0,0		
7	0,0			3	5,2	0,1	3	5,6	0,1	3	4,9	0,1
8	3	4,5	0,1	3	5,6	0,1	3	4,5	0,1	3	4,6	0,3
9	3	5,1	0,1	3	5,1	0,5	3	4,9	0,1	3	5,2	0,1
10	3	4,5	0,1	3	3,9	0,1	3	5,1	0,1	3	5,2	0,1
11	0,0			0,0			3	4,5	0,1	3	4,5	0,1
12	3	5,6	0,1	3	5,6	0,1	0,0			0,0		
13	0,0			0,0			3	5,4	0,1	3	4,8	0,3
14	3	5,1	0,1	...			0,0			0,0		
15	0,0			0,0			3	4,6	0,1	3	3,8	0,1
16	0,0			0,0			...			...		
17	...			...			0,0			0,0		
18	0,0			3	4,8	0,1	...			...		
19	...			...			3	3,9	0,1	3	0,0	
20	...			...			0,0			0,0		
21	...			...			0,0			0,0		
22	0,0			...			0,0			0,0		
23	0,0			0,0			0,0			0,0		
24	0,0			...			0			0		
25	0			0,0			0			0,0		
26	0			0,0			0,0			0,0		
27	0,0			0,0			0,0			0,0		
28	0			0,0			0,0			0,0		
29	0			0			0,0			0,0		
30	0,0			0			0			0,0		



Praha

Le 16 juin 1959

Agitation microsismique  
 Jours internationaux réguliers  
 Appareil: Wiechert

TMG	NS			EW		
	K	T	A	K	T	A
00	0,0			0,0		
03	0,0			0,0		
06	0,0			0,0		
09	0,0			...		
12	0,0			...		
15	...			...		
18	0,0			...		
21	0,0			...		

Le 18 juin 1959

TMG	NS			EW		
	K	T	A	K	T	A
00	...			...		
03	0,0			...		
06	...			...		
09	0,0			0,0		
12	0,0			0,0		
15	0,0			0,0		
18	0,0			0,0		
21	0,0			0,0		

Le 17 juin 1959

TMG	NS			EW		
	K	T	A	K	T	A
00	0,0			0,0		
03	0,0			0,0		
06	3			3	4,8	0,1
09	3			...		
12	3			...		
15	3			0,0		
18	3			...		
21	...			...		

Agitation microsismique  
 Appareil: Wiechert NS

Juillet 1959

Praha

TMG	00 <sup>h</sup>			06 <sup>h</sup>			12 <sup>h</sup>			18 <sup>h</sup>		
	K	T	A	K	T	A	K	T	A	K	T	A
1	0			0			0,0			0,0		
2	0			0			0,0			0,0		
3	0			0			0			0		
4	0			0,0			0,0			0,0		
5	0,0			0,0			0,0			0		
6	0			0			0			...		
7	0,0			0,0			0,0			0,0		
8	0,0			0,0			0,0			0,0		
9	0			0			0,0			0,0		
10	0			0			0,0			0		
11	0			...			0,0			0		
12	0			0			3	3,4	0,1	3	3,5	0,1
13	0,0			0,0			0,0			3	3,4	0,1
14	0,0			0,0			0,0			0,0		
15	0			0,0			0,0			0,0		
16	0			0,0			0,0			0		
17	0			0			0			0,0		
18	0			0,0			0,0			0		
19	0			0,0			0			0,0		
20	0			0,0			0			0		
21	0			0,0			0,0			0		
22	0			0			0,0			...		
23	...			...			...			0,0		
24	0,0			0			0,0			0		
25	0			0			0,0			0,0		
26	0,0			0,0			0,0			0,0		
27	0,0			0,0			0,0			0,0		
28	0,0			0,0			0,0			0,0		
29	0,0			0,0			0,0			0,0		
30	0,0			0,0			0,0			0,0		
31	0,0			0,0			0,0			0,0		



TMG	00 <sup>h</sup>			06 <sup>h</sup>			12 <sup>h</sup>			18 <sup>h</sup>		
	K	T	A	K	T	A	K	T	A	K	T	A
1	0			0			0			0,0		
2	0			vv			vv			0,0		
3	0,0			0			0			0		
4	0			0			0,0			0,0		
5	0,0			0,0			0			0		
6	0			0			0			...		
7	0,0			0,0			0,0			0,0		
8	0,0			0,0			0,0			0		
9	0			0			0			0		
10	0			0			0,0			0,0		
11	0			0			0			0,0		
12	0,0			0,0			0,0			0,0		
13	0,0			0,0			0,0			3	3,2	0,1
14	0,0			0,0			0,0			3	3,2	0,1
15	0			0			0,0			0		
16	0			0			0,0			0		
17	0			0			0			0,0		
18	0			0,0			0,0			0		
19	0			0,0			0			0		
20	0			0,0			0			0,0		
21	0,0			...			...			0		
22	0			0			0,0			...		
23	...			...			...			0,0		
24	0			0			0,0			0		
25	0			0			0,0			0,0		
26	0,0			0,0			0,0			0,0		
27	0,0			0,0			0,0			0,0		
28	0,0			0,0			0,0			0,0		
29	0,0			0,0			0,0			0,0		
30	0,0			0,0			0,0			0,0		
31	0,0			0,0			3	4,3	0,1	0,0		

TMG	NS			EW		
	K	T	A	K	T	A
00	0,0			0,0		
03	0,0			0,0		
06	0,0			0,0		
09	0,0			0,0		
12	0,0			0,0		
15	0,0			0		
18	0,0			0		
21	0			0		

TMG	NS			EW		
	K	T	A	K	T	A
00	0			0		
03	0			0		
06	0,0			0		
09	0,0			0		
12	0,0			0,0		
15	0			0		
18	0,0			0		
21	0			0		

TMG	NS			EW		
	K	T	A	K	T	A
00	0			0		
03	0			0,0		
06	0,0			0		
09	0,0			0,0		
12	0,0			0,0		
15	0,0			0,0		
18	0			0		
21	0			0		



Praha

Le 17 juillet 1959

Agitation microsismique  
Jours internationaux réguliers  
Appareil: Wiechert

TMG	NS			EW		
	K	T	A	K	T	A
00	0			0		
03	0			0		
06	0			0		
09	0,0			0		
12	0			0		
15	0,0			0		
18	0,0			0,0		
21	0,0			0,0		

Le 18 juillet 1959

TMG	NS			EW		
	K	T	A	K	T	A
00	0			0		
03	0,0			0,0		
06	0,0			0,0		
09	0,0			0,0		
12	0,0			0,0		
15	0			0		
18	0			0		
21	tt			tt		

Le 19 juillet 1959

TMG	NS			EW		
	K	T	A	K	T	A
00	0			0		
03	0			0,0		
06	0,0			0,0		
09	0			0		
12	0			0		
15	0			0,0		
18	0,0			0		
21	0,0			0,0		

298

Agitation microsismique  
Jours internationaux réguliers  
Appareil: Wiechert

Le 20 Juillet 1959

Praha

TMG	NS			EW		
	K	T	A	K	T	A
00	0			0		
03	0,0			0,0		
06	0,0			0,0		
09	0,0			0,0		
12	0			0		
15	0			0		
18	0			0,0		
21	0			0,0		

Le 21 juillet 1959

TMG	NS			EW		
	K	T	A	K	T	A
00	0			0,0		
03	0,0			...		
06	0,0			...		
09	0,0			0,0		
12	0,0			...		
15	0			0		
18	0			0		
21	0			0		

Le 22 juillet 1959

TMG	NS			EW		
	K	T	A	K	T	A
00	0			0		
03	0			0		
06	0			0		
09	0,0			0,0		
12	0,0			0,0		
15	...			...		
18	...			...		
21	...			...		

299



Praha

Le 23 juillet 1959

Agitation microsismique  
 Jours internationaux réguliers  
 Appareil: Wiechert

TMG	NS			EW		
	K	T	A	K	T	A
00	...			...		
03	...			...		
06	...			...		
09	...			...		
12	...			...		
15	0,0			0,0		
18	0,0			0,0		
21	0,0			0		

Le 24 juillet 1959

TMG	NS			EW		
	K	T	A	K	T	A
00	0,0			0		
03	0,0			0,0		
06	0			0		
09	0,0			0		
12	0,0			0,0		
15	0,0			0		
18	0			0		
21	0			0		

Agitation microsismique  
 Appareil: Wiechert NS

Août 1959

Praha

TMG	00 <sup>h</sup>			06 <sup>h</sup>			12 <sup>h</sup>			18 <sup>h</sup>		
	K	T	A	K	T	A	K	T	A	K	T	A
1	0,0			0,0			0			0,0		
2	0			0			0			0		
3	0			0,0			0,0			0,0		
4	0			0			0			0		
5	0			0			0,0			0,0		
6	0,0			0			0			0		
7	0			0,0			0,0			0,0		
8	0,0			0,0			0,0			0,0		
9	0,0			0,0			0,0			0,0		
10	0,0			0,0			0,0			0,0		
11	0,0			0,0			0,0			3	3,5	0,1
12	0,0			0,0			...			3	5,0	0,1
13	0,0			3	4,3	0,1	3	6,2	0,1	3	4,2	0,1
14	3	4,5	0,3	3	4,8	0,4	3	4,4	0,4	3	3,7	0,3
15	3	4,7	0,2	3	5,0	0,2	3	4,7	0,2	3	4,1	0,2
16	3	4,7	0,1	3	4,1	0,1	3	4,1	0,2	3	4,0	0,1
17	0,0			3	3,6	0,1	3	3,7	0,1	3	3,3	0,1
18	tt			0,0			3	4,6	0,1	3	3,7	0,1
19	0,0			0,0			0,0			3	3,5	0,1
20	0,0			0,0			3	3,7	0,1	0,0		
21	3	4,2	0,1	3	4,4	0,1	3	3,6	0,1	0,0		
22	...			0,0			3	4,7	0,1	3	4,3	0,1
23	0,0			0,0			3	5,9	0,1	3	5,2	0,1
24	0,0			0,0			3	5,0	0,1	...		
25	3	3,7	0,1	3	4,8	0,1	...			3	4,0	0,1
26	3	3,8	0,1	3	4,0	0,1	...			...		
27	...			...			3	3,7	0,1	3	4,6	0,2
28	3	4,6	0,1	3	4,4	0,2	...			3	3,9	0,3
29	3	3,3	0,1	3	4,2	0,1	3	5,0	0,1	tt		
30	3	4,3	0,1	3	3,9	0,1	3	4,3	0,1	3	4,8	0,1
31	3	5,0	0,1	3	5,3	0,1	3	5,5	0,1	3	4,7	0,1



TMG	00 <sup>h</sup>			06 <sup>h</sup>			12 <sup>h</sup>			18 <sup>h</sup>		
	K	T	A	K	T	A	K	T	A	K	T	A
1	0,0			0,0			0,0			0,0		
2	0,0			0,0			0			0		
3	0			0,0			0,0			0,0		
4	0,0			0			0,0			0,0		
5	0,0			0,0			0,0			0,0		
6	0,0			0			0,0			0,0		
7	0			0,0			0,0			0,0		
8	0,0			0,0			0,0			0,0		
9	0,0			0,0			0,0			0,0		
10	0,0			0,0			0,0			0,0		
11	0,0			0,0			3	4,3	0,1	3	5,0	0,1
12	0,0			0,0			...			3	5,0	0,1
13	0,0			0,0			3	6,2	0,1	3	4,3	0,1
14	0,0			3	4,2	0,3	3	4,5	0,3	3	4,5	0,3
15	3	4,9	0,3	3	4,2	0,1	3	4,5	0,3	3	4,8	0,3
16	3	5,0	0,3	3	4,5	0,1	3	4,6	0,3	3	3,8	0,1
17	0,0			3	5,0	0,1	3	4,6	0,1	3	3,7	0,1
18	tt			3	4,3	0,1	3	5,6	0,1	0,0		
19	0,0			3	5,6	0,1	3	5,0	0,1	3	3,7	0,1
20	3	4,3	0,0	0,0			0,0			0,0		
21	0,0			3	4,8	0,1	3	4,0	0,1	3	3,6	0,1
22	...			3	5,0	0,1	3	5,1	0,1	3	4,7	0,1
23	3	4,3	0,1	3	4,2	0,1	0,0			3	5,0	0,1
24	3	5,3	0,1	3	5,5	0,1	0,0			...		
25	3	6,9	0,3	3	5,0	0,1	...			3	4,6	0,1
26	3	5,0	0,1	3	3,7	0,1	...			...		
27	...			...			...			3	4,5	0,1
28	3	4,6	0,1	3	4,9	0,3	...			3	4,6	0,3
29	3	4,6	0,3	3	5,6	0,1	3	5,7	0,1	tt		
30	3	4,6	0,1	3	5,0	0,1	3	4,0	0,1	3	4,8	0,1
31	3	5,3	0,1	3	5,6	0,1	3	6,1	0,1	3	5,1	0,1

TMG	NS			EW		
	K	T	A	K	T	A
00	0,0			0,0		
03	0,0			0,0		
06	0,0			0,0		
09	3	4,2	0,1	0,0		
12	0,0			...		
15	0,0			0,0		
18	3	3,7	0,1	0,0		
21	0,0			0,0		

TMG	NS			EW		
	K	T	A	K	T	A
00	0,0			0,0		
03	0,0			0,0		
06	0,0			0,0		
09	3	4,2	0,1	0,0		
12	0,0			0,0		
15	0,0			0,0		
18	3	3,5	0,1	0,0		
21	0,0			0,0		

TMG	NS			EW		
	K	T	A	K	T	A
00	0,0			0,0		
03	0,0			0,0		
06	3	4,3	0,1	0,0		
09	0,0			0,0		
12	3	6,2	0,1	3	6,2	0,1
15	3	3,7	0,1	0,0		
18	3	3,2	0,1	3	4,3	0,1
21	3	3,5	0,1	0,0		



TMG	00 <sup>h</sup>			06 <sup>h</sup>			12 <sup>h</sup>			18 <sup>h</sup>		
	K	T	A	K	T	A	K	T	A	K	T	A
1	3	5,5	0,1	3	4,4	0,1	tt			3	5,3	0,2
2	3	4,5	0,1	3	5,5	0,1	3	4,1	0,1	3	4,2	0,2
3	3	4,2	0,1	3	4,6	0,1	3	5,0	0,1	3	5,6	0,2
4	3	4,5	0,1	3	5,0	0,1	...			3	5,0	0,1
5	3	5,5	0,1	3	4,8	0,1	3	4,7	0,1	3	4,8	0,2
6	3	4,0	0,1	3	4,0	0,3	3	4,6	0,2	3	4,8	0,2
7	3	5,2	0,2	3	5,7	0,2	3	5,5	0,2	3	5,1	0,2
8	3	4,6	0,1	3	4,6	0,2	3	5,1	0,1	3	4,8	0,1
9	0,0			0,0			3	4,7	0,1	3	4,5	0,1
10	0,0			...			3	4,3	0,2	3	4,7	0,2
11	3	4,3	0,2	3	5,2	0,2	3	4,6	0,2	3	4,7	0,2
12	3	4,5	0,1	3	4,3	0,2	3	4,7	0,2	2	4,7	0,2
13	3	4,3	0,1	3	4,6	0,1	3	4,1	0,1	3	4,6	0,1
14	0,0			3	5,0	0,1	3	4,3	0,1	3	4,3	0,1
15	3	3,8	0,1	3	4,0	0,3	3	5,1	0,2	3	4,1	0,1
16	3	3,9	0,1	3	5,1	0,2	3	5,0	0,4	3	5,1	0,2
17	3	4,0	0,1	3	4,8	0,2	3	4,5	0,2	3	4,4	0,2
18	3	3,8	0,1	3	4,6	0,2	3	4,1	0,2	3	4,2	0,2
19	3	4,5	0,1	3	4,3	0,2	3	4,8	0,1	3	4,2	0,2
20	3	4,6	0,1	3	5,1	0,2	3	4,4	0,1	3	4,8	0,2
21	3	5,0	0,2	3	5,8	0,2	3	5,8	0,4	3	5,7	0,2
22	3	5,4	0,2	3	6,0	0,4	3	6,3	0,4	3	6,2	0,4
23	3	4,6	0,2	3	6,2	0,4	3	5,8	0,2	3	5,2	0,2
24	3	4,8	0,2	3	5,3	0,2	3	5,2	0,2	3	5,3	0,4
25	...			...			3	5,2	0,4	3	5,3	0,4
26	3	5,0	0,2	3	5,5	0,4	3	4,9	0,2	3	5,5	0,4
27	3	4,9	0,2	3	4,9	0,2	3	5,5	0,4	3	5,7	0,4
28	3	4,4	0,2	3	5,4	0,2	3	4,7	0,2	3	5,1	0,4
29	3	4,4	0,2	3	5,1	0,2	3	4,5	0,4	3	5,0	0,2
30	3	5,1	0,2	3	4,7	0,2	3	5,4	0,4	3	5,4	0,4

TMG	00 <sup>h</sup>			06 <sup>h</sup>			12 <sup>h</sup>			18 <sup>h</sup>		
	K	T	A	K	T	A	K	T	A	K	T	A
1	3	5,3	0,1	3	6,1	0,1	tt			3	4,8	0,1
2	3	4,7	0,1	3	5,5	0,1	3	5,1	0,1	3	5,1	0,1
3	3	4,6	0,1	3	4,7	0,1	3	5,0	0,1	3	5,5	0,1
4	3	5,9	0,3	3	5,0	0,1	...			3	4,3	0,1
5	0,0			0,0			3	4,6	0,1	3	4,5	0,1
6	3	4,0	0,1	0,0			3	4,8	0,3	3	4,5	0,1
7	3	4,5	0,3	3	4,5	0,1	3	5,5	0,3	3	4,8	0,1
8	3	4,7	0,1	3	4,8	0,1	3	4,4	0,1	3	4,5	0,1
9	0,0			3	4,4	0,1	3	4,7	0,1	3	4,5	0,1
10	0,0			...			3	4,3	0,3	3	4,8	0,3
11	3	4,3	0,3	3	4,5	0,3	3	4,7	0,1	3	4,5	0,1
12	3	5,2	0,1	3	4,2	0,1	3	4,7	0,1	3	4,3	0,1
13	3	4,3	0,1	3	4,1	0,1	3	4,6	0,1	0,0		
14	0,0			0,0			3	4,1	0,1	3	5,5	0,3
15	3	4,3	0,1	3	4,4	0,1	3	4,5	0,1	3	4,3	0,1
16	0,0			3	5,0	0,1	3	4,4	0,3	3	4,9	0,3
17	3	4,1	0,1	3	4,1	0,1	3	5,2	0,3	3	4,8	0,1
18	3	4,0	0,1	3	3,8	0,1	3	4,0	0,1	3	4,2	0,1
19	3	3,6	0,1	3	4,4	0,1	3	4,6	0,1	3	4,6	0,1
20	3	4,0	0,1	3	4,4	0,1	3	5,0	0,1	3	4,4	0,1
21	3	4,8	0,1	3	5,8	0,3	3	5,8	0,3	3	5,7	0,3
22	3	4,8	0,1	3	5,4	0,3	vv			3	4,6	0,3
23	3	4,0	0,3	3	5,1	0,3	3	4,8	0,3	3	4,2	0,3
24	3	4,7	0,1	3	5,1	0,3	3	5,1	0,3	3	4,6	0,3
25	...			...			3	4,8	0,3	3	5,2	0,3
26	3	5,0	0,3	3	4,8	0,3	3	4,6	0,3	3	4,6	0,3
27	3	4,5	0,3	3	4,5	0,3	3	4,4	0,3	3	4,5	0,3
28	3	5,1	0,3	3	4,4	0,3	3	4,6	0,3	3	4,0	0,3
29	3	4,6	0,1	3	4,4	0,3	3	4,6	0,3	3	4,3	0,3
30	3	3,9	0,1	3	4,8	0,3	3	4,4	0,3	3	4,8	0,3



Praha

Le 15 septembre 1959

Agitation microsismique  
Jours internationaux réguliers  
Appareil: Wiechert

TMG	NS			EW		
	K	T	A	K	T	A
00	3	3,8	0,1	3	4,3	0,1
03	3	3,7	0,1	0,0		
06	3	4,0	0,3	3	4,4	0,1
09	3	4,2	0,2	3	4,5	0,1
12	3	5,1	0,2	3	4,5	0,1
15	3	4,2	0,2	3	4,3	0,1
18	3	4,1	0,1	3	4,3	0,1
21	3	3,8	0,1	0,0		

Le 16 septembre 1959

TMG	NS			EW		
	K	T	A	K	T	A
00	3	3,9	0,1	0,0		
03	0,0			0,0		
06	3	5,1	0,2	3	5,0	0,1
09	3	4,8	0,2	3	4,7	0,3
12	3	5,0	0,4	3	4,4	0,3
15	3	5,2	0,2	3	4,0	0,1
18	3	5,1	0,2	3	4,9	0,3
21	3	4,2	0,2	3	5,0	0,1

Le 17 septembre 1959

TMG	NS			EW		
	K	T	A	K	T	A
00	3	4,0	0,1	3	4,1	0,1
03	3	4,2	0,1	3	4,2	0,3
06	3	4,8	0,2	3	4,1	0,1
09	3	4,1	0,2	3	5,0	0,1
12	3	4,5	0,2	3	5,2	0,3
15	3	4,0	0,3	3	5,0	0,3
18	3	4,4	0,2	3	4,8	0,1
21	3	4,3	0,1	3	5,0	0,1

306

Agitation microsismique  
Appareil: Wiechert NS

Octobre 1959

Praha

TMG	00 <sup>h</sup>			06 <sup>h</sup>			12 <sup>h</sup>			18 <sup>h</sup>		
	K	T	A	K	T	A	K	T	A	K	T	A
1	3	4,7	0,2	3	5,1	0,4	3	4,8	0,4	3	4,8	0,2
2	3	3,9	0,3	3	5,0	0,2	3	5,1	0,2	3	5,1	0,2
3	3	4,7	0,2	3	4,2	0,1	3	4,6	0,2	3	4,8	0,2
4	3	4,0	0,1	3	4,0	0,1	3	4,2	0,2	3	4,2	0,2
5	3	3,8	0,3	3	4,2	0,2	3	4,7	0,2	3	4,1	0,2
6	3	4,1	0,2	3	4,1	0,2	3	4,0	0,3	3	3,8	0,3
7	3	3,8	0,3	3	4,8	0,2	3	4,9	0,2	3	5,8	0,4
8	3	5,0	0,2	3	5,0	0,2	3	4,2	0,2	3	5,0	0,2
9	3	5,1	0,4	3	6,1	0,6	3	6,0	0,6	3	5,8	0,4
10	3	5,7	0,2	3	5,2	0,2	3	5,0	0,2	3	5,2	0,2
11	3	5,4	0,2	3	4,8	0,2	3	5,4	0,2	3	4,4	0,2
12	3	4,0	0,3	3	4,7	0,2	3	4,6	0,2	3	4,4	0,2
13	3	4,5	0,2	3	4,5	0,2	3	4,4	0,2	3	4,5	0,2
14	3	5,2	0,2	3	4,2	0,2	3	4,6	0,2	3	4,5	0,2
15	3	4,8	0,2	3	4,8	0,2	3	5,0	0,2	3	4,7	0,2
16	3	4,2	0,2	3	4,8	0,2	3	5,0	0,2	3	4,3	0,2
17	3	4,3	0,2	3	4,7	0,2	3	4,1	0,2	3	5,0	0,6
18	3	5,0	0,4	3	4,8	0,2	3	4,2	0,2	3	4,3	0,2
19	3	4,5	0,2	3	5,2	0,4	3	5,0	0,2	3	4,8	0,2
20	3	4,8	0,2	3	5,1	0,4	3	5,3	0,4	3	4,8	0,2
21	3	5,3	0,4	3	5,0	0,4	3	5,0	0,6	3	5,2	0,6
22	3	5,8	0,4	3	6,6	0,6	3	6,1	0,6			
23	...			3	5,8	0,6	3	6,2	0,6	3	6,4	0,6
24	3	6,6	0,6	3	5,6	0,4	3	6,5	0,6	...		
25	...			...			3	6,0	0,6	3	5,6	0,6
26	3	4,8	0,2	3	5,5	0,4	3	5,5	0,4	3	5,2	0,2
27	3	5,5	0,4	3	6,1	0,7	3	6,5	0,8	3	6,2	0,8
28	3	6,0	0,7	3	6,0	0,8	3	5,9	0,9	3	5,8	0,7
29	3	5,6	0,6	3	6,1	0,7	3	6,2	0,7	3	5,8	0,6
30	3	5,2	0,4	...			3	5,0	0,6	3	4,6	0,2
31	3	4,1	0,2	3	3,8	0,3	3	4,0	0,2	3	3,8	0,3

20\*

307



TMG	00 <sup>h</sup>			06 <sup>h</sup>			12 <sup>h</sup>			18 <sup>h</sup>		
	K	T	A	K	T	A	K	T	A	K	T	A
1	3	4,2	0,1	3	4,1	0,1	3	4,7	0,3	3	4,5	0,3
2	3	4,3	0,3	3	4,6	0,3	3	5,2	0,3	3	5,0	0,3
3	3	4,8	0,1	3	4,8	0,3	3	4,2	0,3	3	4,6	0,1
4	3	4,5	0,1	3	4,2	0,1	3	4,8	0,1	3	4,8	0,3
5	3	4,0	0,1	3	4,5	0,1	3	4,7	0,3	3	4,6	0,3
6	3	4,5	0,3	3	4,6	0,3	3	4,5	0,3	3	4,4	0,3
7	3	3,5	0,3	3	4,6	0,3	3	4,6	0,3	3	4,6	0,3
8	3	4,0	0,3	3	4,8	0,3	3	4,8	0,3	3	5,6	0,4
9	3	4,6	0,3	3	6,3	0,4	3	5,8	0,4	3	5,8	0,4
10	3	5,5	0,3	3	5,5	0,3	3	5,3	0,3	3	4,6	0,3
11	3	5,2	0,3	3	5,3	0,3	3	5,0	0,3	3	5,1	0,3
12	3	4,4	0,3	3	4,8	0,3	3	5,2	0,3	3	4,4	0,3
13	3	4,2	0,1	3	5,2	0,3	3	4,2	0,3	3	4,6	0,3
14	3	4,2	0,3	3	5,0	0,3	3	4,8	0,3	3	4,8	0,3
15	3	4,6	0,3	3	4,3	0,3	3	4,7	0,3	3	4,4	0,3
16	3	4,7	0,3	3	5,2	0,3	3	5,2	0,3	3	4,8	0,3
17	3	4,0	0,3	3	5,0	0,3	3	4,6	0,3	3	5,2	0,4
18	3	4,8	0,3	3	4,7	0,3	3	4,8	0,3	3	4,0	0,3
19	3	4,2	0,3	3	4,8	0,3	3	4,5	0,3	3	5,5	0,3
20	3	4,0	0,3	3	4,6	0,3	3	5,1	0,3	3	4,8	0,3
21	3	4,6	0,3	3	5,3	0,4	3	4,8	0,4	3	5,0	0,3
22	3	5,0	0,3	vv			vv					
23	...			3	6,6	0,6	3	6,4	0,6	3	6,6	0,6
24	3	5,7	0,4	3	5,9	0,4	3	6,5	0,4	...		
25	...			...			vv			3	5,6	0,4
26	3	6,0	0,3	3	5,3	0,3	3	5,6	0,4	3	5,5	0,4
27	3	5,8	0,4	3	6,5	0,7	3	6,3	0,9	3	6,8	0,7
28	3	5,8	0,6	3	7,1	1,0	3	6,4	0,6	3	6,0	0,7
29	3	5,4	0,6	3	6,2	0,7	3	6,2	0,6	3	5,9	0,6
30	3	5,4	0,3	...			3	4,8	0,3	3	4,3	0,3
31	3	4,4	0,3	3	4,3	0,3	3	4,2	0,3	3	4,0	0,3

TMG	NS			EW		
	K	T	A	K	T	A
00	3	4,7	0,2	3	4,2	0,1
03	3	5,2	0,2	3	4,5	0,1
06	3	5,1	0,4	3	4,1	0,1
09	3	5,2	0,4	3	4,2	0,3
12	3	4,8	0,4	3	4,7	0,3
15	3	4,7	0,4	3	4,2	0,3
18	3	4,8	0,2	3	4,5	0,3
21	3	4,0	0,3	3	4,0	0,3

TMG	NS			EW		
	K	T	A	K	T	A
00	3	3,9	0,3	3	4,3	0,3
03	3	4,2	0,2	3	4,4	0,1
06	3	5,0	0,2	3	4,6	0,3
09	3	4,5	0,2	3	6,0	0,3
12	3	5,1	0,2	3	5,2	0,3
15	3	4,5	0,2	3	5,0	0,3
18	3	5,1	0,2	3	5,0	0,3
21	3	5,2	0,2	3	4,7	0,1

TMG	NS			EW		
	K	T	A	K	T	A
00	3	4,7	0,2	3	4,8	0,1
03	3	4,0	0,3	3	5,2	0,1
06	3	4,2	0,1	3	4,8	0,3
09	3	5,5	0,2	3	4,7	0,1
12	3	4,6	0,2	3	4,2	0,3
15	3	5,0	0,2	3	5,0	0,1
18	3	4,8	0,2	3	4,6	0,1
21	3	4,0	0,2	3	4,2	0,1



Praha

Le 9 octobre 1959

Agitation microsismique  
 Jours internationaux réguliers  
 Appareil: Wiechert

TMG	NS			EW		
	K	T	A	K	T	A
00	3	5,1	0,4	3	4,6	0,3
03	3	4,0	0,3	3	4,0	0,3
06	3	4,2	0,1	3	6,3	0,4
09	3	5,5	0,2	3	7,2	0,6
12	3	4,6	0,2	3	5,8	0,4
15	3	5,0	0,2	3	6,8	0,4
18	3	4,8	0,2	3	5,8	0,4
21	3	5,0	0,2	3	5,5	0,3

Le 10 octobre 1959

TMG	NS			EW		
	K	T	A	K	T	A
00	3	5,7	0,2	3	5,5	0,3
03	3	4,8	0,2	3	4,8	0,3
06	3	5,2	0,2	3	5,5	0,3
09	3	5,3	0,2	3	4,8	0,3
12	3	5,0	0,2	3	5,3	0,3
15	3	5,0	0,2	3	5,7	0,3
18	3	5,2	0,2	3	4,6	0,3
21	3	6,0	0,2	3	5,9	0,3

Le 11 octobre 1959

TMG	NS			EW		
	K	T	A	K	T	A
00	3	5,4	0,2	3	5,2	0,3
03	3	3,8	0,1	3	5,5	0,3
06	3	4,8	0,2	3	5,3	0,3
09	3	4,5	0,2	3	5,2	0,3
12	3	5,4	0,2	3	5,0	0,3
15	3	4,0	0,3	3	5,8	0,3
18	3	4,4	0,2	3	5,1	0,3
21	3	5,5	0,2	3	4,5	0,3

310

Agitation microsismique  
 Jours internationaux réguliers  
 Appareil: Wiechert

Le 18 octobre 1959

Praha

TMG	NS			EW		
	K	T	A	K	T	A
00	3	5,0	0,4	3	4,8	0,3
03	3	4,7	0,2	3	4,5	0,3
06	3	4,8	0,2	3	4,7	0,3
09	3	5,5	0,4	3	4,7	0,3
12	3	4,2	0,2	3	4,8	0,3
15	3	4,8	0,2	3	4,3	0,3
18	3	4,3	0,2	3	4,0	0,3
21	3	4,8	0,2	3	4,0	0,3

Le 19 octobre 1959

TMG	NS			EW		
	K	T	A	K	T	A
00	3	4,5	0,2	3	4,2	0,3
03	3	4,0	0,3	3	4,4	0,3
06	3	5,2	0,4	3	4,8	0,3
09	3	4,7	0,4	3	5,2	0,4
12	3	5,0	0,2	3	4,5	0,3
15	3	5,0	0,4	3	4,0	0,3
18	3	4,8	0,2	3	5,5	0,3
21	3	5,0	0,2	3	4,5	0,3

Le 20 octobre 1959

TMG	NS			EW		
	K	T	A	K	T	A
00	3	4,8	0,2	3	4,0	0,3
03	3	4,5	0,2	3	4,7	0,1
06	3	5,1	0,4	3	4,6	0,3
09	3	5,2	0,2	3	5,0	0,3
12	3	5,3	0,4	3	5,1	0,3
15	3	5,2	0,2	3	4,8	0,3
18	3	4,8	0,2	3	4,8	0,3
21	3	4,8	0,2	3	4,8	0,3

311



Praha

Le 21 octobre 1959

Agitation microsismique  
Jours internationaux réguliers  
Appareil: Wiechert

TMG	NS			EW		
	K	T	A	K	T	A
00	3	5,3	0,4	3	4,6	0,3
03	3	3,8	0,2	3	4,7	0,3
06	3	5,0	0,4	3	5,3	0,4
09	3	5,5	0,6	3	4,8	0,4
12	3	5,0	0,6	3	4,8	0,4
15	3	5,0	0,6	3	6,7	0,4
18	3	5,2	0,6	3	5,0	0,3
21	3	5,2	0,4	3	5,0	0,3

Le 22 octobre 1959

TMG	NS			EW		
	K	T	A	K	T	A
00	3	5,8	0,4	3	5,0	0,3
03	3	5,9	0,4	3	5,7	0,3
06	3	6,6	0,6	vv		
09	3	6,0	0,6	vv		
12	3	6,1	0,6	vv		
15	...			...		
18	...			...		
21	...			...		

Le 23 octobre 1959

TMG	NS			EW		
	K	T	A	K	T	A
00	...			...		
03	...			...		
06	3	5,8	0,6	3	6,6	0,6
09	3	6,7	0,6	vv		
12	3	6,2	0,6	3	6,4	0,6
15	3	5,9	0,6	3	6,7	0,4
18	3	6,4	0,6	3	6,6	0,6
21	3	5,5	0,6	3	5,7	0,4

312

Agitation microsismique  
Jours internationaux réguliers  
Appareil: Wiechert

Le 24 octobre 1959

Praha

TMG	NS			EW		
	K	T	A	K	T	A
00	3	6,6	0,6	3	5,7	0,4
03	3	5,9	0,4	3	5,9	0,4
06	3	5,6	0,4	3	5,9	0,4
09	3	6,2	0,6	3	6,2	0,4
12	3	6,5	0,6	3	6,5	0,4
15	...			...		
18	...			...		
21	...			...		

Le 25 octobre 1959

TMG	NS			EW		
	K	T	A	K	T	A
00	...			...		
03	...			...		
06	...			...		
09	3	5,5	0,6	3	5,9	0,4
12	3	6,0	0,6	vv		
15	3	5,7	0,4	vv		
18	3	5,6	0,6	3	5,0	0,4
21	3	5,3	0,2	3	5,3	0,3

Le 26 octobre 1959

TMG	NS			EW		
	K	T	A	K	T	A
00	3	4,8	0,2	3	6,0	0,3
03	3	5,3	0,2	3	5,0	0,3
06	3	5,5	0,4	3	5,3	0,3
09	tt			tt		
12	3	5,5	0,4	3	5,6	0,4
15	3	4,8	0,2	3	5,5	0,3
18	3	5,2	0,2	3	5,5	0,4
21	3	6,0	0,4	3	5,2	0,4

313



Praha

Le 27 octobre 1959

Agitation microsismique  
 Jours internationaux réguliers  
 Appareil: Wiechert

TMG	NS			EW		
	K	T	A	K	T	A
00	3	5,5	0,4	3	5,8	0,4
03	3	5,2	0,4	3	4,8	0,3
06	3	6,1	0,7	3	6,5	0,7
09	3	5,8	0,8	3	6,2	0,9
12	3	6,5	0,8	3	6,3	0,9
15	3	6,5	1,0	3	5,8	1,0
18	3	6,1	0,8	3	6,8	0,7
21	3	6,2	1,0	3	6,5	0,9

Agitation microsismique  
 Appareil: Wiechert NS

Novembre 1959

Praha

TMG	00 <sup>h</sup>			06 <sup>h</sup>			12 <sup>h</sup>			18 <sup>h</sup>		
	K	T	A	K	T	A	K	T	A	K	T	A
1	...			...			...			3	5,4	0,4
2	3	4,2	0,2	3	4,9	0,6	3	5,3	0,6	3	5,8	0,8
3	3	5,3	0,6	3	5,5	0,7	3	6,0	0,8	3	5,6	0,8
4	3	5,6	0,6	3	5,1	0,6	...			3	4,8	0,4
5	3	5,1	0,4	3	4,7	0,4	3	4,6	0,4	3	4,4	0,2
6	3	4,4	0,2	3	4,3	0,2	...			...		
7	...			...			3	5,0	0,2	3	5,5	0,2
8	3	5,7	0,4	3	5,4	0,4	3	5,3	0,6	3	6,1	0,7
9	3	5,5	1,0	3	6,7	1,2	3	6,3	1,2	3	6,2	1,2
10	3	6,1	0,7	3	6,4	0,8	3	6,3	0,9	3	6,3	0,7
11	3	5,6	0,6	3	6,4	0,7	...			3	6,1	0,6
12	3	5,1	0,4	3	5,5	0,4	3	4,6	0,2	3	4,1	0,2
13	3	4,3	0,2	3	4,7	0,6	3	5,5	0,6	3	4,7	0,6
14	3	5,1	0,4	3	5,4	0,6	3	5,6	0,7	3	5,6	0,6
15	3	5,4	0,4	...			3	5,1	0,4	tt		
16	3	4,6	0,2	3	4,8	0,4	3	5,1	0,4	3	4,4	0,2
17	3	4,0	0,3	3	4,6	0,2	3	4,6	0,2	3	4,4	0,2
18	3	4,5	0,4	3	5,1	0,6	3	5,2	0,6	...		
19	...			3	4,4	0,4	tt			3	5,2	0,6
20	3	4,5	0,4	3	4,6	0,7	3	4,9	0,8	3	4,9	1,0
21	3	5,9	0,6	3	5,1	0,6	3	6,0	0,7	3	6,1	0,7
22	3	5,4	0,4	...			3	5,7	0,4	3	4,9	0,4
23	3	5,0	0,4	3	6,0	0,4	3	5,4	0,6	3	6,0	0,7
24	3	5,1	0,6	3	5,9	0,6	3	5,5	0,6	3	5,8	0,6
25	3	4,4	0,6	3	6,1	0,6	3	5,1	0,6	3	6,0	0,6
26	3	4,8	0,4	3	5,5	0,4	3	5,4	0,6	3	5,1	0,4
27	tt			3	5,0	0,5	3	5,2	0,4	3	5,3	0,4
28	3	4,5	0,2	3	4,8	0,4	3	4,5	0,2	3	4,4	0,2
29	3	4,8	0,2	3	3,9	0,3	3	5,1	0,2	3	5,1	0,2
30	3	5,3	0,2	3	6,5	0,6	tt			3	6,3	0,4



TMG	00 <sup>h</sup>			06 <sup>h</sup>			12 <sup>h</sup>			18 <sup>h</sup>		
	K	T	A	K	T	A	K	T	A	K	T	A
1	...			...			...			3	4,6	0,3
2	3	4,9	0,3	3	4,9	0,4	3	5,7	0,6	3	5,4	0,4
3	3	5,4	0,6	3	5,3	0,6	3	6,0	0,7	3	5,5	0,6
4	3	4,8	0,3	3	4,6	0,4	...			...		
5	3	4,1	0,3	3	5,0	0,3	3	4,3	0,3	3	4,4	0,3
6	3	4,0	0,3	3	4,6	0,3	...			...		
7	...			...			3	4,5	0,3	3	4,9	0,3
8	3	4,4	0,3	3	4,9	0,3	3	5,6	0,6	3	5,9	0,4
9	3	5,6	0,6	3	6,4	1,1	3	6,4	1,0	3	6,6	1,0
10	3	5,9	0,6	3	6,5	0,6	3	5,9	0,6	...		
11	3	6,3	0,4	3	6,1	0,6	3	5,5	0,4	3	5,1	0,3
12	3	4,5	0,3	3	5,3	0,3	3	4,5	0,3	3	5,5	0,3
13	3	4,5	0,3	3	5,4	0,4	3	5,4	0,4	3	4,2	0,4
14	3	4,7	0,3	3	5,2	0,4	3	5,2	0,4	3	4,6	0,5
15	3	5,2	0,3	...			3	5,3	0,4	tt		
16	3	4,5	0,3	3	5,1	0,3	3	4,6	0,3	3	4,6	0,3
17	3	4,3	0,3	3	4,9	0,3	3	4,4	0,3	3	4,1	0,3
18	3	4,5	0,3	3	4,6	0,4	3	4,7	0,4	...		
19	...			3	5,3	0,3	3			3	5,5	0,4
20	3	5,0	0,4	3	5,0	0,6	3	5,1	0,6	3	5,0	0,4
21	3	3,9	0,3	3	4,9	0,3	3	5,9	0,6	3	5,6	0,4
22	3	5,4	0,3	...			3	5,4	0,3	3	5,0	0,4
23	3	4,4	0,3	3	5,8	0,3	3	5,7	0,6	3	5,5	0,4
24	3	5,0	0,4	3	6,4	0,4	3	5,0	0,4	3	5,0	0,3
25	3	5,1	0,3	3	5,8	0,6	3	5,7	0,6	3	5,5	0,4
26	3	5,0	0,3	3	4,8	0,3	3	5,4	0,4	3	5,0	0,4
27	tt			3	4,6	0,3	...			3	4,7	0,3
28	3	4,0	0,3	3	4,5	0,3	3	4,4	0,3	3	4,8	0,3
29	3	4,7	0,3	3	4,3	0,3	3	4,8	0,3	3	5,5	0,3
30	3	5,6	0,3	3	6,9	0,6	tt			3	6,6	0,6

TMG	NS			EW		
	K	T	A	K	T	A
00	3	4,0	0,3	3	4,3	0,3
03	...			...		
06	3	4,6	0,2	3	4,9	0,3
09	3	4,8	0,4	3	5,0	0,3
12	3	4,6	0,2	3	4,4	0,3
15	3	4,8	0,2	3	4,0	0,3
18	3	4,4	0,2	3	4,1	0,3
21	3	4,2	0,2	3	4,0	0,3

Le 18 novembre 1959

TMG	NS			EW		
	K	T	A	K	T	A
00	3	4,5	0,4	3	4,5	0,3
03	...			...		
06	3	4,6	0,2	3	4,6	0,4
09	3	4,8	0,4	3	5,2	0,4
12	3	4,6	0,2	3	4,7	0,4
15	3	4,8	0,2	...		
18	3	4,4	0,2	...		
21	3	4,2	0,2	...		

Le 19 novembre 1959

TMG	NS			EW		
	K	T	A	K	T	A
00	...			...		
03	...			...		
06	3	4,4	0,4	3	5,3	0,3
09	3	5,3	0,4	3	5,4	0,3
12	tt			tt		
15	3	5,3	0,6	3	5,0	0,4
18	3	5,2	0,6	3	5,5	0,4
21	3	5,0	0,4	3	4,8	0,4



TMG	00 <sup>h</sup>			06 <sup>h</sup>			12 <sup>h</sup>			18 <sup>h</sup>		
	K	T	A	K	T	A	K	T	A	K	T	A
1	3	5,4	0,4	3	7,1	0,7	3	5,5	0,6	3	5,0	0,6
2	3	5,8	0,4	3	5,8	0,7	3	5,9	0,7	3	6,3	0,8
3	3	6,8	0,8	3	6,3	0,9	3	6,3	0,9	3	6,8	1,0
4	3	6,5	0,9	3	7,0	1,0	3	6,6	1,0	3	7,0	0,9
5	3	6,4	0,8	3	6,0	0,8	3	6,3	0,7	3	6,4	0,7
6	3	6,5	0,6	3	5,5	0,7	3	6,9	1,0	3	6,3	0,9
7	3	6,5	1,1	3	5,7	1,3	3	5,5	1,4	3	6,1	1,4
8	3	6,1	0,4	3	7,0	1,5	3	6,5	1,5	3	7,3	1,6
9	3	6,4	0,9	3	6,6	1,3	3	5,9	0,8	3	5,1	0,8
10	3	4,6	0,7	3	5,8	0,8	3	5,0	1,2	3	5,7	0,7
11	3	4,8	0,6	3	4,7	0,5	3	4,0	0,6	3	4,3	0,5
12	3	3,9	0,5	3	4,7	0,4	3	4,6	0,4	3	4,1	0,4
13	3	4,2	0,2	3	4,0	0,3	3	4,6	0,2	3	4,5	0,2
14	3	5,1	0,4	3	5,9	0,6	3	6,8	1,0	...		
15	tt			3	6,1	0,8	3	5,8	1,0	3	5,6	0,8
16	3	5,7	0,4	3	6,1	0,6	3	5,5	0,6	3	5,8	0,6
17	3	5,1	0,6	3	6,3	0,8	3	5,8	1,3	3	7,3	2,0
18	3	6,3	1,3	3	6,5	1,5	3	5,9	1,4	3	5,5	1,2
19	3	5,0	1,1	3	5,7	1,1	3	5,8	0,8	3	5,6	0,7
20	3	5,8	0,7	3	5,4	0,7	3	5,9	1,1	3	5,6	1,0
21	3	5,3	0,7	3	5,9	0,7	tt			3	5,3	0,7
22	3	5,5	0,7	3	5,1	0,6	3	5,2	0,7	3	5,5	0,6
23	3	5,1	0,6	3	5,5	0,7	3	6,5	1,1	3	5,8	1,1
24	3	0,8	0,8	3	6,3	0,9	3	5,5	0,8	3	5,5	0,7
25	3	4,8	0,6	3	5,1	0,6	3	5,0	0,7	3	4,9	0,6
26	3	5,1	0,6	3	5,0	0,7	3	5,9	1,0	3	6,0	0,9
27	3	6,1	0,9	3	6,1	0,8	3	5,5	1,1	3	5,6	1,0
28	3	5,4	0,8	3	5,9	1,0	3	5,3	1,0	3	5,3	0,8
29	3	4,5	0,6	3	5,3	0,7	3	4,9	0,7	3	4,6	0,6
30	3	5,0	0,6	3	5,5	0,8	3	5,5	1,0	3	5,3	1,0
31	3	5,4	0,8	3	5,5	0,7	3	5,9	0,8	3	5,4	0,7

TMG	00 <sup>h</sup>			06 <sup>h</sup>			12 <sup>h</sup>			18 <sup>h</sup>		
	K	T	A	K	T	A	K	T	A	K	T	A
1	3	6,0	0,4	3	6,5	0,6	3	5,4	0,6	3	5,8	0,6
2	3	4,9	0,4	3	5,8	0,6	3	5,9	0,7	3	6,0	0,7
3	3	5,9	1,0	3	6,8	0,7	3	6,7	0,8	3	7,0	0,8
4	3	6,7	0,8	3	6,5	0,8	3	6,5	0,9	3	6,9	0,8
5	3	6,1	0,6	3	6,9	0,7	3	6,0	0,7	3	6,5	0,6
6	3	6,5	0,6	3	5,8	0,7	3	6,8	0,7	3	6,4	0,9
7	3	6,6	1,1	3	7,6	1,2	3	6,8	1,1	3	7,4	1,2
8	3	7,3	1,1	3	7,5	1,6	3	7,5	1,3	3	7,3	1,1
9	3	7,0	1,0	3	6,8	0,8	3	5,9	0,9	3	5,8	0,7
10	3	4,4	0,6	3	5,5	0,7	3	5,1	0,7	3	5,3	0,6
11	3	4,9	0,5	3	4,9	0,5	3	4,4	0,5	3	5,0	0,4
12	3	4,6	0,4	3	4,4	0,4	3	4,6	0,4	3	5,0	0,4
13	3	4,2	0,3	3	4,1	0,3	3	4,4	0,3	3	4,5	0,3
14	3	4,4	0,3	3	6,1	0,6	3	7,5	1,0	...		
15	tt			3	6,3	0,4	3	6,4	0,7	3	6,5	0,6
16	3	5,3	0,4	3	6,1	0,4	3	5,9	0,4	3	5,5	0,4
17	3	5,0	0,4	3	5,3	0,7	3	6,1	0,1	3	7,4	1,5
18	3	7,4	1,2	3	6,4	1,2	3	6,3	1,1	3	5,5	1,1
19	3	5,4	0,6	3	5,6	1,0	3	5,6	0,7	3	5,4	0,6
20	3	5,7	0,6	3	5,7	0,6	3	6,0	0,7	3	5,9	0,7
21	3	5,9	0,6	3	5,4	0,6	tt			3	5,5	0,6
22	3	5,6	0,6	3	5,6	0,6	3	5,1	0,6	3	5,2	0,6
23	3	5,7	0,6	3	6,3	0,7	3	7,1	1,0	3	6,9	1,0
24	3	6,5	0,7	3	7,6	0,8	3	7,6	0,7	3	6,1	0,9
25	3	5,6	0,6	3	5,6	0,6	3	5,8	0,6	3	5,8	0,6
26	3	5,3	0,4	vv			vv			vv		
27	3	6,1	0,6	vv			3	6,1	0,7	3	5,9	0,7
28	3	5,5	0,6	3	5,7	0,7	3	5,3	0,6	3	5,7	0,6
29	3	4,9	0,4	3	5,6	0,6	3	5,5	0,4	3	5,1	0,6
30	3	5,1	0,6	3	6,0	0,6	3	5,8	0,6	3	5,7	0,6
31	3	6,0	0,6	3	5,4	0,6	...			3	5,5	0,1



Praha

Le 14 décembre 1959

Agitation microsismique  
Jours internationaux réguliers  
Appareil: Wiechert

TMG	NS			EW		
	K	T	A	K	T	A
00	3	5,1	0,4	3	4,4	0,3
03	3	5,5	0,6	3	5,5	0,6
06	3	5,9	0,6	3	6,1	0,6
09	3	6,8	0,8	3	6,0	0,6
12	3	6,8	1,0	3	7,5	1,0
15	...			3	6,8	0,7
18	...			...		
21	3	6,6	0,7	3	6,3	0,6

Le 15 décembre 1959

TMG	NS			EW		
	K	T	A	K	T	A
00	tt			tt		
03	3	5,5	0,6	3	6,3	0,6
06	3	6,1	0,8	3	6,3	0,6
09	3	5,8	0,8	3	6,8	0,6
12	3	5,8	1,0	3	6,4	0,7
15	3	5,5	0,7	3	6,0	0,6
18	3	5,6	0,8	3	6,5	0,6
21	3	5,3	0,6	3	5,3	0,4

Le 16 décembre 1959

TMG	NS			EW		
	K	T	A	K	T	A
00	3	5,7	0,4	3	5,3	0,4
03	3	4,5	0,4	3	5,8	0,4
06	3	5,2	0,6	3	6,1	0,4
09	3	6,0	0,6	3	6,0	0,4
12	3	5,5	0,6	3	5,9	0,4
15	3	6,0	0,4	3	5,5	0,6
18	3	5,8	0,6	3	5,5	0,4
21	3	6,3	0,4	3	5,5	0,4

Agitation microsismique  
Jours internationaux réguliers  
Appareil: Wiechert

Le 17 décembre 1959

Praha

TMG	NS			EM		
	K	T	A	K	T	A
00	3	5,1	0,6	3	5,0	0,4
03	3	6,3	0,6	3	5,8	0,4
06	3	6,3	0,8	3	6,3	0,7
09	3	5,8	0,8	3	5,5	0,9
12	3	5,9	1,3	3	6,1	1,1
15	3	7,8	2,6	3	7,0	1,5
18	3	7,3	2,0	3	7,4	1,5
21	3	6,8	2,2	3	6,8	1,2



TMG	00 <sup>h</sup>			06 <sup>h</sup>			12 <sup>h</sup>			18 <sup>h</sup>		
	Date	K	T	A	K	T	A	K	T	A	K	T
1	3	4,4	0,1	3	6	0,3	3	4,2	0,1	3	4,2	0,1
2	3	4,2	0,1	3	6	0,7	3	4,8	0,3	3	4,8	0,3
3	3	6,9	1	3	6,9	0,1	3	6,9	1	3	6,9	1
4	3	6,9	0,7	3	8,1	1,3	3	6,9	1	3	6,9	1
5	3	8,1	1,3	3	6,6	1,2	3	6,6	1,2	3	6,6	1,2
6	3	6,6	1,2	3	6,6	1,2	3	6,6	1,2	3	6,6	1,2
7	3	6,3	0,7	...	...	...	...	...	...	...	...	...
8	...	...	...	...	...	...	...	...	...	...	...	...
9	...	...	...	...	...	...	...	...	...	...	...	...
10	...	...	...	...	...	...	...	...	...	...	...	...
11	...	...	...	...	...	...	...	...	...	...	...	...
12	...	...	...	...	...	...	...	...	...	...	...	...
13	...	...	...	...	...	...	...	...	...	...	...	...
14	...	...	...	...	...	...	...	...	...	...	...	...
15	...	...	...	1	3	0,1	1	3	0,1	1	3	0,1
16	1	3	0,1	0,0	...	...	0,0	...	...	0,0	3	0,1
17	0,0	...	...	...	...	...	...	...	...	...	...	...
18	2	4,2	0,1	2	4,2	0,1	2	4,2	0,1	2	4,2	0,1
19	2	4,2	0,1	...	...	...	...	...	...	...	...	...
20	...	...	...	...	...	...	...	...	...	...	...	...
21	...	...	...	...	...	...	...	...	...	...	...	...
22	...	...	...	2	4,2	0,2	2	4,2	0,2	2	4,2	0,1
23	2	4,8	0,3	2	4,2	0,1	2	4,2	0,1	2	4,2	0,1
24	2	4,2	0,1	2	4,2	0,1	2	4,2	0,1	2	4,2	0,1
25	2	4,2	0,1	2	4,2	0,1	2	4,2	0,1	2	4,2	0,1
26	2	4,2	0,1	2	4,8	0,2	2	4,8	0,2	2	4,8	0,2
27	2	4,2	0,1	2	4,2	0,1	2	4,2	0,1	2	4,2	0,1
28	2	4,2	0,1	2	4,2	0,1	2	4,2	0,1	2	4,2	0,1
29	2	4,2	0,1	2	3	0,1	2	3	0,1	2	3	0,1
30	...	...	...	2	3	0,1	2	3	0,1	2	3	0,1
31	...	...	...	2	3	0,1	2	3	0,1	2	3	0,1

TMG	00 <sup>h</sup>			06 <sup>h</sup>			12 <sup>h</sup>			18 <sup>h</sup>		
	Date	K	T	A	K	T	A	K	T	A	K	T
1	3	3	0,1	3	3	0,1	3	3	0,1	3	3	0,1
2	0,0	...	...	1	4,2	0,1	1	4,2	0,1	1	3	0,1
3	1	3	0,1	1	3	0,1	1	3	0,1	1	3	0,1
4	1	3	0,1	0,0	...	...	0,0	...	...	1	3	0,1
5	1	4,2	0,2	1	3	0,1	1	3	0,1	1	3	0,1
6	1	3	0,1	1	3	0,1	1	3	0,1	1	3	0,1
7	1	3	0,1	1	3	0,1	1	3	0,1	1	3	0,1
8	1	3	0,1	0,0	...	...	0,0	...	...	0,0	...	...
9	0,0	...	...	0,0	...	...	0,0	...	...	0,0	...	...
10	0,0	...	...	0,0	...	...	0,0	...	...	0,0	...	...
11	0,0	...	...	0,0	...	...	0,0	...	...	1	3	0,1
12	1	3	0,1	1	3	0,1	1	3	0,1	1	3	0,1
13	1	3	0,1	...	...	...	...	...	...	...	...	...
14	...	...	...	0,0	...	...	0,0	...	...	0,0	...	...
15	0,0	...	...	1	3	0,1	1	3	0,1	1	3	0,1
16	1	3	0,1	0,0	...	...	0,0	...	...	0,0	...	...
17	0,0	...	...	1	3	0,1	1	3	0,1	1	3	0,1
18	1	3	0,1	1	4,2	0,1	1	4,2	0,1	1	4,2	0,1
19	1	4,2	0,2	1	4,8	0,4	1	4,8	0,4	1	4,8	0,3
20	1	4,8	0,4	1	4,2	0,3	1	4,2	0,3	1	4,2	0,3
21	1	4,2	0,3	1	3,6	0,3	1	3,6	0,2	1	3,6	0,2
22	...	...	...	1	3,3	0,1	1	3,3	0,1	1	3,3	0,1
23	1	3,3	0,1	1	3,0	0,1	1	3	0,1	1	3	0,1
24	0,0	...	...	0,0	...	...	1	3	0,1	1	3	0,1
25	1	3	0,1	0,0	...	...	0,0	...	...	0,0	...	...
26	0,0	...	...	0,0	...	...	0,0	...	...	0,0	...	...
27	0,0	...	...	0,0	...	...	0,0	...	...	0,0	...	...
28	0,0	...	...	0,0	...	...	0,0	...	...	0,0	...	...
29	0,0	...	...	0,0	...	...	0,0	...	...	0,0	...	...
30	...	...	...	0,0	...	...	0,0	...	...	0,0	...	...
31	...	...	...	0,0	...	...	0,0	...	...	0,0	...	...



TMG	00 <sup>h</sup>			06 <sup>h</sup>			12 <sup>h</sup>			18 <sup>h</sup>			
	Date	K	T	A	K	T	A	K	T	A	K	T	A
1		0,0			0,0			0,0			0,0		
2		0,0			0,0			0,0			0,0		
3		0,0			0,0			0,0			0,0		
4		0,0			0,0			0,0			0,0		
5		0,0			v			v			1	4,2	0,2
6		1	4,2	0,2	1	3	0,1	1	3	0,1	1	4,2	0,2
7		1	4,2	0,2	1	3	0,1	1	3	0,1	1	3	0,1
8		1	3	0,1	v			v			v		
9		v			v			v			1	3	0,1
10		1	3	0,1	1	3	0,1	1	3	0,1	1	3	0,1
11		1	3	0,1	0,0			0,0			0,0		
12		0,0			0,0			...			...		
13		...			...			...			...		
14		...			0,0			0,0			0,0		
15		0,0			1	3	0,1	1	3	0,1	1	3	0,1
16		1	3	0,1	1	3	0,1	1	3	0,1	1	3	0,1
17		1	3	0,1	v			v			1	3	0,1
18		v			2	4,2	0,1	2	4,2	0,2	2	4,2	0,2
19		2	4,2	0,2	2	5,4	0,4	2	4,8	0,4	2	4,8	0,4
20		2	4,8	0,4	2	4,2	0,2	2	4,2	0,2	2	4,2	0,2
21		2	4,2	0,2	2	4,8	0,3	2	4,8	0,3	2	4,8	0,3
22		2	4,2	0,2	2	4,8	0,4	2	4,8	0,4	2	4,8	0,4
23		2	4,8	0,4	2	3,3	0,1	2	3,6	0,2	2	3,6	4,2
24		2	3,3	0,1	0,0			0,0			0,0		
25		0,0			1	3	0,1	1	3	0,1	1	3	0,1
26		1	3	0,1	1	3	0,1	1	3	0,1	1	3	0,1
27		1	4,2	0,1	1	3	0,1	1	3	0,1	1	3	0,1
28		1	3	0,1	1	3	0,1	1	3	0,1	1	3	0,1
29		1	3	0,1	2	3	0,1	2	3	0,1	2	3	0,1
30		...			2	4,2	0,1	2	4,2	0,1	2	4,2	0,1
31		...			2	3	0,1	2	3	0,1	2	3	0,1

TMG	NS			EW			Z		
	K	T	A	K	T	A	K	T	A
00	3	6,9	1	1	3	0,1	0,0		
03	3	6,9	1	1	3	0,1	0,0		
06	3	6,9	1	1	3	0,1	0,0		
09	3	6,9	1	1	3	0,1	0,0		
12	3	6,9	1	1	3	0,1	0,0		
15	3	6,9	1	1	3	0,1	0,0		
18	3	6,9	1	1	3	0,1	0,0		
21	3	6,7	1	1	2	0,1	0,0		

Le 4 janvier 1959

TMG	NS			EW			Z		
	K	T	A	K	T	A	K	T	A
00	3	6,9	0,7	1	3	0,1	0,0		
03	3	7,4	0,7	1	3	0,1	0,0		
06	3	8,1	1,3	0,0			0,0		
09	3	7,4	1	0,0			0,0		
12	3	6,9	1	0,0			0,0		
15	3	6,9	1	0,0			0,0		
18	3	6,9	1	1	3	0,1	0,0		
21	3	6,9	1	1	3	0,1	0,0		

Le 9 janvier 1959

TMG	NS			EW			Z		
	K	T	A	K	T	A	K	T	A
00	...			0,0			v		
03	...			0,0			v		
06	...			0,0			v		
09	...			1	3	0,1	v		
12	...			0,0			v		
15	...			1	3	0,1	1	3	0,1
18	...			0,0			1	3	0,1
21	...			0,0			1	3	0,1



Bratislava

Le 10 janvier 1959

Agitation microsismique  
 Jours internationaux réguliers  
 Appareil: Krumbach

TMG	NS			EW			Z		
	K	T	A	K	T	A	K	T	A
00	...			0,0			1	3	0,1
03	...			0,0			1	3	0,1
06	...			0,0			1	3	0,1
09	...			0,0			1	3	0,1
12	...			0,0			1	3	0,1
15	...			0,0			1	3	0,1
18	...			0,0			1	3	0,1
21	...			0,0			1	3	0,1

326

Agitation microsismique  
 Appareil: Krumbach NS

Février 1959

Bratislava

TMG	00 <sup>h</sup>			06 <sup>h</sup>			12 <sup>h</sup>			18 <sup>h</sup>		
	Date	K	T	A	K	T	A	K	T	A	K	T
1	2	4,2	0,1	2	4,2	0,1	2	4,2	0,1	2	4,2	0,1
2	2	4,2	0,1	2	4,8	0,2	2	4,8	0,3	2	4,8	0,3
3	2	4,8	0,3	2	4,2	0,1	2	4,2	0,1	2	4,2	0,1
4	2	4,2	0,1	2	4,2	0,1	2	4,2	0,1	2	4,2	0,1
5	2	4,2	0,1	...			...			...		
6	...			...			...			...		
7	...			...			...			...		
8	...			...			...			...		
9	...			...			...			...		
10	...			1	3	0,1	2	3	0,1	2	3	0,1
11	2	3	0,1	0,0			0,0			0,0		
12	0,0			0,0			0,0			0,0		
13	0,0			1	3	0,1	1	3	0,1	1	3	0,1
14	1	3	0,1	1	3	0,1	1	3	0,1	1	3	0,1
15	1	3	0,1	0,0			0,0			0,0		
16	0,0			...			...			...		
17	...			...			...			...		
18	...			0,0			0,0			0,0		
19	0,0			3	4,8	0,3	3	6,3	0,5	3	6,3	0,5
20	3	6,3	0,2	3	5,4	0,3	3	5,4	0,3	...		
21	3	6,3	0,2	0,0			0,0			0,0		
22	0,0			2	3	0,1	2	3	0,1	2	3	0,1
23	2	3	0,1	0,0			0,0			0,0		
24	0,0			0,0			0,0			0,0		
25	0,0			2	3	0,1	2	3	0,1	2	3	0,1
26	2	3	0,1	2	4,8	0,2	2	4,8	0,2	2	4,8	0,2
27	2	4,8	0,2	2	5,4	0,3	2	6	0,3	2	6	0,5
28	2	6	0,2	...			...			...		
29	...			...			...			...		

327



TMG	00 <sup>h</sup>			06 <sup>h</sup>			12 <sup>h</sup>			18 <sup>h</sup>			
	Date	K	T	A	K	T	A	K	T	A	K	T	A
1		0,0			0,0			0,0			0,0		
2		0,0			1	3	0,1	1	3	0,1	1	3	0,1
3		1	3	0,1	0,0			0,0			0,0		
4		0,0			2	3,3	0,1	2	3,6	0,1	2	3,6	0,1
5		2	3,6	0,1	0,0			0,0			0,0		
6		0,0			0,0			0,0			0,0		
7		0,0			0,0			0,0			0,0		
8		0,0			0,0			0,0			0,0		
9		0,0			3	3	0,1	3	3	0,1	3	3	0,1
10		3	3	0,1	0,0			0,0			0,0		
11		0,0			0,0			0,0			0,0		
12		0,0			0,0			0,0			0,0		
13		0,0			2	3	0,1	2	3	0,1	2	3	0,1
14		2	3	0,1	2	3	0,1	2	3	0,1	2	3	0,1
15		2	3	0,1	0,0			0,0			0,0		
16		0,0											
17		2	3,6	0,2	2	3	0,1	2	3	0,1	2	3	0,1
18		...			2	4,2	0,4	2	4,2	0,4	2	4,2	0,4
19		2	4,2	0,4	2	4,8	0,6	2	6	0,9	2	6,3	1,2
20		2	6,3	0,9	2	6,3	0,9	2	6,3	0,9	...		
21		2	6,3	0,9	0,0			0,0			0,0		
22		0,0			2	3	0,1	2	4,2	0,3	2	4,2	0,3
23		2	4,2	0,3	2	3	0,1	2	3	0,1	2	3	0,1
24		2	3	0,1	2	3,6	0,1	2	3,6	0,3	2	3,6	0,3
25		2	3,6	0,1	2	3	0,1	2	3	0,1	2	3	0,1
26		2	3	0,1	2	4,8	0,4	2	4,8	0,4	2	4,8	0,4
27		2	4,8	0,4	2	6	0,9	2	6	0,9	2	6	0,9
28		2	6	0,9									

TMG	00 <sup>h</sup>			06 <sup>h</sup>			12 <sup>h</sup>			18 <sup>h</sup>			
	Date	K	T	A	K	T	A	K	T	A	K	T	A
1		2	3,6	0,1	2	3,6	0,1	2	3,6	0,1	2	3,6	0,1
2		2	3,6	0,1	2	4,8	0,3	2	4,8	0,3	2	4,8	0,3
3		2	4,8	0,3	2	4,2	0,2	2	4,2	0,2	2	4,2	0,2
4		2	4,2	0,2	2	4,8	0,4	2	4,8	0,4	2	4,8	0,4
5		2	4,8	0,4	2	4,2	0,2	2	4,2	0,2	2	4,2	0,2
6		2	4,2	0,2	2	3,9	0,2	2	3,6	0,2	2	3,6	0,2
7		2	3,6	0,1	3	3,6	0,2	3	3,3	0,1	3	3,3	0,1
8		3	3	0,1	3	3	0,1	3	3	0,1	3	3	0,1
9		3	3	0,1	3	4,2	0,2	3	4,8	0,3	3	4,8	0,4
10		3	4,8	0,3	2	5,4	0,4	2	6,3	0,7	2	6,3	0,7
11		2	6,3	0,7	2	3,6	0,1	2	3,6	0,1	2	3,6	0,1
12		2	4,2	0,2	2	4,8	0,3	2	4,8	0,3	2	4,8	0,3
13		2	4,8	0,3	2	4,2	0,2	2	4,2	0,3	2	4,2	0,2
14		2	4,2	0,2	2	4,8	0,4	2	4,8	0,4	2	4,8	0,4
15		2	4,8	0,4	2	4,8	0,4	2	4,8	0,4	2	4,8	0,4
16		2	4,8	0,4	v			v			v		
17		2	3,6	0,2	2	4,2	0,2	2	4,8	0,3	2	4,8	0,2
18		...			2	4,2	0,2	2	4,2	0,2	2	4,2	0,2
19		2	4,2	0,2	2	4,2	0,2	v			v		
20		v			2	4,2	0,2	2	4,2	0,2	...		
21		2	4,2	0,2	0,0			0,0			0,0		
22		0,0			2	3	0,1	2	3	0,1	2	3	0,1
23		2	3	0,1	0,0			0,0			0,0		
24		0,0			v			v			v		
25		v			2	3	0,1	2	3	0,1	2	3	0,1
26		2	3	0,1	2	4,2	0,2	2	4,2	0,2	2	4,2	0,2
27		2	4,2	0,2	2	5,4	0,4	2	5,4	0,4	2	5,4	0,4
28		5	4,8	0,4	...			...			...		



Bratislava

Le 17 février 1959

Agitation microsismique  
Jours internationaux réguliers  
Appareil: Krumbach

TMG	NS			EW			Z		
	K	T	A	K	T	A	K	T	A
00	...			2	3,6	0,3	2	3,6	0,2
03	...			2	3	0,1	2	3,6	0,2
06	...			2	3	0,1	2	4,2	0,2
09	...			2	3	0,1	2	4,8	0,2
12	...			2	3	0,1	2	4,8	0,3
15	...			2	3	0,1	2	4,8	0,3
18	...			2	3	0,1	2	4,8	0,3
21	...			2	3	0,1	2	4,8	0,3

Le 18 février 1959

TMG	NS			EW			Z		
	K	T	A	K	T	A	K	T	A
00	...			...			...		
03	0,0			2	4,2	0,4	2	4,2	0,2
06	0,0			2	4,2	0,4	2	4,2	0,2
09	0,0			2	4,2	0,4	2	4,2	0,2
12	0,0			2	4,2	0,4	2	4,2	0,2
15	0,0			2	4,2	0,4	2	4,2	0,2
18	0,0			2	4,2	0,4	2	4,2	0,2
21	0,0			2	4,2	0,4	2	4,2	0,2

Le 19 février 1959

TMG	NS			EW			Z		
	K	T	A	K	T	A	K	T	A
00	0,0			2	4,2	0,4	2	4,2	0,2
03	0,0			2	4,2	0,4	2	4,2	0,2
06	3	4,8	0,3	2	4,8	0,6	2	4,2	0,2
09	3	5,4	0,3	2	5,4	0,6	v		
12	3	6,3	0,5	2	6	0,9	v		
15	3	6,3	0,5	2	6	0,9	v		
18	3	6,3	0,5	2	6,3	1,3	v		
21	3	6,2	0,5	2	6,3	1,3	v		

330

Agitation microsismique  
Appareil: Krumbach NS

Mars 1959

Bratislava

TMG Date	00 <sup>h</sup>			06 <sup>h</sup>			12 <sup>h</sup>			18 <sup>h</sup>		
	K	T	A	K	T	A	K	T	A	K	T	A
1	...			...			...			...		
2	...			2	6	0,5	2	6	0,5	2	6	0,5
3	2	6	0,5	2	6,9	0,7	2	6,9	0,7	2	6,9	0,7
4	2	6	0,5	2	6,6	0,7	2	6,6	0,7	2	6,6	0,7
5	2	6,6	0,7	2	6,6	0,7	2	6,6	0,7	2	6,6	0,7
6	2	6,6	0,7	2	6,3	0,5	2	6,3	0,5	2	6,3	0,4
7	2	6,3	0,4	2	6,3	0,5	2	6,3	0,5	2	6,3	0,7
8	2	6,3	0,5	2	6,6	0,5	2	6,6	0,7	2	6,6	0,7
9	2	6,6	0,7	2	6,9	0,7	2	6,9	0,7	2	6,9	0,7
10	2	6,9	0,7	2	6,9	0,5	2	6,9	0,7	2	6,9	0,7
11	2	6,9	0,7	2	6,9	0,5	2	6,9	0,7	2	6,9	0,7
12	2	6,9	0,7	2	6,9	0,7	2	6,9	0,7	2	6,9	0,7
13	2	6,9	0,7	2	4,8	0,2	2	4,8	0,2	2	3	0,1
14	2	3	0,1	...			...			...		
15	...			3	4,2	0,1	3	4,2	0,2	3	4,2	0,1
16	3	3	0,1	3	3	0,1	3	3	0,1	3	3	0,1
17	3	3	0,1	3	3,6	0,1	3	3,6	0,1	3	3,6	0,1
18	...			2	6,8	0,7	2	6,3	0,7	2	6,3	0,7
19	2	6,6	1,0	2	6,3	0,7	2	6,3	0,7	2	6,3	0,7
20	2	6,3	0,7	...			...			...		
21	...			2	4,2	0,1	2	4,2	0,1	2	4,2	0,1
22	2	4,2	0,1	2	3,6	0,1	2	3,6	0,1	2	3,6	0,1
23	2	3,6	0,1	2	4,8	0,2	2	4,8	0,2	2	4,8	0,2
24	2	4,8	0,2	...			...			...		
25	...			2	3	0,1	2	3	0,1	2	3	0,1
26	2	3	0,1	2	3	0,1	2	3	0,1	2	3	0,1
27	2	3	0,1	2	3	0,1	2	3	0,1	2	3	0,1
28	2	3	0,1	2	4,2	0,1	2	4,2	0,1	2	4,2	0,1
29	2	4,2	0,1	2	4,2	0,1	2	4,2	0,1	2	4,2	0,1
30	2	4,2	0,1	2	4,2	0,1	2	4,2	0,1	2	4,2	0,1
31	2	4,2	0,1	2	3,6	0,1	2	3	0,1	2	3	0,1

331



TMG Date	00 <sup>h</sup>			06 <sup>h</sup>			12 <sup>h</sup>			18 <sup>h</sup>		
	K	T	A	K	T	A	K	T	A	K	T	A
1	2	4,2	0,3	2	4,2	0,3	2	4,8	0,6	2	5,4	0,6
2	2	5,4	0,6	2	5,4	0,4	2	5,4	0,4	2	5,4	0,4
3	2	5,4	0,4	2	6,3	0,6	2	6,3	0,6	2	6,3	0,6
4	2	6,3	0,6	2	5,4	0,4	2	5,4	0,4	2	5,4	0,4
5	2	5,4	0,4	2	5,4	0,4	2	5,4	0,4	2	5,4	0,4
6	2	5,4	0,4	2	4,2	0,3	2	3,6	0,3	2	3,6	0,1
7	2	3,6	0,1	2	3,6	0,1	2	4,2	0,3	2	4,2	0,3
8	2	4,2	0,3	2	4,2	0,3	2	4,2	0,4	2	4,2	0,4
9	2	4,2	0,4	2	4,2	0,4	2	4,2	0,4	2	4,2	0,4
10	2	4,2	0,4	2	3,6	0,1	2	3,6	0,1	2	3,6	0,1
11	2	3,6	0,1	2	3,6	0,1	2	3,6	0,1	2	3,6	0,1
12	2	3,6	0,1	2	3	0,1	2	3	0,1	2	3	0,1
13	2	3,6	0,1	2	3	0,1	2	3	0,1	2	3	0,1
14	2	3	0,1	...	...	...	...	...	...	...	...	...
15	...	...	...	0,0	...	...	0,0	...	...	0,0	...	...
16	0,0	...	...	2	3	0,1	2	3	0,1	2	3	0,1
17	2	3	0,1	2	3	0,1	2	3	0,1	2	3	0,1
18	...	...	...	0,0	...	...	0,0	...	...	2	3,9	0,3
19	2	3,9	0,3	2	4,2	0,3	2	4,2	0,1	2	4,2	0,3
20	2	3	0,1	...	...	...	...	...	...	...	...	...
21	...	...	...	0,0	...	...	0,0	...	...	0,0	...	...
22	0,0	...	...	0,0	...	...	0,0	...	...	0,0	...	...
23	0,0	...	...	0,0	...	...	0,0	...	...	0,0	...	...
24	...	...	...	...	...	...	...	...	...	...	...	...
25	...	...	...	2	3	0,1	2	3	0,1	2	3	0,1
26	2	3	0,1	2	3	0,1	2	3	0,1	2	3	0,1
27	2	3	0,1	2	3	0,1	2	3	0,1	2	3	0,1
28	2	3	0,1	0,0	...	...	0,0	...	...	0,0	...	...
29	0,0	...	...	0,0	...	...	0,0	...	...	0,0	...	...
30	0,0	...	...	0,0	...	...	0,0	...	...	0,0	...	...
31	0,0	...	...	0,0	...	...	0,0	...	...	0,0	...	...

TMG Date	00 <sup>h</sup>			06 <sup>h</sup>			12 <sup>h</sup>			18 <sup>h</sup>		
	K	T	A	K	T	A	K	T	A	K	T	A
1	2	3	0,1	2	3	0,1	2	3	0,1	2	3	0,1
2	2	3	0,1	2	4	0,2	2	4	0,2	2	4	0,2
3	2	4,2	0,2	2	4,8	0,3	2	4,8	0,3	2	4,8	0,3
4	2	4,8	0,3	2	4,8	0,3	2	4,8	0,3	2	4,8	0,3
5	2	4,8	0,3	2	4,8	0,3	2	4,8	0,3	2	4,8	0,3
6	2	4,8	0,3	2	4,2	0,2	2	4,2	0,1	2	4,2	0,2
7	2	4,2	0,1	2	4,2	0,1	2	4,2	0,1	2	4,2	0,2
8	2	4,2	0,1	2	4,8	0,3	2	4,8	0,4	2	4,8	0,3
9	2	4,8	0,3	2	4,2	0,2	2	4,8	0,3	2	4,2	0,3
10	2	4,2	0,2	2	3,6	0,1	2	3,6	0,1	2	3,6	0,1
11	2	3,6	0,1	2	3	0,1	2	3	0,1	2	3	0,1
12	2	3	0,1	0,0	...	...	0,0	...	...	0,0	...	...
13	0,0	...	...	2	3	0,1	2	3	0,1	2	3	0,1
14	2	3	0,1	...	...	...	...	...	...	...	...	...
15	...	...	...	2	3	0,1	2	3	0,1	2	3	0,1
16	2	3	0,1	2	3	0,1	2	3	0,1	2	3	0,1
17	2	3	0,1	2	3	0,1	2	3	0,1	2	3	0,1
18	...	...	...	0,0	...	...	0,0	...	...	2	3,6	0,2
19	2	3,6	0,2	2	4,2	0,2	2	4,2	0,2	2	4,2	0,2
20	0,0	...	...	...	...	...	...	...	...	...	...	...
21	...	...	...	0,0	...	...	0,0	...	...	0,0	...	...
22	0,0	...	...	0,0	...	...	0,0	...	...	0,0	...	...
23	0,0	...	...	2	3,3	0,1	2	3,3	0,1	2	3,3	0,1
24	2	3,3	0,1	...	...	...	...	...	...	...	...	...
25	...	...	...	2	3	0,1	2	3	0,1	2	3	0,1
26	2	3	0,1	2	3	0,1	2	3	0,1	2	3	0,1
27	2	3	0,1	2	3	0,1	2	3	0,1	2	3	0,1
28	2	3	0,1	2	3	0,1	2	3	0,1	2	3	0,1
29	2	3	0,1	2	3	0,1	0,0	...	...	0,0	...	...
30	2	3	0,1	2	3	0,1	2	3	0,1	2	3	0,1
31	2	3	0,1	2	3	0,1	2	3	0,1	2	3	0,1



Le 17 mars 1959

Agitation microsismique  
Jours internationaux reguliers  
Appareil: Krumbach

TMG	NS			EW			Z		
	K	T	A	K	T	A	K	T	A
00	3	3	0,1	2	3	0,1	2	3	0,1
03	3	3,3	0,1	2	3	0,1	2	3	0,1
06	3	3,6	0,1	2	3	0,1	2	3	0,1
09	3	3,6	0,1	2	3	0,1	2	3	0,1
12	3	3,6	0,1	2	3	0,1	2	3	0,1
15	3	3,6	0,1	2	3	0,1	2	3	0,1
18	3	3,6	0,1	2	3	0,1	2	3	0,1
21	3	3,6	0,1	2	3	0,1	2	3	0,1

Le 18 mars 1959

TMG	NS			EW			Z		
	K	T	A	K	T	A	K	T	A
00	...			...			...		
03	2	6,3	0,7	0,0			2,0		
06	2	6,3	0,7	0,0			0,0		
09	2	6,3	0,7	2	3	0,1	2	3	0,1
12	2	6,3	0,7	0,0			0,0		
15	2	6,3	0,7	2	3,9	0,3	2	3,6	0,2
18	2	6,3	0,7	2	3,9	0,3	2	3,6	0,2
21	2	6,3	0,7				2	3,6	0,2

Le 19 mars 1959

TMG	NS			EW			Z		
	K	T	A	K	T	A	K	T	A
00	2	6,6	1	2	3,1	0,3	2	3,6	0,2
03	2	6,6	1	2	3,9	0,3	2	3,6	0,2
06	2	6,3	0,7	2	4,2	0,3	2	4,2	0,2
09	2	6,3	0,7	2	4,2	0,3	2	4,2	0,2
12	2	6,3	0,7	2	4,2	0,3	2	4,2	0,2
15	3	6,3	0,7	2	4,2	0,3	2	4,2	0,2
18	2	6,3	0,7	2	4,2	0,3	0,0		
21	2	6,3	0,7	2	4,2	0,3	0,0		

Agitation microsismique  
Appareil: Krumbach NS

Avril 1959

TMG	00 <sup>h</sup>			06 <sup>h</sup>			12 <sup>h</sup>			18 <sup>h</sup>			
	Date	K	T	A	K	T	A	K	T	A	K	T	A
1	...			...			...			...			
2	...			2	3	0,1	2	3	0,1	2	3	0,1	
3	2	3	0,1	2	4,2	0,1	2	4,2	0,1	2	4,2	0,1	
4	2	4,2	0,1	2	4,2	0,1	2	4,2	0,1	2	4,2	0,1	
5	2	4,2	0,1	2	4,2	0,1	2	4,2	0,1	2	4,2	0,1	
6	2	4,2	0,1	2	5,4	0,3	2	5,4	0,3	2	5,4	0,3	
7	2	6	0,5	2	6	0,5	2	6	0,5	2	6	0,5	
8	2	6	0,5	2	5,4	0,2	2	5,4	0,1	2	5,4	0,2	
9	2	5,4	0,2	1	6	0,7	1	6	0,7	1	6	0,7	
10	1	5,4	0,2	1	5,4	0,2	1	4,8	0,2	1	4,8	0,2	
11	1	4,8	0,1	1	4,2	0,1	1	4,2	0,2	1	4,8	0,2	
12	1	5,4	0,2	2	4,8	0,3	2	5,4	0,3	2	5,4	0,3	
13	2	5,4	0,3	2	6	0,5	2	6	0,5	2	6	0,5	
14	2	5	0,5	2	6	0,5	2	6	0,5	2	6	0,5	
15	2	6,9	0,1	2	6,9	0,7	2	6,9	1	2	6,9	0,7	
16	2	6,9	1	2	6,9	1	2	6,8	1	2	6,9	0,7	
17	2	6,9	1	2	6,3	0,5	2	6	0,5	2	6	0,5	
18	2	6	0,5	2	4,2	0,1	2	4,2	0,1	2	4,2	0,1	
19	2	4,2	0,1	2	5,4	0,3	2	5,4	0,3	2	5,4	0,3	
20	2	5,4	0,3	2	3,9	0,1	1	3,9	0,1	1	3,9	0,1	
21	1	3,9	0,1	1	3	0,1	0,0			0,0			
22	0,0			1	3	0,1	1	3	0,1	1	3	0,1	
23	1	3	0,1	1	3	0,1	1	3	0,1	1	3	0,1	
24	...			1	3	0,1	1	3	0,1	1	3	0,1	
25	1	3	0,1	2	4,2	0,1	2	4,8	0,3	2	4,8	0,3	
26	2	4,8	0,3	2	5,4	0,3	2	6	0,5	2	6	0,5	
27	2	6	0,5	2	5,4	0,2	2	5,4	0,2	2	4,8	0,1	
28	2	4,8	0,1	2	3,6	0,1	2	3,6	0,1	2	3,6	0,1	
29	2	3,6	0,1	...			...			...			
30	...			...			...			...			



TMG	00 <sup>h</sup>			06 <sup>h</sup>			12 <sup>h</sup>			18 <sup>h</sup>			
	Date	K	T	A	K	T	A	K	T	A	K	T	A
1	...				...			...			...		
2	...				0,0			0,0			0,0		
3	0				0,0			0,0			0,0		
4	0,0				0,0			0,0			0,0		
5	0,0				2	3	0,1	2	3	0,1	2	3	0,1
6	2	3	0,1	2	3,6	0,2	2	3,6	0,2	2	3,3	0,1	
7	2	3,2	0,1	2	3,3	0,1	2	3,3	0,1	2	3,3	0,1	
8	2	3,2	0,1	0,0			0,0			0,0			
9	0,0			1	3	0,1	1	3	0,1	1	3	0,1	
10	1	3	0,1	0,0			0,0			0,0			
11	0,0			2	3	0,1	2	3	0,1	2	3	0,1	
12	2	3	0,1	2	3	0,1	2	3	0,1	2	3	0,1	
13	2	3	0,1	2	3	0,1	2	3	0,1	2	3	0,1	
14	2	3	0,1	0,0			0,0			0,0			
15	0,0			2	3,3	0,1	2	3,3	0,1	2	3,3	0,1	
16	2	3,3	0,1	2	3	0,1	2	3	0,1	2	3	0,1	
17	2	3	0,1	2	3	0,1	2	3	0,1	2	3	0,1	
18	2	3	0,1	2	3	0,1	2	3	0,1	2	3	0,1	
19	2	3	0,1	0,0			0,0			0,0			
20	0,0			0,0			0,0			0,0			
21	0,0			0,0			0,0			0,0			
22	0,0			0,0			0,0			0,0			
23	0,0			0,0			0,0			0,0			
24	...			0,0			0,0			0,0			
25	0,0			2	3	0,1	2	3	0,1	0,0			
26	6,0			2	3	0,1	2	3	0,1	2	3	0,1	
27	2	3	0,1	0,0			0,0			0,0			
28	0,0			0,0			0,0			0,0			
29	0,0			...			...			...			
30	...			...			...			...			

TMG	00 <sup>h</sup>			06 <sup>h</sup>			12 <sup>h</sup>			18 <sup>h</sup>			
	Date	K	T	A	K	T	A	K	T	A	K	T	A
1	...				...			...			...		
2	...				0,0			0,0			0,0		
3	0,0				1	3	0,1	1	3	0,1	1	3	0,1
4	1	3	0,1	1	3	0,1	1	3	0,1	1	3	0,1	
5	1	3	0,1	2	3	0,1	2	3	0,1	2	3	0,1	
6	2	3	0,1	2	4,2	0,2	2	4,2	0,1	2	4,2	0,2	
7	2	4,2	0,2	0,0			0,0			0,0			
8	0,0			0,0			0,0			0,0			
9	0,0			0,0			0,0			0,0			
10	0,0			0,0			0,0			0,0			
11	0,0			0,0			0,0			0,0			
12	0,0			0,0			0,0			0,0			
13	0,0			2	3	0,1	2	3	0,1	2	3	0,1	
14	2	3	0,1	0,0			0,0			0,0			
15	0,0			2	3,6	0,2	2	3,6	0,1	2	3,6	0,1	
16	2	3,3	0,1	2	3,9	0,1	2	3	0,1	2	3	0,1	
17	2	3	0,1	2	3	0,1	0,0			0,0			
18	0,0			0,0			0,0			0,0			
19	0,0			0,0			0,0			0,0			
20	0,0			0,0			0,0			0,0			
21	0,0			0,0			0,0			0,0			
22	0,0			0,0			0,0			0,0			
23	0,0			0,0			0,0			0,0			
24	...			0,0			0,0			0,0			
25	0,0			2	3	0,1	2	3	0,1	2	3	0,1	
26	2	3	0,1	2	3,3	0,1	2	4,2	0,2	2	4,2	0,2	
27	2	4,2	0,2	2	3,6	0,1	2	3,6	0,1	2	3,6	0,1	
28	2	3,6	0,1	2	3	0,1	2	3	0,1	2	3	0,1	
29	2	3	0,1	...			...			...			
30	...			...			...			...			



Bratislava

Le 14 avril 1959

Agitation microsismique  
 Jours internationaux réguliers  
 Appareil: Krumbach

TMG	NS			EW			Z		
	K	T	A	K	T	A	K	T	A
00	2	6	0,5	2	3	0,1	2	3	0,1
03	2	6	0,5	2	3	0,1	2	3	0,1
06	2	6	0,5	0,0			0,0		
09	2	6	0,5	0,0			0,0		
12	2	6	0,5	0,0			0,0		
15	2	6	0,5	0,0			0,0		
18	2	6	0,5	0,0			0,0		
21	2	6	0,5	0,0			0,0		

Le 15 avril 1959

TMG	NS			EW			Z		
	K	T	A	K	T	A	K	T	A
00	2	6,9	1	0,0			0,0		
03	2	6,9	1	0,0			0,0		
06	2	6,9	0,7	2	3,3	0,1	2	3,6	0,2
09	2	6,9	0,7	2	3,3	0,1	2	3,6	0,2
12	2	6,9	1	2	3,3	0,1	2	3,6	0,2
15	2	6,9	1	2	3,3	0,1	2	3,3	0,1
18	2	6,9	0,7	2	3,3	0,1	2	3,3	0,1
21	2	6,9	1	2	3,3	0,1	2	3,3	0,1

Le 16 avril 1959

TMG	NS			EW			Z		
	K	T	A	K	T	A	K	T	A
00	2	6,9	1	2	3,3	0,1	2	3,3	0,1
03	2	6,9	1	2	3,3	0,1	2	3,3	0,1
06	2	6,9	1	2	3	0,1	2	3,9	0,1
09	2	6,9	1	2	3	0,1	2	3,9	0,1
12	2	6,9	1	2	3	0,1	2	3	0,1
15	2	6,9	1	2	3	0,1	2	3	0,1
18	2	6,9	1	2	3	0,1	2	3	0,1
21	2	6,9	1	2	3	0,1	2	3	0,1

338

Agitation microsismique  
 Jours internationaux réguliers  
 Appareil: Krumbach

Le 17 avril 1959

Bratislava

TMG	NS			EW			Z		
	K	T	A	K	T	A	K	T	A
00	2	6,9	1	2	3	0,1	2	3	0,1
03	2	6,3	0,5	2	3	0,1	2	3	0,1
06	2	6,3	0,5	2	3	0,1	2	3	0,1
09	2	6,3	0,5	2	3	0,1	2	3	0,1
12	2	6	0,5	2	3	0,1	0,0		
15	2	6	0,5	2	3	0,1	0,0		
18	2	6	0,5	2	3	0,1	0,0		
21	2	6	0,5	2	3	0,1	0,0		

Le 18 avril 1959

TMG	NS			EW			Z		
	K	T	A	K	T	A	K	T	A
00	2	6	0,5	2	3	0,1	0,0		
03	2	6	0,5	2	3	0,1	3	3	0,1
06	2	4,2	0,1	2	3	0,1	0,0		
09	2	4,2	0,1	3	3	0,1	0,0		
12	2	4,2	0,1	2	3	0,1	0,0		
15	2	4,2	0,1	2	3	0,1	0,0		
18	2	4,2	0,1	2	3	0,1	0,0		
21	2	5,4	0,2	2	3	0,1	3	3	0,1

Le 19 avril 1959

TMG	NS			EW			Z		
	K	T	A	K	T	A	K	T	A
00	2	4,2	0,1	2	3	0,1	0,0		
03	2	5,4	0,3	2	3	0,1	0,0		
06	2	5,4	0,3	0,0			0,0		
09	2	5,4	0,3	0,0			0,0		
12	2	5,4	0,3	0,0			0,0		
15	2	5,4	0,3	2	3	0,1	0,0		
18	2	5,4	0,3	0,0			0,0		
21	2	6	0,5	2	3	0,1	0,0		

22\*

339



Bratislava

Le 20 avril 1959

Agitation microsismique  
 Jours internationaux réguliers  
 Appareil: Krumbach

TMG	NS			EW			Z		
	K	T	A	K	T	A	K	T	A
00	2	5,4	0,3	0,0			0,0		
03	2	4,7	0,2	2	3	0,1			
06	2	3,9	0,1	0,0			0,0		
09	2	3,9	0,1						
12	2	3,9	0,1	0,0			0,0		
15	2	4,8	0,2				2	3	0,1
18	1	3,8	0,1	0,0			0,0		
21	2	4,8	0,1						

Le 21 avril 1959

TMG	NS			EW			Z		
	K	T	A	K	T	A	K	T	A
00	1	3,9	0,1	0,0			0,0		
03	1	3,6	0,1	0,0			0,0		
06	1	3	0,1	0,0			0,0		
09	1	3	0,1	1	3	0,1	0,0		
12	0,0			0,0			0,0		
15	1	3	0,1	1	3	0,1	0,0		
18	0,0			0,0			0,0		
21	1	3	0,1	0,0			0,0		

Le 22 avril 1959

TMG	NS			EW			Z		
	K	T	A	K	T	A	K	T	A
00	0,0			0,0			0,0		
03	1	3	0,1	0,0			1	3	0,1
06	1	3	0,1	0,0			0,0		
09	1	3	0,1	0,0			1	3	0,1
12	1	3	0,1	0,0			0,0		
15	1	3,3	0,1	0,0			0,0		
18	1	3	0,1	0,0			0,0		
21	1	3,3	0,1	0,0			0,0		

Agitation microsismique  
 Jours internationaux réguliers  
 Appareil: Krumbach

Le 23 avril 1959

Bratislava

TMG	NS			EW			Z		
	K	T	A	K	T	A	K	T	A
00	1	3	0,1	0,0			0,0		
03	1	3	0,1	0			0		
06	1	3	0,1	0,0			0,0		
09	1	3	0,1	1	3	0,1	0,0		
12	1	3	0,1	0,0			0,0		
15	1	3	0,1	1	3	0,1	0		
18	1	3	0,1	0,0			0,0		
21	1	3	0,1	0			0		

Le 24 avril 1959

TMG	NS			EW			Z		
	K	T	A	K	T	A	K	T	A
00	...			...			...		
03	1	3	0,1	0,0			1	3	0,1
06	1	3	0,1	0,0			0,0		
09	1	3	0,1	1	3	0,1	1	3	0,1
12	1	3	0,1	0,0			0,0		
15	1	3	0,1	0,0			1	3	0,1
18	1	3	0,1	0,0			0,0		
21	1	3	0,1	0,0			1	3	0,1



TMG Date	00 <sup>h</sup>			06 <sup>h</sup>			12 <sup>h</sup>			18 <sup>h</sup>		
	K	T	A	K	T	A	K	T	A	K	T	A
1	2	4,2	0,1	2	4,2	0,1	2	4,2	0,1	2	4,8	0,2
2	2	4,8	0,2	2	3,6	0,1	2	3	0,1	2	3	0,1
3	2	3	0,1	2	3,3	0,1	2	3,3	0,1	2	3,3	0,1
4	2	3,6	0,1	...			3	3,6	0,1	2	3,6	0,1
5	2	3,3	0,1	1	3,6	0,1	1	3,6	0,1	...		
6	2	3,3	0,1	1	3,3	0,1	1	3,6	0,1	1	4,2	0,1
7	1	4,2	0,1	1	4,2	0,1	1	4,2	0,1	1	4,2	0,1
8	1	4,2	0,1	1	5,4	0,3	...			1	4,8	0,2
9	1	4,8	0,2	2	4,8	0,2	2	4,8	0,2	2	4,8	0,2
10	2	4,8	0,2	2	4,2	0,1	2	4,2	0,1	2	4,2	0,1
11	2	4,2	0,1	2	3,6	0,1	2	3,6	0,1	2	3,6	0,1
12	2	3,6	0,1	1	3	0,1	1	3	0,1	1	3	0,1
13	1	3	0,1	...			...			...		
14	0,0			...			0,0			1	3,6	0,1
15	2	3,6	0,1	2	4,2	0,2	2	4,8	0,3	2	5,4	0,4
16	2	5,4	0,4	2	6	0,4	2	6	0,5	2	6	0,5
17	2	5,4	0,4	2	4,8	0,2	2	4,6	0,2	2	4,8	0,2
18	2	4,8	0,2	2	4,2	0,1	2	3,6	0,1	2	3	0,1
19	2	3	0,1	2	3	0,1	2	3	0,1	2	3	0,1
20	2	3	0,1	1	3	0,1	1	3	0,1	1	3	0,1
21	1	3	0,1	1	3	0,1	1	3	0,1	1	3	0,1
22	1	3	0,1	1	3	0,1	1	3	0,1	1	3	0,1
23	1	3	0,1	1	3	0,1	1	3	0,1	1	3	0,1
24	1	3	0,1	1	3	0,1	...			...		
25	1	3	0,1	1	3,6	0,1	1	3,6	0,1	1	3,6	0,1
26	1	3,6	0,1	2	3,9	0,1	2	4,2	0,1	...		
27	2	4,8	0,2	2	3,6	0,1	2	3	0,1	2	3	0,1
28	2	3	0,1	2	3,6	0,1	2	3,6	0,1	2	3,6	0,1
29	2	3,6	0,1	2	3	0,1	2	3	0,1	2	3	0,1
30	2	3	0,1	2	3,6	0,1	2	4,2	0,1	2	4,2	0,1
31	2	4,2	0,1	2	4,8	0,2	2	4,8	0,2	2	4,8	0,2

TMG Date	00 <sup>h</sup>			06 <sup>h</sup>			12 <sup>h</sup>			18 <sup>h</sup>		
	K	T	A	K	T	A	K	T	A	K	T	A
1	2	3	0,1	2	3	0,1	0,0			0,0		
2	0,0			0,0			0,0			0,0		
3	0,0			0,0			0,0			2	3	0,1
4	2	3	0,1	...			0,0			0,0		
5	0,0			0,0			0,0			...		
6	0,0			0,0			0,0			0,0		
7	0,0			1	3	0,1	1	3,3	0,1	1	3,3	0,1
8	1	3,3	0,1	0,0			...			0,0		
9	1	3	0,1	0,0			2	3	0,1	2	3	0,1
10		3	0,1	0,0			2	3	0,1	2	3	0,1
11	0,0			0,0			0,0			0,0		
12	0,0			1	3	0,1	1	3	0,1	1	3	0,1
13	1	3	0,1	1	3	0,1	1,0			0,0		
14	0,0			...			2	3	0,1	2	3	0,1
15	2	3	0,1	2	3	0,1	2	3,9	0,3	2	4,8	0,4
16	2	4,8	0,4	2	3,6	0,1	2	3,6	0,1	2	3	0,1
17	2	3	0,1	2	3	0,1	2	3	0,1	2	3	0,1
18	2	3	0,1	0,0			0,0			0,0		
19	0,0			0,0			0,0			2	3	0,1
20	2	3	0,1	0,0			0,0			0,0		
21	0,0			0,0			0,0			0,0		
22	0,0			0,0			0,0			0,0		
23	0,0			0,0			0,0			0,0		
24	0,0			0,0			...			...		
25	0,0			0,0			2	3	0,1	2	3	0,1
26	2	3	0,1	2	3	0,1	2	3	0,1	...		
27	2	3	0,1	2	3	0,1	2	3	0,1	2	3	0,1
28	2	3	0,1	2	3	0,1	2	3	0,1	2	3	0,1
29	2	3	0,1	0,0			0,0			0,0		
30	0,0			2	3	0,1	2	3	0,1	2	3,6	0,2
31	2	3,6	0,1	2	3,6	0,1	2	3,6	0,1	2	3,6	0,1



TMG	00 <sup>h</sup>			06 <sup>h</sup>			12 <sup>h</sup>			18 <sup>h</sup>		
	K	T	A	K	T	A	K	T	A	K	T	A
1	2	3,6	0,2	2	3,6	0,2	2	3,6	0,1	2	3,6	0,2
2	2	3,3	0,1	v			v			2	3	0,1
3	2	3	0,1	2	3	0,1	2	3	0,1	2	3	0,1
4	2	3	0,1	...			2	3,6	0,2	2	3,6	0,2
5	2	3,6	0,2	2	3,6	0,2	2	3,6	0,2	...		
6	2	3,3	0,1	2	3,6	0,2	2	3,9	0,2	2	4,2	0,2
7	2	4,2	0,1	2	3,8	0,2	2	4,2	0,2	2	4,2	0,2
8	2	4,2	0,2	2	4,8	0,3	...			2	4,8	0,3
9	2	4,8	0,3	2	3,9	0,2	2	3,6	0,1	2	3,6	0,1
10	2	3,6	0,1	0,0			0,0			0,0		
11	0,0			2	3	0,1	0,0			0,0		
12	0,0			1	3	0,1	1	3	0,1	1	3	0,1
13	1	3	0,1	0,0			1	3	0,1	1	3	0,1
14	1	3	0,1	...			2	3	0,1	2	3	0,1
15	2	3	0,1	0,0			0,0			0,0		
16	0,0			2	3,6	0,2	2	3,6	0,2	2	3,9	0,2
17	2	3,6	0,2	2	3,6	0,1	2	3,6	0,1	2	3,6	0,1
18	2	3,6	0,1	2	3,6	0,1	2	3,6	0,1	2	3,6	0,1
19	2	3,6	0,1	2	3	0,1	2	3	0,1	2	3	0,1
20	2	3	0,1	0,0			0,0			0,0		
21	0,0			0,0			0,0			0,0		
22	0,0			1	3	0,1	1	3	0,1	0,0		
23	0,0			0,0			0,0			0,0		
24	0,0			0,0			...			...		
25	0,0			2	3	0,1	2	3	0,1	2	3	0,1
26	2	3	0,1	0,0			0,0			...		
27	0,0			0,0			0,0			0,0		
28	0,0			2	3	0,1	2	3	0,1	2	3	0,1
29	2	3	0,1	0,0			0,0			0,0		
30	0,0			2	3,9	0,2	2	4,2	0,2	2	4,2	0,2
31	2	4,2	0,1	2	4,2	0,1	2	4,2	0,1	2	4,2	0,1

TMG	NS			EW			Z		
	K	T	A	K	T	A	K	T	A
00	2	3,6	0,1	0,0			0,0		
03	2	3,6	0,1	0,0			0,0		
06	1	3	0,1	1	3	0,1	1	3	0,1
09	...			...			...		
12	1	3	0,1	1	3	0,1	1	3	0,1
15	1	3	0,1	1	3	0,1	1	3	0,1
18	1	3	0,1	1	3	0,1	1	3	0,1
21	1	3	0,1	1	3	0,1	1	3	0,1

Le 13 mai 1959

TMG	NS			EW			Z		
	K	T	A	K	T	A	K	T	A
00	1	3	0,1	1	3	0,1	1	3	0,1
03	1	3	0,1	1	3	0,1	1	3	0,1
06	...			1	3	0,1	0,0		
09	...			0,0			1	3	0,1
12	...			0,0			1	3	0,1
15	...			0,0			1	3	0,1
18	...			0,0			1	3	0,1
21	...			0,0			1	3	0,1

Le 14 mai 1959

TMG	NS			EW			Z		
	K	T	A	K	T	A	K	T	A
00	0,0			0,0			1	3	0,1
03	0,0			0,0			1	3	0,1
06	...			...			...		
09	1	3	0,1	1	3	0,1	2	3	0,1
12	0,0			2	3	0,1	2	3	0,1
15	1	3,3	0,1	2	3	0,1	2	3	0,1
18	1	3,6	0,1	2	3	0,1	2	3	0,1
21	1	3,6	0,1	2	3	0,1	2	3	0,1



TMG	00 <sup>h</sup>			06 <sup>h</sup>			12 <sup>h</sup>			18 <sup>h</sup>			
	Date	K	T	A	K	T	A	K	T	A	K	T	A
1	2	3	0,1	2	3	0,1	2	3	0,1	2	3	0,1	
2	2	3	0,1	2	4,8	0,2	2	5,4	0,3	2	5,4	0,3	
3	...			2	5,4	0,3	2	6	0,5	2	6	0,5	
4	2	6	0,5	2	6,3	0,6	2	6,3	0,6	2	6	0,7	
5	2	6	0,5	2	6	0,5	2	6	0,5	2	6	0,5	
6	2	6	0,5	2	5,4	0,2	2	5,4	0,3	2	6	0,5	
7	2	6	0,5	2	6	0,5	2	6,6	0,6	2	6,6	0,6	
8	2	6,6	0,6	2	6	0,7	2	6	0,4	2	6,6	0,6	
9	2	6,6	0,6	2	6,3	0,4	2	6,3	0,6	2	6,3	0,5	
10	2	6,6	0,6	2	5,4	0,2	2	5,4	0,3	2	5,4	0,3	
11	2	4,8	0,2	2	4,8	0,3	2	4,8	0,3	2	4,8	0,3	
12	2	4,8	0,2	2	3,6	0,1	2	3,6	0,1	2	3,6	0,1	
13	2	3,6	0,1	2	4,2	0,2	...			2	4,8	0,3	
14	...			2	4,2	0,2	2	4,2	0,1	2	4,8	0,3	
15	2	4,8	0,2	2	3	0,1	2	3	0,1	2	3	0,1	
16	...			2	3	0,1	2	3	0,1	2	3	0,1	
17	2	3	0,1	2	4,2	0,1	...			2	4,2	0,1	
18	2	4,2	0,1	2	4,8	0,2	2	5,4	0,3	2	5,4	0,3	
19	2	5,4	0,2	1	5,4	0,3	1	4,8	0,1	1	4,8	0,1	
20	2	4,8	0,1	2	4,2	0,1	2	3,6	0,1	...			
21	2	3,8	0,1	2	3,6	0,1	2	3,6	0,1	2	3,6	0,1	
22	2	3	0,1	2	3	0,1	2	3	0,1	2	3	0,1	
23	2	3	0,1	0,0			0,0			0,0			
24	0,0			0,0			0,0			0,0			
25	0,0			...			2	3	0,1	2	3	0,1	
26	2	3	0,1	2	3	0,1	2	3	0,1	2	3	0,1	
27	2	3	0,1	2	3	0,1	2	3	0,1	2	3	0,1	
28	2	3	0,1	2	3	0,1	2	3	0,1	2	3	0,1	
29	2	3	0,1	2	3,3	0,1	2	3,3	0,1	2	3,3	0,1	
30	2	3,3	0,1	...			...			...			

TMG	00 <sup>h</sup>			06 <sup>h</sup>			12 <sup>h</sup>			16 <sup>h</sup>			
	Date	K	T	A	K	T	A	K	T	A	K	T	A
1	0,0				0,0			0,0			0,0		
2	0,0				1	3	0,1	1	3	0,1	1	3	0,1
3	...				0,0			0,0			0,0		
4	0,0				2	3	0,1	2	3	0,1	2	3	0,1
5	2	3	0,1	2	3	0,1	2	3	0,1	2	3	0,1	
6	2	3	0,1	2	3	0,1	2	3	0,1	2	3	0,1	
7	2	3	0,1	2	3,3	0,1	2	3,3	0,1	2	3,3	0,1	
8	2	3,3	0,1	2	3,3	0,1	2	3,6	0,2	2	3,6	0,2	
9	2	3,6	0,2	2	3	0,1	2	3,6	0,2	2	3,8	0,2	
10	2	3,9	0,2	2	4,2	0,3	2	4,2	0,3	2	3,6	0,2	
11	2	4,2	0,3	2	3	0,1	2	3	0,1	2	3	0,1	
12	2	3	0,1	2			...			...			
13	...				0,0			...		2	3,6	0,1	
14	...				0,0			1	3	0,1	1	3	0,1
15	1	3	0,1		0,0			0,0			0,0		
16	0,0				0,0			0			0		
17	0				0,0			0,0			0,0		
18	0,0				2	3	0,1	2	3	0,1	2	3	0,1
19	2	3	0,1	1	3	0,1	1	3	0,1	1	3	0,1	
20	1	3	0,1		0,0			0,0			...		
21	2	3	0,1		0,0			0,0			0,0		
22	0,0				2			0			0		
23	0				...			...			...		
24	...				0,0			0,0			0,0		
25	0,0				...			0,0			0,0		
26	0,0				0			0			0		
27	0				0,0			0,0			0,0		
28	0,0				0,0			0,0			0,0		
29	0,0				0,0			0			0		
30	0				...			...			...		



## Bratislava

Juin 1959

Agitation microséismique  
Appareil: Krumbach Z

TMG	00 <sup>h</sup>			06 <sup>h</sup>			12 <sup>h</sup>			18 <sup>h</sup>		
	Date	K	T	A	K	T	A	K	T	A	K	T
1	2	3	0,1	2	3	0,1	2	3	0,1	2	3	0,1
2	2	3	0,1	2	3,6	0,2	2	3,9	0,2	2	4,2	0,2
3	...			2	4,8	0,3	2	5,4	0,3	2	5,4	0,3
4	2	5,4	0,3	2	5,4	0,3	2	5,4	0,5	2	3,6	0,1
5	2	5,4	0,3	2	4,8	0,1	2	4,2	0,1	2	3,6	0,1
6	2	3,3	0,1	2	3,6	0,2	2	3,6	0,2	2	3,6	0,2
7	2	3,6	0,2	2	4,2	0,2	2	4,8	0,3	2	4,8	0,3
8	2	4,8	0,3	2	4,2	0,2	2	4,2	0,3	2	4,2	0,2
9	0,0			v			v			2	3	0,1
10	2	3	0,1	v			v			2	3,6	0,2
11	2	3,3	0,1	2	3	0,1	2	3	0,1	v		
12	0			2	3	0,1	2	3	0,1	2	3	0,1
13	2	3	0,1	2	3	0,1	...			2	3	0,1
14	...			...			...			...		
15	...			2	3	0,1	2	3	0,1	2	3	0,1
16	...			2	3	0,1	2	3	0,1	2	3	0,1
17	2	3	0,1	2	3	0,1	...			2	3,6	0,2
18	2	3,6	0,2	2	3,6	0,2	2	3,9	0,2	2	3,9	0,2
19	2	3,9	0,2	2	3,6	0,1	2	3,3	0,1	2	3,3	0,1
20	2	3,3	0,1	2	3,3	0,1	2	3,3	0,1	...		
21	2	3,3	0,1	2	3	0,1	2	3	0,1	2	3	0,1
22	2	3	0,1	0,0			0			0		
23	0			0,0			0,0			0,0		
24	0,0			0,0			0,0			0,0		
25	0,0			...			2	3	0,1	2	3	0,1
26	0,0			0,0			0,0			0,0		
27	0,0			2	3	0,1	2	3	0,1	2	3	0,1
28	2	3	0,1	0,0			0,0			0,0		
29	0,0			2	3	0,1	2	3	0,1	2	3	0,1
30	2	3	0,1	...			...			...		

348

Agitation microséismique  
Jours internationaux réguliers  
Appareil: Krumbach

Le 16 juin 1959

Bratislava

TMG	NS			EW			Z		
	K	T	A	K	T	A	K	T	A
00	...			...			...		
03	...			...			...		
06	2	3	0,1	0,0			2	3	0,1
09	2	3	0,1	0,0			2	3,3	0,1
12	2	3	0,1	0			2	3	0,1
15	2	3	0,1	0,0			2	3,6	0,1
18	2	3	0,1	0			2	3	0,1
21	2	3,6	0,1	0,0			2	3,6	0,2

Le 17 juin 1959

TMG	NS			EW			Z		
	K	T	A	K	T	A	K	T	A
00	2	3	0,1	0,0			2	3	0,1
03	2	3	0,1	0			2	3	0,1
06	2	4,2	0,1	0,0			2	3	0,1
09	2	4,2	0,2	0,0			2	3,3	0,1
12	...			...			...		
15	2	4,2	0,2	0,0			2	3,6	0,2
18	2	4,2	0,1	0,0			2	3,6	0,2
21	2	4,2	0,2	0,0			2	3,6	0,2

Le 18 juin 1959

TMG	NS			EW			Z		
	K	T	A	K	T	A	K	T	A
00	2	4,2	0,1	0,0			2	3,6	0,2
03	2	4,2	0,1	2	3	0,1	2	3,6	0,2
06	2	4,8	0,2	2	3	0,1	2	3,6	0,2
09	0,0			2	3	0,1	2	3,6	0,2
12	2	5,4	0,2	2	3	0,1	2	3,9	0,2
15	2	5,4	0,2	2	3	0,1	2	4,2	0,2
18	2	5,4	0,2	2	3	0,1	2	3,7	0,2
21	2	6	0,4	2	3	0,1	2	4,2	0,2

349



TMG Date	00 <sup>h</sup>			06 <sup>h</sup>			12 <sup>h</sup>			18 <sup>h</sup>		
	K	T	A	K	T	A	K	T	A	K	T	A
1	...			2	3	0,1	2	3	0,1	2	3	0,1
2	2	3	0,1	2	3,6	0,1	2	3,6	0,1	2	3,6	0,1
3	2	3	0,1	2	3	0,1	2	3	0,1	...		
4	2	3	0,1	2	3	0,1	2	3	0,1	2	3	0,1
5	2	3	0,1	2	3	0,1	2	3	0,1	2	3	0,1
6	2	3	0,1	2	3	0,1	2	3	0,1	2	3	0,1
7	2	3	0,1	2	3	0,1	2	3	0,1	2	3	0,1
8	2	3	0,1	0,0			0,0			0,0		
9	0,0			2	3	0,1	2	3	0,1	2	3	0,1
10	2	3	0,1	2	3	0,1	2	3	0,1	2	3	0,1
11	2	3	0,1	2	3	0,1	...			2	3	0,1
12	2	3	0,1	2	3,6	0,1	2	4,2	0,1	2	4,2	0,1
13	2	4,2	0,1	2	4,2	0,1	...			2	4,8	0,2
14	2	4,8	0,2	2	3,6	0,1	2	3,6	0,1	2	3,6	0,1
15	2	3,6	0,1	2	3	0,1	2	3	0,1	2	3	0,1
16	2	3	0,1	2	3	0,1	2	3	0,1	2	3	0,1
17	2	3	0,1	2	3	0,1	2	3	0,1	2	3	0,1
18	2	3	0,1	0,0			0,0			0,0		
19	0,0			2	3	0,1	2	3	0,1	0,0		
20	0,0			0,0			0,0			0,0		
21	0,0			0,0			0,0			0,0		
22	0,0			0,0			0,0			0,0		
23	...			2	3	0,1	2	3	0,1	2	3	0,1
24	2	3	0,1	2	3	0,1	2	3	0,1	2	3	0,1
25	2	3	0,1	2	3	0,1	2	3	0,1	2	3	0,1
26	2	3	0,1	2	3	0,1	2	3	0,1	2	3	0,1
27	2	3	0,1	2	3	0,1	2	3	0,1	2	3	0,1
28	2	3	0,1	2	3	0,1	2	3	0,1	2	3	0,1
29	2	3	0,1	...			...			...		
30	...			...			...			...		
31	...			2	3	0,1	2	3	0,1	2	3	0,1

TMG Date	00 <sup>h</sup>			06 <sup>h</sup>			12 <sup>h</sup>			18 <sup>h</sup>		
	K	T	A	K	T	A	K	T	A	K	T	A
1	...									0,0		
2	0,0									0,0		
3	0,0									0,0		
4	0,0									0,0		
5	0,0									0,0		
6	0,0									2	3	0,1
7	2	3	0,1							2	3	0,1
8	2	3	0,1							0,0		
9	0,0									0,0		
10	0,0									...		
11	...									0,0		
12	2	3	0,1							0,0		
13	2	3	0,1							0,0		
14	1	3	0,1							1	3	0,1
15	1	3	0,1							2	3	0,1
16	2	3	0,1							...		
17	...									0,0		
18	0,0									0,0		
19	0,0									0,0		
20	0,0									0,0		
21	0,0									0,0		
22	0,0									0,0		
23	...									2	3	0,1
24	2	3	0,1							0,0		
25	0,0									0,0		
26	0,0									0,0		
27	2	3	0,1							2	3	0,1
28	2	3	0,1							0,0		
29	2	3	0,1							...		
30	...									...		
31	...									2	3	0,1



TMG	00 <sup>h</sup>			06 <sup>h</sup>			12 <sup>h</sup>			18 <sup>h</sup>			
	Date	K	T	A	K	T	A	K	T	A	K	T	A
1	...				2	3	0,1	2	3	0,1	2	3	0,1
2	2	3	0,1	2	3	0,1	2	3	0,1	2	3	0,1	
3	2	3	0,1	2	3	0,1	2	3	0,1	...			
4	2	3	0,1	2	3	0,1	2	3	0,1	2	3	0,1	
5	2	3	0,1	2	3	0,1	2	3	0,1	2	3	0,1	
6	2	3	0,1	2	3	0,1	0,0			0,0			
7	0,0			2	3	0,1	2	3	0,1	2	3	0,1	
8	2	3	0,1	0,0			0,0			0,0			
9	0,0			0,0			0,0			0,0			
10	0,0			2	3	0,1	2	3	0,1	0,0			
11	0,0			2	3	0,1	...			2	3	0,1	
12	2	3	0,1	2	3,3	0,1	2	3,3	0,1	2	3,3	0,1	
13		3,3	0,1	v			...			0			
14	0			2	3	0,1	2	3	0,1	0,0			
15	0,0			2	3	0,1	2	3	0,1	0,0			
16	0,0			2	3	0,1	2	3	0,1	2	3	0,1	
17	2	3	0,1	v			v			2	3	0,1	
18	v			0,0			0,0			0,0			
19	0,0			0,0			1	3	0,1	2	3	0,1	
20	2	3	0,1	0,0			0,0			0,0			
21	0,0			0,0			2	3	0,1	2	3	0,1	
22	2	3	0,1	2	3	0,1	2	3	0,1	2	3	0,1	
23	...			2	3	0,1	2	3	0,1	2	3	0,1	
24	2	3	0,1	2	3	0,1	2	3	0,1	2	3	0,1	
25	2	3	0,1	0,0			0,0			0,0			
26	0,0			0,0			0,0			0,0			
27	0,0			0,0			0,0			0,0			
28	0,0			2	3	0,1	2	3	0,1	2	3	0,1	
29	2	3	0,1	...			...			...			
30	...			...			...			...			
31	...			2	3	0,1	2	3	0,1	2	3	0,1	

TMG	NS			EW			Z		
	K	T	A	K	T	A	K	T	A
00	2	4,8	0,2	1	3	0,1	0		
03	2	4,8	0,2	0,0			0		
06	2	3,6	0,1	1	3	0,1	2	3	0,1
09	0,0			0,0			2	3	0,1
12	2	3,6	0,1	1	3	0,1	2	3	0,1
15	2	3,6	0,1	0,0			2	3	0,1
18	2	3,6	0,1	1	3	0,1	0,0		
21	2	3,6	0,1	0,0			0,0		

Le 15 juillet 1959

TMG	NS			EW			Z		
	K	T	A	K	T	A	K	T	A
00	2	3,6	0,1	1	3	0,1	0,0		
03	2	3,3	0,1	1	3	0,1	0,0		
06	2	3	0,1	2	3	0,1	2	3	0,1
09	2	3	0,1	2	3	0,1	2	3	0,1
12	2	3	0,1	2	3	0,1	2	3	0,1
15	2	3	0,1	2	3	0,1	2	3	0,1
18	2	3	0,1	2	3	0,1	0,0		
21	2	3	0,1	2	3	0,1	0,0		

Le 16 juillet 1959

TMG	NS			EW			Z		
	K	T	A	K	T	A	K	T	A
00	2	3	0,1	2	3	0,1	0,0		
03	2	3	0,1	2	3	0,1	v		
06	2	3	0,1	...			2	3	0,1
09	0,0			...			2	3	0,1
12	2	3	0,1	...			2	3	0,1
15	2	3	0,1	...			2	3	0,1
18	2	3	0,1	...			2	3	0,1
21	2	3	0,1	...			2	3	0,1



Bratislava

Le 17 juillet 1959

Agitation microsismique  
 Jours internationaux réguliers  
 Appareil: Krumbach

TMG	NS			EW			Z		
	K	T	A	K	T	A	K	T	A
00	2	3	0,1	...			2	3	0,1
03	2	3	0,1	...			2	3	0,1
06	2	3	0,1	0,0			v		
09	2	3	0,1	0,0			v		
12	2	3	0,1	0,0			v		
15	2	3	0,1	0,0			v		
18	2	3	0,1	0,0			2	3	0,1
21	2	3	0,1	0,0			2	3	0,1

Le 18 juillet 1959

TMG	NS			EW			Z		
	K	T	A	K	T	A	K	T	A
00	2	3	0,1	0,0			v		
03	2	3	0,1	0,0			v		
06	0,0			0,0			0,0		
09	2	3	0,1	0,0			0,0		
12	0,0			0,0			0,0		
15	2	3	0,1	0,0			0,0		
18	0,0			0,0			0,0		
21	...			...			...		

Le 19 juillet 1959

TMG	NS			EW			Z		
	K	T	A	K	T	A	K	T	A
00	0,0			0,0			0,0		
03	0,0			0,0			0,0		
06	2	3	0,1	0,0			0,0		
09	2	3	0,1	0,0			2	3	0,1
12	2	3	0,1	0,0			2	3	0,1
15	...			...			...		
18	0,0			0,0			2	3	0,1
21	2	3	0,1	0,0			2	3	0,1

354

Agitation microsismique  
 Jours internationaux réguliers  
 Appareil: Krumbach

Le 20 juillet 1959

Bratislava

TMG	NS			EW			Z		
	K	T	A	K	T	A	K	T	A
00	0,0			0,0			2	3	0,1
03	3	3	0,1	0,0			v		
06	0,0			0,0			0,0		
09	3	3	0,1	0,0			2	3	0,1
12	0,0			0,0			0,0		
15	0,0			0,0			3	3	0,1
18	0,0			0,0			0,0		
21	3	3	0,1	0,0			3	3	0,1

Le 21 juillet 1959

TMG	NS			EW			Z		
	K	T	A	K	T	A	K	T	A
00	0,0			0,0			0,0		
03	2	3	0,1	0,0			2	3	0,1
06	0,0			0,0			0,0		
09	2	3	0,1	0,0			2	3	0,1
12	0,0			0,0			2	3	0,1
15	2	3	0,1	0,0			2	3	0,1
18	0,0			0,0			2	3	0,1
21	2	3	0,1	0,0			2	3	0,1

Le 22 juillet 1959

TMG	NS			EW			Z		
	K	T	A	K	T	A	K	T	A
00	0,0			0,0			2	3	0,1
03	0,0			0,0			2	3	0,1
06	0,0			0,0			2	3	0,1
09	0,0			0,0			2	3	0,1
12	0,0			0,0			2	3	0,1
15	2	3	0,1	0,0			2	3	0,1
18	0,0			0,0			2	3	0,1
21	2	3	0,1	0,0			2	3	0,1

23\*

355



Bratislava

Le 23 juillet 1959

Agitation microsismique  
 Jours internationaux réguliers  
 Appareil: Krumbach

TMG	NS			EW			Z		
	K	T	A	K	T	A	K	T	A
00	...			...			...		
03	2	3	0,1	2	3	0,1	0,0		
06	2	3	0,1	2	3	0,1	2	3	0,1
09	2	3	0,1	2	3	0,1	2	3	0,1
12	2	3	0,1	2	3	0,1	2	3	0,1
15	2	3	0,1	0,0			2	3	0,1
18	2	3	0,1	2	3	0,1	2	3	0,1
21	0,0			0,0			2	3	0,1

Le 24 juillet 1959

TMG	NS			EW			Z		
	K	T	A	K	T	A	K	T	A
00	2	3	0,1	2	3	0,1	2	3	0,1
03	2	3	0,1	2	3	0,1	2	3	0,1
06	2	3	0,1	2	3	0,1	2	3	0,1
09	2	3	0,1	2	3	0,1	2	3	0,1
12	2	3	0,1	2	3	0,1	2	3	0,1
15	2	3	0,1	2	3	0,1	2	3	0,1
18	2	3	0,1	2	3	0,1	2	3	0,1
21	2	3	0,1	2	3	0,1	2	3	0,1

356

Agitation microsismique  
 Appareil: Krumbach NS

Août 1959

Bratislava

TMG	00 <sup>h</sup>			06 <sup>h</sup>			12 <sup>h</sup>			18 <sup>h</sup>			
	Date	K	T	A	K	T	A	K	T	A	K	T	A
1	2	3	0,1	2	3	0,1	2	3	0,1	2	3	0,1	0,1
2	2	3	0,1	2	3	0,1	2	3	0,1	2	3	0,1	0,1
3	2	3	0,1	2	3	0,1	2	3	0,1	2	3	0,1	0,1
4	2	3	0,1	2	3	0,1	2	3	0,1	2	3	0,1	0,1
5	2	3	0,1	2	3	0,1	2	3	0,1	2	3	0,1	0,1
6	2	3	0,1	2	3	0,1	2	3	0,1	2	3	0,1	0,1
7	2	3	0,1	2	3	0,1	2	3	0,1	2	3	0,1	0,1
8	...			2	3	0,1	2	3	0,1	2	3	0,1	0,1
9	2	3	0,1	2	3	0,1	2	3	0,1	2	3	0,1	0,1
10	2	3	0,1	...			...			...			
11	...			2	3	0,1	2	3	0,1	2	3	0,1	0,1
12	2	3	0,1	2	3	0,1	2	3	0,1	2	3	0,1	0,1
13	2	3	0,1	2	3,6	0,1	2	4,2	0,1	2	4,2	0,1	0,1
14	2	4,8	0,2	2	5,4	0,4	2	5,4	0,4	2	6	0,5	0,5
15	2	6	0,4	2	6	0,5	2	6	0,5	2	6	0,5	0,5
16	2	6	0,5	2	6,6	0,6	2	6,6	0,6	2	6,6	0,6	0,6
17	2	6,6	0,6	2	4,2	0,2	2	3,6	0,1	2	3,3	0,1	0,1
18	2	3,3	0,1	...			2	3,3	0,1	2	3,3	0,1	0,1
19	2	3,3	0,1	2	3	0,1	2	3	0,1	2	3	0,1	0,1
20	2	3	0,1	2	3	0,1	2	3	0,1	2	3	0,1	0,1
21	2	3	0,1	2	3	0,1	2	3	0,1	2	3	0,1	0,1
22	2	3	0,1	2	3	0,1	2	3	0,1	2	3	0,1	0,1
23	2	3	0,1	2	3,6	0,1	2	3,6	0,1	2	3,6	0,1	0,1
24	2	3,6	0,1	2	3,6	0,1	2	3,6	0,1	2	3,6	0,1	0,1
25	2	3,6	0,1	2	4,2	0,1	2	4,8	0,3	2	4,8	0,2	0,2
26	2	4,8	0,2	2	5,4	0,3	2	5,4	0,3	2	5,4	0,3	0,3
27	2	5,4	0,3	2	6,6	0,5	2	6,6	0,5	2	6	0,5	0,5
28	2	6	0,5	2	6	0,5	2	6	0,5	2	6	0,5	0,5
29	2	6	0,5	2	5,4	0,3	2	4,8	0,2	...			
30	2	4,2	0,1	2	3,7	0,1	0,0			0,0			0,0
31	0,0			0,0			0,0			0,0			0,0

357



TMG Date	00 <sup>h</sup>			06 <sup>h</sup>			12 <sup>h</sup>			18 <sup>h</sup>		
	K	T	A	K	T	A	K	T	A	K	T	A
1	2	3	0,1	2	3	0,1	2	3	0,1	2	3	0,1
2	2	3	0,1	2	3	0,1	2	3	0,1	2	3	0,1
3	2	3	0,1	0,0			0,0			0,0		
4	0,0			2	3	0,1	2	3	0,1	2	3	0,1
5	2	3	0,1	2	3	0,1	2	3	0,1	2	3	0,1
6	2	3	0,1	2	3	0,1	2	3	0,1	2	3	0,1
7	2	3	0,1	0,0			0,0			0,0		
8	...			0,0			0,0			0,0		
9	0,0			0,0			0,0			0,0		
10	0,0			0,0			...			...		
11	...			0,0			0,0			0,0		
12	0,0			0,0			0,0			0,0		
13	0,0			0,0			2	3	0,1	2	3	0,1
14	2	3	0,1	0,0			2	3,6	0,2	2	3,6	0,2
15	2	3,6	0,1	2	3,6	0,2	2	3,3	0,1	2	3,6	0,1
16	2	3,6	0,1	2	3,6	0,2	2	4,2	0,3	2	4,2	0,3
17	2	4,2	0,3	2	3	0,1	2	3	0,1	2	3	0,1
18	2	3	0,1	...			2	3	0,1	2	3	0,1
19	2	3	0,1	2	3	0,1	2	3	0,1	2	3	0,1
20	2	3	0,1	2	3	0,1	2	3	0,1	2	3	0,1
21	2	3	0,1	2	3	0,1	2	3	0,1	2	3	0,1
22	2	3	0,1	2	3	0,1	2	3	0,1	2	3	0,1
23	2	3	0,1	2	3	0,1	2	3	0,1	2	3	0,1
24	2	3	0,1	2	3	0,1	2	3	0,1	2	3	0,1
25	2	3	0,1	0,0			0,0			0,0		
26	0,0			2	3	0,1	2	3	0,1	2	3	0,1
27	2	3	0,1	2	3	0,1	2	3	0,1	2	3	0,1
28	2	3	0,1	2	3	0,1	2	3	0,1	2	3	0,1
29	2	3	0,1	0,0			0,0			0,0		
30	0,0			0,0			0,0			0,0		
31	0,0			0,0			0,0			0,0		

TMG Date	00 <sup>h</sup>			06 <sup>h</sup>			12 <sup>h</sup>			18 <sup>h</sup>		
	K	T	A	K	T	A	K	T	A	K	T	A
1	2	3	0,1	2	3	0,1	2	3	0,1	2	3	0,1
2	2	3	0,1	0,0			0,0			0,0		
3	0,0			0,0			0,0			0,0		
4	0,0			2	3	0,1	2	3	0,1	2	3	0,1
5	2	3	0,1	2	3	0,1	2	3	0,1	2	3	0,1
6	2	3	0,1	2	3	0,1	2	3	0,1	2	3	0,1
7	2	3	0,1	2	3	0,1	2	3	0,1	2	3	0,1
8	...			0,0			0,0			0,0		
9	0,0			0,0			0,0			0,0		
10	0,0			...			...			...		
11	...			2	3	0,1	2	3	0,1	2	3	0,1
12	2	3	0,1	2	3	0,1	0,0			0,0		
13	0,0			0,0			0,0			0,0		
14	0,0			2	3	0,1	2	3	0,1	2	3	0,1
15	2	3	0,1	2	3	0,1	2	3	0,1	2	3	0,1
16	2	3	0,1	...			...			...		
17	...			...			...			...		
18	...			...			...			...		
19	...			2	3	0,1	2	3	0,1	2	3	0,1
20	2	3	0,1	2	3	0,1	2	3	0,1	2	3	0,1
21	2	3	0,1	2	3	0,1	2	3	0,1	2	3	0,1
22	2	3	0,1	2	3	0,1	2	3	0,1	2	3	0,1
23	2	3	0,1	2	3	0,1	2	3	0,1	2	3	0,1
24	2	3	0,1	2	3	0,1	2	3	0,1	2	3	0,1
25	2	3	0,1	2	3	0,1	2	3	0,1	2	3	0,1
26	2	3	0,1	2	3	0,1	2	3	0,1	2	3	0,1
27	2	3	0,1	2	3	0,1	2	3	0,1	2	3	0,1
28	2	3	0,1	2	3	0,1	2	3	0,1	2	3	0,1
29	0,0			0,0			0,0			0,0		
30	0,0			0,0			0,0			0,0		
31	0,0			0,0			0,0			0,0		



TMG	NS			EW			Z		
	K	T	A	K	T	A	K	T	A
00	...			...			...		
03	...			...			...		
06	2	3	0,1	0,0			2	3	0,1
09	2	3	0,1	0,0			0,0		
12	2	3	0,1	0,0			2	3	0,1
15	2	3	0,1	0,0			0,0		
18	2	3	0,1	0,0			2	3	0,1
21	2	3	0,1	0,0			0,0		

## Le 12 août 1959

TMG	NS			EW			Z		
	K	T	A	K	T	A	K	T	A
00	2	3	0,1	0,0			2	3	0,1
03	2	3	0,1	0,0			2	3	0,1
06	2	3	0,1	0,0			2	3	0,1
09	2	3	0,1	0,0			2	3	0,1
12	2	3	0,1	0,0			0,0		
15	2	3	0,1	0,0			0,0		
18	2	3	0,1	0,0			0,0		
21	2	3	0,1	0,0			0,0		

## Le 13 août 1959

TMG	NS			EW			Z		
	K	T	A	K	T	A	K	T	A
00	2	3	0,1	0,0			0,0		
03	2	3	0,1	0,0			0,0		
06	2	3,6	0,1	0,0			0,0		
09	2	3,6	0,1	2	3	0,1	0,0		
12	2	4,2	0,1	2	3	0,1	0,0		
15	2	4,2	0,1	2	3	0,1	2	3	0,1
18	2	4,2	0,1	2	3	0,1	0,0		
21	2	4,2	0,2	2	3	0,1	2	3	0,1

TMG	00 <sup>h</sup>			06 <sup>h</sup>			12 <sup>h</sup>			18 <sup>h</sup>		
	Date	K	T	A	K	T	A	K	T	A	K	T
1	2	3	0,1	2	3	0,1	2	3	0,1	2	3	0,1
2	2	3	0,1	2	3	0,1	2	3	0,1	2	3	0,1
3	2	3	0,1	2	3	0,1	2	3,6	0,1	2	3,6	0,1
4	2	3,8	0,1	2	3,6	0,1	2	3,9	0,1	...		
5	2	3,9	0,1	2	3,9	0,1	2	3,9	0,1	2	3,9	0,1
6	2	3,9	0,1	2	3,9	0,1	2	3,9	0,1	2	3,9	0,1
7	2	3,8	0,1	...			...			...		
8	...			...			...			...		
9	...			2	3	0,1	2	3	0,1	2	3	0,1
10	2	3	0,1	...			...			...		
11	...			2	3,6	0,1	2	3,9	0,1	2	3,9	0,1
12	2	3,9	0,1	2	3,9	0,1	2	3,9	0,1	2	3,9	0,1
13	2	3,9	0,1	2	3	0,1	2	3	0,1	2	3	0,1
14	2	3	0,1	2	3,3	0,1	2	3,3	0,1	2	3,3	0,1
15	...			2	3,3	0,1	...			2	3,6	0,1
16	2	3	0,1	2	3	0,1	2	3	0,1	2	3	0,1
17	2	3	0,1	2	3	0,1	2	3	0,1	2	3	0,1
18	2	3	0,1	2	3,6	0,1	2	3,6	0,1	2	3,6	0,1
19	2	3,6	0,1	2	3,3	0,1	2	3,6	0,1	2	3,3	0,1
20	2	3,3	0,1	2	3	0,1	2	4,2	0,1	2	4,2	0,1
21	2	4,2	0,1	2	4,2	0,1	2	4,8	0,2	2	4,8	0,2
22	2	4,8	0,2	2	4,8	0,2	2	4,8	0,2	2	5,4	0,3
23	2	5,4	0,3	2	5,4	0,3	2	5,4	0,4	2	5,4	0,3
24	2	5,4	0,3	2	4,8	0,2	2	4,8	0,2	2	4,2	0,1
25	2	4,2	0,1	2	4,2	0,1	2	3,9	0,2	2	3,6	0,1
26	2	3,6	0,1	2	4,8	0,2	2	4,2	0,2	2	4,8	0,2
27	2	4,8	0,2	2	5,4	0,3	2	6	0,4	2	6	0,4
28	2	6	0,4	2	6	0,4	2	6	0,4	2	6	0,4
29	2	6	0,4	2	5,4	0,3	2	4,8	0,2	2	4,8	0,2
30	2	4,8	0,2	2	5,4	0,3	2	4,8	0,2	2	4,8	0,2



TMG	00h			06h			12h			18h				
	Date	K	T	A	K	T	A	K	T	A	K	T	A	
1	0,0				0,0				0,0			0,0		
2	0,0				0,0				0,0			0,0		
3	0,0				0,0				0,0			0,0		
4	0,0				1	3	0,1	1	3	0,1	1	3	0,1	
5	1	3	0,1	...				...			...			
6	...				...			...			...			
7	...				...			...			...			
8	...				...			...			...			
9	...				1	3	0,1	1	3	0,1	1	3	0,1	
10	1	3	0,1	...				...			...			
11	...				2	3	0,1	2	3	0,1	2	3	0,1	
12	2	3	0,1	2	3	0,1	2	3	0,1	2	3	0,1		
13	2	3	0,1	0,0			0,0			0,0				
14	0,0			0,0			0,0			0,0				
15	...			2	3	0,1	2	3	0,1	2	3	0,1		
16	2	3	0,1	0,0			0,0			0,0				
17	0,0			0,0			0,0			0,0				
18	0,0			0,0			0,0			0,0				
19	0,0			0,0			0,0			0,0				
20	0,0			2	3	0,1	2	3	0,1	2	3	0,1		
21	2	3	0,1	0,0			0,0			0,0				
22	0,0			0,0			0,0			0,0				
23	0,0			0,0			0,0			0,0				
24	0,0			0,0			0,0			0,0				
25	0,0			...			...			...				
26	...			...			...			...				
27	...			...			...			...				
28	...			...			...			...				
29	...			...			...			...				
30	...			...			...			...				

TMG	00h			06h			12h			18h				
	Date	K	T	A	K	T	A	K	T	A	K	T	A	
1	0,0				0,0				0,0			0,0		
2	0,0				0,0				0,0			0,0		
3	0,0				0,0				0,0			0,0		
4	0,0				0,0				0,0			0,0		
5	0,0				...				...			...		
6	...				...				...			...		
7	...				...				...			...		
8	...				...				...			...		
9	...				0,0				0,0			0,0		
10	0,0				...				...			...		
11	...				2	3,9	0,2	2	3,9	0,2	2	3,9	0,2	2 3 0,9
12	2	3,9	0,2	2	3	0,1	2	3	0,1	2	3	0,1	2 3 0,1	
13	2	3	0,1	0,0			0,0			0,0			0,0	
14	0,0			2	3	0,1	2	3	0,1	2	3	0,1	2 3 0,1	
15	...			2	3	0,1	2	3	0,1	2	3	0,1	2 3 0,1	
16	2	3	0,1	0,0			0,0			0,0			0,0	
17	0,0			0,0			0,0			0,0			0,0	
18	0,0			0,0			0,0			0,0			0,0	
19	2	3,6	0,2	2	3,3	0,1	2	3,6	0,2	2	3,6	0,2	2 3,6 0,1	
20	2	3	0,1	2	3	0,1	2	3	0,1	2	3	0,1	2 3 0,1	
21	2	3	0,1	2	3,6	0,2	2	3,9	0,2	2	3,9	0,2	2 3,9 0,2	
22	2	3,9	0,2	2	3,9	0,2	2	4,2	0,2	2	4,2	0,2	2 4,2 0,2	
23	2	4,2	0,2	2	4,2	0,2	2	4,8	0,3	2	4,8	0,3	2 4,8 0,3	
24	2	4,2	0,2	2	4,2	0,2	2	3,6	0,2	2	3,6	0,2	2 3,6 0,2	
25	2	4,2	0,2	2	3,6	0,2	2	3,6	0,1	2	3,6	0,1	2 3,6 0,1	
26	2	3,6	0,1	2	3,6	0,1	2	3,6	0,1	2	3,6	0,1	2 3,6 0,1	
27	2	3,6	0,1	2	4,2	0,2	2	4,2	0,2	2	4,2	0,2	2 4,2 0,2	
28	2	4,2	0,2	2	4,2	0,2	2	4,2	0,2	2	4,2	0,2	2 4,2 0,2	
29	2	4,2	0,2	2	3,6	0,2	2	3,6	0,2	2	3,6	0,2	0,0	
30	0,0			2	4,2	0,2	2	3,6	0,2	2	3,6	0,2	2 3,6 0,2	



## Bratislava

Le 15 septembre 1959

Agitation microsismique  
Jours internationaux réguliers  
Appareil: Krumbach

TMG	NS			EW			Z		
	K	T	A	K	T	A	K	T	A
00	...			...			...		
03	2	3,3	0,1	0,0			2	3	0,1
06	2	3,3	0,1	2	3	0,1	2	3	0,1
09	2	3,6	0,1	0,0			0,0		
12	...			2	3	0,1	2	3	0,1
15	2	3	0,1	0,0			0,0		
18	2	3,6	0,1	2	3	0,1	2	3	0,1
21	2	3,6	0,1	0,0			0,0		

Le 16 septembre 1959

TMG	NS			EW			Z		
	K	T	A	K	T	A	K	T	A
00	3	6,9	1	1	3	0,1	0,0		
03	3	6,9	1	1	3	0,1	0,0		
06	3	6,9	1	1	3	0,1	0,0		
09	3	6,9	1	1	3	0,1	0,0		
12	3	6,9	1	1	3	0,1	0,0		
15	3	6,9	1	1	3	0,1	0,0		
18	3	6,9	1	1	3	0,1	0,0		
21	3	6,9	1	1	3	0,1	0,0		

Le 17 septembre 1959

TMG	NS			EW			Z		
	K	T	A	K	T	A	K	T	A
00	2	3	0,1	0,0			0,0		
03	2	3,3	0,1	0,0			0,0		
06	2	3	0,1	0,0			0,0		
09	2	3	0,1	2	3	0,1	0,0		
12	2	3	0,1	0,0			0,0		
15	2	3,6	0,1	2	3	0,1	0,0		
18	2	3	0,1	0,0			0,0		
21	2	3,6	0,1	2	3	0,1	0,0		

364

Agitation microsismique  
Appareil: Krumbach NS

Octobre 1959

## Bratislava

TMG	00 <sup>h</sup>			06 <sup>h</sup>			12 <sup>h</sup>			18 <sup>h</sup>		
	Date	K	T	A	K	T	A	K	T	A	K	T
1	2	3	0,1	2	3	0,1	2	3	0,1	2	3	0,1
2	2	3	0,1	0,0			0,0			0,0		
3	0,0			2	3	0,1	2	3	0,1	2	3	0,1
4	2	3	0,1	2	3	0,1	2	3	0,1	2	3	0,1
5	2	3	0,1	2	4,2	0,1	2	4,2	0,1	2	4,2	0,1
6	2	4,2	0,1	2	4,2	0,1	2	4,2	0,1	2	4,2	0,1
7	2	4,2	0,1	2	4,2	0,1	2	4,2	0,1	2	4,2	0,1
8	2	4,2	0,1	2	4,2	0,1	2	4,8	0,3	2	4,8	0,3
9	2	4,8	0,2	2	4,8	0,2	2	5,4	0,4	2	5,4	0,4
10	2	5,4	0,3	2	4,2	0,2	2	4,2	0,1	2	4,2	0,1
11	2	4,2	0,1	2	4,2	0,1	2	4,2	0,1	2	3	0,1
12	2	3	0,1	2	3,6	0,1	2	3,6	0,1	2	3,6	0,1
13	2	3,6	0,1	2	3,6	0,1	2	3,6	0,1	2	3,6	0,1
14	2	3,6	0,1	2	4,2	0,2	2	4,2	0,1	2	4,2	0,1
15	2	4,2	0,1	2	4,8	0,3	2	4,8	0,3	2	4,8	0,3
16	2	4,8	0,3	...			...			...		
17	...			2	5,4	0,4	2	5,4	0,4	2	5,4	0,4
18	2	5,4	0,4	2	5,4	0,4	2	6	0,5	2	6	0,5
19	2	5,4	0,4	2	5,4	0,3	2	5,4	0,3	2	5,4	0,3
20	2	5,4	0,3	2	4,8	0,2	2	4,8	0,2	2	4,8	0,2
21	2	4,8	0,2	2	6	0,5	2	6	0,5	2	6	0,5
22	2	6	0,5	2	6,4	0,6	2	6,3	0,8	2	6,3	0,6
23	2	6,3	0,4	2	6,6	0,6	2	6,6	0,9	2	6,3	0,6
24	2	6,6	0,6	2	6,3	0,6	2	6,3	0,6	2	6,3	0,6
25	...			2	6,3	0,6	2	6,3	1,5	...		
26	2	6	0,5	2	6	0,4	2	6	0,4	2	6,3	0,6
27	2	6,3	0,6	3	6,3	0,6	3	6,3	0,6	3	6,3	0,6
28	3	6,6	0,9	3	6,3	0,6	3	6,3	0,3	3	6,3	0,6
29	3	6,3	0,6	3	6	0,6	3	5,4	0,4	3	5,4	0,4
30	3	5,4	0,4	3	3,9	0,2	3	4	0,1	3	3	0,1
31	3	3	0,1	3	3	0,1	3	3	0,1	3	3	0,1

365



TMG Date	00 <sup>h</sup>			06 <sup>h</sup>			12 <sup>h</sup>			18 <sup>h</sup>		
	K	T	A	K	T	A	K	T	A	K	T	A
1	...			...			...			...		
2	...			0,0			0,0			0,0		
3	0,0			2	3	0,1	2	3	0,1	2	3	0,1
4	2	3	0,1	...			...			...		
5	...			2	3	0,1	2	3	0,1	2	3	0,1
6	2	3	0,1	0			0,0			0		
7	0			0,0			0,0			0,0		
8	0,0			0,0			0,0			0,0		
9	0,0			...			...			...		
10	...			...			...			...		
11	...			...			...			...		
12	...			...			...			...		
13	...			...			...			...		
14	...			...			...			...		
15	...			...			...			...		
16	...			...			...			...		
17	...			2	3,9	0,2	2	3,9	0,2	2	4,2	0,1
18	2	3,6	0,2	2	3,6	0,2	2	3,6	0,2	2	3,6	0,2
19	2	3,6	0,2	0,0			0,0			2	3,6	0,1
20	2	3,6	0,1	2	3	0,1	2	3	0,1	2	3	0,1
21	2	3,6	0,2	2	3,6	0,2	2	3,6	0,2	2	4,2	0,3
22	2	4,2	0,3	2	3,6	0,2	2	3,6	0,2	2	3,6	0,2
23	2	3,6	0,2	2	4,2	0,3	2	4,2	0,3	2	4,8	0,5
24	2	4,2	0,3	2	4,8	0,3	2	4,8	0,3	2	5,4	0,5
25	...			2	3	0,1	2	3	0,1	...		
26	2	3	0,1	2	3,6	0,2	2	3,6	0,2	2	3,6	0,2
27	2	3,6	0,2	3	4,2	0,3	3	4,2	0,3	3	4,2	0,3
28	3	4,8	0,4	3	5,4	0,7	3	5,4	0,7	3	5,4	0,7
29	3	5,4	0,7	3	5,4	0,5	3	5,4	0,5	3	5,4	0,7
30	3	5,4	0,5	3	3	0,1	3	3	0,1	3	3	0,1
31	3	3	0,1	3	3	0,1	3	3	0,1	3	3	0,1

TMG Date	00 <sup>h</sup>			06 <sup>h</sup>			12 <sup>h</sup>			18 <sup>h</sup>		
	K	T	A	K	T	A	K	T	A	K	T	A
1	0,0			0,0			0,0			0,0		
2	0,0			0,0			0,0			0,0		
3	0,0			2	3	0,1	2	3	0,1	2	3	0,1
4	2	3	0,1	2	3	0,1	2	3	0,1	2	3	0,1
5	2	3	0,1	2	3	0,1	2	3	0,1	2	3	0,1
6	2	3	0,1	0			0			0		
7	0			0,0			0,0			0,0		
8	0,0			0,0			0,0			0,0		
9	0,0			...			...			...		
10	...			...			...			...		
11	...			...			...			...		
12	...			...			...			...		
13	...			...			...			...		
14	...			...			...			...		
15	...			...			...			...		
16	...			...			...			...		
17	...			2	4,2	0,2	2	4,2	0,2	2	4,2	0,2
18	2	4,2	0,2	2	3,6	0,2	2	3,6	0,2	2	3,6	0,2
19	2	3,6	0,2	2	3,6	0,2	2	3,6	0,2	2	3,6	0,2
20	2	3,6	0,2	2	3	0,1	2	3	0,1	2	3	0,1
21	2	3	0,1	...			...			...		
22	...			2	3,6	0,2	2	3,6	0,2	2	3,6	0,2
23	2	3	0,1	2	3,6	0,2	2	3,6	0,2	2	3	0,1
24	2	3	0,1	2	3	0,1	2	3	0,1	2	3	0,1
25	...			2	3	0,1	2	3	0,1	...		
26	2	3	0,1	2	3,3	0,1	2	3,3	0,1	2	3,6	0,2
27	2	3,6	0,2	3	3,3	0,1	3	3,6	0,2	3	3,6	0,2
28	3	3,6	0,2	3	5,4	0,8	3	5,4	0,5	3	5,4	0,5
29	3	5,4	0,5	3	5,4	0,3	3	5,4	0,3	3	5,4	0,3
30	3	5,4	0,3	3	3,6	0,1	3	3,6	0,1	3	3	0,1
31	3	3,6	0,1	3	3,6	0,1	3	3,6	0,1	3	3,6	0,1



Le 1 octobre 1959

Agitation microsismique  
Jours internationaux réguliers  
Appareil: Krumbach

TMG	NS			EW			Z		
	K	T	A	K	T	A	K	T	A
00	2	3	0,1	...			0,0		
03	2	3	0,1	...			0,0		
06	2	3	0,1	...			0,0		
09	2	3	0,1	...			0,0		
12	2	3	0,1	...			0,0		
15	2	3	0,1	...			0,0		
18	2	3	0,1	...			0,0		
21	2	3	0,1	...			0,0		

Le 2 octobre 1959

TMG	NS			EW			Z		
	K	T	A	K	T	A	K	T	A
00	2	3	0,1	0,0			0,0		
03	2	3	0,1	0,0			0,0		
06	0,0			0,0			0,0		
09	0,0			0,0			0,0		
12	0,0			0,0			0,0		
15	0,0			0,0			0,0		
18	0,0			0,0			0,0		
21	0,0			0,0			0,0		

Le 3 octobre 1959

TMG	NS			EW			Z		
	K	T	A	K	T	A	K	T	A
00	0,0			0,0			0,0		
03	2	3	0,1	0,0			0,0		
06	2	3	0,1	2	3	0,1	2	3	0,1
09	2	3	0,1	2	3	0,1	2	3	0,1
12	2	3	0,1	2	3	0,1	2	3	0,1
15	2	3	0,1	2	3	0,1	2	3	0,1
18	2	3	0,1	2	3	0,1	2	3	0,1
21	2	3	0,1	2	3	0,1	2	3	0,1

Agitation microsismique  
Jours internationaux réguliers  
Appareil: Krumbach

Le 9 octobre 1959

TMG	NS			EW			Z		
	K	T	A	K	T	A	K	T	A
00	2	4,8	0,2	0,0			0,0		
03	2	4,8	0,2	0,0			0,0		
06	2	4,8	0,2	...			...		
09	2	5,4	0,4	...			...		
12	2	5,4	0,4	...			...		
15	2	5,4	0,4	...			...		
18	2	5,4	0,4	...			...		
21	2	5,4	0,4	...			...		

Le 10 octobre 1959

TMG	NS			EW			Z		
	K	T	A	K	T	A	K	T	A
00	2	5,4	0,3	...			...		
03	2	5,4	0,3	...			...		
06	2	4,2	0,2	...			...		
09	2	4,2	0,2	...			...		
12	2	4,2	0,1	...			...		
15	2	4,2	0,1	...			...		
18	2	4,2	0,1	...			...		
21	2	4,2	0,1	...			...		

Le 11 octobre 1959

TMG	NS			EW			Z		
	K	T	A	K	T	A	K	T	A
00	2	4,2	0,1	...			...		
03	2	4,2	0,1	...			...		
06	2	4,2	0,1	...			...		
09	2	4,2	0,1	...			...		
12	2	4,2	0,1	...			...		
15	2	4,2	0,1	...			...		
18	2	3	0,1	...			...		
21	2	3	0,1	...			...		



Bratislava

Le 18 octobre 1959

Agitation microsismique  
Jours internationaux réguliers  
Appareil: Krumbach

TMG	NS			EW			Z		
	K	T	A	.	T	A	K	T	A
00	2	5,4	0,3	2	3,6	0,3	2	4,2	0,2
03	2	5,4	0,3	2	4,2	0,3	2	4,2	0,2
06	2	5,4	0,3	2	3,6	0,3	2	3,6	0,2
09	2	5,4	0,3	2	3,6	0,3	2	3,6	0,2
12	2	6	0,5	2	3,6	0,3	2	3,6	0,2
15	2	6	0,5	2	3,6	0,3	...		
18	2	6	0,5	2	3,6	0,3	2	3,6	0,2
21	2	6	0,5	...			...		

Le 19 octobre 1959

TMG	NS			EW			Z		
	K	T	A	K	T	A	K	T	A
00	2	5,4	0,3	2	3,6	0,3	2	3,6	0,2
03	2	5,4	0,2	0,0			2	3,6	0,2
06	2	5,4	0,2	0,0			2	3,6	0,2
09	2	5,4	0,2	0,0			2	3,6	0,2
12	2	5,4	0,2	0,0			2	3,6	0,2
15	2	5,4	0,2	2	3,6	0,2	2	3,6	0,2
18	2	5,4	0,2	2	3,6	0,2	2	3,6	0,2
21	2	5,4	0,2	2	3,6	0,2	2	3,6	0,2

Le 20 octobre 1959

TMG	NS			EW			Z		
	K	T	A	K	T	A	K	T	A
00	2	5,4	0,2	2	3,6	0,1	2	3,6	0,2
03	2	4,8	0,2	0,0			2	3,3	0,1
06	2	4,8	0,2	2	3	0,1	2	3	0,1
09	2	4,8	0,2	2	3	0,1	2	3	0,1
12	2	4,8	0,2	2	3	0,1	2	3	0,1
15	2	4,8	0,3	2	3	0,1	2	2	0,1
18	2	4,8	0,2	2	3	0,1	2	3	0,1
21	2	4,8	0,3	2	3	0,1	2	3	0,1

370

Agitation microsismique  
Jours internationaux réguliers  
Appareil: Krumbach

Le 21 octobre 1959

Bratislava

TMG	NS			EW			Z		
	K	T	A	K	T	A	K	T	A
00	2	4,8	0,1	2	3,6	0,3	2	3	0,1
03	2	4,8	0,3	2	3,3	0,1	2	3	0,1
06	2	6	0,5	2	3,6	0,3	...		
09	2	6	0,5	2	3,6	0,3	...		
12	2	6	0,5	2	3,6	0,3	...		
15	2	6	0,5	2	4,2	0,3	...		
18	2	6	0,5	2	4,2	0,3	...		
21	2	6	0,5	2	4,2	0,3	...		

Le 22 octobre 1959

TMG	NS			EW			Z		
	K	T	A	K	T	A	K	T	A
00	2	6	0,5	2	4,2	0,3	...		
03	2	6,6	0,7	2	4,8	0,4	...		
06	2	6,3	0,5	2	3,6	0,3	2	3,6	0,2
09	2	6,6	1	2	4,2	0,4	2	3,6	0,2
12	2	6,3	0,7	2	3,6	0,3	2	3,6	0,2
15	2	6,6	1	2	4,2	0,4	2	3,6	0,2
18	2	6,3	0,5	2	3,6	0,3	2	3	0,1
21	2	6,3	0,5	2	3,6	0,3	2	3	0,1

Le 23 octobre 1959

TMG	NS			EW			Z		
	K	T	A	K	T	A	K	T	A
00	2	6,3	0,4	2	3,6	0,3	2	3	0,1
03	2	6,6	0,5	2	4,2	0,3	2	3,6	0,2
06	2	6,6	0,5	2	4,2	0,3	2	3,6	0,2
09	2	6,6	0,7	2	4,8	0,4	2	3,6	0,2
12	2	6,6	0,7	2	4,2	0,3	2	3,6	0,2
15	2	6,6	0,7	2	4,2	0,3	2	3	0,1
18	2	6,3	0,5	2	4,8	0,6	2	3	0,1
21	2	6,3	0,5	2	4,8	0,6	2	3	0,1

24\*

371



Bratislava

Le 24 octobre 1959

Agitation microsismique  
 Jours internationaux réguliers  
 Appareil: Krumbach

TMG	NS			EW			Z		
	K	T	A	K	T	A	K	T	A
00	2	6,6	0,7	2	4,2	0,3	2	3	0,1
03	2	6,6	0,7	2	4,8	0,4	2	4,2	0,2
06	2	6,3	0,5	2	4,8	0,4	2	3	0,1
09	2	6,6	0,7	2	4,8	0,4	2	3	0,1
12	2	6,3	0,5	2	4,8	0,4	2	3	0,1
15	2	6,6	0,7	2	4,8	0,6	2	3	0,1
18	2	6,3	0,5	2	5,4	0,4	2	3	0,1
21	2	6,6	0,7	2	5,4	0,6	2	3	0,1

Le 25 octobre 1959

TMG	NS			EW			Z		
	K	T	A	K	T	A	K	T	A
00	...			...			...		
03	2	6,3	0,5	2	3	0,1	2	3	0,1
06	2	6,3	0,5	2	3	0,1	2	3	0,1
09	2	6,3	0,5	2	3	0,1	2	3	0,1
12	2	6,3	1,4	2	3	0,1	2	3	0,1
15	2	6,3	0,9	2	3	0,1	2	2	0,1
18	...			...			...		
21	2	6,3	0,9	2	3	0,1	2	3	0,1

Le 26 octobre 1959

TMG	NS			EW			Z		
	K	T	A	K	T	A	K	T	A
00	2	6	0,5	2	3	0,1	2	3	0,1
03	2	6	0,5	2	3,3	0,1	2	3	0,1
06	2	6	0,4	2	3,6	0,3	2	3,3	0,1
09	2	6	0,4	2	3,6	0,3	2	3,3	0,1
12	2	6	0,4	2	3,6	0,3	2	3,3	0,1
15	2	6	0,4	2	3,6	0,3	2	3,3	0,1
18	2	6,3	0,5	2	3,6	0,3	2	3,6	0,2
21	2	6,3	0,5	2	3,6	0,3	2	3,6	0,2

372

Agitation microsismique  
 Jours internationaux réguliers  
 Appareil: Krumbach

Le 27 octobre 1959

Bratislava

TMG	NS			EW			Z		
	K	T	A	K	T	A	K	T	A
00	2	6,3	0,5	2	3,6	0,3	2	3,6	0,2
03	2	6,3	0,5	2	3,6	0,3	3	3,6	0,2
06	2	6,3	0,5	3	4,2	0,4	3	3,3	0,1
09	3	6,3	0,5	3	4,2	0,4	3	3,6	0,2
12	3	6,3	0,5	3	4,2	0,4	3	3,6	0,2
15	3	6,3	0,5	3	4,2	0,4	3	3,6	0,2
18	3	6,3	0,5	3	4,2	0,4	3	3,6	0,2
21	3	6,3	0,5	3	4,2	0,4	3	3,6	0,2

373



TMG Date	00 <sup>h</sup>			06 <sup>h</sup>			12 <sup>h</sup>			18 <sup>h</sup>		
	K	T	A	K	T	A	K	T	A	K	T	A
1	3	3,6	0,1	3	3,6	0,1	3	4,8	0,2	3	5,4	0,3
2	3	5,4	0,3	2	6	0,5	2	6,3	0,6	2	6,3	0,8
3	2	6,3	0,6	2	6	0,5	2	6,6	0,6	2	6,6	0,6
4	2	6,6	0,2	2	6,3	0,6	3	4,8	0,2	2	4,8	0,2
5	2	4,8	0,2	2	4,8	0,2	3	4,8	0,2	3	5,4	0,4
6	3	5,4	0,3	3	4,2	0,1	...	...	...	3	4,2	0,1
7	3	4,2	0,1	2	4,2	0,1	2	5,4	0,4	2	5,4	0,4
8	2	5,4	0,4	2	5,4	0,3	3	6	0,5	2	6,3	0,6
9	2	6,3	0,6	3	6,3	0,6	3	6,3	0,6	3	6,6	0,6
10	3	6,6	0,6	3	6,6	0,6	3	6,6	0,6	3	6,6	0,6
11	3	6,6	0,6	3	5,4	0,3	3	4,8	0,2	3	4,2	0,1
12	3	4,2	0,1	...	...	...	...	...	...	...	...	...
13	...	...	...	...	...	...	...	...	...	3	4,8	0,2
14	3	4,8	0,2	2	5,4	0,3	2	6	0,5	2	6	0,5
15	2	6	0,5	3	5,4	0,3	3	3,6	0,1	3	3,6	0,1
16	3	3,6	0,1	3	3,6	0,1	...	...	...	3	4,2	0,1
17	3	4,2	0,1	3	4,2	0,1	3	4,2	0,1	3	4,2	0,1
18	3	4,2	0,1	3	4,2	0,2	3	4,8	0,3	3	4,8	0,3
19	3	4,8	0,3	3	4,8	0,3	...	5,4	0,4	3	4,8	0,3
20	3	4,8	0,3	3	4,8	0,3	3	5,4	0,4	3	5,4	0,4
21	3	5,4	0,4	3	6	0,5	2	6	0,5	2	6	0,5
22	2	6	0,5	2	5,4	0,4	3	5,4	0,3	3	5,4	0,3
23	3	5,4	0,3	3	5,4	0,4	3	5,4	0,3	3	5,4	0,4
24	3	5,4	0,3	...	...	...	...	...	...	...	...	...
25	...	...	...	...	...	...	...	...	...	...	...	...
26	...	...	...	...	...	...	...	...	...	...	...	...
27	...	...	...	2	3,6	0,1	2	3,6	0,1	2	3,6	0,1
28	2	3,6	0,1	3	3,6	0,1	3	3,6	0,1	3	3,6	0,1
29	3	3,6	0,1	3	3,3	0,1	3	3,6	0,1	3	3,6	0,1
30	3	3,6	0,1	3	3,6	0,2	3	3,6	0,2	3	3,8	0,2

TMG Date	00 <sup>h</sup>			06 <sup>h</sup>			12 <sup>h</sup>			18 <sup>h</sup>		
	K	T	A	K	T	A	K	T	A	K	T	A
1	0,0	...	...	2	3,3	0,1	3	3,6	0,2	3	3,6	0,2
2	3	3,6	0,2	3	3,3	0,1	3	4,2	0,3	3	4,8	0,4
3	3	4,8	0,4	3	3,6	0,1	3	4,2	0,3	3	4,8	0,4
4	3	4,8	0,4	3	4,8	0,4	3	4,8	0,4	3	4,8	0,4
5	3	4,8	0,4	3	3	0,1	3	3	0,1	3	3	0,1
6	3	3	0,1	3	3,6	0,1	...	...	...	3	3,6	0,1
7	3	3,6	0,1	0,0	...	...	0,0	...	...	3	3	0,1
8	3	3	0,1	0,0	...	...	3	3	0,1	3	3	0,1
9	3	3	0,1	3	3,6	0,2	3	4,2	0,4	3	4,2	0,4
10	3	4,8	0,4	3	3,6	0,2	3	4,2	0,2	3	4,8	0,6
11	3	4,8	0,4	3	3,3	0,1	3	3	0,1	3	3	0,1
12	2	3	0,1	2	3	0,1	2	3	0,1	2	3	0,1
13	2	3	0,1	3	3,3	0,1	3	3,6	0,3	3	3,6	0,3
14	3	3,6	0,2	3	3,6	0,2	3	4,8	0,4	3	4,8	0,4
15	3	4,8	0,4	3	3,6	0,1	3	3,6	0,1	3	3,6	0,1
16	3	3,6	0,1	3	3,6	0,1	...	...	...	3	3,6	0,1
17	3	3,6	0,1	3	3	0,1	3	3	0,1	3	3,6	0,1
18	3	3,6	0,1	3	3	0,1	3	3	0,1	3	3	0,1
19	3	3	0,1	3	3	0,1	...	...	...	3	4,2	0,3
20	3	4,2	0,3	3	4,2	0,3	3	4,8	0,4	3	4,8	0,4
21	3	4,8	0,4	2	4,2	0,3	2	4,2	0,4	2	4,2	0,3
22	2	4,2	0,3	3	3	0,1	3	3,6	0,1	3	3,6	0,3
23	3	3,6	0,2	3	3,3	0,2	3	3,6	0,2	3	4,2	0,3
24	3	4,2	0,3	3	4,2	0,3	3	4,2	0,4	3	4,2	0,3
25	3	4,2	0,3	3	4,2	0,3	3	4,2	0,4	3	4,2	0,3
26	3	3,6	0,1	3	3	0,1	3	3,3	0,1	3	3,3	0,1
27	3	3,3	0,1	3	3	0,1	3	3	0,1	3	3	0,1
28	3	3	0,1	0,0	...	...	0,0	...	...	0,0	...	...
29	0,0	...	...	0,0	...	...	0,0	...	...	0,0	...	...
30	3	3	0,1	3	3	0,1	3	3	0,1	3	3	0,1



TMG	00 <sup>h</sup>			06 <sup>h</sup>			12 <sup>h</sup>			18 <sup>h</sup>		
	Date	K	T	A	K	T	A	K	T	A	K	T
1	3	3,6	0,1	2	3,6	0,1	2	4,3	0,2	2	4,2	0,2
2	2	4,2	0,2	3	3,6	0,2	3	4,2	0,2	3	4,8	0,4
3	3	4,8	0,4	3	4,8	0,4	3	4,8	0,4	3	4,8	0,4
4	3	4,2	0,2	3	4,2	0,2	3	4,2	0,2	3	4,8	0,4
5	3	4,8	0,4	3	3,6	0,2	3	3,6	0,2	3	3,6	0,2
6	3	3,6	0,2	3	3,6	0,2	...	...	...	3	3,6	0,2
7	3	3,6	0,2	3	3,6	0,2	2	4,2	0,2	2	4,2	0,2
8	2	4,2	0,2	3	3,6	0,2	3	4,2	0,2	3	4,8	0,3
9	3	4,8	0,3	3	4,8	0,3	3	5,4	0,5	3	5,4	0,5
10	3	4,8	0,3	3	4,8	0,3	3	4,8	0,3	3	4,8	0,3
11	3	4,8	0,2	3	3,6	0,2	3	3,6	0,2	3	3,6	0,2
12	3	3,6	0,1	3	3,6	0,1	3	3	0,1	3	3	0,1
13	2	3	0,1	3	4,8	0,3	3	4,8	0,3	3	4,8	0,3
14	3	4,8	0,3	3	4,2	0,2	3	4,2	0,2	3	4,2	0,2
15	3	4,2	0,2	3	3,6	0,1	3	3,6	0,1	3	3,6	0,2
16	3	3,6	0,1	3	3	0,1	...	...	...	3	3	0,1
17	3	3	0,1	3	3	0,1	3	3	0,1	3	3	0,1
18	3	3	0,1	3	3	0,1	3	3	0,1	3	3	0,1
19	3	3	0,1	3	3	0,1	...	...	...	3	3	0,1
20	3	3,6	0,2	3	3,6	0,2	3	3,6	0,2	3	3,6	0,2
21	3	3,6	0,2	0,0	...	...	0,0	...	...	0,0	...	...
22	0,0	...	...	0,0	...	...	0,0	...	...	0,0	...	...
23	0,0	...	...	3	3	0,1	3	3	0,1	3	3	0,1
24	3	3	0,1	0,0	...	...	0,0	...	...	0,0	...	...
25	0,0	...	...	3	3	0,1	3	3	0,1	3	3	0,1
26	3	3	0,1	3	3,6	0,1	3	3,6	0,1	3	3,6	0,1
27	3	3,6	0,1	3	3,6	0,1	3	3,6	0,1	3	3,6	0,1
28	3	3,6	0,1	3	3	0,1	3	3	0,1	3	3	0,1
29	3	3	0,1	3	3	0,1	3	3	0,1	3	3	0,1
30	3	3	0,1	3	3	0,1	3	3	0,1	3	3	0,1

TMG	NS			EW			Z		
	K	T	A	K	T	A	K	T	A
00	3	4,2	0,1	3	3,6	0,1	3	3	0,1
03	3	4,2	0,1	3	3,6	0,1	3	3	0,1
06	3	4,2	0,1	3	3	0,1	3	3	0,1
09	3	4,2	0,1	3	3	0,1	3	3	0,1
12	3	4,2	0,1	3	3	0,1	3	3	0,1
15	3	4,2	0,1	3	3	0,1	3	3	0,1
18	3	4,2	0,1	3	3,6	0,1	3	3	0,1
21	3	4,2	0,1	3	3,6	0,1	3	3	0,1

TMG	NS			EW			Z		
	K	T	A	K	T	A	K	T	A
00	3	4,2	0,1	3	3,6	0,1	3	3	0,1
03	3	4,2	0,1	3	3,3	0,1	3	3	0,1
06	3	4,2	0,2	3	3	0,1	3	3	0,1
09	3	4,8	0,3	3	3	0,1	3	3	0,1
12	3	4,8	0,3	3	3	0,1	3	3	0,1
15	3	4,8	0,3	3	3	0,1	3	3	0,1
18	3	4,8	0,3	3	3	0,1	3	3	0,1
21	3	4,8	0,3	3	3	0,1	3	3	0,1

TMG	NS			EW			Z		
	K	T	A	K	T	A	K	T	A
00	3	4,8	0,3	3	3	0,1	3	3	0,1
03	3	4,8	0,3	3	3	0,1	3	3	0,1
06	3	4,8	0,3	3	3	0,1	3	3	0,1
09	3	4,8	0,3	3	3	0,1	3	3	0,1
12	...	...	...	...	...	...	...	...	...
15	3	4,8	0,3	3	4,2	0,3	3	3	0,1
18	3	4,8	0,3	3	4,2	0,3	3	3	0,1
21	3	4,8	0,3	3	4,2	0,3	3	3	0,1



TMG Date	00 <sup>h</sup>			06 <sup>h</sup>			12 <sup>h</sup>			18 <sup>h</sup>		
	K	T	A	K	T	A	K	T	A	K	T	A
1	3	3,9	0,1	3	3,9	0,1	...			3	4,2	0,2
2	3	4,2	0,2	3	4,2	0,2	3	4,8	0,3	...		
3	3	5,4	0,3	3	6	0,5	3	6,6	0,7	3	6,6	0,7
4	3	6,6	0,7	3	6,6	0,7	3	6,6	0,7	3	6,6	0,7
5	3	6,6	0,7	3	5,4	0,2	3	5,4	0,2	3	5,4	0,2
6	3	5,4	0,2	2	5,4	0,2	2	5,4	0,2	2	5,4	0,2
7	3	6	0,5	3	6	0,1	3	6	0,5	3	6,6	1
8	3	6,6	1	...			...			...		
9	...			2	5,4	0,3	2	5,4	0,2	2	5,4	0,2
10	2	5,4	0,3	2	4,2	0,5	2	4,2	0,1	2	4,2	0,1
11	2	4,2	0,2	...			...			...		
12	...			3	4,2	0,1	3	4,2	0,1	3	4,2	0,1
13	3	4,2	0,1	2	4,2	0,1	2	4,2	0,1	2	4,2	0,1
14	2	4,2	0,1	...			...			...		
15	...			2	4,2	0,1	2	4,2	0,1	2	4,2	0,1
16	2	4,2	0,1	2	4,2	0,1	2	4,2	0,1	2	4,2	0,1
17	2	4,2	0,1	2	6	0,5	2	6	0,5	2	6	0,5
18	2	6	0,5	2	6	0,5	2	6	0,5	2	6	0,5
19	2	6	0,5	2	5,4	0,3	2	5,4	0,5	2	5,4	0,2
20	2	5,4	0,3	2	6	0,5	2	6	0,5	2	6	0,5
21	2	6	0,5	2	4,2	0,1	...			2	4,2	0,1
22	2	5,4	0,3	2	5,4	0,2	2	5,4	0,2	2	5,4	0,2
23	2	5,4	0,2	2	5,4	0,2	2	5,4	0,2	2	5,4	0,2
24	2	5,4	0,2	...			...			...		
25	...			...			...			...		
29	3	5,4	0,2	3	5,4	0,2	3	5,4	0,2	3	5,4	0,2
30	3	5,4	0,2	3	6	0,5	3	6	0,5	3	6	0,5
31	3	6	0,5	3	6	0,5	3	5,4	0,3	3	5,4	0,2

TMG Date	00 <sup>h</sup>			06 <sup>h</sup>			12 <sup>h</sup>			18 <sup>h</sup>		
	K	T	A	K	T	A	K	T	A	K	T	A
1	3	3	0,1	3	3	0,1	...			3	3	0,1
2	3	3	0,1	3	3	0,1	3	3	0,1	...		
3	3	4,2	0,3	3	3,6	0,3	3	3,6	0,3	3	4,2	0,3
4	3	4,2	0,3	3	4,2	0,4	3	4,8	0,4	3	4,8	0,4
5	3	4,8	0,4	3	4,2	0,3	3	3,6	0,3	3	3,6	0,3
6	3	3,6	0,1	3	4,2	0,3	3	4,2	0,3	3	4,8	0,6
7	3	4,8	0,6	3	4,8	0,4	3	4,2	0,3	3	4,2	0,3
8	3	4,2	0,3	...			...			...		
9	...			3	4,2	0,1	3	4,2	0,1	3	4,2	0,3
10	3	4,2	0,3	3	4,2	0,3	3	4,8	0,3	3	4,8	0,6
11	3	4,8	0,6	3	4,2	0,3	3	4,2	0,3	3	3,6	0,1
12	3	3,6	0,1	3	3	0,1	3	3	0,1	3	3	0,1
13	3	3	0,1	3	3	0,1	2	3	0,1	2	3	0,1
14	2	3	0,1	3	3,6	0,3	3	3,6	0,3	...		
15	3	3,6	0,3	3	3,3	0,1	3	3,3	0,1	3	3,3	0,1
16	3	3,3	0,1	3	3	0,1	3	3	0,1	3	3	0,1
17	3	3	0,1	3	4,8	0,4	3	5,4	0,4	3	6	0,9
18	3	6	0,9	3	6	0,6	3	6	0,6	3	6	0,9
19	3	6	0,9	3	5,4	0,4	3	5,4	0,4	2	4,8	0,6
20	2	4,8	0,6	3	5,4	0,6	3	5,4	0,6	3	5,4	0,6
21	3	5,4	0,6	3	3	0,1	...			3	3	0,1
22	3	3	0,1	3	3	0,1	3	3	0,1	3	3	0,1
23	3	3	0,1	3	3	0,1	3	3,6	0,1	3	4,2	0,3
24	3	4,2	0,3	3	3,6	0,1	2	3,6	0,1	3	3,6	0,1
25	3	3,6	0,1	3	3	0,1	3	3	0,1	3	3	0,1
26	3	3	0,1	3	3,3	0,1	3	3,3	0,1	3	3,3	0,1
27	3	3,3	0,1	...			...			...		
28	...			3	3	0,1	3	3	0,1	3	3	0,1
29	3	3	0,1	3	4,2	0,2	3	4,2	0,3	3	4,2	0,3
30	3	4,2	0,3	3	4,2	0,2	3	4,2	0,1	3	3,6	0,3
31	3	3,6	0,1	3	3,6	0,1	3	3,6	0,3	3	3,6	0,3



TMG	00 <sup>h</sup>			06 <sup>h</sup>			12 <sup>h</sup>			18 <sup>h</sup>		
	Date	K	T	A	K	T	A	K	T	A	K	T
1	3	3	0,1	3	3	0,1	...			3	3,3	0,2
2	3	3,3	0,1	3	3,9	0,2	3	4,2	0,1	...		
3	3	4,8	0,4	3	4,2	0,2	3	4,8	0,3	3	4,8	0,3
4	3	4,8	0,4	3	4,2	0,2	v			v		
5	v			3	3,6	0,2	3	3,9	0,2	3	3,9	0,2
6	3	3,9	0,2	3	3,6	0,2	3	3,6	0,2	3	3	0,1
7	0,0			v						...		
8	...			...			...			...		
9	...			3	3,5	0,2	0,0			0,0		
10	0,0			3	4,2	0,2	3	4,2	0,2	3	4,2	0,1
11	0,0			...			...			...		
12	...			...			...			...		
13	...			...			...			...		
14	...			v			v			...		
15	3	3	0,1	3	3,6	0,1	3	3,6	0,1	3	3,6	0,1
16	3	3,6	0,1	3	3,6	0,1	3	3,6	0,1	3	3,6	0,1
17	3	3,6	0,1	2	4,8	0,3	2	5,4	0,3	2	5,4	0,3
18	2	5,4	0,3	2	6	0,4	3	6	0,4	3	6	0,4
19	3	6	0,7	3	5,4	0,3	...			...		
20	...			3	5,4	0,3	3	4,8	0,3	3	4,8	0,3
21	3	4,8	0,3	v			...			3	3,6	0,2
22	3	3,6	0,2	3	3,6	0,2	3	3,6	0,2	3	3,6	0,2
23	3	3,6	0,2	3	3,6	0,2	3	3,6	0,2	3	3,6	0,2
24	3	3,6	0,2	3	3,6	0,2	3	3,6	0,2	3	3,6	0,2
25	3	3,6	0,2	3	4,2	0,2	3	4,2	0,2	3	4,2	0,2
26	3	4,2	0,2	3	4,2	0,2	3	4,2	0,2	3	4,2	0,2
27	3	4,2	0,2	3	4,2	0,2	3	4,2	0,2	3	4,2	0,2
28	3	4,2	0,2	3	4,2	0,2	3	4,2	0,2	3	4,2	0,2
29	3	4,2	0,2	3	4,2	0,2	3	4,2	0,2	3	4,2	0,2
30	3	4,2	0,2	3	4,2	0,2	3	4,2	0,2	3	4,2	0,2
31	3	4,2	0,2	0,0			0,0			0,0		

TMG	NS			EW			Z		
	K	T	A	K	T	A	K	T	A
00	2	4,2	0,1	2	3	0,1	...		
03	2	4,2	0,1	2	3	0,1	...		
06	...			3	3,6	0,3	v		
09	...			3	3,6	0,3	v		
12	...			3	3,6	0,3	v		
15	...			3	3,6	0,3	2	3	0,1
18	...			...			...		
21	...			3	3,6	0,3	2	3	0,1

TMG	NS			EW			Z		
	K	T	A	K	T	A	K	T	A
00	...			3	3,6	0,3	3	3	0,1
03	2	4,2	0,1	3	4,2	0,3	3	3	0,1
06	2	4,2	0,1	3	3,3	0,1	3	3,6	0,1
09	2	4,2	0,1	3	3,3	0,1	3	3,6	0,1
12	2	4,2	0,1	2	3,3	0,1	3	3,6	0,1
15	2	4,2	0,1	3	3,3	0,1	3	3,6	0,1
18	2	4,2	0,1	3	3,3	0,1	3	3,6	0,1
21	2	4,2	0,1	3	3,3	0,1	3	3,6	0,1

TMG	NS			EW			Z		
	K	T	A	K	T	A	K	T	A
00	2	4,2	0,1	3	3,3	0,1	3	3,6	0,1
03	2	4,2	0,1	3	3,3	0,1	3	3,6	0,1
06	2	4,2	0,1	3	3	0,1	3	3,6	0,1
09	2	4,2	0,1	3	3	0,1	3	3,6	0,1
12	2	4,2	0,1	3	3	0,1	3	3,6	0,1
15	2	4,2	0,1	3	3	0,1	3	3,6	0,1
18	2	4,2	0,1	3	3	0,1	3	3,6	0,1
21	2	4,2	0,1	3	3	0,1	3	3,6	0,1



Bratislava

Le 17 décembre 1959

Agitation microséismique  
Jours internationaux réguliers  
Appareil: Krumbach

TMG	NS			EW			Z		
	K	T	A	K	T	A	K	T	A
00	2	4,2	0,1	3	3	0,1	3	3,6	0,1
03	2	5,4	0,2	3	4,8	0,3	0,0		
06	2	6	0,5	3	4,8	0,4	2	4,8	0,3
09	2	6	0,5	3	4,8	0,4	2	4,8	0,3
12	3	6	0,5	3	5,4	0,4	2	5,4	0,3
15	3	6	0,5	3	5,4	0,4	2	5,4	0,3
18	2	6	0,5	3	6	0,9	2	5,4	0,3
21	2	6	0,5	3	6	0,9	2	5,4	0,3

OBSERVATIONS MACROSÉISMIQUES

Le 10 février 1959 à 22<sup>h</sup>44<sup>m</sup>10<sup>s</sup> une secousse locale (III—IV) à Vysoká pri Morave  
(48,3° N; 17° E).